



*Sirius*

AT 314

3057

PHILLIPS LIBRARY  
OF  
HARVARD COLLEGE OBSERVATORY.

AT 54

30500



**SIRIUS.**

**BY**

**(1821.)**

# SIRIUS.



## Zeitschrift für populäre Astronomie.

Gediegen für Frauen und Männer der Emancipation.

Ermöglicht durch Unterstützung

hervorragender Fachmänner und unbemerkter Schriftsteller.

\*\*\*

Dr. HERMANN J. KLEIN

in. Kgl.

XXXIV. Band oder Neue Folge XXX. Band.

1885.



Edvard Heinrich Mayer,

Verlagsbuchhandlung

LEIPZIG, Neuglückstr. 16.



# Inhaltsverzeichnis.

## Fixsterne.

- Vier veränderliche Sterne. 15.  
Die Eigenbewegung von Sternen der nächsten Sternhaufe. 20.  
Die Nova im Perseus. 47, 55, 109, 120, 125, 126, 162, 257, 264.  
Die Bewegung von  $\alpha$  Persei in der Gestirnsbahn. 77.  
Der Doppelstern C im Herkules. 78.  
Veränderung von  $\delta$  Scorii mit veränderlichem Geschwindigkeits in der Gestirnsbahn zur Zeit. 97.  
Die gegenwärtig bekannten spektroskopischen Doppelsterne. 112.  
Eigenschaften von Fixsternen der nächsten Sternhaufe mit Beziehung auf den Inhalt unter der Kap-Sternhaufe. 129.  
Die spektroskopische Bewegung der Polarsterne. 132.  
Der spektroskopische Doppelstern  $\kappa$  Cassiopee. 175.  
Fixsterne mit grosser Geschwindigkeit in der Gestirnsbahn. 182.  
Die Stromschichtung starrer Fixsterne und Planeten. 183.  
Der spektroskopische Doppelstern  $\alpha$  Cygni. 184.  
Spektroskopische Doppelsterne von  $\beta$  U. 185.  
Die Sternspektre der Zeit selbst, mit demselben Wasserstofflinien. 220, 241.  
Zahl der Sterne bei photographischen Aufnahmen von verschiedenen Lagen der Himmelskugel. 224.  
Eigenschaften neuer Untersuchungen mit dem Mittel-Spektroskop der Zeit. Sternhaufe 242.  
Über die Deutung der photographischen Sternhaufe von der Nova im Perseus. 252.  
Die Anordnung photographischer Aufnahmen von Sternhaufen. 276.  
Die Bahn der Doppelsterne  $\gamma$  Cassiopee. 284.  
Der Doppelstern  $\delta$  Cygni. 284.

## Kometen.

- Neuer Komet. 39.  
Der Komet 1904. 56.

- Gilgamsis-Kometenrechnungen. 55.  
Der neue Komet. 119.  
Untersuchungen über das System der Kometen. 1823, 1901 und 1902. 175.  
Blick auf die theokratischen Kometen. 201.  
Der grosse Komet 1904 I. 206.  
Die Bahn des Kometen 1912 I. 243.

## Meteore und Sternschuppen.

- Kometenartige Kometen. Von H. Bernitz. 4.  
Der Meteorfall von Altoppen. 41.  
Die Beobachtungen über den Sternschuppenfall der Leoniden am November 1900. 43.  
Die grosse Feuerball vom 15. Dezember 1900. Von Terrest. 1900. 51.  
Die Feuerballung. 55.  
Feuerball. 16, 120, 124, 204.  
Feuerkugeln der polaren Hemisphäre. Von Heinrich Bernitz. 125.  
Die Bahn eines grossen, am 14. März 1900 beobachteten Sterns. 129.  
Neue Masse. 130, 134.  
Die Triangulation auf der Sternschuppen. 140.  
Die meteorologische Messungen. 168.  
Über die Sternschuppen vom 2. Januar 1904. 211.  
Beobachtungen der Fixsterne. 224.

## Mond.

- Die Mondhöhefall Carpena-Hygien. Von L. Kopp. 7.  
Seltene Wahrnehmungen vom Mond. 20.  
Photographische Aufnahmen von Mars und Venus der Monate mit dem 40-jährigen Kometen  $\delta$  Ursa-Minor. 47.  
Definitive Mondkarten. 55.  
William H. Pickering's Beobachtungen der Mondkrater. Von Dr. Hahn. 147, 204.  
Die partielle Mondfinsternis vom Oktober 11. 1911.  
Der Erdboden auf dem Mond. 210.

## Nebelflecke und Sternhaufen.

- Auswahlkriterien in dem Verzeichnisse nebelflecker  
M 13 33  
Photographische Aufnahmen von Sternhaufen  
mit dem 400mmigen Refraktor der Berliner  
Merkens. 24  
Die merkenscheiger Haufen von Nebelflecken  
14  
Die Entdeckung und Katalogisierung von  
Merkensnebeln durch den Photographen.  
317  
Neu aufgefunden Nebel und Sternhaufen von  
merkenscher Spektren. 26  
Der Nebel von der Nord im Perseus. 104

## Pflanzen.

- Zwei Hühner, jährlings der vier Pflanzenarten.  
Erdbeere. 9  
Die Abweichung des Planeten Venus. 5  
Caroline Beckersagen des Planeten Mars  
1898—1911. 11  
Saturn 1911. Beobachtungsmittel zur Zeichnung.  
16  
Neun Planeten 41, 143  
Beobachtungen des Planeten Merkur. 41  
Neue Untersuchungen über den Durchmesser  
des Venus. 12  
Neue Messungen der Durchmesser des Jupiter  
und seiner Monde. 45, 379.  
Die Rotation des Planeten Uran. 81.  
Die spektralanalytische Bestimmung der Rotation  
des Saturns. Von Dr. Klein. 46  
Über die Bestimmung der Planeten. 9,  
20.  
Ein interessantes Verbleiben des 1. Jupiter-  
mondes vor der Schluss des Jupiter. 51  
Jährliche periodische Verbleibungen auf Mars.  
Von Adolf Arsen. 14.  
Neun von Planeten Uran. 102  
Merkwürdige Erscheinungen im Planeten (Mars)  
Trotzdem. 108  
Der Planeten-Erscheinungen des Jahres 1911.  
113  
Messungen der Saturn und seiner Ringe. 124  
Ein merkenscheiger Planet. 126  
Die Helligkeitsveränderungen des Planeten Uran.  
147—148  
Über Helligkeitsveränderungen und die Größe  
des Planeten Uran. 128  
Erscheinungen von kleinen Planeten. 204  
Beobachtungen des Mars 1910—1911 im Herbst.  
206  
Der Durchmesser des Planeten Merkur. 200  
Die Periode der Oberflächengeschwindigkeit des  
Jupiter. 219  
Die Eigenschaften der Saturnringe. 271

## Planetenkonstellationen.

- Auswahlkriterien Elster. 26, 41, 89, 93, 107,  
140, 155, 195, 213, 222, 263, 266.

## Sonne.

- Die angeborene Sonnenrotation. 11  
Die Drehbewegung auf der Sonne. 48  
Die neue Sonnenrotation (1911 Mai 12). 64,  
148, 200  
Verhalten des Sonnenstroms innerhalb totaler  
Sonnenfinsternisse nachgewiesen. 45  
Die Erklärung der Energie der Sonnenstrahlung.  
123  
Das Sonnen Gitter in der Sonnenatmosphäre.  
127  
Die Überwindung der gegenseitlich der Sonnen-  
Rotationen (21 Januar) durch den Photographen  
Speiser. 146.  
Die Rotation der Sonnenoberfläche durch den  
Wittmann. 153  
Die ständige Periode der Sonnenflecke und  
die Sonnenrotation. Von Dr. Klein. 208  
Die Ergebnisse der Beobachtungen der totalen  
Sonnenfinsternis am 18. Mai 1901. 217  
Die ständige Drehung des Lichts und die  
Drehung der Planeten. 254  
Eine wichtige Stelle von Sonnenflecken  
Messungen. 26.

## Sternwarten.

- Die Photographie im Dienste der Helligkeits-  
messung und die Aufgabe der Helligkeitsmessungen.  
28  
Stellen der Sternwarte in Hamburg. 47  
Die Universitäts Sternwarte. 41  
Das neue astronomische Observatorium. 145  
Die Catalogue der Astrophysikalischen Ob-  
servatorium in Heidelberg. 20.  
Das neue Sternwarte in Garmisch-Partenkirchen.  
267

## Veränderliche Sterne.

- Periodische Erscheinung der veränderlichen  
veränderlichen Sterne. 45  
Die Sonne im Perseus. 81, 93, 109, 111, 167,  
228, 267, 269, 274.  
Der Veränderliche 82 Cygni. 118  
Der Veränderliche 8. April. 114  
Der große Anstieg (1911) veränderlicher Sterne.  
114  
Der Stern Anstieg 1910. 115  
Photographische Untersuchung veränderlicher  
Sterne. 121.  
Der Veränderliche 4 Argus. 140  
Neuer Veränderlicher Stern 71, 1901 Argus.  
140.  
Der Veränderliche 13 1900 Cygni. 161.  
Neue veränderliche Sterne. 145  
Ein neuer Katalog der veränderlichen Sterne.  
234  
Der Veränderliche 8 Cassio. 234  
Neue Veränderlicher im Cygnus 76. 1901  
236.



**Kritikbogen über zwei veröffentliche Werke**  
 234  
**Der neue mittelhochdeutsche Text der Algenklausur**  
 TL 1881 Cypel. 234

**Vermischtes.**

**Janus Miksaal Korlai. 2.**  
**Erklärung der Sologgen der Salmanns. 26**  
 Neue Studien über den Satz der Unver-  
 änderl. 25  
**Die alte Follager Steinschrift. 33.**  
 Professor W. R. Campbell. 42  
**Arabi und Gelehrtenleistungen des wissen-  
 schaftlichen Personals der Government  
 University, Cambridge (Harvard College) und  
 Washington. 47.**  
**In Tunis Erlesen Gedächtnis. 47**  
 Unverm. 48-504.  
**Die letzten Platte Janus der Himmelsbeobachtung.**  
 Von A. R. 47, 142, 143, 221, 268, 271  
**Die Geschichte des Pflanzenbauens. 111.**  
 Gustav Adolf Guedert. 104  
**Die astronomische Bewegungsgesetze und Welt-  
 anordnung des Kardinal Nikolaus von Cusa.**  
 141.  
**Die Dichtn der Erdkunde unter dem Fortschritt**  
 und den Meeres. 213  
**Messungen eines Karthographen bei Quito.**  
 240  
**Genetischegenheit, Begründung und Hauptregeln**  
 in Indien. 247

**Tafeln.**

- Tafel I.** Die Hochschiffahrt Klippens und  
 Umgebung  
 „ II Die Hochschiffahrt Klippens II  
 „ III Sagen (1895) 148 21 148 21m. Ge-  
 schicht von Klippens  
 „ IV Hochschiffahrt Theorien und Um-  
 gebung. Nach der Photographie von  
 G. W. Meyer  
 „ V Sagen über Auftritte von Menschen  
 am Schwanz der Fingerringel im  
 Jahr 1872  
 „ VI Beschreibung der Fingerringel von  
 26. Dezember 1868  
 „ VII Schreibung Sagen des Fingerringel von  
 C. Horst  
 „ VIII Die Umgebung der Nova Farsal  
 „ IX Sagen der Nova Farsal auf der  
 Vulkan-Herzberge am 20. Februar  
 aufgenommen.  
 „ X Sagen der Nova Farsal vom  
 23. Februar bis 26. März  
 „ XI Das neue Abhängig-Gebirgsgebiet  
 „ XII Die Vulkanen von  
 „ XIII Die Hochschiffahrt Klippens und  
 Umgebung und Umgebung  
 „ XIV Das große Klima 1792 I  
 „ XV Sagen des Pflanzenbauens nach den  
 Beobachtungen 1780-1788 auf dem  
 Observatorium von Juvay  
 „ XVI Die Beschreibung der astronomischen  
 Erdbeobachtung am 20. März 1794.  
 „ XVII Spektroskopische Aufnahmen des  
 neuen Sterns im Perseus, erhalten  
 auf der Loch-Sternwarte.

Fig. 1.



1959. Mai 21.

Fig. 2.



1959. Mai 26.

Fig. 3.



1959. Juni 2.

Fig. 4.



1959. Juni 4.

1959. 1959.

Tafel VI.

Magnetfeldverteilung am 18-stündigen Beobachtung  
vom O. E. Shtromovskiy.

# SIRIUS.

Zeitschrift für populäre Astronomie.

Centralorgan für alle Freunde und Förderer der Himmelskunde.

Herausgegeben

unter Mitwirkung hervorragender Fachgenossen und wissenschaftlicher Sachverständiger  
von Dr. Hermann J. Klein in Köln a. Rh.

Januar 1901.

„Wissen auf Erbauung und die Freude auf die  
Bereicherung der Menschheit.“ — Kassel.

Jeden Monat 1 Heft. — Jährlich 12 Mk.

Verlag von EDUARD HEINRICH MAYER in Leipzig.

**INHALT.** Zum 100jährigen Jubiläum der ersten Planetoiden-Entdeckung. S. 1. — James Edward Keeler. (Mit Photograph.) S. 1. — Die Aufzeichnung des Planeten Vesta. S. 2. — Die Merkurperiode Gasparis-Hypotesis. (Mitren Tafel I und 2 Text-Figuren) Von Dr. H. J. K. S. 1. — Merkurperiode Keplers. Von Heinrich Bachy. S. 9. — Corolläre Beobachtungen des Planeten Mars 1901—02. S. 11. — Corolläre Nachrichten. S. 12. — Jahreswörter Kalender. S. 22. — Notizen der Jupitermonde im Mai 1901. S. 22. — Beobachtungen der Jupitermonde. S. 23. — Notizen der Saturnmonde. S. 23. — Erklärung der Notizen der Saturnmonde. S. 24.

## Zum 100jährigen Jubiläum der ersten Planetoiden-Entdeckung.

Am Abend des 1. Januar d. J. waren 100 Jahre verflossen, seit dem ersten Male ein kleiner Planet sich dem menschlichen Auge darbte. An jenes Abend sah Piazzi von dem alten Turme seiner Sternwarte zu Palermo, als er eines Beobachters in La Caffè's Sternkatalog durch Beobachtung am Himmel berrichtigte wolke, neben dem gestrichelten Sterne eines kleinen Fixsterns  $\delta$  Orion, dessen Stellung er notierte. Am 2. und 3. Januar hatte letzterer einige Zeit verstrichen und Piazzi erkannte mit Ueberraschung, dass es sich um ein bis dahin unbekanntes, bewegliches Gestirn, welches um einen schwachen Fixstern handle. Er ertheilte indes nicht mit Publikation seiner doch überaus wichtigen Entdeckung, sondern be-

obachtete das Object bis zum 11. Februar, als es in den See verschluckt verschwand. Seine am 28. Januar an Orioni in Mailand und Ende in Berlin abgehende Fernrohrführung kann diesen und nach Monaten zu und es war fraglich, ob der Stern wirklich nach einem Hervorkommen aus den Sonnenwolken, wiedergefunden werden würde. Denn um das war 40 Tagen umfassendes Beobachtungen Piazzi konnte weder dieser noch die großen Merkwürdiger in Paris ohne Hypothesen eine elliptische Bahn des Planeten ableiten, welche den Ort desselben hinreichend genau darstellte würde. Nur Gauss war dazu imstande und er gab die Lösung der Aufgabe sogleich in vollendeter Form. Hierauf gelang es Olbers, den Planeten, nach

Jahrhundert seit der Entdeckung, wieder aufzuheben und damit war er gewissermaßen Beistand der astronomischen Welt geworden. Die «Coro» blieb nicht lange die einzige bekannte Planet in der Zone zwischen Mars und Jupiter; am 28 März 1862 fand Ober der zweiten Planetoiden, die Pallas, Quene beschreibt deren Bahn und fand, dass beide Bahnen einander kreuzen. Die von ihm darüber mit Ober geführte interessante Korrespondenz, besonders bezüglich der Frage ob beide Planeten Träger von eisigen Seiten, ist in ihrer Hauptzüge im «Stern» 1859 mitgeteilt. Am 1. September 1864 entdeckte Harding den dritten Planetoiden, die Juno und am 29 März 1867 Ober den vierten, die Vesta. Damit war für einen Zeitraum von 20 Jahren die Reihe geschlossen, dass erst 1845 fand Haezel den fünften Asteroiden (Aster), am 1. Juli 1847 den sechsten (Hebe), wessal unmittelbar die Schlag auf Schöng erfolgreichsten Planeten-Entdeckungen zunächst von Piazzi und de Gasparis, dann von Luther, Charoisse, Göttschewski, Peters, Wilson,

Brookly, Pallas und anderen erfolgten, die mit unermüdetem Fleisse alle kleinsten Sterne in Karten eintragen und diese immer wieder mit dem Himmel verglichen, um bewegliche Lichtpunkte zu erkennen. Die neue von Wolf inaugurierte Epoche der photographischen Nachforschung nach neuen Planeten, hat endlich das Verfahren auf eine höhere und erfolgreichere Stufe gehoben und lässt erkennen, dass die Ziffer von über 400 Asteroiden mit der das alte Jahrhundert abschließt, die vorhandene Anzahl dieser Merkurplaneten durchaus nicht erschöpft. Über den Ursprung dieser Schar kleiner Weltkörper und die Motive, welche die Hypothese der Zerkleinerung eines einzigen Planeten in heute durchwegs nicht aufgegeben, wenigstens anderwärts auch nicht bewiesen. Dagegen hat Prof. Käte des Sterns 1864 nachgewiesen, dass die Schar der kleinen Planeten mit allem Recht als gerignete ausgabe Quelle für alle Kometen- und Meteoriten-Bildungen im Sonnensystem anzusehen ist.

### James Edward Keeler.

**D**er Tod des Divulgen der Lieb-Steinwage Prof James E. Keeler, obgleich des Mikroskopisten recht gute univertät, ist doch der astronomischen Welt im Allgemeinen wie aus ihm aus besseren Himmel geworden. Denn bei bis zu dem letzten Tagen seines irdischen Lebens hat dieser geborene Mikroskopistener ausschließlich gearbeitet, die Gebirgsseite des Weltbaus zu ergründen und das Blick des Menschen für jene Tiefen der Kosmos, aus denen die Nebelwolke zu uns herüberströmen, zu verschleiern. Seigern und unermüdetlich hat er die grossen Untersuchungsmitel, welche ihm zu Gebote standen eingesetzt, und eine Reihe wichtiger Entdeckungen wird schon Nennen der fernsten Zukunft überfließen.

James Edward Keeler war geboren am 10. Septbr. 1837 in La Salle in Illinois. Sein Vater war einer der Offiziere des «Monitor», als dieser mit dem «Merrimack» die ersten Kämpfe zwischen gepanzerten Kriegsschiffen bestand. Im Jahre 1858 wandte die Familie Keeler nach Mayport in Florida über, wo James Edward sich durch Privatunterricht zum Besuche der Universität vorbereitete. Darauf erwarb seine Vorliebe für astronomische Beobachtungen und 1875 errichtete er sich ein kleines Observatorium, dessen Beschaffenheit Instrumente er in der Hauptsache selbst anfertigte. Sein «Reflexion» hatte zwei Zoll Öffnung und in seinen Aufzeichnungen aus der damaligen Zeit steht zu lesen: «1875, Nov. 29. Die

Linien kamen heute Abend an, ein zwölfköpfiges astronomisches Observatorium und zwei planetarische Linsen zum (Umsatz) 1875, Dichte 12 -Rechte von Teleskop auf die Sonne und sich zum ersten Male die Ringe des Saturn - (Oct. 14 -Sah den Ringen in der Leyer, wenn Mond des Saturn, ist vor Stern des Trapes.- 1876, Januar 28 -Stand heute Morgen 4<sup>1/2</sup> Uhr auf und wandte mein Teleskop zum ersten Male auf den Jupiter.-

Im Jahre 1877 konstruierte er für seinen Gebrauch einen Merkurieren mit mehreren Kernen, die er von 15 zu 15 selbst tat. In dem nächsten Jahre bezog er die John Hopkins Universität und lehrte 1878 Prof. Hastings nach Colorado zur Beobachtung der letzten Sonnenfinsternis am 28 Juli. Als 1881 Professor Langley eine Assistenten am Allegheny-Observatorium beauftragte und sich wegen einer geeigneten Parabelschicht an der John Hopkins-Universität wandte, beauftragte diese den jungen Koker. -Ich erlaube dem Prof. Langley - so sagt unlanges einer derjenigen, auf deren Ratzen die Anstellung in Allegheny erfolgte - dass mein Hauptgrund für die Empfehlung Kokers dazu besteht, dass dieser nicht behauptet, etwas zu kennen. - Diese Bescheidenheit des berühmten Harnschlensers steht im widersprechendem Kontrast zur Unbescheidenheit mancher Universitäten, die von ihrer Wichtigkeit überzeugt sind und häufiglich von sich reden machen wollen.

Als Prof. Langley seine nachmalig so berühmte gewundene Expedition zur Bestimmung der oberen-Sonnentemperatur dem Mr. Whitney in Kalifornien unternahm, begleitete ihn Koker als Assistent. Nach seiner Rückkehr 1882 legte er sich nach Deutschland und hier zunächst in Heidelberg bei Galle's Optik und Elektrolyse, bei Daxner Chemie und bei Fuchs Integral-Rechnung, im darauf folgenden Winter in Berlin bei Hülsholtz und Kayser Physik, bei Bangs und Cils-

höfers Mathematik. Eine Laboratoriums-Arbeit Kokers aus dieser Zeit behandelt Untersuchungen über die strahlende Wärme von Kohlenoxyd. Vom Juni 1884 bis zum April 1885 besuchte Koker wieder als Assistent am Allegheny-Observatorium und half Prof. Langley bei dessen wichtigen Untersuchungen über die Wärmestrahlung des Mondes und über den infraroten Teil des Sonnenspektrums. Anfangs 1886 erhielt er eine Berufung als Assistent auf die neu begründete Licht-Sternwarte, und lagte am 25 April und 28. Hamilton an, wo er sogleich das Zerstreuungssysteme. Mit völliger Fertigstellung des Observatoriums übernahm Koker die spektroskopischen Arbeiten. Das große Sternspektroskop des Lick-Observatoriums ist hauptsächlich nach seinen Angaben hergestellt worden und es hat nach Prof. Campbell's Urteil für Objektiv-Beobachtungen bis jetzt noch keinen Überlegenen Erfinden gefunden. Sollten sie darunter über die Arbeitsergebnisse werden, welche Koker am 30-jährigen Lick-Reflektor auf dem Gebiete der spektroskopischen Astronomie ausgeführt, so würde dazu der Raum mangeln, sie finden sich zudem in den früheren Bänden des »Stern«.

Hier mag nur daran erinnert werden, dass Koker die Spektren des Saturns und des Uranus genauer untersuchte und feststellte, dass das letztere nicht, wie Lockyer behauptete, helle Linien enthielt, sondern dass die von Huggins dem Stickstoff charakteristische Linie im Spektrum der Nebellocke herausgeht diesem Elemente zugehörigen werden kann, sondern wahrscheinlich Umgekehrte ist. Außerdem bestimmte er bei einer Anzahl von Nebellocken die Eigenbewegungen in der Gestaltlinie zur Erde und ebenso die Eigenbewegungen anderer Protonen. Im Jahre 1891 erfolgte eine Ernennung zum Direktor des Allegheny-Observatoriums, als Nachfolger Langley's. Auch hier wurde es vorzugsweise astro-photographische Untersuchungen mit

denn er sich beschäftigte. Am meisten Aufsehen erregten seine Arbeiten über das Spektrum des Seltens und seiner Ringe. Die von Kauter erhaltenen Photographien zeigen deutlich die relativen Verschiebungen der Spektrallinien des Ringes, welche der stetig progressiven Bewegung beider Ringhälften entsprechen, und außerdem lassen die Neigungen dieser Linien erkennen, dass die äusseren Enden weniger verschoben sind als die inneren, wovon folgt, dass die Ringtypen des Seltens aus getrennten Teilen besteht, die von Hatten von Mercur bis zum Saturn reichen.

Als Prof. Hayden 1886 von der Leitung der Lick-Sternwarte zurücktrat, wurde Koller zu seinem Nachfolger ernannt und im Frühling 1888 hielt er übernahm seinen Einzug auf dem Mt. Hamilton, dasortmal als Direktor des grossen Observatoriums. Seine hauptsächlichste Thätigkeit als Beobachter wendete er jetzt den Nebelflecken zu, von denen er mehrere des grossen Crossley-Reflektors, dessen geeignete Anstellung erst ihm gelang. Photographien von bis dahin unerreichter Deutlichkeit gewann. Die wichtigsten Ergebnisse dieser mühsamen Arbeiten sind dem Lesern des „Sinn“ genugsam bekannt. Was er als Direktor der grossen Sternwarte seinen Untergebenen und Besuchenden war, ist im Einzelnen nicht

auszusprechen. Wie sein Leben selbst bezüglich der Wissenschaft gerichtet war, so liess er auch jedem seiner Mitarbeiter rathen in derjenigen Richtung arbeiten, auf die Individualität und Neigung desselben hinwies. Er war ein wahrhaft edler Charakter, ein wahrhafter Geist. Obgleich von einem sogenannten Revolutionär bestrift, war

er ausserordentlich thätig und mehr als schon ausgedrückt dass dieser der Wissenschaft gewidmete Dasein so bald am Ziele sein würde. Noch Ende Juli, als er eine kurze Erholungsreise in den nördlichen Teil Kaliforniens unternahm, konnte man nicht sehen, dass er seine Thätigkeit nicht wieder aufnehmen würde. Abends übernahm, die sich am 10. August ereignete, vernichtete ihn in S. Francisco. In letzter Hilfe zu suchen, doch blieb dass Fruchtes und am 12. August wurde ein Schlagschiff tödlich. Das Historischen



James Edward Keeler †

liebvolles Gutes und Väter, die Freunde und Mitarbeiter aus dem edlen Menschen, die astronomische Welt beklagt den grossen Himmelforscher, der mitten aus seiner Thätigkeit unerhofft abgerufen wurde. Aber so kurz dieses Leben gewesen ist, wenn es nach Jahren gemessen wird, so reich war es an Früchten wissenschaftlicher Thätigkeit und die Andenken an James Keeler wird in Jahrhunderten nicht erlöschen.

## Die Achsendrehung des Planeten Venus.

Die Frage nach der Umdrehungsdauer des der Erde am nächsten befindlichen Hauptplaneten beschäftigt die Astronomen seit beinahe 240 Jahren, ohne dass eine endgültige Lösung derselben erreicht worden wäre. Ganzens Zeit hindurch wurde in dieser Art Regel betrachtet, dass die grossen Planeten innerhalb der Asteroidenzonen in nahezu 24 Stunden um ihre Achsen sich drehen und das abweichende Ergebnis, welches bezüglich der Venus sowohl Francesco Bianchini gefunden hatte — nämlich eine Rotationsdauer von 24<sup>1</sup>/<sub>2</sub> Tagen wurde also sehr ausserhalb jeder Wahrscheinlichkeit standes betrachtet, dass man ihm keine ernsthafte Beachtung zuschrieb. Erst die Untersuchungen, welche Schiaparelli über die bei dem bekannten Arbeiten bezüglich der Rotation der Venus veröffentlichten<sup>1)</sup> ergaben, dass die Annahme einer 24-tägigen Rotationsdauer der Venus wenigstens eine Begründung besitzt und die spätere Beobachtungen Schiaparellis führten dazu zu der Überzeugung, dass Venus sich wahrhaftig in dem gleichen Zeit um ihre Achse drehen, in der sie auch um die Sonne läuft, also in rund 225 Tagen, und dass ihre Drehungsachse nicht senkrecht zur Bahnebene steht. Das Aufhellende dieses Ergebnisses wurde einigermaßen gemildert durch den früher von Schiaparelli geleiteten Nachweis, dass der Planet Merkur während seines Umlaufs um die Sonne nur eine einzige Umdrehung um seine Achse vollführt, also der Sonne stets die nämliche Seite zuwendet. Allda wenn das Ergebnis bezüglich des Merkur sogar von den Astronomen angenommen wurde, weil es durch unzweifelhafte Beobachtungen deutscher Flecke auf der Merkursoberfläche gestützt war, blieb die Schluss-

folgerung bezüglich der Rotation der Venus nicht unangefochten, da die direkten Beobachtungen, auf welche sich Schiaparelli berufen konnte, weit ungenügender und Unter diesen Umständen ist das Problem der Venus-Rotation auch heute noch nicht als erledigt zu betrachten und jeder neue Beitrag zur Aufklärung über dasselbe ist willkommen. Einen solchen hat neulichs Paul Adolf Müller, Professor an der geographischen Universität in Bonn veröffentlicht.<sup>2)</sup> Dass Usserwitz ist die Nachfolgerin des ehemaligen Collegio Romano, dessen Observatorium durch Seccis Arbeiten widerstand wurde. An diesem Observatorium hatte auch Seccis Vorgänger, der ausgezeichnete Beobachter P. de Voss gearbeitet und speziell war derselbe die Rotation des Planeten Venus untersucht worden. Das war unter der Leitung, welche Prof. Müller verantwortete, die nämliche Problem nochmals vorzunehmen. Am liebsten hätte er zu diesem Zweck auch das alte Instrument eines 5 Zolligen Refraktor von Grubbem benutzt. Das war aber unmöglich, weil 1871 die italienische Regierung die alte Sternwarte in Beschlag genommen, und an Stelle des Collegio Romano von dem Jesuiten zu der neuen Universität eine neue Sternwarte auf dem Janiculum gebaut worden war. Dieses Observatorium besitzt einen prachtvollen 18-zölligen Refraktor und Prof. Müller hat daher denselben, jedenfalls mit vorzüglicher Instrument, zu seinen Beobachtungen benutzt. Derselben begannen am 22. Juli 1895 und wurden mit Unterbrechungen bis Ende 1896 fortgeführt. Derselben umfassen je hinsichtlich alle Phasen, welche Venus der Erde zeigt. Wie alle seine Vorgänger, so ist auch

<sup>1)</sup> R. Istituto Lombardo Sci. II., Vol. XXXI, Fasc. IV—X, Milano 1890.

<sup>2)</sup> *Memorie della Pontificia Accademia dei Nuovi Lincei*, Vol. XXI, Rom 1896. Deutsch: *Ueber die Achsendrehung des Planeten Venus*. Münster 1897.

P. Müller in der Lage gewesen zu constatiren, dass Flecke auf der Scheitel der Venus niemals schwach sind und deshalb zu sehen sind, sondern höchstens nur als vage, unbestimmte Andeutungen derselben reghten aber manchmal doch im Verlauf von mehreren Stunden verschiedene Fortbewegungen im Sinne von Osten nach Westen, die also auf eine Rotation von kleinerer Dauer hindeuten, und jedenfalls mit einer solchen von 24 Stunden im grolen Einklang stehen. P. Müller faßt seine Ansicht in folgender Weise zusammen:

1. Die dunklen Flecke haben im allgemeinen ihren Grund auf dem Planeten selbst.

2 Derselben dauern oft Stunden lang an und kehren von einem Tage zum andern wieder, die Ansichten in jedoch manchem Wechsel unterworfen.

3 Die natürliche Annahme wird sein, als gewisse Unterbrechungen in der dichten und wolkenreichen Planetenatmosphäre anzuschreiben.

4. Die Wolkenlichter werfen das Sonnenlicht mit starkem Glanze zurück, da dieselbe Ebenen aus ziemlich Tiefe haben muss, so ist es klar, dass der Planetenrand nie höher steht als selbst die Flecke selbst.

5. Angenommen, Venus drehe sich in 24 Stunden einmal um ihre Achse, so ist es klar, dass die Leuchte des Planeten sich mittheilt. So erklärt es sich, weshalb zuweilen an Fortücken jenseit Flecke im Sinne der Drehung, d. h. fast stets von Ost nach West, wahrgenommen sind.

6. Nirgend wird öfters von so hübschen Gebilden jenseit ihrer Ordnung erwartet, als es was die Richtung, als es was die Gleichmäßigkeit dieser Bewegung angeht, wie wir diese beim Monde oder auch beim Planeten Mars zu beobachten gewohnt sind.

7. Wer sich daran erinnert, wie unsere irdischen Welken je nach ihrer Form, Höhe, Stellung und besonders

je nach ihrer der Sonne zugewandten Oberfläche, eine so verschiedeneartige Färbung annehmen, dem wird es nicht Wunder nehmen, dass auch jene Gebilde des Planeten Venus eine solche wechselvolle Mannigfaltigkeit bieten.

8. Derselben vollständig vom nördlichen Beobachtungspol aus anschauen zu wollen, scheint unstatthaft. Es wäre sogar denkbar, dass die Atmosphäre des Planeten in gewissen Zeitperioden selbst zur Zeit der Venus sich für regelmäßige Drehungsbeschleunigung günstiger gestalte.

Aber, könnte man einwenden, wie soll man es denn bei der Annahme einer solchen Drehung erklären, dass die Flecke oft lange dieselbe Stellung bezüglich des Planetenrandes, sowie der Tag- und Nachtgrenze (jenseit Terminator) beibehalten? Mühen man da nicht garwohl eine Eigenbewegung der Welken gegen die Rotation des Planeten anzunehmen? Und müsste diese Eigenbewegung nicht zweifellos die unglückliche Geschwindigkeit von etwa 20 Me in der Sekunde haben?

Der Einwand ist gewiss berechtigt, allein die Lösung dürfte nicht so schwierig sein.

Zweifel könnte man erwidern, dass jene (teilweisen oder gänzlig) Unterbrechungen der Wolkenlichter schon durch bloße Wirkung der Perspektiv in der Nähe des Planetenrandes verschwinden müssen, weshalb nur das älgrenste Aussehen der Oberfläche derselbe bleibt, während die des Aussehen verändernden Schichten verschwinden sind. Dieses Ähnliche bemerkt man ja auch bei dem sogenannten Fackeln der Sonne. Diese beobachtet man gewöhnlich nur in der Nähe des Sonnenrandes, wo sie fast zulezten scheitern, während sie doch ohne allen Zweifel sich fortbewegen und mit der Sonne sich um deren Achse drehen; bei ihrem Durchgange durch die Mitte der Sonne werden sie eben unsichtbar. Allerdings liegt die Atm-



schkeit hier nur in der schiefen festen Lage, nicht in der Ursache der beidenseitigen Ercheinung.

Sodann bleibt zu bedenken, wie das Flammrohr bereits hervorhob, dass selbst hier auf unserer Erde nicht selten dieselben Witterungsverhältnisse sich von einem Tage auf den anderen zu gewisser Stunde wiederholen. So finden wir beispielsweise namentlich in einigen Himmelsstrichen am Morgen Nebel, gegen Mittag Gewitterregen, gegen Abend Regenbogen u. dgl. Klimate Zustand wie man ausserhalb der Erde gelagerten Gasstrahlen, etwa vom Monde oder von der Venus aus, diese Vorgänge beobachtet, so würde er fast stets in der Nähe der Ueberrinde von Tag und Nacht, in der Nähe des Terrastars, dasselbe Licht und Schattengebilde wahrnehmen. Diese würden hier fotografisch gefahren und konnten hierdurch Anlass geben zu dem fälschlichen Schlusse, die Erde verführe keine rasche Drehung um ihre Achse.

Mit neuen Worten die zufällige und scheinbare Periodicität grosser Flacke mit Bezug auf die Tag- und Nacht-

gerne der Venus findet auch seine Erklärung bei der Annahme einer unvollkommenen schnellen Rotation des Planeten. Die gegenseitige Fortschreitend liege aneinander Gebilde in fortwährend gleicher Richtung von Osten nach Westen findet bei Annahme einer ungenau langsame (bis nach hundertsten von Tagen) vollendeten Drehung keine Erklärung.

Darauf müssen wir auch die positiven Beobachtungen dieser Untersuchungen, welche für eine so langsame Rotation sprechen.

Können sich die von diesen vorgebrachten Gründe nicht widerlegen, so hängt die Aufgabe anzuweisen angriff. Schenken wir die für die eine, wie für die andere Ansicht angeführten Beweise gleich wahrscheinlich, so müssen wir unser Endeziel einer weiteren Aufklärung überlassen. Sollten aber die Gründe für die eine, die der anderen an Zahl und Gewicht weit überwiegen, so werden wir unsere Hypothese, ohne jedoch schon dies weitern die Unmöglichkeit der anderen zu behaupten.

## Die Mondlandschaft Campanus-Hippalus.

(Hierzu Tafel II)

Diese Landschaft gehört zu den interessantesten der ganzen Mondoberfläche, denn sie gewährt den Anblick einer nahezu kreisförmigen mit aller Formes, welche aus der Mondoberfläche hervorgeht. Hippalus, Krater, Bergmassen, sind zahlreiche Gebirgsgruppen, Hügelzüge, Ebenen und Nöten. Demnach ist, dass die innere Gestalt dieser Oberflächenbildungen offenbar Analogien über Vergleich bei Entstehung derselben sein, also ein grosses wissenschaftliches Interesse gewährt.

Auf Tafel I ist die in Rede stehende Gegend in Lichtdruck dargestellt in Wiedergabe der photographischen Aufnahme dieser Mondtrichter, welche in Paris 1876, April 23, Abends, 10 Tage 15,7 Stunden nach dem Neumonde erhalten wurde. Sie bildet einen Teil von Blatt VIII der grossen photographischen Karte des Mondes, welche vom Pariser Observatorium herangezogen wird.

Die frühesten Beobachter des Mondes als wissenschaftlich Schreiber, der in Ende des 16. Jahrhunderts beob-

schick, haben diese Landschaft nicht dargestellt. Sie trachten sich zunächst bei Lohmann auf Section VII von dessen Wandkarte, was besser und charakteristischer aber auf der Abbildungen Monikane und wiederum besser auf der grossen Wandkarte von J. Schmidt. Vergleicht man aber diese letztere Darstellung mit der nun vorliegenden Photographie, so wird auch der Naturforscher sagen, dass die Zeit der lediglich schematischen Darstellungen der Hochoberfläche in der Wissenschaft der Höhenphotographie unwiderbringlich vorbei ist und im allgemeinen nur noch Darstellungen, welche die photographische Aufnahme bei verschiedener Beleuchtung zur Grundlage haben, von Wert sind.

Betrachten wir nun zunächst die vorliegende Tafel I im Detail, so erkennen wir in dem rechten unteren Viertel derselben aus der Wandkarte aufzunehmend den südwestlichen Teil der grossen Fläche des Mars Hamarum mit einer Anzahl gegen Südwest hin gekrümmter Hügelzüge, von denen der mittlere in der Mitte seines Zuges von einem Krater durchbrochen ist. Dieser Krater bildet die Bezeichnung Doppelhügel D und die Höhe seines Gipfels über dem Meer beträgt 212 m. Steigt man von dieser Stelle südwestwärts gegen das Ringgebirge Hippalus, so trifft man auf das südliche Ende der Umrandung föhli, nach zeigt sich an dieser Stelle nichts aus der Richtung des schmalen Weges hindurch. Das letzte der Hippalus wird von einer Rille durchzogen, die aus dem Gebirge im Süden kommt und nach dem Nordwest des Hippalus verläuft, sich westlich gegen Nord erstreckend. Sie ist also offenbar jünger als die Formation Hippalus. Entdeckt wurde diese Rille von Müller im W. Debes 1832, und diese Debes schätzte er auf 500 m. Ausserhalb des Hippalus sieht man noch zwei andere Rillen, beiderseitig gekrümmt und weiter fortziehend. Zwei kleinere, Ver-

schieden folgt hier eine Zeichnung dieser Rillengruppe, wie ich sie am 22. Mai 1892 skizziert habe.

Der südliche Teil der inneren Rille wird als Campanus  $\gamma$  bezeichnet, ihre nördliche Fortsetzung oberhalb des Kraters Campanus A, den sie in einer



Fig. 1. Rille zwischen Campanus und Hippalus, 22. Mai 1892.

schmalen Schlucht durchzieht, bezeichnet Müller als Hippalus  $\gamma$  und der grosse Krater, auf den sie nordwärts zufließt, ist Agatharchides A. Sie setzt sich demnach zusammen aber noch fort und endigt in einer tiefen Schlucht zwischen Hügeln. Die photographische Mandaufnahme zeigt dieses Rillensystem sehr klar und lässt erkennen, dass die drei Ovale, von denen es besteht, sich im Zuglande südwestwärts aneinander nähern, gleich als wenn die Hochoberfläche durch die eine gewisse Krümmung zusammengeschoben worden wäre. Solcher Horizontalschieb wird von Prof. Sans nach für manche irdische Formationen angenommen. In der betrachteten Gruppe ist zwischen den Rille  $\gamma$  und  $\delta$  noch eine Rille  $\epsilon$  angedeutet, welche auf der photographischen Darstellung nicht zu sehen ist. Diese Rille ist ebenso fern und ist ausser von mir nur noch von J. Schmidt gesehen worden. Das Ringgebirge Campanus, in dessen Nordost die Rille  $\gamma$  verläuft, hat 4 1/2 Meilen im Durchmesser



Seite 100.

Tafel I.

Die Mondlandschaft Hippalus und Umgebung

und fällt im östlichen Teile nach innen ab bis zu 2000 m Tiefe ab. Ein mit mehreren Kratern besetztes Plateau verbindet es südwestwärts mit dem Kruggebirge. Weiter, das im Innern weniger tief und ohne Centralberg ist. Südöstlich von beiden dehnt sich eine große Ebene aus, in deren südlichem Teile der schöne Krater Ramades liegt. Derselbe bildet das Centrum einer Anzahl von Kratern. Auf der Photographie sind dieselben nur schwach angedeutet, am deutlichsten erst, von denen die eine den Nordwall des Ramades von aussen wie eine Zaungr angeht. Am 12. Februar 1878 bei ungewöhnlich guter Luft erkannte ich, dass diese Rille an beiden Stellen des Walls völlig durchbrochen ist und dass dieses abgetrennte Stück des Walls nach deutlich nach aussen heraustrittet ist. Fig. 2 gibt eine Skizze der Umgebung des Ramades mit dem Rillen und kleinen Hügeln, die ich im Jahre 1878 bei 1866 dort nach und nach gesehen habe.

Eine sehr schöne Darstellung des Ramades und seiner Umgebung hat J. M. Kruger gegeben. Sie findet sich im „Atlas“ 1869, Tafel I, und in Krugers

Mond-Atlas, Tafel 26. Kruger hat die gute Wahrnehmung gemacht, dass der Krater m., dem er den Namen Mark gegeben hat, im Innern noch einen se-



Fig. 2. Ramades und seine Rille nach Beobachtung im Jahre 1878—1880.

kundigen Wall hat, in dessen Centrum ein kleiner tiefer Krater sich befindet. Dass ein Ringgebirge noch eine innere Umwallung hat, ist schon sehr selten, dass aber im Centrum dieser letzteren noch ein kleiner Krater sich befindet, ist meines Wissens auf dem Monde sonst nicht beobachtet worden.

Dr. Klein.

## Kometenartige Meteore.

Von H. Boreas.

Im letzten Jahrzehnt sind mehrfach Meteore am Sternenhimmel gesehen worden, die, Kometenerscheinungen gleichend, als ob sie Kometen und Ungewöhnliches in hohem Grade die Aufmerksamkeit der Beobachter erregt haben. Solche Meteore sind schon lange vor unserer Zeitrechnung, wie auch im Mittelalter wahrgenommen und für „Kometen“ gehalten worden.

Von der Grösse hergibt man nicht immer gleichen Erscheinungen kann der, welcher sie nicht mit eigenen Augen sah, sich nur schwer eine richtige Vorstellung machen.

Die Erscheinungen bestehen meist aus einem kometenartigen Kopfe geworden auch ohne eine Schwanz von schlingem Aussehen, der manchmal mit einem hellen Kern versehen ist, sowie mehreren kleinen und wenig ausserordentlich langen, breiten und meist gekrümmten Schwänzen, welcher gewöhnlich gewisse Zeit am Himmel sichtbar bleibt, ohne aber die Beweglichkeit zu haben, wie die grossen Feuerkugeln nichtleuchtenden Schwänze, sich im Fortdrehen, Verwicklungen, Krümmen oder dergleichen unterscheiden. Der gekrümmte Schwanz verleiht der Erscheinung, die durch den

plötzliche und unerwartete Auftritten mit mehr oder minder hellem Glanz, wenn durch die grosse Ausbreitung am Himmel ganz überraschend auf den bewundernden Beschauer wirkt, die Gestalt eines prächtigen Komets, der nahe der Erde kreuzt. Zumeist machen diese Gestirde auf ihrem Wege Hell und erblauen allmählich, ihm ursprüngliche Form beibehaltend, auf dem zusammengehenden Ruhepunkte, andere jedoch langsam dahin, bis sie nach und nach erlöschen, als wenn sie in weissen Pannin dem Auge verschwinden. Die Farbe dieser Gestirde wird sehr verschieden angegeben. Das von mir am 25 Juli 1861 gesehen, noch fast in voller Entzerrung laufende wunderbare kometenartige Meteor hatte auf seiner gesamten Ausbreitung eine weissgelbliche in das Graue spielende Farbe.

Geh. Rat Galle in Bremen, der ein solches Nebelbild selbst nicht gesehen zu haben scheint, hat auf eine Anfrage des Prof. Dr. Krieger betreffs solcher Erscheinungen folgende Ansicht ausgesprochen (Astron. Nachr. No. 3036):

„In Betreff der eigenartigen kometenartigen Erscheinungen möchte ich glauben, dass, wenn es nicht besonders gefornie Wolkenbildungen waren, es rufschwebeliche Schwärze von Meteoren gewesen sein können, wie dieselben oft viele Minuten hindurch und zweifeln länger als eine Stunde in Form von weisschen Raucherwolken zurückblieben, um dann sehr allmählich zu verschwinden. Ihre Form ist sehr verschieden, tritt zunächst gewöhnlich an die Stelle des allmählig leuchtigen Meteorenschweifes und bleibt mehrere längere Zeit gedulig. Häufig jedoch krümmen sich dieselben allmählich in verschiedene Formen, je nach der Richtung und Art der in den höchsten Regionen der Atmosphäre herrschenden Luftbewegungen. Auch sind es nicht immer die hellsten Meteore, welche nach dem Verschwinden der leuchtenden Schwärze übertrüge länger andauernde weissliche Strahlen hinter-

lassen, sodass man wohl das Meteor selbst vorher übersehen haben kann.“

Nach meinen Beobachtungen kann ich mich diesem mit toberaten Meteo ausgesprochenen Gutachten, dass jene Gestirde nachtrüge Schwärze grosser Feuerkugeln sind, nur ausmassen. Bei einer späteren Gelegenheit schreibt Geh. Rat Galle, dass „die von Kometen ausströmenden Erscheinungen als Schwärze oder Zerstäubungsprodukte sehr grosser Meteor zu betrachten seien.“

Über die Mächtigkeit derselben sagt Gallestedt auch mit Recht: „die grossen Balken, welche Schwärze von mehreren Grad Länge nach sich ziehen, müssen ein bedeutendes Volumen haben.“ Und Herr Faye gibt die Ansicht kund, der jetz. Schwärze sich ausbreitet: „man muss aus der geringen Beweglichkeit der zurückgebliebenen Schwärze schliessen, dass diese sich in der Exhosphäre und nicht in dem innerhalb derselben liegenden Weltraum befindet.“ (Compt. rend. t. 33 p. 687).

Wenn nun mir wahrgenommene Meteor einen schrägen Weg von  $315^{\circ} + 6^{\circ}$  nach  $262^{\circ} + 25^{\circ}$  und blieb von  $11^{\text{h}} 20^{\text{m}}$  bis  $11^{\text{h}} 25^{\text{m}}$  sichtbar. Ohne eigentlichen Kopf, erschien es vom abgerundet, etwa in Nordgrüsse, dehnte sich jedoch nach dem Ende zu nach und nach zu fast drei Nordbreiten aus und verfiel, in gewöhnlicher Länge am Himmel hingestreckt, endlich sichtbar mit seinem oberem Ende in eine etwas verwickelten Spinn. Im langsamem Herabsinken wurde das Meteor glanzvoller und breiter und dann, schmäler stellen bleibend, blühte auf seiner ganzen Fläche zahllose Sternchen auf, die Wanderbewegungen der ganzen Erscheinung. Nach und nach erlosch das Ganze, indem es von der beiden Enden her nach der Mitte hin verblühte. Es war der schönste und interessanteste Meteor, das ich je gesehen habe.

Herrnrat habe ich nun alle dafür stehenden Notizen denartiger Erscheinungen gesammelt und in ein Verzeichniss gebracht.

Datum	Kontakts- empfang	Datum der Über- sicht vom, der Anmeldung		Kontakts- empfang	Qualitäts- notizen	Bemerkungen
		Heute	Morgen			
114 Okt 1941	—	—	—	—	Flüchtling Lensch, Weidenbach 7. August 1941	Kontaktsaufnahme erfolgte nicht in dieser Nacht.
—	—	—	—	Verstärkt	Schwarze	Die zwei Jahre nach dem Einbruchfall am 1. April 1939 (1940) sind von den Flüchtlingen keine Nachrichten erhalten.
115	—	—	—	—	Schwarze	Esse (Kontaktsaufnahme) wurde durch Verzug der Post vom 10. Okt. 1941 verhindert.
116	—	—	—	—	Schwarze	Esse, kein neue Kontaktaufnahme möglich.
117	—	—	—	—	Lensch, Weidenbach 7. August 1941	Die Gruppe, aus der es sich um einen Kontaktsaufnahme, wurde durch Verzug der Post vom 10. Okt. 1941 verhindert.
118 Okt. 14	—	—	—	Flüchtling	Lensch	Verstärkt ohne Namen mit dem Kontaktsaufnahme.
119 Novbr. 1941	—	—	—	—	Lensch	Kontaktsaufnahme wurde durch den Verzug der Post vom 10. Okt. 1941 verhindert.
120 Wirt, mit Tag, 6. Vollgebrannt	—	des	Heute	China	Flüchtling	Es wurden die Namen, ohne die der Kontaktsaufnahme, wurde durch Verzug der Post vom 10. Okt. 1941 verhindert.
121 Mai 9	—	—	—	China	Flüchtling	Die Gruppe, aus der es sich um einen Kontaktsaufnahme, wurde durch Verzug der Post vom 10. Okt. 1941 verhindert.
122 Ende 14 1941 Juli 7	10 ps	—	—	—	Lensch	Kontaktsaufnahme wurde durch den Verzug der Post vom 10. Okt. 1941 verhindert.
123	—	—	—	—	Flüchtling	Kontaktsaufnahme wurde durch den Verzug der Post vom 10. Okt. 1941 verhindert.
124 (1941)	—	—	—	—	Lensch	Die Gruppe, aus der es sich um einen Kontaktsaufnahme, wurde durch Verzug der Post vom 10. Okt. 1941 verhindert.
125	—	—	—	—	Lensch	Kontaktsaufnahme wurde durch den Verzug der Post vom 10. Okt. 1941 verhindert.
126	—	—	—	—	Schwarze	Die Gruppe, aus der es sich um einen Kontaktsaufnahme, wurde durch Verzug der Post vom 10. Okt. 1941 verhindert.
127 Flucht- Mittwoch 1941	—	—	—	—	Lensch	Kontaktsaufnahme wurde durch den Verzug der Post vom 10. Okt. 1941 verhindert.
128	—	—	—	—	Lensch	Die Gruppe, aus der es sich um einen Kontaktsaufnahme, wurde durch Verzug der Post vom 10. Okt. 1941 verhindert.
129 vor Weidenbach	—	—	—	—	Lensch	Die Gruppe, aus der es sich um einen Kontaktsaufnahme, wurde durch Verzug der Post vom 10. Okt. 1941 verhindert.
130 Ende	—	—	—	China	Flüchtling	Die Gruppe, aus der es sich um einen Kontaktsaufnahme, wurde durch Verzug der Post vom 10. Okt. 1941 verhindert.
131 Juli 21	14 ps	—	—	China	Flüchtling	Die Gruppe, aus der es sich um einen Kontaktsaufnahme, wurde durch Verzug der Post vom 10. Okt. 1941 verhindert.
132 Mai 9	—	—	—	China	Flüchtling	Die Gruppe, aus der es sich um einen Kontaktsaufnahme, wurde durch Verzug der Post vom 10. Okt. 1941 verhindert.

Datum	Anzahl Kamp- stränge	Länge des Str. 1920, 1921, 1922		Anzahl Kamp- stränge	Ordnung nummer	Bemerkungen
		Stränge	Stränge			
1920	—	—	—	—	Lanzh	Am Ende des Stranges befindet sich ein kleiner Knoten
1924 Febr. 26	—	—	—	—	China	Bei
1921	—	—	—	—	Colony of Siberia	Bei der Höhe Pomoren- stränge
1924 Dechr. 18	—	—	—	—	Ordnung Paris	J. Schmidt Grog
1920 April 20	14 200 gr	—	14	—	Paris	Stränge (14)
1920 Juni 3	14 gr	—	14	—	Paris	Stränge (14)
1920 Dechr. 18	1—120 gr	—	—	—	England	Spezial
1920 Aug. 18	—	—	—	—	England	Stränge
1918 Juli 2	Stränge	—	21	—	England	J. Schmidt
1918 Aug. 3	118 120 gr	—	1	—	London	v. Bogdanowicz
1918 Nov. 2	124 120 gr	—	—	—	London	v. Bogdanowicz
1912 Novbr. 11	—	—	—	—	Calcutta	Grog, England
1912 Dechr. 11	—	1	10	—	Phil.	Filgen
1919 Sept. 28	124 120 gr	—	12	—	Moskau, Wien	Schnee, Acker Nachbau
1912 Dechr. 18	—	—	—	—	Wien	Grog
1912 Novbr. 18	124 gr	—	—	—	Wien	v. Bogdanowicz
1912 Novbr. 14	—	—	1	—	Wien	J. Schmidt
1918 Aug. 10	124 120 gr	—	10	—	Wien, Frankfurt	J. Schmidt
1942 April 11	49 gr	—	1	—	Frankfurt	Bei der Höhe Frankfurt
1942 August 8	14 200 gr	—	—	—	Frankfurt	v. Bogdanowicz
1942 Juli 3	17 gr	—	24	—	Frankfurt	Wochenstränge Frankfurt, 1942

Am Ende des Stranges befindet sich ein kleiner Knoten

Bei

Bei der Höhe  
Pomoren-  
stränge

J. Schmidt  
Grog

Stränge (14)

Spezial

Stränge

J. Schmidt

v. Bogdanowicz

v. Bogdanowicz

Grog, England

Filgen

Schnee, Acker  
Nachbau

Grog

v. Bogdanowicz

J. Schmidt

J. Schmidt

Bei der Höhe  
Frankfurt

v. Bogdanowicz

Wochenstränge  
Frankfurt, 1942

Bei der Höhe  
Frankfurt

Wochenstränge  
Frankfurt, 1942

Bei der Höhe  
Frankfurt

Wochenstränge  
Frankfurt, 1942

Datum	Verkehrsmittel	Lage des Verkehrsnetzes, des Verkehrs		Verkehrsmittel	Geographische Lage	Ereignisse
		Land	See			
1886 Sept. 28	1 1/2 Tage per	1	—	Österreich (West-Asien)	1 England	Der Verkehr zwischen Wien und Prag ist durch die Eröffnung der neuen Linie von Prag nach Wien (1886) wieder besser gestellt. Die neue Linie ist durch die Eröffnung der neuen Linie von Prag nach Wien (1886) wieder besser gestellt. Die neue Linie ist durch die Eröffnung der neuen Linie von Prag nach Wien (1886) wieder besser gestellt.
1888 Herbst 8	7 1/2 Tage	—	10	Preußen & Russland	1 England	Der Verkehr zwischen Wien und Prag ist durch die Eröffnung der neuen Linie von Prag nach Wien (1886) wieder besser gestellt. Die neue Linie ist durch die Eröffnung der neuen Linie von Prag nach Wien (1886) wieder besser gestellt.
1888 Herbst 11	1 1/2 Tage	—	15	Preußen	1 Japan	Der Verkehr zwischen Wien und Prag ist durch die Eröffnung der neuen Linie von Prag nach Wien (1886) wieder besser gestellt. Die neue Linie ist durch die Eröffnung der neuen Linie von Prag nach Wien (1886) wieder besser gestellt.
1888 Sept. 25	abends	—	—	Österreich (Indien)	1 Ostindien	Der Verkehr zwischen Wien und Prag ist durch die Eröffnung der neuen Linie von Prag nach Wien (1886) wieder besser gestellt. Die neue Linie ist durch die Eröffnung der neuen Linie von Prag nach Wien (1886) wieder besser gestellt.
1888 Herbst 12	1 1/2 Tage	—	1—10	Österreich & Italien	1 Westindien (1. Asien 1888)	Der Verkehr zwischen Wien und Prag ist durch die Eröffnung der neuen Linie von Prag nach Wien (1886) wieder besser gestellt. Die neue Linie ist durch die Eröffnung der neuen Linie von Prag nach Wien (1886) wieder besser gestellt.
1891 Juli 5	abends	—	—	Preußen	1 Westindien (1. Asien 1891)	Der Verkehr zwischen Wien und Prag ist durch die Eröffnung der neuen Linie von Prag nach Wien (1886) wieder besser gestellt. Die neue Linie ist durch die Eröffnung der neuen Linie von Prag nach Wien (1886) wieder besser gestellt.
1891 Juli 25	1 1/2 Tage	—	10	Preußen, Belgien & Italien	1 Ostindien	Der Verkehr zwischen Wien und Prag ist durch die Eröffnung der neuen Linie von Prag nach Wien (1886) wieder besser gestellt. Die neue Linie ist durch die Eröffnung der neuen Linie von Prag nach Wien (1886) wieder besser gestellt.
1892 Herbst 7	1 1/2 Tage	—	—	Preußen in ganz	1 Westindien (1. Asien 1892)	Der Verkehr zwischen Wien und Prag ist durch die Eröffnung der neuen Linie von Prag nach Wien (1886) wieder besser gestellt. Die neue Linie ist durch die Eröffnung der neuen Linie von Prag nach Wien (1886) wieder besser gestellt.
1894 Aug. 21	1 1/2 Tage	—	—	Österreich, Preußen	1 Ostindien	Der Verkehr zwischen Wien und Prag ist durch die Eröffnung der neuen Linie von Prag nach Wien (1886) wieder besser gestellt. Die neue Linie ist durch die Eröffnung der neuen Linie von Prag nach Wien (1886) wieder besser gestellt.
1898 Juni 7	abends	—	—	Preußen in ganz	1 Westindien (1. Asien 1898)	Der Verkehr zwischen Wien und Prag ist durch die Eröffnung der neuen Linie von Prag nach Wien (1886) wieder besser gestellt. Die neue Linie ist durch die Eröffnung der neuen Linie von Prag nach Wien (1886) wieder besser gestellt.
1897 Herbst	1 1/2 Tage	—	—	Österreich	1 Westindien (1. Asien 1897)	Der Verkehr zwischen Wien und Prag ist durch die Eröffnung der neuen Linie von Prag nach Wien (1886) wieder besser gestellt. Die neue Linie ist durch die Eröffnung der neuen Linie von Prag nach Wien (1886) wieder besser gestellt.





Datum	Rechnungs- beleg- nr.	Betreffend die Konten		Betreff- gegenstand	Inwie- fern	Bemerkungen
		Wende	Monat			
1938 Aug 2	100 100 jetz	—	—	Fachlich, Wirtschaftl.	Wochenlohn E. Anton 1938	Wochenlohnlohn für den Zeitraum 1. August 1938 bis 31. August 1938 Wochenlohn für den Zeitraum 1. August 1938 bis 31. August 1938 Wochenlohn für den Zeitraum 1. August 1938 bis 31. August 1938 Wochenlohn für den Zeitraum 1. August 1938 bis 31. August 1938
1938 Aug 24	100 100 jetz	—	—	Fachlich, Wirtschaftl.	Wochenlohn E. Anton 1938	Wochenlohn für den Zeitraum 1. August 1938 bis 31. August 1938 Wochenlohn für den Zeitraum 1. August 1938 bis 31. August 1938 Wochenlohn für den Zeitraum 1. August 1938 bis 31. August 1938 Wochenlohn für den Zeitraum 1. August 1938 bis 31. August 1938
1938 Sept 8	100 100 jetz	—	1	Rechn. u. d. d. d.	Wochenlohn E. Anton 1938	Wochenlohn für den Zeitraum 1. August 1938 bis 31. August 1938 Wochenlohn für den Zeitraum 1. August 1938 bis 31. August 1938 Wochenlohn für den Zeitraum 1. August 1938 bis 31. August 1938 Wochenlohn für den Zeitraum 1. August 1938 bis 31. August 1938
1938 Sept 11	100 100 jetz	—	—	Fachlich, Wirtschaftl.	Wochenlohn E. Anton 1938	Wochenlohn für den Zeitraum 1. August 1938 bis 31. August 1938 Wochenlohn für den Zeitraum 1. August 1938 bis 31. August 1938 Wochenlohn für den Zeitraum 1. August 1938 bis 31. August 1938 Wochenlohn für den Zeitraum 1. August 1938 bis 31. August 1938
1938 Jan 24	100 100 jetz	—	—	—	Wochenlohn für den Zeitraum	Wochenlohn für den Zeitraum 1. August 1938 bis 31. August 1938 Wochenlohn für den Zeitraum 1. August 1938 bis 31. August 1938 Wochenlohn für den Zeitraum 1. August 1938 bis 31. August 1938 Wochenlohn für den Zeitraum 1. August 1938 bis 31. August 1938
1938 Aug 14	100 100 jetz	—	—	Rechn. u. d. d. d.	Wochenlohn für den Zeitraum	Wochenlohn für den Zeitraum 1. August 1938 bis 31. August 1938 Wochenlohn für den Zeitraum 1. August 1938 bis 31. August 1938 Wochenlohn für den Zeitraum 1. August 1938 bis 31. August 1938 Wochenlohn für den Zeitraum 1. August 1938 bis 31. August 1938
1938 Sept 10	100 100 jetz	—	—	Rechn. u. d. d. d.	Wochenlohn für den Zeitraum	Wochenlohn für den Zeitraum 1. August 1938 bis 31. August 1938 Wochenlohn für den Zeitraum 1. August 1938 bis 31. August 1938 Wochenlohn für den Zeitraum 1. August 1938 bis 31. August 1938 Wochenlohn für den Zeitraum 1. August 1938 bis 31. August 1938
1938 Okt 10	100 100 jetz	—	—	Rechn. u. d. d. d.	Wochenlohn für den Zeitraum	Wochenlohn für den Zeitraum 1. August 1938 bis 31. August 1938 Wochenlohn für den Zeitraum 1. August 1938 bis 31. August 1938 Wochenlohn für den Zeitraum 1. August 1938 bis 31. August 1938 Wochenlohn für den Zeitraum 1. August 1938 bis 31. August 1938
1938 Sept 17	—	—	Rechn. u. d. d. d.	Fachlich, Wirtschaftl.	Wochenlohn für den Zeitraum	Wochenlohn für den Zeitraum 1. August 1938 bis 31. August 1938 Wochenlohn für den Zeitraum 1. August 1938 bis 31. August 1938 Wochenlohn für den Zeitraum 1. August 1938 bis 31. August 1938 Wochenlohn für den Zeitraum 1. August 1938 bis 31. August 1938
1938 Aug 10	100 100 jetz	—	1	Fachlich, Wirtschaftl.	Wochenlohn für den Zeitraum	Wochenlohn für den Zeitraum 1. August 1938 bis 31. August 1938 Wochenlohn für den Zeitraum 1. August 1938 bis 31. August 1938 Wochenlohn für den Zeitraum 1. August 1938 bis 31. August 1938 Wochenlohn für den Zeitraum 1. August 1938 bis 31. August 1938
1938 Sept 8	100 100 jetz	—	—	Fachlich, Wirtschaftl.	Wochenlohn für den Zeitraum	Wochenlohn für den Zeitraum 1. August 1938 bis 31. August 1938 Wochenlohn für den Zeitraum 1. August 1938 bis 31. August 1938 Wochenlohn für den Zeitraum 1. August 1938 bis 31. August 1938 Wochenlohn für den Zeitraum 1. August 1938 bis 31. August 1938

Datum	Verfasser in age years	Alter des Verfassers (ang. der Geschlechts)		Verfasser- titel	Spezial- methode	Eigenschaften
		Wahre	Wahre			
1886 Febr. 2	14 jäh- rig	—	—	Student	Flusswaage	Festigkeit von Baumstämmen bestimmt
1888 Mai 2	17 jäh- rig	—	16	Wanderer in Java	Die Nivea- waage	Wasser mit Quecksilber, gleich dem gewöhnlichen, verwendet in horizontalen Niveaus mit Wasser und Gefälliger Messungen
1888 Aug. 21	14 jäh- rig	—	20	Wanderer u. a. d. Ostsee	Fluss 1881	Im Jahre 1881 wurde festgestellt, dass das Wasser der verschiedenen Bächen in der Gegend von Berlin, besonders in der Gegend von Köpenick, durch Verunreinigung mit organischen Stoffen sehr ungesund ist. Die Ursache der Verunreinigung ist die Abwässerung von Fabriken, die in der Gegend von Köpenick liegen. Die Abwässerung besteht aus Wasser, das durch die Fabriken abfließt, und aus Wasser, das durch die Fabriken abfließt, und aus Wasser, das durch die Fabriken abfließt. Die Abwässerung ist sehr ungesund.
1891 Okt. 10	14 jäh- rig	—	1/2	Lehrer an der Hochschule in Berlin	Wasser- waage für Messungen in Küchen	Praktische Anwendung
1891 Okt. 10	14 jäh- rig	—	20	in der Hochschule in Berlin	Anwendung der Hydrographie	Wasser (bestimmt) von der Oberfläche des Meeres.
1892 Aug. 9	14 jäh- rig	—	—	Wald- meister	Versuchs- waage	Kontinuierliche Anwendung
1892 Aug. 17	14 jäh- rig	1	20	Verfasser in Berlin	Anwendung der Hydrographie	Wasser (bestimmt), besser als die gewöhnliche.
1892 Aug. 29	14 jäh- rig	—	—	Hilfslehrer	Fluss, Kild	Wasser (bestimmt) durch die Oberfläche des Meeres.
1892 Okt. 10	14 jäh- rig	—	—	Lehrer	Versuchs- waage	Wasser von Wasserwaage, besser als das gewöhnliche, bestmögliche Anwendung von Wasser.
1892 Aug. 9	—	—	20	Fluss	Kontinuierliche Anwendung	Kontinuierliche Wasser
1892 Febr. 11	14 jäh- rig	—	—	Berlin, Leipzig	Flusswaage & Fluss 1881	Wasser in Form eines verbleibenden Lagers.
1892 Sept. 18	14 jäh- rig	—	1. Sek.	Berlin	Berlin Tagel	Wasser mit Anwendung und auch gewöhnliche, von dem Wasser, das durch die Fabriken abfließt, und von dem Wasser, das durch die Fabriken abfließt.
1892 März 4	14 jäh- rig	—	20	in der Hochschule in Berlin	Fluss 1881	Wasser (bestimmt), für die Anwendung von Wasser.
1892 Juni 11	14 jäh- rig	—	—	in der Hochschule in Berlin	Hydrographie	Wasser (bestimmt) Wasser, besser als das gewöhnliche, für die Anwendung von Wasser.
1892 Aug. 26	14 jäh- rig	1	—	Wanderer u. a. d. Ostsee	Fluss 1881	Kontinuierliche Anwendung von Wasser, besser als das gewöhnliche, für die Anwendung von Wasser. Die Wasserwaage ist die gewöhnliche, für die Anwendung von Wasser.



1865. 1791.

Tafel II.

Der Herkules (Messier 13).

Photographische Aufnahme am 18. März 1865 von G. W. Ritchey.



Datum	Beobachtungszeit	Stand der Sonne zur Zeit der Beobachtung		Instrument	Spektroskop	Bemerkungen
		Recht. Ascension	Declination			
1888 Aug. 28	abends	—	—	Reichert'sches Refraktor	Triebspige Spiegel	Beobachtung beendet.
1888 Septbr. 3	10 pm	1	—	Reichert'sches Refraktor	Spalt-Objektiv, Prisma 30g	Es ist noch 1 Uhr abends kaum ein schwacher Schein von Venus sichtbar, aber ein schwacher Schein ist noch vorhanden, während die Sonne schon untergegangen, die die Sonne nicht mehr sichtbar ist. Die Temperatur des Himmels wird sehr niedrig, und es wird sehr dunkel, wenn sich die Sonne nicht mehr zeigt. Die Beobachtung ist beendet.

Die Beobachtungen nach Monaten geordnet, ergeben sich

Januar kein Beobacht.	April 4	März 4	Juli 8	Oktober 9	Mai 20
Februar 3	März 4	April 4	August 15	Novbr 12	—
März 3	—	Juni 4	Septbr. 3	Dezbr. 7	—

### Cerulis Beobachtungen des Planeten Mars 1888—92.

Das heutzutage berühmte Mars-Beobachter, Schiaparelli und Lowell, hat sich seit einigen Jahren als erster V. Cerulis würdig angeschlossen. Er beobachtet seinen Privat-Observatorium Collina in Torone in Italien. Dieses Städtchen liegt nordöstlich vom Genua Sasso d'Italia, in einer Meereshöhe von 208 m, und die genaue geographische Lage der Sternwarte Cerulis ist  $42^{\circ} 39' 27''$  nördl. Br. und  $9^{\circ} 34' 56''$  östl. Länge von Genua aus. Das Beobachtungsinstrument ist ein Cooke'scher Refraktor von 13 engl. Zoll Objektivöffnung, und die gewöhnlich angewandten Vergrößerungen sind 400- und 500fach. Das Instrument ist sichtbar von hoher Verdecktheit, aber auch die Luftverhältnisse in Torone müssen durchweg ausgezeichnet sein. Der von Cerulis erhaltenen Resultate, die sowohl

sowohl als seine Vorfahren, sind daher von grosser wissenschaftlicher Bedeutung und von allgemeinem Interesse, weshalb wir durchaus nicht die Ehre des Mars über, in die Lösung derselben im gewissen Sinne zuweilen. Die Karte des Mars, welche Cerulis auf Grund seiner Beobachtungen, während der Marsopposition 1888—89 erhalten hat, wurde den Lesern des «Sinn» im 12. Heft des vorigen Jahrganges vorgelegt. Sie zeigt die bekanntesten, merkwürdigsten grossen Linien in allen Teilen der Marsoberfläche zwischen  $60^{\circ}$  nördl. und  $60^{\circ}$  südl. Breite, deren Verhältnisse aus Schiaparelli entlehnt hat, und die später Lowell und andere benutzte. An merkwürdigen Einzelheiten fehlt es auch während der Beobachtungen Cerulis nicht. Es ist z. B. die Landschaft Erythraea zwischen

\*) Der Beobachtungsplan der Venus der Zeitung (Sonntagblatt 8. September 1888) bemerkt hierzu: Eine merkwürdige, komischerweise Ercheinung wird vom Professor Wolf erwähnt, die im ersten Drittel des vorigen Monats Ende August und Anfang September beobachtet wurde und die in Verbindung mit merkwürdigen Linsenveränderungen stand. Am 28. August und 2. September 1888 wurde mehrere Male ein jenseitiger Beobachter ein komischerweise Planet aus demartigen Stand am Himmel beobachtet. Er schätzte verspricht es sich durch eine oder mehrere (1000) Fernrohre, die in der Zeit des 28. August und nachher zum Atmosphären durchdrungen. Man vergesse hiermit die unvollständige chinesische Beobachtung vom März 1811.

des Längengrades von  $130^{\circ}$  und  $20^{\circ}$ . Sie trafen am 24. August 1898, als sie der Beobachter zuerst wiederholt, ungewöhnlich dunkel und einem breiten Bändchen. Eine noch dunklere schwarze Linie von  $130^{\circ}$  Länge und 4 bis  $5^{\circ}$  Breite durchstach sie genau in der Richtung von Ost nach West, etwa unter  $30^{\circ}$  süd. Breite. Sie nicht weit bis zu dem Meer Tycheman, und ausserdem bis zum Lagen sehr hart und wird vorwärts und rückwärts von zahlreichen schwachen dunklen Lagen oder Kanälen durchsetzt. In  $35^{\circ}$  Länge laufen nicht weniger als neun derselben auf die zusammen, aus allen Richtungen der Windrose und strengen sich zu einem runden, dunklen Fleck. Der Aufgangspunkt, von welchem man auf dem Meer die Längengrade im Süden pflegt, liegt an einer Landspitze, die von Nord her in den Meer Saubana vorragt und dieses in zwei gegen Nord östlich auslaufende Meeresbuchten teilt. Von diesen Buchten gehen zwei schmale Kanäle aus, die sich mit dem breiten und grossen Kanale Hülakel und Gebon verbinden, wie schon Schapartill vor vielen Jahren gesehen und gezeichnet hat. So sah auch Comblé die Verbindung im Dezember 1888, als er über zwei Monate später (1899, Februar 18) die Gegend wieder erhellte, wenn die beiden Spitzen des Meer Saubana nicht mehr gegen Nord gerichtet, sondern nördlich gegen Westen lag. Am 19. Febr. 1899 zeigte sich der Kanal Gebon verdoppelt (wie ihn die Karte darstellt), der linke Arm endigt am Deestromen, der rechte ging bis zum Meer Aodikum. Ebenso zeigte sich diese Gegend am 21. Febr. Am 21. aber war die Sache anders. Der bis dahin am Deestromen endigende Arm des Gebon erstreckte sich bis in die Landschaft Oryga, der andere bis Calibon. Zwischen beiden Armen war der Boden silberhell, und die beiden Arme selbst so grün wie die Inseln an goldgelber Farbe. Diese grünen und silberne Ausdehnung der beiden Arme des Gebon lassen längere eine einzige Deutung zu, daher göttlich,

das die nördliche Verdoppelung vor dem 21. Februar durch Bewölkung oder Bodenerhellung auf dem Meer der Wahrnehmung des Beobachters entzogen war. Der Ganges trafen im August 1898 ausserordentlich breit, so breit wie der Lagen Lagan, in  $20^{\circ}$  n. Br., am 11. und 12. Nov. war er weniger breit und setzte sich aber am 12. Decbr. bis zum Tiamm in  $55^{\circ}$  n. Br. Am 13. Februar 1899 war er dagegen kaum wahrnehmbar, am 19. wieder breit, deutlich und doppelt. Jetzt trafen sich der Lagen Lagan doppelt, ebenso der Lagen Saka, Nilowan, Tiamm und Iro. Am 20. war der Ganges ebenfalls noch doppelt.

Wie soll man sich diese plötzlichen Verdoppelungen erklären? Es ist sehr schwer, ein wirkliche physische Veränderung dieser Art zu finden, denn diese würde man auf dem Meer einen Zustand der unorganischen Natur suchen, zu dem auf der Erde nicht die Spur einer Analogie vorhanden ist. Die Verdoppelungen könnten möglicherweise von Spannungen im Ozeanfläche herrühren, denn sie stellen sich völlig und plötzlich an der Grenze der Wahrnehmbarkeit. Gerecht glaubt, dass ein grosser Teil der unorganischen Verdoppelungen überhaupt nur optisch ist und bedingt wird durch die grössere oder mindere scharfe Wahrnehmung der Objekte. Je besser und deutlicher die Hautoberfläche sichtbar wird, umso mehr lässt sich auch Canals sehen in dunkle und hellen Punkte auf, und der Anblick wechelt je nach der Schärfe der Wahrnehmung, d. h. der Deutlichkeit. Diese Meinung hinsichtlich der Bezeichnung innerhalb gewisser Grenzen, und nach der Hypothese, welche die Verdoppelung der Kanäle des Meer als lediglich optische Erscheinung darstellt, hat mancher für sich. Aber davon bleibt die praktische Anwendung der schmalen Kanäle, ihre regelmässige Durchbrechung oder Einengung in kleine runde Flecken (See) völlig unberührt, sie ist eine Thatsache, die nicht weggelassen werden kann, falls man nicht alle mög-

staptesen Wahrnehmungen überhaupt für Täuschungen erklären oder angehen soll. Ebenso ist es die Tatsache, dass die Deutlichkeit, mit der diese in geometrischer Regelmäßigkeit entdeckten Kanäle in den Jahreszeiten der Mars in Beziehung steht. Diese Tatsachen aber lediglich aus der unergreiflichen Natur erklären zu wollen, ist sehr schwer und wenig befriedigend. Warum sollte die Erde alles ein von vernünftigen Wesen bewohnter Planet sein? Und weshalb sollte das Planetengetriebe den höchsten dieser Wesen

erreichbaren Kulturgrad bereits erklommene haben? Für eine bejahende Beantwortung dieser Fragen giebt es keinen zureichenden Grund. Vielleicht zeigt die Anordnung der Weltkörper, von Planetensystem der Sonne abgesehen bis zu den äußeren Protoplaneten und Strukturten, dass der Zweck der Weltanschöpfung (wenn es gestaltet ist, darüber überhaupt zu sprechen) ein wesentlich höherer sein muss als bloss unsere Erde mit vernunftbegabten Wesen zu bevölkern. L.

### Vermischte Nachrichten.

Eine ungeheure Sonnenprotuberanz wurde am 1 Juni 1900 von F. J. Fryx an Harvard-Observatorium beobachtet. Diese Protuberanz wird einmal um 1<sup>h</sup> 14. E. Z. von dem Beobachter gesehen und sie stieg mit einer Geschwindigkeit von Sonnenweite rasch, die nur bei dem heftigsten Eruptionen auf der Sonne erreicht wird. Zuletzt erreichte sie eine Höhe von 431" über dem Sonnenrande, welche gleich ist dem 24fachen Durchmesser der Erde. Die Geschwindigkeit, mit der die Protuberanz aufstieg, betrug im Durchschnitt 104 km in der Sekunde. Die Protuberanz war durch zwei leuchtende Fäden mit dem Sonnenrande verbunden, verlief aber in der Höhe in verschiedenen Teile. Bald nachdem sie ihre größte Höhe erreicht hatte, begann sie sich zu zerfallen und drei Minuten später war die glänzende Protuberanz völlig verschwunden. Der ganze gewaltige Ausbruch aus dem Sonnenrande, als welcher die Protuberanz sich darstellte, hat im ganzen nur etwa 15 Minuten gedauert, und kann als eine wahrhafte Explosion von ungeheurer Dimensionen betrachtet werden. Die Gegend der Sonnenoberfläche wo die Protuberanz auftrat, zeigte einen kleinen dunklen Fleck, umgeben von einer entsprechenden Gruppe heller Sonnenfackeln, doch entsprachen die Protuberanz nicht aus diesen, sondern war 19" im Wege

eines großen Kreises der Sonnenoberfläche von derselben entfernt. Einige Zeit, nachdem die Protuberanz verschwunden war, traten sich nahe an ihrem Orte zwei neue Flammern, jedoch von geringer Höhe und Geschwindigkeit. F. Fryx schließt daraus mit Recht, dass die Ursache, welche diese Protuberanz hervorbrachte, diese Sitz hat im Innern der Sonne haben muss.

**Neuer Komet.** Am 20 December wurde auf der Sternwarte Niiza ein neuer Komet entdeckt. Derselbe stand in 133° 0' Rektas. und 22° 0' decl. Deklination und bewegte sich ostwärts. Er wird demnach vorzugsweise auf den nördlich gelegenen Sternwarten beobachtet werden können.

**Neue veränderliche Sterne.** Thomas D. Anderson in Edinburgh hat wieder zwei neue Veränderliche entdeckt. Der eine derselben steht im Adler in 18<sup>h</sup> 32<sup>m</sup> 40<sup>s</sup> Rektascension und 0° 35' 4" decl. Deklination (für 1855). Er fand dieses Stern 1900 Sept. 18 52 Größe. Ort 25 10. Or. Nov 9 106 Größe, sodass es offenbar ein Veränderlicher von langer Periode ist.

Der andere Veränderliche steht im Pegasus, in 21<sup>h</sup> 6<sup>m</sup> 15<sup>s</sup> Rektascension und 12° 124' decl. Deklination (für 1855). Dieser Stern war 1900 Sept. 22 5.5 Größe, am 10 Nov dagegen 10.1 Größe.



# Astronomischer Kalender für den Monat März 1901.

März 1901	Sonne				Mond			
	Wahre Berliner Mittag				Mittlere Berliner Mittag			
	Zeitgl. M. L. - W. Z.	Rektascension	Declination	Rektascension	Declination	Mond im Meridian		
1	0 42 55.99	32 48 52.99	- 7 48 50.9	7 48 50.99	+18 47 28.9	8 51.4		
2	0 44 56.00	32 50 25.99	- 7 50 51.0	8 50 51.00	18 54 29.0	89 47.9		
3	0 46 56.01	32 51 59.00	- 7 52 51.1	9 59 51.10	9 47 29.1	11 4.9		
4	0 48 56.02	32 53 33.00	- 7 54 51.2	10 10 51.20	9 56 29.2	11 49.9		
5	0 50 56.03	32 55 07.00	- 7 56 51.3	10 21 51.30	+ 1 04 29.3	11 51.0		
6	0 52 56.04	32 56 41.00	- 7 58 51.4	10 32 51.40	- 1 04 29.3	89 12.0		
7	0 54 56.05	32 58 15.00	- 7 59 51.5	10 43 51.50	7 04 29.4	83 19.9		
8	0 56 56.06	32 59 49.00	- 8 01 51.6	10 54 51.60	14 04 29.5	14 24.9		
9	0 58 56.07	33 01 23.00	- 8 03 51.7	11 05 51.70	21 04 29.6	18 29.9		
10	0 59 56.08	33 02 57.00	- 8 05 51.8	11 16 51.80	28 04 29.7	19 34.9		
11	1 01 56.09	33 04 31.00	- 8 07 51.9	11 27 51.90	35 04 29.8	19 39.9		
12	1 03 56.10	33 06 05.00	- 8 09 52.0	11 38 52.00	42 04 29.9	19 44.9		
13	1 05 56.11	33 07 39.00	- 8 11 52.1	11 49 52.10	49 04 30.0	19 49.9		
14	1 07 56.12	33 09 13.00	- 8 13 52.2	12 00 52.20	56 04 30.1	19 54.9		
15	1 09 56.13	33 10 47.00	- 8 15 52.3	12 11 52.30	63 04 30.2	19 59.9		
16	1 11 56.14	33 12 21.00	- 8 17 52.4	12 22 52.40	70 04 30.3	20 04.9		
17	1 13 56.15	33 13 55.00	- 8 19 52.5	12 33 52.50	77 04 30.4	20 09.9		
18	1 15 56.16	33 15 29.00	- 8 21 52.6	12 44 52.60	84 04 30.5	20 14.9		
19	1 17 56.17	33 17 03.00	- 8 23 52.7	12 55 52.70	91 04 30.6	20 19.9		
20	1 19 56.18	33 18 37.00	- 8 25 52.8	13 06 52.80	98 04 30.7	20 24.9		
21	1 21 56.19	33 20 11.00	- 8 27 52.9	13 17 52.90	105 04 30.8	20 29.9		
22	1 23 56.20	33 21 45.00	- 8 29 53.0	13 28 53.00	112 04 30.9	20 34.9		
23	1 25 56.21	33 23 19.00	- 8 31 53.1	13 39 53.10	119 04 31.0	20 39.9		
24	1 27 56.22	33 24 53.00	- 8 33 53.2	13 50 53.20	126 04 31.1	20 44.9		
25	1 29 56.23	33 26 27.00	- 8 35 53.3	14 01 53.30	133 04 31.2	20 49.9		
26	1 31 56.24	33 28 01.00	- 8 37 53.4	14 12 53.40	140 04 31.3	20 54.9		
27	1 33 56.25	33 29 35.00	- 8 39 53.5	14 23 53.50	147 04 31.4	20 59.9		
28	1 35 56.26	33 31 09.00	- 8 41 53.6	14 34 53.60	154 04 31.5	21 04.9		
29	1 37 56.27	33 32 43.00	- 8 43 53.7	14 45 53.70	161 04 31.6	21 09.9		
30	1 39 56.28	33 34 17.00	- 8 45 53.8	14 56 53.80	168 04 31.7	21 14.9		
31	1 41 56.29	33 35 51.00	- 8 47 53.9	15 07 53.90	175 04 31.8	21 19.9		

Phasenkonstellationen 1901.

März 1	14	Merkur in größter nördlicher heliocentrischer Breite
2	23	Mars in Konjunktion in Rektascension mit dem Monde.
3	7	Venus in Sonnennähe.
7	7	Merkur in oberer Konjunktion mit der Sonne.
11	14	Uranus in Opposition mit der Sonne.
14	6	Neperun in Opposition mit dem Monde. Bedeckung.
14	18	Jupiter in Opposition in Declination mit dem Monde. Bedeckung.
14	22	Jupiter in Konjunktion in Rektascension mit dem Monde.
14	22	Saturnus in Konjunktion in Rektascension mit dem Monde.
17	7	Neptun in Opposition mit der Sonne.
24	19	Merkur in Konjunktion in Rektascension mit dem Monde.
24	12	Venus in Konjunktion in Rektascension mit dem Monde.
24	20	Sonne im Zenith des Wälders. Fullmondgang.
24	18	Merkur im niedrigsten nördlichen Knoten.
27	16	Venus in größter südlicher heliocentrischer Breite.
30	18	Mars in Konjunktion in Rektascension mit dem Monde.

**Planeten - Ephemeriden.**

Mittlere Zeit	Mittlere Positionen Mittel					
	Rektascension			Declination		
	h	m	s	°	'	"
<b>Mars</b>	Mars					
März 10	21 10 00 00	—	1 7 0 0	—	2 00	
15	21 04 57 00		0 58 56 0		21 48	
20	21 01 48 00		0 46 58 0		21 18	
25	21 27 20 00		7 05 10 0		22 48	
30	21 48 20 00		0 00 1 0		22 24	
31	21 54 10 00		— 0 1 0 0		22 00	
<b>Venus</b>	Venus					
März 10	20 0 20 00		— 23 40 0 0		21 20	
15	20 21 10 00		20 22 0 0		21 20	
20	20 04 0 00		0 14 50 0		20 27	
25	20 20 0 00		0 07 40 0		20 01	
30	20 40 0 00		0 07 47 0		21 08	
31	20 1 10 00		— 0 07 17 0		21 27	
<b>Jupiter</b>	Jupiter					
März 10	14 44 42 00		— 20 02 00 0		21 27	
15	14 41 0 00		22 01 0 0		21 28	
20	14 48 0 00		— 20 48 0 0		20 50	
<b>Saturnus</b>	Saturnus					
März 10	21 0 00 00		— 20 0 0 0		20 00	
15	21 0 0 00		— 20 0 0 0		20 00	
20	21 0 0 00		— 20 0 0 0		20 00	
25	21 0 0 00		— 20 0 0 0		20 00	
30	21 0 0 00		— 20 0 0 0		20 00	
31	21 0 0 00		— 20 0 0 0		20 00	
<b>Uranus</b>	Uranus					
März 10	21 0 00 00		— 20 0 0 0		20 00	
15	21 0 0 00		— 20 0 0 0		20 00	
20	21 0 0 00		— 20 0 0 0		20 00	
25	21 0 0 00		— 20 0 0 0		20 00	
30	21 0 0 00		— 20 0 0 0		20 00	
31	21 0 0 00		— 20 0 0 0		20 00	
<b>Neptun</b>	Neptun					
März 10	21 0 00 00		— 20 0 0 0		20 00	
15	21 0 0 00		— 20 0 0 0		20 00	
20	21 0 0 00		— 20 0 0 0		20 00	
25	21 0 0 00		— 20 0 0 0		20 00	
30	21 0 0 00		— 20 0 0 0		20 00	
31	21 0 0 00		— 20 0 0 0		20 00	

**Mercurianum 1901.**

		h	m
März 10	10 10 00	10 10 00	Vollmond
15	10 10 00	10 10 00	Leibes Viertel
20	10 10 00	10 10 00	Neuemond
25	10 10 00	10 10 00	Reines Viertel
30	10 10 00	10 10 00	—
31	10 10 00	10 10 00	Mond in Erdtrüm.
			Mond in Leibes.

**Berechnungen durch den Mond für Februar 1901**

Mondtag	Sonn	Globe	Mittlere mittlere Zeit		Sonnens mittlere Zeit	
			h	m	h	m
März 10	10 10 00	10 10 00	11	00 0	11	0 0
15	10 10 00	10 10 00	7	0 0	0	0 0
20	10 10 00	10 10 00	0	0 0	0	0 0

**Lage und Größe des Saturnringes nach Bessel**

März 10. Große Achse der Ringfläche: 81 00"; kleine Achse: 17 00".  
 Schrägungswinkel der Ebene über der Ringebene: 12° 21' nördl.

März 10.	Mittlere Scheit der Ellipse	81° 20'	0 04"
	Scheit " " "	80° 21'	0 13"
	Halbmesser der Sonne	16"	0 00"
	Parallaxe " " "		0 00"

**Stellungen der Jupitermonde im März 1921.**



Stellungen um 12h für den Azimuth im astronomischen Fernrohr.

Tag	West	Ost
1		0 1 2 3 4 5
2	1 2 3 4 5	0 1 2 3 4 5
3		1 2 3 4 5
4	1 2 3 4 5	0 1 2 3 4 5
5	0 1 2 3 4 5	0 1 2 3 4 5
6	1 2 3 4 5	0 1 2 3 4 5
7	1 2 3 4 5	0 1 2 3 4 5
8	1 2 3 4 5	0 1 2 3 4 5
9	1 2 3 4 5	0 1 2 3 4 5
10	1 2 3 4 5	0 1 2 3 4 5
11	1 2 3 4 5	0 1 2 3 4 5
12	1 2 3 4 5	0 1 2 3 4 5
13	1 2 3 4 5	0 1 2 3 4 5
14	1 2 3 4 5	0 1 2 3 4 5
15	1 2 3 4 5	0 1 2 3 4 5
16	1 2 3 4 5	0 1 2 3 4 5
17	1 2 3 4 5	0 1 2 3 4 5
18	1 2 3 4 5	0 1 2 3 4 5
19	1 2 3 4 5	0 1 2 3 4 5
20	1 2 3 4 5	0 1 2 3 4 5
21	1 2 3 4 5	0 1 2 3 4 5
22	1 2 3 4 5	0 1 2 3 4 5
23	1 2 3 4 5	0 1 2 3 4 5
24	1 2 3 4 5	0 1 2 3 4 5
25	1 2 3 4 5	0 1 2 3 4 5
26	1 2 3 4 5	0 1 2 3 4 5
27	1 2 3 4 5	0 1 2 3 4 5
28	1 2 3 4 5	0 1 2 3 4 5
29	1 2 3 4 5	0 1 2 3 4 5
30	1 2 3 4 5	0 1 2 3 4 5
31	1 2 3 4 5	0 1 2 3 4 5

**Erhebungen der Jupitermonde.** Die folgenden Angaben über die Erscheinungen der Jupitermonde beziehen sich auf mittlere Zeit von Oesterreich. Die Tabellen sind der Reihenfolge nach Alexander vom Jupiter nach I bis IV benannt. Ferner bedeutet:

- Er I das Verschwinden des Trabanten im Schatten des Jupiter.
- Er II den Austritt des Trabanten aus dem Schatten des Jupiter.
- Oc I die Verschwinden des Trabanten hinter der Jupiterschibe.
- Oc II die Wiedererscheinung selbiger neben der Jupiterschibe.
- Tr I den Eintritt des Trabanten vor die Jupiterschibe.
- Tr II den Austritt des Trabanten aus der Jupiterschibe.
- Sh I den Eintritt des Trabanten zwischen die Jupiterschibe.
- Sh II den Austritt des Trabanten zwischen aus der Jupiterschibe.

Es sind nur diejenigen Erhebungen der Jupitermonde aufgeführt, welche sich ereignen wenn Jupiter zu Oesterreich über und die Sonne unter dem Horizont steht. Um die Momente dieser Erhebungen nach unterschiedener Zeit zu finden, hat man nur nötig,  $t^2$  zu den angegebenen Zeitpunkten zu addiren.

Mars 2. III. Sh I  $10^h 10^m$ , III. Sh II  $10^h 42^m$ . März 6. I. Er. II  $11^h 30^m$ . März 6. I. Tr. I  $10^h 40^m$ , II. Tr. I  $10^h 40^m$ , II. Tr. II  $10^h 10^m$ , I. Sh. E.  $10^h 10^m$ , I. Sh. E.  $10^h 10^m$ . März 10. III. Sh. I  $10^h 40^m$ , I. Tr. I  $10^h 40^m$ , März 10. I. Oc. II  $10^h 30^m$ . März 14. II. Oc. E.  $10^h 40^m$ , III. Oc. E.  $10^h 10^m$ , März 16. I. Sh. II  $10^h 10^m 40^s$ , März 18. I. Sh. E.  $10^h 30^m$ , I. Tr. I  $10^h 40^m$ , II. Tr. E.  $10^h 30^m 20^s$ . März 20. I. Sh. I.  $10^h 20^m$ , II. Oc. E.  $10^h 40^m$ , I. Tr. E.  $10^h 30^m$ , I. Sh. E.  $10^h 10^m$ , März 22. I. Oc. E.  $10^h 40^m$ , März 24. II. Tr. E.  $10^h 30^m$ .

**Stellungen der Saturnmonde. (Erläuterung S. 24.)**

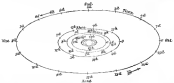
Zeiten der heliischen Elongation im März 1801

**Saturn.** März 2.  $10^h 10^m$ , März 4.  $10^h 10^m$ , März 6.  $10^h 10^m$ , März 8.  $10^h 10^m$ , März 10.  $10^h 10^m$ , März 12.  $10^h 10^m$ , März 14.  $10^h 10^m$ , März 16.  $10^h 10^m$ , März 18.  $10^h 10^m$ , März 20.  $10^h 10^m$ , März 22.  $10^h 10^m$ , März 24.  $10^h 10^m$ , März 26.  $10^h 10^m$ , März 28.  $10^h 10^m$ , März 30.  $10^h 10^m$ .

**Uranus.** März 1.  $10^h 10^m$ , März 4.  $10^h 10^m$ , März 7.  $10^h 10^m$ , März 9.  $10^h 10^m$ , März 11.  $10^h 10^m$ , März 13.  $10^h 10^m$ , März 15.  $10^h 10^m$ , März 17.  $10^h 10^m$ , März 19.  $10^h 10^m$ , März 21.  $10^h 10^m$ , März 23.  $10^h 10^m$ , März 25.  $10^h 10^m$ , März 27.  $10^h 10^m$ , März 29.  $10^h 10^m$ .

**Neptun.** März 1.  $10^h 10^m$ , März 3.  $10^h 10^m$ , März 5.  $10^h 10^m$ , März 7.  $10^h 10^m$ , März 9.  $10^h 10^m$ , März 11.  $10^h 10^m$ , März 13.  $10^h 10^m$ , März 15.  $10^h 10^m$ , März 17.  $10^h 10^m$ , März 19.  $10^h 10^m$ , März 21.  $10^h 10^m$ , März 23.  $10^h 10^m$ , März 25.  $10^h 10^m$ , März 27.  $10^h 10^m$ , März 29.  $10^h 10^m$ .

Stellungen der Saturnmonde. Von den 8 Monden des Saturn sind 4 unter günstigen Umständen in Beobachtung von 4 Pariser Zoll Öffnung zu sehen, nämlich der 1 (Titan), 4 (Dione), 5 (Rhea), 6 (Tethys) und 7 (Iapetus), von denen die Titan 7 Graden, die übrigen sind zu den 10 Graden, am schwächsten im Tethys. Der Saturn liegt sehr nahe in der Ebene der Saturnringe und von der Erde gesehen zeigen diese Ringe also eine Elliptische Gestalt wie diese. Um die Monde in der Nähe des Saturn anzuordnen, kann man sich eine vergrößerte Kopie der unvollständigen Zeichnung S. 20 bedienen, welche die wahrscheinlichen Bahnen der 8 inneren Saturnmonde für 1860 darstellt. Der Bahn des Titan ist in so viele Teile geteilt als die Umlaufzeit dieses Mondes Tage zählt. Der Anfangspunkt der Teilung liegt am höchsten Punkte der elliptischen Bahn, also dort wo dieser Mond am Äquatoriale seiner elliptischen Ellipse steht. Eine Taggenote steht er an dem mit 1<sup>o</sup> bezeichneten Punkte der Bahn, 2 Tage später an dem mit 2<sup>o</sup> bezeichneten Punkte u. s. w. Wird man daher für diesen Mond den Zeitpunkt seiner höchsten Elongation lernen, so kann man auf Hilfe der Zeichnung leicht beschreiben, zu welchem Teile der Bahn er zu jeder anderen Zeit von der Erde aus erscheint und dadurch seine Stellung gegen den Saturn und dessen Ring zu einer Stunde bestimmen, die den Anblick des Mondes am Fernrohr erleichtert. An den Bahnen der nachher unterhenden Monde Rhea, Dione und Tethys wird nicht



nur die Stellungen in der Bahn nach Verlauf der vollen Tage, sondern auch nach Stunden derselben 10, 15 u. s. w. angegeben. In der Abbildung zeigen die Pfeile die Richtung der Bewegung der Monde und dieselbe gilt überhaupt für den Anblick am Fernrohr. Die Gegenstände rechts sind der Perihelion. Es sind nur die wahrscheinlichsten Bahnen der Monde Tethys, Dione, Rhea und Titan dargestellt, die Iapetus etwa 2 mal so weit vom Saturn absteht als Titan und unter von diesem Grande über den Saturn der Darstellung unterliegt. Die 3 übrigen Monde des Saturn: Mimas, Enceladus und Hyperion können nur im Fernrohr eines Augen beobachtet werden und bilden deshalb kein ständiges Erscheinungsbild.

Auf Seite II sind die Momente der höchsten Elongation der genannten Saturnmonde angegeben und zwar nach mittlerem Greenwicher Zeit für den Monat März 1860. Wenn Titan und Iapetus sind bereits größere Gegenstände unter der höchsten Elongation (E) auch nach die Zeiten der westlichen Elongation (W), der anderen Konjunktion (K), wenn Titan südlich vom Planeten steht und der oberen Konjunktion (O) wenn er nördlich vom Saturn steht, angegeben. Für die späteren Monate werden diese Zeiten in den hyperionischen Jahren des Jahres regelmäßig angegeben, außer in den Monaten, wo Saturn überhaupt nicht zu beobachten ist. Um die Angaben in Mittelzeitlicher Zeit zu erhalten, hat man 1h hinzuzufügen.

Herausgeber: Dr. Theodor J. Klein in Köln. — Druck von Georg Lauer in Leipzig. 1860.

# SIRIUS.

Zeitschrift für populäre Astronomie.

Centralorgan für alle Freunde und Förderer der Himmelskunde.

Herausgegeben

unter Mitwirkung hervorragender Fachgenossen und astronomischer Schriftsteller  
von **Hr. Hermann A. Mayer** in Köln a. Rh.

Februar 1901.

„Was ist die Ursache und die Ursache der Bewegung der Planeten?“

Jedes Heft 1 Mark. — Jährlich 12 Mk.

Verlag von **EDUARD HEINRICH MAYER** in Leipzig.

**INHALT:** Neue Studien über den Bau des Universums. S. 26 — Seltsame Wahrnehmungen an einem Neutronen S. 30 — Saturn 1901. (Platon Tafel III) S. 34 — Anomalie Saturn in dem Sternhaufen im Herkules M 13. S. 35. — Photographische Aufnahmen von Sonne und Mond. Die 40-jährige Geschichte der Vorker-Sternhaufen. (Neue Tafel II, Heft 1.) S. 34. — Die Photographie im Dienste der Himmelskunde und die Aufgabe der Reprographen. (Mit 5 Abbildungen.) S. 36. — Fremde Nachrichten. S. 40. — Astronomischer Kalender. S. 45. — Sollagen der Jagdzeit im April 1901. S. 45. — Entdeckungen der Jagdzeit. S. 45. — Sollagen der Sternzeit. S. 45.

## Neue Studien über den Bau des Universums.

Das von dem Vorstand beauftragte Vorstellungsverband der unserer Wahrnehmung zugänglichen Teile des Universums zu gewinnen, ist das höchste Ziel der astronomischen Forschung. Wilhelm Herschel, der große Astronom, der zuerst das Streben in der Tiefe der Himmelskunde ausgründete, war auch der Erste, der es unternahm, über die physische Ordnung im Universum durch Beobachtungen Aufschlüsse zu suchen, so die Entwicklung der Sternsysteme zu ergreifen. Durch Ernährung eines vollständigen Studiums der Formen, welche die Nebelhaufen und Sternhaufen in seinen großen Teleskopen darboten, war Herschel imstande, wie er sich selbst ausdrückte, „die Schwärze der Erfahrung über eine unermessliche Distanz ausdehnen zu

können“. Dadurch, dass er seine Schlüsse auf unmittelbare Beobachtungen zu stützen versuchte, unterstanden sich seine Studien über den Bau des Himmels wesentlich von dem früheren Spekulations eines Thomas Wright (1750), Immanuel Kant (1755) und Lambert (1761). Mit Recht bilden daher die Arbeiten von Wilhelm Herschel den Ausgangspunkt aller Forschungen über den Bau der Welt. Auch sind seine Beobachtungen nicht heute von größtem Werte, vor allem seine sogenannten Stern-Nähen. „Die Stern-Nähe“, sagt er in seiner Abhandlung von 1784, „besteht darin, dass ich wiederholt die Anzahl von Sternen in zehn Gesichtsfeldern meines Teleskops erhöhte, eine dreifache andere, indem ich die Summe erhöhte und eine Dornschärfe reicher

Hand abwechselnd, erhielt ich einen Durchschnitt vom Gehalt (an Wasser) des Himmels in allen Teilen, die auf solche Weise gesucht werden. Diese Bestimmungen W. Herschels und die späteren seines Sohnes, bilden noch heute das wichtigste und zum Teil einzige Material um über die Verteilung der verfinsterten Sterne ein Urteil zu gewinnen. Was aus den Aufnahmen der beiden Herschels und überhaupt aus der statistischen Methode der Sternzählungen abzuleiten ist, hat Professor Seelig in erschöpfender Weise dargestellt.<sup>1)</sup> Gegenwärtig liegt mir eine neue Untersuchung über den Bau des Universums vor und zwar kommt die betrachtenswerte aus dem Heros von Arles, (an Tischlerk.) wo W. Strasshoff als Astrophysiker eines wissenschaftlichen Observatoriums wirkt und bereits eine Reihe wichtiger Arbeiten angefertigt hat. Diese neue Untersuchung des unendlichen Ausmaßes vertrat eine aufmerksame Würdigung, obgleich sie bezüglich des Materials hauptsächlich die erschöpfenden Arbeiten Prof. Seeligens benutzt. Strasshoff hat sich zunächst die Aufgabe gestellt die schwierigste Verteilung der Sterne 1 bis 95 Grades zu untersuchen, welche in der von Agassier zu Bonn durchgeführten sogenannten „Durchmusterung des Himmels“ und die später von seinem Nachfolger Schwanfeld bis zu 20° nördlicher Deklination weiter geführten Fortsetzung derselben enthalten sind. Das Rest des nördlichen Himmels übertrug Strasshoff an der Hand der photographischen Durchmusterung welche die Kap-Herrensarte geföhrt, doch ist diese Arbeit noch nicht beendet und seine vorliegenden Studien beschränken sich also auf den nördlichen Himmel und die Zone vom Äquator bis zum 20° nördl. Breite.

Bei diesen Untersuchungen dreht sich Strasshoff, nach dem Vorgange von Schiaparelli (den Himmel in 30 Zonen parallel dem Himmelsäquator geteilt, von denen jede 2° breit ist. Jede Zone wird dann durch Meridiane senkrecht in Tropen zerlegt, und zwar werden diese Meridiane bis zu 50° nördl. Deklination in Abständen von 5° gezogen, zwischen 50° und 80° Deklination in Abständen von 10°, zwischen 80° und 90° Deklination in Abständen von 15° Die Zone zwischen 80° und 95° Deklination wird in acht gleich große Tropen zerlegt und von dort bis zum Pol in vier gleiche Teile zerlegt. Auf diese Weise zerfällt der ganze Himmel in 1980 kleinere kleine Flächenstücke, von denen 1188 auf den zur Untersuchung stehenden Teil des Himmels entfallen.

Für jede dieser Flächen wurde nun unter Zugrundelegung der Rechnungen Prof. Seeligens die Anzahl der darauf enthaltenen Objekte ermittelt. Diese Zahlen würden wiederum für eine richtige Überleitung und vor allem für die Wiedergabe auf Karten noch nicht geeignet. Strasshoff hat daher den folgenden Weg eingeschlagen. Die Anzahl der Sternobjekte, welche am nördlichen Himmel durchschnittlich auf einen jeden Grad der bezeichneten Flächen entfällt, wurde = 10 gesetzt und hiernach die relative Dichte für jeden Grad berechnet. Um immer nötige Vergleichsmöglichkeiten zu eliminieren, wurde auch die Sternreichtum der an die Seiten und Ecken jedes Tropens anstehenden Tropen herausgenommen und aus diesem Gesamte der Mittelwert abgeleitet. Auf dieser Himmelskarte wurde dann in jedem Tropen dieser Mittelwert eingeschrieben und alle Flächen, in welchen die Zahl der Objekte grösser ist als die Durchschnittliche, mit Farben bezeichnet. Diese Farben sind um so tiefer, je größer die Sternzahl ist, sodass man mit einem Blick übersehen kann, an welchem Orte des Himmels die größten Stern-

<sup>1)</sup> Vgl. über dessen Untersuchungen Stern 1890, S. 14, 22 ff.

<sup>2)</sup> Publications de l'Observatoire astronomique et physique de Toulouse, No. 2.

abhängigen sich finden und wie die Dichtigkeit im Erreichten verhält ist. Um die Frage nach etwaigen Beziehungen der Sterngröße zur Milchstrasse zu untersuchen, hat Strasshoff in neun Karten auch die Mittelbreite der Milchstrasse dargestellt und zwar in Gestalt eines grösseren Kreises, dessen Pol in  $(24^{\circ} 48') = 24^{\circ} 48'$  nördl. Declination für 1880 GJ liegt. Denkt man sich um diesen oberirdischen Pol der Milchstrasse mit ihrem Äquator parallele Kreise gezogen, so kann man diese Kreise „parallelische“ Declinationskreise nennen, und Strasshoff hat auch sie in seine Karten eingezeichnet.

Nach diesen Voraussetzungen werden wir uns zunächst zu den Ergebnisse, welche Strasshoff aus den ihm vorliegenden Materialien ableitet. Er unterscheidet zunächst die scheinbare Verteilung der Sterne nach ihrer Halbkugel oder Größe. Zu diesem Zwecke unterscheidet er acht Klassen. In Klasse I hat er alle Sterne I bis einschliesslich 4. Grades zusammen, also im Grossen und Ganzen die dem blossen Auge sichtbare Sternmasse. Zu Klasse II rechnet er die Sterne von 4,1 bis 5,5 Grades, zu Klasse III diejenigen der Gröszen 5,6—7,0, zu Klasse IV diejenigen 7,1—7,5, zu Klasse V diejenigen 7,6—8,0, zu Klasse VI diejenigen 8,1—8,5, zu Klasse VII diejenigen 8,6—9,0, zu Klasse VIII die Sterne 9,1—9,5 Grades. Für jede dieser Klassen hat die Verteilung der Sternedichte auf der einzelnen Triangelle eine besondere Karte dargestellt und durchläufige Untersuchungen durchgeführt. Was die Sterne der Klasse I (i. h. bis 4,0 Grades) anbetrifft, so zeigt ihre Verteilung über die Himmelshauptkreise eine Beziehung zum Verlauf der Milchstrasse, die grössten Sternedichten finden sich nämlich entlang vom Verlauf der Milchstrasse, die Verteilung der Sterne der II. Klasse, doch erblickt man auf beiden eine Verdichtung der Sternhäufigkeit in der Nähe des Sternbildes des Schwans, die mehr oder weniger sich auf allen anderen Karten wieder-

findet. Die Sterne der Klasse II (4,6 bis 7,0 Grades) sind in Bezug auf die Milchstrasse mehr gleichmässig gruppiert, vielleicht symmetrischer als diejenigen irgend einer anderen Gröszenklasse. Die grösste Ungleichmässigkeit in ihrer Verteilung zeigt sich zwischen 14 und 17 Rektascension, wo die Hauptmasse der Sterne mehr gegen den nördlichen Himmelspol gerichtet erscheint. Die Hauptkonzentration der Sterne dieser Klasse fällt in die Gegend der Sternbilder Schwan und Leyer. Auf der IV. Karte, welche die Verteilung der Sterne 7,1—7,5 Grades darstellt, tritt die Abweichung jeder Symmetrie in Bezug auf die Milchstrasse auf. Dagegen zeigt sich eine auffallende Kondensation der Sternhäufigkeit vom Sternbild der Leyer bis zur Cassiopeja mit dem dichtesten Teile derselben im Schwanz zwischen den Sternen  $\alpha$  und  $\gamma$ . Zwei andere, geringere Kondensationsmassen zeigen sich in den Sternbildern Fornax und Aenge. Auf der Karte, welche die Verteilung der Sterne 7,6—8,0 Grades darstellt, beginnt eine gleichmässiger Kontur der Sternverteilung und dieselbe bleibt in ihren Hauptteilen bestehen bis zu der Verteilung der Sterne 9,1 bis 9,5 Grades, also bis zur Grösze des vorliegenden Materials überhaupt. Die Hauptkonzentration der Sterne erscheint wieder im Schwanz und fällt auf Gegenden, durch welche die Milchstrasse nicht zieht. Diese Anordnung der Sterne bis zur Grösze 9,5 in dieser Gegend des Himmels ist also eine nicht zu bestreitende Tatsache, und ebenso sicher ist, dass sie mit der Einwirkung der Milchstrasse nichts zu thun hat. Überhaupt zeigen die Karten Sternmäss, dass die Verteilung der Sterne I. bis 8,5 Grades nicht sehr innig dem Verlauf der Milchstrasse, deren Wesen nach, angepasst ist, oder mit anderen Worten, dass die Milchstrasse mit den Sternen bis zu 9,5 Grades nichts zu thun hat. Strasshoff hat auf Grund seiner Karten eine Anzahl Sätze aufgestellt, welche die Verteilung dieser Sterne



(3. bis 95 Größe) und der Milchstrasse ausströmt, nämlich:

1. Die Linie der größten Sternreich-  
tigkeit oder Sternanzahlung tritt nicht  
mit der Milchstrasse zusammen.

2. Der Ort der geringsten Stern-  
dichtigkeit tritt nicht mit dem nörd-  
lichen Pole der Milchstrasse zusammen.

3. Auf den verschiedenen Seiten  
vom nördlichen Pole der Milchstrasse  
nimmt die Sternanzahlung gegen die  
Milchstrasse hin in ungleicher Weise  
zu. Die Sternreichigkeit ändert gegen  
in der Richtung gegen den nördlichen  
Himmelpol hin, als auf der entgegen-  
gesetzten Seite.

4. Die Orte der geringsten Stern-  
anzahlung liegen überall nahe beim  
Himmelsäquator, mit Ausnahme der  
schwachen Sterne.

5. Die Orte der geringeren Stern-  
dichte, wenn sie in der Milchstrasse  
selbst oder nahe bei ihr liegen, zeigen  
sich stets nahe dem Durchgangspunkte  
der Milchstrasse mit dem Himmels-  
äquator.

6. Ständig vom Himmelsäquator  
(bis 20° nördl. Declination) tritt nur  
vom Äquator gegen den nördlichen Pol  
der Milchstrasse hin eine Zunahme in  
der Helligkeit der Sterne der Klasse I  
bis V. Die Sterne der Klasse VI bleiben  
gleich hellig, aber diejenigen der  
Klassen VII und VIII verlieren sich  
umgekehrt.

7. Fast von alle Einzelheiten zu-  
sammen, so hoch man, dass die in den  
Säulen I bis 6 ausgesprochene An-  
ordnung der Sternklassen (bis V) durch-  
aus gemeinsam ist. Die Klassen VII  
bis VIII zeigen die entgegengesetzte  
Ordnung und Klasse VI bildet zwischen  
beiden Anordnungen die Grenze.

8. Die Verteilung der Milchstrasse,  
welche sich am Himmel vom Scheitel  
bis zum Schwanz hinzieht, zeigt sich  
in der Verteilung der Sterne der 1. bis  
95 Größe durchaus nicht. Diese That-  
sache warnt schon Appelländer bekannt.

9. Die breiten und schmalen Stellen  
der Milchstrasse im allgemeinen fallen

nicht mit ähnlichen Ausdehnungen der  
Sternanzahl der Größenklassen I bis  
95 zusammen.

10. Die hellsten Stellen der Milch-  
strasse fallen im allgemeinen mit den  
stärksten Gegenden der Sommer-  
Durchmusterungen nicht zusammen.

Jedem Strahlendie diese ähnlichen  
Thatfachen in Betracht stellt, kommt er  
zu folgenden Schlussfolgerungen:

Die Materie der Sterne, welche  
in unsere Breiten sichtbar sind, ge-  
hört zu einer gewissen Stern-  
anzahl, deren centrale Region im Stern-  
bild des Schwans sichtbar ist, aber  
nach einem Teil der Sternfelder Capellae,  
Leyer, Fuchs und Pfeil verläuft. Diese  
Sternanzahl, oder kurz gesagt, dieser  
Sternhaufen, liegt merklich in der Ebene  
der Milchstrasse und macht sich bereits  
von den Sternen 5. Größe ab bemerk-  
bar, seine schwebende Konturen treten  
jedoch noch deutlicher in der An-  
ordnung der Sterne von der 7. Größe  
an, hervor. Seine allgemeine Form  
zeichnet sich fast unverändert auch in  
der Verteilung der Sterne bis zur  
Größe 95 ab. Es unterliegt keinem  
Zweifel, dass diese Sternanzahlung auch  
in der Verteilung der Sterne des süd-  
lichen Hemisphären hervortritt und eine  
analoge aber kleinere Sternanzahlung  
zeigt sich in ihrem Centrum im Stern-  
bild des Fuchswams. Man bemerkt sie  
von den Sternen 6.5 bis 7. Größe an,  
sie findet sich auch deutlich ausge-  
sprochen bis zu den Sternen einschließ-  
lich 8.5 Größe, darüber hinaus lässt  
sie sich nur in Spuren erkennen. Ihre  
Sternzahl ist geringer als die des ent-  
gegengesetzten grossen Sternhaufens. Sie  
besteht daraus und ist möglicherweise  
nur ein etwas kleinerer Teil desselben.  
Eine dritte Sternkonzentration hat ihr  
Centrum in den Zwillingen, im Ein-  
büren und im Prozessant kleinen Hunde,  
versteckt auch noch in anderen Stern-  
feldern, jenseits von 2<sup>h</sup> nördlicher Breite.  
Sie wird erst deutlicher in der Verteilung  
der Sterne von der 7.6 Größe ab bis  
zu denjenigen 9. bis 10. Größe, ihre

Dichter ist beträchtlich und sie umfasst einen grossen Teil des Himmels. Das sind die Folgerungen, aus den so mittelbaren Thatsachen; es fragt sich, wie sie unter höherem Gesichtspunkte zu vertragen sind, d. h. welche Schlüsse daraus auf den Bau des Sternhaars gezogen werden dürfen oder müssen.

Über die Entfernungen der Fixsterne wissen wir mit wenigen Ausnahmen nichts Sicheres, ausser dass sie ungemäss gross sind, indem selbst die Entfernung der Erde von der Sonne dadurch zu einem kleinen Orkus zusammengezogen. Die natürlichste Annahme ist ferner, dass die leuchtendsten Sterne die entferntesten sind, sobald die Zahl der dabei in Betracht gezogenen Sterne gross ist. Aus dieser Voraussetzung folgt dann, dass im allgemeinen die Sterne der Klasse I am näher sind als die der Klasse II, diese näher als die Sterne der Klasse III u. s. w. Hansen führt die der Klasse I eine kugelförmige Anordnung, die der Klasse II eine spirälische Schicht an diese Regel, die der Klasse III wiederum eine spirälische Schicht um die vorhergehende u. s. f. Prüft man nun unter dieser Voraussetzung die Strassoff'schen Karten, so findet sich so grosse Ähnlichkeiten, dass die Voraussetzung einer spiraligen Anordnung der sterblichen Sterne nach dem obigen Schema nur als sehr nahe Annäherung gelten kann. Strassoff fasst jedoch wahrscheinlich, dass unsere Sonne am Orte der ersten oben erwähnten grossen Sternhaarlage ist, und dass dieser grossen Sternhaarlage von mehreren anderen, kleineren, begleitet wird. Die zweite Sternhaarlage ist weiter von uns entfernt, sie erstreckt sich auf die Distanzen der Sterne 63 bis 83 Örte. Die dritte Sternhaarlage beginnt mit den grossen Entfernungen der Sterne 76 bis 88 Grosse. Möglichkeitweise sind diese beiden Sternhaare auch von kleineren begleitet, sodass gefolgt manert Beobachtungen nicht, darüber etwas Bestimmtes zu lassen. Die Milch-

strasse selbst betrachtet Strassoff als bestehend aus einer unbestimmt grossen Anzahl gewählter Sternhaarlagen, man könnte sagen von Stern Wolken, die einander so nahe stehen, dass sie sich gegenseitig berühren und die wesentlich alle in einer Ebene liegen, welche die Ebene der Milchstrasse ist. Dieser Bau der Milchstrasse wird, wie Strassoff mit Recht betont, auch durch die photographischen Aufnahmen derselben bestätigt, ja der Hinblick anderer Teile derselben mit blosser Auge spricht entschieden dafür. Die ganze Region der Milchstrasse zwischen der Cassiopeja und dem Schützen macht den Eindruck, dass sie aus grossen Wolken von Sternen zusammengesetzt ist. Die dunklen Stellen, die von W. Herschel sogenannte «Öffnungen im Himmels», sind nichts anderes als Zwischenräume zwischen den einzelnen Sternwolken, die nun dem Ansichte in die untergeordnete Teile eines streifenförmigen Raumes gestellt.

Strassoff hat nach die Verteilung der Sterne der einzelnen Spektralklassen über den Himmel untersucht und zwar an der Hand des Draper'schen Kataloges<sup>1)</sup> welcher die photographischen Spektre von 10000 Sternen enthält, doch sind die Ergebnisse bezüglich der Frage nach der Anordnung der Weltläuse nicht entscheidend. Wichtiges sind dagegen die Untersuchungen Strassoff's über die Verteilung der Nebelstöße und Sternhaare. Schon J. Herschel hat, nachdem er im Kap den südlichen Himmel durchkreuzert, die Verteilung der ihm bekannten 4000 Objekte der Himmelskataloge studiert. Diese Arbeit hat nach dem Erscheinen des «General-Kataloges der Nebel und Sternhaare», A. Aube wiederholt, und endlich ist der «New General-Katalog», welcher 3648 Objekte enthält nach derselben Richtung hin von Besselinger unter-

<sup>1)</sup> Ann. of the Mus. obs. of Harvard Coll. Vol. XXVI.

sucht worden.<sup>1)</sup> Strasshoff hat seine geologische Arbeit auf die beiden Kataloge von Dreyer<sup>2)</sup>, sowie auf das übrige ihm zugängliche Material gestellt und 1913 Objekte zusammengebrocht, wovon 679 Sternhaufen sind. Er unterscheidet die Nebelhaufen in schwache, glänzende, kleine und ungedehnte, doch bei dieser Unterteilung gemacht er Willkürliches. Als Ergebnis findet Strasshoff, dass die Milchstrasse aus an Nebelhaufen ist, dass dagegen deren

Zahl in den Regionen nahe dem Pol der Milchstrasse überwiegt. Nur die planarischen und ringförmigen Nebelhaufen sind hauptsächlich in oder nahe der Milchstrasse. Was die Sternhaufen betrifft, so finden sich dieselben im allgemeinen am zahlreichsten in der Milchstrasse, nur die kugelförmigen Sternhaufen machen eine Ausnahme und sind nahezu gleichmäßig über den ganzen Himmel verteilt.

### Seltene Wahrnehmungen an einem Mondkrater.

**L**ors A. Charbonneau, Assistent am Observatorium zu Montreal bei Paris, machte im Juli 1909 in demselben astronomischen Observatorium folgende Überwindungen über verschiedene Wahrnehmungen an einem kleinen Mondkrater. Dieser kleine Krater, dessen Durchmesser er auf nur 1000 m schätzte, liegt nach seinen Angaben südöstlich von dem Kratergebirge Theodorus. Nahe diesem Ort wird der lateinische Name des Wals von Theodorus in ungenügender Entfernung von mehreren Hügelkuppen, auf denen sich eine bei hoher Belichtung ziemlich helle Spitze zeigt, die Mäuler in seiner Mondkarte mit dem Buchstaben *f* bezeichnet. In der Nähe dieser Spitze muss der von Charbonneau genannte Krater liegen. Gesehen wurde derselbe bis jetzt noch von keinem Mondbeobachter, was auch bei der ungenügenden Klarheit dieses Objektes nicht zufallen kann. Die Wahrnehmungen des genannten Beobachters bestanden in Folgendem, das er als selbst konstatiert bezeichnet: „Der Krater des kleinen Kraters ist während einiger Augenblicke sicht-

bar, aber nach verhältnismäßig kurzer Zeit verschwindet er in einer weißlichen Wolke, trachtet darauf wieder und verschwindet ebenfalls abwechselnd in unregelmäßigen Intervallen.“ Diese Wahrnehmungen hat Hr. Charbonneau an dem grossen Krater von 50 m Öffnung und 16 m Durchmesser gemacht, welcher sich zu Montreal befindet. Um das Objekt auch an einem schwächeren Instrumente zu beobachten, benutzte er ein Fernrohr von 230 mm und 3,5 m Brennweite und untersuchte die betreffende Mondgegend am 31. Oktober 1909, zur Zeit des ersten Viertels. Die Erscheinung war auch jetzt sehr unregelmäßig; ich hatte, bemerkte der Beobachter, Herr d'Arsonval, Assistent des Observatoriums, erheiss, dass Beobachtungen zu wiederholen, und ich kann bestätigen, indem ich die eigenen mit den meinigen vergleiche, dass sie sehr schön beobachtbar sind. Die Hypothese, es sei eine Wolke vor dem Mond verfliegen, kann ich abweisen, weil der kleine Krater Theodorus während der Dauer der Beobachtungen sehr klar blieb. — Wir behnden uns, sagt Hr. Charbonneau weiter hinzu, über die einer noch unentdeckten Erscheinung. Sollte es sich um einen in Eruption befindlichen Krater handeln? Alles über das gleiche im Weiteren handelt es sich nicht um eine grossartige

<sup>1)</sup> Veröffentlichung der deutsch. Astr. Ges. 24 Jahrgang, S. 45.

<sup>2)</sup> A New General Catalogue of Nebulae and Clusters of Stars. Mem. of the R. A. S. 1891. X. 100. Index Catal. of Nebulae found in the years 1882—94. Mem. of the R. A. S. 1895. L.

Eruption, denn auch alle Messungen ergiebt sich, dass der Krater nur 1 km im Durchmesser hat, und dass die Ausdehnung der wassrigen Wolke im Maximum 7, im Minimum 4 km betrug. Ihre allgemeine Gestalt ist kugelförmig, aber sehr unregelmäßig und die angegebenen Zahlen sind nur mittlere Werte. Der Beobachter schließt daraus weiter auf eine Atmosphäre des Mondes und meint, es eröffnen sich nun ganz neue Perspektiven für die Astronomie und vielleicht auch für die Meteorologie. Man kann das leicht auf sich berufen lassen, denn zunächst handelt es sich darum, festzustellen, ob die von Charbonneau wahrgenommenen Erscheinungen überhaupt reell oder Täuschungen sind. Dem derselbe kein erfahrener Mondbeobachter ist, erlaubt man bei ständiger Anwendung eines Fernrohresetzung. Auch aus einem vorübergehenden Fehler, derselben Artlage nicht übersehen geht, wo er scheint, dass eine Milchstraße seinen Milchstraßen, die darauf aufmerksam gemacht habe, dass der kleine Krater Posidonius in der Region der Alpen plötzlich in einer wässrigen Wolke verschwand sei, etwa, was Milchstraßen schon einmal 1897 in Paris wahrgenommen habe. Durch diesen Umstand sei er (Charbonneau) auf die Untersuchung dieser interessanten Region gekommen. Nun gibt es aber gar keinen kleinen Krater Posidonius, sondern dieser

ist ein grosses sehr kompliziertes Ringgebirge, ausserdem liegt es nicht in den Mondalpen, sondern bildet einen Teil der westlichen Umrandung des Mare Serenitatis. Man könnte allerdings erwidern, dass Charbonneau sich lediglich im Namen geirrt und das Ringgebirge Thalesius gemeint habe, aber ein erfahrener Mondbeobachter wird dieses Ringgebirge, das durch seinen Schatten sehr in die Augen springt, doch nicht als -kleinen Krater- bezeichnen und ausserdem würde ein plötzliches Verschwinden desselben in einer wässrigen Wolke eine so seltene Erscheinung sein, dass man im Vorjahren auf dem Monte nicht geschrieben wird. Man soll aber ein solches Verschwinden (und wieder Sichtbarwerden) an dem besagten Krater, nämlich sehr kleinen Krater stathatus in der Nähe dieses Kraters beobachtet sich die Hügelgruppe, die hierdurch als helles Lichtwolke erscheint, es wäre nicht unmöglich, dass dort im Jahre ein grosses Feuerwerk im kleinen Kraterchen von Zeit zu Zeit sichtbar würde und wieder verschwinde. Dieses würde aber zunächst durch momentane Luftverunreinigungen oder besondere Ruhe unserer Atmosphäre zu erklären sein. Jedenfalls verdient die erwähnte Mondgegend besonders mit sehr grosser Intensivität untersucht zu werden, aber nur von Kennern des Mondes. Dr. Klein

## Saturu 1899.

(Hieru Tabu II.)

(Beobachtungsorte zur Zeichnung vom 21. Juli.)

**G**rotte der geringen Höhe des Platten über dem Horizont (zur Zeit der Kaltenzeiten ca. 20°) war das Bild durch vorzüglich und blieb es noch nach, bis Saturn nur mehr ca. 10° hoch stand; die Luft war oft absolut ruhig.

Zur Zeichnung ist folgendes zu bemerken: die Plattenkugeln trag im Äquator ein sehr schmales dunkles

Band, welches die helles Äquatorzonen in zwei Teile zerlegte; auf dem nördlichen erschienen sich zwei, auf dem südlichen ein helles, breites Plättchen besitzend. Das nördliche von der Äquatorzonen nach Westwärts dunkle Teil hellen war weisse und machte infolge einer in durchscheinenden schmalen, verwachsenen helles Zone den Eindruck

zwei, voneinander fast unabhängiger Systeme. Nördlich davon konnte ich noch zwei dunkle Stellen sehen.

Auf dem Ring war sehr viel Detail zu erkennen. Ring A zeigte bei gutem Momenten zwei Teilungen, beide unregelmäßig und die innere östlicher und in größerer Ausdehnung als äußere. Zwischen der inneren und Cassin'schen Teilung war der Ring bedeutend heller als sonstigen Partien. Die Cassin'sche Trennung war deutlich und noch bei weniger gutem Momenten über den ganzen Ring zu verfolgen. Ring B teilte sich ebenfalls in drei Teile, welche jedoch weniger deutlich voneinander geschieden waren. Der zentrale, dessen Breite etwa  $\frac{1}{2}$  des ganzen Ringes B betrug, war sehr hell und optisch scharf vom übrigen Teil geschieden, eine eigentliche Trennungslinie konnte ich jedoch nur auf der westlichen Seite mit Bestimmtheit wahrnehmen. Auch der äußere Ring konnte ich, wenn auch mit weniger Schärfe, in seinem ganzen Verlauf verfolgen. Von den zwei äußeren Teilen des Ringes B, welche ungefähr gleiche Breite hatten, war der innere merklich dunkler als der äußere. Eine eigentliche Trennungslinie zwischen beiden konnte ich aber nicht bemerken, und auf den perspektivisch vergrößerten Teilen des Ringes konnten sie überhaupt nicht mehr voneinander getrennt werden. Zwischen Ring B und C sah ich noch einen Spalt, welcher

trotz der beträchtlichen Breite durchaus nicht so dem leicht wahrnehmbaren Cassin'schen glich, wohl wegen der geringen Helligkeit der inneren Begrenzung. Ring C zeigte bei sehr ruhigen Momenten auch selten noch eine Teilung, doch konnte ich diese nur auf der Ostseite mit Bestimmtheit erkennen. Die Kugel schwärzte durch den Ring C deutlich hindurch.

Besondere Interesse bot die Figur des Kupferstreifens auf dem Ring. Der streift in zwei Teile, deren westlicher sich nur noch als kleiner, aber immer noch gut wahrbarer Streich darstellte, welches nördlich mit der Cassin'schen Teilung abschloss. Die östliche und hauptsächlichste Schattenpartie war begrenzt durch den Kupferstreif, den Ring A und eine gerade Linie, welche schief über die Ringe B und C lief. An der Stelle, wo letztere mit der Cassin'schen Teilung zusammenstoßen sollte, sah ich eine dunkle Einbuchtung, welche nördlich in die Cassin'sche überging. Diese Wahrnehmung war bestimmt reell. Andere Beobachtungsergebnisse konnte ich weder auf dem Ring noch auf der Kugel wahrnehmen.

An Farbenmomenten wirkte der Ring A gewöhnlich in dunklerer und hellerer Natur, Partie zwischen Cassin- und Serchi-Teilung sehr hellgrün, der östliche Teil des Ringes B gewöhnlich Ring C hellviolettblau. Allgemeine Färbung der Kugel gelbbraun. Rhodon.

### Anomale Sterne in dem Sternhaufen im Herkules M 13.

 Ich sei schon an mehreren Gelegenheiten die Messungen der Sterne in verschiedenen größeren kugelförmigen Sternhaufen (s. Prof. E. E. Barnard'se Messungen) besonders Eigenheiten bemerkt. Die auffallendste ist die, dass gewisse Sterne in viel stärkerem Lichte

glänzen als die übrigen. Die Folge hiervon ist, dass diese Sterne auf den photographisch gewonnenen Darstellungen dieser Sternhaufen in anderer Helligkeit sich darstellen als bei Betrachtung mit dem Auge am Fernrohr. Vergleich man Photographien von Sternen am Fernrohr, so wird man hiervon betroffen von der relativen Helligkeit einzelner Sterne auf dessen Photo-

<sup>1</sup> Astrophysical Journal Vol. XII, No. 3, p. 174.

größer, während sie dem Auge hell erschien. Diese Eigenschaftlichkeit beruht auf der grösseren oder geringeren Färbung der leitenden Sterne, welche ein klares photographisches Bild bedingt. In den Sternhaufen besprungen man gerade dem umgekehrten Falle, d. h. gewisse Sterne erschienen viel heller auf den Photographien als auf dem Auge unmittelbar gesehen. In einigen Fällen trat dies so sehr hervor, dass man selbst auf dem Gedanken der Verunsicherlichkeit dieser Sterne kommt.

Schon die ersten Beobachtungen von Sternhaufen an Yerkes-Refraktor zeigen diese Eigenschaftlichkeit. Eine besondere Untersuchung nach dieser Richtung hat Prof. Barnard an den Sternen des grossen Haufen im Plejades (M 13) angestellt. Zur Vergleichung wurde ein verächtlich vergrössertes Negativ benutzt, welches Prof. Schuster am Kaiserlichen photographischen Refraktor zu Potsdam 1881 erhalten hatte.

Auf dieser Photographie ist er hauptsächlich der mit No. 148 bezeichnete Stern, der sich hellster des ganzen Haufen in die Augen springt und ähnlich zeigt er sich auch auf anderen Photographien. Uebrigens 19° nördlich von ihm steht der Stern No. 131, der auf den Photographien im Vergleich zu jenem höchst klein und unscheinbar ist. Bei Betrachtung mit blossen Auge am Refraktor, richtet 131 dagegen am Hellplatz nördlich gleich 148. Etwa 60° südlich von 148 steht der Stern No. 209, welcher auf den Photographien 4 oder 5 Mal kleiner ist als 148, aber etwas grösser als 131. Im Fernrohr zeigt sich dagegen No. 209 hat eine Grösseklasse heller als 148 und das Verhalten zu 131 ist wesentlich das gleiche wie auf den Photographien. Demnach ist also der Stern No. 148 allem photographisch von starker Helligkeit. Infolgedessen wurde dieser Stern am Yerkes-Refraktor mit den stärksten Vergrösserungen untersucht, wobei sich bei hoher Luft zeigte, dass derselbe nicht

so selbst erschien als die benachbarten Sterne, vielmehr den Eindruck machte, als sei er etwas röthlich, während die benachbarten kleiner planetarischen Nebel. Bei Schuster findet sich als Grösse dieses Sternes 117 angegeben, während No. 131 zu 127 Gr. und No. 209 zu 114 Grösse angegeben sind. Der Stern No. 202 im kleinen Normastern und dieser gibt ihm die Grösse 127 (photographisch), am Refraktor kann er dagegen nach Barnard nicht heller als 145 Gr sein und er erscheint viel schwächer als andere Sterne die ihm auf der Photographie am Hellplatz gleich kommen. Der Stern No. 149 ist am Refraktor genau gleich hell wie No. 761, aber auf der Potsdamer Photographie ist er drei oder viermal grösser als letzterer. Der Stern No. 203 ist am Yerkes-Refraktor überhaupt sehr schwer wahrzunehmen, obgleich er photographisch 127 Grösse ertheilt und ebenso gross als andere benachbarte Sterne, die ihn am Fernrohr bei weitem überstrahlen. Er ist überhaupt das trefflichste Beispiel von grosser optischer Lichtschwäche eines Sternes, der photographisch heller ist. Im Uebrigen zeigen die meisten Sterne auf den Photographien die scheinliche relative Grösse zu erlangen, die sie auch bei Betrachtung mit dem Auge am Fernrohr darbieten. Die oben erwähnten Abweichungen einzelner Sterne bilden aber Ausnahmen, die auf Eigenschaftlichkeiten dieser Objekte hinarbeiten, welche bei der grossen Mehrzahl der Sterne in diesen Sternhaufen nicht vorhanden sind. Der Stern No. 175 ist bemerkenswert wegen seiner grossen Nähe bei dem Stern No. 184, welcher normal erscheint. Auf der Photographie sind beide völlig gleich gross, während am Refraktor No. 175 weitaus kleiner und sehr schwach ist (etwa 14 oder 14,5 Grösse). Der Stern No. 205 ist am 40-colligen Refraktor als vorhanden erkannt worden und scheint auch normal zu sein, denn auf der Potsdamer Photographie ist er beträchtlich

hellere als No 103, während er diesem am Fernrohr niemals gleich kommt. 5

Die einfache Erklärung der Eigenähnlichkeit, welche jene Sterne zeigen, die photographisch hell, optisch dagegen lichtschwach erscheinen, ist die, dass sie wohl mehr blaues (photographisch wirksameres) Licht ausstrahlen als die anderen, welche die geringere Zahl in dem Sternhaufen bilden. Dies ist eine mikroskopische und wichtige Thatsache. Prof. Barnard hat nun weiter gefunden, dass solche Sterne mit ausserordentlich blauem Licht auch in dem Sternhaufen M 5 in der Waage vorkommen und zweifellos giebt es noch andere Sternhaufen, in denen sie sich gleichfalls finden. Als Barnard vor einiger Zeit sich über diesen Gegenstand mit Prof. Hale unterhielt, äusserte letzterer die Ansicht, dass eine Photographie, die aufgenommen würde nachdem die Platte mit einem durchsichtigen gelblichen Schirm bedeckt worden sei, wahrscheinlich jene Eigenähnlichkeit nicht zeigen, sondern alle Sterne in dem gleichen Helligkeitsverhältnisse darsstellen würde wie sie sich dem Auge am Fernrohr darstellen. Diese Schlussfolgerung erweist sich als richtig. Denn eine von H. Röhrlay am 40-Zollor gemachte Aufnahme des Sternhaufens im Herkules M 13, bei welcher ein gelblichgelber Schirm angewendet wurde, zeigt die Sterne 145, 362, 179 u. s. w. in der gleichen relativen Helligkeit wie mit blossen Auge.

Es würde nun von Interesse sein genau zu wissen, welches Besondere

an mit diesem anomalen Sterne hat. Leider ist das Spektroskop nicht imstande Auskunft zu geben, da diese Sterne im Lichtbrech sind. Die Thatsache bleibt aber unzweifelhaft, dass es in den kugelförmigen Sternhaufen einige wenige Sterne giebt, welche sich von allen Genossen durch ihr vorragendes blaues Licht unterscheiden und in dieser Beziehung dem Stern im Hagestedt der Leyer (M 37) gleichen. Was die mögliche Existenz von blauen Nebeln in den Sternhaufen anbelangt, so macht Prof. Barnard darauf aufmerksam, dass er in der Nähe des in Rede stehenden Sternhaufens im Herkules einen sehr kleinen Nebel gefunden hat, der, falls er noch viel kleiner wäre, für einen gewöhnlichen Stern gehalten würde. Er ist nur 13' Gross und hat etwa 2-4" im Durchmesser. Bei sehr grossen Vergrösserungen erscheint er als kleiner nebliger Kern, bei starken Vergrösserungen zeigt er sich als ausser kleiner Nebel sein Ort am Himmel (für 1880/81).

Rektas. 21h 22m der Dekl. + 17° 34'. Das Vorhandensein der anomalen Sterne führt von selbst auf die Frage nach dem Vorhandensein von Nebeln in den kugelförmigen Sternhaufen. Barnard betont, dass nach seinen Untersuchungen mit Hilfe des Yerkes-Spektrens, überzeugend, dass die grossen Sternhaufen keine Nebelmassen enthalten und dieses Ergebnis wird durch die photographische Aufnahmen, welche Prof. Keeler mit dem Crossby-Spektalar erhalten hat, durchaus bestätigt.

### Photographische Aufnahmen von Sternhaufen mit dem 40-zölligen Refraktor der Yerkes-Sternwarte.

Der gewaltige Refraktor der neuen Yerkes-Sternwarte ist in erster Linie für Beobachtungen mit dem Auge bestimmt. Infolgedessen eignet sich die

Gegenstände nicht ohne weiteres zu photographischen Aufnahmen, da für diese eine möglichst grosse Verengung der durchsich verlaufenden (blauen) Strahlen erforderlich ist. Nun ist es allerdings möglich, diese Verengung durch Abbiegung einer dritten grossen

1) Eine Reproduktion der photographischen Photographie d. Sternhaufens M 13 findet sich im Atlas 1885, Tafel II.

Linse vor dem eigentlichen Objektiv herbestimmen und in der That hat man dieses Mittel beim 30 Zolligen Lick-Refraktor mit überraschendem Erfolg angewandt. Bei dem noch jüngeren Yerkes-Refraktor wurde man nahezu davon absehen, namentlich wegen des grossen Gewichtes der Korrekturenlinsen, und der bestehenden Kosten, denn auch, weil für die dreifache Linse der Punkt, an welchem auch die Strahlen vereinigen, sehr weit entfernt in die Höhe des Teleskops fallen würde. Dagegen wurden kleinere Korrekturenlinsen, welche nahe dem Hauptobjektivsaugpfe des Objektivs angebracht wurden, mit grossem Erfolge beim Photographiren der hochblauen Regionen der Sternspektra angewandt. Da diese Linsen aber nur ein sehr kleines Gesichtsfeld geben, so ist es unthunlich, sie bei photographischen Aufnahmen grosserer Sterngruppen zu verwenden. G. W. Ritchey ist nun mit dem Gedanken gekommen, fertige Scheibe in unmittelbarem Kontakt mit der photographischen Platte anzuwenden, um die mehr brechbaren Strahlen abzuhalten. Dieser Vorschlag wurde schon von Prof. Hale und Edgewood mit grossem Erfolge bei Mondphotographiren mittels des 40 Zolligen Refraktors angewandt, indem sie einen dünnen gelblichen Schirm ansetzbar vor den nachherbestimmten Platte anbrachten. Dieses Verfahren ist nun auch durchsicht von G. W. Ritchey wieder in Anwendung gebracht worden, um am 40-Zölligen Sternhafen photographisch aufzunehmen. Die Absorptionsschirme werden hergestellt, indem eine

dünne Glasplatte mit einer sehr transparenten Collodiumschicht von leiser grünlichgelber Farbe überzogen und unmittelbar vor den nachherbestimmten Platte angebracht wurde. Schon die erste kurze Exposition lieferten so befriedigende Resultate, dass es der Möglichkeit, bei langem Exponiren Intensität keine Sterne zu erhalten, nicht mehr zu zweifeln war. Der Erfolg hat dies durchaus bestätigt. Wie Prof. Georg E. Hale mittheilt<sup>1)</sup>, wurde am 8 August 1900 von H. Ritchey der Sternhafen im Herkules (Messier No. 13) mit 90 Minuten Expositionsaufgenommen. Das Original Negativ zeigt nicht weniger als 3200 Sterne, darunter keine Doppelsterne von weniger als 1" Distanz. Prof. Hale gibt eine Kopie der Aufnahme, wobei er bemerkt, dass auf dieser Kopie allerdings ein grosser Theil der schwächeren Sterne, die auf dem Originalnegativ sichtbar sind, verloren gingen. Tafel II ist eine Reproduktion dieser Darstellung des Sternhafens. Die schwächeren Sterne, welche das Originalnegativ enthält, sind in Ordnung, also so beschwerlich, dass sie durch nur an den allergrössten Teleskopen und unter den günstigsten Verhältnissen gesehen werden könnten. Es ergibt sich also, dass das oben beschriebene einfache Verfahren genügt, um den 40-Zölligen auch in einem sehr feinen photographischen Instrumente zu gestalten, sodass also auch nach dieser Richtung hin Bestrebungen von dem grossen Refraktor zu erwarten ist. Selbstverständlich ist das Verfahren auch bei kleineren Refraktoren anwendbar.

## Die Photographie im Dienste der Himmelskunde und die Aufgabe der Bergobservatorien.

Wie des Lesers des „Stern“-bekannt ist, hat Dr. Karl Koseritz in Wien sich die ehrenvolle Aufgabe gestellt, für die Herstellung eines astrophysikalischen Observatoriums auf dem

Schneeberge Propädeutik zu machen. In diesem Zweck hat er zusammen mit

<sup>1)</sup> Veritas Observatory, Bulletin No. 11.



Schrift vorzulegen,\*) in welcher er an der Hand der Erfahrungen berühmter Himmelmenschen die Wichtigkeit solcher Hochobservationen im einzelnen nachweist. Zudem hat Herr Dr. Kowalewitsch auch veranlaßt, dass sich der u. a. Landesminister an eine Anzahl hervorragender Fachmänner wandte, von denen viele auf Bergobservatorien selbst Erfahrungen gemacht haben, und sie um ihre Ansicht ersuchte. Im Interesse der Förderung der Angelegenheit möge aus diesen Gesuchen einiges hier seine Stelle finden.

und nicht mit besondern Transportmitteln zu versehen, erhält sich der Schwebberg in hochgelegenen Regionen, in welchen die Luft bereits von außerordentlicher Durchsichtigkeit und Klarheit ist und zu astronomischen Beobachtungen besonders geeignet. Die grossen Uebelstände, welche meist auf solchen Stationen das geistliche und wissenschaftliche Leben beschweren und an die Beobachter auf die Dauer Ansprüche der Geduldigkeit stellen, die kaum zu erfüllen sein dürften, erziehen hier etwas gemindert, ja ihnen selbst



Fig. 1. Projekt für das Observatorium auf dem Schwanberg (Penzance). Entwurf von August Fessler, Architekt Wien.

So schreibt der Vorsitzende der Astronomischen Gesellschaft, Herr Prof. Dr. Seeliger: „Es dem von Herrn Dr. Kowalewitsch im Jahr gefassten Schwanberg-Regen die Vorbildung so günstig, wie selten wo. In der Nähe der Hauptstadt des Landes, in welcher selbst allen wissenschaftlichen Betreibungen auch die Astronomie die kräftigste Förderung erhält und wo zwei solcher Sternwarten verdingstweil arbeiten, gelegen, von dieser aus schnell

gute vorgelegt werden zu können, wäre die von Herrn Professor Weiler angeregten Gedanken zur Ausführung gemacht werden. Demnach wären von dem Observatorium nicht eine Anzahl von Astronomen auf Lebenszeit anzustellen, sondern es wären Beobachter auf dasselbe nur immer temporär zur Ausführung bestimmter Arbeiten zu senden. Auch der weitere Vorschlag, das Schwanberg-Observatorium zu zu einer Art internationaler Institution zu gestalten, scheint dem Unterrichtsminister überaus beschwerlich.“

Herr Prof. Krüger schreibt vom 28. Hamburg:

\*) Die Photographie im Dienste der Himmelmenschen und die Aufgaben der Bergobservatorien. Wien 1900. Verlag von C. Gerold's Sohn.

•Meine diesbezüglichen Erfahrungen habe ich allerdings hauptsächlich hier gesammelt, jedoch habe ich auch Beobachtungen auf dem Gipfel der Mount Willey (4540 m) in Süd-Kalifornien und auf dem Piau's Peak in den Felsengebirgen Colorado's angestellt. Allen Astronomen ist die Thatsache bekannt, dass die optische Leistungsfähigkeit eines Teleskops nur wenig von den jeweiligen atmosphärischen Verhältnissen, sondern von der Größe und Beschaffenheit des Instrumentes abhängt. Aber versteht man

wo man ganz Leistungsfähigkeit zur Geltung kommen kann.

Zwei verschiedene fast ausschlaggebende Faktoren sind in den atmosphärischen Bedingungen enthalten und sollten bei der Wahl einer Ortlichkeit für ein Observatorium gesucht werden. Diese Faktoren sind die Klarheit des Himmels und eine gewisse Duftheit oder ein gutes Sehen (good seeing). Ihre Wichtigkeit verliert je mehr den verschiedensten Arten astronomischer Beobachtungen.

Für die optische Arbeit räum

Photographische Aufnahme  
des Observatoriums.



Fig. 2

dasjenige, welche auf hohen Bergen unter Veranoströmungen, wie sie auf dem Mount Hamilton während der Sommermonate vorherrschen, Beobachtungen angestellt haben, dürfen eine wirklich klare Vorstellung von dem enormen Vorteil haben, den eine wahrhaft glänzige Ortlichkeit bietet. Bei der bestmögliche nachkommenden Größe unserer modernen Teleskope wird dieser Vorteil immer größer und die Notwendigkeit, eine geeignete Ortlichkeit zu wählen, immer gebieterischer. Ein großes Teleskop hat zwar, wie ich glaube, selbst unter den ungünstigsten Umständen noch immer einige Vorteile gegenüber einem kleinen, aber der Vorteil muss sehr beträchtlich sein, um dieselbe bedeutendere Anschaffungskosten eines grossen Instrumentes zu rechtfertigen, welches daher nur dort aufgestellt werden sollte,

wo man ganz Leistungsfähigkeit zur Geltung kommen kann.

Zwei verschiedene fast ausschlaggebende Faktoren sind in den atmosphärischen Bedingungen enthalten und sollten bei der Wahl einer Ortlichkeit für ein Observatorium gesucht werden. Diese Faktoren sind die Klarheit des Himmels und eine gewisse Duftheit oder ein gutes Sehen (good seeing). Ihre Wichtigkeit verliert je mehr den verschiedensten Arten astronomischer Beobachtungen.

Für die optische Arbeit räum

bei wesentlich, die genaue Definition von geringerer Wichtigkeit. Für spezialtopographische Arbeiten ist das gute Sehen von sehr grosser Bedeutung, wenn die Beobachtungen mit dem Auge gemacht werden. Wenn photographische Methoden mit einem Spiegelteleskop zur Anwendung kommen, ist die Schärfe der Photographie fast unabhängig von atmosphärischen Störungen; da jedoch durch diese Fluktuationen, wenn das Sehen schlecht ist, die Sternbilder beständig dem Spalte verdrängt wird, so ist dann eine viel längere Exposition

lange Zeitverweil von nöthigen, rassem und schärferem Winter kommen während der Wintermonate vor, schon nach in dieser Jahreszeit erweisen sie Beobachtungswescher beachtet, die ein gutes Sehen ermöglicht. Im allgemeinen kann man sagen, dass etwa 200 Nächte in jedem Jahre für Beobachtungen geeignet sind. Wieder in hohen Luftschichten sind für gutes Sehen fast unerschütterlich verdrängt und auf jeden Fall sehr unerschütterlich. Auf dem Mount Hamilton kommen sie hauptsächlich während des rassem Winter-



Fig. 3

erfordert. Die Definition der Photographie wird auf eine einfache Weise durch Temperaturveränderungen etc. beeinflusst, was wieder in geringem Masse bei längerer Dauer der Exposition verdrängen kann. Wenn Photographie mit Objektivlinsen angefertigt werden, wird die Stärke der Spaltlinien direkt durch atmosphärische Störungen beeinflusst.

Von besten abgenommen Gesichtspunkten aus und während eines heftigen Trübs des Jahres die Bedingungen auf dem Mount Hamilton bei Nacht gut. Bei Tag jedoch ist das Sehen fast unverändert schlecht, sodass Sonnenbeobachtungen von Bedeutung hier nicht angestellt werden können.

weiter von. Starke Trübheit in heißen Nächten und sehr störend, besonders in Fällen, wo ein Spiegelteleskop benutzt wird. Hier kommen sie nur selten vor und im Sommer gibt es keinen Tag.

Ein Berg sollte nicht so hoch sein, wenn er als Standort für ein permanentes Observatorium dienen soll. Er muss zugänglich sein und die Beobachtung der Beobachter muss wohl in Betracht gezogen werden. Viele, vielleicht die meisten Personen, können in einer Höhe von 4000 m nicht lange verbleiben und deshalb eine Arbeit fördern. Meiner Meinung nach sollte ein grosses Observatorium in keiner höheren Lage als 2000 m errichtet

wenden. Soweit ich nach einer mir durch Herrn Dr. Kosteritz freundlich zugewandten Flugschrift urtheilen kann, besitzt der Schneeberg bei Wien mindestens einige der charakteristischen Züge, welche für die örtliche Anlage eines Observatoriums vorschweben und die ich glaube, dass die Wolken, welche häufig das unterste Land bedecken, gewöhnlich am Gipfel des Berges nicht erreichen. Unter ähnlichen Bedingungen wird das beste Sehen auf dem Licht-Observatorium erreicht, und gleiche Umstände bringen auch gleiche Verhältnisse

Peak ist das Sehen gewöhnlich schlecht. Es war schlecht auf dem Mount Whitney im Sommer 1881, obwohl der Himmel von dunkelrotheter Färbung der reinste war, den ich je gesehen habe. Kürzer dieses Berges war zur Zeit meines Besuchs von Thalesbach umgeben, dass aber diese Nebel keineswegs wesentlich für ein gutes Sehen auf Berggipfen sind, wird durch die Thatfache bewiesen, dass unter den besten Nächten auf dem Mount Hamilton viele waren, wo das unterste Land vollständig hell war. Diese Erfahrungen mit dem Cross-



Fig. 4

beraus. Die Klarheit des Himmels mag über als gegeben betrachtet werden, und Wiede in hohen Luftschichten dürfte wahrscheinlich nicht klärter vorzukommen, als auf Bergen an anderen Orten.

Nach meiner Meinung würde es gut sein, das Sehen auf diesem Berge zu erproben, bevor man ihn als Ortlichkeit für ein permanentes Observatorium wählt, und zwar indem man eine dergleichen ausgezeichnete Kasse von Beobachtungen oben von engen Doppelsternen) mittels eines Teleskops anstellt, das eine sechs- oder achtzählige Öffnung besitzt. Während auf dem Schneeberg die Bedingungen diesfalls günstig zu sein scheinen, ist es gewiss, dass nicht alle Berge passende Ortlichkeiten für Observatorien sind. Auf dem Pike's

ky-Reflektor des Licht-Observatoriums haben nach übereinstimmender Meinung des Spiegelteleskop ein sehr kostengünstiges Instrument für astro-physikalische Forschungen ist, und wenn das Klima auf dem Schneeberg nicht zu heiss ist, würde ich vorgezogen sein, unbeschädigt, in den Fluss zu dem permanenten Observatorium ein Spiegelteleskop von drei oder vier Fuss Öffnung anzubringen. Ein solches Teleskop muss ebenso sorgfältig montirt werden, als ein grosser Reflektor, wenn die besten Resultate mit demselben erreicht werden sollen. In der Regel sind grosse Reflektoren nicht hinreichend gut montirt worden.

In Bezug von Ausläsken, welche für Aussehen hinsichtlich des Licht-Observatoriums und seiner Ausrichtung eben noch wünschen können, erlaube

ich mir auf Band I der «Publications of the Lick-Observatory» und auf die «Publications of the Astronomical Society of the Pacific» zu verweisen, beide werden zweifelsfrei in einer der öffentlichen Bibliotheken Wien vorzufinden sein.

Berüchtlich der laufenden Ausgaben kann ich sagen, dass das jährliche Budget des Lick-Observatoriums für das letzte Voranschlagsjahr \$ 27,500 betrug, wovon \$ 24,579 auf Gehalts und \$ 2924 auf Erhaltung entfielen. Der astronomische Teil besteht aus dem Direktor

stand, im Auge gefasst habe, aber die volle Entfaltung des Observatoriums von dem grossen Centre wissenschaftlicher Thätigkeit und selbstvermögbarer Städte unseres eigenen Landes hat alle Forscher mit Ausnahm: einiger weniger abgesehen, von der besten gelehrten Gelegenheit Nutzen zu ziehen. Für das Schreiberberg-Observatorium würde diese Schwierigkeit nicht bestehen, und es dürfte daher der Vorschlag des Herrn Professor Weiss einem der wichtigsten Zweige ansehender Wirklichkeit dieses Observatoriums betreffen.



Fig. 1.

(\$ 4000), dem Astronomen (\$ 1400 bis 2000), drei Assistenten (\$ 1000) und drei Gehilfen (\$ 600). Die anderen Angestellten sind ein Mechaniker, ein Werkmeister, ein Mechaniker, ein Zimmermann, ein Florist und zwei Handlanger. Häuser oder Wohnungen werden den Beamten und den sonstigen Angestellten frei beigegeben.

In Nachwort der Flugschrift des Herrn Dr. Kowalew schlägt Herr Prof. Weiss vor, die Instrumente des Observatoriums auf dem Schreiberberg hervorragenden Astronomen, welche spezielle Forschungen anzustellen wünschen, zur Verfügung zu stellen. Dies ist ein Plan, den auch mein Vorgänger, Herr Prof. Holden, zur Zeit, als das Lick-Observatorium unter seiner Direktion

Herr Dr. Kowalew bei dem Wiener Architekten August Fessler veranlasst, provisorische Pläne für ein astronomisches Observatorium auf dem Schreiberberg auszuarbeiten. Wir sind in der angenehmen Lage, von diesen Entwürfen Reproduktionen an dieser Stelle vorzuführen. Fig. 1 zeigt den Entwurf der Hauptmasse, die Fig. 2 und 3 zeigen Längsschnitte, die Fig. 4 gibt eine Ansicht der Hauptmasse, Fig. 5 die Darstellung eines Alternativprojektes unter der Annahme einer detaillierten Anlage der einzelnen Gebäude.

Hoffen wir, dass das schöne Projekt, für dessen Ausführung Herr Dr. Kowalew so warm und anständig eingestanden ist, sich in absehbarer Zeit verwirklichen

## Vermischte Nachrichten.

**Neue Planeten.** Auf der Sternwarte Koenigsstuhl bei Haldensleben wurden von Prof. M. Wolf photographisch zwei neue kleine Planeten entdeckt.

Planet 1900 FT am 26. Decbr. 13-8 Gr.  
 „ 1900 FU „ 29 „ 13,0 „

**Das Meteorit von Allegan.** Am 18. Juli 1900 fiel bei Allegan im Staat Michigan die Meteorit nieder, dessen Hauptstück 31<sup>1</sup>/<sub>2</sub> kg schwer ist, während ein kleineres wenigstens 2 kg wiegt und noch in drei Stücke zerlegt ist. Dieser Meteorit ist von Ward, Merrill u. Stearns \*) auf seine petrographische und chemische Struktur untersucht worden. Derselbe ergab sich als tafelförmig, wie Ähnliches schon bei anderen Meteoriten gefunden und von Tschermak hervorgehoben worden ist. Die ganze Struktur des Allegansteins läßt sich gut erklärt werden, wenn man ihn als ein Agglomerat von Chondren in einer chondritartigen Grundmasse auffaßt, für welche die Matrix genommen werden aus dem Zerfallen anderer Chondren. Wird die Meteorit durch sehr schnelle Kristallisation entstanden, dann müßten die Chondren die ältesten und besten Kristalle besitzen und die Grundmasse viel jüngere Substanz enthalten, in Wirklichkeit verhält es sich aber umgekehrt, (Man kommt in den Chondren vor und hinten der Grundmasse. Die Rinde der Meteoriten zeigt auch, das bemerkenswerten Kristallisation dieser Masse sich nicht Spätwerke bilden, sondern Kristalle in einer jüngeren Masse, ganz wie in anderen Gesteinen. Die Chondren können wohl durch plötzliches Entweichen geschwelliger Magnetitflüßchen entstanden sein, später aber wurden diese Vulkanherde zerstört aber dann als feste Masse eingestrichelt. Ihre Bildung ist somit ganz tafelförmig.

**Beobachtungen des Planeten Merkur bei J. Coombs Seite auf seinen Privatobservatorium zu Barretona gemacht und zwar in drei Nächten Juni und Juli 1900 als der Planet in möglichster günstiger Entfernung von der Sonne stand. Er kommt zu dem Ergebnisse, dass die geeignete Gelegenheit um diesen Planeten zu beobachten die Zeit kurz nach Untergang der Sonne sei. Am hellen Tagesende der Planet allerdings höher über dem Horizont und die Bilder desselben im Fernrohr seien ruhiger, dagegen erscheine die Nacht des Planeten auf dem hellen Hintergrund des Himmels so lichtschwach, dass die feinen Details derselben ausmachbar bleiben und selbst die düppelsten Flecke scharf erscheinen. Übergang ist es nach Coombs Seite auch erforderlich, starke Vergrößerungen bei in Merkur anzuwenden. Er behauptet ferner, dass dieser Planet dunkle und helle Flecke zeige, die vielfach leichter zu sehen seien, als die Flecke des Mars. Abgesehen von der Stellungszahl sei der scheinbarste Anblick des Merkurs demjenigen des Mars überlegen sehr ähnlich, indem die Farbungen der Flecke bei beiden Planeten ähnlich seien; die dunklen bläulichgrün, die helle Region orangefarben (zum Teil verliert sie Wirkung der Erdatmosphäre) und die Polarregion oder die Nebelzone hellweiss. Die nördliche Polarinsel des Merkur erscheint dem Beobachter in Barretona ebenso hell leuchtend wie die des Mars und auch gleich dieser von einem dunklen Rande umgeben. Die Schwärzungen Merkurflecke so schön, nicht mehr Coombs Seite ganz allein von der Kleinheit der Merkursehens her und den ungünstigen Umständen, unter denen man es ammer beobachten muss. Diese Verhältnisse haben auch zur Folge, dass**

\*) Proceedings Wash Acad of Sciences 1900, II, p. 41.  
 Sitzb. 1900, Heft 2.

\*) Bull. Soc. Astron de France 1900, p. 106.

alle Zeichnungen, welche man von dem Planeten erhielt, eine zu geringe Genauigkeit haben, als dass man daraus mit voller Bestimmtheit über die Rotationsdauer desselben schließen könnte. Nichtsdestoweniger glaubt Comas Solé, dass seine Zeichnungen zu gunsten einer kurzen Rotationsdauer des Merkur sprechen, verglichen desjenigen der Erde. Er will sich zwar nicht mit Bestimmtheit über diesen Punkt aussprechen, aber der Eindruck, den er aus seinen Beobachtungen erhalten habe, gelte dafür. Aus mehreren für eine kurze Rotationsdauer sprechenden Beobachtungen am 2. Juli. Der Durchmesser der Scheibe, als welcher Merkur nach demselb., betrug damals  $7\frac{1}{2}''$  und Comas Solé wandte die ungenauheit dieser Vergrößerung von 500fach an. Um  $4\frac{1}{2}''$  verkleinerte er einige wenige Punkte hauptsächlich im nördlichen Theile der Scheibe. Derselben entzückten sich als selbstständig begründete dunkle Konturen von der Leuchtmasse gegen das Innere hin und anschliessend die hellere Nordhälfte des Planeten. Um  $7\frac{1}{2}''$  erschienen die Punkte gegen West verschoben, um  $5\frac{1}{2}''$  war das Bild des Planeten nicht mehr so fein, aber eine Zeichnung bestätigte den Eindruck, dass der Planet während der sechsmässigen zwei Stunden sich nicht sehr gedreht habe. —

Schliesslich ist Prof. Schiaparelli zu dem Ergebniss gekommen, dass der Planet Merkur keine rasche Rotation besitzt, sondern der Sonne stets die nämliche Seite zuwendet.

Die Beobachtungen über den Sternschnuppenfall der Leoniden im November 1890 wurden von Prof. Janssen in Paris zusammengestellt. Auch die weiteren Nachrichten haben in der That Sache nicht geändert, dass der erwartete Meteorfall nach diesmal besonders glänzend ausgefallen ist. In Berlin, Weimar, Osnabr., Straßburg, Braunschweig, Bonn, Madrid, Bordeaux, Toulouse, wo überall eilig nach dem Sternbild des Löwen in den Nächten vom 12. bis 17. November ausgeschaut wurde, ist

die Beobachtung durch einen völlig bedeckten Himmel verhindert gewesen. In Lyon wurde trotz sehr heftigen Schnees Wetter ebenfalls nichts von den Leoniden bemerkt. Auf der Sternwarte in Nizza will man nur unvollständige Meteor, in San José (Kolumbien) 20 Meteor auf der Stunde am 12. November. Die zum Zwecke der Beobachtung von Paris aufgestellten Balloons haben allerdings etwas ausrichten können. Es Hess sich schon jetzt erhellen, dass der Erscheinung überall fast gleich Null gewesen ist, und es ergab sich daraus der Schluss, dass der Meteorstrom, der in den Jahren 1799, 1833 und 1866 — im letztgenannten Jahre schon etwas abgeschwächt — einen grossartigen Sternschnuppenfall gabelt hat, während demnächstige Störungen in seiner Bahn gelitten hat, dass er die Erdumlaufbahn nicht mehr streift.

Das stimmt mit den Berechnungen von Dr. Biesty und Dr. Downing, gemäss welchen die Bahn der Leoniden-Meteor die Ebene der Erdbahn gegenwärtig in einem Punkte schneidet, der 150000 engl. Meilen nördlich der Sonne liegt, als der nächste Punkt der Erdbahn. Schon La Verrier hatte 1867 die Möglichkeit im Auge gefasst, dass infolge einer durch planetarische Störungen verursachten Veränderung der Periheliondistanz der Bahn dieses Meteorstromes, die Erscheinung des heftigsten Sternschnuppenfalles für die Erde plötzlich aufhören konnte, doch hielt er dieses zunächst nicht für sehr wahrscheinlich.

Die Strahlenbrechung auf der Sonne. Wie den Lesern des „Sternbeobachter“ ist<sup>1)</sup> hat Prof. Dr. A. Schmidt in Stuttgart zuerst den wichtigen Einfluss erkannt und nachgewiesen, dass die Strahlenbrechung in der Sonne selbst auf den Lauf der Strahlen, welche unser Auge erreichen und die Gestalten, die sich uns damit darbieten, wirkt. Es kann hieraus keinen Zweifel unterliegen, dass jede Sonnenfinsternis auf die

<sup>1)</sup> Vgl. Stern 1890, S. 74, 1891, S. 92, 1892, S. 105.

Strahlenbrechung in der Sonnenatmosphäre beobachtet nehmen muss. Einen Beitrag zu dieser Frage lieferte neuerdings W. H. Jakes in Utrecht<sup>1)</sup> indem er den Einfluss besonderer Dispersion der Lichtstrahlen auf gewissen Sonnenflecken und in des Sonnenfleckens beobachtete Erscheinungen untersuchte und nachwies, dass dieselben in der That als Folgen besonderer Dispersion des Lichtes betrachtet werden können.

Greifswald Julius näher beschriebenen Versuche mit gelbem Natriumdampf (gelbem Spektrum hauptsächlich aus dem beiden Linien  $D_1$  und  $D_2$  bestehend) führten ihn zu folgenden Schlüssen:

I. Wenn Licht, von einer Quelle mit kontinuierlichem Spektrum herkommend, einem Raum durchströmt, in dem Natriumdampf ausgedehnt vorliegt, so werden die Strahlen in der Umgebung der  $D$ -Linien in weit stärkerem Masse als alle übrigen dem Fortschritt lauern. Vor allem besteht sich die auf solche Lichtarten, deren Wellenlänge denen von  $D_1$  und  $D_2$  so nahe ist, dass dieselben von dem Natriumlicht kaum zu unterscheiden sind. Schwachlichtarten, von welcher Farbe einer starken Quelle durchstrahltem Natriumdampf kann aber in anderer Richtung ist. Er unter einem gewissen Winkel mit der Richtung der einfallenden Strahlung ein ziemlich intensives Licht zu entspringen scheinen, das dem Natriumlicht hinsichtlich Wellenlänge ist und dennoch in der hiesigen Quelle seinen Ursprung hat.

II. Umgekehrt muss das Licht, das den mit Natriumdampf erfüllten Raum nahezu geradlinig durchströmt, gelblichweiß, so kann der Fall eintreten, dass die Absorptionen stark verbreitert erscheinen infolge des Umstandes, dass das dabei gelbliche Licht für den gelbsten Teil welches abgelenkt wird und also der Spitz des Spektrums nicht erreicht.

Die erste dieser Folgerungen wendet

Jakes nun auf Erscheinungen in der Umgebung der Sonnenflecke an, und findet, dass sie völlig ausreicht, um die Hauptcharaktere im Ansehen der Linien der Chromosphäre völlig zu erklären. Diese Linien sind an ihrer Basis gewöhnlich breit und laufen plötzlicher zu, namentlich die Wasserstofflinien der Chromosphäre. Dass eigentümliche Gestalt der Chromosphärenlinien ist leicht auch, wie es gewöhnlich geschieht, zu erklären aus der Annahme, dass sich in der Chromosphäre ein stark strahlendes Gas und Metalldämpfe befinden, deren Dichte nahe an der Photosphäre sehr bedeutend wäre und nach unten hin schnell abnimmt. Das beobachtete Licht würde dadurch hauptsächlich von einem strahlenden Dampf herkommen. Das neue Erklärungsschema der Chromosphärenlinien schließt man endlich die Annahme, es entspränge hauptsächlich teilweise die Erscheinung gelblicher Gas, hauptsächlich aus, Jakes behauptet nun, dass es sich in dem gelblichen Falle als abgelenktes Photosphärenlicht erklären lässt. Eine nähere Zusammenstellung der verschiedenen Sonnenphänomene muss erübrigen, welche Erklärung um des heutzutage Dasselbe gewährt.

«Ofton» sagt er weiter, verschoben die Chromosphärenlinien in solarer Gestalt, mit Verdichtungen, Ähren, Büscheln, abgewinkelten Trüben u. s. w. Bis jetzt hat man dies nur nach dem Doppelfachen Prinzip zu erklären gewagt, also durch die Voraussetzung, das strahlende Gas nähern oder entfernen sich mit ungleicher Schnelligkeit, bis über 200 km in der Sekunde. Wie von den Astronomen allgemein bekannt wird, stimmt man mit dieser Erklärung auf diese große Schwereigkeiten, auf die wir hier nicht näher eingehen brauchen.

Neben dem Doppelfachen Prinzip können wir jetzt in dem der zweiten Dispersion ein anderes einführen, das gleichfalls einen Grund der Färbung

<sup>1)</sup> Astron. Nachr. No. 3873.



belegt, was unter gewissen Umständen Lichtstrahlen zu lassen, die von den für diesen Stoff charakteristischen Strahlensorten in der Wellenlänge abweicht.

In rascher Erkennung über den Sonnenbogen befindet sich z. B. Wasserstoff von 28 verschiedenen Stellen sehr ungleicher Dichtigkeit. Dasselbe wird dadurch nicht bloß aus eigenem Licht ausstrahlen, sondern auch stoffweises Phosphoreszenzlicht von benachbarten Wellenlängen nach der Erde herbeiziehen. Im Spektrum zeigt sich dies selbstverhältnißlich als Aussehen oder Verzerrungen der Wasserstofflinien oder als isolierte Lichtflecken in denselben Nähe. Diese Erscheinungen sind man wunderbarerweise können, wenn der Spalt auf Probenmassen, wo häufige Bewegungen stattfinden, und also auch wohl bedeutende Dichtungsunterschiede vorkommen, hergestellt werden ist.

Gleiches was immer noch Erklärung dieser Unregelmäßigkeiten im Spektrum gleichfalls auf der Voraussetzung beruht, dass mit demselben häufige Bewegungen in der Sonnenatmosphäre verbunden sind, so brauchen wir demnach offenbar desopathschen Gedankenschemas, welche die Erklärung nach Doppeln Prozess erforderlich würde, kaumwegs zureichend ist.

Von all dem Licht, das Chromosphäre und Protuberanzen aus strömen, mag also ein Teil von der Eigenstrahlung der denselben befindlichen Gase herrühren — ein anderer, wahrscheinlich sehr bedeutender Teil ist als gebrochener Phosphoreszenzlicht zu denken.

Lesen wir momentan die eigene Strahlung der Gase in der Sonnenatmosphäre einer Seite, so werden bei malder Lage der Spalten diejenigen Chromosphärenlinien am häufigsten und am hellsten sein, die den Absorptionen, für welche die Erzeugung der anomalen Dispersion am häufigsten hervorritt, entsprechen. Wir bemerken, dass die beiden Netzelemente die Fähigkeit, dass Filamenten hervorzuheben, in sehr verschiedenen Grade besitzen. Sogar wir können — was genau nicht

zu klären ist — dass noch die Linien des Wasserstoffs und der anderen Chromosphärenlinien gleiche individuelle Unterschiede darbieten, so wenig wir gleich, weshalb im Chromosphärenspektrum einige Linien eines Elementarlang, andere kurz sind, und weshalb darüber die Intensitäten der Linien eines ähnlichen Elements sich oft so deutlich ändern zu einander verhalten als im Continuumspektrum oder im Fraunhofer'schen Absorptionsspektrum. Prüft man wird man die gesamte Dispersion einer Anzahl Substanzen gründlich untersuchen müssen, um bestimmen zu können, in welcher unser Beobachtung im Stande ist, die selbst bekannten oder noch unvollständigen Eigenschaften im Chromosphärenspektrum zu denken. So wird es auch z. B. zeigen müssen, ob jene Elemente, deren Linien im Chromosphärenlicht im meisten Ausmaßes, auch in der That besonders stark anomale Dispersion zeigen — ein ungenügendes, noch kaum betretenes Feld der experimentellen Forschung.

Die zweite oben erwähnte Folgerung werden jedoch auf die Sonnenflecke an. Im höchsten derselben zeigen sich bekanntlich viele Fraunhofer'sche Linien stark verhorst. Man hat dies bis jetzt ausschließlich der Anwesenheit verdichteter, absorbierender Gase zugeschrieben. Indem man jedoch auf den Hauptpunkt der Scherff'schen Sonnenflecke stellt, kommt er zu dem Resultat, dass Stellen, welche in der Sonne anomale Dispersion zeigen haben, im Fraunhofer'schen Lichtwellenlängen nicht weniger hell sein müssen und dies dadurch die Fraunhofer'schen Linien verhorstet erscheinen.

Für Probe für Freunde der Himmelsbeobachtung. Aus dem Lesekreis des *„Sterns“* sind mir mehrere grüßere und kleinere, sehr gut erhaltenen Exemplare zum Verleih angebracht worden. Freunden der Himmelsbeobachtung, welche die Anschaffung eines solchen Instrumentes beschließen und sich darüber zu nicht wenden, lasse ich zu jeder gewünschten Auskunft gern bereit.  
Dr. Klein.

## Astronomischer Kalender für den Monat April 1904.

Tag		Sonne				Mond							
		Wahrer Berliner Mittag				Mittiger Berliner Mittag							
		Zeitp. M. L. — W. L.	Rektascension		Declination		Rektascension		Declination		Mond im Meridian		
h	m	s	°	′	″	h	m	s	°	′	″		
1	+	0 7 59	0 40	24 59	+	0 20	0 0	20 49	0 59	+	0 22	0 0	20 50 7
2		0 40 59	0 44	24 59		0 48	0 0	22 39	0 59	-	1 13	0 0	22 31 9
3		0 41 57	0 47	24 59		0 5 24 0	0 0	23 29	0 59		0 1 59 0	0 0	23 22 0
4		0 43 00	0 51	24 59		0 26	0 0 0	23 1 23 00	0 0		0 26 58 0	0 0	23 13 0
5		0 44 04	0 55	24 59		0 46	0 0 0	22 48 26 0	0 0		0 46 56 0	0 0	23 0 0
6		0 45 10	0 59	24 59		0 14	0 0 0	24 42 7 0	0 0		0 14 54 0	0 0	24 0 0
7		0 46 17	1 3 49 0	0 0		4 54	0 0 0	24 29 1 0	0 0		2 0 52 0	0 0	24 0 0
8		0 4 7 24	1 3 49 0	0 0		7 3 0 0	0 0	24 14 26 0	0 0		2 7 49 0	0 0	24 0 0
9		0 4 47 32	1 3 49 0	0 0		7 54	0 0 0	23 57 51 0	0 0		2 54 46 0	0 0	24 0 0
10		0 5 08 00	1 33 49 0	0 0		7 59	0 0 0	23 5 26 0	0 0		3 0 43 0	0 0	23 57 0
11		0 5 28 30	1 27 49 0	0 0		8 0 0 0	0 0	22 52 1 0	0 0		3 0 40 0	0 0	23 54 0
12		0 5 49 00	1 22 49 0	0 0		8 0 0 0	0 0	22 48 59 0	0 0		3 0 37 0	0 0	23 51 0
13		0 5 47 30	1 18 49 0	0 0		8 0 0 0	0 0	22 45 50 0	0 0		3 0 34 0	0 0	23 48 0
14		0 5 26 00	1 15 49 0	0 0		8 0 0 0	0 0	22 42 44 0	0 0		3 0 31 0	0 0	23 45 0
15		0 5 05 00	1 12 49 0	0 0		8 0 0 0	0 0	22 39 40 0	0 0		3 0 28 0	0 0	23 42 0
16		0 4 44 00	1 09 49 0	0 0		8 0 0 0	0 0	22 36 38 0	0 0		3 0 25 0	0 0	23 39 0
17		0 4 23 00	1 06 49 0	0 0		8 0 0 0	0 0	22 33 38 0	0 0		3 0 22 0	0 0	23 36 0
18		0 4 02 00	1 03 49 0	0 0		8 0 0 0	0 0	22 30 39 0	0 0		3 0 19 0	0 0	23 33 0
19		0 3 41 00	1 00 49 0	0 0		8 0 0 0	0 0	22 27 41 0	0 0		3 0 16 0	0 0	23 30 0
20		0 3 20 00	0 57 49 0	0 0		8 0 0 0	0 0	22 24 44 0	0 0		3 0 13 0	0 0	23 27 0
21		0 3 00 00	0 54 49 0	0 0		8 0 0 0	0 0	22 21 48 0	0 0		3 0 10 0	0 0	23 24 0
22		0 2 40 00	0 51 49 0	0 0		8 0 0 0	0 0	22 18 53 0	0 0		3 0 7 0	0 0	23 21 0
23		0 2 20 00	0 48 49 0	0 0		8 0 0 0	0 0	22 16 00 0	0 0		3 0 4 0	0 0	23 18 0
24		0 2 00 00	0 45 49 0	0 0		8 0 0 0	0 0	22 13 08 0	0 0		3 0 1 0	0 0	23 15 0
25		0 1 40 00	0 42 49 0	0 0		8 0 0 0	0 0	22 10 17 0	0 0		2 59 58 0	0 0	23 12 0
26		0 1 20 00	0 39 49 0	0 0		8 0 0 0	0 0	22 07 27 0	0 0		2 59 55 0	0 0	23 9 0
27		0 1 00 00	0 36 49 0	0 0		8 0 0 0	0 0	22 04 38 0	0 0		2 59 52 0	0 0	23 6 0
28		0 8 40 00	0 33 49 0	0 0		8 0 0 0	0 0	22 01 50 0	0 0		2 59 49 0	0 0	23 3 0
29		0 8 20 00	0 30 49 0	0 0		8 0 0 0	0 0	21 59 03 0	0 0		2 59 46 0	0 0	23 0 0
30		0 8 00 00	0 27 49 0	0 0		8 0 0 0	0 0	21 56 17 0	0 0		2 59 43 0	0 0	22 57 0
31		0 7 40 00	0 24 49 0	0 0		8 0 0 0	0 0	21 53 32 0	0 0		2 59 40 0	0 0	22 54 0

### Planetenkonstellationen 1904.

April	1	119	Jupiter in Quadratur mit der Sonne.
"	3	117	Merkur in oberer meridionaler Elongation, 17° n.
"	11	116	Merkur in Konjunktion
"	4	0	„ Venus in Konj. in Helios mit d. Monde Bedeckung.
"	6	0	Neptun in Quadratur von der Sonne.
"	7	115	„ Saturn in Konj. in Helios mit dem Monde Bedeckung
"	11	114	Jupiter in Opposition in Rektascension mit dem Monde
"	21	0	Saturn in Konjunktion in Rektascension mit dem Monde
"	24	113	Merkur in Konjunktion in Deklination mit dem Monde
"	25	0	Venus in Konjunktion in Rektascension mit dem Monde
"	26	0	Merkur in oberer südlicher heliozentrischer Proth.
"	27	0	Mars in Konjunktion in Rektascension mit dem Monde
"	28	112	Venus in oberer Konjunktion in Helios mit der Sonne.



### Stellungen der Jupitermonds im April 1951.



Stellungen um 12<sup>h</sup> 14<sup>m</sup> für den Äquator im astronomischen Parallelen.

Tag	West	Öst
1	0 <sup>h</sup> 00 <sup>m</sup>	0 <sup>h</sup> 00 <sup>m</sup>
2	0 <sup>h</sup> 00 <sup>m</sup>	0 <sup>h</sup> 00 <sup>m</sup>
3	0 <sup>h</sup> 00 <sup>m</sup>	0 <sup>h</sup> 00 <sup>m</sup>
4	0 <sup>h</sup> 00 <sup>m</sup>	0 <sup>h</sup> 00 <sup>m</sup>
5	0 <sup>h</sup> 00 <sup>m</sup>	0 <sup>h</sup> 00 <sup>m</sup>
6	0 <sup>h</sup> 00 <sup>m</sup>	0 <sup>h</sup> 00 <sup>m</sup>
7	0 <sup>h</sup> 00 <sup>m</sup>	0 <sup>h</sup> 00 <sup>m</sup>
8	0 <sup>h</sup> 00 <sup>m</sup>	0 <sup>h</sup> 00 <sup>m</sup>
9	0 <sup>h</sup> 00 <sup>m</sup>	0 <sup>h</sup> 00 <sup>m</sup>
10	0 <sup>h</sup> 00 <sup>m</sup>	0 <sup>h</sup> 00 <sup>m</sup>
11	0 <sup>h</sup> 00 <sup>m</sup>	0 <sup>h</sup> 00 <sup>m</sup>
12	0 <sup>h</sup> 00 <sup>m</sup>	0 <sup>h</sup> 00 <sup>m</sup>
13	0 <sup>h</sup> 00 <sup>m</sup>	0 <sup>h</sup> 00 <sup>m</sup>
14	0 <sup>h</sup> 00 <sup>m</sup>	0 <sup>h</sup> 00 <sup>m</sup>
15	0 <sup>h</sup> 00 <sup>m</sup>	0 <sup>h</sup> 00 <sup>m</sup>
16	0 <sup>h</sup> 00 <sup>m</sup>	0 <sup>h</sup> 00 <sup>m</sup>
17	0 <sup>h</sup> 00 <sup>m</sup>	0 <sup>h</sup> 00 <sup>m</sup>
18	0 <sup>h</sup> 00 <sup>m</sup>	0 <sup>h</sup> 00 <sup>m</sup>
19	0 <sup>h</sup> 00 <sup>m</sup>	0 <sup>h</sup> 00 <sup>m</sup>
20	0 <sup>h</sup> 00 <sup>m</sup>	0 <sup>h</sup> 00 <sup>m</sup>
21	0 <sup>h</sup> 00 <sup>m</sup>	0 <sup>h</sup> 00 <sup>m</sup>
22	0 <sup>h</sup> 00 <sup>m</sup>	0 <sup>h</sup> 00 <sup>m</sup>
23	0 <sup>h</sup> 00 <sup>m</sup>	0 <sup>h</sup> 00 <sup>m</sup>
24	0 <sup>h</sup> 00 <sup>m</sup>	0 <sup>h</sup> 00 <sup>m</sup>
25	0 <sup>h</sup> 00 <sup>m</sup>	0 <sup>h</sup> 00 <sup>m</sup>
26	0 <sup>h</sup> 00 <sup>m</sup>	0 <sup>h</sup> 00 <sup>m</sup>
27	0 <sup>h</sup> 00 <sup>m</sup>	0 <sup>h</sup> 00 <sup>m</sup>
28	0 <sup>h</sup> 00 <sup>m</sup>	0 <sup>h</sup> 00 <sup>m</sup>
29	0 <sup>h</sup> 00 <sup>m</sup>	0 <sup>h</sup> 00 <sup>m</sup>
30	0 <sup>h</sup> 00 <sup>m</sup>	0 <sup>h</sup> 00 <sup>m</sup>

**Errechnungen der Jupiterperiode.** Das scheinbare Aussehen über die Erscheinungen der Jupiterperiode beschränkt sich auf mittlere Zeit von Grösse III. Der Trabant geht der Beobachtung stets Abends vom Jupiter nach III bis IV bei mittl. Die vier grössten Figuren zeigen die Stellung jedes Mondes mit Bezug auf den Jupiter bei dem Augenblick der Verjüngung (J) oder des Wachsenrückens (V). Ist  $r$  nicht angegeben, so kann der Anblick aus dem Schein nicht beobachtet werden. Dieser befindet bei dem nachfolgenden Zeitangaben.

- Ec D des Vorderlades des Trabanten im Schein des Jupiter
- Tr E des Anblick des Trabanten aus dem Schein des Jupiter
- Co D des Vorderlades des Trabanten hinter der Jupiterschiffe
- Co R des Vorderlades des Trabanten seitlich neben der Jupiterschiffe
- Tr I des Anblick des Trabanten vor der Jupiterschiffe
- Tr E des Anblick des Trabanten aus der Jupiterschiffe
- St I des Anblick des Trabantenrückens auf die Jupiterschiffe
- St E des Anblick des Trabantenrückens aus der Jupiterschiffe

Es sind nur diejenigen Errechnungen der Jupiterperiode beigefügt, welche sich verhalten wenn Jupiter zu Grösse III über und die Sonne unter dem Horizont steht. Um die Messung dieser Errechnungen nach mittlere Zeit zu finden, hat man vorzuzug, 1<sup>o</sup> zu den angegebenen Zeitangaben zu addieren.

April 1. III Tr E, 10<sup>h</sup> 40<sup>m</sup>. April 4. I St I, 10<sup>h</sup> 10<sup>m</sup>. April 4. I Co D, 10<sup>h</sup> 10<sup>m</sup> 10<sup>s</sup>. April 4. I Tr E, 10<sup>h</sup> 10<sup>m</sup>. II Tr I, 10<sup>h</sup> 40<sup>m</sup>. II St E, 10<sup>h</sup> 10<sup>m</sup>. April 5. III St E, 10<sup>h</sup> 10<sup>m</sup>. III Tr I, 10<sup>h</sup> 10<sup>m</sup>. April 12. I Co D, 10<sup>h</sup> 10<sup>m</sup>. April 12. I Tr I, 10<sup>h</sup> 10<sup>m</sup>. I St E, 10<sup>h</sup> 10<sup>m</sup>. II St I, 10<sup>h</sup> 40<sup>m</sup>. I Tr E, 10<sup>h</sup> 10<sup>m</sup>. April 15. I Co R, 10<sup>h</sup> 10<sup>m</sup>. II Co R, 10<sup>h</sup> 10<sup>m</sup>. April 15. II Co. R, 10<sup>h</sup> 10<sup>m</sup>. April 15. II St I, 10<sup>h</sup> 10<sup>m</sup>. April 15. II St E, 10<sup>h</sup> 10<sup>m</sup>. April 15. III Co. R, 10<sup>h</sup> 10<sup>m</sup>. April 15. I St. I, 10<sup>h</sup> 10<sup>m</sup>. I Tr I, 10<sup>h</sup> 10<sup>m</sup>. April 20. I Co. R, 10<sup>h</sup> 10<sup>m</sup>. April 20. I Tr E, 10<sup>h</sup> 10<sup>m</sup>. April 20. II Tr E, 10<sup>h</sup> 10<sup>m</sup>. April 20. III Co. D, 10<sup>h</sup> 10<sup>m</sup>. April 20. I Co. D, 10<sup>h</sup> 10<sup>m</sup>. April 20. I Tr I, 10<sup>h</sup> 10<sup>m</sup>. I St E, 10<sup>h</sup> 10<sup>m</sup>. I Tr E, 10<sup>h</sup> 10<sup>m</sup>. II Co. D, 10<sup>h</sup> 10<sup>m</sup>.

### Stellungen der Saturnperiode. (Erläuterung S 24.)

Zeiten der höchsten Distanzen im April 1901.

**Tellego.** April 1. 10<sup>h</sup> 4<sup>m</sup>. April 3. 10<sup>h</sup> 4<sup>m</sup>. April 5. 10<sup>h</sup> 4<sup>m</sup>. April 7. 10<sup>h</sup> 4<sup>m</sup>. April 9. 10<sup>h</sup> 4<sup>m</sup>. April 11. 10<sup>h</sup> 4<sup>m</sup>. April 13. 7<sup>h</sup> 2<sup>m</sup>. April 15. 10<sup>h</sup> 4<sup>m</sup>. April 17. 10<sup>h</sup> 4<sup>m</sup>. April 19. 10<sup>h</sup> 4<sup>m</sup>. April 21. 10<sup>h</sup> 4<sup>m</sup>. April 23. 10<sup>h</sup> 4<sup>m</sup>. April 25. 10<sup>h</sup> 4<sup>m</sup>. April 27. 10<sup>h</sup> 4<sup>m</sup>.

**Ursa.** April 2. 10<sup>h</sup> 4<sup>m</sup>. April 4. 10<sup>h</sup> 4<sup>m</sup>. April 6. 10<sup>h</sup> 4<sup>m</sup>. April 12. 10<sup>h</sup> 4<sup>m</sup>. April 14. 10<sup>h</sup> 4<sup>m</sup>. April 16. 10<sup>h</sup> 4<sup>m</sup>. April 18. 10<sup>h</sup> 4<sup>m</sup>. April 20. 10<sup>h</sup> 4<sup>m</sup>. April 22. 10<sup>h</sup> 4<sup>m</sup>. April 24. 10<sup>h</sup> 4<sup>m</sup>. April 26. 10<sup>h</sup> 4<sup>m</sup>.

**Ursa.** April 4. 10<sup>h</sup> 4<sup>m</sup>. April 6. 10<sup>h</sup> 4<sup>m</sup>. April 10. 10<sup>h</sup> 4<sup>m</sup>. April 12. 10<sup>h</sup> 4<sup>m</sup>. April 14. 10<sup>h</sup> 4<sup>m</sup>. April 16. 10<sup>h</sup> 4<sup>m</sup>.

**Ursa.** April 4. 7<sup>h</sup> 2<sup>m</sup> W. April 6. 10<sup>h</sup> 4<sup>m</sup> S. April 10. 10<sup>h</sup> 4<sup>m</sup> E. April 12. 10<sup>h</sup> 4<sup>m</sup> E. April 14. 10<sup>h</sup> 4<sup>m</sup> W. April 16. 10<sup>h</sup> 4<sup>m</sup> W. April 18. 10<sup>h</sup> 4<sup>m</sup> S. April 20. 10<sup>h</sup> 4<sup>m</sup> E.

**Ursa.** April 10. 10<sup>h</sup> 4<sup>m</sup> E. April 12. 10<sup>h</sup> 4<sup>m</sup> E.



Zweites Bild.

Zehntes

Salzburg 1889. Juli 21. 20<sup>h</sup> 30<sup>m</sup> in W. Z. Luft. 1-11

Beobachtet und gezeichnet von O. P. Baumbach der K. K. Wiener Sternwarte

W. B. Neumann Verlag Leipzig

von Joseph Baumbach

Wien 1889 Nr. 17



Seite 140

Tafel III

Die Mondlandschaft Theophilus und Umgebung  
nach der Photographie am Wäffel Refraktor der Venera-Station vom 13. XII. 1900  
von G. W. Hickey.

# SIRIUS.

Zeitschrift für populäre Astronomie.

Centralorgan für alle Freunde und Förderer der Himmelskunde.

Herausgegeben

unter Mitwirkung hervorragender Naturforscher und astronomischer Schriftsteller

von Dr. Hermann A. Klotz in Köln a. Rh.

März 1911.

(Wissen und Erleben sind die Freunde und die  
Beschützer der Menschheit.)

Jahres Preis 1 Mark. — jährlich 12 Mal.

Verlag von EDUARD HEINRICH MAYER in Leipzig.

**INHALT:** Photographische Aufnahmen am Himmel und besonders des Mondes mit dem 40zölligen Refraktor der Yerkes-Sternwarte. (Hesse, Tafel II.) S. 46. — Neue Untersuchungen über den Durchmesser der Sonne. S. 52. — Die große Freudentag von 10. Dezember 1909. Von Torvald Kildé. (Hesse, Tafel III und VI.) S. 58. — Fortschritte der Kenntnis der von russischen Astronomen beobachteten Sterne. S. 61. — Die alte Perle der Sternkunde. S. 62. — Die neue Sonnenflecken 1911 bis 12 S. 63. — Veränderte Sternschnuppen. S. 64. — Astronomische Kalender. S. 65. — Notizen der Jagdarmee im Mai 1911. S. 71. — Entdeckungen der Japaner. S. 71. — Notizen der Sternkunde. S. 72.

## Photographische Aufnahmen am Himmel und besonders des Mondes mit dem 40zölligen Refraktor der Yerkes-Sternwarte.

(Hesse, Tafel II)

Die Erfolge der Himmelsphotographie mit photographischen Apparaten von solcher Größe sind nicht und die neuesten Resultate, welche Keller mit dem Crowley-Reflektor erhalten hat, zeigen in überraschender Weise den großen Wert der astronomischen Photographie für die Studien und die Ausmessungen schwierigster Himmelsobjekte. Es erhebt daher die Bedeutung von höchster Wichtigkeit, wenn irgend möglich, die gewöhnliche optische Kraft des 40zölligen Yerkes-Refraktors, der an und für sich nur für direkte Okularbeobachtungen konstruiert ist, auch für die photographischen Aufnahmen wie astronomischen Objekten

taugbar zu machen. Dies ist, wie bereits kurz an dieser Stelle angedeutet wurde, nun in einer Weise gelungen, welche die höchsten Erwartungen übersteigt und dabei nicht darfst ist. Im November 1899 wurde im Laboratorium der Yerkes-Sternwarte eine Anzahl dünner, planparalleler Glasplatten aus Collodium von feiner gelblich gelber Färbung hergestellt, und die Prüfung derselben am Spektroskop ergab, dass dadurch das blaue Ende des Spektrums völlig abgeschwächt war, während die grüne, gelbe und roten Strahlen ohne merkliche Verminderung ihrer Intensität durchgingen. Es wurde deshalb eine Anzahl dieser Farbenschichten vorwiegend am



intensiv mit großer Sorgfalt bearbeitet, um mittels eines besonders konstruierten Trägers in unmittelbarem Kontakt mit der positiven Schicht der photographischen Platte erhalten zu werden. Als Platten dienten Chromsäure/ferrosulfid-Manessplatten, die für große Strahlenaussetzungen empfindlich sind, während ihre Empfindlichkeit für Orange und Rot, sowie für die blauen Teile des Spektrums wieder geringer ist. Diese Kombination dürfte in Bezug auf Schärfe als sehr leistungs-fähig betrachtet werden, da nur eine kleine Region des Spektrums in Herstellung des Bildes durch den Reflektor in Anspruch genommen wird und die andere Strahlung, welche mit dieser Spektralstrahlung nicht in ähnlichem Resonanzverhältnis steht, nicht die Bläuschärfe beeinträchtigen ausgeschaltet sind; die blauen durch den Farbreflektor, die roten, unangefassten und die meisten grünen durch die Nachempfindlichkeit der Platte. Auch in Bezug auf Lichtstärke ist diese Kombination höchst vorteilhaft und man dürfte also von verhältniss sehr stark Photographien bei Verhältnisslang kurzer Expositionen an 40 Zellen erwarten. Wie jetzt Prof. C.W. Ritchey mit anderen Mitarbeitern sich diese Erwartungen bestätigt, jene sind übertraffen worden. Die besetzten farbigen Glasplatten haben eine Dicke von 2.4 mm und bedecken im Brennpunkte des 40 Zellen ein Gesichtsfeld von 14 Quadratminuten eines grades Kreises. Die Bilder der Sterne sind bis zum Rande scharf, selbst unter starker Vergrößerung. Bei den gewöhnlichen photographischen Starzaufnahmen ist es notwendig, die durch Uhrwerk bewirkte Bewegung des Fernrohrs ausser-trocken zu überwachen und durch Nachbewegung zu korrigieren, um das Bild des schwebenden Objektes völlig unverändert auf der Platte zu halten. Ein solches Verfahren ist bei der ange-gebenen Gewichtsmaße und dem Öffnungs-

verhältniss des Verles-Reflektors praktisch so gut wie unmöglich. Deshalb ist hier die Einrichtung getroffen, dass der Plattenhalter im Gesichtsfelde des Teleskops durch Mikroskopstrahlmaße an ein malts Beträge verschoben werden kann. Während das Auge des Beobachters an 100facher Vergrößerung vom Führungspulskreis darüber wacht, dass das Instrument sich auf denselben Punkt (Sterne) des Himmelsgerades gerichtet bleibt, wird jede geringste Abweichung durch die Schrauben des Plattenhalters, der mit dem Führungs-objektiv an denselben Rahmen befestigt ist, sofort korrigiert. Nach Ritchey sind selbst bei langer Lichteinfallmaße durchschnittlich pro Minute Exposition weniger als 60 Korrekturen der Plattenstellung erforderlich, um das Bild stets unverändert zu erhalten. Um die besten Bilder zu gewinnen, darf der Beobachter nicht eines Augenblicks sein Auge von dem Okular oder vom Finger von den Schrauben entfernen, ohne vorher die Klappe über die Platte gezogen zu haben und dies ist sogar notwendig, wenn er seinen Blick eines Augenblicks weicht. Es ist also wirklich keine leichte und mühsame Aufgabe, ein Verles-Reflektor Himmelsphotographien aufzunehmen. Die angewandte Methode ist mehrere Sekunden anzuwenden, welche Ritchey im einzelnen erzählt, die sich aber in der Praxis als heftig erweisen haben.

Eine sehr strenge Probe der Anwendbarkeit der neuen Methode bewertete die Aufnahme von immer dichtem, luftförmigen Sternhaufen Eisenlicher mit der Sternhaufen im Pappus M 16. Er wurde 1900 Okt. 1 mit dreizehnfacher Exposition aufgenommen. Der Luft-reisend während dieser Zeit war schwach, Anfangs wenig gut, dann während 130 Minuten besser, zuletzt aber auch sehr schlecht, während der letzten 50 Minuten dagegen ungenügend, dass aber spiegel ein kalter Wind auf, der die gute Definition der Sternbilder sofort zerstörte und den Stern 12. Größe,

7 Astronomical Journal 311, p. 322.

der zur Führung des Instrumentes am Okular dient, teilweise völlig unsichtbar macht.

Die Untersuchung des erhaltenen Negatives durch Prof. Bernard ergibt, dass die schwächsten darauf besonnt wahrnehmbaren Sterne so lichtschwach sind als diejenigen, welche man unter den allfischten atmosphärischen Verhältnissen am 40 Zollar mit bloßem Auge überhaupt noch sehen kann. Verschiedene kleine Doppelsterne des Sternhaufens von 165 sind 17. Größe und deren Abstand wechselt nur geringfügig als  $1''$  ist, zeigen sich auf dem Negativ sehr getrennt. Eine Menge kleiner Sterne die von dem diffusen Licht rings um das Centrum des Haufens umhüllt werden, sind bedeutend leichter auf der Photographie als durch ein Fernrohr zu sehen. Gleiches gilt für alle anderen kugelförmigen Sternhaufen und auch in dem Falle kleiner Sterne, die von Nebelwegen umhüllt sind wie z. B. Bernard's Stern Doppelstern, welcher dem Trappz im Orion vorgeht. Dieser Doppelstern ist nach Bernard einer der schwächsten am ganzen Himmel, völlig ungleich irgend einem anderen und das schwermögliche Protokopier für den großen Lick-Edkisson. Dieser Doppelstern ist nun am 40 Zollar wunderbar photographiert worden, selbst bei solcher guten Luftverhältnissen, wie einer Exposition von 45 Minuten. Die beiden Komponenten desselben sind nach Bernard 16. und 18.5. Größe, die Distanz beträgt 1.7".

Auf dem Negativ des Sternhaufens im Herkules M 13 ist auch das Centrum des Haufens völlig aufgetrennt und unter dem besten Verhältnisse wird der Stern 16. Größe mit Distanzen von weniger als  $1''$  deutlich getrennt erhalten. Auf einer Fläche von 19 Bogensekunden im Quadrat (jeweils dem 19. Teil der Fläche, welche die Mandelbebe im Himmel bedeckt) werden nicht weniger als 1200 Sterne in diesem Haufen. Auch auf dem Mond ist der 40 Zollar der Verles-Sternwärts mit der neuen photo-

graphischen Methode angewendet worden und mit grandios großartigem Erfolge. Prof. Ritchey gibt eine solche Aufnahme, die mit unserer Tafel IV reproduziert ist. Sie stellt die höchst interessante Mondlandschaft Theophilus dar und wurde am 12. Oktober 1900 aufgenommen. Die volle Öffnung des 40 Zolligen Objektivs wurde verwendet und die Dauer der Exposition betrug weniger als eine halbe Sekunde. Die Vergrößerung gegen das Originalobjekt ist etwa sechsfach. Diese Photographie ist nun das Beste, Schöne und Detailreichste, was bis jetzt von Mondphotographien überhaupt erhalten wurde. Sie ist für den Kenner des Mondes grandios erziehend. Eine solche Schärfe und eine solche Menge von kleinen Details hat bis jetzt noch niemals photographisch vom Monde erhalten worden. Selbst die mit Recht bewunderten Finer Mondphotographien müssen dahinter zurücktreten. Nur wer den Mond und die hier dargestellte Landschaft desselben aus eigenen Beobachtungen genau kennt, kann den ganzen Wert dieser Photographie geschätzt schätzen. Diese Photographie übertrifft — zum ersten Male — auch bezüglich des feinen Details die Müller'sche Mondkarte, ja sie zeigt kleine Krater die noch in der großen Mondkarte von Schmidt nicht enthalten sind. Sie lehrt aber auch, wie genau und zuverlässig Schmidt in Bezug auf die Wölbung des feinen Details ist und geht dem großen Beobachter die glänzenden Zeugnisse nach noch einem Tode. Für diejenigen, welche nicht auf dem Monde anwesend sind, sei bemerkt, dass der große Krater rechts unterhalb (westlich) von der Mitte, der 136 deutsche Meilen im Durchmesser haltende Theophilus ist. Er ist west-südlich der südlichste abgehört auf dem Monde, denn seine Wölbung übersteigt die Breite des Kraters um 4800 m und der Boden des Kraters liegt bis zu 3000 m tiefer als die große Fläche links (im Westen), die Mare Nectaris. Rechts oben grenzt unmittelbar an den Theophilus

die Wellen der Cyclus, deren Nordwestrand vom Walle des Theopitus zerstückt ist. Am Cyclus schließt sich südwärts die Walligen-Gebirge an, in deren innerem nördlichen Teile sich ein niedriger Bergzug zeigt. Der mehr als halb beschattete grosse, flache Krater links (westlich) von Callama, von letzterem durch eine Beckenformiger Krater im wilden Berglande getrennt, ist das Ringgebirge Baumant, von dem aus nordwärts eine Bodenschwellung zum Westwalle des Theopitus zieht. Etwas nördlich von diesem, nahe der Luftgrenze, sieht man die im Innern völlig schalenförmigen Krater Midlar. Was man das nördliche und kleine Detail, welches die Photographie im Fluglande nördlich von Theopitus zeigt, betrachtet, so erkennt man sichtlich, dass es ganz unzweifelhaft ist, diese Bodenschwellung durch konventionelle Schraffurung nach Art unserer geographischen Karten, an Detail genau darzustellen. Auf dem Standpunkte der astronomischen Technik zur Zeit von Müller und Schmitt blieb treulich kaum etwas anderes übrig, aber namentlich ist dieser Standpunkt überaus dank der Ausbildung der Photographie.

Frägt man aber nach dem ferneren Aussehen der letzteren, so gewähren

die Erfolge aus 48-Zoller der Venus-Sternwarte die schärfsten Hoffnungen. Der Nutzen von Objektiven mit grossen Brennweiten bedarf photographischer Aufnahmen der Himmelskörper nach grosser Skala und mit erheblichem Brennweitenvermögen ist so ausgedehnt, dass deren Anwendung immer ausdehnbarer wird. In Bezug auf diese Sternwarten, Doppelsterne, Detail der Planetenoberflächen und besonders der Mondoberfläche steht der Erfolg augenscheinlich im Verhältnisse der Länge der Brennweite des Objektivs. In Berücksichtigung dieses Umstandes ist daher in der Instrumentenwerkstatt der Yerkes-Observatoriums der Bau eines photographischen Spiegel-Teleskops von 2 Fuss Spiegeldurchmesser und 200 Fuss Brennweite im Angriff genommen und bereits weit gefördert worden. Natürlich kann ein solches Instrument nicht parallelisch bewegbar aufgestellt werden, sondern wird als fernsehendes Fernrohr montiert, wie das Instrument der Pariser Weltausstellung. Man darf von dieser Leistung, besonders nach den Erfahrungen, welche Keller mit dem grossen Crossley-Reflektor gemacht hat, das Beste erwarten. Dr. Klein.

## Neue Untersuchungen über den Durchmesser der Venus.

**S**eit mehr als 250 Jahren haben sich die Astronomen bemüht, durch möglichst genaue Messungen die Größe des Venusdurchmessers zu ermitteln. Namentlich konnten die älteren Messungen, entsprechend dem unvollkommenen Zustande der astronomischen Messinstrumente, nur ungenau sein. So erhielten Short, Schröter und W. Herschel Werte zwischen 8517 und 10070 für den scheinbaren Durchmesser der Venussehne in mittlerer Entfernung derselben. Da man zu derselben Entfernung der Erddurchmesser (148° gross

trichoten würde, so blühen jene Messungen zum Teil damit, dass Venus merklich kleiner, zum andern Teil aber, dass sie merklich grösser als die Erde ist. Die neueren Messungen zeigen bessere Übereinstimmung, doch lässt auch diese noch viel zu wünschen übrig. So bestimmte Kaiser in Leyden 1872 den Venusdurchmesser mit dem Doppelbildmikrometer zu 17516", Amboin 1885 am Göttinger Helometer denselben zu 17718", Barard 1885 zu 17397", während Pownall aus den Beobachtungen während der Vorüberflugs der

Venus vor der Sonnenoberfläche in den Jahren 1761 und 1769, als mittlere scheinbarer Durchmesser den Wert von 16816" abgabte und Auzers aus den Durchgängen von 1874 und 1882 als mittägigen Wert 16820" fand. Bei den Durchgängen der Venus durch die Sonnenscheibe zeigt uns der Planet seine dunkle Rückseite und ist also als schwarze scharfe Scheibe auf dem hellen Hintergrund der Sonne sichtbar und diese Scheibe erweitert sich durch Irradiation wahrscheinlich im Durchmesser etwas kleiner als sie wirklich ist. Umgekehrt wird die helle Venauscheibe auf dem dunklen Hintergrund durch Irradiation etwas vergrößert. Aber auch abgesehen hiervon ist die genaue Messung des scheinbaren Venausdurchmessers sehr schwierig, weil dazu, wenn die Scheibe am grössten ist, sich der Planet als kleine Scheibe darstellt, während zu der Zeit, wo die Scheibe fast voll erscheint, sie nach oben zum Minimum verkehrt. Ausserdem ist es grossen Refraktoren das Bild der Venus, wegen seiner grossen Helligkeit, nicht von einem

anderen klarstenen Schimmer umgeben, der bei unruhiger Luft die genaue Auffassung der Ränder schwierig macht.

Dr. J. J. See hat in den Monaten April bis August 1880 Messungen des Venausdurchmessers am 20-zölligen Refraktor in Washington angestellt. Der Myriometer Saum um den Planeten wurde durch Vorsetzen eines durchgehenden, farbigen Schirmes zum Vorschein gebracht und Vergrösserungen von 400 bis 600fach angewendet. Wenn die Luft ruhig war, zeigte sich der Rand der Venauscheibe so scharf wie der Mondrand dem blossen Auge. Im Mittel aus 32 Messungen ergibt sich der scheinbare Durchmesser der Venus zu 16800" + 8022". Dies stimmt sehr gut mit dem von Auzers gefundenen Werte überein und gibt unter Annahme der Sonnenspektialität zu 8190" einen wahren Durchmesser der Venus von 12051,7 km + 16 km. Hiermit ist also Venus im Durchmesser um etwas weniger als  $\frac{1}{100}$  Meilen als die Erde,

## Die grosse Feuerkugel vom 16. December 1901.

Von Sievald Schmidt

(Siehe Seite V und VI.)

**A**m 16. December 1901 um 4 Uhr 40 Minuten nachmittags wurde in Norddeutschland und Dänemark eine ungewöhnlich seltene Feuerkugel gesehen. Viele Beobachter erklärten ausdrücklich den Eindruck, dass das Lichtphänomen ganz nahe so und mit Entsetzen werden sie offenhin, dass der Abend sehr wohl 40 bis 50 Minuten betragen konnte. Ein Beobachter bei Kopenhagen war der Meinung, dass die Feuerkugel in zentraler Abstände von nur einer Meile von dieser Stadt gesehen wäre, und in Nippon bei Kōbe sich zu gleichfalls aus, als ob der Meteor sich irgend dieses Ozean befand hätte. Bei Frankfurt auf der Insel Berkland glänzte

man diese Kometen gesehen zu haben, und beim Vorüber dieser Zeitpunkte wurde angetragt, was für ein Kometa es wohl sein könnte, der so plötzlich erschienen sei?

Von 70 Beobachtern in den benachbarten Gegenden habe ich eben so viele Berichte empfangen. An allen Stellen in Dänemark und Ober-Jütland war der Himmel mit Wolken bedeckt, sodass hier die Rede nur von den dümmsten Menschen von hier. Dies wurde die Erwähnung in südwestlicher Richtung gesehen, wo die Sonne eben untergegangen war. Leider waren die

Straße noch nicht selbst geworden, sodass man keine zur Bahnbereitstellung notwendigen Positionsmessungen erhalten konnte.

Nachdem ich aus dem zuerst erhaltenen Berichtes bald gesehen habe, dass die Feuerkugel entweder in der Nordsee oder im nordwestlichen Deutschland zur Erde gefallen sein musste, erhielt ich durch die Güte des Herrn Dr. Herrn. J. Klein aus ganz Berlin, da mir ganz Dänische Leute. Es ergab sich nämlich daraus, dass die Feuerkugel von Köln aus gegen Norden, aus Hude (Oldenburg) gegen Westen, aus Wilhelmshaven gegen Süden und aus Leer gegen Osten beobachtet wurde. Hierdurch ward wahrscheinlichere Stelle in Oldenburg nicht weit westwärts von der Stadt Oldenburg als der Ort bezeichnet, über welchem das Meteor sich im Explosionsmoment befand. Dies stimmt auch mit allen Angaben zur entsprechenden Richtungsangaben Nord, S. O. nordwestlich von Hude, westlich von Stade, Hamburg und Bremen.

Die Beobachtungen von den direkten Stationen resultieren in folgendes Wahrnehmen.

Das Meteor erschien hoch am Himmel in Form einer Sternschnuppe, ward aber schnell größer und zog als beschleunigte Lichtkugel mit einem trangen Schweif hinter sich am südwestlichen Himmel fort, in der Richtung wo die Sternschnuppenströme waren, es explodierte, brennte in denselben Momente und zerfiel. Kurz nachher wurde an dieser Stelle die sehr heftige Lichtstrahlung sichtbar, anfangs war er gedehnt und ungefähr vertikal, aber er wurde bald zurückkehrend wie ein breiter Sternschnuppe, nach oben Schlagschwingungen zusammen, verschob sich Form langsam vorwiegend mit horizontalen Ausweichungen der S-Form. Die große Höhe des dampfförmigen Gebildes konnte, von Kopenhagen aus gesehen, mit  $15^\circ$  gemessen werden. Einige Beobachter haben den wunderbaren Streifen mit einem Profektor

verfolgt, andere wollen ein doppeltes Fragezeichen gesehen haben. Schließlich waren nur noch weitestgehende Streifen sichtbar. Die Dauer der ganzen Erscheinung wird meist auf 10, 15, 20 Minuten geschätzt, in Hamburg sogar auf eine halbe Stunde. Die Farbe war anfangs rötlich, im Explosionsmoment bläulichweiß; die Höhe erhellte großes Stück der Feuerkugel nicht wahrscheinlich von der rötlichen Glühung des Meteors durch die untergehende Sonne her, indem Götze bestimmtlich die Komplementärfarbe zu Rot ist.

Nur ein einziger Beobachter in Lüneburg, nämlich im südlichen See-land, berichtet von einem dumpfen Knall. Es kommt sonderbar vor, dass auch nur ein einziger Beobachter in Deutschland, wie es scheint, ein Schiffsplänchen erkannt hat. Dieser Beobachter, Herr Ober-Post-Assistent Luth aus Delmenhorst, hat früher folgenden Bericht der Hamburger Sternwarte gegeben.

—Hude, 10. Dezember 1900. Heute Nachmittag 4 Uhr 41 Minuten 30 Sekunden wurde von mir in westlicher Richtung etwa  $60^\circ$  über dem Horizont die geschweiften Meteor beobachtet, welches in schiefer Richtung zur Erde fiel und einen weißlichweißen Schwert hinterließ. Dieser Streifen war anfangs gedehnt, breitere sich später aus und nahm eine unregelmäßige Form an. Der leuchtende Streifen war um 4 Uhr 52 Minuten noch zu sehen. Hierher dem Station war die rotlich leuchtende Abendwolken sichtbar, aber machte der Weg, den das Meteor genommen hatte, nicht sehr weit entfernt war. Etwa  $15^\circ$  über dem Horizont glänzte die Feuerkugel die Detonation war um 4 Uhr 48 Minuten 30 Sekunden MEZ mit dumpfem, doppeltem Knall deutlich wahrnehmbar, die Farbe des Leuchtens war bläulichweiß.

In dem Bericht von Wilhelmshaven handelt es, dass der glänzende Schweif, einem flammenden Schweif

vorgleichbar, die Stelle am Himmel markierte, an der das Meteor niedergegangen war.

Vom Land aus erschien das Meteor am hellsten Himmel über Luga bei Desselbe bewegte sich fast senkrecht zur Erde und hinterließ einen ganz schmalen Wolkenschweif, der bei 12 oder 13 Sekunden vom Höhe bei immens schneller werdendem Lichte zu erlöschen war.

Aus Ostschöla-Touristen wird geschrieben: »Die Kugel bewegte sich Anfangs so langsam, als ob sie kaum von der Stelle käme, in dieser Zeit machte sie rasche Drehungen. Plötzlich schoss sie nach unten und machte rasch rasch in hin- und hergehenden Bewegungen, sondern in gerader Linie. Der zurückbleibende Nebelschweif, Anfangs aus schaffigem Lichte, nahm schnell Zickzackformen an, was wohl an der Fälschung veranlaßt, als ob die Feuerkugel diesen Weg genommen hätte. Die Kugel zeigte an der Spitze einen schwarzen Fleck, und in dem hinteren Teile glühend, sog sie einen nach hinten divergierenden feinen Schwanz hinter sich her. Sie machte beim Erloschen des Flares, als ob sie in einer Wolke verschwände.«

Aus Mäntze wird von geschätzter Hand geschrieben: »Rechnend 15<sup>h</sup> westlich des Zeniths beginnend sah ich ein helles Meteor, welches in west-südwestl. bis westlicher Richtung zum Horizont hinabstürzte schien. In etwa 3 bis 5 Sekunden, nach meiner Schätzung, war das Meteor etwa 20 bis 25° über dem Horizont aufgekommen, wo es verschwand. Die Helligkeit war im zweiten Drittel der Bahn am größten. Die Erscheinung schriebe mirlich die beständige Helligkeit, obgleich es wegen des klaren Himmels noch fast völlig ungetrübt war. Hätte nach der Erscheinung nicht regnet, so würde man sagen, dass die große Gegenst. 3 bis 5 Sekunden lang (nicht) erschickel gewesen sei. Etwa auf  $\frac{1}{2}$  der Bahn schienen einige Teile des Meteors sich abzulösen und zu zerplätzen. Eine Detonation

habe ich nicht wahrgenommen, obschon ich 3 Minuten mit der Scheidende auf diese wartete und auch später bei Fortsetzung meines Wagens noch Acht darauf gab. In der vom Meteor zurückgelassenen Bahn blieb ein leuchtendes Streifen sichtbar, welcher 2 bis 3 Minuten seine Gestalt mit einigen Abänderungen ziemlich behielt, dann kleiner und von vom starken Winde zerhaust wurde, und, als er noch völlig verschwunden etwa 10 Minuten nach Beginn der Erscheinung von einer inzwischen selbigen Weges Wolke bedeckt wurde. ... Die Helligkeit des Streifens nahm wohl nur im ersten Augenblick nach vom regneren Ort und Lichtfleck, später wohl davon her, dass der leuchtende Streifen bei seiner grossen Höhe über der Erdoberfläche auch von den Strahlen der untergehenden Sonne getroffen wurde. Der sichtbare Durchmesser des Flares zur Zeit seiner grössten Helligkeit machte 3 bis 6 Bogen-Minuten betragen, die Länge des hellen Streifens etwa 20 bis 30° im ersten Augenblick nach dem Verschwinden, die Länge der ganzen Bahn des Meteors etwa 45 bis 55°, so weit ich beobachten konnte. Das Licht des Meteors war gelblich bei seiner Helligkeit, als sich die Teile abzulösen schienen.«

Als Kuriere darf noch hinzugefügt werden, was sich in einem Dorfe bei Pörsen ereignete. Als die Feuerkugel unter wackeliger Lichtfälschung durch die Luft wandte, ließen einige Kinder schreckensmäßig ins Haus und riefen: »Kugel! Kugel! kam doch mal hier her! Die Maus ist oben vor'n Himmel hell! Sie hängt da in Massenmanns Beinkleid. Der heile Lichtschein ist hier auf deutsche Weise heiliger!«

Eine so prächtige Erscheinung wie die grosse Feuerkugel am 16. Dezember 1860 gab es in den Jahrhunderten. In meinen Gesandtschaft über Meteor habe ich besonders eines gefunden, welches grosse Ähnlichkeit mit der erwähnten Erscheinung darbot. Eine Vergleichung der holländischen Darstel-

lungen sind diese Ähnlichkeit am besten zeigen.

Über dieses interessante Phänomen hat der Beobachter P. Quittenbaum in Rosock mit folgendem Bericht gesprochen:

„Es war im Monat Juni 1879, als zu einem schönen, woligen Nachmittage zwischen 4 bis 5 Uhr ich, auf meinem Hofe (Marlow in Pockendorf) sitzend, gegen NNW ein glänzendes Meteor langsam herabziehen sah, welches, über dem Dache des Wohnhauses verstreut liegend, einen langsam ausstrahlenden, breiten Strahlen am Himmel zurückließ. Von der andern Seite des Wohnhauses konnte man nicht sehen, dass der schwarze Strahl zur Erde herabsiehe, und muss angenommen werden, dass das Meteor etwas tiefer als Stadium I explodiert sei oder sonst vom Endschweif gefangen habe. Einen Knall oder Donner habe ich nicht gehört, und schenke es nur nach so, als wäre die Entfernung eine sehr große wäre. Das interessanteste und Sonderbarste aber bei der ganzen Erscheinung waren die Phasen, welche der doppelte Strahl durchmachte und dessen Spalte sich gegen 9 Uhr im Moment der Dunkelheit schloß, waren folgende nach unten, liegen unter 7 bis 5 der Zeichnung (Tafel V) eine Vorstellung davon zu geben. Zuerst entstand aus dem ersten Strahl allmählich eine Spirale, welche sich in der Höhe vergrößerte, wobei an dem inneren Kreise nach oben gerichtete Kräfte entstanden, die sich mehr und mehr in horizontalen Strahlen nach dem Zenith ausbreiteten, sodass zuletzt fünf Strahlbüscheln bis zum Zenith der Nacht sichtbar blieben. Jede dieser Phasen dauerte etwa  $\frac{1}{2}$  bis 1 Stunde in ihrer Ausdehnung. Besonders reichhaltig war die Erscheinung, als der Hinder in mehr oder weniger starkem Abendrot glänzte.“

Dieses Beispiel verdient als eines der größten Schöneren aufgeschrieben zu werden. Ein Meteor, dessen Schwanz stundenlang, sogar während 4 Stunden sichtbar blieb.

Einer Mitteilung des Herrn Dr. Felix Kienasthoben zufolge, schied das Meteor vom 16. Dezember 1888 scheinlich von Havelberg bei Magdeburg in der Gegend der Kirchdörfer Wahn oder Sögel geplatzt zu sein. Über die That weiß, ob in jener Gegend Stücke des Meteors zur Erde gefallen sind, ist jedoch bisher noch nicht bekannt geworden.

Nachstehend folgt eine Übersicht der von 73 Orten angestammten Berichte über die Feuerkugel vom 16. Dezember

1. Westerdorf (Sachsen). Süd Richtung. Kugel strahlend, anschließend beständiger Lichtstrahl, welcher drei Minuten später Schlangenform annahm, ließ sich danach 6 Minuten

2. Ravensau (Sachsen). Fast senkrecht in gerader SW vom 8<sup>h</sup> bis 15<sup>h</sup> Höhe. Plötzliches Aufleuchten. Einziges rotes Feuer. Später veränderter Strahl — Eiförmig — nach hinten horizontaler Strahl. Dauer 15 Min.

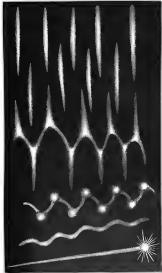
3. Eversdorf (Sachsen). Hinderlicher Strahl, verlor sich am Zenith 10, nicht am Zenith. Himmels 10 bis 12 Nordost. über dem Horizont. Der Strahl blieb sich zusammen

4. Nalke (Lolland). Eine Stenschnuppe kam vom O, aufschwamm wie eine Feuerkugel, explodiert. Die Kugel hatte schlingenförmige Bewegungen. Die letzte Phase in WSW—W und 23<sup>h</sup> Höhe, zeigte einen dickstrahligen Strahl

5. Nalke (Lolland). Feuerkugel vom O kam vom W bis in einen abgewinkelten Bogen gegen W bis, hell abwärts. Strahl wie ein „Propeller“, später ein kantiger horizontaler Bogen und noch später zwei „Fingerringe“.

6. Helsing. Fei jenseits der Elbe. Der glühende Schwanz blieb sich im Laufe einer Minute auf und bildete nachher eine Propellerförmige Dauer  $\frac{1}{2}$  Stunde.

7. Lyngby (Sachsen). 8<sup>h</sup> Höhe im SW. Kugel rötliches Licht. Strahlen in Form eines fortwährenden Strahls, blieb zwei Minute unverändert, dann allmählich nachschwindend.



1914

Diagramm zur Darstellung des Ausbaus des Sternfelds der Pleiaden  
im Jahr 1914 im Vergleich mit Pleiaden im Pleistozän

1914



8 Kopenhagen. Zwei sichtbar 65° Höhe im WSW. Bahnlänge 30° breitere auf in Form einer Kugel und verschwand. Der nachschonende Scheitel war 15° lang und sichtbar während 10 Min.

9 Borup (Seeland). Schöne nachherige Feuerkugel, verschwindet am Südostrand Scheitel von gelblicher Form. Dauer einige Minuten.

10 Kopenhagen. Ein goldglänzendes Licht, an Form und Größe dem Neumond ähnlich, hebt am westlichen Himmel. Explodiert. Zwei hell Lichtstrahlen in horizontaler Richtung breiten sich sichtbar während 15 Minuten, bis sie sich hinter Wolken verborgen.

11 Kalmundberg. Prachtvoller Meteoriten im W Schlangenförmiger Lichtstrahlen sichtbar in 4 bis 7 Min., bis eine Wolkendecke die Beobachtung verhindert.

12 Karselsbævnede (Seeland). Feil verbleibt in südwest Richtung. Scheitel in Form eines Würfels. Nach in 5 Minuten sichtbar, wurde danach hinter aufsteigenden Wolken unsichtbar.

13 Odense. Hoch am Himmel gibt ein Meteor von O—W mit hellem Scheitel und erscheint am Horizont als eine runde Feuerkugel.

Hamburg. Nahe am weiß. Horizont, Farbe rot-weiß-grün. Strahlen in Form eines „Fingerringes“, das sich bald zusammenzieht.

14 Kalmundberg. Feuerkugel am Westrand.

15 Borup. Eine Feuerkugel sinkt im SW hinter Wolken. Scheitel wie ein senkrechter Stab, später schachelförmig, verschwindet nach 10 Minuten.

17 Hinge (Nider). Sinkt von 25 bis 40° Höhe, gerad im WSW Scheitel sinkt senkrecht in 3 Minuten, anschließend von unten nach oben, der obere Teil Schlangenförmig ansetzungsweise, später wie die Ziffer 2 in liegender Stellung, prachtvoll, wie ein Strichlein bestehend in 25 bis 30° Höhe. Dauer 4 bis 10 Minuten.

18 Helsingør. Feuerkugel wie eine elektrische Lampe. Scheitel mit vielen „Strahlen“ bildet einen Kreis bildend. Dauer 5 Minuten.

19 Or—Strebekærstedt. In Form eines leuchtenden Würfels erscheint am südwestl. Himmel in 20 bis 35° Höhe der Scheitel einer Feuerkugel. Von der Mitte aus hat sie nachher nach oben aus. Die scharfen Ecken des Würfels nehmen allmählich runder Formen an, und die Windungen zeigen sich nach der Mitte zusammen. Dauer 6 bis 8 Minuten, bei vorübergehende Wolken der Beobachtung hindern.

20 Orngår (Seeland). 6° Höhe im SW. Im Doppelformen gesehen war der Scheitel einer Wispel ähnlich, nach beendigt der Bewegung. Dauer 10 Minuten.

21 Birkerød (Seeland). Feil von 30° Höhe senkrecht hebt am südwestl. Himmel. Der schräge gerade Strahlen wurde später gelblich. Dauer nur mindestens 2 bis 4 Minuten.

22 Kallert (Seeland). Feuerkugel in süd. Richtung.

23 Gardslille (Seeland). Feil verbleibt wieder im SW. Explodiert. Der Strahlen bildet eine gerade Linie, dann schlangenförmig und zuletzt ein unregelmäßiger Ring. Dauer 2 Min.

24 Vind (Seeland). Die schlangenförmige Stab heft sich während einer Minute, später dann eine knofige Form an. Der untere Teil 10 bis 15° Höhe im SW.

25 Gardslille (Seeland). Von Zeit gegen WSW hebt die Kugel am Himmel herab und verschwindet in 10° Höhe. Kurz nachher wurde in die weng. hell Richtung eine Wolkenstube gegeben. Im Laufe von 5 Min. nahen diese Stube viele vertikalwärts geklammte Formationen an 5° Höhe.

26 Gardslille (Seeland). Die Kugel kam ganz Vordurch nahe am Zenit in südwestl. Richtung und erlosch nahe dem Horizont im WSW, 3 bis 4 Minuten später sah man einen leuchtenden schlangenförmigen Strahlen entgegen-

stiegen. Die selbstherrige Gestalt nachtschwand binnen 5 bis 7 Minuten.

27. Vardningborg. Große Feuerkugel gegen SW. Schwefel in Form einer Schlinge war sichtbar 10 bis 15 Minuten.

28. Prästö. Der Feuerstrahl in westl. Richtung fiel sich in mehreren Minuten.

29. Nyborg (Fünen). Das Meteor, einer Feuerkometenähnlich, bewegte sich von 30° bis 20° Höhe. Explosionsfarbe: gelb und blau. Ein gelberer Strahl war sichtbar während 5 Minuten.

30. Hinneröd (Schl.) von Seeland. Feuerkugel verschwand im magnetischen WSW. Schwefel oben einen Halbkreis, unten vier Spindel, springt abwärts. Dieser Schwefel war sichtbar im Laufe 5 bis 10 Sek.

31. Neumühlten (Altona). Feil schwoll zur Erde an der linken Seite der Erde, inartiges Dampfwehen.

32. Korte (bei Eckernförde) NNO—SW. Meteoriten in 3 bis 4 Sekunden einen Strahl.

33. Ist wahrscheinlich ein anderer kleinerer Meteor, welches um 4<sup>h</sup> 15<sup>m</sup> erschien.

34. Siegre. In schwiger Richtung von SW—NW. Im Laufe von 20 Minuten sah man einen S-förmigen Strahl, der nach und nach mehr zusammengedrückt wurde.

35. Nistelved. Feil von 40° Höhe unterhalb mehr Explosion. Schwefel einer Ursprüngegen sichtbar 10 bis 15 Minuten.

36. Hamburg. Das glühende Meteor bewegte sich in ungefähre nordöstlicher Richtung in bläulichen Über. Nach Erlöschen blieb seine Bahn in einer leuchtend leuchtenden Spur sichtbar, einen Moment bestand dass es einer scharfen, schlangenförmigen und schwarzen, gelb leuchtenden Linie, die sich später an deren Ende verlor, und gleich einer von der Sonne betriebenen Wölke, langsam im Halbkreis abwärts. Während 10 bis 15 Sekunden der Strahl sah sich eine irreguläre geläutete

Schlangenförmige, wurde allmählich bester und weniger scharf, bis er sich in einem langgezogenen Nebel auflöste, dessen schwacher, weiser Schimmer endlich ganz verschwand.

37. Huzen. Feil abwärts von 60—20° Höhe in südwestl. Richtung. Explosion in grünlischen Farben.

37. Kopenhagen. Der Schwefelstrahl nachfolgenden Bewegungen unter dem Lauf von N—SW. Hier koste die Kugel sich auf in Funken und Eis herab. Die Funken waren im Gehör verschieden. Ein silberweiser Strahl wurde gesehen, später auch ein anderer in ähnlicher Richtung.

38. Hinneröd. Rote Feuerkugel im SW. Der Strahl wurde allmählich S-förmig und nach und nach zusammengedrückt, verschwand in 15<sup>m</sup> Höhe.

39. Hamburg (Hohenfelde). Feuerkugel war eine absteigende Rakete. Danach wurde in der Wolkendeckung ein schwacher weißer Strahl, der sich nach und nach im Zwickel weiter, gesehen. Die Kugel zog in westlicher Richtung unterhalb zur Erde.

40. Hamburg (Grasbrook). Das Meteor, welches am südwestl. Himmel abstrich, ließ hinter sich einen langen gelblich-weißen Dampfstrahl, der 5 bis 10 Sek. lang sichtbar blieb, erst lang und gerade, dann verbogen und S-förmig verlagert, bis mit dem Erlöschen der Dunkelheit allmählich verschwand. Zunächst war nur die der Erde nächste Strecke dieses Strahls sichtbar und erst nach mehreren Sekunden zeigte sich die Fortsetzung nach oben.

41. Kalandberg. Eine nachfolgende Wölke ward gegen Mittel, ein wenig nach Westen hin gezogen, allmählich immer schwächer werdend.

42. Askö (im Lolland). Meteor war eine absteigende Rakete in 30° Höhe im SW. Der hinterlassene Strahl wurde allmählich S-förmig gekrümmt bester, aber schwächerleuchtend. Dauer: 5 Minuten.

43. Kopenhagen. Feil in östliche vertikaler Richtung bis zu 10° Höhe

in ungelöster SW. Gelblich grüne Farbe. Nur 3—4" der Bahn wurden beobachtet.

48. Gumb (bei Seeland). Der Kugel ging von NO nach SW, war rot, sendete Funken aus auf den Himmel und zerbrach unter einem dumpfen Knall. Danach wurde etwas wie ein Stein gesehen. Der Zerkleinerungsstoß einige Minuten später.

45. Bremen. Im Januar strom bewirkt der Beobachter einen hellen Schein, sodass die anwesenden Kunden aussetzten: -Es blitz! Gleich darauf rücken im W über dem rötlichen Abendwolken ein heller geschlängelter Lichtstrahl, der seine Figur allmählich änderte. Dauer 18 Minuten.

46. Bremen. Die Kugel erschien in 45° Höhe im SW., fiel dann 30° wieder hinter einer Wolke, aber der Schwefel blieb in Zirkelform 12 Minuten.

47. Oberk. als Teil von (Belkman). Der Kugel bewegte sich sehr langsam, als ob sie keine von der Seite kam; in dieser Zeit machte die sich nähernde Kugel rasche Drehungen. Plötzlich schwan sie nach rechts in gleicher Linie nieder. Die Kugel zeigte an der Spitze einen schwarzen Fleck, erst in dem hinteren Teile glühend, zog sie dann nach hinten disapparend, feurigen Schwefel hinter sich her. Ein sackförmiges Nebelband war nach 15 Min. sichtbar. Kein Geräusch.

48. Achen bei Bremen. Eine grosse Feuerkugel, die in allen Farben sich blitzartig und plötzlich umherwarf und bei in weißlicher Richtung nachdem sie verschwand war, sah man eine schlangenförmige Rauchspur von gelberer Färbung.

49. Appenzel. Am süd. Himmel wurde ein Meteor in langsamer Bewegung und in einer gekrümmten Bahn gesehen. Die Erscheinung spielte in prägnanter Farbe und war sichtbar als kochender Streifen in 8 Minuten.

50. Köge. Feuerkugel im SW. Schwefel sichtbar in mehr als 4. Min.

51. Gieslands (Lofthof). Blühender Streifen in raschen Minuten sichtbar.

52. Nybing. Zug vom Zenit ganz langsam in südwestlicher Richtung mit langsam leuchtendem Schwefel.

Mit Vorlicht wie No 52; das kleine Meteor.

53. Hiltorid. Heller Lichtschein im SW., dann zwei 1 $\frac{1}{2}$ " lange Lichtstrahlen, der untere feinkörnig und in welliger Bewegung.

54. Nippes (bei Käte). Ein prächtiges Meteor wurde in süd. Richtung gesehen, eine kleine Rauchspur hinterlassend.

55. Münden. Der Beobachter befindet sich auf der hohen Laubstreu, und ging nach Westen zu, zunächst nahe an der Wasserbrücke, und sah, ca. 75° westl. des Zenit. beginnend, ein helles Meteor, welches in westnordwestlich bis westlicher Richtung zum Horizont hinabzog. In etwa 3—5 Sek. war es etwa 30—35° über dem Horizont angekommen, wo es verblühte. Oben Hellgelb im zweiten Drittel der Bahn. Wäre die Erscheinung nicht augenblicklich, würde die ganze Gegenst. 3—5 Sek. lang täglich erleuchtet gewesen sein. Nach etwa  $\frac{1}{2}$  der Bahn schwan einige dunklere Teile des Meteors nach abwärts und es erschienen kleine Detonation höher, abgleich in mehreren Minuten darauf nicht gegeben wurde. Der in der Bahn benutzte Streifen wurde nach 2—3 Min. gelblich, da er etwa 8 Min. später völlig hinter aufsteigenden Wolken verschwand. Der schärfere Durchmesser der Meteor machte 3—5 Doppelminuten betragen, die Länge des hellen Streifen 20—30", die Länge der ganzen Bahn 50—55" Farbe gelblich bis orange bläulich, als sich die Teile abließen.

56. Gieslands. Die Leucht-kugel wurde sich in schneller Fluge vor Erde, einen glänzenden gelben Schwefel zurücklassend. Nach dem in die Erde stieß, zerplatzte sie, während

der Seite, lange Schwefel geschickel am westlicher am Himmel stehen blieb, wie ein Dikt, der sich langsam in Schlingenswindungen zusammensog. Dauer etwa 15 Minuten.

51. St. Stada. In 30° Höhe sah man ein gelblichweißes Band, welches sich silberweiss glänzend von dem Himmelsgrund abhob, als ob durch den Blau einer Farbengeleuchteten Lichtstrahl. Der intensive, die Figur eines umgekehrten 5 bildende Streifen war etwa 5' hoch und 1/2' breit. Er wackelte seine Form langsam, vorwiegend mit horizontaler Ausdehnung der S-Form. Die Erscheinung verlängerte sich in schwächerer Intensität nach oben und deutlicher Bewegung nach oben und unten, und westlicher Tendenz, wobei die Erde des oberen Zwiſchen einen deutlichen Kuppel von der Höhe her zum Sternes 3. Größe erkennen ließ. Größte Ausdehnung 30°. Dauer 15 Minuten.

52. Wilschlebenhagen. Am südlichen Himmel sah man ein bläuliches Aufleuchten. Der Feuerball sah in unruhiger Richtung sichtbar zur Erde sinken. Ein glühender Schwefel markierte, einen besonders Schwefel vorleuchtend, die Stelle, an der der Meteor zerlegungsgegang war.

53. Lora. Am südlichen Himmel über Lora wurde ein prachtvolles Meteor beobachtet. Dasselbe ging fast senkrecht zur Erde, in einer geringen Höhe über dem Horizont wurde dasselbe, einer bläulichen Artzeichen, als leuchtender Ball sichtbar und ließ als solcher nieder. Der Ball wurde noch lange umgeben durch sichtbar glühende Dämpfe, welche wie ein ganz schwarzer Waldmattschiff bis zu einer ungeschätzten Höhe an verfolgen waren und sich erst allmählich auflösten.

54. Vordick (Sachsen). Fast senkrechter Richtung im SWW. Densiche Explosion. Das Meteor schien nur aus halber Höhe entstand zu sein.

55. Ködzig (Sachsen). Ein Stern geht südwestlich und zerlegt einen Dampfstrahl

senkrecht; er geht mit einer hellen bläulichen Figur abwärts. Dauer 15 Minuten.

56. Borsdorf (Sachsen). Meteor vom Zenit in südwestlicher Richtung. Die Kugel senkrecht in 30° Höhe.

57. Wilschleben. In No. 52 und No. 53 das kleine Meteor.

58. Hrad. Prachtvolles Meteor in 60° Höhe um 4<sup>h</sup> 41<sup>m</sup> = 30<sup>s</sup>, nach zur Erde senkrechter Richtung, eine westlich gerichteten Schwefel hinterlassend. Dauer war anfangs gerade, später von unregelmäßiger Form, nach westlich um 4<sup>h</sup> 52<sup>m</sup>. Nach dem Schwefel wurden die roten Abendwolken gesehen. Explosion in 15° Höhe in bläulichen Licht. Die Detonation, ein dumpfer doppelter Knall, wurde um 4<sup>h</sup> 46<sup>m</sup> 25<sup>s</sup> deutlich gehört.

59. Kopenhagen. In 20—25° Höhe im SW wird eine leuchtende Nebelmasse in Schlingensform gesehen, etwa 1' in der Länge. In der Mitte ein heller Punkt. Dauer 10 Minuten.

60. Brackow (Sachsen). Aufleuchten des Meteor nicht vom Norden nach Süden zu und verschwindet hinter einer Wolke. Später wurde eine langer Schwefel sichtbar im SW.

61. Ullrichs (Sachsen). Explosives Meteor. Danach zeigte sich ein leuchtender Streifen, welcher sich langsam zusammensog in zwei Windungen mit zwei hellen Stellen. Dauer 10 Minuten.

62. Friederiksdorf. Ein Meteor wie einer der größeren Planeten im SW bis W horizontal einen unregelmäßigen Feuerstrahl, welcher sich 1—2 Minuten ziemlich unregelmäßig hielt, wozu der untere Teil sich langsam nach oben bewegte, während der obere Teil eine Höhe behielt. Ein Teil des Strahlens wurde nachher durch eine Wolke gesehen.

63. Barre 54 (Mähren). Meteor niedrig im SW. Schwefel in Zickzackform wie ein Blitzstrahl, war etwa 20 Minuten sichtbar.

64. Friederiksdorf. Die Detonation 40° lang am südwestlichen Himmel, bräunlich senkrecht. Zwei leuchtende Streifen,

gestrichel gerad-, später krummlinig  
Dauer: 10 Minuten

30. Capricorn (Lolland) 15° Höhe  
im SW. Scheitel hat leuchtender  
Strahlen von etwa 2° Länge, etwas heller  
in der Mitte, wird allmählich schwächer,  
während er in zwei-Hilfsminuten-Ver-  
sprung Dauer: 10 Minuten.

31. Wismar. Eine gelb-weißliche grün  
beiförmige Feuerkugel erhob sich vom  
Horizont (h) bei 33° Höhe in lang-  
gestreckter Schlingendauer, wo die Ex-  
plosion stattfand. Der Scheitel wurde  
blühend und hell rot. Die Feuerkugel

erschien im Sternbild des Schützen  
10 Minuten sichtbar.

32. Amsterdamm. Ein stark leuchtendes  
Metall glitz in stößlicher Richtung  
strahlte in gerader Linie, die durch-  
sichtige Luft hinterlassend, welches  
sich Augenblick nach dem Erscheinen  
der Kugel sichtbar war.

33. Eifelstein (Bremen). Ein neues  
Band in Zickzackform wird im SW ge-  
sehen, oben mit einer halberdeiförmigen  
Figur besetzt. Eine leuchtende Kugel  
wurde vor von einem anderen Beobachter  
gesehen, und auch der letzte Schein  
wurde von mehreren Personen wahr-  
genommen.

### Provisorische Bezeichnung der neu entdeckten veränderlichen Sterne.

In den letzten Jahren sind, haupt-  
sächlich infolge photographischer  
Aufnahmen des Himmels, zahlreiche  
veränderliche Sterne entdeckt worden.  
Die meisten derselben sind nur wenig  
beobachtet, bei manchen mag der Licht-  
wechsel auch noch unvollständig sein.  
Es ist daher von Wichtigkeit, eine pro-  
visorische Bezeichnung dieser Objekte  
einzuführen um überdies die eine sichere  
und köstliche Liste führen zu können.  
In dieser Beziehung schreibe aus Herr  
Prof. H. Kraus \*) folgendes:

Die immer mehr zunehmenden Ent-  
deckungen von veränderlichen Sternen  
lassen es wünschenswert erscheinen, für  
dieselben, ähnlich wie bei Kometen und  
kleinen Planeten, eine provisorische  
und kurze provisorische Bezeichnung

einzuführen. Derselbe wurde von  
mir an die veranlassenden und neuen  
Sterne in der Reihenfolge, in der ihre  
Entdeckung zu meiner Kenntnis kommt,  
von Jahresanfang an gemacht, fort-  
laufend nummeriert worden, und die  
so entstandene Nummer wird zugleich  
mit dem Sternbild so lange zur An-  
erkennung kommen, bis die Verände-  
rlichkeit genügend gesichert ist, und der  
Stern in der üblichen Weise seine defi-  
nitive Bezeichnung erhalten kann. Gemäß  
diesem Prozeß, dem auch der Vorstand  
der Astronomischen Gesellschaft seine  
Zustimmung erteilt hat, hat die folgende  
Nummerierung der im Jahre 1900 bisher  
entdeckten veränderlichen und neuen  
Sterne stattgefunden:

var.	Bezeichnung	Decl.			Recht.	Azimut
		h	m	s		
1.	1900 Cassiopea	17	55	36	+54° 51'	Anderson A. N. 3619
2.	1900 Cygnus	20	20	10	+46 51	Williams A. N. 3620
3.	1900 Andromeda	0	3	30	+46 12	Anderson A. N. 3621
4.	1900 Taurus	3	44	0	+15 42	Anderson A. N. 3624
5.	1900 Cassiopeia	23	44	24	+52 35	Anderson A. N. 3626
6.	1900 Taurus	3	30	30	+30 11	Cassini A. N. 3625
7.	1900 Virgo	13	0	19	-12 25	Schwassmann A. N. 3623
8.	1900 Auriga	0	0	54	+50 14	Anderson A. N. 3622
9.	1900 Cygnus	0	30		+79 23	Cassini A. N. 3624

\*) Astron. Nachr. No. 3675.

Beobachtung	Del 1891-2		Anzahl	Astron.	
	k	m			
10. 1900 Hecale	19	20	+25	21.6	Corneli A. N. 2020
11. 1900 Apulei	19	12	— 8	24.0	Novace 1900, Fleming A. N. 20 11, 12
12. 1900 Lysae	18	22	+43	49.5	Williams A. N. 2042
13. 1900 Cygni	19	42	+48	42.0	Hagen A. N. 2009
14. 1900 Pappi	22	4	+13	30	Anderson A. N. 2029
15. 1900 Lysae	17	14	+24	45.5	Williams A. N. 2011
16. 1900 Cygni	20	20	+40	4.2	Karl A. N. 2023
17. 1900 Apulei	19	15	+4	35.4	Anderson A. N. 2021
18. 1900 Pappi	21	6	+13	12.4	Anderson A. N. 2021
19. 1900 Pappi	7	20	— 20	20.0	Isaac A. J. 405

Dieser Liste sind weitere noch beizufügen:

	k	m	n			
20. 1900 Cygni	20	09	10	+20 <sup>1)</sup> 49.6	Staley Williams	
21. 1900 Monocerotis	6	48	48	+11	25.8	Edm. Corneli
22. 1900 Cygni	20	14	45	+43	2.0	Staley Williams
23. 1900 Antaresmeda	1	21	8	+20	26.5	Th. H. Anderson
24. 1900 Arct	17	45	24	— 42	24.5	Isaac
25. 1900 Cassiope	15	7	21	— 11	17.7	Isaac

Zu den vorstehend aufgeführten neu entdeckten Veränderlichen sind folgende Erläuterungen von Interesse.

2. 1900 Cygni. Nach E. Hartwig beträgt die Periode des Lichtwechsels 16.3 Tage, die Lichtkurve ist unregelmäßig stark. Im Maximum scheint der Stern 7 Grösse zu sein, im Maximum 5.8 Grösse.

10. 1900 Hecale. Im Maximum ist der Stern nahezu 9 Gr. im Minimum 12 Grösse oder darunter.

11. 1900 Apulei. Als sogenannter Nova von Edm. Fleming auf Antypa-Photogrammen entdeckt. Nach Edward C. Pickering blüht der Stern auf 9.6 Platten, die zwischen August 21. 1866 und März 1. 1870 aufgenommen wurden, ebensolch diese Sterne 13 Grösse zu haben. Er findet sich dagegen auf 18 Platten zwischen April 21. 1869 und Oktober 27. 1869. Am 31. April war der Stern 3. Gr., am 21. Okt. 14 Gr. Zwei Photographien vom 1. und 9. Juli 1880 zeigen den Stern photographisch von 11.5 Grösse. Auf einer Photographie vom 3. Juli 1889 erscheint von Spektrum ähnlich demjenigen der Frühen neuen Sterne, während eine Photographie vom 21. Oktober 1899

zeigt, dass das Spektrum demjenigen der Deneb gleich ist.<sup>2)</sup>

13. 1900 Cygni. Dieser von F. Jos. Hagen S. J. auf der Sternwarte Valparaiso entdeckte Veränderliche schwankt zwischen 9 und 13 Grösse. Seine Periode scheint ungefähr 250 Tage zu sein.

15. 1900 Lysae. Die bis jetzt beobachtete Helligkeit dieses Sternes schwankt zwischen 9.8 und 11. Grösse.

19. 1900 Pappi. Dieser Veränderliche ist, wie E. Hartwig<sup>3)</sup> annimmt, identisch mit dem Veränderlichen Z Pappi. Der Stern schwankt aus Periode von 17<sup>1)</sup> Monaten zu haben.

21. 1900 Monocerotis von Madama J. Corneli in Mexico entdeckt auf Photogrammen, welche M. S. Baily aufgenommen hat. Der Ort des Sternes für 1900 ist:

$\alpha = 6^{\text{h}} 51^{\text{m}} 19^{\text{s}} 24^{\text{d}} \text{ Dec} = + 11^{\circ} 22' 21''$   
 Gemäss den Aufnahmen war der Stern im März 1895 etwa 11.5 Grösse und schien noch so Helligkeit zu, im März 1900 war er dagegen nur 9 Grösse und nachwachend. Nach den Beobach-

<sup>1)</sup> Astron. Nachr. No. 2653.

<sup>2)</sup> Astron. Nachr. No. 2678.

langen vor Heftig-mass das Maximum der Helligkeit etwa in der zweiten Hälfte des Oktober 1860 eingetreten und der Stern danach 8.6 Grösse oder etwas heller gewesen sein.

22. 1860 Cygnus, von A. Stanley Williams, auf Wolfrichen Photographien als verändertlich erkannt. Der Ort des Sternes ist (für 1850):

$$\alpha = 20^{\text{h}} 54^{\text{m}} 45^{\text{s}} \quad \delta = +42^{\circ} 21'$$

Es ist der Stern  $+42^{\circ} 39' 38''$  der Bonner Durchmusterung und dort als 9.4 Gr. angegeben. Nach St. Williams war der Stern 1860 Februar 5, im Maximum und die Periodendauer ist 13.315 Tage. Die Helligkeitsänderungen schwanken zwischen 9.5 und 11, Grösse und die Lichtkurve vom Maximum zum

Maximum ist sehr rasch. Die Lichtmaxima sind nur um 30 Januar 1901.

23. 1900 Andromeda, von Thomas D. Anderson als veränderlich erkannt. Der Ort des Sternes ist (für 1850.9)

$$\alpha = 1^{\text{h}} 31^{\text{m}} 7^{\text{s}} \quad \delta = +28^{\circ} 38.3''$$

Am 21. Oktober 1900 fand Anderson den Stern 9.8 Grösse, am 15. Dezember er dagegen kleiner als 10.7 Gr. Über die Dauer und den Umfang des Lichtwechsels liess sich noch nichts sagen.

24. Der Stern hat die bemerkenswert kurze Periode von 0.5114 Tag,  $\alpha = 21^{\text{h}} 26^{\text{m}} 34^{\text{s}}$ , seine Lichtkurve gleicht der der langperiodischen Sterne Grösse 8.9—9.75

25. Grösse schwankend zwischen 7.7—12.3

## Die alte Peking Sternwarte.

Über dieselbe schreibt Dr. Stahlmann, der Bogen Zeit als Lehrer an der Universität zu Peking tätig war, folgendes. Auftragsgemäß an die kaiserlich von Peking eingeschickte Hofkette, dass die weltberühmten, alten, astronomischen Instrumente mit Billigung des Grafen Waldemar erstens werden sollen, dafür einige Mitteilungen über die Chronologie der chinesischen Hauptstädte von Peking sein. Es ist eine der ältesten aller erhaltenen derartigen Einschickungen. Sie wurde während der Herrschaft der Mongolen in China von Kubla Khan im das Jahr 1279 gegründet, ist somit ungefähr 500 Jahre älter als die unter Friedrich II. von Dänemark erbaute, im Jahre 1850 vollendete Uraniburgstadt der Insel Hvenn im Sand, wo Tycho Brahe unterweg seine astronomischen Beobachtungen anstellte. Die Instrumente zerfielen in zwei Gruppen, aus alten und aus neuem. Die aus der Mongolenzeit stammenden, älteren Instrumente wurden wahrscheinlich schon gegen Ende des 17. Jahrhunderts von ihren ursprünglichen Standorte auf der Stadtmauer entfernt und befanden sich in

later Zeit in einem Hofe am Fusse der Mauer. Sie bestanden aus einer Armillarsphäre (zur Bestimmung der Sternörter), einem Astrolabium (zur Bestimmung der Länge und Breite der Gestirne) und einem Höhen- und Azimut-Instrument (japanisches Universal-Instrument). Der Kreis auf diesem Instrumente ist in 365 $\frac{1}{4}$  Grade geteilt, entsprechend der Anzahl der Tage in einem Jahre. Sämtliche Instrumente sind aus Bronze und von sehr beachtlicher Grösse. Sie sind sehr reichlich mit Zeichen und Schrift verziert und machen, obwohl sie über 600 Jahre jüngerer Uebel des Weltens ausgeht waren, den Eindruck, als ob sie erst kürzlich die Werkstatt verlassen hätten. Nur eine alte Solitäre grüner Porzellan Kugel auf der Höhe schweben. Von allen Schenkelstangebesten, die in höherer Zeit den Beobachtern Peking's nutzbringend waren, dürften diese Instrumente am meisten bewandert worden sein, und ich bezweifle, ob diese, die Kunstwerk betrachtet, irgend etwas in China an die Seite gestellt werden könnte. In unmittelbarer Nähe der Instrumente, in einem der das Hof umgebenden

Tempel, befindet sich eine sogenannte Kloppele oder Wasseruhr, die bei Sonnen- und Mondfinsternissen zur Zeitmessung diente. Auch Tycho Brahe bediente sich noch dergleicher Apparate, welche jedoch dabei das Wasser durch Quecksilber. Die meisten Instrumente, die im Hofe der unter Kublai benutzten in Gebrauch waren, stammten aus Italien, die Städtewerke eines Obergerichtes An-hau, so dass man auf einer Kugel gelangt, nachdem man den erhellten Hof ebenfalls verlassen hat. Sie wurden nach Angabe des berühmten jenseits Verbannt ungefähr im Jahre 1625 in China angefertigt und tragen große Ähnlichkeit sowohl in Form als Anwendung mit den von Tycho Brahe benutzten Instrumenten. Sie sind weit zahlreicher als die im Hofe unter anderem auf ebenfalls im Chinesischen Stil, zum Teil sehr reich, verziert. Wenn sie sich auch in künstlerischer Hinsicht kaum mit den älteren Instrumenten messen können, sind sie dennoch Meisterwerke chinesisches Arbeit und gehören unströmg zu dem Schönen, was auf diesem Gebiete geschaffen ist. Der am meisten in die Augen fallende Teil ist

ein neuer Himmelsglobus. Ein sehr großes Höhen- und Azimut-Instrument unterscheidet sich von den andern Instrumenten dadurch, dass die Gradbezeichnung nicht chinesisch, sondern europäisch ist. Dieses Instrument soll angeblich dem Gesandten König Ludwig XIV. von Frankreich an den Kaiser von China sein. Die Drehanne und im Kreismesswerk gehalten und die Ausführung ist in den Einzelheiten zum Teil sehr geschmackvoll. Aber im grossen und ganzen sieht alles etwas still und geringfügig aus und verleiht nicht den Vergleich mit den chinesischen Erzeugnissen der damaligen Zeit. Die übrigen Instrumente vertreten den Typus der in Tycho Brahe's Zeiten im 16. Jahrhundert in Europa gebräuchlichen Apparate. Gleichwohl sämtliche Instrumente von den Chinesen so gut wie gar nicht mehr benutzt wurden und sie mit modernen Hilfsmitteln ausgerüstetes Observatorium, unter europäischer Leitung, schon seit Jahren in der Hauptstadt besitzt, so wirt es dennoch zu wünschen, dass diese ehrwürdigen Denkmäler chinesisches Wissenschaft und Kunst erhalten bleiben.

### Die totale Sonnenfinsternis 1901 Mai 17.



Die Finsternis wird nicht bei uns, sondern nur in der östlichen Hälfte Sibiriens, in Vorder- und Hinterindien, auf den indischen Inseln, in Polynesien und im Indischen Ocean zu

sehen sein. Es mögen daher die folgenden Angaben über dieses Ereignis dem Berliner astronomischen Jahrbuch genügen.

	Minut Zeit Werte	Q. L. Gr.	Breite
Beginn der Finsternis überhaupt	15 <sup>h</sup> 51.6 <sup>m</sup>	50° 45'	— 27° 36'
Beginn der totalen Finsternis	16 46.8	40 0	— 17 17
Beginn der partiellen Finsternis	16 54.3	36 31	— 19 56
Ende der Finsternis im westlichen Sibirien	18 25.4	56 32	— 3 4
Ende der totalen Finsternis	21 3.6	153 27	— 22 56
Ende der partiellen Finsternis	21 5.4	153 19	— 22 43
Ende der Finsternis überhaupt	21 16	145 55	— 5 54

### Vermischte Nachrichten.

**Versuche.** Die Sonnenkorona ausserhalb totaler Sonnenfinsternisse nachzuweisen, sind wiederholt von Huggins, Hale und Stern, auch von

Deslandres, gemacht worden, jedoch ohne Erfolg. Lohse hat indessen seine Bemühungen fortgesetzt und ist dabei von dem Gelingen überzeugt, was



die infraroten Strahlen (stark von H<sub>2</sub>O und HCl) der Atmosphäre zu besitzen. Versuche während der letzten Sonnenfinsternis in Spanien (1900) lehrten ihn, dass die infraroten Strahlen noch von der Wellenlänge  $\lambda = 13$  sich gut wahrnehmbar machen und dem Mangel von  $\lambda = 1$  bis  $\lambda = 25$  dortigen betrug, welche denselben Punkte des Horizonts nach Vorübergang der Sonnenränder beobachtet. Mit verbesserten Apparaten hat nun DeLalande diese Versuche in Madras bei Paris fortgesetzt. Er fand,<sup>1)</sup> dass zu allen Tagesstunden die Ablesungen der Lufttemperatur sich nicht von dem Zenit aus als an der Sonnenpolen und schreibt dies der Wirkung der Korona zu, welche gegenwärtig am Äquator der Sonne höher sein muss als an den Polen, da die Sonne sich in der Periode des Fleckenminimums befindet und nach den Beobachtungen bei totalen Sonnenfinsternissen während der Korona über dem Sonnenquadranten erhöht höher erscheint. Ob dieser Schluss von DeLalande zutreffend ist, muss dahin gestellt bleiben, es scheint er sehr fraglich.

**Detaillierte Mondbeobachtungen.** In der II. Session der British astronomical Association vertrat sich Herr S. A. Saunders über die Bedürfnisse genauer Durchleuchtungen der Mondoberfläche als wir gegenwärtig besitzen. Er wies darauf hin, dass die ausgezeichneten Photographien des Mondes, welche von der Panzer Sternwarte unter Leitung der Herren Lowry und Parsons veröffentlicht worden, eine gute Grundlage für solche genaue Karten bieten. In Bezug auf letztere schlägt Herr Saunders vor, eine Grosskarte von 200 Zoll auf dem Durchmesser zu nehmen und die ganze Fläche in kleine Schichten von 1 Zoll Höhe zu zerlegen, in welche das Detail der photographischen Aufnahmen eingetragene und als Grundlage für Detailzeichnungen der Beobachter direkt am Teleskop benutzt würde. Jeder

Beobachter sollte sich einen besonders Teil der Mondoberfläche aussuchen, den er ausführlich zum Gegenstand seiner Untersuchungen mache. Diese Vorschläge des Herrn Saunders sind gut gemeint, aber leider beweisen sie noch ungenügende Kenntnis der Sachlage. Es wäre völlig fahrlässig, alle Regionen der Mondoberfläche in dem gleichen Masse zu durchleuchten, denn die Randgegenden des Kreises sind nicht so gut zu Gesicht, dass es sich verlohnen sollte, sie in demselben Gradeverhältnisse aufzunehmen, wie die Regionen nahe der Mitte der Mondkugel. Auch eine Verlesung der einzelnen Mondregionen unter eine Grosskarte von Beobachtern zum Zwecke der genaueren Aufnahmen, auf welche Herr Saunders ein zweites Mal ein Herr Walter Goodaire hinwies, hat ihre Schattenseite. Was hat denn das früher von Herr James-McGibbichte Lunar-Komitee oder die spätere Selwyngeographical Society Erhellendes gebracht? Was haben die sogenannten Mond-Sektoren zu stande gebracht? Nichts, was auch nur irgend einer Erwähnung wert wäre. Was bezüglich der Mondoberfläche errungen worden ist, verdanken wir lediglich dem Fleiss Einzelner, einem Schuster, Lehmann, Müller, Schmidt. Heute liegt die Sache allerdings so, dass die photographischen Aufnahmen des Mondes das Material für jede Detailforschung abgeben können zu müssen und Herr Saunders hat Recht, dass die Weiterarbeit auf demselben nicht ist. Er wies aber offenbar gar nicht, dass diese Arbeit schon vor Jahren begonnen und richtig gefördert worden ist von Herrn J. N. Kruiger, von dessen Mond-Atlas Band I. Bogen publiziert wurde und weitere Bände in Vorbereitung sind. Sobald diese neuen Karten Kruigers an die Öffentlichkeit kommen, wird jeder Mann zu der Überzeugung gelangen, dass darüber die andere bei jetzt veröffentlichten Detailzeichnungen gründen werden sind. Dr. Klein

**Neue Messungen der Durchmesser des Jupiter und seiner Monde.** Am

<sup>1)</sup> Compt. rend. 1900 T. CXXXI p. 201 Seite 190. 186 1.

30 stelligen Rechner der Sternwarte in Washington hat Dr. See eine Reihe von Messungen des Jupiter und seiner Monde angestellt, die ihn zu folgenden Resultaten führte:

Aequatorialdiameter	360' ± 0.001
Polar diameter	35.921 ± 0.000
Abplattung	1: 75.57 ± 0.01

Unter Annahme der Sonnenparallaxe zu 8.796" und des äquatorialen Radius der Erde zu 6378.196 m ergibt sich daraus folgende weitere Werte für die Dimensionen des Jupiter:

Aequatorialdiameter	14779 ± 10 km
Polar diameter	13848 ± 10 "

Für die scheinbaren Durchmesser der vier Hauptphasen des Jupiter findet Dr. See:

I. Mond	0.672 ± 0.000
II	0.504 ± 0.000
III	1.263 ± 0.000
IV	1.777 ± 0.000

Diesem entsprechen folgende weitere Durchmesser:

I. Mond	308 ± 30 km
II	233 ± 24 "
III	532 ± 56 "
IV	644 ± 71 "

Hieraus überwiegen die III und IV. Mond des Jupiter dem Erdmond erheblich an Größe, da deren Durchmesser 3462 km beträgt, ja der dritte Jupitmond ist grosser als Merkur.

Der Komet 1892a. Nach der Berechnung von Prill, Kroll und der Helenischen Kommission öffentlich und die Umlaufzeit beträgt 5.66 Jahre. Bemerkenswert ist die Ähnlichkeit seiner Bahn mit der des Wolf'schen Kometen (1894 III) sowie mit dem Kometen 1857 IV, dessen Umlaufdauer allerdings nach den Berechnungen von A. Meyer 234.7 Jahre beträgt. Der Komet ist übrigens ausserordentlich schwach.

Ein Feuerkugeltag. Am siebensten des 16. Dezember 1901 beobachtet worden durch die astronomischen Beobachtungs-Mitglieder der Sternwarte, dass mit dessen vier grössten Mitgliedern in unserem Gegenden von 4—8 Uhr geragt haben. 4<sup>h</sup> 57<sup>m</sup> pm. Eine grosse Sternschwemme, gesehen in Kapstadt,

Norsted, Vordingborg, Nyberg, Gronow 4<sup>h</sup> 42<sup>m</sup> pm. Die grosse Feuerkugel, beobachtet von Helsingör und Kopenhagen durch die Elberröyter und der nordwestliche Deutschland bei Köln und Amsterdam in mehr als 400 bei Bildung. Der Ort, in dem sich nach dem Zerplatzen der Feuerkugel ein «fallender Donner» bemerkbar machte, lagte innerhalb der Porphäre eines Kreises, dessen Mittelpunkt die Stadtmitte des Seelandes bei Näs-Scherröd bildet. 4<sup>h</sup> 50<sup>m</sup> pm. Hülles Nielsen, gesehen in Westhastebøden. 4<sup>h</sup> 13<sup>m</sup> pm. Explosivende Feuerkugel von NG bei SW. Es wurde vorher ein schwarzer Knall gehört. T. 1904.

Feuerkugel. Man schreibt uns von Provinz-Gemüse See, dass wir Ihnen eine heute von uns gemachte Beobachtung mitteilen. Wir sahen am 12. Febr. um 4<sup>h</sup> 40<sup>m</sup> nachmittags eine Feuerkugel, deren Helligkeit wir wie die der Venus in grosser Höhe schätzten. Ihr Ausgipfelpunkt lag zwischen  $\beta$  Ursae majoris und  $\alpha$  Draconis, sie bewegte sich in ungefähr 3 Sekunden von  $\gamma$  Draconis, nachdem sie sich links vor deren Erhöhen in zwei Kapeln geteilt hatte, welche die Richtung der Flugbahn beibehielten. Die Farbe war bläulich-weiß, Sie hinterliess einen sehr schönleuchtenden Schwanz.

G. Figgert und H. Rommelspöcker.

Die Eigenbewegung von Sternen des nördlichen Himmels in der Richtung der Geschwindigkeit zur Erde, ist bis jetzt nur nahe liegenden Galaxien noch nicht untersucht worden. Insbesondere sind solche Untersuchungen von grosser Wichtigkeit, weil sie behufs Feststellung der Richtung und Galaxie der Eigenbewegung der Sonne im Weltraum jetzt hat von Herr D. O. Mills in New-York in hochwerriger Weise die Summe von 25000 Dollars gespendet, um die Lick-Sternwarte in dem Stand zu setzen, eine astronomische Expedition nach der südlichen Erdhalbkugel zu senden, welche dort möglichst spektroskopische Untersuchungen über die Eigenbewegungen der

stlichen Systeme anstellen soll. Das dabei auch eine Anzahl spekulativerer Doppelsterne entdeckt wird, dürfte zweifellos sein.

**Neuer Stern im Perseus.** Im Sternfeld des Perseus hat Dr. Thomas Anderson einen neuen Stern 2. Größe entdeckt, am 21. Februar nachts. Der Stern steht etwa 6° südlich von  $\alpha$  Persei und glänzt in bläulichweissen Licht. Am Orte desselben ist in der Berliner Durchmusterung kein Stern 2. bis 3. Größe verzeichnet.

**Neubau der Sternwarte zu Hamburg.** Eine neue, den modernsten Anforderungen entsprechende Sternwarte beabsichtigt der Hamburgische Senat zu erbauen. Die junge Stadt ist aus dem Jahre 1824 und hatte neben den damals vorhandenen Instrumenten an Neuaufstellungen nur im Jahre 1867 ein Aquatorium von sechs Fuss Durchmesser erhalten, welches das Institut reichlich versorgt ist. Hierzu kommt die ungünstige Lage der Sternwarte dicht bei St. Pauli im Bereich des Quotens der Dampftrichter und der Elbthale. Der neue Sternwart soll etwa 25 bis oberhalb Hamburgs in der Nähe von Bergedorf auf ziemlich hoher Höhe erbaut werden, wo gute Fernsichtungsgeschlossen ist. Der Senat hat neben bei der Bürgerschaft die Erwerbung des benötigten Grundbesitzes beantragt und einen gewissen Kostenschätz der Sternwarte in Aussicht gestellt. Die Umkosten der Sternwarte selbst instrumenten werden auf rund 500000 „fl“ veranschlagt.<sup>1)</sup>

**Die Dänischer Sternwarte.** Aus Dänemark wird berichtet, Das Spätsperendestrennungserklärung erklärt sich, einen Wunsch der Kulturmissionen folgend, damit einverstanden, dass die Dänischer Sternwarte, vom sie vor Inbetrieb zu übergeben, an ein andere dänischerstaatlich besitz hat geschlossen werde. Es ward dem Wünsche Ausdruck verliehen, dass die Sternwarte der Berliner Sternwarte geschlossen wurde,

da rüber diesen beiden Anstalten wiederholt wissenschaftlicher Meinungsaustausch stattgefunden habe. Von dieser Beziehung ausgehend, ward der Statthalter zum Gehalt des Astronomen in Höhe von 25000 „fl“ bereitgestellt. Eine mehrwöchige Motivierung!

Professor W. W. Campbell ist zu Stelle des verstorbenen Prof. Koller zum Direktor der Lick-Sternwarte ernannt worden.

**Anzahl und Gehaltsverhältnisse des wissenschaftlichen Personals der Sternwarten Greenwich, Cambridge (Harvard-College) und Washington.** Bezüglich dieser drei grossen Observatorien wird im letzten Jahresbericht des U. S. Naval-Observatorium zu Washington eine statistische Zusammenstellung der Zahl der wissenschaftlich thätigen Gelehrten und der Gehaltsverhältnisse derselben (in Dollars) gegeben, der die folgenden Angaben entnehmen sind: a) Sternwarte zu Greenwich

Wissenschaftliches Personal	Anzahl	Gehalt	Summ
Director	1	10000	10000
Chief Astronomer	2	5000	10000
Astronomer senior Klasse	4	3000	12000
Astronom junior Klasse	4	1500	6000
Superintendent der Beob. Beobacht.	1	1500	1500
Astronom deutsch	1	1000	1000
Bedienst.	25	300	7500
<b>zusammen 38</b>			<b>53000</b>

b) Sternwarte des Harvard-College

Director	1	5000	5000
Astronom	4	3000	12000
Hilfs Astronom	15	400	6000
Bedienst.	15	400	6000
<b>zusammen 35</b>			<b>29000</b>

c) Naval-Observatorium in Washington:

Acting Director	1	2500	2500
Prof. der Mathematik	4	2500	10000
Hilfs Astronom	3	1500	4500
Bedienst.	6	500	3000
Photograph.	1	1200	1200
<b>zusammen 15</b>			<b>21200</b>

**Zu Tychos Brahergelehrten.** Herr B. Haseberg, Mitglied der Kgl. Akademie

<sup>1)</sup> Central-Zeitung für Optik und Mechanik 1900.

der Wissenschaften in Stockholm wurde am folgende Zuerst: Am 24. Oktober dieses Jahres sind 300 Jahre verfloßen seit dem Ableben eines der größten Astronomen aller Länder und Zeiten, Tycho Brahe. In dankbarer Erinnerung der unsterblichen wissenschaftlichen Leistungen des großen Mannes und mit Rücksicht auf den Umstand, das wir mehr als 300 Jahren der Schauplatz seiner Tätigkeit gewesen Lande gehört, hat die königliche kaiserliche Akademie der Wissenschaften beschlossen, den gesamten Tag fürzlich zu begehen und eine besondere augustea Konstantinien beauftragt die zu diesem Zweck nötigen Anordnungen treffen. Der Kommissar erachtet es indessen wünschenswert — und ohne Zweifel werden die Fachgenossen dieser Mitteilung dankbar sein — wenn bei dieser Gelegenheit das große Mäurer der gelehrten Astronomie ein dankvolles Dreimal gestiftet werden könnte. Als solches hat man sich eine Facsimile-Ausgabe der *Edictio principis* einer berühmten Astronomiae institutio nachzuzusetzen gedacht, von welchem Namen selbst dieses Werk die Abkürzung der Akademie ein Exemplar besitzt. Es ist bekannt, dass Tycho während seiner

Aufenthaltes bei Hieronimus Bartsch auf Wandsburg im Jahr 1598 das Werk in seiner eigenen, dortigen mitgeführten Druckerei durch Philipp von Ober in gedruckter Ausstattung herstellen ließ, um in der Welt des lehrsamsten wissenschaftlichen Zeitgenossen und vorzüglich ausgedehnten Persönlichkeiten, von den gewandtesten Einrichtungen seiner Staatsverwaltung die besten Vorstellung zu geben. Das Aufgebot scheint indessen nicht gewesen zu sein, da nach Drayser bisher nur vier Exemplare aufgefunden worden sind, nämlich zwei in Kapstadt, eine im British Museum und eine in der Strabonischen Bibliothek in Prag. Zu diesem kommt nun das Stockholmische Exemplar, das nach der neuesten Ausstattung zu urteilen wahrscheinlich unter demselben Namen sein dürfte, welche Tycho Brahe'schen Persönlichkeiten dediziert. Das herabgesetzte Schicksal dieser Ausgabe, mit welcher diejenige von Buchhändler Hiltner 1682 in Nürnberg hergestellt, nicht weniger verglichen werden kann, wird eine entsprechend genaue photographische Facsimile-Reproduktion sein.

### Literatur.

Handbuch der allgemeinen Historie über die Weltgeschichte nach dem Standpunkte der astronomischen Wissenschaft als Setzung des 18. Jahrhunderts. Dritte völlig umgearbeitete Auflage der Bearbeitung der Durchsicht der Akademie von Dr. Hermann J. Klein. Mit zahlreichen Abbildungen und Tafeln. Braun-Schwab. Druck und Verlag von Friedrich Vieweg und Sohn 1881. Preis nebst dem 18. B.

Dieses Werk stellt eine möglichst vollständige, aus den Quellen geschöpfte Darstellung der Weltgeschichte dar, die sich nicht nur auf die astronomische Wissenschaft beschränkt, sondern auch die allgemeine Weltgeschichte darstellt. Die Darstellung ist in drei Bänden unterteilt, die die Geschichte der Welt von der Schöpfung bis zur Gegenwart, die Geschichte der Völker und die Geschichte der Wissenschaften, Künste und Berufe dar-

stellen. Die Darstellung ist sehr gründlich und enthält viele interessante Details. Die Abbildungen sind sehr schön und geben einen guten Überblick über die Geschichte der Welt. Das Werk ist eine sehr wertvolle Quelle für die Geschichte der Welt und die astronomische Wissenschaft. Die Darstellung ist in drei Bänden unterteilt, die die Geschichte der Welt von der Schöpfung bis zur Gegenwart, die Geschichte der Völker und die Geschichte der Wissenschaften, Künste und Berufe dar-

## Astronomischer Kalender für den Monat Mai 1901.

Tag M J	Sonne				Mond			
	Wahre Zeit Mittag		Rechnete		Wahre Zeit Mittag		Rechnete	
	Zeit M. L. — W. Z.	Rechnete	Declination	Rechnete	Zeit M. L. — W. Z.	Rechnete	Declination	
1	5 51.50	5 52.40.00	+44 10 14.0	20 52 50.00	— 5 5 17.4	5 5	18 55.0	
2	5 5 17.5	5 52.52.40	44 10 19.4	20 57 50.74	10 58 19.4	5 10.2	18 55.2	
3	5 5 17.9	5 53 5.00	44 10 24.8	21 02 51.48	20 59 38.8	5 15.4	18 55.4	
4	5 17.92	5 53 17.59	44 10 30.2	21 07 52.22	21 0 58.2	5 20.7	18 55.7	
5	5 23.29	5 53 30.00	44 10 35.6	21 12 52.96	21 02 17.6	5 26.0	18 56.0	
6	5 27.59	5 53 38.40	44 10 40.9	21 17 53.70	21 03 37.0	5 31.3	18 56.3	
7	5 32.54	5 53 50.16	44 10 46.3	21 22 54.44	21 04 56.4	5 36.6	18 56.6	
8	5 37.79	5 53 59.93	44 10 51.6	21 27 55.18	21 06 15.8	5 41.9	18 56.9	
9	5 42.49	5 54 7.11	44 10 57.0	21 32 55.92	21 07 35.2	5 47.2	18 57.2	
10	5 47.07	5 54 14.00	44 11 0.3	21 37 56.66	21 08 54.6	5 52.5	18 57.5	
11	5 51.57	5 54 20.00	44 11 3.6	21 42 57.40	21 10 14.0	5 57.8	18 57.8	
12	5 56.00	5 54 25.56	44 11 7.0	21 47 58.14	21 11 33.4	6 0.0	18 58.0	
13	5 60.11	5 54 31.00	44 11 10.3	21 52 58.88	— 1 12.2	6 5.3	18 58.3	
14	5 63.54	5 54 35.40	44 11 13.7	21 57 59.62	+ 0 52.6	6 10.6	18 58.6	
15	5 67.19	5 54 39.16	44 11 17.0	22 02 60.36	0 54.0	6 15.9	18 58.9	
16	5 70.47	5 54 42.00	44 11 20.4	22 07 61.10	1 0 13.4	6 21.2	18 59.2	
17	5 73.41	5 54 44.00	44 11 23.7	22 12 61.84	1 0 32.8	6 26.5	18 59.5	
18	5 76.19	5 54 45.29	44 11 27.0	22 17 62.58	1 0 52.2	6 31.8	18 59.8	
19	5 78.89	5 54 46.12	44 11 30.3	22 22 63.32	1 0 71.6	6 37.1	19 0.1	
20	5 81.39	5 54 46.00	44 11 33.7	22 27 64.06	1 0 51.0	6 42.4	19 0.4	
21	5 83.71	5 54 45.00	44 11 37.0	22 32 64.80	1 0 30.4	6 47.7	19 0.7	
22	5 85.89	5 54 43.00	44 11 40.3	22 37 65.54	1 0 9.8	6 53.0	19 1.0	
23	5 87.89	5 54 40.00	44 11 43.7	22 42 66.28	1 0 49.2	6 58.3	19 1.3	
24	5 89.77	5 54 36.00	44 11 47.0	22 47 67.02	1 0 28.6	7 0.0	19 1.0	
25	5 91.54	5 54 31.00	44 11 50.3	22 52 67.76	1 0 7.0	7 6.0	19 1.0	
26	5 93.19	5 54 25.00	44 11 53.7	22 57 68.50	1 0 16.4	7 11.3	19 1.3	
27	5 94.81	5 54 18.00	44 11 57.0	23 02 69.24	1 0 35.8	7 16.6	19 1.6	
28	5 96.31	5 54 10.00	44 12 0.3	23 07 70.00	1 0 55.2	7 21.9	19 1.9	
29	5 97.77	5 54 1.00	44 12 3.7	23 12 70.76	1 1 14.6	7 27.2	19 2.2	
30	5 99.19	5 54 0.00	44 12 7.0	23 17 71.52	1 1 34.0	7 32.5	19 2.5	
31	5 100.57	5 53 51.00	+44 12 10.3	23 22 72.28	— 11 53.4	7 37.8	19 2.8	

### Planetenstellungen im Mai 1901.

Mai	1	11.5	— Venus in Konj. in Krebs, mit dem Monde. Berührung.
"	4	9	Mars in Konj. in Widder, mit — Saturn, Mars 1° 20' rückw.
"	4	10	Jupiter in Konj. in Stier, mit dem Monde. Berührung.
"	8	0	Merkur in Opposition in Krebs, mit dem Monde.
"	9	14	Saturn in Konjunktion in Krebs, mit dem Monde.
"	11	9	Merkur im aufsteigenden Knoten.
"	14	0	Merkur in oberer Konjunktion mit der Sonne.
"	17	—	Neunplaneten.
"	17	10	Merkur in Opposition.
"	19	0	Merkur in Konjunktion in Krebs, mit dem Monde.
"	20	0	Venus in Konjunktion in Krebs, mit dem Monde.
"	27	7	Merkur in Konj. in Krebs, in d. Monate Merkur 1° rückw.
"	28	26	Saturn im aufsteigenden Knoten.
"	28	4	Mars in Konjunktion in Krebs, mit dem Monde.
"	29	4	Merkur in gleicher oberer Konjunktion mit der Sonne.
"	29	0	Mars in Opposition mit der Sonne.
"	29	21	— Venus in Konj. in Krebs, mit dem Monde. Berührung.

**Planeten - Ephemeriden.**

Planeten Berliner Mittag						Planeten Berliner Mittag											
Monat Tag	Schwanzweite			Entfernung		Gleiche Meridian- Distanz	h m	s	h m	s	Gleiche Meridian- Distanz	h m					
	h	m	s	h	m								h	m	s		
<b>1901</b>						<b>1900</b>											
<b>Merkur.</b>						<b>Saturn.</b>											
Mal 0	0	1	45.50	+14	56	21	59	17	Mal 0	12	20	20.52	-11	55	22	18	20
10	0	46	55.57		55	58	58	17	10	12	0	24.58		54	21	18	49
20	0	26	23.40		55	11	48	0	20	12	0	1	27.55		53	1	47
30	0	54	25.27		54	22	38	0	30	12	0	1	27.55		52	1	45
1	0	59	43.52		54	32	28	0	40								
10	0	46	24.53		+13	51	18	1									
<b>Venus.</b>						<b>Uranus.</b>											
Mal 0	0	49	56.57	-4	55	45	49	0	Mal 0	12	20	22.50	-10	52	22	18	18
10	0	17	4	19		29	44	0	10	12	0	1	24.58		52	17	18
20	0	43	5	25		28	33	0	20	12	0	1	24.58		51	16	18
30	0	7	27	38		40	22	0	30	12	0	1	24.58		50	15	17
1	0	12	51	58		32	12	0	40	12	0	1	24.58		49	14	17
10	0	50	47	58		18	0	0	50	12	0	1	24.58		48	13	17
<b>Mars.</b>						<b>Neptun.</b>											
Mal 0	1	58	4	7.45	+12	57	54	0	Mal 0	1	14	20.24	-10	51	20	17	17
10	1	56	0	58.47		57	43	0	10	1	14	17.33		50	19	17	17
20	1	58	24	59.54		57	32	0	20	1	14	17.33		49	18	17	17
30	1	58	28	21.57		57	21	0	30	1	14	17.33		48	17	17	17
1	1	58	26	44.59		57	10	0	1	14	17.33		47	16	17	17	17
10	1	58	28	23.72		+1	58	57	0								
<b>Jupiter.</b>						<b>Mondphasen 1901.</b>											
Mal 0	1	18	52	55.55	-21	55	55	0									
10	1	18	50	38.54		55	44	0									
20	1	18	52	55.55		-21	55	55									
									Mal 0	1	7	32.3	Vollmond				
									11	0	31.8	Letzter Viertel					
									21	14	30.9	Neumond					
									31	16	30.3	Erstes Viertel					
									1	11	—	—	Spiegel in Erdlinie				
									11	20	—	—	Spiegel im Erdkreis				
									21	0	—	—	Spiegel im Erdkreis				

**Stundenscheinungen durch den Mond für Berlin 1901.**

Montag	Stern	Genau	Eckzeit		Astr'ne	
			min	s	h	m
Mal 0	α Cygnus	0.0	1	47.7	7 <sup>h</sup> 56 <sup>m</sup> 4	Meridian
• 7	β Cygnus	0.0	12	54.1	57	0.0
• 8	γ "	0.0	21	53.1	56	59.0
• 12	δ Procyon	0.0	10	57.0	58	44.0

**Lage und Größe des Saturnringes (nach Neuss)**

Mal 11.	Große Achse der Hauptphase	40° 0'	Wenig Achse	2014"
	Erläuterungswinkel der Erde über der Hauptachse 54° 14' nordl.			
Mal 12	Mittlerer Scheitel des Äquators	82° 21'	2 03"	
	Scheitel " " "	82° 27'	2 03"	
	Hauptachse der Sonne	58°	2 01"	
	Parallel " " "		2 11"	

**Stellungen der Jupitermonde im Mai 1903.**



Stellungen um 10<sup>h</sup> für den Anblick im astronomischen Fernrohr.

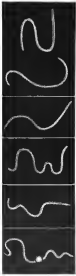
Tag	West.	Dist.
1	0° 0'	0 0
2	0 0	0 0
3	0 0	0 0
4	0 0	0 0
5	0 0	0 0
6	0 0	0 0
7	0 0	0 0
8	0 0	0 0
9	0 0	0 0
10	0 0	0 0
11	0 0	0 0
12	0 0	0 0
13	0 0	0 0
14	0 0	0 0
15	0 0	0 0
16	0 0	0 0
17	0 0	0 0
18	0 0	0 0
19	0 0	0 0
20	0 0	0 0
21	0 0	0 0
22	0 0	0 0
23	0 0	0 0
24	0 0	0 0
25	0 0	0 0
26	0 0	0 0
27	0 0	0 0
28	0 0	0 0
29	0 0	0 0
30	0 0	0 0
31	0 0	0 0







1  
2  
3  
4  
5  
Bewusstes und flüssig



6  
7  
8  
9  
10  
Bewusstes und flüssig

11  
12  
13  
14  
15  
16  
17  
18  
19  
20  
21  
22  
23  
24  
25  
26  
27  
28  
29  
30  
31  
32  
33  
34  
35  
36  
37  
38  
39  
40  
41  
42  
43  
44  
45  
46  
47  
48  
49  
50  
51  
52  
53  
54  
55  
56  
57  
58  
59  
60  
61  
62  
63  
64  
65  
66  
67  
68  
69  
70  
71  
72  
73  
74  
75  
76  
77  
78  
79  
80  
81  
82  
83  
84  
85  
86  
87  
88  
89  
90  
91  
92  
93  
94  
95  
96  
97  
98  
99  
100  
101  
102  
103  
104  
105  
106  
107  
108  
109  
110  
111  
112  
113  
114  
115  
116  
117  
118  
119  
120  
121  
122  
123  
124  
125  
126  
127  
128  
129  
130  
131  
132  
133  
134  
135  
136  
137  
138  
139  
140  
141  
142  
143  
144  
145  
146  
147  
148  
149  
150  
151  
152  
153  
154  
155  
156  
157  
158  
159  
160  
161  
162  
163  
164  
165  
166  
167  
168  
169  
170  
171  
172  
173  
174  
175  
176  
177  
178  
179  
180  
181  
182  
183  
184  
185  
186  
187  
188  
189  
190  
191  
192  
193  
194  
195  
196  
197  
198  
199  
200  
201  
202  
203  
204  
205  
206  
207  
208  
209  
210  
211  
212  
213  
214  
215  
216  
217  
218  
219  
220  
221  
222  
223  
224  
225  
226  
227  
228  
229  
230  
231  
232  
233  
234  
235  
236  
237  
238  
239  
240  
241  
242  
243  
244  
245  
246  
247  
248  
249  
250  
251  
252  
253  
254  
255  
256  
257  
258  
259  
260  
261  
262  
263  
264  
265  
266  
267  
268  
269  
270  
271  
272  
273  
274  
275  
276  
277  
278  
279  
280  
281  
282  
283  
284  
285  
286  
287  
288  
289  
290  
291  
292  
293  
294  
295  
296  
297  
298  
299  
300  
301  
302  
303  
304  
305  
306  
307  
308  
309  
310  
311  
312  
313  
314  
315  
316  
317  
318  
319  
320  
321  
322  
323  
324  
325  
326  
327  
328  
329  
330  
331  
332  
333  
334  
335  
336  
337  
338  
339  
340  
341  
342  
343  
344  
345  
346  
347  
348  
349  
350  
351  
352  
353  
354  
355  
356  
357  
358  
359  
360  
361  
362  
363  
364  
365  
366  
367  
368  
369  
370  
371  
372  
373  
374  
375  
376  
377  
378  
379  
380  
381  
382  
383  
384  
385  
386  
387  
388  
389  
390  
391  
392  
393  
394  
395  
396  
397  
398  
399  
400  
401  
402  
403  
404  
405  
406  
407  
408  
409  
410  
411  
412  
413  
414  
415  
416  
417  
418  
419  
420  
421  
422  
423  
424  
425  
426  
427  
428  
429  
430  
431  
432  
433  
434  
435  
436  
437  
438  
439  
440  
441  
442  
443  
444  
445  
446  
447  
448  
449  
450  
451  
452  
453  
454  
455  
456  
457  
458  
459  
460  
461  
462  
463  
464  
465  
466  
467  
468  
469  
470  
471  
472  
473  
474  
475  
476  
477  
478  
479  
480  
481  
482  
483  
484  
485  
486  
487  
488  
489  
490  
491  
492  
493  
494  
495  
496  
497  
498  
499  
500  
501  
502  
503  
504  
505  
506  
507  
508  
509  
510  
511  
512  
513  
514  
515  
516  
517  
518  
519  
520  
521  
522  
523  
524  
525  
526  
527  
528  
529  
530  
531  
532  
533  
534  
535  
536  
537  
538  
539  
540  
541  
542  
543  
544  
545  
546  
547  
548  
549  
550  
551  
552  
553  
554  
555  
556  
557  
558  
559  
560  
561  
562  
563  
564  
565  
566  
567  
568  
569  
570  
571  
572  
573  
574  
575  
576  
577  
578  
579  
580  
581  
582  
583  
584  
585  
586  
587  
588  
589  
590  
591  
592  
593  
594  
595  
596  
597  
598  
599  
600  
601  
602  
603  
604  
605  
606  
607  
608  
609  
610  
611  
612  
613  
614  
615  
616  
617  
618  
619  
620  
621  
622  
623  
624  
625  
626  
627  
628  
629  
630  
631  
632  
633  
634  
635  
636  
637  
638  
639  
640  
641  
642  
643  
644  
645  
646  
647  
648  
649  
650  
651  
652  
653  
654  
655  
656  
657  
658  
659  
660  
661  
662  
663  
664  
665  
666  
667  
668  
669  
670  
671  
672  
673  
674  
675  
676  
677  
678  
679  
680  
681  
682  
683  
684  
685  
686  
687  
688  
689  
690  
691  
692  
693  
694  
695  
696  
697  
698  
699  
700  
701  
702  
703  
704  
705  
706  
707  
708  
709  
710  
711  
712  
713  
714  
715  
716  
717  
718  
719  
720  
721  
722  
723  
724  
725  
726  
727  
728  
729  
730  
731  
732  
733  
734  
735  
736  
737  
738  
739  
740  
741  
742  
743  
744  
745  
746  
747  
748  
749  
750  
751  
752  
753  
754  
755  
756  
757  
758  
759  
760  
761  
762  
763  
764  
765  
766  
767  
768  
769  
770  
771  
772  
773  
774  
775  
776  
777  
778  
779  
780  
781  
782  
783  
784  
785  
786  
787  
788  
789  
790  
791  
792  
793  
794  
795  
796  
797  
798  
799  
800  
801  
802  
803  
804  
805  
806  
807  
808  
809  
810  
811  
812  
813  
814  
815  
816  
817  
818  
819  
820  
821  
822  
823  
824  
825  
826  
827  
828  
829  
830  
831  
832  
833  
834  
835  
836  
837  
838  
839  
840  
841  
842  
843  
844  
845  
846  
847  
848  
849  
850  
851  
852  
853  
854  
855  
856  
857  
858  
859  
860  
861  
862  
863  
864  
865  
866  
867  
868  
869  
870  
871  
872  
873  
874  
875  
876  
877  
878  
879  
880  
881  
882  
883  
884  
885  
886  
887  
888  
889  
890  
891  
892  
893  
894  
895  
896  
897  
898  
899  
900  
901  
902  
903  
904  
905  
906  
907  
908  
909  
910  
911  
912  
913  
914  
915  
916  
917  
918  
919  
920  
921  
922  
923  
924  
925  
926  
927  
928  
929  
930  
931  
932  
933  
934  
935  
936  
937  
938  
939  
940  
941  
942  
943  
944  
945  
946  
947  
948  
949  
950  
951  
952  
953  
954  
955  
956  
957  
958  
959  
960  
961  
962  
963  
964  
965  
966  
967  
968  
969  
970  
971  
972  
973  
974  
975  
976  
977  
978  
979  
980  
981  
982  
983  
984  
985  
986  
987  
988  
989  
990  
991  
992  
993  
994  
995  
996  
997  
998  
999  
1000

Sommer 1910  
Schreibübung der Feinmotorik vom 10. Dezember 1900 bis 10. Juni 1910  
Seite 10

# SIRIUS.

Zeitschrift für populäre Astronomie.

Centralorgan für alle Freunde und Förderer der Himmelskunde.

Herausgegeben

unter Mitwirkung hervorragender Fachmänner und sachverständiger Schriftsteller

von Dr. Hermann J. Kirchs in Köln a. Rh.

April 1901.

Wissen und Erheben sind die Freunde und die  
Bewältigung der Menschen. — Koenig.

Jeden Monat 1 Heft. — Jahrsch. 12 Mk.

Verlag von EDUARD HEINRICH MAYER in Leipzig.

**INHALT.** Die Nova im Perseus. (Mit Abbildung im Text.) S. 75. — Die Bewegung von  $\alpha$  in Pisces in der Geometrie. S. 76. — Der Gegenstand  $\gamma$  im Herkules. (Mit 2 Tafeln.) S. 77. — Die Notizen des Maximo. (Mit 2 Tafeln.) S. 78. — Die geophysikalische Bedeutung der Notizen des Maximo. Von Dr. Kirchs. (Mit Abbildung im Text.) S. 79. — Die letzten sechs Jahre der Himmelskunde. Von A. S. S. 81. — Yensens Beobachtungen S. 81. — Astronomische Kalender. S. 82. — Notizen der Jahresende im Juli 1901. S. 83. — Beobachtungen der Jahresende. S. 84. — Notizen der Jahresende. S. 85.

## Die Nova im Perseus.

(Mit Abbildung im Text.)

Die Lage der ersten Entdeckung dieser neuen Sterns scheint Dr. T. D. Anderson in Edinburgh zu verbleiben, dessen früheste Beobachtung desselben Februar 21. 14<sup>h</sup> 40<sup>m</sup> weiterer Zeit von Greenwich stattfand. Am folgenden Abend wurde die Nova von vielen Personen wahrgenommen, die noch die Entdeckung in weiteren Kreisen bekannt geworden war. Am Abend des 23. Februar kann der Stern nach nicht die 3. Größe geblut haben, dass Dr. E. Hertwig beobachtet 11<sup>h</sup> 4<sup>m</sup> mittl. Zeit von Bamberg; den Lichtwechsel des Erns nach beide erst Stern 3. Gr über Algol gewiss sofort erkannt. Auf der Harvard-Sternwarte war am 19. Febr. die Gegend des Perseus photographisch aufgenommen worden, doch zeigt sich

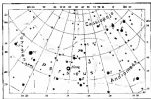
auf der Platte von Ort der Nova kein Stern, abgesehen die Sterne bis zur 11. Gr verzeichnet sind. Februar 22. sah man in Cambridge die Nova doppelt als Stern 1. Größe. Der schwebere Ort der Nova ist nach den Bestimmungen von Dr. E. Hertwig durch An schließen an zwei Sterne der 2. Gr Durchmesser

$$\alpha \ 3^{\circ} 24' 30'' \delta \ 4^{\circ} 43' 30''.$$

Die früheste Angabe über die Helligkeit des neuen Sterns von Dr. Anderson, bezieht sich auf 27. Februar. Am Abend des 23. Februar war die Nova anderen schon heller als Aldebaran und R. Copeland schätzte 5<sup>h</sup> 15<sup>m</sup> mittl. Zeit von Edinburgh über Helligkeit gleich der des Praecipos. Dr. E. Hertwig fand den Stern Februar 22. 10<sup>h</sup> 30<sup>m</sup> mittl.

Zeit von Hamburg 0,2 Größenklasse heller als  $\alpha$  Capellaeum, bis 17<sup>h</sup>,<sup>h</sup> aber liess sich eine weitere Helligkeitszunahme nicht erkennen. In der folgenden Nacht, Februar 23, war dagegen die Nova heller geworden und an  $\alpha$  Capellaeum in Hamburg gleich hell mit Capella Februar 24 0<sup>h</sup>,<sup>h</sup> sah Prof. Kreske in Kiel den neuen Stern nur noch in der Helligkeit der Capella und Februar 25 8<sup>h</sup> mittlere Zeit von Kiel konnte dort eine weitere Lichtabnahme

Himmel liess mich in der Gegend des Perseus — bei zwischen den Sternen  $\alpha$  und  $\beta$ , etwas nach Osten verschoben — einen hellen Stern erkennen. Es war zweifellos die Nova. Der ganz genaue Anblick des Himmels in dieser Gegend war verändert. Die Helligkeit der Nova schätzte ich an diesem Tage um eine Stufe weniger hell als Capella. Einbrechende Bewölkung verhinderte mich, am selben Tage weiter zu beobachten. Am Tage darauf (Februar 26) machte



Umgang der Nova in Perseus.

denselben Konstelliert werden. Auch Dr. Hartwig fand in der Nacht vom 26. zum 27. Februar eine erheblichen Abnahme der Helligkeit. Das Maximum der Helligkeit scheint hiernach nahe um die Zeit der Mitternacht vom 23. zum 24. Februar eingetreten zu sein. Herr K. Sabon schreibt uns: «Das erste Mal sah ich die Nova Februar 26, und zwar durch eine Zeitungsbrille auf derselbe aufmerksam gemacht. Da ich nicht wusste, wie hell der Stern sei, nahm ich eine Sternkarte mit, die ich nach zwecks Beobachtung im Freie bogte. Indes der erste Blick auf den

ich zwei photographische Aufnahmen jener Gegend und zwar eine positiverartige und eine negativartige. Zur Zeit der ersten Aufnahme (1902, Febr. 26, 6<sup>h</sup> mittlere Zeit) war die Nova merklich weniger hell, als tags zuvor. Febr. 27, konnte die Nova ebenfalls keine Zeit beobachtet werden. Ihre Helligkeit war weiter zurückgegangen und ungefähr in der Mitte zwischen Capella und dem Polarstern, und merklich grösser als die von  $\alpha$  Persei.»

Von grösstem Interesse sind die Ergebnisse der spektroskopischen Untersuchung des neuen Sterns.

Auf dem Observatorium zu Ebnburg land man Februar 23. das Spektrum völlig kontinuierlich, doch bei genauer Prüfung zeigten sich mehrere sehr schwache Fraunhofer'sche Linien, sodass es im grossen ganzen schwach unvollständiges Sonnenspektrum glich. Febr. 23 land man auf der Harvard-Sternwarte das Spektrum kontinuierlich mit 25 dunklen Linien und gegen die rote Erde wie  $\delta$ , im blauen Teil eine kalte Linie. Am 25. Februar wurde dagegen fotografirt Prof. Pickering an die astronomische Centralstelle in Kiel, das Spektrum habe sein Aussehen stark geändert und gleiche namentlich dem Spektrum, welches einst die Nova im Februar gezeigt hat.

Auf dem astrophysikalischen Observatorium zu Potsdam wurde der neue Stern zuerst am 23. Februar spektralanalytisch untersucht und G. H. Vogel schreibt darüber: „Der Nova wurde von mir und Prof. Lohse am Schrägen Refraktor von 30 cm Öffnung und von Dr. Hartmann am Linsenrohr des grossen Meridian beobachtet. Wir trafen etwas heller als Capella und zeigte ein kontinuierliches Spektrum Klasse I, Blau und Violet auffallend hell. Bei Okularbeobachtungen war keine Spur von Linien, weder von hellen noch dunklen, zu erkennen.“

Dr. Hartmann hat am 30 cm Refraktor zwei Aufnahmen des Spektrums mit Spektrograph I (schwache Dispersion) angefertigt, auf denen eine Reihe von manchen hellen Absorptionsbändern zu erkennen ist, und ausserdem zwei ganz scharf scharfe Linien auftreten. Das Spektrum erstreckt sich von  $\lambda$  3743 bis  $\lambda$  5000 und enthält auf dieser Strecke keine Emissionlinien. Nach Dr. Hartmanns Messungen sind die Wellenlängen der beiden scharfen Absorptionslinien 3834 und 3995; sie sind ohne Zweifel identisch mit den bekannten Calciumlinien H und K. Aus der Lage dieser Linien ergibt sich als vorläufige

Wert für die Geschwindigkeit des Sterns in der Geradenlinie relativ zur Sonne  $+ 18$  km. Alle übrigen Linien sind ausserordentlich breit und verwischt, sodass ihre Messung schwierig ist. Unter diesen Linien tritt die ganze Serie der Wasserstofflinien von H $\beta$  bis H $\epsilon$  auf, ferner schliess die Magnesiumlinie  $\lambda$  4481 und die beiden Siliciumlinien  $\lambda$  3856 und  $\lambda$  4130 vorhanden zu sein. Die hellgrünsten Linien bilden das Spektrum in einer sehr Verwandtschaft mit dem Spektrum von  $\beta$  Orionis.

Alle erwähnten Linien besitzen eine Verschiebung nach der Seite der kleineren Wellenlängen hin, die einer Geschwindigkeit (rel. zur Sonne) von  $- 717$  km entsprechen würde.

Früher hat Dr. Ludendorff mit dem Spektrographen IV (starke Zerstreuung) in Verbindung mit dem photographischen Refraktor von 22 cm Öffnung vier Aufnahmen gemacht. Ausdehnung des Spektrums von  $\lambda$  4040 bis  $\lambda$  4320. Auf zwei, etwa höfliche exponierten Platten ist nicht als ein kontinuierliches Spektrum zu erkennen mit auffallend grosser Intensität im violetten Teil, die zwei andere zeigen einzig blasser schwache, sehr verwischene breite Absorptionslinien. Es ist mir mit grosser Ausmüdigung gelungen, die Lage dieser beiden Linien im Spektrum durch Messungen mit grosser Genauigkeit zu bestimmen.

Die Resultate der Beobachtungen sind folgende:

1.	$\lambda$ 4025,5	H $\beta$
2.	$\lambda$ 4221	H $\delta$
3.	$\lambda$ 4303,8	
4.	$\lambda$ 4328	H $\epsilon$
5.	$\lambda$ 4334,9	H $\gamma$
6.	$\lambda$ 4372	H $\delta$ , H $\gamma$

Nimmt man für Linie 1 und 5 an, dass es die angegebenen Wasserstofflinien seien, so resultirt aus der Wellenlängendifferenz eine Geschwindigkeit des Wasserstoffgases relativ zur Erde von  $- 659$  km resp.  $- 684$  km (relativ zur Sonne)  $- 122$  km und  $- 601$  km. Linie 5 mit der Oberrandlinie  $\lambda$  4371,6

1) Astron. Nachr. No. 3068.

identifiziert, würde der Geschwindigkeit von +45 km relativ zur Erde oder +18 km relativ zur Sonne ergeben. Identifiziert man diese Linie dagegen mit der Magnesiumlinie  $\lambda$  4481.4, so ergibt sich rund: — 800 km relativ zur Sonne.

Concurrenzmäßigungen über die bisherigen Beobachtungen der Nova nach Prof. Pickering im Circular No 54. Das Telegramm über den neuen Stern traf in Cambridge (M. A.) am 21. Febr. abends um Drei nachts ein. Schon früh, doch gelang es vor Zitterzeit zwischen drei Scherwürfen den Stern zu sehen. Er war eben so hell als  $\alpha$  Orion. Mitternacht wurde auch ein photographische Material, welches auf dem Observatorium aufbewahrt wird, von M. Fleming durchgemastet, und es ergab sich, dass die Gegend des Himmels, in der die Nova steht, am 19. Februar von 11<sup>h</sup> 18<sup>m</sup> Greenwicher Zeit ab mit 60<sup>m</sup> Exposition aufgenommen war. Diese Aufnahme gibt die frühesten Sterne der Bonner Durchmusterung und selbst solche 11. Größe, aber keine Spur der Nova ist auf ihr zu sehen. Etwas weniger hell sind solche auf Platten, die am 2., 6., 8. und 18. Februar erhalten waren, noch auf solchen aus dem Jahre 1894, welche Sterne 12.5 Gr. enthalten.

Während der Nacht des 23. Febr. wurden mit verschiedenen Instrumenten 18 Photographien der Nova auf der Harvard-Sternwarte aufgenommen. Sie ergaben, dass photographisch der Stern 3.3 Klasse schwächer war als  $\alpha$  Aurigae. Das allgemeine Aussehen seines Spektrums ähnelte dem der Sterne des Oriongebirges und vorwiegend sichtlich dasjenige der früheren neuen Sterne, in welchen die hellen Spektrallinien vorwiegen. Die Nova im Porcus zeigt nur ein kontinuierliches Spektrum, von 33 starker Linien durchzogen, deren Wellenlänge wie folgt bestimmt wurden: 3874, 3878 (H $\gamma$ ), 4026, 4077, 4301 (H $\beta$ ), 4326, 4154, 4268, 4341 (H $\gamma$ ), 4365, 4388, 4415, 4435, 4470, 4481, 4533, 4538, 4592, 4573, 4665, 4668, 4695, 4714,

4882 (H $\alpha$ ), 4885, 4922, 5325, 5344, 5431, 5671, 5685, 5714, 5768. Eine sorgfältige Prüfung ergab, dass die Linien 3878, 4301, 4341, 4481 und 4682 an der nach der grösseren Wellenlänge liegenden Seite hell erschienen. Die Linie 4685 war auch der anderen Seite hell oder dort befand sich eine helle Linie von der Wellenlänge 4680.

Am 23. Februar war die Beobachtung so dicht, dass nur wenig Beobachtungen gelangten. Die Nova erschien heller als  $\alpha$  Aurigae. Das schwache photographierte Spektrum, welches erhalten wurde, zeigt keine Veränderung, ausser dass die Linie K, welche am vorherigen Abend fehlte, nunmehr fast so intensiv als H $\gamma$  erschien. Am 25. Febr. wurde der Himmel nach Mittag klar und die Nova war am 6.zügigen Refraktor und im 20zölligen Sucher bei hellem Sonnenschein sichtbar. Abends wurde sie photographisch als 3.4 oder 3.5 schwächer wie  $\alpha$  Aurigae gefunden, mit dem Mandelphotometer bei hellem Tageslicht als 4.28 Größe. Das Spektrum zeigt mehrwärtige Veränderungen: es war von zahlreichen heller Linien und dunklen Banden durchzogen und sehr ähnlich dem Spektrum der früheren Nova Aurigae. Die Hauptlinien waren dunkel und von helleren Linien, die etwas grössere Wellenlänge besitzen, begleitet. Die helleren Linien, welche K und H $\gamma$  begleiten, waren umgekehrt und von schwachen, schmalen, dunklen Linien durchzogen. Dessen letzteren war eine Linie von etwas kürzerer Wellenlänge als H $\beta$  waren die einzigen scharfen Linien im Spektrum, alle übrigen breit und verschwommen und schwer mit Genauigkeit zu messen. Im ganz 25. Februar verhielten sich die weiteren Beobachtungen, dass aber erschien die Nova bedeutend schwächer als vorher. Nach Okularbeobachtungen war die Helligkeit 1.4 Größe, nach photometrischen Messungen 1.87 Größe. Das Spektrum war eben von dem am 24. Februar verschiedenen: die Linien

H $\beta$ , H $\gamma$  und H $\delta$  waren auch umgekehrt und geriet von einer oder mehreren schmalen dunklen Linien.

Februar 26. war die Nova nach Okularschätzungen 11, nach photographischen Beobachtungen 1.49 Größe, die Veränderungen im Spektrum waren unbedeutend.

Beobachtungen über die Position der Nova ergaben für 1900: Rekt. 19 24<sup>m</sup> 24.074 Dekl.  $\pm$  43° 33' 43.4". Zusammenfassend bemerkt Professor Pickering: Die Nova war vor dem 19. Februar unsichtbar oder wenigstens unsicher als 11. Größe, Februar 21. war sie 2.7 Größe (nach Anderton), Februar 22. 8.5 Größe, Febr. 23. vielleicht etwas weniger hell, dann abnehmend, sodass am Febr. 25. als 11. Größe erschien. Ihr Spektrum war am Februar 22. und 23. vom Typus der Gewissenen, fast kontinuierlich, von schmalen dunklen Linien durchzogen. Während der

nächsten 24 Stunden fand eine aussergewöhnliche Änderung desselben statt, sodass es vom 24. Februar ab dem der früheren Nova gleich. Es war von hellem und dunklen Banden durchzogen und die dunklen Hauptlinien erschienen an der Seite der grösseren Wellenlänge begleitet von hellem Linsen.<sup>1)</sup>

In Upsala hat Prof. Dunér den Stern am 23. und 24. Februar so hell als Capella gefunden. <sup>2)</sup> Das Spektrum, mit Okularspektroskop von stark vergrößerter Zerbrechung untersucht, zeigte sich im ganzen mit dem von *T. Aquara* übereinstimmend, d. h. die Wasserstofflinien C und F besonders am wenigsten und zwar auch der roten Seite dieser beiden hellen Linien. Auch im Grün wurden helles und ausserdem mehrere dunkle Linien gesehen. Die D-Linie war sichtbar, stärker D $\alpha$ , hell war, konnte Prof. Dunér mit Sicherheit nicht sehen.

## Die Bewegung von $\alpha$ in Persei in der Gesichtslinie.

Nach einer Mitteilung von Newell an dem Monatsbericht der britischen astronomischen Gesellschaft,<sup>3)</sup> hat der genannte Beobachter gefunden, dass nach seinen Beobachtungen an elf Abenden im September und Oktober 1899 und an drei Abenden im Oktober 1900 die in die Gesichtslinie fallende Richtung der Bewegung von  $\alpha$  Persei von  $-4$  bis  $+3$  km verlor, und er vermutet deshalb eine periodische Änderung in 4.7 oder 14.5 Tagen. Da die Wahrnehmungsverhältnisse in Cambridge im Winter über fortwährende Beobachtungen nicht zulassen, forderte Newell auf, nachrichtliche Beobachtungen über die Bewegung von  $\alpha$  Persei in der Gesichtslinie auszuführen. Seine Beobachtungen wurden mit einem neuen, stark zentrirenden Spektrographen mit vier Prismen in Verbindung mit einem grossen Refraktor von 62 cm Öffnung angefaßt.

Erfolgreicher hat Geh. Rat Vogel am astrophysikalischen Observatorium zu Potsdam den Stern  $\alpha$  Persei spectrographisch aufnehmen lassen und die Spektrogramme vermessen. In seinem Bericht an der Kgl. Akademie der Wissen-

<sup>1)</sup> Was die bemerkenswerte Änderung des Spektrums der Nova anbelangt, die zwischen Februar 23. und 24. stattfand, so muss es seinen Erscheinungsbild gleich bleiben, abgesehen von besonderer Eigenständigkeit dieser Nova im aller weitesten Sinne. Ich glaube, hat allen neuen Sternes markiert. Die gegenwärtige Nova Persei ist ähnlich wie jene der wenige Jahre Stern, die auch in der nächstbesten Phase seiner Helligkeit bereits solche Abweichung beobachtet werden können, alle Indessen werden viel spectrographisch untersucht, als für Licht im Maximum war, mit dieser Abweichung aber fand bei der Nova Persei die Veränderung des Spektrums statt.

Dr. Klein

<sup>1)</sup> Vid. LXX, No. 1.

<sup>2)</sup> Astron. Nachr. No. 2000.

schaft zu Berlin am 17. Januar sagt Prof. Vogel darüber zum folgenden:

„Die ich bei mir anerkenne, besonders in den letzten Jahren ganz aussergewöhnlich, wesentlich in Bezug auf Reife der Luft, ungleitigen Witterungsverhältnissen in der Übergangszeit gekommen war, dass die spektroskopischen Apparate um grossen Theil bei noch längerem Anhalten demselben Luftbeschaffenheit doch nur langsam Fortschritte machen würden, habe ich bei meinem ausgezeichneten photographischen Refraktor von 32 cm Öffnung und nur 1.44 m Fokallänge am Ende des Jahres 1899 einen Spektrographen konstruirt, der, vom Mechaniker Topfer ausgeführt, im Frühjahr 1900 fertig gestellt worden war und im Laufe des Sommers durch Dr. Eberhard eine ausserordentlich gründliche Ueberschau und Korrektur, nach der von Dr. Hartmann angegebene Methode, erfahren hat.

Die drei Prismen geben die brauchbaren, überall gleich scharfen Spektren zwischen den Wellenlängen 407,  $\mu\mu$  und 447,  $\mu\mu$ . Die Anzahl dieser Spektrellinien beträgt 20 und in der Mitte derselben (3.425  $\mu\mu$ ) entspricht eine lineare Verschiebung von 0.25  $\mu\mu$  einer Bewegung von 200 Kilometern  $H\gamma$  (4.124  $\mu\mu$ ) entspricht dieselbe Verschiebung (3.975  $\mu\mu$ ) einer Bewegung von 200 km. In Bezug auf lineare Ausdehnung des Spektrens bietet der Apparat nur etwa 1/2 von dem des Newall'schen Instrumentes. Der Spektrograph ist mit einem Kasten umgeben, der die Vorrichtungen verbergen ist, die den Kreislauf der Lufttemperatur im Franzosenkabinett nachteilig  $0.1^{\circ}$  C. ändern lassen.

Mit diesem Apparat wurden im sechs Tages (1899 November 3, 5, 8, 9, 9 und 15) Aufnahmen des Spektrens von a Persei von Dr. Eberhard gemacht worden, von denen ich mir (November 3, 5, 8 und 9) ausproben habe, um die Brauchbarkeit und Leistungsfähigkeit des Apparates, der bisher ausschliesslich nur im Laboratorium untersucht worden

war, für seinen eigentlichen Zweck zu prüfen. Die Spektren waren gut, und die Messungen an den vier Platten ergaben keine Abweichungen, die auf Bewegungsänderungen von mehr als 1 km hätten schliessen lassen. Die Beobachtungen waren aber auch mit einem Fehler befreit, der seinen Grund in einer geringen mechanischen Unvollkommenheit des Apparates hatte, die bei den Beobachtungen im Laboratorium nicht gehoben werden konnte. Nach Berichtigung derselben und einer nachherigen Prüfung des Apparates durch Dr. Eberhard hielt ich dieses wohlgekonstruirte Instrument für geeignet, die zwischen bekannt geordneten Newall'schen Beobachtungen (Intensitäten)

Die zwei ersten der nachstehend aufgeführten Aufnahmen sind von Dr. Eberhard, die übrigen von Dr. Ludendorff ausgeführt worden. Die Ausmessung der Spektrogramme habe ich selbst vorgenommen, sie beschränken sich nur auf eine Differenzbestimmung von Linien des Eisen-Spektrens mit entsprechenden Linien im Sonnen-Spektren, und die Zahl der in dem einzelnen Spektren verglichenen Linien variiert zwischen 14 und 21. Obgleich das Spektren des Sterns zu dem kaltesten es möglich ist, dass es gehört streng genommen nicht zur Spektralklasse Ia, sondern bildet die Übergang von Klasse Ia, nach IIa, sind doch zwischen die Wellenlängen 4117,  $\mu\mu$  und 4415,  $\mu\mu$ , 140 bis 150 Linien auf den besten Aufnahmen zu erkennen, und zwar sind die meisten Linien von ausserordentlicher Schärfe, da die Spektren bei dem Aufnehmen von a Persei nur 0.615 mm betragen hat, folgedessen lassen die Spektren eine bei weitem grössere Beobachtung zu, als ich sie hier zunächst vorgenommen habe. Die Individuelemente dieser daher noch etwas unvollkommenen Systeme, die auch schon schon durch die Messung der Verschiebung derselben Linien gegen das Vergleichspektrum war bei anderer Lage der Spektrogramme

nier des Mikroskop nichtes werden. Dass Änderungen haben aber für den Nachweis des einzigen Vorhandenseins einer veränderlichen Bewegung von der erwartung angebotenen Größe keine Bedeutung, und die Beobachtungen sind daher nur in Bezug auf den absoluten Betrag der Geschwindigkeit der Sternbewegung im Vorauswärtig als vorläufig anzusehen.

Beobachtungen von  $\alpha$  Persei

Datum 1866 1867	M. Z. Position	Größe des Sterns relativ zur Erde in	Größe des Sterns relativ zur Sonne in
Dec. 13	7 10	+ 1.6	- 1.6
" 14	7 10	+ 6.2	- 16
" 18	8 7	+ 8.8	- 24
" 20	8 5	+ 10.6	- 16
" 26	9 12	+ 9.3	- 24
" 30	9 28	+ 10.3	- 26
Jan. 5	9 5	+ 12.1	- 44
" 9	9 8	+ 13.4	- 32
" 12	9 16	+ 13.9	- 46
" 14	9 2	+ 16.1	- 34
" 19	9 55	+ 13.3	- 44
" 9	9 18	+ 16.6	- 28
" 9	9 32	+ 17.9	- 36

Die Spektrogramme sind fast durchweg als sehr gut zu bezeichnen.

Aus den vorstehenden Beobachtungen geht nun keine Bestätigung der Beobachtungen Newalls hervor, da die grösste Abweichungen der an den einzelnen Abenden erhaltenen Werte vom Mittelwerte nur  $-1.6$  km und  $+1.7$  km betragen, Abweichungen, die bei dem unrichtigen Vergleichsgrad der Beobachtungen vollkommen klein sind.

Wie schon erwähnt, sind meine Beobachtungen in Bezug auf den absoluten Wert für die Geschwindigkeit von  $\alpha$  Persei in der Geschichte nicht nicht als definitiv anzusehen, die gute Übereinstimmung mit den Beobachtungen Campbell über diesen Stern:

1896 November 11	- 20 km
" " 13	- 18 "
1897 Januar 19	- 25 "
1898 Juli 12	- 21 "
	- 24 km

ist aber jedenfalls beachtenswert und dürfte wohl auch für die Unverständlichkeit der Bewegung des Sterns innerhalb sehr geringer Grenzen sprechen.

## Der Doppelstern $\epsilon$ im Hercules.

(Neuer Tab. VI.)

Der Doppelstern gehört zu mehrfacher Bezeichnung zu den interessantesten seiner Art, er war auch derjenige, bei welchem W. Herschel zum ersten Male die Bedeckung eines Fixsterns durch einen anderen konstataren. Im Jahre 1833 bemerkt dieser grosse Beobachter: „Meine Beobachtungen dieses Jahres gewähren eine Entdeckung, die in der Astronomie neu ist, nämlich die Bedeckung eines Fixsterns durch einen anderen“. Entdeckt wurde der Begleiter des Sterns am 18. Juli 1833 von W. Herschel, und er beschrieb ihn damals als eine schöne orange gelblich-

hellgelblichsternartige Gruppe, der hellere weiss, der andere gelbblich. Seit 1833 konnte der Begleiter nicht gesehen werden, weil er dem Hauptstern zu nahe war, weder die beiden Herschel noch South vermochten diesen Doppelstern zu trennen. Erst im Jahre 1839 sah Struve denselben wieder, nachdem der fünfjährige Refraktor in Dünaburg aufgestellt war. In den Jahren 1839 bis 1841 war er aber auch für diese Instrumente unsichtbar, sicherer Mangels begonnen erst wieder 1846. Im ganzen hat der Begleiter seit der ersten Entdeckung mehr als drei Umläufe um



seinem Centralstern ausgeführt und vom Umlaufdauer ist demnach ziemlich genau bekannt. Gegenwärtig, wo der Begleiter dem Hauptstern wieder sehr nahe ist, bildet er ein schwebendes Dreieck, die Distanz beträgt (1900) etwa  $68''$ , der Positionswinkel  $239^\circ$ . Eine eingehende Untersuchung alles über diesen Doppelsternverhältnisses Beobachtungsmaterials hat anlangt T. Lewis ausgeführt.<sup>1)</sup> Der Ort des Hauptsterns am Jahr 1900 Rektascension  $16^h 37^m 31^s$  Declination  $28^\circ 44' 59''$ , seine scheinbare Helligkeit 3.8 Größe und  $92^h$ , der Begleiter 6.5 Größe und  $164^h 37^m$ . Die Untersuchungen von Lewis erstrecken sich auf eine Distanz der Mikrosternmessungen, welche über die Sternpaar verfügen, sowie der Helligkeitsbeobachtungen und deren Kombination mit den mikrostrahligen Messungen, dann auf Ableitung der daraus folgenden Ergebnisse und Forschungen über Helligkeit, Farbe und Eigenbewegung des Doppelsterns.

Die Mikrosternmessungen begannen mit den Messungen Struve's 1826 und schlossen mit 1900's, umfassen also einen Zeitraum von 74 Jahren, entsprechend mehr als zwei Umläufen des Begleiters. Regelmäßige Meridianbeobachtungen des Hauptsterns liegen seit 1850 nur von der Greenwich Sternwarte vor, doch schien es wünschenswert, nachzuforschen, wenn auch verlässliche Meridianbeobachtungen als Vergleich benützen zu können und Lewis hat diese, soweit als erreichbar, gemacht und diskutiert.

Um zunächst einen allgemeinen Überblick über die Messungsarbeiten in Bezug auf die Stellung des Begleiters zu dem Hauptstern zu gewinnen, hat Lewis alle Beobachtungen der Distanzen und Positionswinkel nach Jahren geordnet und in einer Figur zusammengezeichnet. Diese ist Tafel VI, Fig. 1 reproduziert. Es bezeichnet in derselben A den Ort des Hauptsterns, oder in N oben S, rechts O und links W. Die Posi-

tionswinkel sind mit Bezug auf diese Richtungen eingetragen und durch die Distanzen von A, geteilt der beteiligten Sekla. Der kleine Kreis und Kreuz bezeichnen die Stellungen des Begleiters gegen A in dem betreffenden Jahre. Die Herleitung der verminderten Beobachtung von 1827 ist auch angegeben, ebenso die Richtung (Positionswinkel) in welcher der Begleiter 1820 stand. Zusammenfassend Beobachtungen begannen mit 1820 und die Orte des Begleiters mit diesem Jahre, gründe der Beobachtungen, sind durch eine punktierte Linie miteinander verbunden. Man sieht sofort, dass der Begleiter bei 1900 mehr als zwei volle Umläufe um den Hauptstern A gemacht hat, aber auch zeigt sich, dass stürbische Beobachtungen nicht durch eine und dieselbe Ellipse dargestellt werden können. Die Positionen von 1820 bis 1860 liegen innerhalb der kleineren Linie, welche die Positionen von 1860 bis 1899 darstellt, folglich kann bei Lewis jede dieser beiden Positionen getrennt für sich untersucht und dargestellt. Fig. 2 zeigt die Positionen von 1820 bis 1860 in Gestalt einer punktierten Linie, während die stürbische, sogenannte Ellipse diejenige Kurve darstellt, welche sich durch gewisse Positionen durchschnittlich am besten auszeichnet. In ähnlicher Weise zeigt Fig. 3 die Positionen von 1867 bis 1899 und diejenige Ellipse, welche für am besten entspricht. Beide Ellipsen stellen demnach die scheinbare Bahn dar, welche während der betreffenden Periode der Begleiter am Himmel um gegen Hauptstern beschreiben hat. Aus diesem scheinbaren hat dann Lewis die wirkliche Bahn durch Rechnung abgeleitet und findet dafür:

Zeit des Periastrons P	1846.0	1896.09
Umlaufdauer, Jahr P	50.4	37.9
Halbe große Achse der		
Bahn a	125	140
Excentricität e	0.064	0.060
Knoten $\Omega$	$28^\circ 28'$	$60^\circ 24'$
Neigung der Bahn $i$	$65^\circ 42'$	$52^\circ 15'$
Winkel zwischen Knoten		
und Periastron $\omega$	$264^\circ 38'$	$224^\circ 40'$

<sup>1)</sup> Monthly Notices Royal Astr. Soc. Vol. LXX No. 2, p. 74

Bei diesen Beobachtungen und die Beobachtungen von 1893, 1903, 1923 und 1929, sind verwendet, nicht berücksichtigt worden. Dagegen hat früher (1913) Müller eine Bahnberechnung dieses Doppelsterns ausgeführt, bei welcher die hier angegebenen Beobachtungen retrospektiv eine große Rolle spielen. Stellt man diese Bahnberechnung Müller's mit den obigen beiden Bahnberechnungen in chronologischer Ordnung zusammen, so erhält man für die Bahnelemente des Begleiters folgende Übersicht:

	T	P	a	e	i	Ω	ω	i
1.	1926.0	27.46	1.74	0.466	30°	167°	202°	
2.	1941.0	32.4	1.25	0.304	35	47	225	
3.	1961.0	70.8	1.40	0.160	41	50	259	

Vergleicht man diese Bahnelemente miteinander, so erkennt man in P, a und e eine deutliche Zunahme, ferner ergibt sich die Umlaufdauer (P) aus der Bewegung in jeder der drei Epochen abgeleitet, wesentlich verschieden von denjenigen, welche man erhält, wenn man die Zeiten des Periastrons (T) miteinander vergleicht, und wenn auch im Mittel die Umlaufdauer zu 11.3 Jahren ergibt. Die Kometenart und die Neigung der Bahn sind dagegen ausgesprochenst nur wenig verändert geblieben. Die Figuren 2 und 3 zeigen, dass die gemessene Distanz des Begleiters vom Hauptstern prinzipiell größer und kleiner wird, als die mittlere Bahn, dies deutet darauf, dass noch ein dritter Körper in dem System vorhanden, also entweder der Hauptstern oder der Begleiter wiederum doppelt ist und sich mit dem unsichtbaren Begleiter um den gemeinsamen Schwerpunkt bewegt.

Dass Beobachter Lewis schon ergriffen den Mikroskopvergrößerungen mit Wahrscheinlichkeit, dass der Begleiter doppelt ist, aber eine Untersuchung der sehr grossen Geschwindigkeitsveränderungen hat diese ergeben, dass wahrscheinlich der Hauptstern des Systems für sich doppelt ist und die Bewegung um den Schwerpunkt beider die periodischen Änderungen des scheinbaren

Absandes des sichtbaren Begleiters verursacht. Nach einem Überschlage dürfte die Umlaufdauer des unsichtbaren Begleiters etwa zwölf Jahre betragen und die halbe grosse Achse seiner Bahn 0.25". Ob es möglich wird, falls dieser Begleiter nicht also lichtschwach ist, denselben unter günstigen Verhältnissen an den grossen Teleskopen zu erkennen, muss dahin gestellt bleiben.

Was die Farbe des Hauptsterns anbelangt, so wird die Überbestimmung als gelb und die Helligkeit als 3.0 Grade angegeben. Bezüglich des Begleiters und der Angaben darüber nicht in guter Übereinstimmung. Lewis gibt von den einzelnen Notierungen der verschiedenen Beobachter folgende Zusammenstellung:

1926	Stern	—	2.6	Oranje
1927	"	—	4.5	"
1933	"	—		rotlich
1936	"	—		"
1937	Doppel	—	6.0	"
1940	"	—	7.0	gelb
1941	"	—	7.9	"
1942	"	—	7.3	blau, gelb
1943	"	—	1.0	"
1946	"	—	7.0	"
1947	"	—	6.0	gelb
1948	"	—	5.4	schlammgrün
1949	"	—	7.0	Masse
1951	"	—	7.0	rot
1954	Doppelstern	6.8		überwiegend
1955	"	7.2		orange
1956	"	6.8		überwiegend
1957	"	7.3		grünblauer
1958	"	5.9		gelbbraun
1959	Doppel	4.1		blau
1960	"	6.8		grün
1961	"	6.7		überwiegend
1971	"	6.9		"
1972	"	4.4		"
1973	"	6.1		orange
1974	"	7.5		überwiegend
1975	"	7.8		"

Diese Schätzungen der Helligkeit und ebenso der Färbung werden in der That sehr voneinander ab, aber man darf nicht vergessen, dass der Begleiter unseres Hauptsterns sehr nahe steht und der Farbe desselben immer um schwächer ist, Tischungen also leicht vorzukommen

kleinen. Der Hauptmeridian von C. Havaris ist nach spektroskopisch auf seine Bewegung in der Gesichtslinie zur Erde untersucht worden und zwar von Seeligmann, Campbell und Nowell. Indem Lewis diese Messungen zu Mittelwerten vereinigt, findet er folgende Geschwindigkeiten in Kilometern pro Sekunde:

1893-4	— 66.0
1897-8	— 66.0
1897	— 77.5

Das Mittel zusammen mit den Datenberechnungen des Regelliers setzen in dem Saal, die Parallaxe des Systems zu berechnen und Lewis findet dafür die Werte 0.051" und 0.130" und nennt dieselbe im Mittel zu 0.14" an. Daraus folgt dann weiter:

Gesamtwärme des Systems	810 der Sonnenmasse
Wasser unter der braunen Sonne	0.44
Mittlere Distanz der weißen	205 Millionen Meilen

Mittlere Geschwindigkeit in der Bahn	2.7 Meilen pro Sek.
Geschwindigkeit in der Gesichtslinie beim Kometen	42.5
Geschwindigkeit der Annäherung an die Sonne	46.3
Eigenbewegung in Declination	5.8
Eigenbewegung in Rightascension	18.0
Eigenbewegung im Raum	38.0

Der Werte für die Parallaxe sind daher auch die niedrigstenen absoluten Werte für die Distanzen des Sternpaars sind indessen noch sehr unklar, weil im vorliegenden Falle ein Fehler von um 1 km in der spektroskopischen Bestimmung der Bewegungsgeschwindigkeit in der Gesichtslinie schon einen grossen Einfluss auf die Bestimmung der Parallaxe ausübt.

### Die Rotation des Planeten Eros.

 Zwar durch seine Bahn und grosse Annäherung an die Erde vorwiegend kleiner Planet, hat nach einer weiteren Hinsicht auf fallende Eigenschaften beinahe einzigartig, nämlich einen starken periodischen Lichtwechsel. Es ist sehr merkwürdig, dass dieser Lichtwechsel nicht schon früher während des vergangenen Winters bemerkt wurde, da der Planet doch auf beiden Hemisphären beinahe gleicher Beobachtungsmöglichkeit war. Die von H. Struve in Königsberg vermittelten Helligkeitsmessungen<sup>1)</sup> waren von Valentin in Heidelberg zunächst nicht bemerkt worden. Erst ein Telegramm von Prof. Derschwiller in Bonn<sup>2)</sup> und die von ihm mitgetheilten grossen Helligkeitsbeobachtungen<sup>3)</sup> zwischen dem Lichtwechsel als thatsächlich vorhanden und

wurden der Dauer der Periode auf nur 2<sup>h</sup> 36<sup>m</sup> fest. Damit hat durch Prof. Derschwiller zum ersten Male der sichere Nachweis der Rotationsdauer eines kleinen Planeten erbracht und die Aufmerksamkeit auf diese Erscheinung als wichtige Thatsache berichtigt worden. Vermuthungen über die Rotation von Planetoiden sind schon früher aufgestellt worden und zwar allerdings haben photometrische Bestimmungen von Prof. Wolf an dem Planetoiden Icarus (1862) und Terminus (145) auf Helligkeitsmessungen innerhalb 90 und 1445 Minuten Dauer geführt, der sichere Nachweis einer Rotation ist jedoch bis jetzt nur bei Eros gelungen.

Dr. Eugen v. Oppolzer (Berichte der Kaiserl. Acad. in Wien) folgende

<sup>1)</sup> Astron. Nachr. No. 3646  
<sup>2)</sup> Z. f. A. S. No. 3646  
<sup>3)</sup> Z. f. A. S. No. 3666.

<sup>4)</sup> Sitzung der mathem.-naturwiss. Klasse vom 20. Februar 1901. Abhandl. Abt. 1. No. 11.

Platierung über Heligkretschmannungen des Ertes.

Am 28. Dezember 1900 erfolgte ich die Heligkeit des schon durch seine Beobachtungen unbefangenen Platoniden Ertes mittels eines Zollner'schen Platonides am achtstündigen Gradbogen Beobachter des Königl. astrophysischen Observatoriums in Potsdam. Heligkeitsschwankungen von Abend zu Abend, auch solche im einem Abend, während gleichfalls Vergleichsmessungen können nicht zeigen, ein paralleler Gang zwischen gleichartig gemachten Beobachtungen und deren unabhangigen photometrischen Messungen schienen genug verlahrende Umstande zu sein, um die Lichtveranderungen als reell anzusehen. Zur Gewissheit brachte mich eine Beobachtung am 8. Februar 1901, die eine Lichtveranderung von etwa 15 Grasenklassen gegen einen unmittelbar beobachtbaren Stern innerhalb einer Stunde ergab. Zum groten Teil ist derselbe der verdeckten Lichtschwachheit zuschreibbar, aber zweifellos genau, weil ein mit Ertes unabhangig nahe gleich heller, schwacher Stern ohne Heligkeit gegen die anderen Sterne nicht merklich gelandert hat, Ertes hingegen hellere als im Geschichtliche Heligkeit, verhilfensartig helle Sterne wurde. Dies veranlassen mich, die Heligkeitsschwankung ebenfalls durch die Ursache in Kiel bekanntgeben zu lassen. Die ergebnissen Beobachtungen bestatigen die innerhalb weniger Stunden vor sich gehende Schwankung und durch den parallelen Gang der Lichtkurve in Potsdam Heidelberg ist die Realitat der Erscheinung fur jedermann ohne allen Zweifel erhaben. An diese Entdeckung knupfen sich folgende Betrachtungen:

1. Da die Heligkeitsschwankungen über 0,5 Grasenklassen betragen, derselben also einer satzen von 0,5 (apertur) sind, so ist es anzunehmen, dass derselben auf verschiedenen diffusen Reflexionsvorgangen einer kapillaren

Oberflache zustandekommen sind. Derselben konnte nur dann diese Grund haben, dass der Korper des Platoniden abnorm von einer Kapillarflache abweicht. Solche Abweichungen erzeugen auch im Platonide der Opposition Lichtschwankungen, die dann mit zunehmendem Platonidenverlaufe einleitender Schwankweite betrachtlich ausweichen werden. Lokale bilden die starkste Quelle starker Lichtveranderungen.

2. Die Rotationszeit durfte Erteswelle des Tages betragen, und man darf nicht vergessen, dass bei abnormen Oberflachen der Heligkeitsschwankungen mehrere Maxima und Minima aufzutreten konnen, sodass die Wiederkehr derselben Heligkeit keinen Wert fur die Rotationszeit liefert, weil ich vermiede, dass die Heligkeitsschwankungen dem Algotischen Typus entsprechend verlauft. Die verhilfensartig rasche Rotation und geringe Masse des Platoniden auf starke Abhangigkeit der Schwere von dem Orte auf der Oberflache hervor, und dieser Umstand hangt wenig mit der abnormen Form des Korpers zusammen.

Es ist klar, dass sich aherliche Heligkeitsschwankungen bei mehreren Platoniden finden werden, die dann ein reiches astronomisches Material fur die Zusammenhang der Rotationsdauer und der Masse, vielleicht auch der Bahnabnorme und auch sicherer Aufgabepunkte fur die Ursprung der Asteroiden liefern werden.

Nun liegt wieder ein Arbeitsfeld fur die Himmelsphotographie vor, wo derselbe auch das beste Material sein wird, indem hier hintereinander gemachte Aufnahmen eines Platoniden mit ihrer Platte, die Heligkeitsschwankungen unabhangig vom Zeit- und Schwankungsgang, je nach von Unabhangigkeiten der Platte interpoliert durch Einsetzung gemessener Vergleichsstarke implizitmetrischen Mass angegeben werden konnen.

## Die spektroskopische Bestimmung der Rotation des Saturnringes.

(Mit Zeichnung an Text.)

Die Bestimmung der Rotationsdauer des Saturnringes mit Hilfe des Spektroskops gehört zu den letzten Untersuchungen, welche auf dem Gebiete der Spektroskopie bis jetzt ausgeführt worden sind, und sie ist noch deshalb von besonderer Wichtigkeit, weil sie Aufschlüsse über die Natur und Beschaffenheit dieses Ringensystems gestattet, die sonst direkt nicht zu erhalten sind.

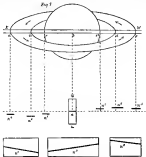
Von verschiedenen Seiten ist der Wunsch geäußert worden, das Prinzip, auf dem diese Bestimmungen beruhen, welche der verehrliche Prof. Koller zuerst im Frühjahr 1895 erhalten hat, möge an dieser Stelle kurz dargestellt werden.

Wenn der Ring des Saturn als ein zusammenhängendes Ganzes am vorderen Centralkörper rotirt, so ist klar, dass die Teile des inneren Randes sich in der gleichen Zeit um Saturn drehen, wie diejenigen des äusseren Randes. Da aber jede einen kleineren Kreis beschreiben als diese, so muss ihre Geschwindigkeit geringer sein als diejenige der letzteren. Wenn dagegen der Saturnring aus unzähligen selbstständigen Theilen besteht, von denen jedes für sich dem Saturn rotirt, so müssen die Theilchen, welche Strassers Ansicht des inneren Randes des Ringes bilden, eine rascher Bewegung haben als die letzteren, indem ihre Geschwindigkeit mit der Entfernung vom Saturn abnimmt. Die Berechnung ergibt, dass die Theilchen, welche dem äusseren Ringrand bilden, eine Geschwindigkeit von 11.04 km in der Sekunde besitzen müssen, diejenigen in der Nähe des Ringes eine solche von 18.75 und diejenigen am inneren Ringrand eine Geschwindigkeit von 21.04 km, während die Geschwindigkeit des Randes der Saturnringe 0.29 km pro Sekunde beträgt. Daher ist zu beachten, dass die Teile in der

einen (bestimmten) Seite des Ringes und des Saturn sich infolge der Umdrehung des Beobachters drehen, in der anderen (gegenüber) von ihm entfernen. Grundes des Prinzips der Spektroskopie erlauben aber die Linsen im Spektrum einer Lichtquelle, welche sich gegen den Beobachter hin bewegt, eine Vergrößerung nach der vorderen Seite des Spektrums, und bei einer solchen, die sich vom Beobachter entfernt, eine Verkleinerung gegen das rote Ende des Spektrums hin. Das sind die Gesichtspunkte, von denen aus Prof. Koller seine Untersuchung über die Bewegung im Saturnringe unternahm. Er benutzte dazu das grosse Spektroskop des Astrophysikalischen Observatoriums und photographirte das Spektrum des Saturn und seines Ringes auf orthochromatischem Platin am 9. und 10. April 1895. Die Dauer der Exposition betrug in jedem Falle 2 Stunden, und das Bild des Planeten wurde während dieser Zeit mit grosser Genauigkeit central auf der Spalte des Spektroskops und der Platte gehalten. Nach der Exponierung wurde sofort Vergleichung der Linsen des Spektrums des Planeten an jeder Seite des Saturnspektrums und fast in Bestirzung mit denselben vorgenommen. Die Länge des Spektrums zwischen dem Linse C und D beträgt 23 mm. Die beiden Photographien zeigen nun sehr deutliche wohl nur die Verschiebung der Linsen im Spektrum des Ringes, welche der entgegengesetzten gerichteten Bewegung auf beiden Ringhälften entspricht, sondern auch eine andere Eigenbewegung, welche eben über die Beschaffenheit der Ringmaterie Aufschlüsse gibt. Die Linsen des Saturnspektrums verschieben nämlich infolge der an beiden Rändern der Saturnringe entgegengesetzten gerichteten Bewegung schief abwärts und zwar vom Vordem gegen Rot gesagt. Die Linsen im Spektrum

des Gitters der Ringe sind auch schief, aber vom Rot gegen Violet geneigt, ebenso diejenigen des westlichen Ringkreises. Diese Neigung der Linien ist es nun, welche über die Rotationsrichtung der Massen und deren kongruenter Anschluß gibt. Um dies zu verdeuteln, stelle Fig. 1 das Schema mit seinen Ringe dar, und

Beobachter, die Teilchen bei  $r$  kommen ebenfalls auf den Beobachter zu, diejenigen bei  $r'$  entfernen sich von ihm, während diejenigen bei  $b$  keine Ortsveränderung an der Grenzlinie zum Beobachter her bestehen, sondern sich infolge der Rotation des Satzes lediglich von links nach rechts bewegten. Nehmen wir jetzt an, es werde das Spektrum des



kleiner rotier in der durch die Plek tangente Richtung, während die Doppellinie  $F\bar{W}$  des Spalt des Spektroskops vorwärts, vor dem sich Saturn und sein Ringssystem befindet, sodass nur der schmale Teil derselben sichtbar ist, welcher von diesem Spalt gesehen wird. Das Teilchen bei  $a$  und  $c$  bewegen sich also auf den Beobachter zu, die bei  $b$  und  $e$  entfernen sich von

Teils der Saturnkugel bei  $b$  photographiert, so erschließt in diesem die Spektrallinien nicht verschoben, sondern an ihrem rechten Ort, und es bezieht  $a$  also diese Linie in dem Spektrum  $VH$ , in welchem  $V$  das violette,  $H$  das rote Ende des Spektrums vorstellt. Wird in gleicher Weise ein Spektrum des Randteils  $c$  der Saturnkugel aufgenommen, so muss hier die

Linie  $n$  in die Lage  $n'$  verschoben sein, weil auch der Punkt  $r$  dem Beobachter näher, umgekehrt entfernt sich der Punkt  $r'$  vom Beobachter, und infolgedessen muss die Spektrallinie  $n$  für diesen Punkt nach  $n'$  verschoben erscheinen,  $d$   $h$  gegen das rote Ende des Spektrums hin. Für alle zwischen  $r$  und  $r'$  liegendes Teile der Saturnkugel liegt die Linie  $n$  zwischen den Lagen von  $n'$  und  $n''$ . Im Spektroskop lässt sich nun aber das Licht der Teilchen bei  $r$  und  $r'$ , sowie der übrigen nicht trennen, dass es umfasst eine die ganze Zone der Saturnkugel zwischen  $r$  und  $r'$ , daher sieht man in dem Spektren die scheinbare Linie zwischen  $n$  und  $n''$  in eine stärke zusammengezogen, dass Linie aber ist völlig geradigt und zwar von dem stärksten gegen das rote Ende des Spektrums, wo die lange Linie  $n''$  liegt. Aus der Größe dieser Neigung lässt sich die Geschwindigkeit der Rotationsbewegung der Saturnkugel berechnen, um fand sich auf die Photographie vom 1. April zu 11 Am pro Sekunde, auf demjenigen des 2. April zu 98 Am, im Durchschnitt also zu 103 Am, so gut wie völlig übereinstimmend mit der oben angeführten Berechnung dieser Geschwindigkeit.

Betrachten wir nunmehr den Ring. Für ein Teilchen in  $a$ , welches sich auf und ab bewegt, wird die Linie  $n$  gegen Violet verschoben, also etwa in der Lage  $n'$  erscheinen, für ein Teilchen in  $c$  (dem andern Ringtheile) welches sich vom Beobachter entfernt, muss die Linie  $n$  gegen Rot verschoben erscheinen, aber in der Lage  $n''$ . Die Teilchen bei  $c$  bewegen sich auch in der Richtung auf den Beobachter hin, für sie muss also auch die Linie  $n$  gegen Violet verschoben erscheinen, ob aber mehr als dies bei  $a$  der Fall ist, hängt davon ab, ob  $c$  sich rascher bewegt als  $a$ . Die Beobachtung ergab, dass letzteres in der That der Fall ist, die Linie erscheint in der Lage  $n'$ , oder, da alles Licht des Ringtheils zwischen  $a$  und  $c$  in einem Spektrenbilde vorliegt,

ist, so zeigt sich der Linie  $n$  eine Lage in der übrigen Lage von  $n'$ . Für den andern Ringtheil ergab sich, dass bei  $d$  die Linie  $n$  weiter gegen das rote Ende des Spektrums verschoben war als bei  $a$ , infolgedessen erschien in dem Gesamtspektren der Saturns die die Linie in der scheinbaren Lage von  $n''$ , wenn folgt, dass der Punkt  $d$  des Ringes rascher rotiert als der Punkt  $c$ . Aus den Neigungswinkeln beider Linien fand Koller, dass die mittlere Geschwindigkeit des Ringes 16 Am beträgt, was mit dem Ergebnisse der Rechnung, welche dafür 15,6 Am abgibt, gut übereinstimmt.

Im vorhergehenden ist der Einfachheit halber angenommen worden, dass Saturn und sein Ring nur Rotationsbewegungen ausführen, indessen bewegt sich auch das ganze Saturnsystem, und ein Teil dieser Bewegung fällt in der Richtung zur Geschwindigkeit nach der Erde hin. Es versucht sich von selbst, dass bei der Berechnung der Linsenverschiebungen nach diese Bewegung des Saturnsystems berücksichtigt wurde.

Die spektrophotographischen Aufnahmen Kollers haben also ergeben, dass die Geschwindigkeit des inneren Ringes größer ist, als diejenige des äußeren und dass innerhalb der Grenzweite der Messungen die relativen Geschwindigkeiten der verschiedenen Ringpartien so sind, wie sie in der entsprechenden Entfernung vom Saturnzentrum dem dritten Kepler'schen Gesetz genau für drei umlaufende Körper sein müssten. Von Interesse ist, dass nahe an die nämliche Zeit, wie Koller, auch der französische Spektroskopiker Delalande mit der nämlichen Untersuchung befasst. In vollständiger Übereinstimmung mit dem Amerikaner fand auch er die Geschwindigkeit des inneren Ringes größer als diejenige des äußeren. Er teilte aus seinem Aufsatze ab, dass der Rand der Saturnkugel eine Geschwindigkeit von 9,08 Am, der innere Ring eine solche von 20,16, der äußere von 15,40 Am in der Sekunde besitzt,

Werte, die genügend mit denjenigen Karten und der theoretischen Beschreibung übereinstimmen.

Endlich hat W. W. Campbell auf der Luft-Strömung, veranlaßt durch die Ergebnisse Keplers, mit Hilfe des Heliographen Spektrographen ebenfalls spektrophotographische Aufnahmen des Saturn gemacht und zwar am 19., 14., 15. und 16. Mai 1905. Im Mittel aus diesen Beobachtungen fand er für die Rotationsgeschwindigkeit der Saturnpol 927 km pro Sekunde, während die Rechnung 1019 km dafür ergibt. Der Unterschied der Geschwindigkeit in der Richtung des inneren und äußeren Randes vom Saturnringe fand sich zu 313 km, um welche der innere Rand mehr rotiert, was hinsichtlich (%) auf

074 km mit dem nach dem dritten Keplerschen Gesetze berechneten Geschwindigkeitunterschied von Saturnring in jenen Abständen übereinstimmt.

Das sind die wichtigsten Resultate, und sie bestätigen aufs schärfste die theoretischen Arbeiten von Maxwell, Helm und Sedgwick. Indessen folgt aus ihnen nicht gerade, dass der Saturnring aus einer Walle von ununterbrochenen Partikeln besteht, sondern, wie Prof. Sedgwick hervorhebt, zunächst nur, dass er aus kontinuierlichem Schichten besteht, von denen jede genau dem Keplerschen Gesetze am Saturn rotiert. Die Cassinische Trennungslinien auf dem Ring ist offenbar eine breite Zone, innerhalb deren keine Materie existiert.

Dr. Klein

## Die letzten fünfzig Jahre der Himmelsforschung.

Von A. Z.

**D**ie Entwickelungsgang der Wissenschaften bindet sich nicht an chronologische Abschnitte der Zeitrechnung. Dennoch ist es angemessen, an der Wende eines Jahrhunderts zurückzuschauen auf den Weg, den die menschliche Bildung genommen hat, so wenig auf die Wissenschaft, auf die Fortschritte, welche wissenschaftsgeraht gemacht wurden. So auch bezüglich der Astronomie. Indessen ist dieses Aufblättern während des ganzen 19. Jahrhunderts so unergiebig, dass es im Rahmen einer kurzen Besprechung nicht wohl geschildert werden kann. Wir müssen uns daher hier auf die Fortschritte während der zweiten Hälfte des abgelaufenen Jahrhunderts beschränken und können dafür auch noch einen sehr triftigen Grund anführen. Der Beginn der zweiten Hälfte des abgelaufenen und der Anfang des gegenwärtigen Jahrhunderts sind ja durch ein Werk bezeichnet, das den Standpunkt der astronomischen Forschung in der bevorstehenden Epoche darzustellen unter-

scheidet. Nämlich der Anfang der fünfziger Jahre des 19. Jahrhunderts durch das Erscheinen des astronomischen Handbuchs von A. v. Humboldt - Kosmos und der Anfang des gegenwärtigen Jahrhunderts durch das Handbuch der allgemeinen Himmelsbeobachtung, nach dem Standpunkte der astronomischen Wissenschaft am Schluß des 18. Jahrhunderts von Dr. Hermann J. Klein - 5 Briefe Bücher liegen seitlich genau 50 Jahre auseinander und beide decken sich in Absicht auf Darstellung vollständig. Diese letztere geht nämlich vornehmlich auf die Thatsachen der Beobachtung aus, nicht auf die mathematische Theorie und deren Ableitung. In letzterer Beziehung ist auch während der verfloffenen 50 Jahre wenigstens nichts Neues vorgebracht worden, die Mitte des vorigen Jahrhunderts bekannter und reifungsvollender gewordenen methodischen Grundlagen, wie sie von La-

5 Bauschweg 120, Verlag v. P. Neumann, Neudamm, Preis 8 Mk.



päpe, Gales, Bessel und einigen wenigen andern hergestellt und ausgearbeitet worden waren, sind im wesentlichen auch jetzt noch die Fundamente aller astronomischen Rechnungen, allerdings vervollkommen und an manchen Stellen erweitert durch Männer von Gylden, Finstrand, Seeliger und andere. Dagegen hat unsere Kenntnis der tatsächlichen Verhältnisse der Himmelskörper heute eine ganz andere Umfang als vor 50 Jahren und unser Blick in das Weltall ist weit klarer und dunkler. Die Hauptursache dieses ungeheuren Erweiterung unseres tatsächlichen Wissens vom Universum ist in der Erfindung und Anwendung ganz neuer Instrumente und Beobachtungsverfahren zu suchen, des Spektralanalyse und der photographischen Platte, daneben natürlich in der Vervollkommenung des Fernrohres, ohne welche die Eindringtiefe in die Fernen der Himmels überhaupt ausgeschlossen wäre. Ein schwer in die Waagskale fallender Umstand zu Gunsten der astronomischen Forschung ist aber auch der, dass lebhaftes Interesse für die Ergebnisse der Himmelskunde heute in den weitesten Kreisen der Gebildeten vorhanden ist. Ohne dieses letztere würde die Himmelsforschung nicht in so ausgebreiteter Masse von den Staaten begünstigt werden und würden viele und darunter gerade die grössten und bedeutungsvollsten Charakteren niemals im Leben getreten sein. Wenn der Himmelsforschung nur für einen kleinen kleinen Kreis von Fachleuten nicht vorhanden wäre und sonst keine Menschen interessiert, so würde es nicht locken, dafür grössere Mittel aufzuwenden, sie würde mehrere jährlich entbehrlich erscheinen, wie es jahrhundertlang der Fall war. Denn der praktische Nutzen der Himmelsforschung ist nicht sehr gering gewesen und wird dies auch (deshalb) für die Kalenderrechnung und die Navigation, die man so oft als Abhängigkeit von der Astronomie vorführt, bedarf es keiner Spektroskope und

photographische Fernrohre, auch keine Doppelsternsysteme und Nebelhelixkataloge. Dieses praktische Zwecke ist längst erfüllt, wohl aber hat der Mensch auf der Stufe seiner heutigen Bildung die geistige Bedürfnisse, immer gründlicher über die Zustände des Weltalls aufgeklärt zu werden, die grosse Weltgeschichte unserer Väter kennen zu lernen. Diesen Zwecke und die grossen und zahlreichen Sternwarten dankbar, zu diesem Zwecke haben die Regierungen und hochberühmte Privatpersonen grosse Mittel gesteuert und aus diesem Grunde begründet sich der Mensch für die Himmelsforschung.

Geben wir nun nach dieser Abschweifung zurück auf unser eigentliches Thema, so haben die beiden oben erwähnten wichtigsten Werke des Naturals, zu dem Fortschritt der Himmelskunde während der letzten 50 Jahre überaus wichtig können zu lernen.

Humboldt im dritten Bande seiner «Kosmos» geht bei der Darstellung aus von dem Fixsternsystem. Da Klaproth in seinem Werke dagegen vom Sonnensystem und schließt von diesem aus weiter zu den Kometen und Sternschnuppen dann zu den Fixsternen, Nebelhelixen und der Milchstrasse. Wir schliessen von dieser letzteren Wegrichtung an und beginnen unsere Schilderung der Fortschritte der Astronomie mit dem Sonnensystem.

Der hauptsächlichste Hauptkörper desselben, die Sonne, ist nach derjenigen, zu welcher sich zunächst der Fortschritt in der Entwicklung der betreffenden Astronomie knüpft.

Besüglich der Bedeutung der Sonne als Quelle stehender Energie, durch welche Bewegung und Leben auf der Erde unterhalten wird, soll nur im Vorbeigehen erwähnt werden, dass man vor 50 Jahren hiervon nicht's Schonen wusste, von der Bedeutung der Wärmestrahlung der Sonne als Hauptenergiequelle für die Erde hatte Humboldt in seinem Buche keine Ahnung. Der Wiedergang dieser Seite der Sonnen-

thätigkeit geleitet wurde, mehr in die Physik als in die Astronomie und wir gehen daher über zu den Vorstellungen von dem physikalischen Zustande des Sonnenballs. Der Standpunkt der Wissenschaft in dieser Beziehung um 1850 erliden der «Kanon» mit folgender Darlegung:

«Die Vermuthung, zu deren die neue Astronomie allmählich über die physische Beschaffenheit der Oberfläche der Sonne gelangt ist, gründet sich auf lange und sorgfältige Beobachtung der Veränderungen, welche in der selbstleuchtenden Scheibe vorgehen. Das Befremdliche und die Zusammenhang ihrer Veränderungen (der Entstehung der Sonnenflecken, des Vorhüllens der Kernflecke von tiefer Schwärze zu dem an umgebendes schwaches Hofen oder Prominenz) hat auf die Annahme geführt, dass der Sonnenkörper selbst fast ganz dunkel, aber in einer grossen Entfernung von einer Lichthülle umgeben sei; dass in der Lichthülle durch Strömungen von unten nach oben hocherleuchtete Öffnungen entstehen, und dass der schwarze Kern der Flecken ein Teil des dunklen Sonnenkörpers selbst sei, welcher durch jene Öffnung sichtbar werde. Um diese Erklärung, die wir hier nur vorläufig in grösser Allgemeinheit geben, für das Fausche der Erscheinungen auf der Sonnenoberfläche befriedigender zu machen, wurde in dem gegenwärtigen Zustand der Wissenschaft den Umständen der dunklen Sonnenlage angenommen: zunächst eine innere, vollkommenere Dornhülle, darüber die Lichthülle (Photosphäre), und über dieser (wie besonders die totale Sonnenfinsternis vom 8. Juli 1842 erweisen zu haben scheint) eine äussere Wolkenschicht dunkel oder doch nur wenig erleuchtet.»

Wenn man diese Darstellung vom Standpunkte der heutigen astronomischen Wissenschaft würdigt, so muss man sich füglich wundern, dass eine so störrische physikalischen Prinzipien widersprechende Hypothese allgemeinen Beifall

finden konnte. Und dennoch war es von einem der bedeutendsten damals lebenden Physiker [Ango] herbeigeholt worden und gilt auf diesem Autorität hin in dem wissenschaftlichen Kreise als richtig, wurde auch in populären Schriften als über jeden Zweifel erhaben dargestellt. Durch ungestörte Beobachtung der Sonne allein würde man vielleicht auch schwerlich darüber imma-ginieren sein, vielmehr wurden richtigere Ansichten durch physikalische Forschungen, die ursprünglich nach ganz andern Richtungen hinzielten, ergriffen, nämlich durch die Aufhellung der mechanischen Wärmetheorie und des Gesetzes der Erhaltung der Energie, endlich durch Erfindung der Spektalanalyse. Die wie Zwiebelhäuten aneinander anschliessenden Hüllen des Sonnenballes waren ursprünglich angenommen worden, um so erklären, weshalb die dunklen Sonnenflecken gegen den Sonnenrand hin concentrisch zu dem sie umgebenden schwachen Hofen oder Prominenz stehen. Der schottische Astronom Alexander Wilson schloss nämlich 1714 aus diesem Umstände, dass die Sonnenoberfläche trüblichförmige Öffnungen oder Einsenkungen von der leuchtendsten Photosphäre bis zur dunklen Sonnenlage bilden und dass der Hof (die Prominenz) nichts anderes als die gelben Sonnenwinde des Trübchen selbst. Dieser Theorie schloss sich W Herschel und später Ango an, letzterer behielt sie weiter aus. So geht aber in der That eines Bessern darü, wie leicht sich beliebige Vorstellungen ausbilden in die Wissenschaft einschleichen und dort heimlich können. Wenn der Kern der Sonne sich nicht in Hitze befinden würde, sondern vollständig kalt und dunkel wäre, so würde dies voraussetzen, dass die den Kern umhüllende Wolkenschicht die Hülle der Photosphäre so vollkommen abdecke, dass auch nicht die geringste Sperr durchdringt. Denn will sich die geringsten Mengen wegen fehlender Ausstrahlung im Laufe der Jahrtausende vermehren,

so müsste schon längst eine solche Temperatur beobachtet werden wie auch eine Wolkenschicht an, die selbst innerhalb Jahresraudes keine Wärme auf den Kern gelangen lässt, so würde die Wärme doch schon durch das zwölffache Male wiederholte Prozess richtigerer Öffnungen von grossen Dimensionen und vielfältiger Natur, endlich in solcher Intensität auf dem Kern ankommen müssen, dass dieser schliesslich der Photosphäre an Glanz nicht nachstehe. Kirchhoff sagte daher sehr richtig: «Die Wilson'sche Hypothese schneid nur in höchstem Grade seltene physikalischen Erkenntnisse zu widersprechen, dass sie selbst dann verworfen werden müsste, wenn man nachweisen könnte, die Erscheinungen der Sonnenfläche sei von andern Wesen auch nur einigermaßen begründet zu machen».

Kirchhoff erklärte auf Grund seiner spekulativ-mathematischen Studien die Sonnenflecke für Wolken, was auch schon Galiläi gefasst hatte. Diese Erklärung fand zunächst bei den Astronomen wenig Beifall, obgleich schon im 18. Jahrhundert Lalande behauptet hatte, dass die äquatoriale Stellung der Komaele in ihrem Hohen ein Sonnenrande, nicht bei allen Flecken vorkomme, auch an die Erscheinung in keinem Falle deutlich genug, um diesem Systeme als Grundlage zu dienen; aber seine Erwähnung wurden wenig beachtet. Erst Spörer war es der wechsellag jahres nach, dass, wo solche Gestaltänderungen der Hufe vorkommen, derselben anderen Ursachen ihr Entstehen verleihe. Er führte eine grosse Anzahl Beispiele auf, aus denen ein Beobachter, der nicht die fortwährenden Veränderungen der Flecke verfolgt hätte, nicht den Schluss ziehen könnte, die Stellung des Hufes entspreche nicht Wilson's Theorie, während indes die ununterbrochene Beobachtung der Entstehung und Ausbildung des Fleckes lehre, dass dies nicht der Fall sei, vielmehr die äquatoriale Hufeinstellung von physischen Vorgängen auf der Sonnen-

oberfläche abhängt. Die Flecke sind auch nach Spörer Wolkenmassen, die in der gasförmigen Sonnenatmosphäre schweben. Die Sonnenflecke sieht Spörer für Teile der Sonnenoberfläche, über welchen die Flecke sich befinden. «Es ist nicht zu fragern» sagt er, «dass die an Sonnenrande von Flecken umgebenen Fläche den Eindruck machen, als befänden sie sich in einer Verhölung, welches glänzenden Berge. Diese Erscheinung wird man indessen als eine durch die glänzenden Flächen hervorgerufene optische Täuschung ansehen müssen, weil wir doch nur ein völlig ebenes Bild betrachten. Allerdings hat Secchi am 5. August 1865 beobachtet, dass der Farkete, an dem Westrand befind, ein kleine Hervorragungen und Ursprungslinien über den Sonnenrand hinausstritten, worin er den entstehenden Beweis dafür sah, dass die Farkete bewegliche Erhöhungen von mässiger Höhe seien. Angenommen würden diese Berge sogar die Höhe von 34 geographischen Meilen übersteigen. Wie aber neben solchen Erhöhungen auch dunkle Massen, die Flecke, bestehen können, ist nicht wohl erklärlich». Wir betrachten, Hört Spörer fort, die Fläche als wolkenartige Gebilde, unterm oberhalb heller Flächen, oberhalb der Farkettlinien, und denken diese als zur ein Stürmen bewegte Nebenschicht, welche infolge der Schwerkraft nicht zu solchen Wellenbergen aufgetrieben werden können, deren Höhe für uns noch messbar oder wahrnehmbar wäre. Der Beobachtungswinkel können wir aber durch folgende Betrachtung Geistes finden. Als notwendige Folge der Strahlenbrechung einer Sonnenatmosphäre zu beweisen, dass irgend ein Rand der Sonne noch ein kleiner Saum hervorsteht muss, solcher der abgewandten Sonnenrand angehört. Ob wir unter gewöhnlichen Umständen etwas von diesem Saume sehen, oder ob sich derselbe in besonderem Masse bemerklich gemacht hat, lassen wir unsern Art und weigern

war, dass jedenfalls der innerste Teil des festen Saumes, welcher schon durch die Lichtbrechung in der Sonnenatmosphäre sehr matt ist, bei Anwesenheit eines Sternflares unsichtbar bleiben muss. Wenn aber auf der uns abgewandten Sonnenseite, auf dem durch

die Strahlbrechung gebildeten Saume, mehrere Partikel vorhanden sind, so werden solche Stellen uns sichtbar sein können, und stören die Erscheinung von Hervorwärtigen über den Sonnenrand gar nicht.

(Fortsetzung folgt.)

## Vermischte Nachrichten.

**Über die Benennung der kleinen Planeten** schreibt der Vorsitzende des Kgl. Sternwärters in Berlin, Herr J. Neumann, in No 3683 der Astron. Nachr.: In der Belagung der kleinen Planeten mit Namen und die Entdecker in den letzten Jahren mit grosser Langsamkeit vorgegangen, so haben von den 187 seit 1825 entdeckten und nummerierten Planeten (333) bis 1482) erst 23 einen Namen erhalten. Wenn uns auch zugestanden werden muss, dass durch die vorläufige Benennung mit Buchstaben und durch die nachträgliche definitive Nummerierung dem eigentlichen wissenschaftlichen Interesse hinreichend Genüge geleistet wird, so darf doch nicht übersehen werden, dass auch die Namen eine volle Beachtung haben. Angesichts davon, dass in dem 100jährl. Jubeljahr Gebrauch nicht ohne Notwendigkeit aufgegeben werden sollte, seien die Namen ein wenig in massentechinisches Pflanzwort, welches schon, der sich mit der Gesamtgruppe der kleinen Planeten zu beschäftigen hat, massentechinisch erscheinen wird. Nimmere und Buchstaben werden leicht verwechselt, der Name dagegen hilft sich mit der ganzen Geschichte des Planeten leicht dem Gedächtnis ein. Ich bin zu dem Entschlusse gekommen, den Arbeit der Korrespondenz dieses Pflanzwort nicht länger zu unterlassen und werde mich bemühen, in Zukunft jedes neu entdeckte Planeten, nachdem er in der ersten Opposition beobachtet worden ist, im Berlin-Verzeichnisse mit einem Namen zu belegen, wenn der Entdecker selbst

es dahin von seinem Recht keinen Gebrauch gemacht haben wird. Was die noch nicht benannten Planeten (334) bis (342) anlangt, so werde ich annehmen, dass die Entdecker, wenn sie bis zum 1. Juli 1901 keinen Namen bekannt gemacht haben, auf die Beihilfe der Namensgebung verzichten, und auch diese Planeten mit Namen belegen. An dem genannten Datum hoffe ich die Vorschriften für eine gelehrte wissenschaftliche Sonntags der kleinen Planeten, im ersten Jahrbuch ihrer wissenschaftlichen Zeitschrift, zum Abschluss gebracht zu haben.

Ein interessanter Vorübergang des 1. Jupitermondes vor der Scheibe des Jupiter findet am 30. Juni statt. An diesem Tage geht für einen Beobachter auf dem Jupiter die Erde vor der Sonne vorüber und gleichzeitig kreuzt der 1. Jupitermond die Scheibe seines Planeten. Der Eintritt findet statt 15<sup>h</sup> 45<sup>m</sup>, der Austritt 12<sup>h</sup> 21<sup>m</sup>. Glückselig tritt nur auch der Schatten dieses Mondes auf die Jupiterzscheibe und verlässt sie im denselben Minute wie der Trabant selbst. Dieser Trabant bedeckt daher für den Anblick von der Erde aus seinen eigenen Schatten. Letzterer wird aber infolge des Halbschattens, der ihn umgibt, das kleine Scheibchen des Trabanten überlagern, sodass dieser nur von einem schwachen, dunklen Ringe umgeben erscheinen wird. Der ganze Vorgang, der sehr selten zu sehen ist, wird im obenverworde Copie des Beobachters sein.

Ein Verzeichnis von 8 Sternen mit veränderlichen Geschwindigkeiten in der Gesichtslinie zur Erde, ist von W. Campbell und H. Wright veröffentlicht worden. § Denselben sind mit dem Milchstraßen Spektroskopium als spektroskopische Doppelsterne erkannt worden und die 18 bis jetzt erkannten beaufzugen. Es sind folgende:

12 Persa ( $\alpha$  20° 38'  $\delta$  + 30° 40').

Der Doppelcharakter des Spektrums wurde im Januar 1904 erkannt. Auf drei Platten sind die Spektren beider Komponenten nebeneinander und nicht sehr weit voneinander, auf einer Platte haben beide Spektren zusammen. Die maximale Geschwindigkeit der einen Komponente ist — 42, der anderen — 54 km, die Geschwindigkeit des Systems etwa — 26 km in der Sekunde.

§ Urse majoris. Der Hauptstern dieses wohlbekannten Doppelsterns ist spektroskopisch doppelt, das System also dreifach. Die veränderliche Geschwindigkeit wurde im März 1900 entdeckt, sie schwankt im Maximum um — 21 6 km.

45 Loma ( $\gamma$  17° 13'  $\delta$  + 20° 48').

Die Geschwindigkeit schwankt zwischen + 23 und — 16 km.

8 Beta ( $\gamma$  14° 47'  $\delta$  + 25° 34').

Die Geschwindigkeit ist im Maximum zwei drei bisherigen Aufnahmen + 70, im Minimum + 3 km.

7 Scia ( $\alpha$  12° 42'  $\delta$  — 4° 51').

Die Geschwindigkeit variiert zwischen — 32 und — 11 km.

113 Hensula ( $\beta$  13° 50'  $\delta$  — 23° 12').

Die Geschwindigkeit schwankt von — 35 bis — 16 km.

2 Scia ( $\alpha$  12° 32'  $\delta$  — 9° 9').

Die Linien im Spektrum dieses Sterns sind ziemlich breit und deshalb schwer mit Genauigkeit zu messen. Die Geschwindigkeit schwankt zwischen — 50 und — 36 km.

§ Andromedae. Auf dem Spektrogramm scheinen zwei Komponenten vorüber, die Hauptkomponente hat Geschwindigkeiten zwischen + 2 und — 26 km.

§ Pegasi. Ein Doppelstern von der 2,4<sup>te</sup> Größe mit der kürzesten bekannten Umlaufzeit (31 Jahre), von Barnard 1888 entdeckt. Es ist nicht möglich die Spektren separat zu photographieren. Eine der beiden Komponenten, wahrscheinlich diejenige, deren Spektrum in der H $\gamma$ -Region stärker erscheint, ist wiederum doppelt, das Ganze also ein dreifaches System von hohem wissenschaftlichen Interesse. Die Geschwindigkeiten liegen zwischen + 26 und — 45 km und die Periode scheint etwa sechs Tage zu betragen. In dem Ansehen des Spektrums zeigen sich Änderungen, deren Quelle indessen noch dahin gestellt bleiben muss.

#### Glänzende Kometen-Erscheinungen.

W. Denning hat auf die interessante Thatsache aufmerksam gemacht, dass während des abgelaufenen 19. Jahrhunderts sehr glänzende Kometen in Zwischenräumen von je 100 Jahren auftreten sind. Hierin gehören die Kometen von 1823, 1843, 1862 und 1881. Wenn diese Periode sich fortsetzen sollte, so würde das Erscheinen eines hellen Kometen im gegenwärtigen Jahre zu erwarten sein.

#### Parasolare für Freunde der Himmelsbeobachtung.

Das dem Leuchtturm des -Stras- und mir mehrere grosser und kleiner, sehr gut erhaltenen Parasolen zum Verkauf angeboten werden. Freunde der Himmelsbeobachtung, welche die Anschaffung eines solchen Instrumentes beabsichtigen und sich dieselben zu nützen wollen, bin ich zu jeder gerätlichen Auskunft gern bereit. Dr. Klein.

## Astronomischer Kalender für den Monat Juni 1901.

Tag 1901	Sonne				Mond			
	Wahre Berliner Mittag				Mittlere Berliner Mittag			
	Zeitgl. N. Z. — W. Z.	Rechnungen	Definitives		Rechnungen	Definitives	Recht im Mittleren	
h m s	h m s	h m s	h m s	h m s	h m s	h m		
1	— 2 30 50	4 34 30 59	+21 55 29 4	11 59 32 36	— 15 37 39 4	11 59 4		
2	— 2 31 42	4 35 32 07	22 1 53 0	11 11 32 54	— 15 35 5 0	12 29 0		
3	— 2 32 27	4 36 32 50	22 8 52 0	11 24 30 0	— 15 32 10 0	12 58 0		
4	— 2 33 05	4 37 32 59	22 16 50 0	11 37 30 0	— 15 28 10 0	13 27 0		
5	— 2 33 37	4 38 32 56	22 25 48 0	11 50 30 0	— 15 24 10 0	13 56 0		
6	— 2 34 03	4 39 32 51	22 34 46 0	12 3 30 0	— 15 20 10 0	14 25 0		
7	— 2 34 24	4 40 32 34	22 43 44 0	12 16 30 0	— 15 16 10 0	14 54 0		
8	— 2 34 40	4 41 32 05	22 52 42 0	12 29 30 0	— 15 12 10 0	15 23 0		
9	— 2 34 51	4 42 31 24	23 01 40 0	12 42 30 0	— 15 8 10 0	15 52 0		
10	— 2 34 58	4 43 30 31	23 10 38 0	12 55 30 0	— 15 4 10 0	16 21 0		
11	— 2 35 01	4 44 29 26	23 19 36 0	1 8 30 0	— 15 0 10 0	16 50 0		
12	— 2 35 00	4 45 28 09	23 28 34 0	1 21 30 0	— 14 56 10 0	17 19 0		
13	— 2 34 55	4 46 26 50	23 37 32 0	1 34 30 0	— 14 52 10 0	17 48 0		
14	— 2 34 46	4 47 25 29	23 46 30 0	1 47 30 0	— 14 48 10 0	18 17 0		
15	— 2 34 33	4 48 23 26	23 55 28 0	2 0 30 0	— 14 44 10 0	18 46 0		
16	— 2 34 16	4 49 20 81	24 04 26 0	2 13 30 0	— 14 40 10 0	19 15 0		
17	— 2 33 55	4 50 16 54	24 13 24 0	2 26 30 0	— 14 36 10 0	19 44 0		
18	— 2 33 30	4 51 12 55	24 22 22 0	2 39 30 0	— 14 32 10 0	20 13 0		
19	— 2 32 51	4 52 7 53	24 31 20 0	2 52 30 0	— 14 28 10 0	20 42 0		
20	— 2 32 08	4 52 2 49	24 40 18 0	3 5 30 0	— 14 24 10 0	21 11 0		
21	— 2 31 21	4 51 57 50	24 49 16 0	3 18 30 0	— 14 20 10 0	21 40 0		
22	— 2 30 30	4 51 50 50	24 58 14 0	3 31 30 0	— 14 16 10 0	22 9 0		
23	— 2 29 35	4 51 41 50	25 07 12 0	3 44 30 0	— 14 12 10 0	22 38 0		
24	— 2 28 36	4 51 30 50	25 16 10 0	3 57 30 0	— 14 8 10 0	23 7 0		
25	— 2 27 33	4 51 17 50	25 25 8 0	4 10 30 0	— 14 4 10 0	23 36 0		
26	— 2 26 26	4 51 2 50	25 34 6 0	4 23 30 0	— 14 0 10 0	24 5 0		
27	— 2 25 15	4 50 46 50	25 43 4 0	4 36 30 0	— 13 56 10 0	24 34 0		
28	— 2 24 00	4 50 29 50	25 52 2 0	4 49 30 0	— 13 52 10 0	25 3 0		
29	— 2 22 41	4 49 51 50	26 01 0 0	5 2 30 0	— 13 48 10 0	25 52 0		
30	— 2 21 18	4 49 12 50	26 09 58 0	5 15 30 0	— 13 44 10 0	26 51 0		
31	— 2 19 51	4 48 33 50	26 18 56 0	5 28 30 0	— 13 40 10 0	27 50 0		

### Planetenstellungen 1901.

Tag	Planet	Position
1	29	Jupiter in Krebs in Widder, mit dem Monde. — Bedeckung
4	10	Jupiter in Krebs in Widder, mit dem Monde.
4	27	Saturn in Krebs in Widder, mit dem Monde.
5	33	Uranus in Oppositum mit der Sonne.
5	3	Venus in Mond, in Widder mit Jupiter. Venus 12° abwärts
10	2	Merkur in Krebs in Widder 24° 31'.
17	8	Venus in Krebs in Widder, mit dem Monde.
18	8	Merkur in Krebs in Widder, mit dem Monde.
20	14	Jupiter in Krebs in Widder, mit dem Monde.
20	26	Merkur in Widder in Widder, mit dem Monde.
24	20	Sonne im Zeichen der Krebs. Sonnentag.
25	23	Mars in Krebs in Widder, mit dem Monde.
25	4	Venus in Krebs, in Krebs, mit dem Monde. — Bedeckung
25	14	Venus in Krebs.
29	11	Jupiter in Krebs, in Krebs, mit dem Monde. Bedeckung.
30	8	Jupiter in Oppositum mit der Sonne.
30	30	Merkur in Krebs.

**Planeten-Ephemériden.**

Mittlere Berliner Zeit					Mittlere Berliner Zeit								
Mittl. Zeit Jahr	Rektascension			Declination		Osterr. Meridian- distanz	Mittl. Zeit Jahr	Rektascension			Declination		Osterr. Meridian- distanz
	h	m	s	°	'			h	m	s	°	'	
<b>Mars.</b>													
Jan. 1	6	54	50.91	-20	26	29.0	Jan. 28	4	27	56	-23	1	59.7
15	6	53	50.95	-20	26	1.1	10	4	27	55	-23	12	59.5
31	7	52	50.93	-20	25	59.8	26	4	28	55	-23	17	59.3
10	7	57	50.91	-20	25	11.1	10	4	29	55	-23	17	59.3
25	7	57	50.94	-20	25	41.3	26	4	29	55	-23	17	59.3
31	7	55	7.95	-20	25	42.8	10	4	29	55	-23	17	59.3
<b>Venus.</b>													
Jan. 1	6	54	50.76	-20	40	41.07	Jan. 28	5	50	50	-21	50	40.0
15	6	53	50.97	-20	40	50.54	10	5	50	50	-21	50	40.0
31	6	50	50.94	-20	40	59.9	26	5	50	50	-21	50	40.0
10	6	52	50.95	-20	41	23.7	10	5	50	50	-21	50	40.0
25	7	50	50.94	-20	40	33.4	26	5	50	50	-21	50	40.0
31	7	50	50.92	-20	40	43.0	10	5	50	50	-21	50	40.0
<b>Jupiter.</b>													
Jan. 1	17	55	48	16	48	49	Jan. 28	18	55	48	16	48	49
15	18	55	48	17	48	49.5	10	18	55	48	16	48	49
31	18	54	48	18	48	44.2	26	18	55	48	16	48	49
10	18	54	48	18	48	39.0	10	18	55	48	16	48	49
25	18	54	48	18	48	33.7	26	18	55	48	16	48	49
31	18	53	48	18	48	28.4	10	18	55	48	16	48	49
<b>Saturn.</b>													
Jan. 1	16	44	51	36	55	54	Jan. 28	16	44	51	36	55	54
15	16	44	51	36	55	54	10	16	44	51	36	55	54
31	16	44	51	36	55	54	26	16	44	51	36	55	54

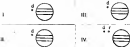
**Stärkederckungen durch den Mond für Berlin 1900**

Abendung	Orten	Ordnung	Mittels mittlere Zeit		Mittels mittlere Zeit	
			h	m	h	m
Jan. 1	1 <sup>o</sup> Sagittarij	1 <sup>o</sup>	21	55.5	18	59.0
1	2 <sup>o</sup> Scorpij	2 <sup>o</sup>	22	55.7	19	59.1
1	3 <sup>o</sup> "	3 <sup>o</sup>	23	55.6	19	59.4

**Lage und Größe des Saturnringes (nach Bond)**

Jan. 28	Oberer Achen der Ringfläche	12.07°	Wärter Achen	17.56°
	Erläuterungswinkel der Erde über der Ringfläche 44° 30' südlich			
Jan. 4.	Mittlere Scheibe der Ringfläche	18° 57'	1.66°	
	Saturnbreite	18° 50'	1.42°	
	Wölbungswinkel der Saturn	18° 48' 20"		
	Parallaxe		4.75"	

### Stellungen der Jupitermonde im Juni 1901.



Stellungen am 22<sup>o</sup> für den Anblick im astronomischen Fernrohr.

Tag	West	Ost
1	A	O A B C
2	O A	A - C O
3		C O B A
4		B O C A
5		A O C B
6		B C O
7		O C B A
8		O C B A
9		C O B A
10		O C B A
11		C O B A
12		O C B A
13		C O B A
14		O C B A
15		C O B A
16		O C B A
17		C O B A
18		O C B A
19		C O B A
20		O C B A
21		C O B A
22		O C B A
23		C O B A
24		O C B A
25		C O B A
26		O C B A
27		C O B A
28		O C B A
29		C O B A
30		O C B A



**Ercheinungen der Jupitermonde.** Die folgenden Angaben über die Erscheinungen der Jupitermonde beziehen sich auf mittlere Zeit von Lintzenich. Die Tabellen sind der Reihenfolge ihres Abstandes vom Jupiter nach mit I bis IV beschriftet. Auf den größeren Figuren zeigen die Stellung jeder Sphäre mit Bezug auf den Jupiter. In dem Augenblicke der Verhinderung III oder des Wiedererscheinens IV ist I nicht sichtbar, so kann der Abstand zum Saturn nicht beobachtet werden. Ferner bedient bei den nachfolgenden Zeitangaben

- Ec D des Verhinderens des Trabanten im Schatten des Jupiter
- Ec H des Austritts des Trabanten aus dem Schatten des Jupiter
- Co D des Verhinderens der Trabanten hinter der Jupiteroberfläche
- Co E des Wiedererscheinens sichtlich neben der Jupiteroberfläche
- Tr I den Eintritt des Trabanten vor die Jupiteroberfläche
- Tr D den Austritt des Trabanten aus der Jupiteroberfläche
- Sh I den Eintritt des Trabanten in Schatten auf die Jupiteroberfläche
- Sh E den Austritt des Trabanten aus Schatten aus der Jupiteroberfläche

Es sind nur diejenigen Erscheinungen der Jupitermonde aufgeführt, welche sich ereignen, wenn Jupiter im Conjunction über und der Sonne unter dem Horizont steht. Um die Momente dieser Erscheinungen nach astronomischer Zeit zu finden, hat man nur nötig: 1<sup>o</sup> in den angegebenen Zeitpunkten zu zählen

Juni 1. III Co. R. 12 <sup>h</sup> 50 <sup>m</sup> .	Juni 2. II Tr. I. 12 <sup>h</sup> 12 <sup>m</sup> .	III. Sh. E. 12 <sup>h</sup> 41 <sup>m</sup> .
II. Tr. E. 12 <sup>h</sup> 22 <sup>m</sup> .	Juni 3. IV Co. D. 12 <sup>h</sup> 20 <sup>m</sup> .	IV Co. R. 12 <sup>h</sup> 14 <sup>m</sup> .
Juni 4. I Sh. I. 12 <sup>h</sup> 55 <sup>m</sup> .	I. Ec. D. 12 <sup>h</sup> 27 <sup>m</sup> 12 <sup>s</sup> .	I. Co. R. 12 <sup>h</sup> 30 <sup>m</sup> .
Juni 5. I. Sh. I. 12 <sup>h</sup> 44 <sup>m</sup> .	I. Tr. I. 12 <sup>h</sup> 30 <sup>m</sup> .	I. Sh. E. 12 <sup>h</sup> 21 <sup>m</sup> .
I. Tr. E. 12 <sup>h</sup> 21 <sup>m</sup> .	Juni 6. I. Co. R. 12 <sup>h</sup> 14 <sup>m</sup> .	II. Co. R. 12 <sup>h</sup> 27 <sup>m</sup> .
II. Co. R. 12 <sup>h</sup> 27 <sup>m</sup> .	Juni 7. II. Sh. I. 12 <sup>h</sup> 17 <sup>m</sup> .	III. Co. R. 12 <sup>h</sup> 17 <sup>m</sup> .
III. Co. R. 12 <sup>h</sup> 17 <sup>m</sup> .	IV. Sh. I. 12 <sup>h</sup> 20 <sup>m</sup> .	Juni 8. I. Ec. D. 12 <sup>h</sup> 41 <sup>m</sup> 32 <sup>s</sup> .
Juni 9. I. Sh. E. 12 <sup>h</sup> 42 <sup>m</sup> .	I. Tr. I. 12 <sup>h</sup> 32 <sup>m</sup> .	I. Sh. E. 12 <sup>h</sup> 33 <sup>m</sup> .
I. Tr. E. 12 <sup>h</sup> 24 <sup>m</sup> .	Juni 10. I. Co. R. 12 <sup>h</sup> 27 <sup>m</sup> .	III. Co. R. 12 <sup>h</sup> 27 <sup>m</sup> 37 <sup>s</sup> .
III. Co. R. 12 <sup>h</sup> 27 <sup>m</sup> 37 <sup>s</sup> .	Juni 11. II. Sh. I. 12 <sup>h</sup> 24 <sup>m</sup> .	IV. Sh. I. 12 <sup>h</sup> 27 <sup>m</sup> .
IV. Sh. I. 12 <sup>h</sup> 27 <sup>m</sup> .	Juni 12. I. Ec. D. 12 <sup>h</sup> 55 <sup>m</sup> 44 <sup>s</sup> .	II. Co. R. 12 <sup>h</sup> 30 <sup>m</sup> .
II. Co. R. 12 <sup>h</sup> 30 <sup>m</sup> .	Juni 13. I. Sh. I. 12 <sup>h</sup> 15 <sup>m</sup> .	I. Co. R. 12 <sup>h</sup> 30 <sup>m</sup> .
I. Co. R. 12 <sup>h</sup> 30 <sup>m</sup> .	Juni 14. I. Ec. D. 12 <sup>h</sup> 28 <sup>m</sup> 20 <sup>s</sup> .	I. Co. R. 12 <sup>h</sup> 30 <sup>m</sup> .
I. Co. R. 12 <sup>h</sup> 30 <sup>m</sup> .	Juni 15. I. Tr. E. 12 <sup>h</sup> 22 <sup>m</sup> .	III. Tr. E. 12 <sup>h</sup> 22 <sup>m</sup> .
III. Tr. E. 12 <sup>h</sup> 22 <sup>m</sup> .	Juni 16. II. Tr. E. 12 <sup>h</sup> 15 <sup>m</sup> .	IV. Sh. I. 12 <sup>h</sup> 30 <sup>m</sup> .
IV. Sh. I. 12 <sup>h</sup> 30 <sup>m</sup> .	Juni 17. IV. Tr. I. 12 <sup>h</sup> 27 <sup>m</sup> .	IV. Tr. I. 12 <sup>h</sup> 27 <sup>m</sup> .
IV. Tr. I. 12 <sup>h</sup> 27 <sup>m</sup> .	Juni 18. I. Co. R. 12 <sup>h</sup> 27 <sup>m</sup> .	I. Co. R. 12 <sup>h</sup> 27 <sup>m</sup> .
I. Co. R. 12 <sup>h</sup> 27 <sup>m</sup> .	Juni 19. I. Tr. I. 12 <sup>h</sup> 24 <sup>m</sup> .	II. Sh. I. 12 <sup>h</sup> 27 <sup>m</sup> .
II. Sh. I. 12 <sup>h</sup> 27 <sup>m</sup> .	I. Sh. E. 12 <sup>h</sup> 21 <sup>m</sup> .	

### Stellungen der Saturnmonde. (Erdbeugung S. 24.)

Zeit der Beobachtung (Longitude) im Juni 1868.

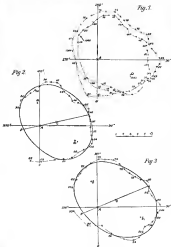
**Tethys.** Juni 1. 12<sup>h</sup>, Juni 2. 11<sup>h</sup>, Juni 3. 10<sup>h</sup>, Juni 4. 10<sup>h</sup>, Juni 5. 10<sup>h</sup>, Juni 6. 10<sup>h</sup>, Juni 7. 10<sup>h</sup>, Juni 8. 10<sup>h</sup>, Juni 9. 10<sup>h</sup>, Juni 10. 10<sup>h</sup>, Juni 11. 10<sup>h</sup>, Juni 12. 10<sup>h</sup>, Juni 13. 10<sup>h</sup>, Juni 14. 10<sup>h</sup>, Juni 15. 10<sup>h</sup>, Juni 16. 10<sup>h</sup>, Juni 17. 10<sup>h</sup>, Juni 18. 10<sup>h</sup>.

**Dione.** Juni 1. 12<sup>h</sup>, Juni 2. 12<sup>h</sup>, Juni 3. 12<sup>h</sup>, Juni 4. 12<sup>h</sup>, Juni 5. 12<sup>h</sup>, Juni 6. 12<sup>h</sup>, Juni 7. 12<sup>h</sup>, Juni 8. 12<sup>h</sup>, Juni 9. 12<sup>h</sup>, Juni 10. 12<sup>h</sup>, Juni 11. 12<sup>h</sup>, Juni 12. 12<sup>h</sup>, Juni 13. 12<sup>h</sup>, Juni 14. 12<sup>h</sup>, Juni 15. 12<sup>h</sup>, Juni 16. 12<sup>h</sup>, Juni 17. 12<sup>h</sup>, Juni 18. 12<sup>h</sup>.

**Rhea.** Juni 1. 12<sup>h</sup>, Juni 2. 12<sup>h</sup>, Juni 3. 12<sup>h</sup>, Juni 4. 12<sup>h</sup>, Juni 5. 12<sup>h</sup>, Juni 6. 12<sup>h</sup>, Juni 7. 12<sup>h</sup>, Juni 8. 12<sup>h</sup>, Juni 9. 12<sup>h</sup>, Juni 10. 12<sup>h</sup>, Juni 11. 12<sup>h</sup>, Juni 12. 12<sup>h</sup>, Juni 13. 12<sup>h</sup>, Juni 14. 12<sup>h</sup>, Juni 15. 12<sup>h</sup>, Juni 16. 12<sup>h</sup>, Juni 17. 12<sup>h</sup>, Juni 18. 12<sup>h</sup>.

**Titan.** Juni 1. 12<sup>h</sup> E., Juni 2. 12<sup>h</sup> W., Juni 3. 12<sup>h</sup> E., Juni 4. 12<sup>h</sup> E., Juni 5. 12<sup>h</sup> E., Juni 6. 12<sup>h</sup> W., Juni 7. 12<sup>h</sup> W., Juni 8. 12<sup>h</sup> W., Juni 9. 12<sup>h</sup> E.

**Iapetus.** Juni 1. 12<sup>h</sup> E., Juni 2. 12<sup>h</sup> E.



# SIRIUS.

Zeitschrift für populäre Astronomie.

Centralorgan für alle Freunde und Förderer der Wissenschaften

Herabgegeben

unter Mitwirkung hervorragender Fachmänner und wissenschaftlicher Schriftsteller  
von Dr. Hermann J. Klotz in Köln i. Rh.

Mal 1901.

„Wissen und Erleben“ und die Freunde und die  
Ermittlung der Beobachtungs- Krause.

Jeden Monat 1 Heft. — Jährlich 12 Mk.

Verlag von EDUARD HEINRICH MAYER in Leipzig.

**INHALT:** Jährliche periodische Veränderungen auf Mars. Von Alfred Arndt. S. 71. — Neues vom Planeten Eros. 1901. Abtheilung von Frey. S. 102. — Merkurbilige Erdbeobachtungen am Planeten (200). Tardieu. S. 106. — Das Jenseits im Fernen. III. (Fiktion Teil VIII und IX.) S. 108. — Herannahende Meteoriten. S. 115. — Astronomischer Kalender. S. 117. — Stellung der Jahreszeiten im Juli 1901. S. 120. — Erscheinungen der Jupitermonde. S. 120. — Stellung der Saturnmonde. S. 120.

## Jährliche periodische Veränderungen auf Mars.

Von Alfred Arndt.

**E**benfalls gehen sich auf der Marsoberfläche dunkle grüne und braune Flecke, die man meist für Wasser hält, dunkle Linien, die Kanäle, und weiße Stellen, die für Schneereste gelten. An allen diesen hat man beobachtet, dass sie sich verändern. Die Veränderung der Polarstellen, ihre Art, Ursache und Periode ist bereits mit Henschel bekannt. Dagegen stellte die Veränderungen an Flecken und Linien erst Schiaparelli sicher, und er und der Marsbeobachter Lowell waren es auch, die die Vermutung aussprachen, dass Veränderungen eintreten mit den Jahreszeiten in Zusammenhang. Eine Entscheidung dieser Frage hoffte Schiaparelli mit neu entdeckten Beobachtungen der Zykli, auch erklärte er, dass erst nach

dieser Entscheidung an eine Deutung der Erscheinungen auf Mars gedacht werden könnte.

Auch dem Schreiber dieser Zeilen ist während eines fünfjährigen Studiums aller Merkurien und Marsbeobachtungen die Vermutung gekommen, dass die Veränderungen auf Mars mit unsern Jahreszeiten in Zusammenhang stünden, und dass derselbe Antheil der Marsoberfläche nach einem Marsjahr wiederkehre. Vor allem wurde er gewahr, dass diese Veränderungen, besonders die im Polarkreis und Flüssen, einen viel größeren Umfang und größern Heftigkeit hätten, als man zuvor geglaubt. Er fand durch Vergleichung verschiedener Marszeichnungen und Karten, dass Mars sich in seinem Aussehen öfter verändere, als

er gar nicht wiederzuerkennen und eine Flocke ohne Zählstrahlen der Rechnung kann es identifizieren oder Beweis dafür ist u. a., dass Beer und Müller, genau die grünen Markieren Peter Zok, sich für zufällig erklärten, die Winternachtungen zu Mars während seiner Oppositionen 1830 und 1839, um diese Zeit die nördliche Marsoberfläche der Sommerseite habe, mit denen von 1830, als Mars im Winterstand der nördlichen Halbkugel stand, zu identifizieren; und zwar so wenig, dass ein infolge ungenauer Kenntnis der Realhöhenkurve des Marsgebirges 1837 gleichfalls habe geographische Lagen geben. Hierbei ist zu bemerken, dass sowohl die glänzige Opposition als auch dieselbe Jahreszeit während der Opposition alle 15 Jahre wiederkehrt, und zwar so, dass die nördliche Hemisphäre des Mars die im Jahre 1830 der Winterseite hatte, nach 7—9 Jahren, 1837 und 1839, der Sommerseite, nach 15 Jahren aber, 1845, wieder für Winterseite zur Zeit der Opposition habe. Da nun um die Zeit jeder glänzigen Opposition, während der je der Mars am besten beobachtet wird, die Marsoberfläche dieselbe Jahreszeit hat, so kann es nicht weiter befremden, wenn man die periodischen Veränderungen früher nicht mit Genauigkeit erkannt hat.

Mit dem korbähnlichen Stadium wankt es dem Beobachter mehr und mehr weiter, dass die Gebilde der Oberfläche unseres Nachbarplaneten in der That periodische Veränderungen nach dem Jahresverlauf läßt, und als die dreijährige Marsopposition Gelegenheit bot, die nördliche Beobachtungen am Perseide auszuwickeln, wurde durch diese die Aufmerksamkeit zur Gewissheit haben. Nach dem in die Beobachtungen unterliegt es keinem Zweifel, dass die Marsoberfläche grosse periodische, mit den Jahreszeiten zusammenhängende Veränderungen in Färbung, Lichtintensität und Umgranzung ihrer Oberflächen-

gebilde aufweist, und dass sie nach einem Marsjahr wieder dasselbe Aussehen zeigt, nachdem sie dasselbe fortwährend während dieser jährlichen Periode geändert. Denn Mars, der während dieser Opposition zwei Monate vor der Sommerseite der nördlichen Halbkugel stand, zeigt dasselbe Aussehen, das er nach Beer und Müller zwei Monate vor dem Sommerstande 1837 und 1839 hatte, wobei zu bemerken, dass diese Beobachter damals in diesem Aussehen nicht die geringste Ähnlichkeit mit dem von 1830 herauszufinden konnten.

Bewegend war ferner, dass die Lohmeyer'sche Karte von 1871/73, als die Neolithographen eben der Winterseite gezeichnet, völlig verschieden ist von der Lohmeyer'schen Karte von 1863/64, als die Neolithographen die ihrem Sommerstande stand, dagegen auf das genaueste übereinstimmt mit der Kaiserlichen Karte von 1862/64, den Müller'schen Zeichnungen von 1830, den Zeichnungen von Deere, Lockyer und Schmidt 1848/49, als die nördliche Halbkugel ebenfalls eben der Winterseite stand, während die Grisebach'sche Marskarte 1848/49. Als dieses entschieden war, verglich ich es mit entsprechenden Zeichnungen und Karten von Kowale 1864 und Lohmeyer 1863/64 und Lovell 1870 (Quadranten neben Aufzeichnungen von Müller 1830), und alles stimmte vollkommen überein.

Man glaubt nicht eher, dass die Färbung der Marsgebirge auf der Planetenoberfläche zu Centrum und Rand hinüber auf das Aussehen derselben haben. Diesem wird so ist, beweisen die heftigen Marsbeobachtungen anderer Beobachter, auf denen alle Gebilde am Rande haben dieselbe Dunkelheit und Dunkelheit haben wie die in der Mitte. Ich selbst konnte mich allerdings abgesehen von dieser Thatsache überzeugen, so oft ein dunkles Gebilde am Meridiane auftrah, habe es selbst die volle Dunkelheit.

Nach Siedentemperatur dieser Thierchen konnte ein also daran gehen, ein Bild von diesen Verhältnissen, die besonders auf die Wirkung des Wassers zurückzuführen sind, zu gewinnen. Obwohl die bestmögliche Arbeit noch nicht abgeschlossen sind, ist es mir doch sehr wohl möglich, eine Darstellung dieser Erscheinungen mit aller Bestimmtheit zu geben. Man wird zugleich dieses verstehen, welche Leistungen ich den Beobachtungsmitteln schon im allgemeinen gebe. Die Anbahnung von Kisten in Kisten zeigt an, dass die im Ganzen der betreffenden Teile der Darstellung gewonnen sind.

Der Leser nehme sich im weiteren folgen zu können, eine Schöpfersche Markete zur Hand.

1. Man stelle sich den Mann während des Winterjahres der Nordhalbkugel, also des Sommerjahres der Südhalbkugel vor. Die Schneefälle im Süden ist der Sonne gegenüber schiefel an den Klängen, in denen sich Furchen und kandelartige Schneefurten bilden, die Nordpolarhalbkugel der Sonne abgibt und wieder langsam. Gleichmäßig der Luft-Sonnenwärme 1852 von Schäfers, Huxley und Bernard). Das Schneefurten bildet in ungenügender Menge dem Äquator zu, in langen, breiten Wasserströmen, die mit den Strömungen der Erde einige Ähnlichkeit haben, die es durch wasserbedeckte Gebiete des nördlichen Äquatorischen Meeres zu, also Land zwischen dem 70 und 35 nördlichen Breitengrad eines Hells überströmen. 2) Dem breite Wasserströmen bilden die Schneefurten, die sich zwischen dem 30 und 30. Längengrad bildet, an dem die Insel Hells umschlossenen Dämmen wobei nach dem Meer Sublimat (Plytho mair), wie sowohl die erwähnten Zeichnungen von Schäfers als auch die Halls'sche Karte nach 1838 zeigen. 3) Von der anderen Seite führt eine andere Wasserströme die südlich der Insel Thyle (ungenügende Schneefur-

wasser des beiden Syden zu. 3) Das unter dem 100 bis 150 Längengrad genügend kleiner Schneefurten dringt gegen die durch Dämme oder Ähnliches geschützten Kontinentalküsten Mexicos, Zephyra und Amara zu, nachdem an die ihnen vorgelagerten Inseln Thyle I und II und dem Phantoms, Dämmen und Felsen überführt ist. 4) Ander Wasserströmen, unter brei, aber zahlreicher, durchgehender das Wassergebiet um die Regionen Ägypten, Oxypt und Pyrrhae Region.

Größe Wasserströmen streut sich in den Meeren südlich vom Äquator an (Ehr und Müller 1838, Kaiser 1843). Seine Sublimat ist sehr schwach, Syden regne verbreitert und heißer, Halls Comoros und Siam mit dem nördlichen Meeres in ihrer Verbindung, die Hesperia und Adonta hat ganz verschwand, Lerne Sells ist zu stark angeschwollen, dass er die Hälfte von Thymus bedeckt, seine Form ist gut eine Halls'sche (Schäfers 1842, Kaiser 1843). Jetzt entstehen die Kanäle teilweise das Wasser ist zwischen der Dämmen gebildet und fällt im südlich zu, sodass die südlichen Meeres (Schäfers 1877). In ihren Seiten sind die Wasserströmen nach dem Komplexen der nördlichen Halbkugel und werden dort vermehrt aus den Dämmen auf gewisse größere Flächen geteilt, denn diese entstehen jetzt überströmen (Schäfers 1842, Schäfers 1877, Müller 1832), solche Wasserströmen liegen hauptsächlich zwischen 150° und 200° L. (Ostsee Phantoms), bei 0° bis 30° nördl Br. Man hat sich die Wasser in den Meeren der Südhalbkugel gleichmäßig verteilt, die Inseln treten wieder wieder hervor, wiesagenen Hells und die Gebiete um den Meer Sublimat sich mit kandelartigen Farbe bedeckt, deren Ursache vermehrt eine schwache Überführung ist (Ehr und Müller 1838, Schäfers 1877).

II. Der Südpolarströmung ist verschwand und bildet sich wieder neu;

hingegen hebt sich von die Schwertschleife der Nordhemisphäre der Sonne zu und beginnt in der nächsten Zeit zu sinken (Kaiser 1884). Infolgedessen überflutet sich die jetzt ebenfalls an Wasser reichen Kontinentalränder der Nordhalbkugel von 50 bis zum 75. Grad nördl. Br. (Kaiser 1884, Brenner 1894). Man findet auch die Kanäle um den Ägäus und auf der Nordhemisphäre stark und in grosser Zahl hervor (Lowell 1894) und schenkt befeuchtende Übersüssen an (Schjaparell 1879). Die Meere der Südhalbkugel hingegen, die zunächst noch recht dunkel sind (Brenner 1894), bläuen sich und man sieht deutlich (Brenner 1898), wie sich die Wassermassen an den Küstengebirgen breiten Kanäle, in den Sinus (Margottner, Azores, Arica, Syrtis minor und major, Sinus Sabdus) zusammenschleppen, sodass die Sinus dunkel sind und sich gegen die südlichen Meere abflüssen, und wie so dann in den Kanälen verschwinden. Wenig hat mich so von der Richtigkeit dieser Behauptungen überzeugt wie diese Wahrnehmungen, die mit ihnen so schön in Einklang zu bringen sind. Die abströmenden Wassermengen treffen mit den am Nordpol sich ansammelnden zusammen, und es bilden sich neue Meere: das Mare Arcticum, das Mare Boreale; der Nördliche Ocean wird gross und breit, der Kanal Cassinianus mächtig, die Propontis erweitert sich, nördlich von Elysiun wird die Gebiete durchströmt (Schjaparell 1881, Brenner 1898). Während sich um den Nordpol, der jetzt von Frühlingsgewittern heimgesucht hat, immer mehr Schmelzwasser sammelt, bläuen die Meere der Südhalbkugel während ihres Herbstes aufblühend ab: Sinus Solis wird mächtiger, das Mare Solisum behält eine gewisse Dunkelheit (Müller 1838/39). Alle Kanäle der Südhalbkugel werden kleiner die Meeresverschattung fast ganz. Mare Boreum und Mare Cassinianum erwehren sich nur als kleine Kanäle (Ceselli 1898/99), nur einige Kanäle zeigen sich in den

Kontinentalrändern und Meere fließen nach auf. Jetzt verliert die Küste der Marsoberfläche ihr typisches Aussehen. Man erscheint als kalte Scheibe, die von zahlreichen grossen Linsen durchzogen ist. Ihre Krümmungspunkte sind zu sehr kleinen Seen verengt. Auch die Meeressichten, die jetzt nur noch stellenweise von reinem Wasser bedeckt sind (Lowell und Douglas, Quindar 1891/95, Ceselli 1898/99) sind von zahlreichen Kanälen durchzogen; diese Seen und Kanäle sind aber fast die einzigen Reste der zuvor so ausgedehnten Meeressichten. Man willt an diesem, dass Mars jetzt nach dem Frühlingsgewittern der Nordhalbe überflutet den grössten Wassermangel hat.

III Indessen schon beginnt die Schneedecke am Nordpol, die mehr und mehr der Sonne zugewandt wird, ihr Schmelzwasser gegenwärts zu schieben (Kaiser 1881). An drei Stellen entsteht, wie Mars Archäon, am Cassinian und bei der Propontis neue wasserbedeckte Regionen in den Kontinenten; von diesen fällt die erste das Mare Arcticum, das mit dem Meere ein bildet, beherrscht (Lohse 1881/84, Schjaparell 1884, Flammarion 1900), sendet die andere einen Arm nach dem Ganget und einen im Bogen um Arctada, umschweift die dritte Elysiun, indem die Landschaften Tempe, Arctada und Elysiun gleichsam freigeht sind. Während die Südhalbkugel fast ganz wasserlos ist — undau z. B. Latus Solis aus zwei kleinen Flecken besteht, deren jeder nur ein Zehntel des Flächenraumes bedeckt, die Latus Solis nur Zeh des Sonnenhöfchen der Südhalbkugel hat — liegt fast alle Regionen der Nordhalbkugel zwischen 72° und 43° n. Br. unter Wasser gesetzt. Die Gegenden nördlich von Protomachus werden überflutet (Bey und Müller 1837), grosse Flussgletscherungen stiegen sich durch die Nilcyria, und das Mare Solisum beginnt sich wieder zu bilden (Jussia 1890/91, Lohse 1884).

Laos Meeres ist sehr groß. Die Gegend von Thee bis zur Landbesiedelung Eborum ist überaus warm. Durch die zu erhebenden Wassermengen werden große Kippen an Äquator unter Wasser gesetzt, vornehmlich Ceylon und Tartar. Die großen geschwammten Berden (Mäder 1837/39, Kowowsky 1832) liegt zwischen 168° und 248° Dr. auf dem nördlichen Kontinent. Die Oberfläche der Plazent ist mit zahllosen kleinen Fischen bedeckt (Mäder 1837/39, der Verfasser 1861). Berücksichtigen sich die Meeressichten der Südhalbe unter dem Einfluss der von der Nordhalbkugel zurückkommenden Felsigkeitsmassen darüber zu fischen, der Antora Simas, zwei Fische im Meer Erythraen, das Meer Coromandel und ein dazwiler Fische zwischen 128° und 158° L. und 0° bis 30° süd. Dr. sind jetzt die dunkelsten, also kaltesten Wasserflächen (s. Völz 1864), während das Meer Arabien bereits blauer ist. Das in der Nähe des Äquators dem Äquator hin zurückkommenden Wassermengen bilden die Geyser von Straßes und Kankien (Lohar 1871).

IV. Alle Kanäle des Kontinents sind jetzt fertig, und die Meere der Südhalbkugel erweitern sich und werden tiefer (Perron und Theiles 1848, Croca 1873). Sie nähern sich mehr und mehr dem Aussehen, das sie zu Beginn der Periode zeigten (Schupareff 1888). Die Meere der Südhalbkugel verschwinden zum Teil unter den aufsteigenden Felsen, und besonders nördlich von Arca trägt sich M. Erythraen dunkel und isoliert. Besonders zahlreich treten Verrückungen auf; um die Niedrigzeit werden viele neue Kanäle geschaffen. Der Südpazifik, der schon seit einiger Zeit der Sonne zugedeckt ist und abgedrückt, sendet von Wasser gleichfalls in die Südmeere, und jetzt nach dem Herbstgleichstand der Nordhalbkugel haben wir ein Maximum des Wasserstands auf Mars. Nun ist das Sommerhoch der Südhalbkugel wieder da (Schibole 1892), und die Ver-

änderungen und Strömungen beginnen mit dem neuen Marsale von neuem.

Diese Darstellung beweis nicht nur, dass auf Mars jährlich wiederkehrende Veränderungen in Felsen und Pflanzen vor sich gehen, sondern auch, dass das Aussehen der gesamten Marsoberfläche unter dem Einfluss zweier korrespondierender Wasserströmungen von einem Pole zum andern steht. Ob es nun gerade unter Wasser ist, das da steht, hat sich jetzt auch nicht entscheiden und ist auch hierbei ungewisslich. Als sicher aber wurde hierbei angesehen, dass die Marsoberfläche völlig erodiert und abgen ist, und dass auch nicht die geringsten Erhebungen auf Mars zu finden sind. Denn das liegt nicht allein im den neuen Beobachtungen, sondern gilt bereits früher als sehr wahrscheinlich. Dagegen muss demnach der Verfasser die Ansicht vorsetzen, dass es auf Mars Flüsse, Sümpfe und Seen gibt, nur wenn geringere Verhältnisse, wenn irgendwelche Erhebungen gibt. Leicht aber lässt sich nachweisen, dass die Kanaldoppelungen keine atmosphärisch-optischen Erscheinungen sind, wie St. Maximus darlegen wollte, oder gar die Kanäle optische Täuschungen, wie es Comill wollte. Kanäle sind — das kann als sicher gelten — von Dämmen ei eingeschlossene langgestreckte, schauergende Wasserflächen, und Verdoppelungen entstehen durch die Hand von Marsbewohnern, die eines neuen Kanals durch den Fluss öffnen, wenn der alte nicht mehr die ausreichende Wassermenge führt, was nach obiger Darstellung leicht zu verstehen ist. Kanaldoppelungen und Kanäle unterscheiden sich in nichts der Natur nach, beides sind Wasserströme. Nur durch Dämme lassen sich mannigfache Erscheinungen erklären, nur durch Dämme können beispielsweise Zeyhera, Amazona und Memores, die durch viel geringere Wassermengen zwischen Götterstrom sind worden, vor den viel gewaltigen

Schneefleckenmassen geschädigt werden, auf Abfuhren werden auch die Stüchen, schwache, helle Quantitäten in den Lagen und den Kanälen, von Lewell beobachtet, die diese zu vertikalen oder schrägen Röhren scheitern, wenn sie bereits genug Wasser getaut haben. Alles ist allem gemeinsam, kann es alle erweisen gelten, dass Marsbewohner die von den Naturkräften verursachten Störungen und Veränderungen in dem Meere und Kanälen durch eigene Mittel und Kraft, besonders durch den Dammbau regulieren, und das Gemisch sowohl Kanäle wie Verdüpfungen, in noch die Meere als Produkte der Natur sind der Marsbewohner existieren sind.

So wäre die Möglichkeit einer Lösung um ein gutes Stück näher gebracht, und es ist zu hoffen, dass weitere Arbeiten in nächster Zeit größerer Klarheit über diese Punkte verhelfen werden.

Im Jahre 1861 beobachtete Galle auf Zeichnungen von Mars verschiedene geometrische Kanäle des Mars in Nordwestquadranten, von W. Hartmann (Monat 1860)

Zeichnungen der Marskanäle von H. Schiaparelli (J. 1877)

Karte des Mars von Schiaparelli (J. 1877)

Karte des Mars von Perrotti (J. 1881)

Mars 1877—78 gezeichnet auf der Sternkarte, Böhm (J. 1878)

Mars 1880 gezeichnet von Schiaparelli (J. 1880)

Mars 1881 gezeichnet von Koller (J. 1881)

Zeichnungen des Mars von Prof. Lamell (J. 1881)

Lewell's neue Karte des Mars (J. 1874)

Mars 1888 gezeichnet von Hagen (J. 1887)

Mars 1888 gezeichnet von Schiaparelli (J. 1887)

Die südlichen Regionen des Mars 1888 gezeichnet von Schiaparelli (J. 1888)

Mars 1891 auf 47 gezeichnet von N. Cerulli (J. 1891)

Mars 1891—92 gezeichnet von E. Seibert (J. 1892)

Mars 1891—1892 gezeichnet in Jersey (J. 1892)

Die südliche Hemisphäre des Mars 1891 von Prof. Schiaparelli (J. 1892)

E. Cerulli neue Karte des Mars (J. 1892)

## Neues vom Planeten Eros.

(Mit Abbildung im Text.)

In der Niederfahrt, Gesell für Namen und Merkmale zu Eros (Abbildung vom 4. März 1890) sprach Prof. Dr. Reichert über seine erste Bestimmung der Rotationszeit des Planeten Eros. Dem Sitzungsberichte entnehmen wir folgendes:

„Soll es durch die Anwendung der photographischen Trockenplatten gelingen war, auch durch Messung für die chemisch wirkenden Strahlen schmerzhaften Objektivs schwarze Lichtstrahlen von Himmelskörpern durch lange Expositionzeit zu sammeln und von leicht sichtbar zu machen, war zu erwarten, dass auf diesem Wege die Entdeckung neuer kleiner Planeten, die während der letzten Expedition ihren Ort auf der Platte verloren und daher als hundertfache Bilder, Striche, von der Fixsternen der Platte hervorgehoben müssen, bald in großer Zahl erfolgen würde

in der That ist die Zahl der seit Ende 1891 auf diesem Wege entdeckten Planeten eine unerschöpfliche gewesen, die Gesamtzahl aller kleinen Planeten (Bergsteiger) bereits 4<sup>2</sup> Planeten, nachdem die vor Einführung der photographischen Methode nur 322 gewesen war. Die mittleren Entfernungen aller kleinen Planeten von der Sonne liegen zwischen 300 und 600 Millionen km, ist wichtig also, trotzdem einige derselben eine verhältnismäßig stark exzentrische Bahn beschreiben, doch immer von der Bahn der großen Planeten Mars und Jupiter eingeschlossen, im obigen Ausmaß eine am 13. August 1890 von Herrn Will auf der Unna Sternwarte in Berlin auf photographischem Wege entdeckten, des Eros, dessen gelbes Leuchtlicht innerhalb der Marsbahn liegt. Der Eros hat eine mittlere Entfernung von der Sonne von nur 217 $\frac{1}{2}$  Millionen km



während wir den wärmeren Abstand Erde-Sonne zu 149 Millionen km annehmen haben. Weiter war der Mars, dessen mittlere Entfernung von der Sonne 228 Millionen km beträgt, der erdähnliche der inneren Planeten. Der Erds bewegt sich also in einem noch kleineren wärmeren Abstand von der Erde als Mars. Hierzu kommt nun noch, dass der Erds um sehr stark eccentriche Bahn beschreibt, die Excentricität beträgt 0,23334, und damit kann die Entfernung Erde-Sonne um 60%, 244 km im Perihel kleiner werden als die mittlere, also auf 149 Mill. km herabsinken, in welchem Falle der Planet der Erde auf nur 20 Mill. km nahe kommen kann. Er ist dann nur 12mal so weit von uns entfernt wie unser Mond und fällt uns so als Stern etwa 8 Grad hoch mit freiem Auge sichtbar vor. Der Planet hat dann eine achtmal größere Parallaxe als die Sonne und wird damit ermöglicht, die Entfernung Erde-Sonne mit einer bisher nicht gekannten Genauigkeit zu bestimmen. Unter ähnlich günstigen Verhältnissen wird aber erst die Opposition des Planeten im Jahre 1931 stattfinden, in der nächsten, werden nach einer Entdeckung stürzender (see-oppo-ritus), sollte die Umlänge des Planeten rechenungsmäßig nur die circa Stern 8,5 Grad erreichen, und so war die Aussicht, den Planeten längere Zeit erfolgreich mit dem Heliometer zu beobachten. Fastere von sehr verschieden gelegenen Sternwarten zur Parallaxebestimmung parallaxenbestimmen können, keine sehr große, insofern erreicht der Planet in der Erdtrabe (28. Dezember 1907) doch nur Parallaxen von dem Lichtstrahl der Sonne parallel und bildet daher für die grossen Meridiankreise, photographischen Fernrohr und Helioskopie ein ausserordentlich und hervorragend wichtiges Beobachtungsobjekt.

Es ist merkwürdig, dass bei solcher Sachlage auch 14<sup>te</sup> Monate nach der Opposition von keinem Beobachter, auf

dessen Programm der Planet Erds stand, die starken und körperreichen Abweichungen der beobachteten von der voraussichtlichen Lichtstärke des Planeten, wie ich im Falle in meinem ersten Beobachtungsbuch für den Planeten festgestellt und auch in derselben Nacht an die Centralstelle telegraphisch habe, mit Sicherheit erkannt und gemeldet werden wird.

Die Vermutung, dass diese starke und im Planetensystem beobachteten starken Änderungen der Lichtstärke, wie ich sie in No 1649 der Astron. Nachr. schon selber angegeben habe, zu den Beobachtungszeiten anderer Astronomen, insbesondere vor und kurz nach der Opposition nicht auch beobachtet werden können, ist, abgesehen von ihrer gleichzeitigen inneren Unwahrscheinlichkeit, auch deshalb unwahrscheinlich, weil in der That andere Beobachter zu anderen Zeiten Änderungen der Lichtstärke bemerkt zu haben glauben, diese aber meistens als blasser schwächer, wegen der Farbe des Planeten, bezeichnet<sup>1)</sup> und daher als unweilbar beobachteten, oder wegen der widersprechenden Beobachtung eines Anderen als durch den Lichtzustand verursachte Täuschung angesehen und daher zunächst nicht weiter verfolgt haben.

Am 5-celligen Refraktor unserer Sternwarte mit der Untersuchung zweifelhafte Sterne der Bonner Durchmusterung, Beobachtung Veränderlicher und Gelbesbestimmungen von Sternen des A. G.-Katalogs beschäftigt, vermisste auch die Meldung des Herrn Dr. von Oppolzer, der das Verdienst hat, von vermissten starke und starke Grossenänderungen des Erds Bewegung zu haben, letzteren zugleich in seinem Beobachtungsplan zu berücksichtigen, Zeitökonomische Rücksichten, die eine grosse Unterbeobachtungsmenge von Gegenständlichen amputierten Beobachtungszeiten nicht zulassen, gestatteten mir zunächst nur die Erdsbeobachtungen

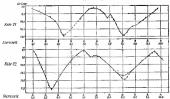
<sup>1)</sup> Astron. Nachr. No 1648.

speziell zwischen die anderen Beobachtungen einzuzeichnen. Doch gelang es mir zunächst an den Abenden des 19., 19., 17., und 20. Februar die starken Differenzen zwischen der beobachteten und der berechneten Lichtstärke des Planeten festzustellen, darauf habe ich für die folgenden kleinen Nächte, um Umfang und Periode des Lichtwechsels festzustellen, den Lichtwechsel vollständig beobachtet.

Die Anwendung eines photometrischen Apparates für diese Beobachtungen kam, in Ermangelung eines ausreichend leistungsfähigen Photometers,

Augen abhängiges Größenverhältnis der beiden Centres in Betracht, was jedoch noch nicht geachtet war.

Auf diesem durch meine Beobachtungen über teleskopische Fixsterne vorbereiteten Wege, konnte ich am nächsten Abend, 21. Februar, in einer höchst klugen Beobachtungsreihe einen sehr regelmäßigen Verlauf im Lichtwechsel des Planeten, der dem Maximum und zwei von diesem eingeschlossenen vollständig beobachtete Minima erkennen liess, in einem jeden Zweitel ausflussenden Betrage feststellen, sodass der noch in denselben



Lichtkurve des Erds, von Prof. Drechsler

nacht in Betracht) zu und nach der Methode direkter Lichtvergleiche des Planeten mit benachbarten Fixsternen ausgeführt, wie sie Angewandt und vom Schüler mit so grossem Erfolge angewandt haben und die im Genauigkeit der Ergebnisse nicht hinter den photometrischen Messungen zurücksteht, weiss man, wie ich es bei meinen vorher erwähnten Grössenbestimmungen von Fixsternen ermittelt habe, gewisse von der relativen Lage der zu vergleichenden Centres (sowohl, als auch in Bezug auf das Gez. im Gesichtsfeld) des Fernrohres und auf der Richtung des

Nicht in die Centralstelle telegraphische erste Periode des Lichtwechsels von 25 Stunden getrennt erscheint.

Am nächsten Abend, 22. Februar, gelang mir wieder eine ausserordentlich vollständige Beobachtungsreihe am Planeten, die die Schläge aus den Beobachtungen des Vortages im wesentlichen bestätigt. Sie liess drei Maxima und zwei von diesen eingeschlossene vollständig beobachtete Minima der Lichtstärke des Planeten erkennen, und aus der Verbindung dieser Wendepunkte mit dem vollständig bestimmten des Vortages ergibt sich der gesamte

Wert der Periode des Lichtwechsels zu 2<sup>h</sup> 17<sup>m</sup>.

Genauere Werte, insbesondere auch für den Umfang des Lichtwechsels, den man nach diesem Beobachtungsprotokoll nahe zwei Grenzklassen schätzen kann, lassen sich nicht erreichen, da der Marsel seit dem 22. Februar zu der dann erforderlichen scharfen Bestimmung der Vergleichsstromgrößen nichts mehr ableiten wurde. Der Verlauf des Lichtwechsels, wie ich ihn in einer im folgenden Monate von Herrn Dr. Gaidich nach meinem Beobachtungsbuch geüßigt aufgeschriebenen Lichtkurve vorliegt (vergl. Fig. 1), ergibt neben dem ausgesprochen regelmäßigen Verlauf einige Störungen in geringem Betrage, die mir schon direkt im Verlaufe der Beobachtungsreisen auffielen und im Beobachtungsbuche als unregelmäßig wohl bezeichnet und beibehalten eine längere oder nicht ganz regelmäßige Abteil vom Maximum aus und eine Senkung der Lichtkurve im letzten Minimum vom 22. Februar. Vielfach werden diese dem beitragen, die letzte Ursache des Lichtwechsels des Planeten festzustellen.

Nach dem, was wir bisher über die Oberflächen und die Rotation einiger der grossen Planeten wissen, ist es nicht unwahrscheinlich, dass wir hier eine erste Bestimmung der Rotation des Planeten Eros vor uns haben. Die Frage, ob die hier ermittelte Zahl die ganze Rotationsperiode oder nur einen Teil derselben repräsentiert, würde nach dem genauem Charakter und Verlauf der Lichtkurve material an anderen Orten zu beantworten sein, und diese Annahme bietet sich nicht widersprechend dar.

Zu den Zeiten der grossen Entfernungen des Planeten, wie sie das erste Mal im Januar 1904 und dann noch jüngster 1901 kommen werden, wird der Anblick des hellen, vom Licht in so raschem Wechsel bedruckten Sterns als unvergleichlicher zu Marsel sein. Für die Verwertung dieser günstigsten Oppositionen im nächsten

Bestimmung der Rotationsperiode wird der jetzt vorliegende starke Lichtwechsel des Planeten bereits nicht bedenklich sein.

Vorabend (auch die Einführung Prof. Deschaneliers hat Prof. Andree auf der Sternwarte zu Lyon Helligkeitsbeobachtungen des Eros angestellt und ist zu dem Ergebnisse gekommen, dass diese Schwankungen des Charakters einer Doppelsterns seien.

Gibt man, sagt er, von der geringsten Helligkeit aus, so erreicht der Planet nach 1<sup>h</sup> 22<sup>m</sup> seinen grössten Glanz und sinkt in weiteren 1<sup>h</sup> 31<sup>m</sup> zur ursprünglichen Helligkeit herab, diese Periode dauert also 2<sup>h</sup> 53<sup>m</sup>. Dann steigt er während 1<sup>h</sup> 18<sup>m</sup> nochmals zur grössten Helligkeit und sinkt in 1<sup>h</sup> 3<sup>m</sup> wiederum auf die ursprüngliche Minimum der Helligkeit, diese Periode dauert also 2<sup>h</sup> 21<sup>m</sup>. Marsel begreift eine neue Periode des Lichtwechsels von 2<sup>h</sup> 51<sup>m</sup> Dauer, demgegenüber von 2<sup>h</sup> 28<sup>m</sup> zu sein. Das wahre Lichtwechselperiode dauert daher 5<sup>h</sup> 17<sup>m</sup> und zerfällt in zwei äquivalente Perioden von 2<sup>h</sup> 51<sup>m</sup> und 2<sup>h</sup> 26<sup>m</sup> Dauer. Ein ähnliches Verhalten des Lichtwechsels zeigen bekanntlich auch mehrere rotierende Fixsterne, und bei ihnen hat das Spekroskop erwiesen, dass sie Doppelsterne sind, deren beide Komponenten sich in gegenseitiger Bahn umeinander bewegen und periodisch für den Anblick von der Erde aus sich verdecken. Deckt der eine Stern den andern, so erscheint das Ganze im schwächsten Lichte, während die grösste Helligkeit eintritt, wenn beide Sterne nebeneinander stehen. Derselbe spielt auch die elliptische Gestalt dieser Sterne nach der Beobachtung mit sehrigen Kette. In ähnlicher Weise also verhielt sich auch den Beobachtungen in Lyon nach der Helligkeitswechsel des Eros, und Prof. Andree schliesst daraus auf eine ähnliche Ursache derselben, ein Schluss, der natürlich sehr hypothetisch und unvollständig ist. Die Bestimmung, welche er unter dieser Annahme problematischen An-

schon aufklärte, zeigt dann, dass die beiden Sterne, welche uns als Eins erscheinen, nahezu gleich groß und stark abgeplattet sein müssten, ferne, dass der Bahn von Ellipse wäre von ähnlicher Gestalt wie die Bahn unseres Mondes um die Erde. Während aber der Mond 60 Erdhalbmesser von Mittelpunkt der Erde entfernt ist, könnte die halbe große Achse der Bahn beim Doppelsystem Eins kaum 1/2 Halbmesser des Planeten betragen. Wie groß jeder dieser beiden Weltkörper ist, lässt zunächst unbekannt, mehr als 160 km kann die Durchmesser kaum betragen. Sonst würden also beide Körper einander so nahe stehen, dass der eine für den andern, wie die Eisenkugeln, des Himmels größtentheils überdeckt und daher dem

Beobachter so nahe wäre, dass er mit bloßem Auge genauer gesehen werden könnte als unser Mond im größten Fernrohr. Ein System wie dieses wäre bei jeder Zeit in seiner Art, und die Frage, ob es überhaupt möglich und ferne von unserem Entdeckt sein könnte, wird besondere Untersuchungen erfordern; die Wahrscheinlichkeit desselben ist jedenfalls sehr groß. Endlich hat Prof. Sedgwick neben einer Abhandlung veröffentlicht, in welcher er sagt, dass die Andrieux'sche Hypothese überhaupt ganz unzulässig ist und der Lichtwechsel der Eins höchst wahrscheinlich Folge der Rotation dieses, vielleicht sehr unregelmäßigen Planetoiden-Individuums ist.

## Merkwürdige Erscheinungen am Planeten (345) Terceina.

**G**lar dieser Überschrift teilt Prof. M. Wolf selbst eigenhändige Beobachtungen mit, die im Gegensatz zu den Helligkeitsveränderungen des Planeten Eins erkennen lassen, aber die Wahrscheinungen bei letzterem noch an Schönbach's Contraste Prof. Wolf schreibt u. a.: »Wenn man aus Gegenstand des Mikroskops photographirt und dabei auf die Fixsterne gerichtet, so stellt jeder Planet, der sich in der Gegend befindet, einen Strich zwischen den Sternen der Platte. Sollte die Durchsichtigkeit der Luft während der ganzen Dauer der Belichtung die selbe, so wird der Strich überall gleiche Schwärzung haben und vollkommen gleichmäßig erscheinen. Wird aber die Durchsichtigkeit vorübergehend während der Belichtung schlechter, so erscheint der Planetenstrich an der entsprechenden Stelle weniger geschwächt und wird etwas unregelmäßig. Wenn also Wolfen über die photographirte Gegend ziehen, so wird auch die Zeit ihrer

Vorübergangs auf dem Planetenstrich registriert finden, genau wie der Helligkeitswechsel eines Sternes auf dem Strich des Chromographen. Ganz dasselbe muss aber auch eintreten, wenn der Planet selbst während der Belichtung seine Helligkeit verändert.

Es war mir seit dem Jahre 1861 bekannt, dass sehr häufig Planetenstriche solche Intensitätsveränderungen zeigen. Ja wir hatten mich sehr oft beim Ausmessen der Fixsterne geirret. Es war aber sehr schwer zu entscheiden, ob dieselben von Helligkeitsveränderungen der Planeten oder von Schwankungen in der Luftdurchsichtigkeit herrührten.

Besonders auffallend zeigte solche Schwankungen der Platte (345) Terceina, als ich sie — zusammen mit meinem Assistenten Dr. Schwesmann — im October 1868 photographirte. Ich beschloss daher, an diesem Planeten die Erscheinung zu untersuchen und denselben öfters zu photographiren und dabei den Luftzustand genau im Auge zu behalten.

1) Astron. Nachr. No. 274.

Ich habe so, zusammen mit Dr. Schwesmann, den Platten an folgenden Abenden aufgenommen:

Platten - No.	1899	Belichtung Minuten
1562 und 1563	Ok. 26.	1200
1561 - 1564	Nov. 1. u. 2.	900
1565 - 1566	„ 2.	2700
1563 - 1566	„ 3.	1200
1565 - 1566	„ 5.	1800

Von da ab ist schlechtes Wetter ein, und dazu kam der Mond und wieder die weiße Verblüdung.

Auf jeder dieser Platten ruht der Planetenrich mindestens drei Infrarotstrahlungen, d. h. eine Stelle, wo der Strahl ausgespart erscheint und die Schwärzung geringer ist. Auf den zwei langbelichteten Aufnahmen vom 2. und 5. November sind jeweils zwei Helligkeits-Minima vorhanden.

Bei diesen Aufnahmen wurde genau auf den Zustand des Himmels geachtet und zwar behielt immer einer von uns die Copula des Himmels im Auge, welche photographiert wurde, während der andere postierte. Dabei ist zu vermerken, dass die Platten vom 4. 5. und 6. November vor absolut keiner Störung durch die geringste Bewölkung vorhanden. Ebensowenig am 26. Oktober. Am 2. November war es gleichmäßig bis 19 Minuten vor Schluss, von wann ab teilweise Wolken vorüberzogen.

Die abgebildeten Minima lassen sich daher schon anders erklären, als durch Infrarotstrahlungswirkungen des Planetenriches, und die Zeiten der Minima selbst können gut durch eine Periode dargestellt werden.

Es wurde Anfang und Ende jeder Strichs ebenso wie der Mitte des Minimums selbst mit dem Faden eines Mikroskopstrahlensystems eingeteilt. Aus den Zeiten des Anfangs und des Endes der Belichtung konnte ich dann die Zeit der Mitte des Minimums berechnen. Nächstgenanntes fällt das nicht sehr genau aus, erstlich weil Anfang und Ende des Strichs schwer erkennbar und wohl immer ganz gleich sind, denn über-

besonders, weil die Einstellungen durch Zufälligkeiten in der Lagerung des Silberkorrs sehr beeinflusst werden. Ich fand:

1899	Minuten H. 2. November
Ok. 26.	1200
Nov. 1.	900
2.	2700
3.	1200
5.	1800

Wenn Betrachten der Platten zeigt sich, dass die je zwei am 4. und 5. November beobachteten Minima unter sich völlig verschieden waren. Das eine war jeweils kürzer, das andere länger. Am 4. November kam das kurze zuerst, dann das lange, am 5. Nov. das lange zuerst. Das Maximum am 2. November schien ebenfalls ein langes gewesen zu sein. Der Abstand von Mitte des kurzen Maximums zur Mitte des folgenden langen Minimums ist nicht ganz gleich dem zwischen langem Maximum und darauffolgendem kurzen Minimum.

Indem Prof. Wolf die kurzen Minima der obigen Reihe im Betracht zog, fand er durch Bestimmung, dass derselben innerhalb einer Periode von 24 9/100 unterrichtet, dass der Planet Terminus also innerhalb dieser Zeit seine Helligkeit wechselt, wie rotar Anlehnung, sagt Prof. Wolf, „bisher war die Hälfte allgemein, dass das Aussehen kurzer und langer Minima ist zu verschieden und ihre Mitte fallen nicht mehr genau auf die Mitte zwischen zwei kurzen Minima, sondern wie man sich leicht überzeugen kann, liegt die Mitte des langen Maximums dem vorangehenden kurzen Minimum näher.“

Ich erwies hier beiläufig, dass auch andere Planeten ähnliche Perioden zu zeigen scheinen, z. B. (116) Sirona, der eine Periode von 280 bis 145 Hrs. besitzt mag.

Ausser dieser Erwähnung sagte aber der Planetenreiche noch eine

Eigenschaft, die viel merkwürdiger ist. Sie haben die Eigenschaft nicht gemäßig zu sein, vielmehr, genau den Intensitätsschwankungen folgend, auf und ab zu steigen. Der Planet Terminus steigt regelmäßig im Maximum allmählich über die mittlere Bahn (z. Norden), während er während des Minimums allmählich unter die mittlere Bahn herabsinkt. Das Maximum aus der Mittellage beträgt höchstens 4-6°, ist aber trotzdem auf den ersten Blick im Mikroskop zu sehen und besonders auffallend durch den Rhythmus der Erscheinung.

Besonders diese Beobachtung — welche Örgans zu vielen Phantasiegedanken gemacht und unter uns sehr vielen als das „Torkata“ der Planeten bezeichnet und gewöhnlich ungenauem Pöbelwitz in Deklamation ausgesprochen wurde — machte mir das Problem so merkwürdig, dass ich 1897 zu vortrag, was einer Publikation überdies und erst weitere Beobachtungen abzuwarten. Vor allem musste ich in der Lage sein, mit zwei Instrumenten gleichzeitig die Erscheinung zu untersuchen und dass auch vor zwei möglichst schnell gegebenen Beobachtungsorten aus, das

wollte ich jetzt mit dem neuen und dem alten Teleskop durchführen.

Da aber innerhalb vom Planeten Erre so verschiedene Helligkeitsbeobachtungen bekannt geworden sind, so möchte ich doch meine Beobachtungen zunächst mitteilen, umso mehr, als jetzt hier bei uns durch die ungünstige Winterung und die hohe Lage des Planeten die Untersuchung vereitelt wird.

Die Terminus, welche gegenwärtig in Opposition tritt, ist hell genug, um bequem betrachtet werden zu können, und wenn auch zunächst die Größe der Helligkeitsschwankung als der Betrag des Schwingers gering sein dürfte, so wird sich doch an südlich gelegenen Orten bezüglich einer Entscheidung über die Erscheinungen erlangen lassen, was dem ja besonders die letztere auch für Parallaxenbestimmungen mit kleinen Planeten von Wichtigkeit wäre. Natürlich wäre es vor Abschluss grosser Untersuchungen wünsch, Hypothesen über die Ursache der Erscheinungen aufzustellen, scheint es ja doch zu sein gar nicht unmöglich, dass man es mit einer periodischen Erscheinung unserer Atmosphäre — vielleicht sogar lokaler Natur — zu thun hat.

## Die Nova im Perseus.

(Platte Tafel VII und IX.)

### II.

**D**ie Nova Persei wird voraussichtlich als lichtschwacher Stern noch gewisse Zeit zu beobachten sein. Die schwachen Helligkeitsbeobachtungen derselben machen es sehr wahrscheinlich, dass dieselbe in Nova letzten Jahresen Phasen auch verlorf wurde. Zu diesem Zwecke hat Prof. Hagen S. J. vom Georgetown-College-Observatorium, eine Karte der Umgebung der Nova entworfen, welche die zu den Sternen 12. Grösse reicht. Diese Karte ist auf Tafel VIII in einem verkleinerten Massstabe reproduziert. Herr Prof. Hagen geht auch

zu denselben die nötigen Entfernungen.

Links unterhalb der Hauptkarte wird man zwischen drei Hilfsstern für diejenigen Beobachter, dass Fernrohr keine Nova besitzen, die also die Stelle der Nova von anderen Sternen ausgehend auffinden. Dies hat auch keine Schwierigkeit, wenn man von dem Stern  $\delta$  Grösse 3 Persei ausgeht und über  $\gamma$  und  $\epsilon$  direkt sich südwärts wendet, bei dem die Sterne No. 2 und 3 unterhalb der Hauptkarte, welche  $\delta$  und  $\zeta$  Gr sind, erreicht. Von

hier aus findet man sich mit Hilfe der Hauptkarte leicht orientiert. Die Nova im nördlichen durch einen kleinen Kreis bezeichnet, in welchem sich der Ortswinkel der Rotationsachsen und Deklinationsänderung abzeichnet, und wo der Nullpunkt derselben liegt. Die Rotationsachsen sind von hier aus von 30 zu 30 Zeitstunden, die Deklinationen von 1 zu 1 Minuten in Bogen angegeben. Das große Quadrat der Hauptkarte enthält alle in derselben folgenden Sterne der ersten Durchmusterung, also bei der Größe 9.5 oder 10. In dem durch schiefe Linien hervorgehobenen kleinen Quadrat von  $\alpha$  20 Seite, in dessen Komplex die Nova steht, sind alle Sterne angegeben, welche Prof. Hügel am 12-solligen Refraktor bei ständiger Vergrößerung sah, während das kleinste und meiste Quadrat von 18 um die Nova alle Sterne enthält, welche dasselbe Instrument bei 100-facher Vergrößerung erkennen liess. Die Größen der Sterne sind auf der unter der Karte befindlichen Skala der Durchmesser der Sternpunkte wiedergegeben, genau die Beobachtungen von Prof. Hügel. Das Merkteilchen oberhalb zeigt, bis über die Nova erstreckt im 12-solligen Refraktor Helligkeit, nach den Beobachtungen von Prof. See am 20-Zoller in Washington im Jahre 1857 (s. oben Deposition 14. Oefte).

Das Yerkes-Observatorium empfing die erste Nachricht von dem Ausbruch der Nova am 24. Februar. Am dem gleichen Abend wurde der Stern bei hellem Mondlicht mit dem 48-solligen Refraktor untersucht. Er war heller als 11. Größe, und seine Farbe wies auf einen Stich ins Rötliche, sehr ähnlich  $\alpha$  Orionis. So rasch als thunlich wurden photographische Aufnahmen des Spektrums gemacht, wobei es sich glücklicherweise ergab, dass gerade zur frischen Sendung Erythro-Platten der international-Compte-Platte-Compagnie in Chicago eingeflossen war. Dadurch war es möglich, das ganze Spektrum von der Linie H $\gamma$  bis zur Linie H $\alpha$  zu photographiren

In der Zeit vom Febr. 24 bis März 11, hat Herr Eilermann 22 Photographiren des Spektrums erhalten und auf denselben Platten Vergleichsspektren des Titaniums, Wasserstoffs und Natriums. Am 24. und 25. Februar sah Herr Bielew am 48-Zoller mit Farbenschirm eine Photographie der Umgebung der Nova auf. Die Fläche von 12 Quadratminuten um die Nova zeigt nicht weniger als 40 Sterne auf dieser Photographie. Photographirte wurde der neue Stern mit dem Keil-Photometer durch Prof. Parkhans untersucht und folgende Größen desselben bestimmt:

Febr. 25	1.8 Or	März 3	27 Or
• 28	1.1	• 4	2.8
• 27	1.6	• 5	2.1
• 28	1.6	• 4	3.1

Als Datum der frühesten spectrographischen Beobachtung der Nova ist der Sternzeit zu Erlaubung wurde am 4. Juli des Jahres der 25. Februar angegeben. Wie uns Herr Ralph Copeland brieflich mittheilt, geht indessen die Erlaubung der Erlaubung des Datums weiter an, und die Beobachtung geschah schon am 22. Februar 1857 nach der ersten Entdeckung des Sterns.

Auf der Yerkes-Sternwarte wurde eine Photographie des Spektrums mit dem Ein-Prisma-Spektrographen am 25. Februar erhalten und von Prof. E. Hark vermessen. Diese Photographie ist vergrössert auf Tafel IX, Fig. 3 wiedergegeben, und die Wellenlängen der Skala sind nach den Formeln von Cornu-Hartmann abgelesen. Eine Prüfung der Photographie ergab, dass das Spektrum sehr ähnlich ist demjenigen der Nova Auriga. Das Wasserstoff-beta, besonders C ( $\beta$  Fig. 2) und F sind hell und sehr breit. Die dunklen Linien, welche die Spektren sind die nicht reproduziert sind, sind wahrscheinlich Umkehrungen infolge der Absorption in dem Schirmen eines leuchtenden, kühlen und unter geringem Druck stehenden Gases. An der stärker brechbaren Seite werden die helleren Wasserstofflinien von dunklen Linien begleitet,

genau so wie im Spektrum der Nova Aurigae. Dies sagt nicht nur die Photographie, sondern auch die direkte Beobachtung mit einem Drei-Prismen-Spektroskop. Als im Vergleichspektrum die hellen Wasserstofflinien hervorgehoben wurden, konnte die Verschiebung der entsprechenden Linien im Nova-Spektrum gemessen werden und es ergab sich, dass der neue Stern sehr mit geringer Geschwindigkeit in der Geradenlinie von der Erde entfernt. Die Hellensuche  $D_2$  scheint im Spektrum als dunkle Linie vorhanden zu sein, sehr nahe neben dem hellen Wasserstoffband an der beschriebenen Seite (Fig. 1). Die hellen Calciumlinien H und K sind bemerkenswert durch ihre grosse Breite und Schwach, dass sie von schwachen, dunklen Linien durchzogen wurden. Die Hauptlinie der Natriulfolge scheint ebenfalls vorhanden zu sein (Wellenlänge 4 902—5441) und eine schwache Linie oder zwei Bande (4 991—4998) bedeckt die Region des Spektrums, in welcher die zweite Natriulfolge auftritt. Die Magnesiumgruppe b ist ebenfalls repräsentiert durch ein sehr helles Band (4 514—5204). Die grüne Calciumlinie (4 530) würde nahe mit dem beschriebenen Band eines helles Bandes im Spektrum der Nova zusammenfallen.

Ueber die Helligkeitsänderungen der Nova liegen zahlreiche Angaben vor, doch stimmen viele derselben von Beobachtern her, welche mit solchen Helligkeitsmessungen nicht sehr vertraut sind. Es mögen daher nachstehend nur einige der zuverlässigsten Schätzungen hier anführt werden. Die Nova war:

		v. Glasenapp	14. Cassini
Feb. 26	5 <sup>h</sup> 30 <sup>m</sup>	14. Petzsch	14. Cassini
März	4 9 8		24
"	19 8 10		5.27
"	19 10 40		5.25
"	20 8 15	.	4.92
"	20 9 13	.	4.09
"	20 10 8	.	3.52
"	20 10 50	.	3.04
"	20 11 30	.	2.40

«Die rasche Zunahme der Helligkeit» schreibt Dr. v. Glasenapp, «war sehr deutlich». Zu dem gleichen Resultat einer periodischen Variation der Helligkeit ist auch Prof. K. Bahls in Stockholm gelangt. Nach seinen Beobachtungen haben zwei Männer des Lichtes ausgedauert, März 19. und März 23. Am 23. März morgens war der Stern wieder im Lichtauslass begriffen. Dr. v. Glasenapp bestieg diese Männer und sagte nach ein weiteres, am 25. März angekommen kam. Derselbe drei Männer hat ganz unabhängig auch Prof. Dandl in Lipsch. constatirt.

Herr H. C. Vogel hat soeben einen Bericht<sup>1)</sup> über die Nova einem zweiten an die Kgl. Academie der Wissenschaften in Berlin folgen lassen<sup>2)</sup>, dem wir die Nachfolgende entnehmen:

«Bei hochverehreter Erwartung hat man wohl allgemein die Kunde aufgenommen, dass ein neuer Stern von erheblicher Helligkeit im Sternhaufe der Perseus erschienen sei. Haben doch die neuen Stern von jetzt zu den stehenden Objekten der Perseus gehört, und keine von der grossen Anzahl von Hyge-Ostern über die Natur dieser Sterne, die mit sehr oder wieder anderen unvollständiger Kenntniss versehen, hat bisher mehr bekannt als eine vorübergehende Erscheinung.

Die Anwendung der Spektroskopie hat auch hier raschen Dank gefunden, und die Erweiterung der Methoden, die mit dem spectroscopischen Prisma versehen, haben zu überraschenden Resultaten geführt. Mit Hilfe der vollkommenen Apparate der neuesten Zeit, namentlich mit der Entwicklung der Spektroskopie, erkannt man, dass in dem Spektrum eines Sterns Punkte von hellem und dunklen, stark verbreiteten Linien auftreten. An die Vorstellung nahe lag, dass dies in Nicht mit einem Körper, sondern mit zwei Körpern zu thun habe, von denen der eine vorwiegend ein Wasserstoffspektrum, der andere ein Wasserstoffspektrum besitze. Ob aus dem Abstände der Mitten der sich benachbarten hellen und dunklen Linien spectroscopische relative Bewegung hätte oder ist

<sup>1)</sup> Berne, S. 75.  
<sup>2)</sup> Sitzungsprot. d. Kgl. Acad. Berlin 1902, XVI, 31. März.



recht unmerklich mit zunehmender Wellenlänge heller Körper.

Ich habe in meiner Abhandlung über das neue Stern im Fuhrmann- $\gamma$  zunächst die von mir und von A. J. van den Berghen beobachteten Erscheinungen, und die Ergebnisse aus denselben nach dem damaligen Standpunkte der Wissenschaft dargestellt, nach der wichtigsten Hypothese zu sprechen.

Inzwischen sind nun meine Kenntnisse über die Spectra verschiedener Elemente wesentlich erweitert worden, und ich habe durch die Untersuchungen von Hauptfey und Meiner, von Eder und Fehrbach und von Wittig erfahren, dass nicht alle Linien Verschiebungen als Folge des Dopplerschen Phänomens anzusehen sind. Ich habe der Königlich-Preussischen Academie am 4. März 1866 eine Abhandlung des Prof. Wittig in Potsdam über die Lösung des typischen Spectrums des neuen Stern- $\gamma$  vorgelesen, welche eine sehr ungewöhnliche, auf meinen Experimenten beruhende Erklärung der Doppellinien zeigt, und dieselbe zugleich von den physikalischen Bedingungen in der Atmosphäre einer Nova gibt.

Von der Nova Persei, die zuerst am 21. Februar 1861 im Palästen-Spektroskop beobachtet worden konnte und zur Zeit der Beobachtung der hellste Stern am nördlichen Himmel war, konnte mir Nichts von anderer Beschaffenheit als die Existenz der erwähnten Doppellinien erzählt werden, und die Entzerrung war nicht genug, als die physikalischen Aufnahmen der in mehreren Observatorien angestellten Beobachter zu gut wie gar kein Detail erkennen lassen.

Von mir und Dr. Hermann an dem erhaltenen Spectrogramm angeführte Messungen zeigen ein Vorhandensein der Wasserstofflinien, von denen Dr. Hermann auf dem von ihm am 21. März 1861 angefertigten Aufnahmen von geringer Dispersion die neuen Linien der Wasserstoffe von  $H_{\beta}$  bis  $H_{\gamma}$  erkannt und mehrere konnte, während auf den von mir angefertigten und von Dr. Lagerstedt am 21. September bei starker Entzerrung aufgenommenen Platten — auf denen nur ein kleiner Teil des Spectrums (1 000 bis 1 400 in Ablesung) gezeigt — Niemand die beiden Linien  $H_{\beta}$  und  $H_{\gamma}$  zu sehen waren. Die Wasserstofflinien erschienen als Doppeln, ganz wie man erwarten und nur sehr schwer erkennbare Absorptionen findet,

die nach der einzigen beobachteten Linie einem einzigen Veranlassertheil folgten. Anzunehmen waren nach meiner Absorptionstheorie mehrere Ursachen zu setzen, jedoch keine gute Erklärung von Doppellinien oder Doppelspectren. Sehr wahrscheinlich waren zwei stark entfernte Absorptionen auf der Harkness'schen Aufnahme, die mit den Calciumlinien  $\lambda$  854 und  $\lambda$  866 identisch waren. Diese Linien im Spectrogramm zeigen eine geringe Verschiebung nach Rot, die nach den vollständigen Messungen über Bewegung des Sterns in der Stunde von Stern  $\gamma$  13 km etwa im Lichte oder etwa  $\pm$  13 km etwa im Sinne entgegenwärts wurde. Ich möchte gleich hier bemerken, dass auf spätere Aufnahmen die Lage der Linien unmerklich präciser ist, und die erwähnten Doppellinien wohl die die stärkste Verschiebung entgegenwärts werden kann. Auf dem von mir aufgenommenen Platten vom 21. Februar befinden sich keine anderen Linien, wohl aber die eines kleinen sehr seltener veranlasserter Absorptionselemente, für dessen Wellenlänge ich 4670 angesetzt habe. Identifizirt ich den Stern mit der Linie  $\lambda$  4670 des Chlorins, so resultirt ebenfalls die Bewegung des Sterns von  $\pm$  13 km bis  $\pm$  20 km etwa im Sinne Anders, welches es sich nun mit dem Wasserstofflinien. Unsere Messungen stimmen nicht schlecht miteinander gut überein und zeigen nur sehr geringe Verschiebung nach der Seite kleinerer Wellenlängen, die der eine Bewegung des Wasserstoffes von rund  $\pm$  70 km in der Stunde betriebe im Sinne entgegenwärts werden konnte.

Als, was wir am 21. Februar beobachtet konnten, die vollständig erhaltenen Calciumlinien, das Fehlen der Eisenlinien, die starke Verschiebung der Absorptionen nach der beobachteten Seite des Spectrums, insbesondere dass, was man nach der anerkannten Theorie zu erwarten hätte.

Aufnahmen des Spectrums, die von den Herren Hermann, Oberford und Lindbergh in der Folge genommen wurden am 25. und 27. Februar und am 2., 3. und 4. März angefertigt wurden, zeigen mit einer merklichen Verstärkung des Spectrums in allem, als die Absorptionen viel deutlicher geworden und von intensiver, sehr heller Eisenlinien, die schon in Harkness-Observatoriumsplatte erhalten Linien leicht gesehen werden konnten, begleitet sind. Die Eisenlinien sind sehr stark, nicht nur wegen ihrer hohen Intensität, sondern auch wegen der Mächtigkeiten der Linien über sehr stark nach Rot verschoben, die Absorptionen sind jedoch nach merklich weniger als auf den Spectrogramm vom 21. Febr.

<sup>1)</sup> Abh. d. K. Preuss. Acad. d. Wiss. zu Berlin 1865.

<sup>2)</sup> Näheres über Wittigs Untersuchungen findet sich im Serie 1866 S. 205, 206.

nach der entsprechenden Seite zurück. Das Spektrum ist mit einem Wirtel dem typischen Spektrum der neuen Sterne gemessen und zeigt ein genaues Maassstabe der Veränderungen, die nach Willing's Beobachtungen bei Merkurperioden und beim Wasserdampf's unter hohem Druck auftreten. Nur die beiden grössten Linien sind verändert, nicht gelblich.

Der Versuch, eine Erklärung der Veränderungen der beiden Carbonlinien H und K zu geben, hat mich auch damit geführt, der am 26. Februar beobachteten starken Veränderungen der Wasserstofflinien nach der Willing'schen Hypothese zu denken.

Das rasche Annehmen der Helligkeit des neuen Sterns nach Pünning am 19. Februar scheint mir H. zu sein, und 24. Februar nach dem Potsdamer Beobachtungen (22. u. 24.) nach neueren Störungen in der Annäherung des Sterns und dieser in Verbindung mit einer vollständigen Umdrehung vorzunehmen, bei denen die noch keine volle vorhergehende Umdrehung kaum als schwache, ganz selbst geschickte Absorptionen dritter und, über unmerklicher Schwärze dürfte daher wohl nur als Umlagerungserscheinung betrachtet werden können. Auch mag über diese Voraussetzung, so liegt weiter, dass eine schwache Absorption als Umlagerung nur in einer zweiten Erscheinung bestehen kann, und ich nehme an, dass Veränderungen in der Strahlungseigenschaft, wie die der Willing'sche Theorie voraussetzt, sich geltend machen, von denen die eine von der bestehenden Linie keine Absorptionen, die andere beide Erscheinungen mit Umlagerungserscheinungen für sich gegeben hätte. Hierin sich nun bei der Umlagerung der schwachen Absorption und Umlagerung zeigen soll, so bildet nur die schwache Absorption die Umlagerung selbst.

Die Erklärung, welche am 21. Februar zur Absorptionen des Wasserstoff's, dass nach der Seite der kleineren Wellenlängen verziehen, erhellend sind, wird im Hinblick auf Beobachtungen in der Schwärze liegen, liegen wieder mehrere Schwächen vertheiligt Druck übereinander, so liegt es nicht bezweifel, dass die bei hohem Druck nach Kell zu vertheilten Erscheinungen so schwach ist, dass die die Absorptionen nicht über die Wirkung der kontinuierlichen Spektrien selbst. Die ganze Erscheinung der Interferenzerscheinungen nach der beobachteten Seite im Hinblick nur eine schwache, in Wirklichkeit findet die Mitte der Absorptionen

mer wenig nach Kell verziehen gewesen zu sein.

Ich möchte nicht un erwähnt lassen, dass die letzten Beobachtungen mit weiter Ausdehnungen, unter Benutzung auf die in der Nova Persei beobachteten Erscheinungen, genau sind, was Willing in seiner Abhandlung über die typische Spektrien der neuen Sterne gesagt hat.

Nach dem Vorhergehenden glaube ich mich erlauben zu können, dass die Beobachtungen im Spektrum der Nova Persei bisher nur eine Bestätigung der Willing'schen Ansicht gegeben haben, und die ganze Voraussetzung richtig. Bei grosser Veränderung der Absorptionen des Wasserstoff's nach dem Doppler'schen Prinzip als Bewegungen, um so auch mit den Wasserstofflinien, verbunden.

Selbst schon in der Nova Auguste die Seiten des Wasserstoff's in Bezug auf Ausbreitung und Vertheilung eine gross Rolle, so scheint nach den bisherigen Beobachtungen die bei der Nova Persei zu noch höherem Grade die Fall gewesen zu sein. Es sind im Spektrum nur wenige Linien und keine so beträchtliche Zahl von Linien und Erscheinungen wie in der Nova Auguste wahrgenommen, besonders sind H<sub>2</sub> und H<sub>3</sub> und V<sub>2</sub> und V<sub>3</sub> im Spektrum nicht sichtbar.

Das vornehmlichste schwache Anzeichen der Helligkeit des Sterns und die nun wieder sehr rasche Abnahme der Intensität der verschiedenen Teile des Spektrums nach der Vermuthung vollkommen, dass es hauptsächlich der Wasserstoff's gewesen ist, der die beide kontinuierliche Spektrien in diesen Teilen gegeben hat, wie unter gewissen Umständen und Temperaturverhältnissen Kohlenwasserstoffe beide entstehen kann. Andererseits würde die Erklärung der verschiedenen Linien der Lichtintensitätsvertheilung zu machen. Der weisse Vortheil der Erscheinung muss jedoch mit Helligkeit werden, die man über die bisherigen Vorstellungen gelangt, befindet sich derselbe nach dem mit dem vollen Hypothesen über die neuen Sterne einige definite zusammenzufassen.

Ferner kommt Gek. Kell Vogel in No. 3708 der Astron. Nachr. z. u. Er ist beschreibend, dass mit der Erweiterung unserer Kenntnisse über den Einfluss des Drucks auf die Seiten der Sterns Hypothesen über die neuen Sterne, bei deren Ursache und Wirkung in die Sterne selbst verlegt sind, werden nur Göttinge gelangen. Sie konnten sich nach Kell's, als man in den Spektrien neuer Sterne beide und dritte Linien

<sup>1)</sup> Strahlungseigenschaft der K. Persei, Abh. der Wiss. in Berlin, Darstellung vom 27. Juli 1860.

find, die aber in keinem einzigen Zusammenhang standen, als man aber durch die Beobachtungen der Hirtze Auviget erkannte, dass beide und dieselbe Linie eines und desselben Stoffes paarweise nebeneinander gelagert existieren, musste das Hypothesen, welche die Entstehung auf das Zusammenstoßen zweier oder mehrerer Körper zurückzuführen, größeren Beweispfang erlangen werden. Das ist aber jetzt nicht mehr nötig, wenn in erster Linie die Eigenschaften des Spalters auch durch erhöhten Druck erklären lassen, und es hat eine Zweifel und für sich, wenn man Ursache und Wirkung in dem Nomen selbst suchen kann. In dieser Beziehung hat die von Lohse<sup>2)</sup> aufgestellte Hypothese großen Vorzug. Da dieselbe bisher noch wenig Beachtung gefunden zu haben scheint, lasse ich den Schlussatz der Lohse'schen Betrachtung hier folgen:

«Durch die fortschreitende Abkühlung der aus glühendem Chlorphen und

Glase bestehenden Masse dass selbstmachenden Wellenspern (Falsaria) wird schließlich eine zungenförmige Hülle erzeugt, die das Licht in so starkem Grade ablenkt, dass der Stern von der Erde aus nicht mehr oder doch nur schwach gesehen werden kann. Wenn diese durch weitere Wärmeabstrahlung der Grund der Abkühlung erreicht wird, während die Bildung derjenigen chemischen Verbindungen erfolgt, welche die einen wesentlichen Teil des Gases bilden, so wird bei Vorleistung der betreffenden Elementarstoffe<sup>3)</sup> eine beträchtliche Wärme- und Lichtabstrahlung stattfinden, welche die Stern plötzlich auf große Entfernungen hin für längere oder kürzere Zeit wieder sichtbar macht.»

Von verschiedenen Seiten wird berichtet, dass die Nomen während der Lichtabstrahlung auch einen Wechsel der Farbe zeigen, schwankend zwischen gelb und rotlich.

## Vermischte Nachrichten.

Die Pflanzenreste-Entdeckungen des Jahres 1890 haben die Anzahl der durch Kohlenbestimmung als gealterten Bestanda der Achromie zu erachtenden kleinen Planeten auf 463 gebracht. Ausser diesen sind noch 4 kleine Planeten gefunden worden, deren Bahnen aber nicht abgeleitet worden konnten. Die neuesten Entdeckungen auf diesem Gebiete sind auf dem astrophysikalischen Observatorium zu Heidelberg von Prof. Wolf und Dr. Schwassmann angefertigt worden. Prof. Wolf besaßte dabei mit September den neuen photographischen Doppelobjektiv, den Plan ihnen gegenüber hat, und der zwei gleiche photographische Objekte von 48-cm Durchmesser und 2 m Brennweite besitzt.

<sup>1)</sup> Monatsberichte der Kgl. preuss. Acad. d. Wiss. in Berlin, 1871 Dec. 20, S. 435. Seite 1861. Tabl. 5.

Der Veränderliche 88 Cygni. (a 21<sup>h</sup> 38<sup>m</sup> 48<sup>s</sup> δ 44° 7' 35" für 1900.3.) Der Veränderlichkeit dieses Sterns wurde von Miss Welsch auf Harvard Photographien erkannt<sup>4)</sup> und ist seitdem von J. A. Perkhoff und E. Doual näherem beobachtet worden<sup>5)</sup> Es ist zu bemerken, dass dieser Stern in seinem normalen Glanze 11.24 Grösse ist und während des Viertel der Periode so Much. Eine Periode er much hat zu einem Maximum von 8.8 Grösse an, der größte Teil dieser Zunahme, zwischen 11. und 9. Grösse umfasst 19 Stunden. Die Abnahme ist viel langsamer. Die Veränderlichkeit zeigt mehrere ungenannte lange und kurze Maxima, in

<sup>4)</sup> Lohse deutet in seiner Liste an Veränderungen von Wasserstoff und Sauerstoff

<sup>5)</sup> Harvard Circular No. 12.

<sup>6)</sup> Astrophys. Journal XII 4, p. 200

erhöhen bleibt er 11 Tage über der normalen Helligkeit, im letzteren nur 12 Tage, während die Dauer der normalen Helligkeit nach langen Maximen 44, nach kurzen 40 Tage beträgt. Die oben genannten Beobachter haben den Stern vom Dezember 1896 bis zum Juli 1900 möglichst ununterbrochen verfolgt. Bis zum Schluß des Oktobers 1899 zeigte er regelmäßig die Abwechslung von kurzen und langen Maximen, dann aber trat plötzlich mit dem Dezember eine Umänderung des Lichtwechsels ein, indem er die Maximen von völlig anderem Typus zeigte und diesem zwei folgt, als kürzere und wieder ein langer Maximum folgte, bis zu dem Tage, mit dem die Mittheilungen der Beobachter abhören. Ein solches Verhalten eines regelmäßigen Veränderlichen steht bis jetzt einzig in den Annalen der veränderlichen Sterne da.

Was die normale Leuchtkurve der Veränderlichkeit anbelangt, so beginnt die Helligkeitszunahme plötzlich und geht mit grosser Geschwindigkeit vorwärts, wobei in einem kurzen Maximum 20 Tage später, in einem langen 50 Tage später die größte Helligkeit erreicht ist. Die Abnahme von 8 bis 11 Grösse dauert in beiden Fällen etwa 6 Tage. Auf der sogenannten normalen Helligkeit verharret der Stern völlig ohne merkliche Lichtschwankung. Die mittlere Dauer der Periode von einem zum andern kurzen Maximum beträgt 181.29 Tage, von einem zum andern langen 114.75 Tage. Die oben genannten Beobachter bekennen, dass die Lichtkurve von SS Cygni eine grosse Ähnlichkeit mit derjenigen besitzt, welche die veränderlichen Sterne in Sternhaufen zeigen.

Der Veränderliche 3 Aras, welcher vor nicht langer Zeit von Herrn Gaidard wurde, ist von Alexander W. Roberts zu London genauer beobachtet worden.<sup>1)</sup> Der Stern ist auf der

nördlichen Hemisphäre nicht zu sehen. Roberts gibt folgende Elemente des Lichtwechsels: Periodedauer 184 50m 45s, Epoche des hellsten Lichtes 1900 Januar 1. 4h 12m (M. Z. Greenwich), Epoche des blässen Lichtes 1900 Januar 1. 7h 30m (M. Z. Greenwich), Verhältniß der Zunahme zur Dauer der Lichtzunahme 0.79, Grösse der Veränderlichkeit 9.53 und 10.54 Grösse.

Eine grosse Anzahl (84) veränderliche Sterne, die die größte bis jetzt noch nicht bekannte waren, sagt Prof. E. Pickering an? Derselben sind meist von Miss. Fleming bei Vergleichung der photographischen Aufnahmen in Cambridge mit den Platten entdeckt worden. Eine grosse Zahl derselben machte sich von vornherein durch die Anwesenheit von hellen Wasserstofflinien in ihrem Spektrum verdinglich, andere, dass Spektrum dem 4. Typus angehören, bestanden ebenfalls der Vermutung auf Veränderlichkeit. Diese stofflichen Veränderlichen teilte Prof. Pickering in zwei Gruppen: 1. solche, deren Lichtänderung nach dem anerkannten Beobachter erfüllt, 2. solche, bei denen der Lichtwechsel eine halbe Orbeszenz oder weniger umfasst. Prof. Pickering gibt ein Verzeichniss dieser Sterne und des Spektraltypus derselben, letzterer wird mit Mc bezeichnet, wenn das Spektrum dem 3. Typus angehört und ähnlich dem von «Ceb im Minimum ist, mit Md, wenn es hellere Linien zeigt wie «Ceb im Maximum, Spalten, deren Charakter in der Mitte zwischen beiden liegt, werden mit Mc Sd bezeichnet, N bezeichnet ein Spektrum des 4. Typus, P ein solches von abweichendem Charakter. Aus der Liste der Sterne mit grossem Lichtwechsel mögen folgende, die auf unserer Hemisphäre zu beobachten sind, angeführt werden:

<sup>1)</sup> Monthly Notices Roy. Astr. Soc. LXXI, 1, 1901 Jan. p. 101.

<sup>2)</sup> Harvard Circular No. 141, Astron. Herald No. 1266.

Bezeichnung und Sternzahl		$\alpha$ 1900	$\delta$ 1900	Klasse	Entdecker
18	1901	Vergara	12 <sup>h</sup> 30 <sup>m</sup> 30 <sup>s</sup>	—	L. D. Wells
19	1901	Störck	17 <sup>h</sup> 48 <sup>m</sup> 40 <sup>s</sup>	III	W. F. Fleming
20	1901	Cygnus 12	17 <sup>h</sup> 48 <sup>m</sup> 40 <sup>s</sup>	—	„
21	1901	Agassiz	18 <sup>h</sup> 20 <sup>m</sup> 40 <sup>s</sup>	III	„
22	1901	Neck	18 <sup>h</sup> 20 <sup>m</sup> 40 <sup>s</sup>	III	L. D. Wells
23	1901	Neck	18 <sup>h</sup> 20 <sup>m</sup> 40 <sup>s</sup>	III	W. F. Fleming
24	1901	Agassiz	18 <sup>h</sup> 20 <sup>m</sup> 40 <sup>s</sup>	III	„
25	1901	Agassiz	18 <sup>h</sup> 20 <sup>m</sup> 40 <sup>s</sup>	III	„
26	1901	Agassiz	18 <sup>h</sup> 20 <sup>m</sup> 40 <sup>s</sup>	III	„
27	1901	Agassiz	18 <sup>h</sup> 20 <sup>m</sup> 40 <sup>s</sup>	III	„
28	1901	Agassiz	18 <sup>h</sup> 20 <sup>m</sup> 40 <sup>s</sup>	III	„
29	1901	Agassiz	18 <sup>h</sup> 20 <sup>m</sup> 40 <sup>s</sup>	III	„
30	1901	Agassiz	18 <sup>h</sup> 20 <sup>m</sup> 40 <sup>s</sup>	III	„
31	1901	Agassiz	18 <sup>h</sup> 20 <sup>m</sup> 40 <sup>s</sup>	III	„
32	1901	Agassiz	18 <sup>h</sup> 20 <sup>m</sup> 40 <sup>s</sup>	III	„
33	1901	Agassiz	18 <sup>h</sup> 20 <sup>m</sup> 40 <sup>s</sup>	III	„
34	1901	Agassiz	18 <sup>h</sup> 20 <sup>m</sup> 40 <sup>s</sup>	III	„
35	1901	Agassiz	18 <sup>h</sup> 20 <sup>m</sup> 40 <sup>s</sup>	III	„
36	1901	Agassiz	18 <sup>h</sup> 20 <sup>m</sup> 40 <sup>s</sup>	III	„
37	1901	Agassiz	18 <sup>h</sup> 20 <sup>m</sup> 40 <sup>s</sup>	III	„
38	1901	Agassiz	18 <sup>h</sup> 20 <sup>m</sup> 40 <sup>s</sup>	III	„
39	1901	Agassiz	18 <sup>h</sup> 20 <sup>m</sup> 40 <sup>s</sup>	III	„
40	1901	Agassiz	18 <sup>h</sup> 20 <sup>m</sup> 40 <sup>s</sup>	III	„
41	1901	Agassiz	18 <sup>h</sup> 20 <sup>m</sup> 40 <sup>s</sup>	III	„
42	1901	Agassiz	18 <sup>h</sup> 20 <sup>m</sup> 40 <sup>s</sup>	III	„

Vom Stern  $\alpha$  mit sehr geringer Veränderlichkeit mögen folgende angeführt werden:

Bezeichnung und Sternzahl		$\alpha$ 1900	$\delta$ 1900	Klasse	Entdecker
43	1901	Encke	7 <sup>h</sup> 45 <sup>m</sup> 40 <sup>s</sup>	—	W. F. Fleming
44	1901	Lucif. majada	7 <sup>h</sup> 34 <sup>m</sup>	—	„
45	1901	Lucif.	7 <sup>h</sup> 30 <sup>m</sup> 40 <sup>s</sup>	+	„
46	1901	Hydrae	8 <sup>h</sup> 20 <sup>m</sup>	—	„
47	1901	Hydrae	8 <sup>h</sup> 24 <sup>m</sup> 0 <sup>s</sup>	—	„
48	1901	Vergara	12 <sup>h</sup> 30 <sup>m</sup> 30 <sup>s</sup>	—	„
49	1901	Vergara	12 <sup>h</sup> 30 <sup>m</sup> 30 <sup>s</sup>	—	„
50	1901	Agassiz	18 <sup>h</sup> 20 <sup>m</sup> 40 <sup>s</sup>	—	„
51	1901	Agassiz	18 <sup>h</sup> 20 <sup>m</sup> 40 <sup>s</sup>	—	„
52	1901	Agassiz	18 <sup>h</sup> 20 <sup>m</sup> 40 <sup>s</sup>	—	„
53	1901	Agassiz	18 <sup>h</sup> 20 <sup>m</sup> 40 <sup>s</sup>	—	„
54	1901	Agassiz	18 <sup>h</sup> 20 <sup>m</sup> 40 <sup>s</sup>	—	„
55	1901	Agassiz	18 <sup>h</sup> 20 <sup>m</sup> 40 <sup>s</sup>	—	„
56	1901	Agassiz	18 <sup>h</sup> 20 <sup>m</sup> 40 <sup>s</sup>	—	„
57	1901	Campepe	21 <sup>h</sup> 40 <sup>m</sup>	+	„

Von einem dieser Sterne gibt Prof. E. Pickering die photographischen Helligkeiten (Größen), sowohl als als Maximum und Minimum auf den Photographien anzuzeigen. Es sind folgende:

Bezeichnung	Max.	Min.
H 1901	1.2	6.1
32 1901	3.7	9.8
30 1901	3.5	9.1
34 1901	1.3	6.3

Der Stern 32 1901 ist  $\gamma$  Campepe, sein Spektrum gleicht sehr demjenigen des  $\beta$  Typus.

Das Nova Aquilae 1899, welche im Jahre 1900 auf Cambridge Photographen von M<sup>r</sup>. Fleming entdeckt wurde, ist bisher noch nicht genauer nach ihrem spektroskopischen Verhalten geschildert worden. Jetzt geht man

Prof. E. Pickering möge weitere Mitteilungen darüber<sup>1)</sup> Der Ort des Sterns ist für 1900  $\alpha$  18<sup>h</sup> 25.3<sup>m</sup>  $\delta$  — 0<sup>o</sup> 19'. Der Stern sieht auf Platten, deren 1. November 1899 und früher aufgenommen wurden und welche bei 13 Graden enthalten. Am 20. April 1899 erscheint er dagegen als Stern 7. Größe und am 21. Oktober 1899 war er bereits 10 Größe. Im Juli 1900, nachdem er entdeckt worden, war er noch 12 Größe. In diesem Spektrum zeigen sich 1899 Juli  $\beta$  7 breite Linien H  $\epsilon$ , H  $\delta$ , H  $\gamma$ , H  $\delta$ , H  $\gamma$  4693, H  $\beta$  und die Nebellinie 6800. Auf einer Aufnahme vom 7. Septbr. 1900 waren dagegen H  $\gamma$  und eine etwas schwächere Linie, wahrscheinlich von der Wellenlänge 6919, die stärksten

<sup>1)</sup> Harvard Circular No. 58.

sicheren hellen Linien. Am 21. October 1868 war H $\gamma$  und 3803 allem sichtbar und hell, sodass das Spektrum demjenigen eines gelbweissen Nebel-Beckes gleich.

Auf der Lieb-Sternwarte wurde das sichtbar Spektrum dieser Flocke von Campbell und Wright am 21. August 1869 mit einem einfachen Prismen-Spektroskop am 16-Zoller beobachtet. Es erschien als ein äußerst schwaches Licht im Oran und aussen zeigte es 3 helle Banden in dem Probenen der Hauptserien. Die Intensitäten dieser Banden errechnen sich ziemlich in demselben Verhältnisse zu stehen wie bei den Nebelspektren. Diese Banden waren nicht unerschrocken, sondern sehr breit, vielleicht doppelt so breit als die Banden in dem Nebelspektrum der Nova Aurigae im August 1862.<sup>3)</sup>

Ein merkwürdiger Haufen von Nebelflocken. Prof. Wolf in Heidelberg teilt folgendes mit.<sup>4)</sup> „Auf dem mit dem Breco-Teleskop genommenen Aufnahme vom 24. März dieses Jahres, welche die Umgebung von  $\beta$  Comae Berenices darstellt, findet sich eine sehr interessante Gegend des Himmels. Um die Stelle

$$\alpha = 12^{\text{h}} 52^{\text{m}} 48^{\text{s}}$$

$$\delta = + 26^{\circ} 42' (1855-6)$$

stehen nämlich zahlreiche kleine Nebel-

Becke so dicht beisammen, dass man beim Anblick der Gegend Mischel über das merkwürdigste ausserdem Nebelhaufen-ensemble. Ich habe die Anzahl der Nebel in einem Kreis von 30 Durchmesser um die angegebene Stelle bestimmt und finde, dass mindestens 104 Nebelflocken auf dieser Fläche benutzbar sind, also auf einer Fläche etwa von der Größe des Vollmondes. Darunter sind aber sehr viel größere ungedehnte und ovalverdrichtete Nebel, sowie mehrere kugelförmige. Die weitaus meisten haben aber runde Form und sind klein.“

Ein neuer Komet in Zeitungsberichten zufolge am 23. April in Sibirien von einem Amateur-Astronomen entdeckt worden. Früher er eine südliche Bewegung hat, klamm er im Mai zur Sonnenmitte am Morgenhimmel sichtbar werden.

Forschere der Freunde der Himmelsbeobachtung. Aus dem Leserkreis des „Brisis“ sind mir mehrere grosser und kleiner, sehr gut erhaltene Fernrohre zum Verkauf angeboten worden. Freunden der Himmelsbeobachtung, welche die Anschaffung eines solchen Instrumente beabsichtigen und sich darüber zu nach wenden, bin ich zu jeder gewünschten Auskunft bereit. Dr Klein

<sup>3)</sup> Astrophys. Journal 511, No 4, p. 261  
<sup>4)</sup> Astron. Nachr. No. 3768.

## Astronomischer Kalender für den Monat Juli 1901.

		Sonne			Mond			
		Mittlere Berliner Zeit.			Mittlere Berliner Zeit.			
Juli	Uhr	Rekt.	Declination		Rekt.	Declination		Mond im Meridian
		h m s	° ' "	h m s	° ' "	h m s	° ' "	
1	+	0 27 58	0 35 49 50	+22 3 54	19 58 37 11	-20 1 28 8	15 5 1	
2		0 29 07	0 43 48 74	22 3 59	19 58 38 58	-20 14 10 9	15 57 2	
3		0 30 15	0 51 47 86	22 4 07 4	19 58 40 79	-20 27 50 1	16 57 5	
4		0 31 23	0 59 47 00	22 44 07 9	19 57 42 90	-20 41 31 0	16 57 7	
5		0 32 30	1 07 46 20	22 44 16 9	19 57 44 00	-20 55 12 2	16 57 9	
6		0 33 37	1 15 45 70	22 43 30 0	19 57 46 11	-21 8 43 2	16 57 9	
7		0 34 44	1 23 44 50	22 42 38 0	19 57 48 22	-21 22 14 0	16 57 9	
8		0 35 50	1 31 44 50	22 41 41 0	19 57 50 33	-21 35 50 0	16 57 9	
9		0 36 56	1 39 44 50	22 40 39 0	19 57 52 44	-21 49 30 0	16 57 9	
10		0 38 01	1 47 44 50	22 39 32 0	19 57 54 55	-22 03 10 0	16 57 9	
11		0 39 06	1 55 44 50	22 38 20 0	19 57 57 06	-22 16 50 0	16 57 9	
12		0 40 11	2 03 44 50	22 37 03 0	19 57 59 17	-22 30 30 0	16 57 9	
13		0 41 16	2 11 44 50	22 35 81 0	19 58 01 28	-22 44 10 0	16 57 9	
14		0 42 21	2 19 44 50	22 33 74 0	19 58 03 39	-22 57 50 0	16 57 9	
15		0 43 26	2 27 44 50	22 32 61 0	19 58 05 50	-23 11 30 0	16 57 9	
16		0 44 31	2 35 44 50	22 31 44 0	19 58 08 01	-23 25 10 0	16 57 9	
17		0 45 36	2 43 44 50	22 30 22 0	19 58 10 12	-23 38 50 0	16 57 9	
18		0 46 41	2 51 44 50	22 28 95 0	19 58 12 23	-23 52 30 0	16 57 9	
19		0 47 46	2 59 44 50	22 26 83 0	19 58 14 34	-24 6 10 0	16 57 9	
20		0 48 51	3 07 44 50	22 24 66 0	19 58 16 45	-24 19 50 0	16 57 9	
21		0 49 56	3 15 44 50	22 22 44 0	19 58 18 56	-24 33 30 0	16 57 9	
22		0 51 01	3 23 44 50	22 21 17 0	19 58 21 07	-24 47 10 0	16 57 9	
23		0 52 06	3 31 44 50	22 19 55 0	19 58 23 18	-25 0 50 0	16 57 9	
24		0 53 11	3 39 44 50	22 18 28 0	19 58 25 29	-25 14 30 0	16 57 9	
25		0 54 16	3 47 44 50	22 16 56 0	19 58 27 40	-25 28 10 0	16 57 9	
26		0 55 21	3 55 44 50	22 15 19 0	19 58 29 51	-25 41 50 0	16 57 9	
27		0 56 26	4 03 44 50	22 13 47 0	19 58 32 02	-25 55 30 0	16 57 9	
28		0 57 31	4 11 44 50	22 12 10 0	19 58 34 13	-26 9 10 0	16 57 9	
29		0 58 36	4 19 44 50	22 10 38 0	19 58 36 24	-26 22 50 0	16 57 9	
30		0 59 41	4 27 44 50	22 9 11 0	19 58 38 35	-26 36 30 0	16 57 9	
31	+	0 27 58	0 35 49 50	+22 34 54	19 58 40 46	-26 50 10 0	16 57 9	

### Phaenomenologische Progn.

Juli	1	14 1/2	Jupiter in Konjunktion in Rektascension mit dem Monde.
"	1	19	Saturn in Konjunktion in Rektascension mit dem Monde.
"	4	9	Uranus in Opposition.
"	5	18	Venus in Opposition mit der Sonne.
"	28	1	Merkur in oberer Konjunktion mit der Sonne.
"	22	0	Merkur in Konjunktion in Rektascension mit dem Monde.
"	25	10	Jupiter in oberer Opposition in Rekt.
"	27	0	Venus in Konjunktion in Rektascension mit dem Monde.
"	27	0	Venus in oberer Opposition in Rektascension mit dem Monde.
"	28	0	Mars in Konjunktion in Rektascension mit dem Monde.
"	28	0	Merkur in oberer Opposition in Rektascension mit dem Monde.
"	29	12	Venus in Konj. in Rekt. mit dem Monde. (Schleifung.)
"	29	10	Jupiter in Konj. in Rekt. mit dem Monde. (Schleifung.)
"	30	11	Venus in Konj. in Rekt. mit u. Saturn. Venus 1° 1' rück.
"	30	11	Jupiter in Konjunktion in Rektascension mit dem Monde.
"	30	1	Saturn in Konjunktion in Rektascension mit dem Monde.

**Phasen-Epimerien.**

Mittlere Berliner Mittag					Mittlere Berliner Mittag								
Mittlere Berliner Mittag	Solstanzion			Dezilanzion		Oberer Meridian- durchg.	Mittlere Berliner Mittag	Solstanzion			Dezilanzion		Oberer Meridian- durchg.
	h	m	s	+	-	h m		h	m	s	+	-	h m
<b>1904</b>													
<b>Merkur.</b>													
Juli	0	3 44	45 35	+47 37	32 4	0 34	Juli	21	17 55	14 31	-27 38	11 43	
	30	3 33	37 37	37 7	32 3	0 33		25	16 37	9 35	-27 37	11 3	
	31	3 30	35 14	37 10	27 4	0 32		30	16 46	17 11	-27 35	11 28	
	32	3 0	32 17	37 30	20 7	0 31							
	33	3 7	28 38	38 10	11 3	0 30							
	34	3 23	23 31	+38 23	34 3	0 29							
<b>Venus.</b>													
Juli	1	0 31	17 30	+35 38	37 4	0 28							
	20	0 20	47 30	33 7	27 4	0 28							
	21	0 1	47 30	30 20	20 3	0 28							
	22	0 24	30 30	30 30	14 4	0 28							
	23	0 35	25 14	31 21	7 4	0 28							
	24	0 34	20 10	+32 26	12 3	0 28							
<b>Mars.</b>													
Juli	1	1 33	48 40 1/2	+3 35	30 4	0 30							
	20	1 23	47 30	3 0	24 7	0 29							
	21	1 17	37 30	— 0	17 4	0 29							
	22	1 14	34 30	1 30	10 3	0 29							
	23	1 22	33 30	3 30	3 3	0 29							
	24	1 31	33 30	— 0	26 3	0 29							
<b>Jupiter.</b>													
Juli	20	20 37	41 30	-30 14	38 3	11 30							
	22	20 33	3 10	30 30	4 4	10 30							
	24	20 30	36 30	-30 22	30 3	9 31							
<b>Mercurium 1891</b>													
h m													
Juli	1	1 10	14 3	Vollmond									
	4	1 10	12 3	Letztes Viertel.									
	11	1 11	9 3	Neumond									
	18	1 0	12 3	Erstes Viertel.									
	25	10 20	23 3	Vollmond									
	31	11 17	—	Mond im Erdraum.									
	31	11 20	—	Mond im Erdraum.									

**Sonnenbedeckungen durch den Mond für Berlin 1901.**

Datum	Name	Ort	Anzahl minuter Zeit		Anzahl minuter Zeit	
			h	m	h	m
Juli 20	12 Sagittarij	10	11	10	10	10 1/2
" 30	"	10	0	27 4	11	24

Lage und Größe des Sonnenrings nach Beerly

Juli 20. Grösse Achse des Ringes 4730", kleine Achse 2737"  
 Erleuchtungswinkel der Lich über der Ringebene 10° 34' oberl.

Juli 31. Mittlere Breite der Sonne 32° 37' 30 1/2"  
 Scheitelpunkt " " 32° 27' 30 1/2"  
 Durchmesser der Sonne 31' 40 1/2"  
 Parallaxe " " 34 1/2"



**Stellungen der Jupitermonde im Juli 1901.**



Stellungen um 10<sup>h</sup> Me des Abends im astronomischen Fernrohr.

Tag	West			Ost		
1	4	5	0 -3	1		
2	7		0 -1	2		
3	4		0 -1	2		
4	2	3	0			
5	2	4	0 -1	1		
6		2	0 -1			
7			0 -1	1		
8		3	0	2		10
9		4	0	2	4	
10			0 -1 -2	1	4	
11		2	0			
12	1	4	0	2	1	
13		2	0 -1	1	2	
14			0 -1	1	2	
15		2	0	1	2	10
16	1	3	0	2		
17	2		0 -1	1	2	
18	3	2	0 -1			
19	4	2	0	1		
20		2	0			10
21		4	0	1	2	
22			0 -1	1		
23		2	0	1	2	
24		4	0	1	2	10
25			0 -1	1		
26		2	0	1	2	
27		4	0	1	2	10
28			0 -1	1	2	
29		2	0	1	2	10
30			0 -1	1	2	
31			0 -1	1	2	10

**Errechnungen der Jupitermonde.** Die sündlichen Angaben über die Errechnungen der Jupitermonde beziehen sich auf mittlere Zeit von Greenwich. Die Tabellen sind der Selbstthätigkeit ihres Ablesers von Jupiter nach auf 1 bis IV bezogen. Die vier größten Figuren zeigen die Stellung jedes Mondes mit Bezug auf den Jupiter für den Augenblick der Verfahrnung III oder des Wiedereintrittens IV bei  $\epsilon$  nicht angegeben, zu dem der Austritt aus dem Schatten nicht beobachtet werden. Ferner bezeichnen die nachfolgenden Zeilen:

- Er D den Verfahrnort des Trabantens im Schatten des Jupiter.
- Er E den Austritt des Trabanten aus dem Schatten des Jupiter
- Ge D den Verfahrnort des Trabanten hinter der Jupiterschibe
- Ge E den Wiedereintritt desselben hinter der Jupiterschibe
- Tr I den Eintritt des Trabanten vor der Jupiterschibe
- Tr E den Austritt des Trabanten aus der Jupiterschibe
- St I den Eintritt des Trabantenschattens auf die Jupiterschibe
- St E den Austritt des Trabantenschattens aus der Jupiterschibe.

Es sind nur diejenigen Errechnungen der Jupitermonde aufgeführt, welche sich ereignen wenn Jupiter zu Greenwich über und der Sonne unter dem Horizont steht. Da die Elemente dieser Errechnungen nach mittlernepocheu Zeit zu stehen, hat man zur scheinbar zu den angegebenen Zeitpunkten zu addiren:

Juli 2. I Oc. E. 17<sup>h</sup> 47<sup>m</sup>. Juli 2. II Oc. D. 16<sup>h</sup> 20<sup>m</sup>. Juli 2. III Tr. I. 12<sup>h</sup> 14<sup>m</sup>. III St. I. 12<sup>h</sup> 11<sup>m</sup>. III Tr. E. 16<sup>h</sup> 17<sup>m</sup>. III St. E. 16<sup>h</sup> 20<sup>m</sup>. Juli 4. I Tr. I. 17<sup>h</sup> 30<sup>m</sup>. II St. I. 17<sup>h</sup> 28<sup>m</sup>. II Tr. E. 17<sup>h</sup> 31<sup>m</sup>. II St. E. 17<sup>h</sup> 30<sup>m</sup>. Juli 5. I Tr. I. 22<sup>h</sup> 40<sup>m</sup>. I St. I. 22<sup>h</sup> 38<sup>m</sup>. I Tr. E. 22<sup>h</sup> 41<sup>m</sup>. I St. E. 22<sup>h</sup> 40<sup>m</sup>. Juli 6. I Oc. D. 17<sup>h</sup> 17<sup>m</sup>. I Ec. E. 17<sup>h</sup> 16<sup>m</sup> 24<sup>s</sup>. Juli 6. I Tr. E. 17<sup>h</sup> 17<sup>m</sup>. II St. E. 17<sup>h</sup> 16<sup>m</sup>. Juli 10. II Tr. I. 24<sup>h</sup> 00<sup>m</sup>. Juli 11. II Tr. I. 11<sup>h</sup> 17<sup>m</sup>. II St. I. 10<sup>h</sup> 10<sup>m</sup>. II Tr. E. 24<sup>h</sup> 00<sup>m</sup>. II St. E. 24<sup>h</sup> 00<sup>m</sup>. Juli 12. II Ec. E. 17<sup>h</sup> 16<sup>m</sup> 24<sup>s</sup>. Juli 14. III Ec. E. 17<sup>h</sup> 16<sup>m</sup> 24<sup>s</sup>. I Tr. I. 17<sup>h</sup> 17<sup>m</sup>. I St. I. 17<sup>h</sup> 16<sup>m</sup>. I Tr. E. 17<sup>h</sup> 17<sup>m</sup>. I St. E. 17<sup>h</sup> 16<sup>m</sup>. Juli 16. I Oc. D. 17<sup>h</sup> 17<sup>m</sup>. I Ec. E. 17<sup>h</sup> 16<sup>m</sup> 24<sup>s</sup>. Juli 16. I St. I. 17<sup>h</sup> 16<sup>m</sup>. I Tr. E. 17<sup>h</sup> 17<sup>m</sup>. I St. E. 17<sup>h</sup> 16<sup>m</sup>. Juli 18. I Oc. D. 17<sup>h</sup> 17<sup>m</sup>. I Ec. E. 17<sup>h</sup> 16<sup>m</sup> 24<sup>s</sup>. Juli 18. I Tr. I. 17<sup>h</sup> 17<sup>m</sup>. I St. I. 17<sup>h</sup> 16<sup>m</sup>. I Tr. E. 17<sup>h</sup> 17<sup>m</sup>. I St. E. 17<sup>h</sup> 16<sup>m</sup>. Juli 20. II Oc. D. 17<sup>h</sup> 17<sup>m</sup>. II Ec. E. 17<sup>h</sup> 16<sup>m</sup> 24<sup>s</sup>. Juli 20. II Tr. I. 17<sup>h</sup> 17<sup>m</sup>. II St. I. 17<sup>h</sup> 16<sup>m</sup>. II Tr. E. 17<sup>h</sup> 17<sup>m</sup>. II St. E. 17<sup>h</sup> 16<sup>m</sup>. Juli 22. III Oc. D. 17<sup>h</sup> 17<sup>m</sup>. III Ec. E. 17<sup>h</sup> 16<sup>m</sup> 24<sup>s</sup>. Juli 22. III Tr. I. 17<sup>h</sup> 17<sup>m</sup>. III St. I. 17<sup>h</sup> 16<sup>m</sup>. III Tr. E. 17<sup>h</sup> 17<sup>m</sup>. III St. E. 17<sup>h</sup> 16<sup>m</sup>. Juli 24. I Oc. D. 17<sup>h</sup> 17<sup>m</sup>. I Ec. E. 17<sup>h</sup> 16<sup>m</sup> 24<sup>s</sup>.

### Stellungen der Saturnmonde. (Erklärung S. 26)

Zeitra der öffentlichen Einigkeit im Jahr 1873

**Ulysses.** Juli 1. 16<sup>h</sup> 1<sup>m</sup>, Juli 2. 16<sup>h</sup> 1<sup>m</sup>, Juli 3. 16<sup>h</sup> 1<sup>m</sup>, Juli 4. 16<sup>h</sup> 1<sup>m</sup>, Juli 5. 16<sup>h</sup> 1<sup>m</sup>, Juli 10. 16<sup>h</sup> 1<sup>m</sup>, Juli 11. 16<sup>h</sup> 1<sup>m</sup>, Juli 12. 16<sup>h</sup> 1<sup>m</sup>, Juli 13. 16<sup>h</sup> 1<sup>m</sup>, Juli 14. 16<sup>h</sup> 1<sup>m</sup>, Juli 15. 16<sup>h</sup> 1<sup>m</sup>, Juli 16. 16<sup>h</sup> 1<sup>m</sup>, Juli 17. 16<sup>h</sup> 1<sup>m</sup>, Juli 18. 16<sup>h</sup> 1<sup>m</sup>, Juli 19. 16<sup>h</sup> 1<sup>m</sup>, Juli 20. 16<sup>h</sup> 1<sup>m</sup>, Juli 21. 16<sup>h</sup> 1<sup>m</sup>.

**Phoebe.** Juli 1. 16<sup>h</sup> 1<sup>m</sup>, Juli 2. 16<sup>h</sup> 1<sup>m</sup>, Juli 3. 16<sup>h</sup> 1<sup>m</sup>, Juli 4. 16<sup>h</sup> 1<sup>m</sup>, Juli 5. 16<sup>h</sup> 1<sup>m</sup>, Juli 10. 16<sup>h</sup> 1<sup>m</sup>, Juli 11. 16<sup>h</sup> 1<sup>m</sup>, Juli 12. 16<sup>h</sup> 1<sup>m</sup>, Juli 13. 16<sup>h</sup> 1<sup>m</sup>, Juli 14. 16<sup>h</sup> 1<sup>m</sup>, Juli 15. 16<sup>h</sup> 1<sup>m</sup>, Juli 16. 16<sup>h</sup> 1<sup>m</sup>, Juli 17. 16<sup>h</sup> 1<sup>m</sup>, Juli 18. 16<sup>h</sup> 1<sup>m</sup>, Juli 19. 16<sup>h</sup> 1<sup>m</sup>, Juli 20. 16<sup>h</sup> 1<sup>m</sup>, Juli 21. 16<sup>h</sup> 1<sup>m</sup>.

**Enceladus.** Juli 1. 16<sup>h</sup> 1<sup>m</sup>, Juli 2. 16<sup>h</sup> 1<sup>m</sup>, Juli 3. 16<sup>h</sup> 1<sup>m</sup>, Juli 4. 16<sup>h</sup> 1<sup>m</sup>, Juli 5. 16<sup>h</sup> 1<sup>m</sup>, Juli 10. 16<sup>h</sup> 1<sup>m</sup>, Juli 11. 16<sup>h</sup> 1<sup>m</sup>, Juli 12. 16<sup>h</sup> 1<sup>m</sup>, Juli 13. 16<sup>h</sup> 1<sup>m</sup>, Juli 14. 16<sup>h</sup> 1<sup>m</sup>, Juli 15. 16<sup>h</sup> 1<sup>m</sup>, Juli 16. 16<sup>h</sup> 1<sup>m</sup>, Juli 17. 16<sup>h</sup> 1<sup>m</sup>, Juli 18. 16<sup>h</sup> 1<sup>m</sup>, Juli 19. 16<sup>h</sup> 1<sup>m</sup>, Juli 20. 16<sup>h</sup> 1<sup>m</sup>, Juli 21. 16<sup>h</sup> 1<sup>m</sup>.

**Tethys.** Juli 1. 16<sup>h</sup> 1<sup>m</sup>, Juli 2. 16<sup>h</sup> 1<sup>m</sup>, Juli 3. 16<sup>h</sup> 1<sup>m</sup>, Juli 4. 16<sup>h</sup> 1<sup>m</sup>, Juli 5. 16<sup>h</sup> 1<sup>m</sup>, Juli 10. 16<sup>h</sup> 1<sup>m</sup>, Juli 11. 16<sup>h</sup> 1<sup>m</sup>, Juli 12. 16<sup>h</sup> 1<sup>m</sup>, Juli 13. 16<sup>h</sup> 1<sup>m</sup>, Juli 14. 16<sup>h</sup> 1<sup>m</sup>, Juli 15. 16<sup>h</sup> 1<sup>m</sup>, Juli 16. 16<sup>h</sup> 1<sup>m</sup>, Juli 17. 16<sup>h</sup> 1<sup>m</sup>, Juli 18. 16<sup>h</sup> 1<sup>m</sup>, Juli 19. 16<sup>h</sup> 1<sup>m</sup>, Juli 20. 16<sup>h</sup> 1<sup>m</sup>, Juli 21. 16<sup>h</sup> 1<sup>m</sup>.

**Janus.** Juli 1. 16<sup>h</sup> 1<sup>m</sup>



Figure 10: Scatter plot showing data points on a grid. The x-axis is labeled from 1 to 10, and the y-axis is labeled from 1 to 10. The data points are scattered across the grid, with a notable concentration in the lower-left quadrant.

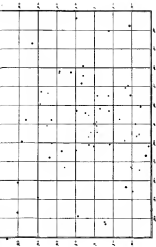


Fig. 1.

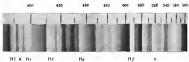


$H_{\beta}$  und die H $\alpha$ -Linie.

Fig. 2.



Fig. 3.



# SIRIUS.

Zeitschrift für populäre Astronomie.

Centralorgan für alle Freunde und Förderer der Himmelskunde.

Herausgegeben

unter Mitwirkung hervorragender Fachgelehrter und astronomischer Schriftsteller  
von Dr. Hermann J. Klein in Köln a/Rh.

Juni 1904.

„Wissen will Erkennen und die Freude will die  
Bewältigung der Schwierigkeiten.“ K. Weierstrass.

Jeden Monat 1 Heft. — Jährlich 12 Hef.

Verlag von EDUARD REINRICH WAYER in Leipzig.

**INHALT:** Die Nova im Perseus. III. Dänern Tafel S. 2, S. 121. — Die Erhaltung der Energie der Sonnenstrahlung. S. 123. — Messungen des Satens und seiner Ringe. S. 126. — Freiwagen der südlichen Hemisphäre. Von Heinrich FRIEDEL. S. 128. — Biologische Untersuchungen vererblicher Blinde. S. 132. — Die physikalisch bedingten optischen Eigenschaften Doppelsterne. S. 131. — Die Geschichte des Fortschritts. S. 133. — Venus der Mathematik. S. 137. — Astronomischer Kalender. S. 141. — Stellung der Japlanetze im August 1904. S. 142. — Untersuchungen der Japlanetze. S. 143. — Stellung der Saturnringe. S. 144.

## Die Nova im Perseus.

### II.

 Die X gibt eine Reproduktion des Spektrums der Nova nach den photographischen Aufnahmen von 40-tägigen Kurven-Nachrichten durch F. Ellermann. Die Nachrichten, welche den einzelnen Aufnahmen entsprechen, sind beigefügt, ebenso die Bezeichnungen der hellen Linien. Man erkennt unmittelbar, dass die Linie h, welche Anfangs sehr ausgeprägt war, Ende März ziemlich bei dem Verschwinden an Helligkeit abnimmt, ebenso ist die Calciumlinie K, die zuerst sehr hell war, völlig verschwunden. Die Linie H $\beta$  wandelt sich um und schwächer und die relativ Intensitäten ihrer Komponenten unterliegen merklichen Änderungen. Das im 26. März erhaltene Spektrum ist nach Ansicht des Prof. E. Hale in wesentlicher Hinsicht das interessanteste der Serie 1901. Tafel 6.

Es ist, wegen der charakteristischen Veränderungen im Aussehen verschiedener Wasserstofflinien und dem Hervortreten anderer, die früher ansatzlos erschienen Prof. E. Hale hebt noch besonders die durch die D-Linie hervor und das helle Band, auf welchem am Anfang präpariert erschienen. Dieses letztere hat sich nach und nach gegen Violet hin verschoben, sodass die beiden schwachen dunklen Linien, welche zuerst mitten auf dem hellen Band lagen, nacheinander an der weniger brechbaren Seite desselben erschienen. Die dunkle Linie an der brechbareren Seite des hellen Bandes hat einen viel breiteren aber schwächeren Band-Platz gezeigt, das sich gegen Violet hin verschob.<sup>1)</sup>

<sup>1)</sup> Astrophys. Journ. 1904, April, p. 228

Über seine spektroskopischen Untersuchungen dieses Sterns berichtet P. Sedgwick vom Stonyhurst College Observatorium. Hiernach hatten die hellen Wasserstofflinien bis zum 4. April ihren allgemeinen Charakter nicht verändert. Im März zeigten sie in der März Umkehrung und März März waren sie von zwei und bisweilen drei Linien von grünerer Helligkeit durchsetzt. Am 4. April zeigte die Bande H $\gamma$  eine Linie von hervorragender Helligkeit neben der Mitte gegen die rechte Seite im März 12 waren die dunklen Linien scharf und doppelt, die Komponenten gegen rechts im schwächeren, März 21 und 29 waren letztere verschwunden und nach dem 22. März erschienen auf dem Platze keine Neifen von dunklen Linien mehr. Die relative Veränderung beider Klassen von Linien ist sehr gross und P. Sedgwick hält sich überzeugt, dass die Lichtgabel, welche die hellen Wasserstofflinien erzeugt, verhaltenemäss stationär ist, die Lichtgabel, in der die dunklen Linien gehören, müsste dagegen, wenn man die Veränderungen dieses Linsen durch Bewegung nachstellen wollte, eine Geschwindigkeit besitzen, die so gross ist, um solche physikalische Ursachen angeben zu können. März 12 zeigte sich im Spektrum ein sehr helles gelbes Band, ebenso am 21. und 26. und das photographische Spektrum erschien unverändert. Dagegen war dasselbe März 27. vom gelben Typus wie am 21. und an den früheren Tagen, die blauen Banden waren durch ein stärkeres kontinuierliches Spektrum mehr maskiert und H $\gamma$  war von der gewöhnlichen Breite. Am 27. 29. und 30. war der Stern auch schwächer. April 4. zeigte sich dasselbe Spektrum wieder, wie am 21. März und die gelbe Bande wurde

als schwach notiert. Hiermit kann nach dem Beobachter von Zwickel sein, dass die Nova gleichartig verhaltenen im Ansehen ihres kontinuierlichen Spektrums und ihrer Helligkeit erheit, während die gelbige Radiation keine entsprechenden Änderungserfolge falls sie sich, wie zu erwarten, befindet, in dem eine wichtige Thatsache.

Auf dem Rückblicke Observatorium zu Oxford sind die Beobachtungen über die schwachen Helligkeit der Nova fortgesetzt und folgende Mittelwerte erhalten worden.<sup>1)</sup> bezogen auf die Grossenweite der Harvard-Photometrie:

März 8. 3.10 Grössen	März 16. 4.12 Grössen
+ 5.364 "	+ 21.296 "
+ 10.350 "	+ 28.400 "
+ 11.325 "	+ 30.414 "
+ 12.347 "	+ 31.440 "
+ 13.408 "	April 1. 4.12 "
+ 15.515 "	+ 4.408 "
+ 16.528 "	+ 5.428 "
+ 20.570 "	+ 6.540 "
+ 21.580 "	+ 7.560 "
+ 22.529 "	+ 8.490 "
+ 23.582 "	+ 9.512 "
+ 28.620 "	+ 10.521 "
+ 29.515 "	

Stoney Wilham hat<sup>2)</sup> auch Helligkeitsmessungen der Nova angestellt und folgende Grossen (auf die Harvard-Photometrie bezogen) erhalten: März 5 3.85, März 7 3.85, März 9 3.5, März 12 3.75, März 18 4.12, März 22 5.22, März 25 5.12, März 26 4.12, März 27 4.12, März 28 4.20, März 29 3.75, März 30 4.35, April 1 4.12, April 4 4.12. Auch Veränderungen der Farbe der Nova hat der Beobachter konstatiert, der Stern schwannte in dieser Beziehung zwischen Weiss und dem reinen Ton von Aldobran. Bei guter Luft stellte sich die Nova stets als scharf begrenzter Stern dar.

<sup>1)</sup> Monthly Notices Vol. LXI, April 1901, p. 268

<sup>2)</sup> u. s. O., p. 260  
<sup>3)</sup> u. s. O., p. 260.

## Die Erhaltung der Energie der Sonnenstrahlung.

Die Frage der Intensität der Energieabstrahlung der Sonne in den verschiedenen Entwicklungsphasen dieses Weltkörpers, ist eine sehr wichtige. Prof. J. Wähling hat neuerdings eine Untersuchung über die Erhaltung der Energie angestellt,<sup>1)</sup> aus der mit Festlegung des rein mathematischen Teiles des Hauptatzes die hier mitgeteilt werden soll.

Die Energiemenge, welche die Sonne durch Strahlung verliert, muss derselben aus anderen Energiequellen kontinuierlich ersetzt werden. Nimmt man nach Schuster<sup>2)</sup> für die Solarkonstante, d. h. für die Wärmemenge, welche ein Quadratmeter in der mittleren Entfernung der Sonne von der Erde, während einer Minute durch Strahlung empfängt, 4,8 Cal.-Kalorien an, so beträgt der Gesamtverlust während eines Jahres  $54 \times 10^{26}$  Gr.-Kalorien. Da dieser enorme Wärmeverlust, wie Schuster nachweist, bereits innerhalb historischer Zeiträume eine beträchtliche Verminderung der Sonnenstrahlung und eine so merkliche Abnahme der mittleren Temperatur an der Erdoberfläche hätte zur Folge haben müsste, dass die Änderung der klimatischen Verhältnisse der Beschichtung nicht entgegen wäre, so lässt sich die Richtigkeit der vorstehenden Behauptung nicht bezweifeln.

Von den verschiedenen Theorien, welche den Ersatz des Wärmeverlustes erklären sollen, blühte die von v. Helmholtz'stelle Theorie hervor, die einen mechanischen Ursprung der Wärme voraussetzt. Der von Laplace'schen Weltbildungstheorie folgende, entwickelt v. Helmholtz die Wärmeäquivalenz der beiden Verdichtung der Himmelskörper aus dem ursprünglichen Zustande unendlich geringer Dichtigkeit von den Gravitationskräften geleiteter Arbeit und gelangt dabei zu

Zahlenwerten, welche die Hälfte der Sonnenstrahlung vollkommen erklären. Helmholtz findet für die Temperatur  $T$  einer der beiden großen Wassermassen, welche sich von gegenseitiger Annäherung bei der Größe der Sonne im Zusammenhang hat, die Temperatur  $T = 25911,808^{\circ}$  C. Ferner folgt, dass eine Verengung des Sonnendurchmessers um  $\frac{1}{10000}$  oder 0,01% eine Temperaturerhöhung von  $2881^{\circ}$  bewirkt, so dass mit Rücksicht auf die Gemengtheit, und welche sich gegenwärtig der Sonnenoberfläche besonders hinsichtlich der Wärmeverteilung für diese Zeiträume von mehreren tausend Jahren geändert worden kann, eine die Veränderung des Durchmesser merklich wird. Bezüglich der wirklichen Temperatur der Sonne und der Änderungen der Sonnenstrahlung lässt sich über aus diesen Betrachtungen kein Schluss ziehen.

Zu einer Vorstellung über den Gang der Temperatur und der von der Sonne abstrahlenden Strahlung eines Weltkörpers gelangt man, von der v. Helmholtz'schen Theorie ausgehend, und durch Einführung der Zeit und des Wärmeverlustes in der Zeitkonstante. Dann führt die Betrachtung des ersten Hauptatzes der mechanischen Wärmelehre unmittelbar zu einer bemerkenswert einfachen Erklärung der „Wachstum“ der Sonnenstrahlung.

Prof. Wähling entwickelt nun mathematisch die Beziehungen zwischen Verdichtungsarbeit und Wärmeverlust und kommt für eine bereits weit fortgeschrittenen Epoche in der Entwicklung des Sonnenkörpers zu einem Ausdruck, der sich in folgendem Satz formulieren lässt:

„Der Wärmeverlust, welchen ein Weltkörper durch Strahlung in der Zeiteinheit erleidet, ist äquivalent der in derselben Zeit von den Gravitationskräften bei Verdichtung einer Masse geleisteten Arbeit.“

„Vorliegt man,“ sagt schließlich

<sup>1)</sup> Astron. Nachr. No. 3006.

<sup>2)</sup> Strahlung und Temperatur der Sonne. Leipzig 1897.



Prof. Wülfing, „die Entwicklung dieses Sterns vom Zustand leuchtender Verdichtung der Materie in Form unregelmäßiger Nebelmassen beginnend, so wird bei der Leuchtwand, mit der sich das Beobachtungsobjekt der Bewegung der Massen auch in diesem Zustande vollzieht, die Annahme, dass Entleerungen nicht eintritt, nur für die Entstehung der Entwicklungsperiode betrachtet werden, auch für die übrigen Epochen zutreffen und der Äquivalenz von Strahlung und Arbeit bezogen auf die Entleerung allgemeiner Gültigkeit bezeugt werden dürfen.“

Temperatur und Strahlung wachsen daher nur sehr langsam proportional der Zunahme der Verdichtungsstufe. Zunächst geht der Körper in den Typus I; der Vegetarische Entwicklungsstufe über, sich Spektrum zeigt nach hellem Linien, welche nach Schiefer auf die Vorhandensein einer ausgeprägten, über-

steigt nicht mehr wahrnehmbare Atmosphäre hinweisen. Im Typus I erreicht die Temperatur ihr Maximum und folglich auch die bei der Verdichtung der Materie in der Zentralen primären Arbeit. Da hier der Wendepunkt der Kurve liegt, ist diese Phase der Entwicklung von verhältnismäßig langer Dauer. Wenn die Entwicklung bis zum Typus II fortgeschritten ist, so hat die Temperatur und Arbeitsgröße bereits wieder stark abgenommen und leidet selbst sich noch weiter diesem konstanten Wert. In diesem Stadium, in welchem sich die Sonne befindet, werden daher Temperatur und Strahlung sich erst innerhalb sehr langer Zeiträume merklich ändern. Erstlich schiebt sich der Körper, durch den Typus III hindurchgehend, asymptotischem Zustande primärer Dehnbarkeit der Materie und einer Temperatur derjenigen des Weltmanns.

### Messungen des Saturn und seiner Ringe.

**D**ie frühesten Schätzungen der scheinbaren Größe des Saturn gehen bei Huygens zurück, der für die Saturnringe einen scheinbaren Durchmesser von 18" festsetzte, genauer nach die Messungen Bode's (1718), genau welches der scheinbare Durchmesser der Saturnringe 17,75", des Ringsystems 41,21" beträgt. Messungen, welche auf Genauigkeit Anspruch machen, lieferte jedoch erst 1826—28 F. W. Struve am 8-zölligen Doppelte Refraktor. Hiernach ist der mittlere scheinbare Äquatorial-Durchmesser des Saturn 13,691", der innere Durchmesser des Ringsystems 24,695", Bessel gab (1835) folgende Werte: Äquatorial-Durchmesser des Saturn 17,693", Polardurchmesser 11,380", innerer Durchmesser des Ringsystems (1835) 39,130". Von späteren Messungen sind besonders bemerkenswert diejenigen Küfers in Leiden (1872) Äquatorial-Durchmesser des Saturn

17,651", Durchmesser des Ringsystems 38,472". Die meisten anderen Beobachter fanden den Saturn und seinen Ring meist merklich größer, Bessel gab (1835) folgende Resultate: Äquatorial-Durchmesser des Saturn 17,748", Abplattung 1:11,44, innerer Durchmesser des Ringsystems 40,299".

In den Monaten April bis September 1890 hat Dr. J. J. See am 20-zölligen Refraktor der Washington-Beobachtungsstation nach den Saturn und sein Ringssystem sorgfältig vermessen. Leider machte der faule Stand des Planeten die Beobachtungen schwierig, doch waren die Bilder, unter Benutzung einer Glaslinse mit herborger Flüssigkeit vor dem Okular, welche das blaue Licht aus dem Roten des Planeten zum Verschwinden brachte, scharf. Das Ergebnis der Messungen ist für den scheinbaren Äquatorial-Durchmesser des Saturn 17,448" + 0,025" und unter Annahme der von F. Struve



mit dem in dieser Zeit stattfindenden hohen Stande des Apes auf der nördlichen Halbkugel.

Bei der Bearbeitung dieser fast vollständigen Zusammenstellung grosser Meteore (Feuerkugeln von Venusgrösse und darüber und Meteoriten, siehe Sternschnuppen, vgl. Stern 1908, S. 278) habe ich den Feuerkugeln der nördlichen Hemisphäre besonders Aufmerksamkeit gewidmet. Leider ist das Ergebnis wegen der geringen Anzahl der bekannt gewordenen Beobachtungen wenig befriedigend, gestützt jedoch nach der folgenden Gegenüberstellung der beiden Jahreszeiten des nördlichen Jahres insbesondere in Hinsicht auf grosser Meteore der nördlichen Hemisphäre im ersten Halbjahr. Die Beobachtungen setzen mit dem grossen Meteore vom 14. Mai 1683 in Chile an. Von diesem Tage ab sind im ganzen Feuerkugeln und Meteoriten gezählt im:

Januar	10
Februar	11
März	14
April	15
Mai	17
Juni	18
zusammen	95
Juli	10
August	10
September	9
Oktober	9
November	26
Dezember	19
zusammen	70

In der zweiten Jahreshälfte wies nur der Monat November eine grössere Anzahl von Feuerkugeln auf, sonst überwiegt die Zahl der Feuerkugeln in der ersten Jahreshälfte. Schwermeteoriten verfiel nur eine geringe Anzahl auf den Monat August.

Es dürfte von Interesse sein, diese Ergebnisse mit den Zählungen auf der nördlichen Hemisphäre gemachter Beobachtungen zu vergleichen.

Es wurden Feuerkugeln resp. Meteoriten vom 14. Mai 1683 ab gezählt.

Im Monat	Hemisphäre	
	nördliche	südliche
Januar	10	104
Februar	11	114
März	14	165
April	15	177
Mai	17	160
Juni	18	177
Juli	10	105
August	10	107
September	9	104
Oktober	9	105
November	26	225
Dezember	19	179

Vorstehende Übersicht zeigt vor allem recht deutlich, wie die Ergebnisse der beiden Jahreszeiten auf der nördlichen und auf der südlichen Hemisphäre, wie schon oben angedeutet, gerade im umgekehrten Verhältnisse zueinander stehen.

Nach Prozenten geordnet, stellen sich die Monate der nördlichen zur südlichen Hemisphäre wie folgt:

August	1.0	Februar	2.0
September	1.3	Januar	5.3
Oktober	1.4	März	7.4
Dezember	1.4	April	12.5
Juli	1.6	Mai	14.1
November	2.3	Juni	15.5

Diese Werte geben ein richtiges Bild und sprechen demnach für sich selbst.

Nach Prof. Heis' Zusammenstellung aus den Beobachtungen des Urb. bei Neumayer zeigt sich im Anschlusse der Sternschnuppen-Strömung auf der nördlichen Hemisphäre zwischen

Januar 28. und Februar 2.  
vom März 12. bis 15.  
März Mai,  
Anfang Juni,

zwischen Juli 28. und August 2.  
vom August 1. bis 2.  
Oktober 27.

zwischen December 15. und 28.

Nach Heis erschloß die Zeit vom 28. Juli bis 2. August die Epoche der Maximal-Frequenz der Sternschnuppen zu sein.

Hierzu sind die einzelnen Daten der seit 14. Mai 1863 auf der südlichen Erdhälfte beobachteten Feuerkugeln und Meteorstöße nach

Monaten und Tagen geordnet an, die Meteorstöße sind mit grossem Druck bezeichnet.

Januar	Februar	März	April	Mai	Juni
1. 1863	1. 1866	1. 1789	1. 1868	1. 1863	1. 1867
5. 1868	3. 1860	4. 1861	5. 1861	11. 1863	2. 1868
7. 1863	5. 1873	6. 1865	5. 1873	14. 1815	4. 1861
21. 1863	7. 1858	7. 1858	7. 1858	14. 1859	5. 1873
22. 1865	1. 1866	10. 1876	10. 1869	15. 1869	11. 1864
23. 1868	7. 1868	11. 1850	11. 1858	16. 1861	13. 1861
24. 1863	10. 1868	15. 1877	11. 1867	17. 1867*	14. 1865
25. 1869	10. 1858	17. 1867	13. 1864	17. 1867*	15. 1862
26. 1856	13. 1864	19. 1848	14. 1876	19. 1868	18. 1862
27. 1861	16. 1864	19. 1864	15. 1792	21. 1877	19. 1868
29. 1867	18. 1864	24. 1868	22. 1871	21. 1866	20. 1864
30. 1867*		21. 1862	24. 1858	24. 1851	22. 1873
30. 1867*		24. 1718	24. 1825	24. 1858	23. 1862
30. 1868		24. 1875	25. 1862	24. 1863	25. 1864
30. 1867		25. 1862	— 1862	25. 1864	26. 1860
30. 1868		— 1871		26. 1863	30. 1864
31. 1866				— 1848	30. 1863
— 1844					— 1877
— 1848					

Juli	August	September	Oktober	November	December
1. 1873	3. 1866	1. 1873	3. 1863	3. 1861	1. 1768
4. 1867*	5. 1860	3. 1858	5. 1863	4. 1823	4. 1864
4. 1867*	6. 1870	5. 1860	10. 1868	4. 1873	4. 1874
5. 1863	11. 1826	7. 1861	15. 1868	6. 1828	10. 1871
5. 1866	13. 1840	12. 1871	15. 1868	7. 1873	12. 1876
12. 1867	14. 1840	13. 1848	17. 1868	11. 1866	21. 1868
20. 1864	14. 1860	22. 1827	18. 1868	13. 1766	23. 1768
22. 1864	24. 1866	24. 1878	19. 1826	13. 1866	27. 1872
28. 1864	28. 1870		27. 1873	13. 1873	Ende 1861
28. 1868	— 1848			14. 1825	— 1873
				14. 1868	
				14. 1873*	
				14. 1873*	
				15. 1868	
				18. 1868	
				18. 1873	
				19. 1873	
				21. 1860	
				24. 1874	
				25. 1862	
				22. 1873*	
				23. 1873*	
				27. 1865	
				30. 1862	

\* Die bei gleichen Daten angegebenen Zeichen sind Andeutungen verschiedener Meteor.

Hieraus finden sich die Angaben von Neumayer in Bezug auf die meteorische Zeit vom 28. Januar bis 1. Febr. bestätigt. Im Februar zeichnen sich noch der 7. und 16. besonders durch glänzende Feuerkugeln, im März der 18. bis 21., im April der 6., 11., 14. und 26., im Mai die Tage vom 26. bis 27. Ebenso übereinstimmend mit Neumayers Beobachtungen (auch grosser Meteor) aus. Für Juni verteilen sich die beobachteten Feuerkugeln auf den ganzen Monat, doch scheint die Anschwellen des Stromes Ende dieses Monats stattzufinden. Der Juli macht sich durch einige Feuerkugeln am 4. und 5. bemerkbar. Der Monat August bringt auffälligerweise (auch nach dem Neumayer'schen Verzeichniss) am 10.

keine Fälle. Der 3. September ist durch 2 Feuerkugelercheinungen bemerkt. Gegenüber dem Föhn'schen gegenständlichen Augustperiode auf der südlichen Hemisphäre treten die Tage des 11. bis 15. November, wie auch der 22. Novbr., im Dezember nur der 16. besonders hervor.

Die von Föhn angegebene Epoche des Maximums vom 25. Juli bis 3. August findet sich in meinen obigen Aufzeichnungen auffälligerweise nicht bestätigt.

Schliesslich möchte noch darauf hinzuweisen sein, dass im Monat Mai auf der nördlichen Hemisphäre die meisten Meteorfälle vorkommen, während in der vorstehenden Nachweisung die wenigsten Fälle verzeichnet sind.

### Photographische Untersuchungen veränderlicher Sterne.

**E**or dieses Jahres hat Dr. Schwarzschild die Entdeckung gemacht, dass die photographische Helligkeitsveränderung von  $\gamma$  Aquilae nahezu doppelt so gross ist als die optische. (Hendrich vorkannt, hat Dr. Carl W. Wirtz seine photographisch-photometrischen Beobachtungen auf mehrere veränderliche Sterne ausgedehnt.) Die photographischen Aufnahmen zur Bestimmung der Helligkeit geschahen wie bei Dr. Schwarzschild so, dass die Sterne etwa ausserhalb des Brennpunktes des photographischen Fernrohrs aufgesammelt wurden. Dadurch erreichten die Sternstrahlen vergleicht.

Zunächst hat Dr. Wirtz den Veränderlichen  $\delta$  Capri beobachtet, bei dem er am grössten Orte den nachfolgenden Vorfall wie  $\gamma$  Aquilae vorkam. Als Vergleichsterne diente  $\epsilon$ ,  $\zeta$ ,  $\eta$  und ein Stern  $\delta 5$  Crisse,  $41'$  von  $\delta$  Capri

entfernt stehend. Die Aufnahmen geschahen bei einem Abstände der Platte von der Brennpunktlinie des Fernrohrs, die 11 mm betrug. Jeder Stern wurde auf der Platte in denselben drei Expositionszeiten belichtet, als solche kamen nämlich 41, 164, 264, dann 104, 214, 504, endlich 154, 304, 604 vor. Die Erleuchtung ständiger Aufnahmen einer Platte nahm etwa  $\frac{1}{2}$  Stunde in Anspruch. Über die weitere technische Behandlung der erhaltenen Beobachtungsaufnahmen ist auf die Originalabhandlung zu verweisen. Die photographisch-photographischen Messungen wurden dann auch der mit dem letzten Maximum der Helligkeit des Sternes verflochtenen Zeitfolge geordnet und auf diese Weise 62 Punkte der Lichtkurve des Veränderlichen bestimmt. Emergeth sich aus denselben, dass der Stern photographisch im Maximum 4 80, im Minimum 1-80 Crisse ist, die Amplitude der photographischen Lichtschwankung aber 1-25 Crisse betragt. Der

<sup>1)</sup> Bull. 1888, S. 76.

<sup>2)</sup> Annuaire Noct. No. 304—61.

Zeitstrecke zwischen Maximum und Minimum ist 14 10/24, bei einer Periodendauer von 54 24/48 = 27. Die Werte hat man weiter untersucht, wie sich der durch direkte Betrachtung erkennbare (optische) Lichtwert zu dem photographischen verhält und hierzu die Beobachtungen von Appelland, Schönfeld, Ockmann und Schur, sowie für die Messgrößen die Angaben der Harvard Photometry benutzte. Es ergibt sich als Maximum der Helligkeit von 8 Caphei 160, als Minimum 4 1/3 Größen, demnach die Amplitude der Helligkeitsänderung nur 56 2/3 Größenklassen. (Vergleichen mit der photographischen Größen, ergibt sich, dass dieselben im Minimum um 1,2<sup>m</sup>, im Maximum um 1,0<sup>m</sup> schwächer sind als die optische, und dass die photographische Lichtschwankung der optische beinahe gleichbedeutend ist, indem sich das Verhältnis

$$\frac{\text{Photogr. Ampl.}}{\text{Opt. Ampl.}} = \frac{1,25}{2,50} = 1/2 \text{ berechnet.}$$

In dem übrigen verhalten sich beide Kurven durchaus parallel. Einmal ist beim Pleuronsternebild vorhanden, sowohl Maximum wie Minimum treten zu dem aus den optisch abgetrennten Elementen bestimmten Zeitpunkte ein. Für das Minimum verläuft das oben weitere die Kurve, das Maximum aber folgt auf das Minimum nach

Appelland	14 10/24
Schönfeld	1 15/24
Ockmann	1 4/24
Schur	1 21/24
Mittel	1 12/24

während photographisch in Überdeckschwärzung damit gefangen wurde 14 10/24. Auch zwei mehr oder minder sichere sekundäre Anschwellungen der optischen Kurve deuten die photographische unverkennbar an. Das Nebenmaximum Appelland's bei 2 0/24 findet sich, allerdings stark abgeflacht, bei 10 1/24 unserer Kurve; Hahn's Schur's Beobachtungen wären ebenfalls bei 2 5/24

einen Buckel der Kurve nachfolgend, Schur zeichnet ihn aber nicht an. Ockmann's Schätzungen folgten das sekundäre Maximum nach 4 0/24, also kurz vor das Hauptmaximum, während mehr dabei, bei 4 1/24, nach die photographischen Aufnahmen einen zweiten Stillstand des Lichtes im absteigenden Ast zeigen.

Von dem Verleiderischen (Commeron) hat Dr. Witt zunächst nur sechs Aufnahmen erhalten, doch verliert sich dieselben recht glänzend über die ganze Periode des Lichtwechsels. Am demselben folgt für die photographische Helligkeit Maximum 4 0/24, Minimum 5 5/24, Amplitude 1 0/24 Größenklassen, Zeitstrecke zwischen Maximum und Minimum 5 1/24. Die Unterbrechung der optischen Beobachtungen durch Sternverfinsternisse als Hauptursache anzunehmen ist, sodass das Verhältnis der photographischen zu der optischen Lichtschwankung 1 7/24 beträgt. Dr. Witt bemerkt im Anschluss hierzu:

„Durch diesen Nachweis, dass, außer 9 Aquilon, auch die Verleiderische 8 Caphei und 2 Commeron eine photographische Amplitude besitzen, die ihrer optische erheblich übersteigt, tritt sich der charakteristischen Merkmalen der Variabeln von Aquilonen ein stark an. Die drei Sterne haben folgende Verhältniszahlen von photographischer zu optischer Amplitude:

Photogr. Ampl.	=
Opt. Ampl.	=
9 Aquilon	1 0
8 Caphei	2 1
2 Commeron	1 1

Dass es sich bei diesen unähnlichen einzigen binären Systemen handelt, lehnen schon unvollständig die spektroskopischen Messungen der Linienverschiebungen, vorseinerboth durch Batopolsky, der aus seinen Beobachtungen für das System 8 Caphei die Bahn ableitet.

$$P = 37.97$$

$$e = 30^{\circ}$$

$$r_1 = 31$$

$$r = 23$$

$$\text{mit } l = 10000 \text{ g. Meten.}$$

Durchgang durch Prisma 0.04 nach dem  
Maximum.

Gleicheils aus Seligpolkys Aufnahmen  
sind ich sodann nach der von Schwann-  
schield angegebenen Methode für 2 Ge-  
minoren die verhältnismäßig wenig  
excentrische Bahn

$$P = 37.46$$

$$e = 30^{\circ}$$

$$r = 23$$

$$\text{mit } l = 10000 \text{ g. Meten.}$$

Die Bestimmung der Phase der Bahn  
zu denen der Lichtschwächung lässt  
sich, wegen der Unsicherheit der  
Elemente der letzteren, nicht genau be-  
stimmen, dass aber auch hier, wie bei  
 $\eta$  Aquilae und  $\delta$  Cephei, eine Verschiebung  
der Epochen der Nullpunktverschiebung  
gegen die Epochen des Lichtmaximums  
vorhanden ist, ist sicher.

Spektr. für  $\delta$  Cephei bei A. W.  
Roberts aus Theorie der Erscheinungen  
entwickselt, die sowohl das optische  
wie die spektroskopische Beobachtungen  
deckt. Er nimmt an, dass mit der  
Annäherung des Begleiters zu excentri-  
scher Bahn zu der Hauptstern eine  
Erhitzung verbunden sein müsse, die  
den Stern nach hin zu einem mit nach  
dem Positivum strömendes Lichtmaxi-  
mum ansetzen lässt. Da mit dieser  
Erhitzung nach physikalischen Gesetzen  
eine Verlagerung des kontinuierlichen  
der Strahlung gegen das blaue, d. h. nach  
wärmere Ende des Spektrums ver-  
bunden ist, hat eine photographisch  
grünviolettendende chemische Linie  
sich. Erstmal aus die Erhitzungs-  
prozess durch Fluoreszenz, die in die  
Photosphäre der beiden stehende  
werden Körper beim Umlauf erzeugt  
werden, ist gelangt man zu demselben  
Resultat, vorausgesetzt nur, dass die  
Photosphäre ständiger Strahlen mehr  
absorbieren als optisch wirksame. Wahr-

scheinlich sind beide Ursachen, Er-  
hitzung und Gasemissionen, tätig,  
und durch geeignete Hypothesen über  
die Oxydation, über die Ver-  
spaltung des Gases der Fluores-  
zenz des Rückwärtiger der beiden  
Körper, wird man allen Erscheinungen  
befriedigend gerecht werden können.  
Wirkliche Oxydationen beobachtet man  
nur im Ausnahmefalle, z. B. bei  $\eta$  Aquilae,  
Sonnenscheibe.

Der geringere Excentricität bei 2  
Geminorum entspricht sowohl eine ge-  
ringere absolute Helligkeitsabnahme  
und eine regelmäßiger Lichtkurve, als  
auch ein geringeres Verhältnis von photo-  
graphischer und optischer Ausfläche,  
wechsamere im gleiche Verteilung des  
Sterns vielfach noch vorhanden sind.  
Am größten findet sich dieses Verhält-  
nis bei  $\delta$  Cephei: das Spektr. hat auch  
die größte Excentricität. Bei  $\eta$  Aquilae  
beträgt die Excentricität 0.14, liegt also  
zwischen der von 2 Geminorum und  
 $\delta$  Cephei, ebenso auch jenes Verhältnis,  
welches 1.5 ausmacht.

Ein analoges Verhalten von photo-  
graphischer und optischer Lichtvertheilung  
und mit größerer Wahrscheinlichkeit  
die Bestätigung nach für folgende  
Sterne vorhanden:  $\gamma$  Monocerotis (Ch.  
3379),  $\omega$  Geminorum,  $\omega$  Virginis  
(4805),  $\kappa$  Sagittae (3365),  $\gamma$  Cygnus  
(6404),  $\omega$  Sagittae (6472),  $\gamma$  Sagittae  
(6573),  $\iota$  Sagittae (6636),  $\iota$  Aquilae  
(6669),  $\delta$  Sagittae (7146),  $\kappa$  Cygni (7452),  
 $\gamma$  Vulpeculae (7483). Die beiden letz-  
ter Schwebel Sterns gehören zu dem  
Spektraltypus IIa nach Vogel, 2 Gemi-  
norum hat Draper-Catalogus, mit leichter  
Annäherung an IIIa, und weist eine  
dunkelgrüne Farbe auf, ihrer Vorder-  
kanten nach ähnlich wie, besonders  
 $\delta$  Cephei, in dem spektroskopischen von  
letzten Objektiv. Um man im Gegen-  
satz zur vorigen Gruppe auch einen  
Vertreter der unregelmäßigen Veränder-  
lichen photographisch zu untersuchen,  
wähle Dr. Wirtz den in dieser Hinsicht  
typischen Stern  $\alpha$  Herculis. Dem Spek-  
traltypus IIIa angehörend, besitzt er eine

stark rötliche Färbung; im Osthoff'schen Spektrum 86% welche der violetten Beobachtung grosse Schwierigkeiten in dem Weg legt, als Filterplatte für die photographischen Aufnahmen über natürlich wegläßt.

Die photographische Untersuchung betrafte genau den schon für  $\beta$  Capricornis angegebenen Weg. Als Vergleichssterne dienten  $\alpha$ ,  $\gamma$ ,  $\delta$  Capricornis und  $\beta$  Hirculus. Die Beobachtungen erstreckten sich auf die Zeit vom 11 Juli bis 6. Nov. 1909. Die aus der beobachteten Helligkeit bestimmte Lichtkurve ergab Maximum der photographischen Helligkeit für Sept. 11. und Oktober 16., Minimum für August 17. und Oktober 7., mit einer Amplitude der Lichtschwankung von 0.20 und 0.21 Grössenklassen. Das optische Verhalten des Sterns ist von Argelander, Schönfeld, Hess und Besselius untersucht worden. Letzterer hat als mehrere Objekte im Maximum 7.12, im Minimum 3.58, als mittlerer Schwankung des Lichtwechsels 0.27 Grössenklassen. Oft ist

der Lichtwechsel ganz unerwartlich. Es hat sich aus den obigen Beobachtungen von Dr. Witt über die Verhältnisse der photographischen Amplitude nur optischen nur aus gleichzeitigen Beobachtungen ergeben und auch dass bei der Höhe des Sterns und den damit zusammenhängenden physiologischen Bedingungen, nur mit grosser Vorsicht.

Dr. Witt hat auch das rötliche, ebenfalls zur Spektralklasse III gehörige Stern  $\beta$  Lyrae photographisch untersucht. Die Beobachtungen umfassen den Zeitraum 1899 August 10 bis Debr. 6, wo ersehen, dass dieser Stern während dessen keine regelmäßige richtige Lichtänderung zeigte, sondern unregelmäßig und bei Dunkelheit, was auch durch Quasarbeobachtungen während dieser Zeit bestätigt wurde. Man gewinnt, sagt Dr. Witt, den Eindruck, als ob der Stern eine Mittelstellung zwischen mehreren dem Aquila, Nix- und Orion-Typus sei, ohne dass man ihn einem derselben näher zuordnen könnte. Charaktereigenschaften von allen besitzt.

## Die gegenwärtig bekanntesten spektroskopischen Doppelsterne.

**D**ie mit Hilfe der Spektrologie erzielte Verfeinerung der Geschwindigkeit in der Richtung der Gesichtslinie zur Erde, welche mehrere Prokordas zeigen, wird bekanntlich darauf zurückgeführt, dass diese Sterne Systeme von Doppelsternen bilden, in welchen die Komponenten aus Ferrocyanid nicht trennbar sind. Sie verhalten sich als solche nur dadurch, dass infolge der entgegengegesetzten gerichteten Bewegung der Komponenten eines solchen Doppelsterns ein den gemeinsamen Schwerpunkt, die Linsen im Spektrum per-

stische Verschiebungen zeigen. Nach den Untersuchungen, welche besonders auf der Lick-Station erst hergestellt wurden, wird es wahrscheinlich, dass die Anzahl dieser spektroskopischen Doppelsterne sehr beträchtlich ist. Gegenwärtig kennt man bereits die besten Hundert derselben. H. F. Newell gibt die folgende Zusammenstellung der bis zum Schluss des Jahres 1909 bekannten Objekte ab (Newell, Art. 5)

<sup>1</sup> Monthly Notices Roy. Astr. Soc., Vol. LXI, No. 4, 1901 February, p. 291.



Gen.	Female	Embryo	Year of Discovery	Discoverer	Literature
<i>a. Virgata</i> . . .	1643 Tage	Vogel	1697	Exaltor Engler	A. N. 123, 205. Phil. Obs. v. 117.
<i>β. Ferax</i> . . .	—	"	1698	Versteck	A. N. 123, 209. Phil. Obs. v. 117.
<i>γ. Uva Majoris</i>	—	Fischering	1699	2 Weib. Storn	Ann. Journ. 50, 1123, 44.
<i>δ. Antiqua</i> . . .	—	May A. G. Meyer	1699	2 " "	88. Report of Geogr. Mus. v. 100.
<i>ε. Lyra</i> . . .	—	Fischering Hilpsholky	1699	Versteck	A. N. 124, 20
<i>ζ. Orissa</i> . . .	—	Vogel	1699	—	" 121, 120.
<i>η. Caprea</i> . . .	1675 Tage	Hilpsholky	1699	Versteck	Phil. Obs. v. 117
<i>α<sub>1</sub>. Sarcoph.</i> . . .	148 "	Baley	1699	2 Weib. Storn	A. N. 124, 209.
<i>γ. Pappi</i> . . .	1,111 "	Fischering	1699	Lande, 1000 Carl. O. G. 1699	" 149, 17
<i>η. Asper</i> . . .	1,176 "	Hilpsholky	1699	Versteck	" 165, 11, " 167, 107
<i>α<sub>2</sub>. Ombroscis</i>	1,09 "	"	1699	Schwacher Be- griffel & Caster	Ann. Journ. v. 202 Wright, Amerik. Journ. v. 59
<i>1. Tard</i> . . .	1,94 "	"	1697	Versteck	Ed. Acad. St. Peter 141
<i>2. Ombroscis</i> . . .	1,275 "	Hilpsholky Campbell	1699	—	Ann. Journ. v. 1, Man. Spec. Nat. 28 " " " 26.
<i>β. Capl</i> . . .	—	Stauffenberg	1699	—	A. N. 145, 201.
<i>γ. Pappi</i> . . .	2 $\frac{1}{2}$ Jahre	Campbell	1699	—	" 145, 120.
<i>α. Lucida</i> . . .	14 $\frac{1}{2}$ Tage	"	1699	In Rika Meyer's 1000 Insekten, v. 1, Sp. 123.	Ann. Journ. v. 11 201.
<i>γ. Storn</i> . . .	14 $\frac{1}{2}$ Monate	"	1699	—	Ann. Journ. v. 11, 205.
<i>δ. Uva Majoris</i>	2—7 Tage	Hilpsholky	1699	—	A. N. 145, 191. " 151, 20
<i>α. Pappi</i> . . .	—	Campbell	1699	—	Ann. Journ. v. 144 Hilpsholky, A. N. 154 121
<i>β. Dorsalis</i> . . .	—	"	1699	—	Ann. Journ. v. 121.
<i>α. Arctus</i> . . .	104 Tage	Campbell Wesell	1699	—	" " " 177 Monthly Weisk. M.A.S. v. 118.
<i>α. Libra</i> . . .	104 Tage	Campbell	1699	—	Ann. Journ. v. 179.
<i>β. Storn</i> . . .	—	"	1699	—	" " " 179
<i>γ. Asper</i> . . .	16,2 Tage	"	1699	—	" " " 179.
<i>α. Uva Majoris</i>	—	"	1699	—	" " " 179
<i>α. Storn</i> . . .	—	"	1699	—	" " " 181.

Sten	Flucht	Entdecker	Fluchtjahr	Bemerkungen	Literatur
a) Ulmas Meteor	1.20 Tage	Campbell	1870	—	Astron. Journ. v. 188 Proc. Astron. Journ. v. 1884 Bretschneider, A. M. 111, 189 Verh. Naturh. Verh. Jahrg. 1891.
β Capricorn	—	„	1870	In Ulmas Meteor's L. von Seyditz	Astron. Journ. v. 181
γ Capricorn	—	„	1870	—	„ „ „ 201
δ Capricorn	—	„	1870	—	„ „ „ 199
ε Capricorn	—	W. S. Adams	1860	—	„ „ „ 187 Wright, Astron. Journ. 184
10 Persei	—	Campbell	1860	—	Astron. Journ. 181
11 Ulmas Meteor	—	Wright	1860	Heile Kompensation von Perseus	„ „ „ 184
12 Leonis	—	Campbell	1860	—	„ „ „ 184
β Scuti	—	Wright	1860	—	„ „ „ 184
γ Scuti	—	„	1860	—	„ „ „ 184
112 Herminis	—	„	1860	—	„ „ „ 184
β Scuti	—	„	1860	—	„ „ „ 184
γ Andromedae	—	Campbell	1860	—	„ „ „ 184
α Pegasi	1. Tage	„	1860	Kompensation von Herminis Capricorn Dunkler Be- gleiter	„ „ „ 184
β Orionis	1.40 Tage	Delvaux Newell	1860 1860	—	C. R. 1860 Monthly Notices vol. 12 Verh. Naturh. Verh. Jahrg. 1861 p. 51

### Die Geschichte des Flastermeteorits.

 wurde bereits an dieser Stelle mitgeteilt, dass unter den Anwesenden der Preussischen Akademie der Wissenschaften in Berlin ein grosses wissenschaftliches Unternehmen zur Ausführung gelangt, welches die Sammlung und Ordnung aller von 1774 bis 1860 durch Mercurbeobachtungen erlangten Bestimmungen von Flastermetoren und die Herstellung eines Generalkataloges dieser Sterne für 1870 mit dem zur Übertragung auf andere Zeiten nötigen Angaben und mit den Eigen-

bemerkungen der Sterne, bewerkst. In der Festsitzung der Preussischen Akademie am 24. Januar d. J. hat Herr A. Auwers über die Vorgeschichte dieses Unternehmens einen ausführlichen Bericht erstattet, dem wir die Nachfolgende, auf vereinfachte Form gebracht, entnehmen:

«Die dringende Notwendigkeit und die hervorragende Nützlichkeit eines solchen Unternehmens brachte den Astronomen nicht wohl zumuteten zu werden. Sie haben deshalb seit

langer Zeit anerkunden und den üben die Ausfühbarkeit der Arbeit erweisen, in Berücksichtigung auf zugewilligte Klassen von Sternen auch mehrfach Versuche zur Ausführung gemacht, die trotz aller schätzbaren Uebersichtsworteilen reichen Dank der Beobachter und der Rechner eingetrufen haben. Insofern ist die Herstellung einer die wichtigsten Quellen erschöpfenden Sammlung und Vervollständigung der Bestimmungen für die erschaltene Zeit befreit an der ganzen Himmelsfläche vorhandenen Sterne das höchste Ziel gewesen, welches bis gegen die Ende des abgelaufenen Jahrhunderts irgend als erreichbar bezeichnet worden ist — wobergehende Wünsche anerkennen schon an die Wende des Jahrhunderts, der Fälle der in einer Vierteljahrhundert Einzelfeststellungen betriebsenden Material gegenüber korbtragenden. Um zu erschöpfender Klasse der Versuch zu schauen, dasselbe jetzt noch wieder zu wollen, nachdem innerhalb der Zeit der in Betracht kommenden Bestimmungen auf rund eine Million angewachsen ist, die zu rechtlich druckfertig verschiedenen Quellen zusammenfließen und sich auf rechtlich eine Vierteljahrhundert einzelner Objekte verteilt. Aber diese ungeheure Anschwellen des Materials und seine nachstehende Verarbeitung werden ein ordentliches Pflichtenverhältnis aus der Unmöglichkeit vorhandener Arbeitsverhältnisse Etwas zu thun, zu welcher die täglich an die Astronomie heranziehende Nothwendigkeit, für einzelne Sterne die Beobachtungsmaterial zu sammeln und zu verarbeiten, in ihrer Zusammenhanglosigkeit über den Augenblicksbedarf hinaus gleichschwebend, bei jedem neuen Anlauf auch für alle Zukunft immer wieder ebenso selbständig und zusammenhängend zu wiederholender Arbeit Anlass gibt, sodass aber ein dem deckenden möglichen Vortheil eines guten Theils der Früchte, welche eine nachvoll-

ständliche Arbeit gesammelt hat, vorbeugen, um die von denselben gewonnenen Beiträge zur Förderung ihrer eigentlichen Zweckbestimmung und wirklich auszuführen und für dieselbe in aller Vollständigkeit und für alle Dauer zu sichern. Der Zweck des Unternehmens ist, aus den fast schon als unerschöpfbaren Quellen entzogenen Bausteinen ein ausreichendes und fruchtbares Fundament für den Aufbau der Mechanik des Sternensystems herzustellen und für ein jedes Individuum seiner Individuen dessen eigene Geschäfte so vollständig als Güter für dieselbe gesammelt sind, in übersichtlicher Darstellung des kommenden Geschlechtern zu weiteren Stadien und zur Fortsetzung zu überliefern.

Die unvorhergesehene Erweiterung der Entschung des Privatforschers, welche in der zweiten Hälfte des neunzehnten Jahrhunderts durch die große von Angewandter, Schönfeld und Kraeger angeleitete Berliner Durchmusterungsarbeit und die weiteren auf dieselbe gegründeten Untersuchungen, sowie die gleichzeitigen Arbeiten Goussier auf der Säckelblatztel erfolgt worden ist, hat aber nicht ohne das Bewusstsein zu bewährter Material vertrieben und durch die Schwere der Arbeit vergrößert, sondern die bestehenden Arbeiten haben in mancher Hinsicht auch wiederum die der Aufgabe abhaltenden Schwereigkeiten vermehrt, und zugleich haben sie einen gewissen entgegenstehenden Abschluss in einem Teil unserer Herabgibt, zum andern ganz in die Höhe getrieben, sodass es gerade gegenwärtig sich zweckmäßig zeigt, eine erste, mit dem Anfang der Privatbestimmungen anhebende, Periode abzugrenzen und die innerhalb derselben gewonnenen Material zur Grundlage und zum Werkstoff weiterer Forschungen anzusetzen.

Bei solcher Sachlage hat das erste Ansehen in dem Unterrichten ein Schreiben des Dr. Friedrich Koenigspiegel vom 7. Mai 1867 an den hiesigen-berlinischen

Autonomie der Akademie gegeben Herr Rechenpart erläuterte in diesem Schreiben die Übersicht der massiven Zeit- und Kraftvergeudung, welche daraus entspringt, dass jeder Beobachter, der die Ergebnisse seiner Anschauungsbeobachtung festzulegen hat, und schließlich nochmals der Rechner, welcher die Beobachtung benutzen will, die Mittel für die Fortstellung des Orts der Aufnahmestelle mit aus dem Originalgenuss herauszureissen und die Einzelbestimmungen auf eine und dieselbe Ebene überführen muss.

Mit Übergang der privaten Verhandlungen, welche schliesslich zu der gegenwärtig angenommenen Ausdehnung der Arbeit führten, so war beizugehen, dass, wie Herr Anwin sagt: Dr. Rechenpart sich wohl noch daran erinnerte, die Ausführung derselben zu seiner Lebensaufgabe zu machen. Damit, ähnt Herr Anwin fort, «war die erste und hauptsächlichste der betriebliehen Besatz, welche bei der von grossen erteilten Angriff des grossen Projekts abgeschlossen hatten, es war der Anwin gewesen, welcher für die Dauer seiner ganzen Kraft und für die Vollendung der Ausführung oder Spezialisierung einer zur grösseren Hilfe mechanischen Arbeit von ungleichem Umfang in dem vorerwähnten des kommenden Geschlechts schlüssigen Masses der ungelösten Arbeit eine zureichende Schätzung und Entschädigung erhielt. Das andere Schwierigkeiten der statischen Beschaffung von Mitteln zur Ausführung und einer Sicherstellung der Durchführung, glückte der Berichtersteller im Vertrauen auf die Königlich Preussische Akademie der Wissenschaften und das ihr vorgesetzte Königlich Ministerium weit leichter nehmen zu dürfen und hat sich in diesem Vertrauen nicht getäuscht.

Besser jedoch der Plan des Unternehmens der Akademie unterbrochen wurde, haben noch mehrere Monate hindurch ringende allgemeine und

spezielle Erörterungen stattgefunden, die hinsichtlich des Gesamtplanes schliesslich zu dem Ergebnis führten, dass während der vollständigen Ausarbeitung des in der Periode 1750 bis 1900 durch Menschheitsbeobachtungen gesammelten und in Gestalt zahlloser Oerter veröffentlichten Materials ein Oberbestimmungs für Fortschritt als Programm hinzustellen.

Der Preussische Akademie hat Herr Rechenpart für das Rechnungsjahr 1896-1897 einen Antrag gestellt 1000 M., und schliesslich weiter für 1897 in gleicher Form 4700 M. bewilligt, wodurch derselbe in den Stand gesetzt worden ist, 1896 die Arbeit zu beginnen und mit dem gleichzeitigen und ununterbrochen unter seiner Spezialleitung, in hundertsten Entwürfen mit dem Berichterstatter, fortzusetzen zu lassen. «Der Zweihundertjährfeier der Akademie hat während des erhaltenden Anlauf gegeben, das Unternehmen als ein solches der Akademie, zu handeln. Durch den Ent für 1890 wurde ein Posten von 1200 M. als ständige jährliche Bezahlung einer «Geschichte des Fortschritts der — welcher Teil für das Unternehmen schliesslich zugewiesen worden ist — bis zu deren Vollendung für die Periode 1750 bis 1900 dem bisherigen Ent der Akademie zugewandt. Durch denselben Ent wurde eine Anzahl von Stellen «für wissenschaftliche Frauen der Akademie eröffnet, welche für diese grösseren Untersuchungen ange stellt werden sollten, und von denen Stellen gleichzeitig bis zur Vollendung der «Geschichte des Fortschritts der — diese eine zugewiesen. Für diese Stelle wurde Dr. Rechenpart von der physikalisch-mathematischen Klasse gewählt und hat sein Amt mit dem 1. Oktober 1890 angetreten. Zur Leitung des Unternehmens war eine akademische Kommission zu bestellen, welche durch Beschluss der Klasse vom 5. Juli 1890 aus dem Herren von Benck, Vogel und dem Berichterstatter zusammengesetzt wurde und Letzteren

ihre allgemeine Geschäftsführung übertragen hat. Aufgabe der Kommission und an erster Stelle des geschäftsführenden Mitgliedes ist die Fortsetzung der Geschichte des Fördervereins als einer akademischen Anstalt, die die Überwachung der Ausführung des allgemeinen Planes des Unternehmens und die Feststellung der speziellen Arbeitspläne für die einzelnen Abschnitte deselben, die Entscheidung aller im Verlauf der Ausführung noch sich ergebenden Fragen von geschäftlicher Bedeutung oder sonstiger geschäftlicher Wichtigkeit, die Ausarbeitung der speziellen Jahrespläne und der jährlichen Abschneemngen, die Entscheidung über alle Vorfälle und Schenkungen des Unternehmens. Dem für dieses ampostellen Beamten tritt die Verantwortung für die gehörige Ausführung des festgestellten Arbeitsplanes zu. Seine besondere Aufgabe ist die Anordnung, Befaufichtigung und Prüfung der Arbeiten der Geübten, die eigene Ausführung der gewisser Sachverhalte erforderlichen oder sonst vorzubehaltenden Teile der Arbeit, die Bekämpfung der Vordrängungen und die Durchführung des Druckes, die Befolgung der inneren Geschäftsführung und Korrespondenz, und insbesonde die durch Aufhebung der Jahres-Spezialpläne oder besondere Bedürfnisse der Kommission freigebliebenen Räume die Verfügung über die übernommenen Mittel zur Deckung der sämtlichen Unkosten und zum Engagement von Hilfskräften. Die Arbeit, welche in den drei Jahren 1898 bis 1900 ausgeführt worden ist und noch durch mehrere Jahre fortgesetzt wird, besteht in der Ausarbeitung der Statuten, in der Folge ihrer Epochen oder Äquivalenzen und ist hauptsächlich für den Zeitraum bis 1842 soweit ausgeführt, als die Bestimmungen im Geiste von Katalogen — oder sonstigen Zusammenstellungen vollständig nachdem Ort — vorliegen. Die Gesamtheit der für die Periode 1750—1842 ist Zeitlich eingetragenen

Orter befindet sich auf etwa 240000, dürfte sich aber durch Nachträge noch um etwa 10 Prozent steigern.

Herr Historiker hat die Arbeit bis jetzt in Kiel ausgeführt, wozu sich auch 150 Hilfsarbeiter oder seiner unmittelbaren Leitung beschäftigt gewesen sind, und hat bis zum 30. September 1900 ein Gefälle der Kater Steuerwerte nur die nach Erfüllung der Aufgaben dieser Stellung dem König blühende Arbeitszeit auf der bereits am dem 1. April 1900 nach formal akademische Unterbrechung verwenden können. Das diese für denselben frei bleibende Arbeitszeit nicht zu knapp bemessen worden ist, dafür und für ausgiebige Unterstützung mit den literarischen Hilfsmitteln der Kater Steuerwerte besteht die Akademie deren Direktor, Herr Professor Harter, Dank und anerkennend nicht, welchen bei gegenwärtigen Anlass durch ihre Kommission ausgesprochen. Zum 1. April d. J. wird die Arbeitsstätte nach Berlin verlegt werden.

Das Äquivalenz von 1875 ist gewählt worden, weil es dasjenige ist, auf welches die weichen geliebte Menge von Katalogisten bereits gestellt ist, und die Hilfsmittel zur Übergang für das Äquivalenz 1875 schon in jederwelt nicht entfernt vergleichbarer Vollständigkeit bereitgestellt vorliegen. Zugleich liegt 1875 der mittlere Epoche der Gesamtheit der zu bearbeitenden Beobachtungen zuzuführen.

Der betreffende Geschäftsvertrag gewährt eine wissenschaftliche Erforschung und Sicherung der täglichen akademischen Arbeit des zwanzigsten Jahrhunderts und eine wissenschaftliche Förderung allgemeiner Untersuchungen mit dem Geiste der Förderung. „Aber,“ sagt Herr Anwalt mit Bezug auf den zweiten Teil des Unternehmens, „als ein wirksames und unmittelbares Hilfsmittel des Fortschritts der Geschichtswissenschaft darstellt wird, eine Herausgabe kann nicht der Notwendigkeit übersehen, die Grundlagen, auf denen er beruht, vollständig und über-

nützlich Mineralogen und jeder künftige weiter darauf zu gründenden Arbeit unentbehrlich zugänglich zu lassen, für jede Zahl, die er enthält, geordnete Prüfung ihrer Abheilung ausführlicher und für spätere Durchsichtungen, zu denen es namentlich an mineralog. vorderlehrenden Anstalten leicht wird, volle Freiheit und bestmögliche Möglichkeit zu erhalten. Die übersichtliche und gelesenswerthe Fassung des Thatsächlichen die Sammlung der auf 1875 abgelaufenen Einzelbestimmungen für jeden Stein ist dasjenige, was sich detaillirt herstellen liess und ablesen schien. Was und wozu Verwendung für die Zeit behält, während jede demselben einmal gemachte Ablesung, so die nicht nur von Thatsächlichem ausgeht, dass am die Zeit unvermeidlich Einfluss ausüben wird. Der Umstand, dass die Drucklegung der die notdürftigsten Einzelbestimmungen enthaltenden Sammlung neben dem Generalkatalog die lediglich für Herausgabe des letzten erkrankten Heftes auf den vierfachen Betrag steigert wird, darf deshalb seiner Zeit der Erfüllung

der Forderung, dass aus der grossen Arbeit ein ablesendes Gesammt für die Wissenschaft dieser unverfälscht zu lassen zu lassen, nicht entgegenstehe.

Das grosse Unternehmen, zu dessen vollständiger und zu abschliessender Zeit speciellere Durchführung die Kommission auch mit freventliche Mitarbeiter rediret, besonders um die Nachbearbeitung dieser Sammlungen und die Bearbeitung wichtiger noch als Nationalität abhängiger Beobachtungsreihen zu übernehmen, wird für die kammern des Petrus die Grundsätze betonen, auf der die Untersuchungen über die Bewegungen der Fixsterne zurückzuführen müssen. Indessen soll nicht unterlassen werden, der Meinung Ausdruck zu geben, dass die Beziehung drosselns als «Geschichte des Fixsterne» eine recht passende ist, es handelt sich nicht um eine solche, absonderlich um eine Geschichte der Beobachtung der Fixsterne, sondern um einen Thesenplan politischem stellvertretend drosselns, mit vollständiger Mithilfe und Beistand aller Quellen, auf denen er beruht.

### Vermischte Nachrichten.

Das Element Gallium in der Sonnenatmosphäre. In der Gruppe der sogenannten Erdmetalle zeichnet sich das in einigen Zehntausenden sehr selten vorkommende Gallium durch ein typisches aus, welches aus 2 glänzenden violetten Linien besteht. Durch diese wurde das Gallium als besonders charakteristische Element auch zuerst erkannt. In den Abhandlungen der Königlich Preussischen Gesellschaft der Wissenschaften in Berlin haben kürzlich Herley und Rampe eine Arbeit über die Wellenlängen der Hauptlinien des Galliumspektrums veröffentlicht. Sie haben für die beiden hervorragenden Linien desselben die Wellenlängen  $\lambda = 4172,214$  und  $4033,125$  gefunden. Die entsprechenden Messungen

wurden an den angestrichelten (dunkeln) Linien ausgeführt, die das Fluoranthropenspektrum von Eisen befreit, welches einen starken Zusatz des beim Verbrennen von Galliumoxyd enthaltenen Rückstandes enthält. Das genannte Forscher, welche früher schon den Nachweis geliefert haben, dass das Gallium eben genau in der Erde ist, in den Aschen und dem Staub der vulkanischen Neweinstöße und des Kometen sich findet und auch mit Nickel und Kobalt vorkommt im Eisenmeteoriten auftritt, finden jetzt, dass es auch in der Sonne vorhanden ist. Im Sonnenspektrum finden sich nämlich zwei starke Linien, deren Wellenlängen sind  $\lambda = 4172,122$  und  $4033,112$ . Herley

und Farbe gleichen, dass diese Lagen mit denjenigen des Gelliums identisch sind. Allerdings dürfte die Menge des Gelliums in der Sonne im Verhältnis zu ihrer Entzerrung eine geringe sein, indem dem Sonnenspektrum aus beiden das Flammenspektrum von Nichteisen-Eisen fehlt, das auf 30000 Gewichtsteile Eisen einen Gewichtsteil Gellium enthält.

Die Bahn eines grossen, am 21. März 1866 beobachteten Meteor in von Herr Cl. v. Nessel berichtet worden. Dasselbe wurde am 26. März 67 Z. also noch vor Eintritt der Dunkelheit bemerkt, als es sich in einer Höhe von 100 dm über der Gegend Gellich von Kasal befand. Es zog dann in südlicher Richtung über Leipzig und Grossenhain in Sachsen, zwischen Sprottau und Legowitz, dann über Trebitz in Schlesien bis über die nördliche Umgebung von Wabau in Posen, wo in einer Höhe von 24 km die Färbung seines planetarischen Leuchtens erlosch. Die Länge der geschienenen Bahn betrug nicht unter 520 km. An dem an 28 Orten beobachteten schwarzen Bahnen wurde der Reibungspunkt in AR 5,8°, Decl. 53,4° gefunden, die grösstmögliche Geschwindigkeit zu 100 Meterhöhen betrug in 44 km nach beobachteter Geschwindigkeit = 59,7 km abgeleitet. Die Bahnform ergab sich als Hyperbel von der Halbachse 0,8, die Länge der aufsteigenden Keimlinie war 200,1°, die Bahnneigung 8,8°, die Bewegung rückwärts. Der Zusammenhang mit der Erde erfolgte nach dem Periheliumdurchgang, und der betreffende Ast der Hyperbel war aus einem Punkte des Weltraums in 70° Länge und 9,7° nördl. Breite gerichtet. Diese Elemente sind noch für verschiedene zukünftige Vorkommnisse der Geschwindigkeit berechnet worden. (Wiener akademischer Anzeiger 1866, S. 15.)

**Helles Meteor.** Herr Amtsrat Herr Ebbens berichtet aus Prof. Gassens

Mittheilung, dass 10. April abends, ziemlich genau 11<sup>h</sup> 45<sup>m</sup> M. E. Z., zwischen um sehr bedeutendem Meteor im südlichen Himmel, bewegte sich in fast senkrechter, nur wenig schief nach Osten hin verlaufender Richtung ostwärts und vorwiegend vernehmbar noch oberhalb der Horizonts nach nur kurzem, wenigen Sekunden dauerndem Laufe. Dasselbe hatte die scheinbare Grösse einer Kometencomete, scheinbar Comete, der die Nacht erhellte und nur hinter sich weniger dichte Dampfen, leuchtender Schweif, als eine Art von kürzerer Feuerwurbe, ebenfalls von scheinbarer, gelblich-weißem Lichte. Leider hatte ich ungefahr das Gefühl von dem Punkte des Erscheinens des Meteors abgewandt, wurde indessen augenblicklich durch das Aufleuchten aufmerksam und konnte nach dem letzten Lauf des Meteors schnell verfolgen. Im Augenblicke des ganz plötzlichen und vollständigen plötzlichen Erlöschens des Meteors glänzte ich ganz deutlich ein helles, kommetarisches Geräusch gehört zu haben, auf welches ich meine Augenblicke sofort aufmerksam machte. Dass das Meteor sich beim Verlöschen in mehrere Stücke zerbrach, sah ich zwar nicht, ich glaube aber ganz bestimmt, dass es an dem Punkte, wo es verschwand, explodiert ist, das schwarze Rauchen liegt mir noch im Oere und ausserdem kann die so viele Verwundenen somit ganz abgeheilt, da der Himmel, der sonst meistens mit Wolken bedeckt war, nach Süden hin gerade hell war. Der Punkt des Verschwindens lag ziemlich genau nach Süd-Nord-Ost, richtete mich etwas südlicher, es stand dort nicht hoch über dem Horizont ein ständiger Stern etwa 2 oder 3 Graden, das ich wegen der Helligkeit der Finsternis nicht identifizieren konnte.

**Feuerkugel.** Herr E. Zapp in Gieselsdorf schreibt aus: Als ich in der Nacht vom 20 auf den 21. April den südlichen Himmel der Lyriden wegen beobachtete, erschien um 12<sup>h</sup> 16<sup>m</sup> eine

Fensterzell. Sie kreuzte auf bei J Cygnus  $\alpha = 200^{\circ}$  und  $\delta = 25.5^{\circ}$  und errechnete bei T Cygnus  $\alpha = 311^{\circ}$  und  $\delta = 38.5^{\circ}$ . Die Höhe des Punktes, in welchem die Fensterzell aufkreuzte, betrug  $21.5^{\circ}$ , die des Punktes, in welchem sie kreuzte,  $14^{\circ}$ , die Neigung der Bahn gegen den Horizont  $21^{\circ}$ . Die Länge der Bahn betrug  $15.7^{\circ}$ . Die Fensterzell selbst gliedert sich in diesem Aussehen der grossen Fensterzell vom 16. December 1908, wie sie Skizzen-Tafel 5 abgebildet ist. Dem Durchmesser des kreisförmigsten strahlendsten Kopfes schliesst sich auf  $\frac{1}{2}$ — $\frac{2}{3}$  des Durchmessers der Mooshaube, die Länge des Schwanzes betrug  $5^{\circ}$ . Im letzten Drittel der Bahn befindet sich der Schwanz nach beiden Seiten unregelmässig aus und nahm unregelmässige Form an. Die Farbe des Kopfes und des Schwanzes war gelbbraun, jedoch nahm der Schwanz während des Beobachtens eine rote Färbung an. Die Dauer des Phänomens war kurz, etwa 1 bis höchstens 2 Sekunden. Zur Messung der Neigung der Bahn der Fensterzell, sowie der Höhen des Anfangs- und Endpunktes benutzte ich nach Angabe des Herrn Prof. Dr. v. Neufel einen heliotropen Transporteur, der mit  $\frac{1}{2}^{\circ}$  ablesbar gestuft.

**Ein merkwürdiger kleiner Planet.**  
 Prof. W. W. Campbell teilte interessante photographische Aufnahmen schon vor mehreren Vorträgen Prof. Kader mit, die letztere, welche dieser auf der Lick-Sternwarte ausführte. Sie geschahen am 28., 29., 30. Juni und 2. Juli 1909 mit Hilfe des grossen Cassini-Reflektors und beziehen sich auf die nächste Umgebung des Planeten Saturn. Kader bezweckte damals, das von Prof. Peetring angegebene 9. Mitglied der Saturn photographisch nachzuweisen. Ein solches wurde endlich durch die von ihm gemachten Aufnahmen nicht gefunden, wohl aber fanden sich auf dem Planeten

neue Striche, welche die Annäherung eines kleinen und vermuthlich noch unbekanntes Planeten anzeigen. Auf dem Platten (vgl. W. K. Palmer die schätzbare Arbeit des Planeten bestimmt. Dieser kleine Planet war (zuerst) links-schwach, nach Palmer's Schätzung 18 bis 20 1/2 Grösse. Aus der ersten und letzten Beobachtung hat er eine kreisförmige Bahn des Planetoiden abgeleitet, aus welcher hervorgeht, dass dieser entweder der Erde sehr nahe war oder sich in einer sehr excentrischen Bahn bewegt. Da der Planet in der Richtung stand und so langsam beschleunigt war, so würde er sehr schwierig gewesen sein, ihn am 26-Zeller aufzunehmen, und da er sich gegen Süd bewegte, war es auch unmöglich, ihn am Cassini-Reflektor zu verfolgen, da dieses Instrument sich über  $25^{\circ}$  nicht Drehungen lassen nicht mobilisiren liess. Der Kometische Planet hat vorläufig die Bezeichnung Planet 1909 G.A. erhalten.

**Untersuchungen von Fixsternen der südlichen Hemisphäre auf Parallaxen mit dem Heliometer der Kap-Sternwarte.** Auf diesem Observatorium sind seit 1867 mit einem ausgezeichneten 7 Zolligen Heliometer Untersuchungen über die Parallaxen einer Anzahl von Sternen des Südhimmels angestellt worden. Die Ergebnisse derselben, welche das höchste Interesse beanspruchen dürften, wurden von Sir David Gill im 2. Bd. der „Annals of the Royal Observatory Cape of Good Hope“ veröffentlicht. An Gelegenheit weiterer dieser Messungen mit dem vortraglichen, welche zur Zeit vorhanden sind und übertrafen die frühen am Kap mit einem 4 Zolligen Heliometer erhaltenen Messungen um das Sechsfache an Genauigkeit. Als Endresultate werden angegeben für die Parallaxen und die wahrscheinlichen Fehler  $\pm$  denselben:

Saras	— 14	Grösse	$\pm 0.000 \pm 0.000$
Cygnus	— 18	—	0.000 $\pm 0.000$
Polar	8.75	+	0.000 $\pm 0.000$

in"

1) Astron. Nachr. No. 3708.



Adhans	95	Orbita	$\mu = 0.041$	$\pm 0.007$
$\rho$ Crux	4.8	"	0.040	$\pm 0.007$
" Crux	1.0	"	0.038	$\pm 0.009$
Spica	1.5	"	0.037	$\pm 0.009$
Polaris	0.3	"	0.036	$\pm 0.009$
" Scapula	0.3	"	0.035	$\pm 0.009$
$\rho$ Crux	0.5	"	0.035	$\pm 0.008$
" Ori	0.4	"	0.034	$\pm 0.008$
$\rho$ Hydri	0.4	"	0.034	$\pm 0.007$
$\rho$ Col	0.8	"	0.033	$\pm 0.007$
Lanthe 2002	0.8	"	0.034	$\pm 0.008$
R. 319 2001	0.6	"	0.037	$\pm 0.008$
R. 319 1879	0.7	"	0.037	$\pm 0.008$
ZCV 90	0.5	"	0.032	$\pm 0.008$

Diese für die Parallaxen erhaltenen Werte bestätigen aufs neue die Erfindung, dass die Parallaxen der Fixsterne eines kleineren Wertes besitzen, je grösser die Messungen sind, die heisst, dass wir mit sehr wenigen Ausnahmen von den Parallaxen der Fixsterne nicht zu Zensellern wissen. Aus der obigen Reihe sind auch wohl nur die Parallaxen des Sirius, von  $\rho$  Col und des Sterns ZCV 245 als eingemessen vorführt zu betrachten, die heisst die erhaltenen Werte zeigen an, dass mit grosser heutzutage Mitteln bei diesem Stern ein solches Parallaxen von der Ordnung der in der Tabelle enthaltenen vorhanden sind. Die Zusammenhang zwischen Parallaxenwert und scheinbarer Größe der Sterne zeigt sich nicht.

Der Veränderliche  $\gamma$  Argus im südlichen Hemisphäre, der durch seine grossen und unregelmässigen Lichtschwankungen auffallend ist, hat sich diese Mitteln von D. Gilt gegenüber im Spätere mit besten Linsen oder Banden in der gewöhnlichen Art wie früher die Nova im Februar. Das zeigt, dass der Stern eine Maximumdistanz zwischen den verschiedenen neuen und den in unregelmässiger Periode veränderlichen Sterne.

Neuer veränderlicher Stern  $\eta$ , 1894 Ärgis. Von A. Swanby Williams ist ein neuer Veränderlicher im Fuhrman aufgefunden worden, der eine Periode von weniger als 24 h zeigt.

Der Ort des Sterns ist (2550)  $\alpha 1^h 58' = 18.5 + 2 + 42^h 18.5$ . Es ist der Stern  $+ 42^h 1200$  der Sommer Durchmusterung und dort mit  $\rho$  Crux angegeben. Dr. Williams gibt folgende Elemente des Lichtwechsels: Periode  $19^h 1' = 12^h$  Epoche des hellsten Lichts 1904 März 3.  $13^h 0^m$  Gr. Zc. Crestum der Lichtveränderung 0.75 und 0.65 Grössen. Zeitdauer vom Maximum zum Minimum  $14^h 13^m$  Zeitdauer vom Minimum zum Maximum  $4^h 40^m$ .

Die totale Sonnenfinsternis am 11. Mai. Die vollständigste astronomische Expedition unter Major Hedder zur Beobachtung der Sonnenfinsternis (Photographie an Koronareifen auf Segeirn) Während der Finsternis war der Sonne teilweise von Wolken verdeckt. Es wurden erfolgreiche Photographien der Korona mit verschiedenen Hilfsmitteln aufgenommen, sowie Photographien der Spektren der Korona und der Chromosphäre mit zwei Spektrographen. Das ergab waren die Photographien mit der prismatischen Kamera und die Messungen der Polarisation des Lichts der Korona und der Wärmestahlung der Korona erfolgreich. — Die Instrumente der Greenwich Sternwarte waren für die britische Expedition unter Dymon und Mitchell von dem englischen (Kriegs-) Schiff „Plymouth“ nach der Insel Padang, die ungefähr sechs Stunden vor der Küste Sumatras ankam, abgebracht worden. Von dort wird telegraphiert: Der Morgen brach mit schwarzem Regenwetter an. Später wurde es sich etwas auf, doch blieb das Wetter unruhig und einige Wolken verdeckten die Sonne während der ganzen Finsternis, die sechs Minuten und vierundzwanzig Sekunden dauerte. Hedder und Weiss waren vorher, die Größe der Korona entsprechend der gewöhnlichen, bei der Minimum-Periode der Sonnenfinsternis beobachteten.

## Astronomischer Kalender für den Monat August 1904.

Monat Tag	Sonnen			Mond		
	Mittlere Declination Mittag			Mittlere Declination Mittag		
	Rechtgl. M. L. — W. L.	Schwarzwald	Declination	Schwarzwald	Declination	Mond im Meridian
1	0 0 58	0 42 26 54	+48 0 184	21 29 42 28	— 0 28 47 2	28 28 2
2	0 0 58	0 42 26 55	47 59 0 8	21 30 33 22	0 0 28 58	28 28 2
3	0 0 58	0 42 26 54	47 56 48 4	21 32 08 24	— 0 14 47 6	28 28 1
4	0 05 28	0 40 12 58	47 54 48 8	0 0 33 18	+ 0 14 52 6	28 27 9
5	0 05 28	0 40 0 54	47 5 0 8	0 0 24 58	0 24 42 7	28 27 4
6	0 05 27	0 3 51 27	46 53 52 7	1 00 37 51	10 27 57 7	27 26 1
7	0 05 28	0 3 43 28	46 54 28 7	0 53 18 50	10 45 28 8	28 24 7
8	0 10 28	0 38 33 44	46 47 33 6	0 53 7 57	10 28 28 8	28 22 4
9	0 10 28	0 34 28 53	46 0 25 4	0 44 44 14	10 27 52 8	28 20 2
10	0 14 28	0 28 26 58	45 42 21 3	0 44 25 43	10 28 42 8	28 17 2
11	0 14 28	0 25 15 11	45 28 58 9	0 40 44 54	10 44 0 1	28 13 9
12	0 18 28	0 20 45 48	45 7 49 7	0 40 10 48	10 28 54 7	28 10 1
13	0 20 28	0 20 32 28	44 52 49 1	0 40 18 28	10 24 7 0	—
14	0 25 28	0 22 28 28	44 21 28 2	0 32 0 25	0 22 47 4	0 24
15	0 25 28	0 21 1 00	44 10 27 2	0 24 28 56	0 7 48 2	0 20 2
16	0 31 28	0 25 48 54	43 36 19 8	0 18 0 28	+ 0 48 48 8	0 25 4
17	0 31 28	0 44 38 48	43 28 14 1	0 10 45 28	— 0 18 48 1	0 21 4
18	0 41 28	0 49 17 38	43 18 7 4	0 43 0 40	7 17 48 8	0 17 7
19	0 50 28	0 52 0 28	43 04 40 9	0 28 28 27	12 20 27 4	0 13 9
20	0 53 28	0 55 48 17	42 57 4 3	0 24 28 58	14 32 42 8	0 10 1
21	0 5 28	0 59 38 28	42 47 18 1	0 18 53 8	17 20 58 8	0 7 7
22	0 11 28	1 0 1 14 7	42 37 17 8	0 10 44 18	18 3 27 8	0 4 0
23	0 20 28	1 0 40 58	42 27 3 2	0 43 17 6	16 7 1 4	0 58 2
24	0 24 28	1 0 50 58	42 18 48 1	0 35 18 28	10 28 54 8	1 4 9
25	0 2 28	1 0 34 18 28	42 10 17 7	0 28 18 48	10 27 54 8	0 52 5
26	1 00 28	1 0 27 51 42	42 0 39 2	0 21 48 24	11 28 28 8	0 58 2
27	1 03 28	1 0 20 37 18	41 51 27 7	0 20 28 28	14 43 27 8	0 54 7
28	1 08 28	1 0 28 20 47	0 50 2 0	0 0 0 7 0	12 0 28 2	12 0 1
29	1 03 28	1 0 20 48 44	1 00 28 8	0 24 2 0	0 47 28 8	12 10 2
30	0 47 28	1 0 20 38 27	1 11 0 0	0 05 28 28	— 0 05 2 8	12 18 2
31	+ 0 03 28	1 0 18 0 14	+ 0 47 57 7	0 08 28 48	+ 0 0 0 8	12 25 8

### Planetenkonstellationen 1904.

August	1	26	Merkur in gelber weißer Ringweite 10° 50', Mars im unterliegenden Knoten
"	5	5	Mars im unterliegenden Knoten
"	6	6	Merkur in unterliegendem Knoten
"	17	26	Merkur in Konjunktion in Schwanzeichen mit dem Monde.
"	18	26	Merkur in Schwanzeichen.
"	21	12	Venus in Konjunktion in Schwanzeichen mit dem Monde
"	23	18	Mars in Ring in Schilke, mit = Venus. Mars 5° 2' westl.
"	24	26	Mars in Konjunktion in Schwanzeichen mit dem Monde.
"	25	26	= Venus in Ring in Schilke, mit dem Monde. Bezeichnung J. Neveu in Ring in Schilke, mit dem Monde. Bezeichnung.
"	24	9	Merkur in gelber weißer Ringweite in Schilke.
"	24	26	Jupiter in Konjunktion in Schwanzeichen mit dem Monde.
"	25	7	Uranus in Konjunktion in Schwanzeichen mit dem Monde.
"	27	26	Merkur in oberer Konjunktion in Schwanzeichen mit dem Monde



### Stellungen der Jupiterwaage im August 1901.



Stellungen am 17. 28. für den Anhalt im astronomischen Preussien.

Tag	West.	Ost.
1		10 10 0 0
2		10 10 0 0
3		10 10 0 0
4		10 10 0 0
5		10 10 0 0
6		10 10 0 0
7		10 10 0 0
8		10 10 0 0
9		10 10 0 0
10		10 10 0 0
11		10 10 0 0
12		10 10 0 0
13		10 10 0 0
14		10 10 0 0
15		10 10 0 0
16		10 10 0 0
17		10 10 0 0
18		10 10 0 0
19		10 10 0 0
20		10 10 0 0
21		10 10 0 0
22		10 10 0 0
23		10 10 0 0
24		10 10 0 0
25		10 10 0 0
26		10 10 0 0
27		10 10 0 0
28		10 10 0 0
29		10 10 0 0
30		10 10 0 0
31		10 10 0 0

**Erhebungen der Jupitermonde.** Die sämtlichen Angaben über die Erhebungen der Jupitermonde beziehen sich auf mittlere Zeit von Greenwich. Die Tabellen sind der Reihenfolge ihrer Abschnitte nach Jupiter nach VII I bis IV geordnet. Die vier getrennten Figuren zeigen die Stellung jedes Mondes mit Bezug auf den Jupiter zu dem Augenblicke der Verhinderung (V) oder des Wiedererscheinens (W). Ist r nicht angegeben, so kann der Anstieg aus dem Schatten nicht beobachtet werden. Ferner bedeutet bei den nachfolgenden Zeitangaben

- Er D das Verschwinden des Trabanten im Schatten des Jupiter.
- Er E den Anstieg des Trabanten aus dem Schatten des Jupiter.
- Co D das Verschwinden des Trabanten hinter der Jupiterschibe.
- Co W das Wiedererscheinen desselben neben der Jupiterschibe.
- Tr I den Eintritt des Trabanten vor der Jupiterschibe.
- Tr E den Anstieg des Trabanten aus der Jupiterschibe.
- Sh I den Eintritt des Trabantenstrahles auf die Jupiterschibe.
- Sh E den Anstieg des Trabantenstrahles aus der Jupiterschibe.

Es sind nur diejenigen Erhebungen der Jupitermonde aufgeführt, welche sich ereignen wenn Jupiter zu Greenwich über und die Sonne unter dem Horizont steht. Um die Momente dieser Erhebungen nach meridianischer Zeit zu finden, hat man nur nötig  $1^h$  zu dem angegebenen Zeitpunkt zu addieren.

August 1. I. Tr E.  $10^h 10^m$ . I. Sh E.  $10^h 40^m$ . August 2. II. Co. D.  $10^h 40^m$ . August 3. II. Sh. I.  $10^h 10^m$ . II. Tr E.  $10^h 20^m$ . II. Sh. E.  $10^h 40^m$ . August 4. I. Co. D.  $10^h 40^m$ . August 5. I. Tr. I.  $10^h 10^m$ . I. Sh. I.  $10^h 20^m$ . I. Tr. E.  $10^h 30^m$ . II. Sh. E.  $10^h 40^m$ . August 6. I. Sh. E.  $10^h 40^m$ . August 7. I. Er. E.  $10^h 40^m$ . IV. Er. R.  $10^h 10^m$ . August 8. I. Tr. I.  $10^h 10^m$ . II. Sh. I.  $10^h 20^m$ . II. Tr. E.  $10^h 30^m$ . August 9. II. Er. E.  $10^h 40^m$ . II. Co. D.  $10^h 10^m$ . August 10. III. Tr. I.  $10^h 10^m$ . I. Tr. I.  $10^h 10^m$ . II. Tr. E.  $10^h 20^m$ . I. Sh. I.  $10^h 20^m$ . II. Sh. E.  $10^h 30^m$ . I. Tr. E.  $10^h 30^m$ . August 11. I. Er. R.  $10^h 40^m$ . August 12. I. Sh. E.  $10^h 40^m$ . IV. Tr. E.  $10^h 10^m$ . August 13. I. Er. R.  $10^h 40^m$ . August 14. III. Tr. I.  $10^h 10^m$ . August 15. I. Co. D.  $10^h 40^m$ . I. Er. E.  $10^h 40^m$ . August 16. I. Tr. I.  $10^h 10^m$ . I. Sh. E.  $10^h 20^m$ . August 17. II. Co. D.  $10^h 40^m$ . August 18. II. Sh. E.  $10^h 40^m$ . I. Co. D.  $10^h 10^m$ . August 19. I. Tr. I.  $10^h 10^m$ . I. Sh. I.  $10^h 20^m$ . I. Tr. E.  $10^h 30^m$ . I. Sh. E.  $10^h 40^m$ .

**Stellungen der Saturnmonde. (Erläuterung S. 24)**

Zeiten der ostlichen Elongation im August 1893

- Tethys.** August 1  $10^h$ ; August 2  $10^h$ ; August 3  $10^h$ ; August 4  $10^h$ ; August 5  $10^h$ ; August 6  $10^h$ ; August 7  $10^h$ ; August 8  $10^h$ ; August 9  $10^h$ ; August 10  $10^h$ ; August 11  $10^h$ ; August 12  $10^h$ ; August 13  $10^h$ ; August 14  $10^h$ ; August 15  $10^h$ ; August 16  $10^h$ ; August 17  $10^h$ ; August 18  $10^h$ ; August 19  $10^h$ .
- Mimas.** August 1  $10^h$ ; August 2  $10^h$ ; August 3  $10^h$ ; August 4  $10^h$ ; August 5  $10^h$ ; August 6  $10^h$ ; August 7  $10^h$ ; August 8  $10^h$ ; August 9  $10^h$ ; August 10  $10^h$ ; August 11  $10^h$ ; August 12  $10^h$ ; August 13  $10^h$ ; August 14  $10^h$ ; August 15  $10^h$ ; August 16  $10^h$ ; August 17  $10^h$ ; August 18  $10^h$ ; August 19  $10^h$ .
- Enceladus.** August 1  $10^h$ ; August 2  $10^h$ ; August 3  $10^h$ ; August 4  $10^h$ ; August 5  $10^h$ ; August 6  $10^h$ ; August 7  $10^h$ ; August 8  $10^h$ ; August 9  $10^h$ ; August 10  $10^h$ ; August 11  $10^h$ ; August 12  $10^h$ ; August 13  $10^h$ ; August 14  $10^h$ ; August 15  $10^h$ ; August 16  $10^h$ ; August 17  $10^h$ ; August 18  $10^h$ ; August 19  $10^h$ .
- Iapetus.** August 1  $10^h$ ; August 2  $10^h$ .

Verlagsgesellschaft Dr. Hermann J. Klein & Co. — Druck von Carl Lohse in Leipzig.

Die Höhe des HF HF HF HF h

Febr. 27

Febr. 28

März 4

März 15

März 28



1954

Tafel X

Spektren der Nova im Perseus  
photographiert am 40zölligen Yerkes-Reflektor von Friedrich Kellmann



# SIRIUS.

Zeitschrift für populäre Astronomie.

Centralorgan für alle Freunde und Förderer der Himmelskunde.

Herausgegeben

unter Mitwirkung hervorragender Fachlehrer und astronomischer Sachverständiger  
von Dr. Hermann A. Klink in Köln a/Rh.

July 1904.

•Wasser und Ölbenzin sind die Freunde und die  
Feindschaft der Menschheit. • Kometen.

Jeden Monat 1 Heft. — jährlich 12 Mk.

Verlag von EDUARD HEINRICH MAYER in Leipzig.

**INHALT:** Das neue Allegheny-Observatorium. (Platte Tafel XI.) S. 118. — Die Erdbebenbilder und die Mägenerschütterungen. S. 120. — Die japanisch-amerikanische Expedition des Professor S. Ito. — Das japanisch-amerikanische Expeditionen (Mitsui). S. 120. — Die Sonne im Februar. II. S. 121. — Die letzten fünfzig Jahre der Himmelsforschung. Von A. S. (Fortsetzung) S. 120. — Vermischte Nachrichten. S. 121. — Literatur. S. 121. — Astronomischer Kalender. S. 120. — Willkür der Japansische im September 1904. S. 121. — Erdbeben in der Japanische. S. 121. — Willkür der Japanische. S. 121.

## Das neue Allegheny-Observatorium.

Platte Tafel XI.

Sehen wir Jahren hat sich die Notwendigkeit bei herausgestellt, das den wissenschaftlichen Teil der Western-Universität von Pennsylvania bildende Allegheny-Observatorium durch einen Neubau, den heutigen Bedürfnisse entsprechend, zu modernisieren. Diese Absicht ist gegenwärtig bei zur Realisierung gediehen, indem der Plan für den Neubau ausgiebig angenommen worden ist. Von einer Ansicht Entwürfen wurde demgegenüber des Architekten P. E. Deliquant angenommen und die einzelnen Details prüfte das Augen der gegenwärtigen Direktor des Observatoriums, Prof. F.

L. O. Wadsworth, hergestellt. Hiernach wird das neue Institut zu den geoffensten astronomischen Observatorien Nordamerikas, ja der ganzen Welt zählen. Tafel XI zeigt eine Ansicht der Hauptfassade im verkleinerten Reproduktion der Originalzeichnungen. Über die neuen Instrumente, welche das Observatorium erhalten wird, soll später genauer berichtet werden. Sobald zur Zeit bekannt wird das Hauptinstrument ist ein photographischer Refraktor sein zur astronomischen Objektiv von 305 englische Zoll linear Öffnung, welches für alle Spektralfarben vollständig konvergiert ist.



## Die Erdatmosphäre und die Meteorerscheinungen.

**D**ie Rolle, welche bei den Erscheinungen der Sternschnuppen und Feuerkugeln unsere Atmosphäre spielt, ist eine sehr große, ja die Meteorplasmamen in seinen höchsten Anfängen völlig umgestaltende. Keines Zweifels ist unterworfen, dass ohne die Luftkräfte unserer Planeten die Feuerkugeln vor ihrem Herabstürzen nicht aufbrechen würden, ebenso würde die Erweiterung von Sternschnuppenstäben dem Auge unmerklicher bleiben, die einzelnen kleinen Meteoroberflächen mit vollständigster Geschwindigkeit sämtlich auf den Erdboden herabstürzen, während im diesem gegenwärtig so gut wie niemals geschieht.

Aber das Vorhandensein der Atmosphäre verschleiert die reine astronomische Theorie der Meteore in so hohem Grade, dass es zu jener Zeit das ständige Verdienst der letzten Zeitgelehrten wurde. In erster Linie verdienten wir dem Prof. Schiaparelli, dem vorzugsweise, auf Schiaparells Grundrissen (italienisch, Prof. Dr. G. v. Nees in Berlin

Das umfassende Darstellung der Rolle, welche die Atmosphäre in Meteorplasmamen spielt, hat derselbe kürzlich veröffentlicht. \*)

Diese Darstellung ist auch wissenschaftlich von großem Interesse, weil es auf eine Anzahl wichtiger Thatsachen eingegangen, die Prof. v. Nees in Laufe vieler Jahre ermittelt und in zahlreichen Abhandlungen über Meteore niedergelegt hat. Man erhält also eine sehr gute Zusammenfassung desjenigen Ergebnisses, zu welchem dieser in der Meteorikunde hochverdienliche Forscher gelangt ist. Aus diesem Grunde soll hier auf den Hauptinhalt seiner obigen Darstellung etwas näher eingegangen werden.

Dass die Meteore leuchtende Körper

sind, was jenen viele, ähnlich die mit hyperbolischen Geschwindigkeiten herabfallen, aus dem Fixsternraumen stammen, ist eine erwiesene Thatsache. Die wahre Gestalt der Geschwindigkeit, mit der sie sich in der Nähe der Erde bewegen, ist nicht wesentlich geringer als 42 km/s der Sonne, also nahezu der hyperbolischen Geschwindigkeit gleich, die oben mag auch v. Nees zwei- bis dreimal größer aus dem Geschwindigkeit, bezogen auf die Sonne, die im Fixsternpunkt der meteorischen Bahn ruhend erscheint, wird die heliocentrische genannt. Für alle Erscheinungen, welche beim Zusammenstoß mit der Erde beobachtet werden können, kommt jedoch in erster Linie die relative geocentrische Geschwindigkeit in Betracht, mit der die Körper in die Atmosphäre eintreten. Nimmt man die Bahngeschwindigkeit der Erde in ihrem Lauf um die Sonne zu rund 30 km/s, so wird die geocentrische Geschwindigkeit der Meteore sich zusammen aus dieser Bahngeschwindigkeit und der heliocentrischen. Die Art dieser Zusammenrechnung hängt von der relativen Richtung der beiden Bewegungen ab. Erfolgt die Bewegung der meteorischen Körper genau in derselben Richtung wie jene der Erde, so wird letztere von dem erstere nur mit dem Unterschied der beiden relativen Geschwindigkeiten eingetret werden können, also wenn man hinsichtlich der Meteore 42 km Geschwindigkeit zusammen, so wird die Erde von denselben nach mit der geocentrischen Geschwindigkeit von 42—30 = 12 km erreicht werden, welches daher abzugeben von der durch die Erde bewirkten Geschwindigkeit des Fixsterns der relativen Geschwindigkeit wäre. Kommen die Körper der Erde jedoch genau entgegen, so werden sie mit der Summe der beiden Geschwindigkeiten, also mit 42+30 = 72 km/s die Atmosphäre treffen. Der Einfluss der Erdschwerkraft beträgt im ersten Falle 44 km, sodass also durch die

\*) Über die Rolle der Atmosphäre im Meteorplasmamen, veröffentlicht im dem Astron. Kalender 1881

Anziehung von Seite der Erde die Geschwindigkeit auf 164 km erhöht wird, im höchsten Falle beobachtet sich die Geschwindigkeitserhöhung auf nur 98 km und ist also unerheblich.

Besüglich zur Erde nachzuweisen, daß dabei die Verhältnisse so, daß die geringste Geschwindigkeit bei nur etwa 164 km beobachtet, die größte bei gleicher heliozentrischer Geschwindigkeit ungefähr 4<sup>1</sup>/<sub>2</sub>, und so ganz anfallen kann. Metrien, welche schon an sich eine größere heliozentrische Geschwindigkeit besitzen als die oben angegebene, können, wenn sie mit der Erde zusammenkommen, selbstverständlich eine größere geozentrische Geschwindigkeit erlangen, da im letzteren Falle (für den dreifach eingetragenen Lauf immer noch 30 km durch die Erdbewegung zuzurechnen).

Die für die meteorischen Körper bestehenden Unterschiede ihrer Geschwindigkeit beim Zusammentreffen mit der Erde sind also außerordentlich beträchtlich, aber selbst die kleinste stattfindende Geschwindigkeit (nämlich 164 km oder 103 Meilen) übertrifft noch bei weitem alle aus uns bekannten Verhältnisse der heliozentrischen.

Zu dem Erscheinen, die von Prof. Nees beobachtet worden, gehören die nachweisbaren Meteoritenfälle, die großen detonierenden Wasser ohne nachgewiesene Niederfälle, die Feuerkugeln ohne Detonationen und endlich die Sternschnuppen verschiedener Größen. — Anzeichen, — sagt Prof. v. Nees, — daß man hier von Seite vor sich, bei der jedem folgenden Gliede ein Merkmal des höheren liegt. Zu dem mangelt die Falsche, denn die Beobachtungsformen und endlich die gewisse Lehrsätze. Die Frage, ob man es hier wirklich nur mit verschiedenen Größen zu thun habe, und welche Ursachen diese scheinbar verschiedenen Erscheinungsformen begründen mögen, ist ebenso unbefragend, als schwierig mit voller Sicherheit zu beantworten. — Die Beobachtungen v. Nees sind selbst eben

der Beantwortung dieser wichtigen Frage gewidmet.

Meteoritenfälle werden häufiger am Tage als in den vorhergehenden Nachtstunden beobachtet. — Unter 238 sicher nachgewiesenen Meteoritenfällen fanden 173 zwischen 6 Uhr morgens und 6 Uhr abends statt, dagegen nur 65 zwischen 6 Uhr abends und 6 Uhr morgens. Das Verhältnis ist sehr nahe 3 : 1. Ohne Zweifel liegt ein wesentlicher Grund dieser Vertheilung zur Nachtzeit darin, daß je Tage über weit mehr Beobachter sich in der Lage befinden, die tatsächliche Meteoritenerscheinungen als des Nachts. Gleichwohl kann durch diese gewissermaßen subjektive Erklärung die Sache doch nicht abgethan erscheinen, denn die Vertheilung ist auch während der eigentlichen Tagesstunden sehr ungleich. Es entfallen nämlich auf die Vormittagsstunden von 6 Uhr morgens bis Mittag 93, auf die Nachmittagsstunden von Mittag bis 6 Uhr abends aber 114, also fast doppelt so viele Fälle. Das Maximum trifft mit 70 Fällen auf die Tageszeit von 2 Uhr bis 5 Uhr nachmittags. Innerhalb dieser 3 Stunden wurden eine mehr Fälle beobachtet als in der sechs Vormittagsstunden. Es handelt sich auch ein deutliches Ausgehen von den Frühstunden bis zu diesem Maximum erkennen. Die Zahl der Fälle von Mittagszeit bis Mittag beträgt 23, während jene in der zweiten Tageshälfte auf 150 steigt.

Die relative seltene Häufigkeit der Sternschnuppen steht nun gerade, wie Prof. v. Nees betont, in einem sehr merkwürdigen Gegensatz zu jener der Meteoriten, da die seltendsten Meteoriten ungefähr am die Stunden 2 Uhr bis 5 Uhr nach Mittagszeit, also häufigst 12 Stunden nach dem Maximum der Meteoriten tritt. Das in den ersten Nachmittagsstunden, wenn die Meteoritenfälle am häufigsten vorkommen, wegen der hohen Temperatur Sternschnuppen nicht beobachtet werden können, ist selbstverständlich, denn sie

aber gerade nach Mitternacht häufiger auftreten, kann durch solche oder ähnliche Nebenumstände nicht erklärt werden, denn es ist durchschnittlich 2—5 Stunden vor Mitternacht ebensoviel als ebensooft nach Mitternacht. Und doch ist die Thatsache nicht im geringsten zweifelhaft, dass die stündliche Veränderung in der Häufigkeit der Sternschnuppen ist für die mittlere geographischen Breite jda kann nicht in allen Abständen vom Äquator ganz gleich sein) ganz genau bekannt, sodass man behaupten kann, die Stunzen nach Mitternacht liefern unter sonst gleichen Verhältnissen ungefähr doppelt so viel Sternschnuppen als jene vor Mitternacht.

In Bezug auf Häufigkeit in den verschiedenen Jahreszeiten treten ähnliche Gegenstände auf: die größte Zahl der beobachteten Meteorfälle fällt in den Winter Hal, gerade um diese Zeit aber sind verhältnismäßig wenig Sternschnuppen zu beobachten. Demzufolge, auf den ersten Blick scheinbar widersprüchliche Verhalten der Meteoriten und Sternschnuppen hat dazu beigetragen, die Meinung zu verbreiten, dass diese beiden nicht zu einer derselben Klasse von Himmelskörpern gehören, während wohl eigentlich nichts Wesentliches dagegen sprechen würde, wenn man den Unterschied versteht nur in den Abständen der Masse suchen wollte.

Wegen der häufigeren Beobachtung der Meteoritenfälle bei hellem Sonnenlicht ist die Bahnbestimmung der zugehörigen Feuerkometen sehr schwierig. In der Nähe des Polarkreis werden zwar Teile der beobachteten Bahn ausserhalb selbst noch in der Nähe der Sonne gesucht, nicht aber erhält selten genug zusammengehörige Beobachtungen, um die Bahnlage ermitteln zu können. Die wenigen Sternschnuppenfälle, welche von verschiedenen Seiten her gut beobachtet worden sind (Pulsak 30 Januar 1866, Orgeul 14. Mai 1864, zum Teil auch Krynitzky 9 Juni 1866 und bei Hock

3 Februar 1864 u. a.) liefern uns die ersten vollständigen Aufschlüsse, da sie meistens der Zusammenhang des Niederfallens mit allen Phasen des sehr ungebärbaren Laufs durch die Atmosphäre seiner Zweite stellen und außerdem gemessen, die physikalische und chemische Beschaffenheit der betreffenden Körper genau kennen zu lassen.

Wohl wichtiger sind die determinirten Meteore, oder nachfolgende Meteoritenfälle; bei vielen derselben muss man annehmen, dass zunächst von der in der Atmosphäre eingetragenen Masse wenig oder nichts übrig auf den Erdboden gekommen ist. Dies gilt noch mehr für viele unvollständige Feuerkometen, welche schon vor der sichtbaren Größe des Haudes, die ohne Detonation verschwinden, selbst wenn letztere nach Lage der Beobachtungsorte unter gewöhnlichen Umständen hätte gelöst werden müssen. Von dieser scheinbaren Größe bis zu der gewöhnlichen Sternschnuppen kommen alle Übergänge vor. Galle hat in seiner Arbeit über den Meteoritenfall bei Pulsak 3 ein vorzügliches Beispiel geliefert, dass ein Meteoritenfall je nach der Entfernung als grosses, nicht detonirendes Meteor, als Feuerkomet mittlerer Größe und selbst nur als gewöhnliche Sternschnuppe erster Größe betrachtet wird. «Gleichwohl», sagt's Nisard, «man muss sich hüten, aus solchen besonderen Fällen allgemein Rückschlüsse zu ziehen. Es wäre nämlich ganz verfehlt, wenn man die zerbrochenen schwachen Sternschnuppen grundsätzlich für grosse Meteoriten halten würde, welche nur wegen der bedeutenden Entfernung unvollständig erschienen. Sie sind es in der Regel wirklich.»

5 Prof. Dr. J. G. Galle über die Bahn des am 30 Januar 1866 beobachteten und bei Pulsak im Königreiche Polen als Sternschnuppe eingetragenen Meteors durch die Atmosphäre. Abhandlungen der Kaiserlichen Gesellschaft für vaterländische Kultur zu Berlin. 1866

Das häufige Vorkommen der Sternschnuppen hat möglich gemacht, dieselben planmäßig von verschiedenen Orten aus zu beobachten und ihre Erscheinungen sowie ihre Höhen mit zuverlässiger Sicherheit zu bestimmen. Hierdurch hat sich herausgestellt, dass selbst die kleinsten Sternschnuppen 4 bis 5 Meilen gar nicht soweit entfernt sind, als man auch ihrer Lichtschwäche wohl ausserhalb achtete. Es ist sehr wichtig zu wissen, dass den Höhenbestimmungen der Meteor durchschnitten nicht die grössere oder geringere Entfernung vom Beobachter zu Grunde liegt, kann

Sternschnuppen nicht bekanntlich in manchen Nächten gruppen- oder streifenweise, gleichförmig Bahnen verfolgend, auf, welche für den Beobachter nach den Gesetzen der Perspektive aus einem Punkte der Mittelebenfläche, dem Strahlungs- oder Radiationspunkte, zu kommen scheinen; andere gehen in den verschiedenen Richtungen am Himmel hin und lassen sich, soweit nur wenig Licht in Frage kommt, nicht auf gemeinsame Strahlungspunkte zurückführen. Man hat die sphenoidalen Meteore genannt. Durch sorgfältige Beobachtungen ist jedoch erwiesen worden, dass auch die sphenoidalen Sternschnuppen Strahlen angehören, welche nur relativ immer an einem Körper und vermuthlich sehr ausgedehnt sind.

Es ist keine zweifelhaft, dass ähnliche Meteore als feste Massen in die Atmosphäre gedrückt und abtropfend, annehmen, dass die Sternschnuppen hundert kleine Körperchen sind. Prof. A. Bondel hat vermuthet, auf einem beliebigen inneren punktförmigen planetarischen Wege die durchschnittliche Masse der Sternschnuppen abzuschätzen. Er kam dabei zu dem Resultat, dass Sternschnuppen, welche man gewöhnlich als 1. Größe bezeichnet, im Mittel nicht mehr als wenige Gramm, und zwar bis zur 5. Größe noch nur Bruchtheil eines Gramms wiegen können.

Die Vergleichung der oben gemessenen mittleren Bahnen der Meteoriten und

Freierlegung, mit den verschiedenen gleichförmig verlaufenden Strahlungs-punkten der Sternschnuppen, eine Untersuchung, die hauptsächlich von Prof. v. Neesl im grossen Umfange durchgeführt worden ist, hat vielfach eine so genaue Übereinstimmung ergeben, dass für die betrüffenden Fälle die Zusammenhangigkeit der Meteoriten und Sternschnuppen zum selben Strome ganz anzunehmen ist. «Man sollte sich aber beschränken», sagt Prof. v. Neesl, «diese gemachten sehr wichtigen Ergebnisse für eine grössere Anzahl von Fällen sicherzustellen haben, ohne zu weit gehende Folgerungen im Allgemeinen zu ziehen. Dort, wo eine Übereinstimmung zwischen Meteoriten- und Sternschnuppen-Bahnen nicht nachgewiesen werden kann, kann dies aber sowohl auch die Folge unrichtiger Beobachtungen oder anderer Umstände als einer thatsächlich verschiedenen Differenz sein.»

Prof. v. Neesl behauptet ferner, wie vorhergehend es ist, dass Ursache der meisten Ströme, wie die Perseiden u. s. w., wenig oder vielleicht gar keine determinirten Meteor, hervorgeht, dass Meteoriten liefern. In dem von mir gemachten rothen Material von Meteorstrahlungen», sagt er, «besteht sich vorzüglich keine einzige grosse determinirte Feuerkugel, welche mit einiger Wahrscheinlichkeit dem bekannten Bahnen im Perseid, Lincei und in der Lyra zugehören oder werden könnte, obwohl die Zahl der beobachteten Meteore aus dem Ströme bereits ein ganz erhebliches ist. Zukünftige Beobachtungen und Untersuchungen möge es vorbehalten bleiben, zu entscheiden, ob keine wirklich eine bestimmte Eigenähnlichkeit dieser (ganz besonders als kometaisch bezeichnet) Ströme, nämlich der nicht recht völlige Mangel an gelbem Masse, im Tage tritt, oder ob dies auch nur jene Eigenschaften der Atmosphäre anhängend sind, von welchen später die Rede sein wird.»

Infolge der grossen Geschwindigkeit, mit der die Meteore in die Erd-

Atmosphäre vorüber, man sey dem sich bewegenden Meteorkörper eine Verdichtung der Luft entstanden, die bei rascher ausserordentlicher Kompression anwächst, weil die atmosphärischen Kondensationsarten sich nicht so schnell verflüchtigen können, als die Zusammenrückung wildet. In der so komprimierten Luft müssen sich dann notwendig Temperaturen entwickeln, welche die Oberfläche der bewegenden Körper zum Glühen und Schmelzen erhitzen, je hochstehe Dämpfe und Gase erzeugen, wodurch das Meteor dann sichtbar wird. Das Hören, in welchem diese erste Aufleuchten eintritt, ist die des einzelnen Fettes nicht überkommene. Große Feuerkörper werden durchsichtlich an mehreren glühend gelagerten Beobachtungsorten schon wahrgenommen, wenn sie sich noch in einer Höhe von 150 bis 200 km über der Erdoberfläche befinden, je es finden sich Fälle, wo das Aufleuchten schon in zwei bis viermal so großer Höhe wahrgenommen worden ist. Das Meteor, welches dem Staat in Pulkav lebte, wurde, nach Galle's genaue Untersuchungen, zunächst allgemein in einer Höhe von 175 km abgelesen. Professor Leu, Pagan-dorf in Ungarn aber als Sternschnappe schon in 300 km Höhe wahrgenommen. Das markwürdige Meteor vom 5. Sept. 1868, welches in einer fast 3000 km langen Bahn über den größten Teil Südamerikas zog, wurde schon beobachtet, als es noch 700 km über der Gegend von Siquet am Schwarzen Meer sich befand. Durch diese Nachforschungen erscheint die «Höhe der Atmosphäre», der welche man sich gewöhnlich in der meteorologischen, jedoch auf ähnlich unvollkommenen Dimensionen befinden, den Grenzwert von 60 bis 70 km angesetzt findet, sehr wesentlich erweitert. Die Höhe, in welcher die Sternschnappen durchsichtlich zuerst sichtbar werden, ist kleiner, vollendet wegen ihrer geringen Masse.

Der in die Atmosphäre eingetragene Meteorkörper verfährt nach dem

Aufleuchten seinen Lauf durch die Atmosphäre bis zur Stelle, an der er dem Auge mit oder ohne optischenhilfliche Erscheinungen, wieder plötzlich unterbricht. An diesem Punkte ist die große planetarische Geschwindigkeit durch den Widerstand der hier bis sich ausserordentlich komprimierten Atmosphäre fast völlig vermindert. Der Meteorkörper hat auf dem Laufe in der Atmosphäre durch Schmelzung, Abnutzung und Verdampfung an der Oberfläche Verluste erlitten, und die noch verbleibenden festen Massen fallen, jezt fast nur mehr dem Zuge der Erdbewegung folgend, gewöhnlich senkrecht zur Erde herab. Im dem Pulkav'ser Falle war die planetarische Bewegungsrichtung unter 44° gegen die Horizontale geneigt. Prof. Galle war nach, dass —da Sturz von dem Zersplitterungspunkte aus aber nahezu senkrecht herabgestürzt sein. Ähnlich verhielt es sich bei dem Meteorfall zur Gegend.

Prof. v. Nezel hebt hervor, dass der meisten Beobachter sich der Täuschung hingabe, dass nach dem Erlöschen ein Meteor statt dem ursprünglichen Lauf behaltend und daher geneigt sein, etwaige Fallstücke auf jenen Teile der Erdoberfläche zu werfen, wobei das über den Erlöschungspunkt hinaus verlängerte Luftstrahl zu helfen scheint. «Aber das Erlöschen des Meteors beweist, dass entweder das meteorische feste Substrat zerstört worden ist oder die Ursache der immensen Wärme- und Lichtentwicklung, also die große Geschwindigkeit, meistens mit einem Schlage vernichtet wurde, denn die Luftwiderstände nimmt momentan, nicht allmählich ab. Der geringe Rest von Geschwindigkeit wird allerdings nur kleine Bewegungscomponente in der Richtung des ursprünglichen Laufs verursachen, durch welche die Fallstücke noch etwas über den Endpunkt der hochstehenden Bahn hinausgeführt werden, allein die Erfahrung lehrt eben, dass dies nicht viel beträgt. Der Punkt, in welchem die Bewegung des Meteors

in dieser Weise genannt wird und infolge dessen erfolgt, weil der Himmelskörper gestaut.

Für die Höhe desselben über der Erde sind sehr verschiedene Werte nachgewiesen worden, welche die Theorie bestreiten, dass unter sonst gleichen Umständen gleichviel Masse tiefer in die Atmosphäre eindringen können als höher.

Das Höhenstück eines Meteors, welches in der Atmosphäre beobachtet wurde, ist von einer gewissen Linie praktisch nicht zu unterscheiden, doch können unregelmäßig gekörnte Massen unter dem Einflusse des Luftwiderstandes auch unregelmäßige kreuzförmige Bahnen beschreiben, im Fall, der Prof. v. Neesal unter grösseren Feuerkugeln jedoch nicht bekannt ist.

Die Verfallung der Trümmer eines Meteors, wozu meist die grössten Stücke im Sinne der Bewegung im Weltraum noch vorwärts gedrungen, die kleinsten am meisten zurückgeblieben sind, entspricht derjenigen, welche die unzerstörten Körper schon bei ihrem Zuge durch die Atmosphäre infolge des verschiedenen grossen Widerstandes erhalten haben müssen. Auch der Umstand, dass die Fundstücke in der Regel ringförmig oder schmelzförmig besitzen, in welcher die Verwitterung auch nur in der beschriebenen Höhe, nicht erst beim Herabfallen nach dem Erlöschen gegeben werden konnte, führt zu der Überzeugung, dass die unzerstörten Fragmente eines grösseren Körpers beim Erlöschen einander sehr können, sondern bereits früher, namentlich schon beim Eintritt in die Atmosphäre getrennt vorhanden haben. Wo die Fundstücke beachtlichen eines oder mit gross unbedeutender Schmelzförmigkeit aufweisen, ist dagegen anzunehmen, dass der Bruch hauptsächlich erst am Endpunkte oder wenig früher erfolgt ist.

Das durchschnittliche Höhe des Auflebens der Sternschuppen ist nach Prof. Wies 185 km, der Erlöschen

ist im Ueber der Erdoberfläche und diese Höhenwerte sind sehr selten.

Für die grossen Meteore und Meteoriten hat Prof. v. Neesal aus seinem Material die Mittelwerte der Erd- oder Himmelsweiten erhalten:

Für 147 Feuerkugeln eines Detonation sind	
• 37 Detonationshöhe	31 •
• 26 Meteoritenhöhe	22 •

Die Sternschuppen erlöschen also am höchsten in der Atmosphäre, und die grössten Meteore, welche zu Meteoritenförmigen Anlass geben, dringen am tiefsten herab.

Wenn es noch zweifelhaft ist, dass durchschnittlich die kleinsten Meteore in der höchsten Schicht der Atmosphäre erlöschen, so stellt die Frage, was dort aus ihrer Materie wird. Auf die Erdoberfläche kommt es gewiss nicht herab, denn nach allem ist der Meistenfall von Sternschuppenmengen nicht zurückgeworfen worden. Prof. v. Neesal ist mit Schärfe der Ansicht, dass bei diesen kleinen Körperchen infolge der geringen Erhitzung in den oberen Schichten der Atmosphäre eine völlige Auflösung stattgefunden hat. Dies stimmt zu der Thatsache der Beobachtung, dass die grösseren Meteore tiefer herabkommen als die kleineren. Aber auch die Geschwindigkeit, mit der die Meteore in die Atmosphäre eintreten, ist ein wesentlicher Faktor für die höhere Homöostase ihrer Massen, Meteore, welche aus einem Punkte des Himmelsgebietes kommen, der in der Nähe des Apex des Parabels, auf dem sie die Erde sich bewegt) liegen, müssen natürlich durchschnittlich eine grössere relative Geschwindigkeit haben, als diejenigen, welche von Rücken kommen, die weit von ihr abliegen, und in der That hat v. Neesal gefunden, dass die Meteore um so tiefer in die Atmosphäre hinabstürzen, je weiter ihre Rücken vom Apex entfernt sind. «Was nun», fährt Prof. v. Neesal fort, «nachgewiesen ist, dass bei gleicher Masse diejenigen Meteore tiefer in die Atmosphäre ein-

bringen können, welche eine geringere Geschwindigkeit besitzen, und gezeigt wurde, dass von den am tiefsten herabsteigenden Meteoriten durchschnittlich die meisten Meteoritenfälle stammen, so wird man mit Recht auch schließen dürfen, dass Meteoritenfälle am ehesten stattfindet können, wenn die betreffenden Körper — seien sie auch sonst an Masse geringer — mit der kosmischen Geschwindigkeit in die Atmosphäre eintreffen, also von rückwärts her in möglichst typisch rechtwinkligen Bahnen sich gegen die Erde bewegen. Man ist berechtigt, können zu folgern, dass unter den aus bekannten Meteoritenbahnen, welche mit durchschnittlichen Meteoritenfällen im Zusammenhang stehen, die rechtwinkligen gegenüber den rückwärtigen vorzuziehen müssen, wenn auch die letzteren nicht völlig ausgedehnt sein müssen, da z. B. sehr große Massen selbst unter ungünstigen Umständen tiefer herabsteigen können. Auch dieser Schluss wird durch die Erfahrung völlig bestätigt. Es geht aus nur wenig Meteoritenfälle, für welche die Grundlagen einer genaueren Bahnbeobachtung den meist sehr unvollständigen Beobachtungen entnommen werden können, ich habe aber doch wenigstens ihrer 18 gebildet, bei welchen sicher genug mindestens schließend werden kann, ob die betreffenden Bahnen rechtwinklig oder rückwärtig sind. Derselbe beschränkt sich nur wirklich nur vier rückwärtigen Bahnen, alle übrigen sind rechtwinklig. Prof. Newton hat auf diesen beträchtliche Vorwissen der rechtwinkligen Bahnen bei den Meteoriten schon früher aufmerksam gemacht,<sup>1)</sup> aber die Ursache dieser Eigentümlichkeit nicht im Einfluss der Atmosphäre gesucht, sondern sie als eine wirkliche Ursache angesehen. Hieraus wären die Meteoriten gleichsam eine besondere Klasse derjenigen Körper, welche zur Meteoritenbahnung Anlass geben, näm-

lich solche, deren Bahnen in der Regel rechtwinklig sind. Als stiftiger Vertreter der Ansicht, dass die Meteoriten von den Kosmos mit elliptischen Bahnen kurzer Umlaufzeit abstrahieren, hat Newton auf gewisse bestehende Analogien hingewiesen, jedoch unterlassen zu erwähnen, dass — was doch die Hauptsache ist — die wenigen Fälle, in welchen es möglich war, die Geschwindigkeit direkt zu bestimmen, seiner Ansicht ganz entschieden widerstehen.

Körper, welche sich in elliptischen Bahnen im Sonnensystem bewegen, können in der Nähe der Erde eine über die Bahnungsgrenze hinausreichende Geschwindigkeit nicht besitzen, je tiefer die Ellipsen kurzer Umlaufzeit, an welche Newton in erster Linie dachte, nämlich diese Gerade noch weiter herabgezogen werden. Wird die Geschwindigkeit geteilt gehalten, so ist man, wenn das Resultat überhaups Vertrauen beanspruchen kann, geneigt, die Bahn als Hyperbel anzunehmen, welche nach beiden Seiten (Herholt und Abzug) aus dem Sonnensystem hinaus in den Weltraum verweilt.

Gerade bei dem Meteoritenfall von Putzak, welcher am allgeringsten untersucht wurde, ergab sich aus sehr vielen Beobachtungen die Geschwindigkeit zu 56 km, entsprechend einer sehr ausgeprägten Hyperbel. Dagegen diese Bahn eine so günstige Lage hat, dass man die Geschwindigkeit selbst durch Schrägenge nur mit grosser Genauigkeit ermitteln kann, so ist die Annahme ganz ausgeschlossen, dass auch unter Voraussetzung grosser Beobachtungsgenauigkeit Betrag auch nur bis zu 43 km herabgedrückt werden könnte. Für die Meteoriten von Ogdoid wurde eine heliocentrische Geschwindigkeit von 52 km nachgewiesen, woraus ebenfalls eine entsprechende Hyperbel folgt. Die beiden angeführten Bestimmungen sind wohl vollständig die einzigen, welchen grösseres Gewicht beigelegt werden kann; die übrigen liefern jedoch ganz ähnliche Resultate. Newton hat bei dieser Gelegenheit

<sup>1)</sup> American Journal of science, III. Ser. II. Bd. 1866.

Bestimmung bei seiner Argonometrie berücksichtigt, vollrecht, weil er es für nicht hinreichend verlässlich hielt oder weil er sie eben nur als seltene Ausnahmen betrachtete. Es war aber doch ein eigenartiges Spiel des Zufalles, dass man es allen Füllen, wo die Ermittlung der Geschwindigkeit möglich war, nur auf Ausnahmen und nie auf die Regel gestützt war. Gegen die Möglichkeit oder Wahrscheinlichkeit optischer Meßwertabweichungen ist gar nichts einzuwenden, durch direkte Beobachtungen ist aber eben noch keine nachgewiesen worden.

Zunächst als für Meteorströme und Bewegungen der Geschwindigkeit und der Richtlinie bei grossen siderometrischen Meßwerten vorhanden und so selten; so gut als sämtlich hyperbolische Geschwindigkeiten und solche Bahnen.

«Vergleicht man die Meteorströme, siderometrischen Meßwerte und nicht siderometrischen Feuerkugeln hinsichtlich der Elemente aus ihrer Strahlungsquelle vom Apex der Erdbewegung, so findet man, dass in dem primären Elemente (entsprechend den gemessenen siderometrischen Geschwindigkeiten) die Meteorströme (Apex) näher gegen den Apex zu, woraus also bereits auf größere Geschwindigkeit zu schließen ist, liegen häufiger die Radianten siderometrischer Meteorströme (aus Massensiderometrie, während die Radianten nicht siderometrischer Feuerkugeln auch noch näher gegen den Apex zu verkommen. Nach mir ist dies von dem gewöhnlichen Sternschuppen-Radianten. Es ist also nicht eine schräge Gerade, sondern ein gradueller Übergang in dem Sinne vorhanden, dass mit wachsender Geschwindigkeit rasch die Anzahl der beobachteten Siderometrie stimmt, dass, bei

noch größerer Geschwindigkeit, entsprechend auch die Entfernungen, abnimmt, weil die Flammung durchschnittlich schon zu grosser Höhe erfolgt, endlich vermindert sich auch die vertikale Größe und Lichtstärke aus demselben Grunde, da die Auflösung schon in den höchsten Schichten nach kurzem Laufe fast momentan erfolgt.»

Als Endergebnis seiner Untersuchungen formuliert Prof. v. Nees folgende Sätze:

«Es ist möglich, dass das materielle Substrat der Sternschuppen in Bezug auf seine chemische Zusammensetzung sich von jenen der Meteorströme wesentlich unterscheidet, man ist jedoch nach den Resultaten der bisherigen Erfahrungen nicht gezwungen, dies ohne weitere anzunehmen.

Es ist ferner möglich, dass es insbesondere grössere Massen sind, welche als Meteorströme zu uns kommen, dieselben aus dem Weltraum stammend und hyperbolische Bahnen beschreibend, allein wir wissen, dass dasselbe in vielen Fällen auch von Sternschuppen angenommen werden muss.

Hiermit ist überhaupt keine Thatsache mehr vorhanden, welche aus nötig, Sternschuppen, Feuerkugeln und Meteoriten in dieser Gruppierung als Weltkörper verschiedener Klasse anzusehen.»

Die Atmosphäre schützt die Erdoberfläche vor dem Aufprall dunkler kosmischer Massen, sie erzeugt das Sichtbarwerden der Meteorströme, verschleiert und verwirrt aber die Erscheinungen, welche aus der siderometrischen Theorie der Meteorströme gefolgert werden können und erschwert dadurch das Verstehen des Ganzen im kalten Grade.

## Die spektroskopische Bewegung des Polarsterns.

**F**ür die Chicago Congress of the Astronomical Conference der Astronomie und Astrophysiker machte Prof. Campbell

von der Lick-Sternwarte am 8. Septbr. 1899 die interessante Mitteilung, dass es ihm gelungen sei, aus dem Aufströmen



des Spektrums des Polasterms den Nachweis zu führen, dass dieser Stern aus mindestens drei Klüppern besteht.<sup>1)</sup> Es ergab sich aus Campbell's Beobachtungen, dass der uns sichtbare Polasterne eine veränderliche Geschwindigkeit in der Geschwindigkeit hat, und zwar bewegt sich der Stern zunächst in einer Periode von  $34^{\text{d}} 23^{\text{h}} 15^{\text{m}}$  um den Schwerpunkt, den er mit einem uns unsichtbaren Körper gemeinsam hat. Die Amplitude dieser Bewegung ist sehr gering, sodass die Maximalgeschwindigkeit nur  $+3 \text{ km}$  beträgt. Die Bewegung des Schwerpunktes des gemeinsamen Systems ist aber nicht konstant, sondern langsam veränderlich, sodass man zur Annahme eines dritten Körpers gedrängt wird. Diese letztere Bewegung umfasst aber eine Periode von vielen Jahren und man kann sie mit Dr. J. Hartmann im Gegensatz zu jeder korparoidischen Bewegung als „ikklutäre“ Bewegung bezeichnen. Zur Zeit der gesamten Untersuchung war der astrophysikalischen Observatorium zu Potsdam wieder verpfändet worden und im Februar 1900 konnten die ersten Aufnahmen mit dem damals neuesten neuen Spektrohelioskopien angefertigt werden. Da die korparoidischen Geschwindigkeitsänderungen des Polasterms von so geringem Betrage sind, dass sie nur auf Grund sehr genauer Beobachtungen nachgewiesen werden könnten, so schien dieser Stern ein recht gutes Prüfungsobjekt für die Leistungsfähigkeit des neuen Spektrographen zu sein und dies um so mehr, als von anderer Seite versucht wurde, Campbell's wertvolle Beobachtungen zu bestritten.

Dr. J. Hartmann begann daher eine Reihe spektrophotographischer Aufnahmen des Polasterms in dem grossen Potsdamer Refraktor. Er hat jetzt die Ergebnisse seiner Untersuchungen in

einer Abhandlung niedergelegt, welche dem Mit. Vogel während der Preuss. Akademie der Wissenschaften in Berlin vorlag<sup>2)</sup> und aus der den Nachstehenden einen Auszug gibt. Schon die Aufnahmen in den Tagen vom 2 bis 6 April 1900 zu Potsdam ergaben eine Bestätigung der Campbell'schen Entdeckung. Bei diesen Aufnahmen mit dem neuen Spektrographen zeigte es sich aber auch, dass dieselben sehr unzweifelhafter Weise von den Schwankungen der Lufttemperatur beeinflusst wurden. Um dieses Übelstande abzuschaffen, wurde der ganze Spektrograph mit einem Kasten aus leichtem Holz umgeben, in dessen Innern die Lufttemperatur auf elektrischem Wege automatisch konstant erhalten werden kann. Durch diese Umänderung des Apparates erliessen die Beobachtungen eine Unterbrechung bis zum Herbst, der leider sehr unglückiger Wetter besaß. Erst im Januar 1901 konnte Dr. Hartmann die gewünschte Anzahl Beobachtungen erhalten, die eine genaue Festlegung der Geschwindigkeitskurve erlaubten. Da diese Beobachtungsreihe schon<sup>3)</sup> Jahre vor den Messungen Campbell's vollendet ist, so hat er sie benutzt, um darauf einen grösseren Wert für die Dauer der Periode abzuleiten. Hierdurch wird es sodann ermöglicht, alle bisherigen Beobachtungen der Geschwindigkeit des Polasterms von dem Einfluss der korparoidischen Bewegung zu befreien und auf diese Weise den Beobachtungsresultat für die Ermittlung der äklutären Bewegung zu gewinnen.

Die Beobachtungen ergaben in vielfacher Übereinstimmung mit Campbell's Geschwindigkeitsänderungen die hochdem verzeichnete sind. Als äklutärer Wert für die Umlaufzeit fand Dr. Hartmann aus der Verbindung seiner Beobachtungen mit denjenigen Campbell's die bei 1898 nachfolgende  $34^{\text{d}} 23^{\text{h}} 14^{\text{m}} 31^{\text{s}}$ . Dr. Hartmann untersuchte aus weiter

<sup>1)</sup> Astrophys. Journal X, p. 196, Photo of the Ann. Science of Poitiers XI, p. 196.

<sup>2)</sup> November d. Jg. Preuss. Akad. d. Wissenschaften Berlin 1901 XX, 830, p. 68.

als bekannt gewordenen spektrophotographischen Geschwindigkeitsbestimmungen des Polsterens, um nach Abzug der korrespondierenden Bewegung dieses Werts für die Feststellung der stürzenden Bewegung abzutragen. Bei dieser Unternehmung ist die ausserordentlich grosse Genauigkeit der Beobachtungen Campbells überraschend hervor, bei denen der wahrscheinlichste Fehler einer Aufnahme kaum  $\pm 0.3$  km beträgt, weniger genau sind die Beobachtungen von Dr. Frost, und diejenigen von Kopalowsky erweisen sich als mit verächtlichen systematischen Fehlern behaftet. Die Aufnahmen Dr. Hartmanns im Potsdamer System als wahrscheinlichsten Fehler der Geschwindigkeitsbestimmung einer Aufnahme vor Anbringung des Thermostaten  $\pm 1.2$  km, nach Anbringung desselben  $\pm 0.48$  km, wozu hervorzuheben, wie wichtig es ist, während der Aufnahmen des Spektrographen auf konstanter Temperatur zu verharren. Auf Grund des von ihm zusammengestellten und diskutierten Materials bemerkt Dr. Hartmann schliesslich: «Die Potsdamer Beobachtung von 1888 kann zwar erfahrungsgemäss wohl einen systematischen Fehler von einigen Kilometern besitzen, solche Annahme wird der grosse Wert, den an wissenschaftlichen Daten besitzt, nicht beeinträchtigt. Dagegen kommt das von Frost gefundene Resultat, welches nur auf den Beobachtungen beruht, gegenüber den gleichzeitigen Beobachtungen Campbells nicht in Betracht. Wegen der Möglichkeit stürkerer systematischer Fehler lasse ich ausserdem die Resultate aus Kopalowskys Aufnahmen, sowie aus meinen ohne den Thermostaten ausgeführten Aufnahmen

fort. Es verbleiben dann die folgenden Werte der stürzenden Bewegung:

	im	
1886 Novbr 26	=	26.76 (Potsdam)
1886 Okt. 17	=	19.07 (Campbell)
1886 August 28	=	14.78 (Campbell)
1886 Novbr 12	=	10.21 (Hartmann)
1881 Januar 13	=	13.29 (Hartmann)

Aus diesen Zahlen geht hervor, dass seit 1889 die Umkehr in der stürzenden Bewegung abgetreten ist; die negative Bewegung, welche seit 1888 immer kleiner wurde, ist jetzt wieder im Zunehmen begriffen. Zur grossen Bestimmung dieser Bewegung wird es notwendig sein, das Sternspektroskopisch noch Jahre lang zu verfolgen.

Doch auch für dieses Mikroskopmessungen dürfte der Polsteren ein interessantes Objekt werden. Nicht nur nämlich aus den für die stürzende Bewegung gefundenen Beträgen vorläufig in ganz roher Schätzung dem Schluss, dass der stürzende Stern gemeinsam mit einem unsichtbaren Begleiter um einen dritten Körper in ungefähr 25 Jahren eine Bahn mit einer Geschwindigkeit von etwa 6 km durchläuft, so ergibt eine leichte Rechnung, dass der Durchmesser dieser Bahn mindestens dreimal so gross wie mass als der Durchmesser der Erdebahn. Hiervon folgt, dass im Verlauf jener grossen Periode der Stern Ortsveränderungen erleiden muss, die zum mindesten den sechsfachen Betrag seiner Parallaxe erreichen. Nimmt man letztere nach Peters zu 0.07" an, so ergibt sich für die periodische Ortsveränderung des Sterns eine Amplitude von wenigstens 0.4", ein Betrag, welcher gross genug ist, um sich auch schon in absoluten Ortsbestimmungen des Sterns bemerklich zu machen.

## Der spektroskopische Doppelstern Hizar.

Dieses Objekt bildet das Gegenstand spektrophotographischer Aufnahmen auf dem Astrophysikalischen Observatorium zu Potsdam, über welche Herr Geh. Rath H. C. Vogel der Berliner

Academie eine vorläufige Mitteilung machte,<sup>1)</sup> wovon Nachstehendes ein

<sup>1) Monophter d. Kgl. Preuss. Akad. XXIII, XXIV, p. 104</sup>

**Ausgang:** Die hellere Komponente dieses bekannten Doppelsterns (Ursae majores) ist nach den auf dem Harvard College Observatory Ende der vorigen Jahre des vorigen Jahrhunderts erhaltenen photographischen Aufnahmen des Spektrens selbst wieder ein Doppelstern. Aus dem zahlreichen Beobachtungsmaterial<sup>1)</sup> ist abgeleitet worden, dass beide Komponenten hell sind und die Spektrien der I. Spektralklasse zeigen. Die Bewegung der Komponenten geht sich durch eine zufällige, nur kurz andauernde Verdoppelung der Spektrallinien kund, die mit einiger Regelmässigkeit alle 52 Tage eintritt. Aus der Vorschichtung der Spektrallinien resultirt als grösste relative Geschwindigkeit beider Körper etwa 150 miles (156 km) Nach Peierling<sup>2)</sup> empfiehlt die Beobachtungen die Annahme einer stark excentrischen elliptischen Bahn, deren grosse Achse nahezu senkrecht zum Visirstrahlus gelagert ist. Nur zur Zeit des Periastrons, alle 124 Tage, würde dann die in die Gesichtslinie fallende Komponente der Bewegung eine Gerade sprechen, dass die Linien des aus der Ueberschneidung der Spektren der beiden Komponenten gebildeten Spektrensymposiums, während sie zur Zeit des Apastrons statt der geringeren Geschwindigkeit in der Bahn jedoch nur stark verdrängt oder schwachen erscheinen.

Nach den Cambridge Beobachtungen sollen aber Unregelmässigkeiten vorkommen, sodass bei jeder der Verhältnisse über das System als noch nicht ganz aufgeklärt anzusehen waren.

Die Freiburger Beobachtungen aus den Jahren 1846 und 1848 sind im wenig zahlreich und liegen im weit auseinander, um zur Entscheidung darüber beitragen zu können, andere aber schließt es sich mit den im März und April dieses Jahres dort von Dr. Eber-

hard und Dr. Ledermann mit dem Spektrographen IV am 33 cm-Refraktor ausgeführten sehr zahlreichen Spektrenaufnahmen des interessanten Doppelsterns, deren Auswertung Prof. Vogel vorgenommen hat.

Über die Spektren berichtet er, dass die Komponenten sind (S. 1a 2), dass zur Zeit, wo die Linien der Spektren beider Komponenten nahezu zusammenwälfen, in dem zur Untersuchung gelangenden Teil des Spektrens (2 H 20 bis J 4500) ausser der letzten Linie H $\gamma$  und der dem häufig hervortretenden Magnesium-Linie J 4481 mehrere der stärksten Linien des Eisen-Spektrens und einiger anderer Elemente (z. B. Sulfurum) sehr stark ausgeprägt sind. Sind die Spektren stärker gegenseitig verschoben, so werden die meisten Linien, die nur als Doppelketten erscheinen, so schwach, dass die Messungen ihres Abstands nur mit Mühe gelingen. Auf einigen Platten konnte dann sogar nur die Magnesium-Linie J 4481 gemessen werden, während auf besonders guten Platten sich ausser an einigen Linien des Eisen-Spektrens, besonders bei weiter Trennung, noch Messungen an der Linie H $\gamma$  anführen lassen.

In allgemeinen sind die Messungen, entweder infolge der ausserordentlichen Feinheit oder, bei den Magnesium- und Wasserstoff-Linien einer zu grossen Breite und Vervackeltheit der Linien, schwierig.

Die Magnesium-Linien erscheinen auf mehreren Platten ungüthlich breit, und Prof. Vogel hat vermuthet, ob ein Wechsel in diesem Verhalten nach einer Deckung kommt — wie er das früher bei  $\beta$  Aurigae, wo bekanntlich ebenfalls periodische Verdoppelungen der Spektrallinien auftreten, beobachtet konnte<sup>3)</sup> —, er aber bisher zu keinen übereinstimmenden Resultaten gekommen. Er hält es jedoch nicht für ausgeschlossen, dass von einer grösseren Anzahl von Beobachtungen

<sup>1)</sup> 115 Photographica, 88 Beobachtungsblätter.

<sup>2)</sup> Monthly Notices Roy. Astr. Soc., Vol. L, p. 207.

<sup>3)</sup> Pub. Notices des Astrophysik. Obs. Nr. 114, S. 193.

nach darüber Sicherheit zu erlangen, was wird.

Messungen über die Bewegungen des Systems in der Geschickliste sind an Platten ausgeführt worden, auf denen die Linien nicht mehr als doppelt zu erkennen waren. Sie konnten keine große Sicherheit, indem die Distanzen zwischen den einzelnen Linien des Strahlenspektrums und dem entsprechenden Linien des Emissionsspektrums stärkere Abweichungen zeigen, als bei Aufnahmen mit dem vergrößerten Apparat zu erwarten ist. Es kann das, nach Prof. Vogel, darin begründet sein, dass bei der nicht vollkommenen Deckung der Spektren die Komponenten verschiedener Liniengruppen nicht denselben Intensitätsunterschied besitzen, dass also bei einer der einfach erscheinenden Linien die mehr nach Rot gelegene Komponente die stärkere, bei einer anderen Linie die mehr nach Violet gelegene Komponente die stärkere war und dadurch eine verschiedene Auffassung der Liniensorte verursacht wurde. Endlich hat Prof. Vogel noch versucht, ob mit Berücksichtigung der Bewegung des Systems in der Geschickliste eine Verschiebung der Mitte der Liniengruppen gegen die entsprechende Linie des Ver-

gleichspektrums in den verschiedenen Phasen der Periode nachtrug, um über die relative Verhältnisse der Massen beider Körper Aufschluss zu erhalten, das bisherige Beobachtungsmaterial ergab sich aber für diese Untersuchung als unzureichend. Der Stern wird in Positionen noch weiter verfolgt werden, um den obigen Verhältnisse zu ergänzen, besonders aber um die Periode so genau zu bestimmen, dass ein Anschluss an frühere Beobachtungen möglich wird.

Für die Bewegung des Systems ergibt sich nach Prof. Vogels Messungen der Wert von  $\sim 16$  km in der Sekunde. Als wahrscheinlichster Dauer der Periode ergibt sich 336 Tage.

Nachdrückrechnungen Dr. Eberhards mittels der von Lehmann-Filhés gegebenen Formeln  $\text{§}$  ergibt sich für den Zeitpunkt, in welchem die Komponente der Bahnbewegung in der Richtung der Geschickliste zur Erde gleich Null war:  $T_0 = 1900$  März 20.00. Excentricität des Bahns  $e = 0.102$ , halbe große Achse  $a = 25$  Billionen Kilometer, Gesamtmasse beider Sterne  $M = 4$  Sonnenmassen. Ist die Bahngeschwindigkeit der Geschickliste gering, so sind die wahren Dimensionen grösser.

## Die Nova im Perseus.

### IV.

**G**über periodische Veränderungen im Spektrum dieser Nova berichtet E. v. Colhard  $\text{§}$  Von dem interessanten Spektrum der Nova Persei habe ich eine Reihe photographischer Aufnahmen mit meinem  $18\frac{1}{2}$ -Zollteles, teils mit einem 10-zölligen Objektivprisma, teils mit einem Quartzspektrographen angefertigt. Wie bereits ich nicht dass, das interessante Material zu bearbeiten, hier eigenhändliche periodische Veränderung hat mich

aber verwirrt, da folgende vorläufige Messung zu auffälligeren

Mer ist zuerst eine plötzliche Veränderung des Spektrums am 6. April aufgefallen. Ich habe mireres, mit dem Objektivprisma gemachten Aufnahmen vom 31. März und 6. April verglichen und bemerkt, dass das kontrastreichere Spektrum am 6. April bedeutend schwächer geworden ist und auf dem schwachen Grunde die auffälligeren und breiteren hellen Linien besonders kontrastreich

$\text{§}$  Astron. Nachr. No. 2113.

$\text{§}$  Astron. Nachr. No. 2102.

auftraten. Die Schwächung des kontinuierlichen Spektrums habe ich der Lichtabsorption der Nova zugeschrieben, während war aber, dass aus der hellen Wasserstofflinie H $\epsilon$  ( $\lambda = 3889$ ) eine sehr starke, breite, helle Linie sichtbar war, welche ich oft als planetarischen Nebeln gefunden habe ( $\lambda$  ca. 3886). Diese Linie hatte die gleiche Helligkeit, sodass sie entschieden heller war als H $\gamma$ , was ich aus mit stehendem Ursubstanz aufgenommenen Spektren ganz sicher konstatierte.

Am 5. April (Objektivspranze) habe ich wieder das alte Spektrum mit starkem kontinuierlichen Grunde erhalten und mit der dritten Nebellinie war wieder H $\epsilon$  sichtbar.

Die Helligkeit hat bedeutend zugenommen, die Aufnahme am 31. März mit zwei Minuten Exposition war mit derjenigen vom 5. April mit sechs Minuten gleich, und die Aufnahme vom 8. April mit zwei Minuten war bedeutend schwächer als die oben genannten.

Ich habe immer 10 bis 12 Aufnahmen gemacht von 1 bis 30 Minuten Exposition, sodass ein Vergleich leicht ausführbar ist.

Da bei der geringen Dispersion des Objektivspranze die Wasserstofflinie H $\epsilon$  ( $\lambda = 3889$ ) und die Nebellinie ( $\lambda = 3886$ ) sehr nahe zusammenfallen, habe ich die spätere Aufnahme mit einem Querspektrographen gemacht und gleichzeitig das Wasserstoffspektrum mitphotografiert.

Auf diesem Wege ist es mir gelungen, die vermutete periodische Veränderung ganz sicher zu konstatieren.

Am 11. April habe ich zwei Aufnahmen gemacht (20 Minuten und eine Stunde), welche demjenigen vom 5. April ähnlich sind, recht matter kontinuierlicher Grund, sehr starke Linien, welche beim Wasserstoff alle nach dem roten Ende verschoben sind. Nebellinie erschienen auf der rechten Seite der bläulichen H $\beta$ -Linie, keine Komodora mit derselben, außerdem eine kräftige ultraviolette Linie (gegen  $\lambda = 342$ ) und

eine schwächere (gegen  $\lambda = 379$ , zusammen 15 bis 16 helle Linien).

Am 15. April (30 Minuten) sehr schwaches Bild wegen Wolken, ähnlich wie am 11. April.

16. April Zwei Aufnahmen (15 Min., 45 Min.). Das kontinuierliche Spektrum ist sehr stark, H $\epsilon$  deutlich sichtbar, keine Spuren von der Nebel- und der ultravioletten Linie, wie am 31. März und 8. April. Das Aussehen des Spektrums ist so abweichend von demjenigen am 11. April, dass ich auf den ersten Blick an eine Verwechslung der Nova mit einem gewöhnlichen Stern dachte, bis ich die hellen Wasserstofflinien mit einer Lupe deutlich prüfen konnte.

18. April Wieder das Spektrum vom 11. April.

22. April. Ebenso, beide sehr hellfärbige Aufnahmen.

25. April. Ähnliche, sehr schwache Aufnahme, ultraviolette Linie (H $\epsilon$ ) deutlich sichtbar.

27. April. Zwei Aufnahmen (20 Min., eine Stunde) starkes kontinuierliches Spektrum, von welchem die hellen Wasserstofflinien kaum abzuheben. Nebellinie scheint im Übergangsbereich zu sein, ultraviolette Linie unsichtbar.

28. April (20 Min.) Schwaches kontinuierliches Spektrum, ultraviolette Linien unsichtbar.

29. April. (26 Min.) Vollständig wie am 11. und 21. bis 23. April, ultraviolette Linie sehr deutlich, kontinuierliches Spektrum sehr matt, Nebellinie da hellste.

Aus diesen ganz ähnlichen Beobachtungen ist zu ersehen, dass ich zwei verschiedene Spektren — bei einem das kontinuierliche, bei dem anderen das Gasspektrum überwiegend — beobachtet habe, welche periodisch wiederkehren.

Das kontinuierliche Spektrum habe ich sehr deutlich am 31. März, 8., 18., 21. April und im Gasspektrum am 5., 11., 21., 22., 25., 29. April beobachtet. Es scheint, dass das kontinuierliche Spektrum eine Periode von ca. 9 Tagen hat und der Stern längere Zeit in dem

Zustand verweilt, welcher dem Ozeanraum entspricht. Leider verhielt sich dasungelagerte Wasser besser ausserhalb des Meeres als innerhalb, und erst bei dem tiefen Stand der See ist wenig Hoffnung vorhanden, die Periode weiter verfolgen zu können.

Die Helligkeitsbeobachtungen der Nova sind im Monat April von G. Müller und P. Kempf im Polarkreis genauer untersucht worden. Diese Beobachter berichten von: \*) «Bei dem Erscheinen der Nova Persei haben wir dasselbe, so oft es die Witterung gestattete, photographisch beobachtet, und es ist uns gelungen, bis Ende April an 22 Tagenbruchbare Helligkeitswerthe zu erhalten. Wir beobachteten, die Messungen auch weiter fortzuführen und später eine zusammenfassende Arbeit über die interessanten Lichterscheinungen des Sterns, welche nützlich für die Beurteilung der verschiedenen, über die neuen Sterne aufgestellten Hypothesen von Bedeutung sein werden, zu veröffentlichen, nicht nur auf Grund unserer eigenen Messungen, sondern mit Benutzung aller beachtenswerthen Beobachtungen, soweit wir auch mit genügender Sicherheit auf ein gemeinschaftliches Grosssystem reduzieren lassen. Zunächst geben wir nur einen kurzen vorläufigen Überblick über die merkwürdigsten periodischen Lichtschwankungen der Nova während der letzten Wochen.

Die früheren neuen Sterne, z. B. bei der Nova Aurigae, ist ebenfalls die gleichzeitige Abnahme des Lichtes mehrfach durch kleinere oder grössere Wellen unterbrochen worden, aber niemals sind bisher während eines längeren Zeitraums regelmäßig wiederkehrende Lichtschwankungen von so erheblichem Betrage bemerkt worden. Es scheint nach allem, was bisher veröffentlicht worden ist, als ob der Beginn dieser grösseren Helligkeitschwankungen, die nach heute (Mai 1.) bekannters, auf den 16. März fällt. Es

dahin hat die Nova vom 23. Februar an, wo sie ihre Maximumhelligkeit (mag. 0) erreicht hatte, offenbar stetig, höchstens mit geringen, nur halbe Orbitschwingung nicht übersteigenden Schwankungen, rasch abnahm, dass langsam bis zur 4. Grösse abgemindert. Am 16. März erfolgte dann ein Ansetzen der Helligkeit, am 18. war ein schändliches Maximum von etwa 2,5 m erreicht, und am 19. ist auch übersteigendes Maximum beobachtet worden. Beobachter die Helligkeit plötzlich bis auf etwa 5,5 m herabgelassen. Am 20. wurde wieder ein Maximum (etwa 2,5 m) und am 22., 25. und 28. schon ausgeprägte Minima (Grösse etwa 5,0 bis 5,5 m) beobachtet.

Vom 9. bis zum 27. April haben wir hier eine zusammenhängende Messungreihe erhalten, in welcher nur zwei Tage fehlen und welche daher die sehr sichere Bild von den Lichtänderungen der Nova während dieser Wochen giebt. Es zeigt sich, dass die Helligkeit innerhalb dieser Zeit zwischen 4,3 und 5,0 m schwankt bei, dass aber die Länge der Wellen, welche im Monat März aus drei Tagen bestand zu haben scheint, allmählich grösser geworden ist und gegenwärtig ungefähr fünf Tage beträgt. Die Beobachter leiten aus diesen Helligkeitsbestimmungen vom 9. bis 27. mit. An diesen Tagen ist die Nova mehrere Stunden hindurch verfinstert worden, um zu prüfen, ob innerhalb dieser Zeit unregelmässige Lichtschwankungen eintreten, doch wurden solche nicht bemerkt. Aus einer graphischen Darstellung ergeben sich die folgenden ungefähren Zeiten für die Maxima und Minima.

Maxima	Minima
April 16	April 16,2
17,4	19,1
20,2	21,2
25,1	25,9
27,9	

«Die Periodenlänge beträgt hiernach während der Zeit von April 9 bis April 27 im Durchschnitt etwa 4,8 Tage,

sie scheint aber nicht ganz konstant gewesen zu sein. Der Stern verhält offenbar etwas länger in der Nähe des Minimums als in der Nähe des Maximums, und es muss das Anweilen der Helligkeit mit grosser Schwindigkeit vor sich gehen.

Aufhalsend ist noch die auch bereits von anderer Seite bemerkte Farbänderung, welche in d. roten Zusammenhang mit dem Lichtwechsel steht. Aus den Farbrückstellungen ergibt sich, dass

der Stern in der Nähe der Maxima wesentlich gelb oder höchstens gelb ist, im Minimum dagegen rötlich. Im Spektrum spricht sich diese Farbänderung dadurch aus, dass im Maximum das kontinuierliche Spektrum, insbesondere die violetten Partien desselben, relativ viel stärker hervortritt als im Minimum. Es wäre erwünscht, wenn die Beobachter der Neve stets auch sorgfältige Farbrückstellungen anstellen.

## Die letzten fünfzig Jahre der Himmelsforschung.

Von A. S.

(Fortsetzung)

**D**ieser Gedankengang Späres erinnert einigermaßen an die neue Sonnenlehre von Prof. Schmidt (Bödingen), gerade so wie der ganze Sonnenball aus kontinuierlicher Gasmasse ist und der irdische Rand der Sonnenscheibe nur eine Wirkung der Strahlenbrechung (in der von unten nach Aussen kontinuierlich an Dichte abnehmenden Gasfläche. Die eigentliche Natur der Sonnenscheibe ist auch heute noch räthselhaft, wenigstens bemerkt keine Einigung der Ansichten in dieser Beziehung. Welche Abschlüsse aber sonst die Spektralanalyse über die Zusammensetzung des Sonnenballs geliefert hat, Aufschlüsse, an die man vor 50 Jahren nicht denken konnte, ist bekannt. Damals bildete das Studium der Protuberanzen, in den weissen und karoen Momenten ihres Schimmerwunders bei totalen Sonnenfinsternissen, ein wichtiges Kapitel der beobachtenden Astronomie. Man hielt sie, gerade bei Untersuchungen von Arago, für eine Art Vulkan, welche durch die Sonnenphotosphäre erschüttert und getäubt wurd; das Spektroskop zeigte uns im August 1868, dass die Protuberanzen glühende Gasmassen sind, in denen der Wasserstoff eine hervorragende Rolle spielt. Seitdem fand man auch, dass die Bewegungen dieser Pro-

tuberanzen häufig ausserordentlich rasch sind, in konstant Geschwindigkeiten des Emporsteigens im einzelnen Protuberanzen vor, die wir bei materiellen kosmischen Körpern sonst nicht anzufragen. Zeigen sich in dieser Weise die Protuberanzen wie Empfinden aus dem Sonneninnern, so wird doch niemals behauptet, dass die emporgeschleuderten Massen wieder zurückfallen, und A. Schmidt hat die Hypothese aufgestellt und wahrscheinlich gemacht, dass wir in diesen Gebilden nur Produkte unvollständiger Strahlenabhebung sehen und ihr Licht aus einem Gebiete der Sonne stammt, welches unter dem Orbis der schwarzen Begrenzung derselben sich befindet. So ist unser Wissen von den Protuberanzen zwar seit 50 Jahren grossig angewachsen, aber das eigentliche Wissen derselben erscheint nach heute noch dunkel. Ebenso verhält es sich mit der Korona, welche zur Zeit totaler Sonnenfinsternisse die schwache Mondscheibe umgibt. Schon in den fünfziger Jahren war man darüber einig, dass diese Korona der Sonne angehört und Arago beschrieb sie als den äussersten Teil der Sonnenphotosphäre. Nach heute ist es nur zur Zeit von totalen Sonnenfinsternissen wenigen Menschen lang sichtbar, ob es die Photo-

graphen hat seit 1830 gestaut, die genaue Gestalt der Korona zu diesen Zeiten festzustellen und dadurch zu wissen, dass die Form derselben periodische Änderungen erleidet, die in einem Zeitraum von etwa 11 Jahren, parallel der Häufigkeit der Sonnenflecke, mit vollkommener Wiederkehr diese Veränderung hervorgehen wird, ist zur Zeit noch ebenso unbekannt, wie die Ursache, welche die stürmische Periode der Sonnenflecke bedingt. Wahrscheinlich macht sich die Wirkung dieser Ursache auch in anderen Erscheinungen geltend, doch ist ein Parallelismus mit der Häufigkeit der Sonnenflecke nur bezüglich des Erdmagnetismus und der Climaerwärmung richtig erwiesen, bezüglich der Temperatur- und Regenverhältnisse dagegen noch wenig.

Über die Quelle der Sonnenwärme und der Sonnenwinde wurde vor 50 Jahren in den Kreisen der Astronomen und Physiker mehr als einmal eine Vermutung geäußert, doch lehrt Humboldt die Ansicht nicht für absurd, die Sonne befände sich im Zustande eines periodischen Wandlens. Man sprach sogar alles Erden davon, die Wärme werde durch das Auffallen des Sonnenlichtes auf die Erdoberfläche erzeugt und die Sonne selbst im möglichen Falle ein kühler Himmelskörper. Wenn solche Hypothesen in einem Erdenjahr der Mitte des vorigen Jahrhunderts aufgestellt worden könnten, erweist man am besten die ungeschwächte Fortschrittskraft, welche die Wissenschaft seitdem gemacht hat, auch wenn es gegenwärtig noch nicht gelungen ist, höhere Wärme für das Alter und die vollständige Dauer der Sonnenwärme abzumessen. Fragen solcher Art haben vor fünf Jahrhunderten völlig außerhalb der Gesichtskreise unserer Forscher.

Wenden wir uns zu den Planeten, so waren im Schlusse des Jahres 1850 bekannt: 8 Hauptplaneten, 13 kleine Planeten zwischen den Bahnen des Mars und des Jupiter, 16 Monde oder Trabanten. Humboldt zählte im Kosmos

zwar 21 Satelliten auf, darunter aber befaßten sich 5 (nämlich 4 des Uranus und 1 Mond des Neptun), welche durch spätere Beobachtungen nicht bestätigt wurden. Die nachstehende Tabelle zeigt die Verhältnisse unserer astronomischen Kenntnisse der Anzahl der Trabanten 1850 und 1900:

	Zahl der bekannten Trabanten	
	1850	1900
Erde . . .	1	1
Mars . . .	—	2
Jupiter . . .	4	5
Saturn . . .	6	6
Uranus . . .	2	4
Neptun . . .	1	1

Die sogenannten Trabanten sind unvollkommen Objekte, welche nur in dem grünen Teleskop mit Schwertkollimatorium gesehen werden können. Das aber neben dem Mikroskopstrahl der Nacht auch liegt noch das alte 40fährige Teleskop W. Herschels aus dem Ende des 18. Jahrhunderts in Bezug auf Lichtstärke als überbittiger Hirt zu besitzen könnte, beweist die Thatsache, dass nach den Untersuchungen von Hermann Struve der jüngere Sitarmond Mimas (von W. Herschel 1789 August 25 am 40fährigen Reflektor entdeckt) bis jetzt nur am 36-Zoller in Washington und am 30-Zoller in Palermo, sowie an dem grossen Reflektor von Lassel und am demoptischen in Toulouse beobachtet worden ist.

Die Anzahl der Hauptplaneten hat sich in den letzten fünf Jahrzehnten nicht verändert, dagegen wuchs die Zahl der bekannt gewordenen Planetoiden gewaltig an. Uebrigens, denn es würden während dieses Zeitraumes fast 450 derselben aufgefunden und damit wachst deren Anzahl durchaus nicht ansehnlich zu sehr. Zur Aufzählung neuer Planetoiden ist der heutige Astronom in ganz anderer Weise angeordnet als seine Vorgänger Lalande, Golechowski, Leihar und andere in den fünfziger Jahren. Diese nannten die einzelnen Sterne in Kette



strömen und durch immer wiederholte Vergleichungen derselben mit dem Original nachsehen, ob darunter nicht ein künftiger Sternfall sich finde, der dann die Planetenrolle sein könnte; die neuen Planetenrollen beziehen sich zu gleichem Zwecke der Photographie und haben nur auf den Planeten nachzuweisen, ob die dargestellten Sterne als Punkte erscheinen oder Striche darunter vorhanden sind, letztere zeigen bewegliche Gestalt, also Planeten, an. Dieses Nachforschen auf dem Platten ist freilich keine so geringe Arbeit, als es auf dem ersten Blick scheinen möchte, sie ist wohl so mühevoll als die alte Methode, aber sehr viel erfolgreicher und erschöpfender.

Über die Ursache, welche diese merkwürdige Gruppe von sehr kleinen Wandelsternen hervorruft, hat man schon im Anfang des 19. Jahrhunderts viel geschrieben und gesprochen. Humboldt bemerkt 1838: „Wir können diese

wunderbaren Planetenschwarme nicht verstehen, aber in dieser Frage ist schon Aufklärung der scheinbar Offener des Sonnensystems der letzten Ansicht eines selbstgenügsamen, selbstschwebenden Astronomen über den Ursprung der Asteroiden und ihrer ständiger durchschneidender Bahnen zu erblicken. Ein aus den Berechnungen von Gauss gezogenes Ergebnis, dass Ceres bei ihrem selbstgenügsamen Durchgang durch die Ebene der Fallsterns diesem letzteren Planeten Liberos nahe kommt, liess Olofers auf die Vermuthung: es könnten beide Planeten, Ceres und Pallas, Fragmente eines einzigen, durch irgend eine Naturkraft zerfallen, vormals die weite Lücke zwischen Mars und Jupiter ausfüllenden, grossen Hauptplaneten sein; und man habe in demselben Region einen Zwerg von ähnlichen Teilweesen, die eine elliptische Bahn um die Sonne beschreiben, zu erwarten.“

(Fortsetzung folgt.)

## Vermischte Nachrichten.

Die Helligkeitsschwankungen des Planeten Eros haben obig abgelesen und sind gegenwärtig auf Mull herabgezogen. Herr Prof. Eschschlitz (Bonn) schreibt<sup>1)</sup> unter dem 17. Mai: „Seit dem letzten vergrößerten Selbstständigen Beobachtungsgrüben gelangte, bei der vorwiegend trübten Witterung, noch zu zwölf Abenden längere Reihen von Ortswechselbestimmungen des Eros, die aber auch, bei dem bald wechsellagigen Stand des Planeten in der Nähe des südlichen Horizonts oder wegen begrenzter Gesichtshöhe, vornehmlich abgebrochen werden mussten. Eine mehr als sechsstündige Reihe vom 24. März zeigt noch keine rückere Abnahme um Umlänge des Lichtwechsels, während schon vorher kurze Reihen vom 14. und 21. März und alle späteren flacher

Marses und Merkurs zeigten. In den seit dem 22. April erhaltenen Selbstständigen Reihen betragen die beobachteten Lichtänderungen nur fünf Stufen und weniger, doch habe ich am 13. Mai um 10<sup>h</sup> 31<sup>m</sup> M. Z. Eros noch ein gut hervorleuchtendes Minimum und am 14. Mai von 6<sup>h</sup> 12<sup>m</sup> bis 10<sup>h</sup> 33<sup>m</sup>, wo der Planet im Dunkel verschwand, ein Ausbleiben des Lichts im Betrag von 3 $\frac{1}{2}$  Stufen beobachtet können.“ Prof. Pickering teilt mit, dass nach den Beobachtungen zu Cambridge durch Prof. O. Wendell die Lichtablenkung des Eros März 12 1/3 Ortswechsel betrug, April 12 war sie nur mehr 8/3 und Mai 6 und 7 unbedeutend geringer als 5/3 Ortswechsel.

Fluctuationen mit grosser Geschwindigkeit in der Gestaltteile. Prof. W. W. Campbell teilt die Ergebnisse der neuesten mit der Lichtstreuung mit dem Michelson'schen Spektroskopium

<sup>1)</sup> Astron. Nachr. No. 3715.

erhaltenen Aufnahmen in Bezug auf die Geschwindigkeit einiger Protonen in der Gasechikawa zur Erde mit. <sup>5</sup> Unter anderem hat der Stern No 1836 im Katalog von Göttingen eine sehr große scheinbare Bewegung von Plutone, nämlich von 7.87° im Jahre. Bei 4.5-Orbit und es sind verschiedene Versuche gemacht worden, seine Parallaxe zu bestimmen. Aus denselben geht indessen nach den Untersuchungen von Prof. Newcomb her, dass diese Parallaxe wahrscheinlich nicht größer ist als 0.14". Nimmt man diesen Wert an, so folgt aus der scheinbaren Bewegung des Sterns, dass die wahre Geschwindigkeit desselben in der Richtung senkrecht zur Gesichtslinie nach der Erde 248 km in der Sekunde beträgt. Mit dem Hüllischen Spektroskop sind vier Aufnahmen des Spektrums dieses Sterns erhalten worden, darunter die besten mit einer Expositiometer von vier Stunden. Die Messungen der Linienverschiebungen ergeben im Durchschnitt, dass sich der Stern in der Richtung der Gesichtslinie um 95 km in der Sekunde abtut.

• *Andromeda* hat, gemäß vier Aufnahmen durch Wright, eine Geschwindigkeit von — 53.7 km in der Sekunde.

• *Leporello* im Mittel aus drei Messungen von Campbell ergibt sich als Geschwindigkeit dieses Sterns — 95 km in der Sekunde.

• *Comae Berenices*: Die Messungen von Wright und Campbell liefern für diesen Stern eine mittlere Geschwindigkeit von — 97.4 km.

• *Gamma Aquarii*: Für diesen Stern ergeben drei Aufnahmen die höchste vereinbarten Beobachter als Geschwindigkeit im Mittel + 95.8 km.

• *Pegasi* im Mittel aus drei Aufnahmen von Wright und Campbell folgt für diesen Stern als Eigenbewegung — 71.9 km.

• *Sagittarii*: Zwei Messungen von

Wright ergeben — 79.5 km als Geschwindigkeit pro Sekunde.

Das Zeichen — bedeutet, dass sich der Stern in der Gesichtslinie der Erde abtut, + dass er sich von ihr entfernt.

Die Wärmestrahlung sterner Fixsterns und Planeten ist auf der York-Starwarte von E. F. Nichols mit einem kleinen sphärischen Radiometer gemessen worden. Die Messungen ergeben für Wega, Arktur und Jupiter positive Werte, während die Ergebnisse für Saturn an der Grenze der Empfindlichkeit des Apparates liegt. Würde die Absorption der Strahlung in der Atmosphäre unter Benutzung der Millerschen Extraktionsmethode berücksichtigt, so änderte sich folgende relative Werte für die Wärmestrahlung Wega = 1, Arktur = 2.3, Jupiter = 4.7, während die Helligkeitsverhältnisse dieses Sterns sind Wega = 1, Arktur = 1, Jupiter = 1.6. Hiernach würde der (frühere) Arktur um mehr Wärme ausstrahlen als die (jetzt) Wega und Jupiter um weniger, wenigstens im Verhältnis zu seiner Helligkeit am wenigsten.

Der spektroskopische Doppeltstern *Pegasi*, dessen veränderliche Bewegung zuerst von W. W. Campbell bemerkt worden ist, wurde von diesem in den Jahren 1885—89 spektroskopisch aufgenommen. <sup>6</sup> Diese Aufnahmen ergeben, dass die mittlere Geschwindigkeit des Sterns zwischen + 37 und — 52 km in der Sekunde variiert und die Periode ungefähr 102 Tage beträgt.

Der Veränderliche *U. 1900 Cygni*, welcher von F. Hodge entdeckt worden, findet sich, wie Prof. Pickering mittel, auf zahlreichen Photographen der beobachteten Plannetengruppe, welche auf der Harvard-Starwarte erhalten wurden. <sup>7</sup> Hiernach beträgt die Periode des Sterns 218 Tage und der Stern ist im Maximum 102, im Minimum 13 Orbits.

<sup>5</sup> *Phil. of the Astrophys. Soc. of Pacific* 1901 218, No 75, p. 75.

<sup>6</sup> *Astron. Nachr.* No. 3112.

<sup>7</sup> *Astron. Nachr.* No. 3103.

**Feuerkugel.** Aus Osterrandschreibn von Herr Forstner: Am 4. Mai 94 26<sup>h</sup> abends beobachtete ich eine Feuerkugel ihr Ausgangspunkt lag dicht bei „Gehlsbaum“. Mit mäßiger Geschwindigkeit durchzerrte sie, die eines deutlichen Durchmesser von etwa 2 bis 3, die Strecke von s bis y, vornehmend darauf unter Hinterlassung eines Schwabes, der so nachwachste und wieder gleich darauf wieder auf.

Als die Feuerkugel zum zweiten Mal auftauchte, war ihre Richtung zu dem nach nördlichen Schwerts dies am über gegen Ende von Z<sup>1</sup> nach rechts vorüber und zwar genau parallel.

Die Helligkeit war folgende: Auf der ersten Strecke 2 Größe, auf der zweiten, kleineren, 1. Größe. Die Farbe war der des Phosphors gleich.

**Helles Meteor.** Herr H. Haas schreibt aus Friedland, „Ein Meteor, von der Helligkeit des Nordens im 1. Oktoberrache am 21. Mai um 9<sup>h</sup> 30<sup>m</sup> M. Z. abends. Es bewegte sich von seinem Ausgangspunkt, der etwa nördlich von  $\gamma$  Leontis zu liegen schien, in ca. 2 bis 3<sup>h</sup> nach der Zeitlinie, wo es über Castor rittsch. Das Meteor bestand aus mehreren Teilen, die sich auf einer Bahn von der Breite des Vollmonds bewegten, sodass ihr Weg durch mehrere Sternfelder beschleunigte. Die Farbe war rotlich. Die Erscheinung war von keinem Geräusch begleitet.“

Geführt Maria Gaudibert, Aus Vasson (Department Vaucluse) erhalten

wir die Trauerkunde vom Absterben dieses zülfirgen Beobachters. Er war geboren am 4. März 1823 zu Blaisacum (Vaucluse) und starb am 9. Juni 1881. Im Besitze eines reichen Einkommens und begünstigt von dem Marquis Hummel seines Wohnortes bei Gaudibert, der für seine Beobachtungen ein vorzüglich geschultes Auge besaß, viele Jahrzehnte hindurch die Mondoberfläche darstellte und besonders zahlreiche kleine Krater entdeckte. Als vornehmer Natur war es ihm lediglich daran zu sein, der Wissenschaft innerhalb des seines Hilfsmittels zugänglichen Gebiets Dienste zu leisten, ohne seine Person in den Vordergrund zu stellen und von sich reden zu machen. Daher stellte er seine Angaben völlig zurück und wandte von allen weltlichen Konzern des Mondes sich als vollständig unbekannt. Obgleich Gaudibert von hohem Alter erkrankte, ist für die Sternographie sein Verdienst ein sehr schmerzlicher.

**Forstner für Freunde der Einzelnebeobachtung.** Aus dem Leserverse des „Corpus“ sind mir mehrere grüne und kleinere, sehr gut erhaltene Forstner zum Verkauf angeboten worden. Freunde der Himmelsbeobachtung, welche die Anschaffung eines solchen Instrumentes beabsichtigen, sind sich diesbezüglich an mich wenden, bin ich zu jeder gewünschten Auskunft gern bereit. Dr. Klein.

## Literatur.

Katholismus der Kaiserreiche von Dr. Bruno Peter. Zweite, vollständig neu bearbeitete Auflage. In Originalausgabenband 2. A. Verlag von J. J. Weber in Leipzig.

Als Geschichtswissenschaft würde über das ältere Mittelalter die Geschichte die wissenschaftliche Darstellung sein. Nach ihrer Methode die geschichtlichen Tatsachen nicht nur zu beschreiben, die ethisch-religiösen und politischen Verhältnisse darzustellen, sondern auch die geschichtlichen Ursachen, die sich in der Zeit der Entstehung der Kirche zu gleicher Zeit zur Entwicklung gelangt ist. Diese und weitere wissenschaftlichen

sich auch vielfach in den Formen der Kirchenpolitik über zu sehen. Jede Maßnahme gründet die Erklärung nach dem Namen der Kaiserreiche. Die Jahre verlaufen nach Jahren zur Darstellung der Welt, die Kaiserreiche beginnen die Zeitrechnung mit der Geschichte der Provinzen. Die Beschäftigung mit der Geschichte der Provinzen ist wichtig. Vertrieben mit der republikanischen Art. In diesem Lebenslauf der Zeitrechnung ist ein wichtiger Faktor der Verbindung von dem Leugner der Provinzen. Dr. Bruno Peter von seiner Anschauung der dem Prozess der Geschichtswissenschaft als einer Bürger in den Folgen der Christologie ist.

## Astronomischer Kalender für den Monat September 1901.

Korrek- turen Tag	Sonne			Mond		
	Mittlere Sechser Mittel			Mittlere Sechser Mittel		
	Zeit M. L. — W. L.	Rektascension	Declination	Rektascension	Declination	Nacht im Meridian
1	+ 0 4 00	10 25 44.20	+ 1 21 54.1	0 48 30.04	+ 7 50 59.4	14 57.9
2	— 0 18 00	10 26 32.57	0 8 3 0	1 45 4.43	10 18 37.9	14 58.7
3	0 28 00	10 27 20.95	0 44 20.0	2 09 54.29	10 50 20.4	14 59.1
4	0 37 00	10 28 9.89	0 23 32.4	2 34 38.81	10 20 59.0	14 59.0
5	0 45 00	10 28 19.61	0 0 37.0	3 00 30.61	10 00 34.0	14 58.7
6	0 52 00	10 27 30.10	0 21 28.0	3 27 22.77	10 0 20.0	14 58.0
7	0 58 00	10 2 36.80	0 18 20.0	3 55 30.51	10 7 20.0	14 57.0
8	0 10 00	10 0 4 00	0 00 00.0	4 25 3 00	10 7 50.0	14 56.0
9	0 20 00	10 0 10.00	0 00 21.0	4 56 47.40	10 8 10.0	14 55.1
10	0 34 00	10 0 20.00	0 1 20.0	5 27 17.07	10 20 10.0	14 54.0
11	0 48 00	10 0 30.00	0 24 00.7	6 0 30.00	0 30 10.0	14 53.1
12	0 58 00	10 0 30.00	0 31 00.0	6 34 33.07	+ 0 3 00.7	—
13	1 08 00	10 0 20.07	0 00 2 0	7 01 14.00	— 0 7 00.0	0 58.0
14	1 17 00	10 0 10.00	0 00 4 0	7 27 40.00	0 34 40.0	0 58.4
15	1 26 00	10 0 0 00.0	0 15 10.0	7 54 30.00	0 0 00.0	0 57.0
16	1 35 00	10 0 0 00.0	0 30 00.0	8 21 30.00	10 20 00.1	0 56.1
17	0 20 00	10 0 10 10.0	0 45 00.0	8 48 30.00	10 33 00.0	0 55.0
18	0 31 00	10 0 20 00.0	0 50 00.0	9 15 30.00	10 46 00.0	0 54.0
19	0 4 00	10 0 30 00.0	0 55 00.0	9 42 30.00	10 59 00.0	0 53.0
20	0 16 00	10 0 40 00.0	1 00 00.0	10 09 30.00	10 30 00.0	0 52.0
21	0 28 00	10 0 50 00.0	1 05 00.0	10 36 30.00	10 0 00.0	0 51.0
22	0 40 00	10 0 50 00.0	1 10 00.0	11 03 30.00	10 13 00.0	0 50.0
23	0 52 00	10 0 40 00.0	1 15 00.0	11 30 30.00	10 26 00.0	0 49.0
24	1 4 00	10 0 30 00.0	1 20 00.0	11 57 30.00	10 39 00.0	0 48.0
25	1 16 00	10 0 20 00.0	1 25 00.0	12 24 30.00	10 52 00.0	0 47.0
26	1 28 00	10 0 10 00.0	1 30 00.0	12 51 30.00	11 5 00.0	0 46.0
27	1 40 00	10 0 0 00.0	1 35 00.0	1 18 30.00	11 18 00.0	0 45.0
28	1 52 00	10 0 0 00.0	1 40 00.0	1 45 30.00	11 31 00.0	0 44.0
29	2 4 00	10 0 0 00.0	1 45 00.0	2 12 30.00	11 44 00.0	0 43.0
30	2 16 00	10 0 0 00.0	1 50 00.0	2 39 30.00	11 57 00.0	0 42.0

### Finsterniskorrekturen 1901.

September 1	1901	Uranus im Quadranten mit der Sonne.
1	10	Venus im Kreuz in Boreas, mit dem Merkur. Venus 2° 11' ober.
1	11	Merkur im südwestlichen Spalte.
1	12	Merkur im Kreuzspalte in Boreas mit dem Merkur.
1	13	Venus im Kreuz in Boreas, mit dem Merkur. Venus 2° 11' ober.
1	14	Merkur im südwestlichen Spalte.
1	15	Merkur im Kreuz in Boreas mit dem Merkur. Declination.
1	16	Jupiter im Kreuz in Boreas, mit dem Merkur. Declination.
1	17	Jupiter im Kreuzspalte in Boreas mit dem Merkur.
1	18	Jupiter im Kreuzspalte in Boreas mit dem Merkur.
1	19	Sonne im Kreuz der Waage. Declination.
1	20	Neptun im Quadranten mit der Sonne.
1	21	Merkur im Kreuzspalte.
1	22	Jupiter im Quadranten mit der Sonne.

**Planeten-Ephemeriden.**

Mittlere Berliner Mittag							Mittlere Berliner Mittag									
Monatstag	Schwanken			Declination			Obere Nordhöhe	Monatstag	Schwanken			Declination			Obere Nordhöhe	
	h	m	s	+	-	"			h	m	s	+	-	"		h
<b>Uran</b>							<b>Uran</b>									
<b>Sept. 17</b>							<b>Sept. 17</b>									
	13	30	779	+ 0	0	170	1	30	13	45	47-55	-22	45	47-5	1	40
	14	12	30	7777	+ 1	15	40	0	15	12	45	49-50	-22	45	47	4
	15	12	30	46-07	-	3	37	0	15	12	45	49-50	-22	45	47	0
	16	12	30	33-52	-	0	11	0	16	12	30	33-52	-22	45	47	0
	17	12	30	0-55	-	0	12	0	17	12	30	0-55	-22	45	47	0
	18	12	45	29-55	-22	45	47	0	18	12	45	29-55	-22	45	47	0
<b>Venus</b>							<b>Venus</b>									
<b>Sept. 17</b>							<b>Sept. 17</b>									
	13	12	30	6-42	-	4	44	0	13	12	30	6-42	-	4	44	0
	14	12	30	57-50	-	0	21	0	14	12	30	57-50	-	0	21	0
	15	12	45	13-58	-	0	47	0	15	12	45	13-58	-	0	47	0
	16	12	4	49-51	-	0	7-10	0	16	12	4	49-51	-	0	7-10	0
	17	12	30	20-54	-	0	22	0	17	12	30	20-54	-	0	22	0
	18	12	45	46-57	-22	45	47	0	18	12	45	46-57	-22	45	47	0
<b>Mars</b>							<b>Mars</b>									
<b>Sept. 17</b>							<b>Sept. 17</b>									
	13	12	30	5-50	-	22	44	0	13	12	30	5-50	-	22	44	0
	14	12	30	47-57	-	0	4-1-57	0	14	12	30	47-57	-	0	4-1-57	0
	15	12	30	71-50	-	0	12-17	0	15	12	30	71-50	-	0	12-17	0
	16	12	45	13-54	-	0	20-21	0	16	12	45	13-54	-	0	20-21	0
	17	12	30	52-58	-	0	27	0	17	12	30	52-58	-	0	27	0
	18	12	45	1-57	-	0	34	0	18	12	45	1-57	-	0	34	0
<b>Jupiter</b>							<b>Jupiter</b>									
<b>Sept. 17</b>							<b>Sept. 17</b>									
	13	12	30	22-57	-	22	51	0	13	12	30	22-57	-	22	51	0
	14	12	30	57-50	-	0	23	0	14	12	30	57-50	-	0	23	0
	15	12	30	1-54	-	0	31	0	15	12	30	1-54	-	0	31	0

**Mercurknoten 1873.**

	h	m	
Septemb. 1	0	20-0	Letztes Viertel.
12	12	10-1	Neumond.
24	12	10-4	Erstes Viertel
27	12	10-8	Vollmond
1	0	—	Mond in Erdferne.
17	0	—	Mond in Erdnähe.
23	7	—	Mond in Erdferne

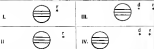
**Sternbedeckungen durch den Mond für Berlin 1900.**

Morgenstg	Stern	Größe	Einst.		Ausst.	
			h	m	h	m
Sept. 1	α Cassi	0.0	10	37.8	12	37.4

**Lage und Größe der Saturnringe nach Bessel.**

September 21	Größe Achse der Ringfläche	20' 30"	Meine Achse	18' 47"
	Erhöhungswinkel der Erde über der Ringebene: 20° 40' nördl.			
Sept. 7.	Widere Seite der Ringe	62° 21'	7-21"	
	Schmalere " " "	52° 27'	1-27"	
	Halbmesser der Sonne	16'	49.54"	
	Parallaxe " "		0' 51"	

**Stellungen der Jupitermonde im September 1901.**



Aufgaben am 1<sup>o</sup> für den Anblick im astronomischen Periscope.

Tag	West.		Ost.
1		0	4
2		0 <sup>1</sup>	1
3		0 <sup>1</sup>	1
4		0	1
5		0	1
6	0 <sup>1</sup>	0	1
7		0 <sup>1</sup>	1
8		0	1
9		0 <sup>1</sup>	1
10		0	1
11		0 <sup>1</sup>	1
12		0	1
13		0	1
14		0	1
15		0 <sup>1</sup>	1
16		0	1
17		0	1
18		0	1
19		0	1
20		0	1
21		0	1
22		0	1
23		0	1
24		0	1
25		0	1
26		0	1
27		0	1
28		0	1
29		0	1
30		0	1

**Erkenntnissen der Jupitermonde.** Die wichtigsten Angaben über die Erscheinungen der Jupitermonde beschränken sich auf mittlere Zeit von Göttingen. Die Tabellen sind der Reihenfolge ihres Abnehmens vom Jupiter nach III I bis IV benannt. Die vier grossen Figuren zeigen die Stellung jedes Mondes mit Bezug auf den Jupiter bei den Aufgängen der Verbindung III oder des Widersprechens  $\alpha$   $\beta$   $\gamma$   $\delta$  nicht angegeben, so kann der Astron. aus dem Verhalten selbst leichtmittel werden. Ferner bedauern bei den nachfolgenden Zeitangaben

- Je D des Verhältnisses des Umfanges im Schatten des Jupiters.
- Je R des Aussehs des Umfanges aus dem Schatten des Jupiters.
- Co D des Verschwindens des Trabanten hinter den Jupitersehnen
- Co R des Wiedereintrittens seltlich neben der Jupitersehnen
- Tr I des Eintritt des Trabanten vor die Jupitersehne
- Tr E des Austritts des Trabanten aus der Jupitersehne
- Sh I des Eintritt des Trabantenshadows auf die Jupitersehne
- Sh E des Austritts des Trabantenshadows aus der Jupitersehne

Es sind aus denjenigen Erscheinungen der Jupitermonde angedeutet, welche sich ereignen wenn Jupiter in Opposition über und die Sonne unter dem Horizonte steht. Um die Manner der dieser Erscheinungen nach mehreremjähriger Zeit zu finden, hat man nur abg. 1<sup>o</sup> zu den angegebenen Zeitspuncten zu addiren

September 1. I. E. R. 2<sup>o</sup> 11<sup>o</sup> 11<sup>o</sup>. September 2. III. Co. R. 7<sup>o</sup> 20<sup>o</sup>. III. E. D. 2<sup>o</sup> 20<sup>o</sup> 11<sup>o</sup>. September 3. IV. Sh. E. 1<sup>o</sup> 20<sup>o</sup>. September 4. II. Sh. I. 1<sup>o</sup> 20<sup>o</sup>. II. Tr. E. 2<sup>o</sup> 11<sup>o</sup>. September 7. I. Tr. E. 2<sup>o</sup> 11<sup>o</sup>. I. Sh. I. 2<sup>o</sup> 11<sup>o</sup>. September 8. I. Co. D. 2<sup>o</sup> 11<sup>o</sup>. I. E. R. 2<sup>o</sup> 11<sup>o</sup> 11<sup>o</sup>. September 9. II. Sh. E. 1<sup>o</sup> 20<sup>o</sup>. III. Co. D. 2<sup>o</sup> 11<sup>o</sup>. September 10. III. Co. D. 2<sup>o</sup> 11<sup>o</sup>. September 11. II. Sh. E. 1<sup>o</sup> 20<sup>o</sup>. September 12. III. Co. D. 2<sup>o</sup> 11<sup>o</sup>. September 13. I. Tr. E. 2<sup>o</sup> 11<sup>o</sup>. September 14. I. Co. D. 2<sup>o</sup> 11<sup>o</sup>. September 15. I. E. R. 2<sup>o</sup> 11<sup>o</sup> 11<sup>o</sup>. September 16. I. Sh. I. 2<sup>o</sup> 11<sup>o</sup>. September 17. I. Tr. E. 2<sup>o</sup> 11<sup>o</sup>. September 18. I. Co. D. 2<sup>o</sup> 11<sup>o</sup>. September 19. I. E. R. 2<sup>o</sup> 11<sup>o</sup> 11<sup>o</sup>. September 20. I. Sh. I. 2<sup>o</sup> 11<sup>o</sup>. September 21. I. Tr. E. 2<sup>o</sup> 11<sup>o</sup>. September 22. I. Co. D. 2<sup>o</sup> 11<sup>o</sup>. September 23. I. E. R. 2<sup>o</sup> 11<sup>o</sup> 11<sup>o</sup>. September 24. I. Sh. I. 2<sup>o</sup> 11<sup>o</sup>. September 25. I. Tr. E. 2<sup>o</sup> 11<sup>o</sup>. September 26. I. Co. D. 2<sup>o</sup> 11<sup>o</sup>. September 27. III. Co. D. 2<sup>o</sup> 11<sup>o</sup>. September 28. II. Co. D. 2<sup>o</sup> 11<sup>o</sup>.

**Stellungen der Saturnmonde. (Erläuterung S. 24.)**

Zeiten der südlichen Elongation im September 1822.

**Erige.** September 1. 10<sup>h</sup> 4<sup>m</sup>. September 3. 10<sup>h</sup> 15<sup>m</sup>. September 5. 10<sup>h</sup> 4<sup>m</sup>. September 7. 10<sup>h</sup> 15<sup>m</sup>. September 9. 10<sup>h</sup> 4<sup>m</sup>. September 11. 10<sup>h</sup> 15<sup>m</sup>. September 13. 10<sup>h</sup> 4<sup>m</sup>. September 15. 10<sup>h</sup> 15<sup>m</sup>. September 17. 10<sup>h</sup> 4<sup>m</sup>. September 19. 10<sup>h</sup> 15<sup>m</sup>. September 21. 10<sup>h</sup> 4<sup>m</sup>. September 23. 10<sup>h</sup> 15<sup>m</sup>. September 25. 10<sup>h</sup> 4<sup>m</sup>. September 27. 10<sup>h</sup> 15<sup>m</sup>. September 29. 10<sup>h</sup> 4<sup>m</sup>.

**Krona.** September 1. 4<sup>h</sup> 4<sup>m</sup>. September 3. 4<sup>h</sup> 4<sup>m</sup>. September 5. 4<sup>h</sup> 15<sup>m</sup>. September 7. 4<sup>h</sup> 4<sup>m</sup>. September 9. 4<sup>h</sup> 15<sup>m</sup>. September 11. 4<sup>h</sup> 4<sup>m</sup>. September 13. 4<sup>h</sup> 15<sup>m</sup>. September 15. 4<sup>h</sup> 4<sup>m</sup>. September 17. 4<sup>h</sup> 15<sup>m</sup>. September 19. 4<sup>h</sup> 4<sup>m</sup>. September 21. 4<sup>h</sup> 15<sup>m</sup>. September 23. 4<sup>h</sup> 4<sup>m</sup>. September 25. 4<sup>h</sup> 15<sup>m</sup>. September 27. 4<sup>h</sup> 4<sup>m</sup>. September 29. 4<sup>h</sup> 15<sup>m</sup>.

**Reia.** September 1. 7<sup>h</sup> 15<sup>m</sup>. September 3. 7<sup>h</sup> 15<sup>m</sup>. September 5. 7<sup>h</sup> 4<sup>m</sup>. September 7. 7<sup>h</sup> 15<sup>m</sup>. September 9. 7<sup>h</sup> 4<sup>m</sup>. September 11. 7<sup>h</sup> 15<sup>m</sup>. September 13. 7<sup>h</sup> 4<sup>m</sup>. September 15. 7<sup>h</sup> 15<sup>m</sup>. September 17. 7<sup>h</sup> 4<sup>m</sup>. September 19. 7<sup>h</sup> 15<sup>m</sup>. September 21. 7<sup>h</sup> 4<sup>m</sup>. September 23. 7<sup>h</sup> 15<sup>m</sup>. September 25. 7<sup>h</sup> 4<sup>m</sup>. September 27. 7<sup>h</sup> 15<sup>m</sup>. September 29. 7<sup>h</sup> 4<sup>m</sup>.

**Uran.** September 1. 2<sup>h</sup> 4<sup>m</sup> E., September 3. 2<sup>h</sup> 15<sup>m</sup> E., September 5. 2<sup>h</sup> 4<sup>m</sup> W., September 7. 2<sup>h</sup> 15<sup>m</sup> S., September 9. 2<sup>h</sup> 4<sup>m</sup> E., September 11. 2<sup>h</sup> 15<sup>m</sup> E., September 13. 2<sup>h</sup> 4<sup>m</sup> W., September 15. 2<sup>h</sup> 15<sup>m</sup> S.

**Jupiter.** September 24. 6<sup>h</sup> 4<sup>m</sup> E.

Herausgeber: Dr. Hermann J. Nees in Bonn. — Druck von Oskar Leber in Leipzig. — 200



March 1928

Table 32

Das Allegheny-Observatorium - Allegheny City, Pa.  
Entwurf von Architekt F. E. McQuinn





# SIRIUS.

Zeitschrift für populäre Astronomie.

Centralorgan für alle Freunde und Förderer der Himmelskunde.

Herausgegeben

unter Mitwirkung hervorragender Fachmänner und renommierter Schriftsteller  
von Dr. Hermann A. Klotz in Köln a. Rh.

August 1904.

„Wissen und Erkennen sind die Frucht und die  
Berechtigung der Menschheit.“ — Kierkegaard.

Jeden Monat 1 Heft. — jährlich 12 Hft.

Verlag von EDUARD HEINRICH MAYER in Leipzig.

INHALT. William H. Pickering's Beobachtungen der Mondformationen. Von Dr. Klotz. (Dieses Heft S. 1.) — Übertragungen über das System der Kometen 1802, 1840 und 1862, von Professor Nicolaus Kravitz. S. 114. — Die letzten fünfzig Jahre der Himmelsforschung. Von A. S. (Fortsetzung) S. 122. — Die partielle Mondfinsternis 1904 Oktober 27. S. 124. — Vermischte Nachrichten S. 125. — Astronomischer Kalender S. 126. — Stellung der Jupitermonde im Oktober 1904. S. 127. — Erscheinungen der Jupitermonde. S. 128. — Erscheinungen der Saturnmonde. S. 129.

## William H. Pickering's Beobachtungen der Mondformationen.

Von Dr. Klotz,  
(Dieses Heft S. 1.)

Unter den wenigen ernsthaften Beobachtern der Mondformationen in unserem Zeit, ist William H. Pickering mit in erster Linie zu nennen, und da die Zahl der unabhängigen Beweiser solcher photographischen Arbeiten mit besonderem Erfolg ist, so will ich in diesem Orte etwas näher auf die Beobachtungen des Genannten eingehen. Sie sind deshalb von großer Bedeutung, weil Prof. Pickering ein solches Teleskop seiner eigenen geistigen Leistungen zum Besonderen benutzt und seine Beobachtungen konsequent auf bestimmte

Oberflächen konzentrierte. Andererseits war er aber doch mit den frühesten Arbeiten nicht so genau bekannt als solches wünschenswert ist, auch gelang es zu einigen Ergebnissen, die besser-Erkenntnis nicht unbedingt angenommen werden dürfen.

Sein Beobachtungsort war die Station, welche die Harvard-Stationen bei Arequipa in Peru in 16° 22' süd. Breite, 49° 10' 12" west. Länge von Greenwich, in 2000 m Höhe errichtet ist. Das benutzte Instrument war der 13-zöllige Boyden-Refraktor, dessen Objektiv zu Visual-Beobachtungen auf 21.4 mm abgeblendet wurde und der mit Vergrößerungen bis zu 75-fach versehen war. Die Station in Arequipa

\*) Annals of the Harvard College Observatory Vol. XXXII, Part II, Cambridge 1902.

hat so ausgezeichnete Luftverhältnisse, dass Prof. W. Pickering ausspricht, es sei wahrscheinlich der Mond noch niemals selbst mit dem größten Teleskop so genau gesehen worden als von ihm auf jener Station. Nach größeren Prüfungen kommt er zu dem Ergebnisse, dass dort in seinem Instrumente das kleinste noch direkt wahrnehmbare Objekt der Mondoberfläche etwa 500 engl. Fuss oder rund 300 m im Durchmesser besitzt und der Mond im Fernrohr so erscheint wie dem blossen Auge im 1800 engl. Meilen Entfernung. Ich werde die von Prof. Pickering beobachteten Mondregionen in der Krienerfolge, wie er sie aufliest, hier kurz besprechen, zunächst mit diejenigen, welche ich selbst längere Zeit beobachtet habe.

Die runde Fläche der Wall-steinen Plato Pickering hat, am 5. Sept. 1892 begessend, durch Höhenmessungen die Positionen von 11 der am besten sichtbaren kleinen Krater auf dieser Fläche festgelegt und später dann noch eine grosse Zahl anderer sehr kleiner Krater angeschossen, im ganzen 71. Er gibt zwei schematische Zeichnungen des Innern von Plato, welche auf Tafel XII hier reproduziert sind. Die Kreistrichen auf der unteren Zeichnung sind durch kleine Kreise beschriftet und bezeichnen, dass Lage mikroskopisch bestimmt wurde, gleichzeitig durchlöcherbar. Die kleinen Kreise, die an einem besonderen Strich eingeschrieben, bezeichnen die Lage von Kratern, welche nach Zeichnungen in verschiedenen Bildern eingestochen wurden, die mit einem verstellten Strich schickte, welche nur nach einer Zeichnung eingestochen sind. Einzelne Kreise ohne jede weitere Markierung beziehen sich auf Kraterchen, welche nicht in Ansehung gesehen wurden, sondern nach den Zeichnungen anderer Beobachter eingestochen sind. Die übereinstimmende richtige Benennung der letzteren hat Prof. Pickering sehr viele Mühe gemacht und er gelangt zu der Überzeugung, dass offenbar gross Verände-

rungeu in der Sichtbarkeit bei einigen dieser Kraterchen stattgefunden haben müssen. Besonders der Kraterchen No. 51 hat ihm die grössten Schwierigkeiten bereitet, es ist von Stanley Williams und dem Komitee der British Association eingetrichert worden, konnte aber von Pickering durchaus nicht aufgefunden werden. Möglicherweise ist daraus aber durchaus nicht zu schliessen, dass Krater, welcher von den genannten besuchten Beobachtern als gross und auffällig bezeichnet wird, so verschwinden, er ist nur verdeckt und mit Pickering's No. 52 identisch. Bei aussergewöhnlich sehr guter Luft werden auf dem Waale bewiesen überaus schwache Objekte sichtbar, die sich dann wieder plötzlich nicht zeigen, ihre plötzliche Sichtbarkeit ist aber meines Erachtens nicht auf wirkliche Veränderungen zurückzuführen, sondern lediglich optisch zu deuten.

Von diesen Kraterchen sind nur fünf gross genug, um ihre Durchmesser durch Vergleich mit der Dicke der Mikrometerfäden des Fernrohrs zu schätzen. Es wurde gefunden für Krater

	Schwarzer Durchmesser	Weisser Durchmesser
No. 31	1.7"	300 m
" 30	0.7	130 "
" 41	0.7	130 "
" 45	0.5	90 "
" 31	0.5	90 "

Die kleinsten übrigen Kraterchen können nicht über 0.3" und nicht mehr 0.2" oder 500 bis 300 m im Durchmesser haben, müssen also immer noch grösser sein als der Krater des Visuv. Derselbe letztere wäre also vom Waale aus mit unserer besten Luve nur nicht mehr als runde, schalenförmige Tüpfel zu erkennen, im der Nacht des 12. August 1892 bei sich Gelageheit, die Fläche einiger der kleinen Kraterfingel zu messen, (Tafel 114) um mittlere Grossenmacher Zeit erweilen um schwarzer Striften Sonnenlicht auf der Fläche des Plato von Krater 41 bis fast zum Ostende der Fläche, 11 m später hatte er diesen

Rand erreicht. Später erschienen auch mehr Lichtstrahlen und kurz vor 12h erheben sich der Scheitel des Gipfels 9 auf der inneren Fläche. Der innere Scheitelpunkt des Kraters 45 wurde gemessen und damit als wissenschaftlicher Wert für die Höhe des Kraterwalles 45 m gefunden. Für den Kraterden No. 13 ergibt sich eine Höhe von 51 m. Am 20 August wurde versucht, die innere Tiefe dieser Kraterden zu bestimmen, es fand sich für No 13 eine solche von 200 m, für No 41 und 51 solche von 150 m.

Das am besten sichtbare Objekt ist der Krater No. 53, dann folgt No 51, doch wird dieser übersehen von No. 41 überstrahlt. Fokierung gibt auch Mitteilungen über sichtbare Strahlenschwankungen anderer anderer kleiner Krater und spricht seine Überzeugung dahin aus, dass diese Landschaft des Mondes gegenüberlich auch in einem Zustande vulkanischer Thätigkeit sich befinde und mehr stülte an als irgend eine gleich große Fläche auf der Erde. Es finde sich aber dort keine Andeutung von Lava, jedoch deuteten die weißen Stoffe augenscheinlich auf irgend etwas, welches Analogie mit Schnee oder Wolken habe. «Es muss», sagt er, «ein gewisses Anhängen von Gasen dort stattfinden, von Wasserdunst oder Kohlendunst, wovon der erstere wahrscheinlich zur Bildung der weißen Flecke beiträgt. Dass diese Gase nur in sehr geringen Mengen dort vorhanden sind, ergibt sich aus seinen Beobachtungen, deren genau die Horizontalabstrichen in der Mondatmosphäre beträgt als 0.4° ist. Die hellen Stellen in der oberen Abbildung Tafel 311 sind von Prof. Pickering nach einer Zeichnung von 16. Juli 1891 und Maxon vom 15 Juli jenes Jahres und vom 11 August 1892 angefertigt. Er glaubt, dass sie wahrscheinlich merklich gelindert haben an der Höhe geworden sind, sowie über eine kleinere Fläche ausgebreitet erschienen. Hier scheint diese Veränderung nicht ausreichend er-

wiesen. Die innere Fläche des Plat ist merklich höher gewölbt als die normale Mondoberfläche, wovon man sich bei Sonnenanalogie überzeugen kann. Dassel Innere unterliegt Veränderungen seiner Helligkeit. Wenn das Sonnenlicht senkrecht darauf trifft, so ist die Fläche merklich dunkler, aber unter dem Einflusse des Sonnenlichtes dunkelt die Materie, welche den westlichen Teil dieser Fläche bedeckt, zugleich ab und wird hellt darüber als der schwächer beleuchtete, höhere östliche Teil. Wenn aber die Sonne höher steigt, dunkelt auch dieser ab. Nach Mittag ist der östliche Teil stärker erleuchtet und erscheint daher heller, bei gegen Sonnenanalogie wenn die Materie, die den westlichen Teil bedeckt, abbläut, dunkelt der östliche auch ab.

Was die Fokierung anbelangt, so ist während der ersten Hälfte der Zeit das westliche Ende der inneren Fläche des Plat helter, während der letzten Hälfte das andere Darüberschneidungspollicher Ton, als wenn er von sehr kleinen Dämpfen herrührte, und diese Materie, welches nach seiner Idee Natur sein mag, hat eine störende Wirkung auf die relative Helligkeit der einzelnen Teile der Fläche. Mit dem Mars Figuris bei glücktem Abend von der Leuchtgrenze möglichem, ist ein Tag nach Sonnenanalogie der hellste Teil der inneren Fläche des Plat etwas heller und 1.5 bis 2 Tage später etwas dunkler. Dann wird er nachher dunkler bis kurz vor Sonnenanalogie, erreicht aber bis zu diesem seine ursprüngliche Helligkeit nicht. Prof. Pickering kommt zusammenfassend zu dem Schluss, dass die Erscheinungen auf der Fläche des Plat anzeigen, dass dort, wenn auch in sehr geringen Quantitäten, Feuchtigkeit und Kohlendunst zu Tage treten und die vulkanische Thätigkeit mindestens so lebhaft ist als auf der Erde.

LIEBOW. Prof. Pickering führt die jetzigen Beobachtungen dieses Kraters an und kommt zu dem richtigen Schluss, dass niemand denselben als Krater ge-

schon hat vor Lohmann und Müller. Letzterer gab ihn 10 Lin im Durchmesser und 500 m Tief. Bei ungenügender hoher Betrachtung war aber Linné sehr von dieser heller Fleck. Schmidt sah ihn als Kreis 5513 öfös. 1868 konnte er unter gleichen Betrachtungsverhältnissen die Kreisform nicht mehr wahrnehmen und sagte das Verschwinden des Linné an. Pötkering hat das Objekt 1897 Oct 3 und Nov 30, da der Sonne 7<sup>h</sup> resp 5<sup>h</sup> über demselben aufgegangen war, um 15 u. l. Refraktor zu Cambridge beobachtet. Er fand einen kleinen hellen Kreis, umgeben von einem Wulst, dessen Mitte nach innen dem Scheitel genau nicht über 48 m betrug, konnte. Dieser Kreis lag am nördlichen Rande eines weitrunden Kreises von 16" Durchmesser, der wahrscheinlich die Oberfläche eines chemischen Krates bildete, welcher wahrscheinlich eingestürzt war, als der Mars in einem halbflüssigen oder plastischen Zustande war. Dieser Krater ist während der ganzen Linnézeit sichtbar. Sein wulstiger Wall ist höher und besser definiert als der gelbliche und wirkt hart nach Sonnenaufgang vom kleinen Scheitel. Man findet häufig kleine Kreise mit dem Wulst von grossen und Pötkering glaubt, dass der Original-Linné vor seiner Zerstörung ebenfalls diese Lage hatte. »Du,« sagt er, »ein grosser flacher Krater von 4" bis 5" im Durchmesser vor 30 Jahren in diesem Flecken von westwärts sehr Astronomie gesehen worden ist und ganzwichtig von solcher Objektivität an einem 15 u. l. Refraktor nicht mehr erkannt wird, so hat man Grund zu der Annahme, dass während dieser Zeit dort eine Veränderung eingetreten ist. Ich kann diese Ansicht nicht teilen. Das Linné vor 1868 eine andere Gestalt hatte, nämlich ein grösseres, in der Leichtigkeit nach in kleineren Kreisen deutlich sichtbar Krater war, ist sicher, aber in eine Veränderung nach 1867 glaubt ich nicht. Der Beobachter am 1867 heraus hatten in Aufbaum vor

früheren Marsdetails keine Erläuterung und wackeln über Aufmerksamkeit auf das Linné, nur weil J. Schmidt dessen Verschwinden angemerkt hatte. Wie gering die Kenntnis der bei weitem meisten Beobachter damals war, beweist die Thatsache, dass ein Mann, wie Hart, den Krater Linné noch nicht einmal auf der Schaller'schen Karte richtig überzeichnet konnte. Er nahm dafür den Fleck g bei Scheitel und ich musste damals diese Angabe wesentlich als völlig irrig ablehnen. Was ich selbst in den Jahren 1863 und 1864 unter den günstigsten Verhältnissen an Linné wahrnahm, habe ich im Series, Jahrgang 1864, S. 242 mitgeteilt. Diese Wahrnehmungen werden übrigens übereinstimmend von demjenigen Pötkering im Jahre 1897 bestätigt, sodass also mindestens seit 1868 keine Veränderung mehr am Linné stattgefunden hat. Aber auch seit 1867 nicht, denn wie Huggins damals sah, ist nichts anderes als die durch die Trümmers der alten Linnézeit angeordnete höhere grössere Kraterumrandung. Der Durchmesser des heutigen Krates Linné bestimmt Pötkering zu 6<sup>h</sup> oder 1,3 Lin. Der Durchmesser des wulstigen Fleckes am Orte des alten Linné betrug 1868 bis 1869 etwa 5" bis 6", dagegen fand Prof. Pötkering 1897 diesen Durchmesser zu 30", erkannte aber durch Bestatungen 1898, dass dasselbe mit dem Sonnenstande veränderlich ist und am kleinsten 24" nach Vollmond, welcher eben dem niedrigsten Stande der Sonne für Linné entspricht. Pötkering spricht die Ansicht aus, dass die Umrisse dieses Fleckes ebenfalls gegen Ende des Vordringens sind als im Anfang desselben und die Veränderungen seiner Gestalt völlig analog sind demjenigen, welche die Polstellen des Mars zeigen und wahrscheinlich auch aus dem nämlichen Grunde.« Ich muss gestehen, dass, wenn die Veränderungen in der Ausdehnung der wulstigen Marsstellen nicht deutlicher und störender im Zusammenhang mit dem Sonnenstande sich

negten als diejenigen in der Ausdehnung des hellen Fleckes um den Umriss, wie die ganze Meteorologie des Mars sehr ähnlich vorkommen würde.

Schröter's Thal Mit diesem Namen bezeichnet Prof. Pickering die große Rille des Herkules, welche Schröter entdeckte und die von allen Beobachtern am liebsten zu sehen ist. Pickering gab auch eine Photographie und eine Skizze derselben, die schrägen beide mangelhaft sind. Von dem hellen Schewe, der den oberen Teil der Rille und die dortige Gegend nördlich vom Arctisch bei hellem Sonnenstande umgibt, war Pickering zuerst so betroffen, dass er an eine Vergleichung mit der Dampfvolcanen eines thätigen vulkanischen Vulkans dachte. Er beschränkte dabei eine Reihe von Skizzen dieser hellen Fläche zu machen, um zu entscheiden, ob deren Gestalt von Zeit zu Zeit sich ändert oder ob sie unverändert wie eine Faltung des Gesteins verbleibt. Die von ihm angefertigten Zeichnungen liefen in das Jahr 1871, 82, 87 und 88. Um das Ergebnis kurz anzudeuten, will ich hervorheben, dass H. Pickering die Ansicht ausspricht, die hellen Stellen und Flecken, welche bei hellem Sonnenstande auf dem Gebiete östlich neben dem Ende der Rille bei Herkules sichtbar werden, seien dampfförmige Exhalationen, Wölkchen von Wasserdampf oder Eiskrystallen, die von thätigen Vulkanen auf jener Fläche ausgeht werden. Diese vulkanische Thätigkeit beginnt erst ein oder zwei Tage nach Sonnenwende dort, wenn dann zu bei zu einem Maximum und endigt gewöhnlich ein paar Tage vor Sonnenwende. Daneben sollen auch noch gelegentlich kleinere Ausdehnungen vorkommen, in deren Nähe Gewirchheit zu erkennen ist. Die hauptsächlichsten hier in Rede stehenden Kratere sind die Fläche und die drei, welche im Schwärz'schen Meridian in der Fläche gleich nördlich neben Herkules grüchsen und und von denen die beiden südlichsten sehr nahe nebeneinander stehen.

Außer diesen hat Prof. Pickering noch fünf andere kleinere Kratere in der Nachbarschaft entdeckt, doch würde ich mich niemals ausführlich geüben. Die angezeichneten Stellen sind derselben und die veränderliche Gestalt der hellen Stellen, welche in ihrer Umgebung, je nach dem Sonnenstande auftauchen, und so, die Prof. Pickering zu seiner Schlussfolgerung über vulkanische Thätigkeit dort bringen. Indessen scheint mir die Begründung, mit der sich die hellen Stellen, je nach dem Sonnenstande in jeder Lunation wiederkehren, sagen, dafür zu sprechen, dass es sich lediglich nur um Lichtreflexe des unverschiebbaren Bodens handelt. Sollte bei geringen Untersuchungen in der Sonnenfläche oder der Libration des Mondes können die schönsten Kratere solcher hellen Stellen sich im einzelnen sehr ändern, während die allgemeinen Umrisse in jeder Lunation wiederkehren. Das ist gerade bei diesen Gebieten der Fall. Ich habe denselben schon sehr viel öfter als Prof. Pickering beobachtet, nämlich bereits vor 1841. Merkwürdigerweise aber findet sich von dem, was mich zur unvollständigen Beobachtung jener Kratere anregte und was jedoch, die drei kleinen Kratere südlich von Herkules beobachtet, erfüllt, bei Pickering keine Erwähnung. Zunächst ist es die intensive grüne Färbung der ganzen Fläche, welche von der grünen Rille umschlossen wird, eine Färbung, die selbst von einem ungeübten Auge selbst erkannt wird und so intensiv ist auf dem ganzen Monde nicht mehr irgendwohin ist. Wenn man sich dieses wagt, dass, wie Pickering meint, auf dem Monde ein grüner Pflanzenwuchs sich entwickelt, so würde man dieses im Gebiete der grossen Herkules-Rille am ersten zu suchen haben. Dagegen welche diese Farbe zuerst verleiht, ist Grönland; am 4. Nov. 1824 schrieb er darüber in sein Tagebuch, er sehe im Osten und Nordwesten des Arctisch eine Mischung von Ackerfarben in kleinen Fleckchen, die dass unheilliche Begriff von Plantagenen



von der Sonne wahrgenommen wurden. In Europa ist wegen der fast allgemein herrschenden Bewölkung die Sichtbarkeit leider auf wenige Ost- Nord- und Mittelstaaten beschränkt geblieben. Wiewegen die direkten Sonnenstrahlen hinter einer kleinen Scheibe geschickt wandt, konnte der Komet beinahe mit bloßem Auge sichtbar von der Sonne als weißer Fleck, deren hellster Teil gegen die Sonne gerichtet war, erkannt werden. Allgemein ist die Sichtbarkeit am 28. Februar in Nordamerika gewesen. Besonders von den Staaten Neu-Englands und zahlreicher Bezirke von Virginia, die Zeugnis ablegten von dem grossen Aufsehen, welches der Komet an allen Orten erregt hat. Die Beobachtung, welche ein Beobachter in Woodstock, Vt., vom Aussehen des Kometen in einem Briefe. Faraday giebt, erzählt lebhaft an die Zeichnung, welche Gill am Kap der guten Hoffnung vom Kometen 1882/1 am 10. Sept. 1882 entwarf.

Nach dem Perihelidurchgang ist der Komet mehrere Wochen hindurch am Abendhimmel eine glänzende Erscheinung gewesen. In den Tropen wurde der Schweif des Kometen allgemein am 2. März, an einigen Orten schon in den Abendstunden des 28. Februar und des 1. März, bemerkt, während der Kern auch unter dem Horizont lag. Der Schweif wurde erst, nachdem er sich genöthigt von der Sonne entfernt hatte, am 4. und 5. März sichtbar. Auf der Sternwarte am Kap ist der Komet vom 4. März an richtig verfolgt worden; die dort angestellten, leider erst 1843 publizierten Beobachtungen bilden einen sehr wichtigen Beitrag zur Bahnbestimmung. Auf der Nordhalbkugel waren die Beobachtungsverhältnisse auf weniger günstig als auf der südlichen. Zudem herrsche speziell in Europa eine längere Periode kalten Wetters, die mit wenigen Ausnahmen — Piazzi in Lissabon beob. den Kometen schon am 8. Cooper in Mex. am 12. März — die Auffindung erst am 17. März gestattete. Auch zu dieser Zeit war der Schweif des

Kometen noch ungewöhnlich lang, ca. 50°. Im Gegensatz hierzu stand der unerschöpfte, auch wenig durch Helligkeit ausdehnende Kopf, der, wie Dessai sich ausdrückt, den grössten Teil seiner Masse zur Bildung des glänzenden Schweifes verwend. Im letzten Jahre. Auch erhielt sich der Kopf, selbst unter den günstigsten Sichtbarkeitsverhältnissen, nur wenige Grade über dem Horizont, sodass schon aus diesem Grunde die Ortbestimmungen wesentlichen Unsicherheiten unterliegen mussten. Wie bei dem meisten sonnennahen Kometen, die diese schwachen Kern zeigen, verhielten sich hier Kern und Schweif auffallend rasch. Ende März war der Komet noch ein ziemlich auffallendes Objekt und schon am 15. April konnte im grossen Berliner Observatorium seine Existenz nur noch geahnt werden. Auch auf der südlichen Halbkugel schienen mit Kap April 18 und 19 die Beobachtungen des Kometen.

Die Bahn des Kometen hat von Anfang an wegen der kleinen Perihelidistanz ein ungewöhnliches Interesse erregt. Dazu kam noch, dass die Erschließung des Kometen eine unvergleichbare Ähnlichkeit mit der des Kometen 1868 erregt, und dass schon sehr früh erkannt wurde, dass zur Darstellung der rechten Beobachtungen des homonymen Kometen die Bahn von 1811 vollständig genügt. Nachdem James Nicola gezeigt hatte, dass die Beobachtungen des Kometen 1811 von März 20—30 sich ebenso gut durch eine Ellipse von 175 Jahren wie durch eine Parabel darstellen lassen, fand die Voraussetzung der Identität beider Kometen immer mehr Anhänger. Nur dadurch wurde der Sache verhindert, dass auch andere unvollkommen beobachtete Kometen aus dem Ende des 12. Jahrhunderts, wie 1665, 1695 und 1702, in ihrer Erscheinung ebenfalls Ähnlichkeiten mit 1811 ergaben. Infolgedessen sind auch die Annahmen über die Ursacheseit der Kometen 1811 recht verschieden gewesen. Mit Annahme



aber von Baginewicz, der die Identität mit 1668 ganz sicher hielt und, um 1899 und einige Jahre Kometa, von 1168 und — 371 mit 1843 zu identifizieren,  $U = 147.9$  annahm, haben alle Forscher aus den 48er Jahre die Identität mit 1668 bejahten und ihren Rechnungen  $U = 173.2$  oder einen Teil dieser Unklarheit zu Grunde gelegt. Auf diese Weise sind die Umkehrzeiten  $U = 173.2$  (Nicola u. a.),  $U = 25.3$  (Langlois und Moussis),  $U = 21.7$ , a (Platonow, Perse) und  $U = 7.2$  (Cappozzi) entstanden, je nachdem man nur den Kometen 1668 oder außer diesem noch einen oder mehrere der oben genannten als vorangegangene Erscheinungen des Kometen 1843 aufzählte. Eine dritte Bestimmung der Excentricität erzielte sich, da zunächst nur die Beobachtungen der nördlichen Halbkugel vorlagen, in anspruchlos, da dabei mehrere Versuche — Ende und Walker haben eine Hypothese, Gould eine Umkehrzeit von  $190^{25}$ , Clausen gar eine von 6300 — sind nur als Nebenversuche aufzuführen.

Alle die vorher angeführten Rechnungen stützen sich nur auf stäbliche Beobachtungen des Kometen, auch wenn sie nur ganz vereinzelt auf die wichtigsten Tagesbeobachtungen vom 26 Februar Rücksicht. Es war daher ein beschränkter Fortschritt, als J. S. Hubbard sieben Jahre nach der Erscheinung des Kometen eine definitive Bearbeitung der Daten auf Grund des gesamten Beobachtungsmaterials unternahm. Noch während er mit seinen Rechnungen beschäftigt war, wurden die wichtigsten Kop-Beobachtungsperioden, indem sich diese für den Charakter der Bahn eigentlich ausschlaggebende Rolle gespielt werden konnte. Hubbard hat seine Rechnungen in Vol I und II des Astron Journal veröffentlicht; er möge hier grüßlich anerkennen, dass die Resultate sich in zwei Elementensystemen gliedern, von denen das eine, mit VI bezeichnet, aus allen Beobachtungen, das zweite, VII, nur aus den

Tages- und den Fernsichtbeobachtungen abgeleitet ist. Das letztere ist jedenfalls vorzuziehen, da bei dem ersteren stäbliche Beobachtungen, auch die schließlichen, mit gleichem Gewicht kritisch benutzt worden sind. Die Deutung der Elemente des Kometen der Excentricität zeigt ferner die wichtige Thatsache, dass die Hypothese der Identität des Kometen 1843 mit 1668 durch die Beobachtungen des letzteren nicht unterstützt wird.

Mit der Untersuchung von Hubbard haben endlich die Interessen am Kometen 1843 ziemlich erschöpft zu sein, so läßt sich aber wieder auf, als im Jahre 1889 der Comet 1843 erschien, der sowohl im Aussehen wie in seiner Bahn eine frappante Ähnlichkeit mit dem Kometen 1843 zeigte. Die alten Versuche, diesen Kometen 1889 nur keine Umkehrzeit anzunehmen, wurden von neuerwider aufgegeben und sowohl Wien in Wien von Meyer in Opatz glücken in Beobachtungen des Jahres 1843, was sich nicht gerade eine Bestätigung, so doch keinen Widerspruch gegen eine Umkehrzeit von 37 Jahren finden zu können. Einmal war dieses Grund, selbst aber auch, weil die Beobachtungsperioden des Kometen 1889 eine erheblich bessere Annäherung, als wie dem Hubbard zu sein werden kann, gezeigt, entschloß sich Prof. Kowalew, die Untersuchungen über die Bahn dieses Kometen wieder aufzunehmen und im anhängig von den früheren Bearbeitungen durchzuführen. Seine Resultate sind im wesentlichen eine Bestätigung der Untersuchungen Hubbards und haben wie diese zu einer Wiedergabe der Annahme einer kurzen Umkehrzeit für den Kometen. Die Störungen durch die Planeten sind von dem neuen Act gelassen worden, da sie sich sehr gering sind und während der kurzen Beobachtungszeit der Bahn des Kometen nur ganz unwesentlich haben ändern können.

Die definitiven Bahnelemente, zu denen Prof. Kowalew gelangte, sind:

Zeit des Perihel 1843 Februar  
 27.4-851 845 ± 80312648 mit Z. Berlin

$$\begin{aligned} a &= 82^{\circ} 30' \quad 2.65^{\circ} + 21.1^{\circ} \\ \varphi &= 1^{\circ} 19' 51.20'' + 26.65'' \\ i &= 144 \quad 20 \quad 4.25'' + 30.7'' \end{aligned} \quad 1843.0$$

$$\begin{aligned} \log q &= 1.7451 605 \quad + 0.0001 700 \\ q &= 0.0000 127 \quad + 0.0000 076 \\ q &= 0.0001 203 \quad + 0.0000 \end{aligned}$$

Umlaufdauer = 511.29 ± 70.75 Jahre.

Prof. Kreutz untersuchte neuerdings zunächst, ob der Komet doch möglicherweise mit dem Kometen 1821-jährigen Umlaufdauer zu 3600 Jahren berechnet ist? Identisch sein könnte, indem er von einem Werte für die Umlaufzeit ausging, welcher durch die Möglichkeit der Identität mit diesem Kometen bedingt ist und des anderen Bahnelements im möglichst anderen Ansätze an die Beobachtungen bestimmte, da fand sich, dass die Beobachtungen nicht unter Annahme einer Umlaufdauer von 37 Jahren dargestellt werden können und drittens ist der strenge Beweis erbracht, dass der Komet 1843 nicht mit jenem 1843 identisch sein kann. Eine Prüfung auf etwaige Identität mit dem Kometen 1698 unter Annahme einer Umlaufdauer von 175 Jahren ergab, dass auch so eine Identität mit diesem nicht gedacht werden kann. Dagegen ergab die Untersuchung, dass die Annahme einer Umlaufdauer von 808 Jahren, also der nächsten wie die des Kometen 1821, der auch sonst mit dem Kometen 1843 sehr verwandte Bahnlemente besitzt, die Beobachtungen gut deckt. Die Möglichkeit, dass beide Kometen eine gleiche Umlaufzeit besitzen, ist daher nicht von der Hand zu weisen. Eine parabolische Bahn des Kometen 1843 stellt dagegen die Beobachtungen nicht genügend dar. Die Ergebnisse hat Prof. Kreutz dahin zusammengefasst, dass die Gestalt der Umlaufzeit zwar größer und als der wahrscheinliche Fehler ausging, dass aber immerhin eine Identität mit dem Kometen 1668 (oder gar mit 1884) und andererseits eine parabolische Bahn als ausgeschlossen angesehen werden muss. Dagegen bleibt die Möglichkeit bestehen,

dass der Komet eine gleiche Umlaufzeit wie 1821 besitzt und dass die Ähnlichkeit beider Kometen sich nicht auch auf dieses Element erstreckt. Selbstverständlich ist hierbei zu berücksichtigen, dass die Beobachtungen, aus denen die Bahn des Kometen abgeleitet ist, nämlich mit dem Perihel liegen. Ob man die so gebundene Bahn auch für die Länge halten will, mit der der Komet in das Sonnensystem eingetraten ist, hängt also wesentlich davon ab, ob man die Möglichkeit einer Führung im Perihel leugnet oder annehmen will. Im letzteren Falle würde man, wenn man nicht ganz in der Luft schwebende Hypothesen machen wollte, vor allem an eine durch den Widerstand in der Sonnenatmosphäre bedingte Verminderung der Umlaufzeit zur Folge hätte haben müssen. Wäre der Komet 1843 schon vor dem Perihel beobachtet worden, so würde die Entscheidung dieser wichtigen Frage viel leichter als bei dem Kometen 1821 gewesen sein, da hier eine nachweisbare Trübung des Kometenkerns nicht stattgefunden hat, man also auch über die Identifizierung des vor und nach dem Perihel beobachteten Kometen nicht im Zweifel hätte sein können.

Komet 1881. Derselbe wurde zuerst am 3. Februar abends in Montevidéo gesehen, wie ich aus Schwed, der eine Länge von 30° bis 40° angab. Der Kopf war damals und an den beiden folgenden Tagen noch in den Sonnenstrahlen verborgen. Schon die ersten, für den Kometen abgeleiteten parabolischen Bahnlemente stimmten nur so beschränkt Abweichung mit denen des Kometen 1843, dass die Vermutung der Identität beider Himmelskörper nicht liegen konnte, zumal auch in der letzten Entscheidung beide Kometen unvorzeichenähnlichkeiten zeigten. Man erinnert sich zugleich der früheren Versuche, den Kometen 1821 mit ihrem Kometen zu identifizieren, über-

sich aber vielfach dabei den Umständen, dass die Hubbard'schen Elemente der zur Identität erforderliche Umlaufzeit von 369 Jahren nicht genügen.

Der erste, der diese Frage eingehender behandelte, ist Gould<sup>1)</sup> gewesen. Von der Voraussetzung ausgehend, dass die Übereinstimmung der Elemente die Identität der beiden Kometen 18431 und 18801 unserer Frage stelle, suchte er den Einspruch, dass die Hubbard'schen Elemente dagegen sprechen, dadurch zu entkräften, dass er beim Kometen 18431 ein Nichtbrunnensystem des beobachteten mit dem Schwerpunkt für möglich hält. Durch diese Annahme würden sich die sonst ganz unwillkürigen Fehler erklären lassen, die sich auf eine Umlaufzeit von 369 Jahren umgerechneten Hubbard'schen Elemente in den Beobachtungen übrig lassen. Frühere Errechnungen des Kometen nicht-Gould an den Kometen 1888 und 1782a. Die Verbindung desselben mit 18431 und 18801 würde als successive Umlaufzeiten ergeben: 34 Jahre minus einige Tage 35 $\frac{1}{2}$  Jahre und 36 Jahre 11 Monate, sodass also eine allmähliche Vergrößerung der Umlaufzeit anzunehmen wäre. Die Unähnlichkeit des Kometenbrunnens 1700 und 1843 würde sich durch die ungenügende Behaltung des Kometen erklären lassen. Für die Identität der Kometen 18431 und 18801 ist weiterhin Prof. E. Weiss eingetreten.<sup>2)</sup> Weiss ist sehr zunächst aus drei Beobachtungen des Kometen 18431, von März 5, 7, und April 19, eine elliptische Bahn unter Voraussetzung einer Umlaufzeit von 369 Jahren ab. Er glaubt sagen zu können, dass diese Bahn in der nächsten Beobachtung nicht gerade ungenügende Fehler übrig lässt und mit besonderer Annahme der Perihelzeit auch die Beobachtungen des Kometen 18801 vollständig sowie, dass es eine Identität beider Kometen nicht mehr zweifelhaft werden können. Weiss

geht ferne auf die früheren Errechnungen des Kometen ein und erzieht zunächst, dass die von Bouqueland für den Kometen 18431 gefundene Periode von 147 Jahren 4 Monaten genau das Vierfache der Umlaufzeit von 369 Jahren ist. Da von Bouqueland als frühere Errechnungen des Kometen 18431 aufgeführt 10 Kometen würden also auch hier passen, wenn gleich Prof. Weiss sagt, dass bei den meisten derselben die Angaben viel zu ungenau sind, um sie ohne weiteres mit den neueren Kometen identifizieren zu können.

—In einer Abhandlung —Über die Kometenrechnungen von 371 v. Chr., 1668, 1843 und 18801. (Göttingen 1880) stellt W. Klinkerfuss die Behauptung auf, dass jeder folgende der genannten vier Kometen die unmittelbare Wiederkehr des vorhergehenden sei. Zur Erklärung der beiden supponierten Verkümmern der Umlaufzeit von 3099 auf 178 und weiter auf 37 Jahre stimmt er einen Widerstand im jährenlangen Perihel an, und in der That bemerkt man für letzteren nur eine langsam zunehmende Größe vorzutreten, um die gesuchte Verkümmern herbeizuführen. Es ist daher nicht zu sagen, dass diese Hypothese viel Entschendes an sich hat, leider fällt sie aber einfach ins Wasser, dass die Beobachtungen des Jahres 1843 nicht, wie Klinkerfuss behauptet, durch eine Bahn mit einer Umlaufzeit von 37 Jahren dargestellt werden können. Unter Zugrundelegung eines gleiches Geschwindigkeitsabnahme wird die Umlaufzeit des Kometen nach dem Perihelidurchgang im Jahre 1880 auf 17 Jahre 6 Monate gefunden sein, eine Zahl, die, wie von Schein-Pachwitz gezeigt ist, sich noch weiter mit den Beobachtungen von 1840 verhält.

W. Meyer lobte in der Vorrede zu dem Umlaufzeit von 37 Jahren eine Bahn ab, die sich den Beobachtungen des Kometen 18801 möglichst anschliesst. —Die übrig bleibenden Fehler sind in der That nicht so gross, dass

<sup>1)</sup> Astron. Nachr. No. 2008.  
<sup>2)</sup> Astron. Nachr. 2008. Sitzb. d. Wiener Akad., Sitzung v. 10. Juni 1880.

man eine so kurze Umlaufzeit als unmöglich ansehen konnte. Wenn aber weiter Mayer, nachdem er die Elemente als Funktionen der Excentricität dargestellt hat, zeigen will, dass ohne eine beträchtliche Erhöhung der mittleren Periode die Umlaufzeit nur zwischen 315 und 473 Jahren variiren kann, kommt er entschieden zu einem falschen Resultat. Die Unsicherheit dieser Behauptung liegt nicht, auch ohne die Meyer'schen Rechnungen näher zu prüfen, schon daraus offenbar, dass nach einer Parabel zur Darstellung der Beobachtungen genügt, dass man also die Umlaufzeit bis zur Unmöglichkeit vergrössern kann, ohne mit den Beobachtungen in Widerspruch zu treten.

Eine wesentlich andere Ansicht als die bisher genutzten Astronomen vertritt von Oppolzer,\*) Nachdem er verglichen versucht hat, den Einspruch, den die Beobachtungen des Cometen 1843 gegen eine Umlaufzeit von 37 Jahren erheben, durch Einführung von Widerstandskräften, ähnlich wie beim Encke'schen Cometen, zu beseitigen, kommt er zu dem Schluss, dass trotz der Analogie der Elemente die Identität der Cometen 1843 und 1861 keineswegs als zweifellos behauptet werden können.

Endlich erwähnt Prof. Kruiz noch einen Vortrag, den F. Duschmüller über die Kernverschmelzungen des Jahres 1860 in der Naturhistorischen Gesellschaft für Natur- und Heilkunde im Februar 1861 gehalten hat und der in den Sitzungsberichten dieser Gesellschaft zum Ausdruck gelangt ist. Duschmüller schliesst sich hier völlig der Meinung Oppolzer's an und spricht die Ansicht aus, dass wir in den beiden Cometen 1843 und 1861 ein System vor uns haben, das ursprünglich ein Körper, durch Einfluss, wie wir in der Sonnenatmosphäre wahrscheinlich sind, getrennt worden sei.

\*) Zwei und ein halb Jahre nach dem Cometen 1861 erschien der grosse

Septentriocomet 1862B, der die ähnliche Bahn wie der ergründete beschreibt, bei dem aber von vorherzusehen eine Identität mit diesem oder mit 1843 ausgeschlossen war. Es war natürlich, dass man sich das verballende Argument für die Identität der Cometen 1843 und 1861, nämlich die fragende Ähnlichkeit der Elemente, sehr zu Gemuthe verlor und die Ansicht, dass wir es hauptsächlich mit zwei verschiedenen Cometen zu thun haben, in den Vordergrund treten musste.

Prof. Kruiz hat neuerdings die Frage auch bezüglich des Cometen 1861 zur endgiltigen Entscheidung gebracht. Als definitive Bahn dieses Cometen findet er folgende Parabel:

$$\begin{array}{l} \text{Zeit des Perihels 1861 Januar 27.494198} \\ \text{mittlere Zeit Berlin} \\ \left. \begin{array}{l} a = 66^{\circ} 14' 34.0'' \\ \Omega = 5^{\circ} 5' 40.5'' \\ i = 161.39 \text{ } 1.5 \end{array} \right\} \text{in Äq.} \\ \text{1860} \\ \log q = 5.1598177 \end{array}$$

Die weitere Untersuchung zeigt, dass unter Annahme einer Umlaufzeit dieser von 36.8 Jahren die Beobachtungen nicht genau dargestellt werden als durch eine Parabel und auch bei Annahme einer Umlaufdauer von 500 Jahren können die Bahnelemente der Cometen 1843 und 1843 nicht als identisch angesehen werden.

Komet 1861. Dieser zunächstlich auf der Südhalbkugel sichtbar gewesene Komet wurde zuerst am 18. Jan. 3 Tage nach dem Durchgang durch die Perihel, von einem Farmer in Blauenberg bei Capetown und von Thoma in Cordoba gesehen. Derselbe bot die merkwürdige Erscheinung eines blauen, langem, schmalen Lichtstrahles von 75° bis 43° Länge dar, der in seiner grossen Ausdehnung vollständig gleichmässig hell war. Nahe dem der Sonne zugewandten Ende des Lichtstrahles war weder der Kopf noch irgend eine Kondensation zu bemerken. Thoma vergleicht die Aussehen mit dem des Cometen 1860, wenn bei dem letzteren der etwas mehr als 1' grosse

\*) Astron. Nachr. No 2187

Kauf durch die Xmas größerer blauer Nischenweiser ersetzt wird. Bemerkenswert ist ferner, dass die Sichtbarkeitsdauer sich auf wenige Tage beschränkt hat und dass der Komet in des Fernrohres früher unsichtbar wurde als im bloßen Auge. Die letzte Beobachtung ist schon am 26 Januar von Tebbin in Windsor angestellt worden, am 1. Februar war vom Kometen keine Spur mehr zu erkennen. \*Zielgröße des eigentlichen Ausschusses des Kometen konnte von gewissen Messungen nicht die Rede sein. Am Kopfe erfolgte man dem Lichtstrahlen so weit abwärts, wie er im Sektor des sonstigen Apparats zu sehen war und las dann die Größe des Instrumentes ab. In ähnlicher Weise verließen die Beobachtungen auf den anderen Sternwarten. Thoms in Cordoba gibt direkt die Orte der Sonne, die am nächsten Ende des Lichtstrahles standen, als Orte des Kopfes des Kometen an. Schon die ersten genäherten Elemente von Finlay lassen die Ähnlichkeit der Bahn mit der der Kometen 1843 I, 1880 I und 1882 II deutlich hervorleuchten. Später hat sich H. Oppenheim mit der Bahn des Kometen beschäftigt und genauere Elemente veröffentlicht.

Prof. Kreutz findet als definitive Bahn dieses Kometen von Perseid mit folgenden Elementen:

$$\begin{array}{l} \text{Zeit d. Perseid 1877 Jan. 11, 1880 Jan. 2. Bahn} \\ \left. \begin{array}{l} a = 2.97 \text{ A.U.} \\ \varOmega = 234^\circ 21' \\ i = 120^\circ 21' \end{array} \right\} 1873.6 \\ \log q = 1.98221 \end{array}$$

Nachdem es nun als feststehend angesehen werden kann, dass die hier betrachteten verschiedenen Kometen in voneinander verschiedenen Bahnen umherlaufen, ist es von Wichtigkeit die gegenseitigen Beziehungen der letzteren aufzuklären, da sich aus dieser möglicherweise Nehtisse auf den gemeinsamen Ursprung der Kometen ziehen lassen. Diese Untersuchung hat Prof. Kreutz durchgeführt.

Der Komet 1887 muss wegen der grossen Uebereinstimmung seiner Elemente

unserer Betracht bleiben. Prof. Kreutz bezieht sich durch seine Untersuchungen auf die Kometen 1843 I, 1880 I und 1882 II. Er fragt bezüglich des ersten und letzteren, dass die Scheitlinie der Bahnen eines mit den beiden grossen Achsen der Kometenbahnen zusammenfällt. Da nun ferner die Perihelionabstände nahezu gleich sind — unter der Annahme, dass die beiden Kometen gleichzeitig im Perseid sind, ergibt sich dies gegenseitige Entfernungen nur zu 0.00271 — so lässt sich kaum die Vermutung von der Hand weisen, dass beide Kometen Stücke eines Hauptkometen sind und dass die Trennung im irgend einer früheren Zeit im Perseid vor sich gegangen ist.

Bezüglich der Kometen 1843 II und 1880 II findet sich ein auffallendes Zusammenfallen der Scheitlinie mit den beiden grossen Achsen statt und die gegenseitige Entfernung der Perihelien ist innerhalb der Genauigkeit Grenzen der Rechnung gleich Null.

Bezüglich des Kometen 1880 I und 1882 II bleibt die angeführte Thematik auch bestehen. Die gegenseitige Entfernung der Perihelien beträgt 0.00273, doch ist hier wie oben zu bemerken, dass alle Resultate, in welche Kreutz 1880 I eintrifft, wegen der Ungenauigkeit der Elemente relativ unzuverlässig sind und weitestlich von der Annahme über die Ueber einstimmtheit beeinflusst werden.

Der Komet 1850 hat trotz aller Verschiedenheit der sonstigen Elemente fastere eine gewisse Ähnlichkeit mit den hier betrachteten verschiedenen Kometen, als er dieselbe Klasse Perihelionabstände besitzt. Nach den Untersuchungen von Encke lautet die seit 1850 II beobachtete Bahn des Kometen:

$$\begin{array}{l} \text{Zeit d. Perseid 1850 Dec. 17, 1858 I in Paris} \\ \left. \begin{array}{l} a = 2.87 \text{ A.U.} \\ \varOmega = 234^\circ 21' \\ i = 120^\circ 21' \end{array} \right\} \text{M. Aug. 1888} \\ \log q = 1.98296 \end{array}$$

Es hat nun Interesse, auch die Beziehungen dieser Kometen zu den obigen zu untersuchen.

Prof. Krantz findet, dass die Bahn-  
abweichender Kometschen der gleichen  
Entfernung von der Sonne besitzen und  
also diese Kometen wahrscheinlich von  
der Verschiedenheit ihrer Bahnabwei-  
che vom Urtkomete sind. Allerdings  
wäre dann die Trennung in zwei viel  
erschwerende Voraussetzung gelangt  
worden, da der Komet 1660 den Ur-  
taster hat, durch seine geringere  
zu 1684 Jahren ergibt und bis heute  
größer als in 2000 Jahren ange-  
nommen werden können.

Auch bezüglich der Kometen 1660  
und 1684 findet Prof. Krantz, dass die  
gegenwärtige Entfernung beider Punkte  
der Schwerkraft ihrer Bahnen genügend  
klein ist, um einen etwaigen Zu-  
sammenhang beider Kometen als möglich  
anzunehmen.

Der Sonnennäherpunkt-Komet  
1662 Mai 16. An diesem Tage wurde  
in Schag (Ägypten) während der totalen  
Finsternis der Sonne ein Komet in den  
Kometenstrahlen entdeckt, aber dass der-  
selbe jedoch später wieder gefunden  
werden konnte. Prof. Krantz hat nun  
untersucht, ob dieser Komet etwa in  
der Bahn eines der obigen sonnennäheren  
Komete einlagert. Für eine Bahn  
gleich der des Kometen 1662 II findet  
sich keine Bestätigung, dagegen erhielt  
Prof. Krantz mit der Bahn des Kometen  
1643 I ein besseres Resultat. Derselbe  
steht die Position des Schag-Kometen  
fast innerhalb der Grenzen des Beobach-  
terfeldes dar, sodass mit großer  
Wahrscheinlichkeitsgründlichkeit  
kann, dass der Komet in einer dem  
Komet 1643 I ähnlichen Bahn ein-  
gelagert ist.

Der Sonnennäherpunkt-Komet  
1660 April 16. J. H. Schaeberle machte  
zuerst Mitteilung von einem Kometen,  
der während der Sonnennäherpunkt  
April 16. nach photographischen Auf-  
nahmen in der Korona sichtbar gewesen  
ist. Zuerst ist derselbe von Schaeberle  
auf den Platten der Expedition, welche  
das Lick-Observatorium nach Mesa Roca  
in Chile geschickt hatte, entdeckt worden,

später konnte er auch auf den Platten  
der englischen Expeditionen in Brasilien  
und Alaska konstatiert werden. Der  
Zwischenzeit zwischen den verschiedenen  
Aufnahmen hat es ermöglicht, auch die  
Bewegung des Kometen innerhalb der  
Zeit von 2<sup>h</sup> 39<sup>m</sup> zu bestimmen. Auf  
den englischen Platten ist der Komet  
sehr schwach, während er auf den  
amerikanischen sehr deutlich zu er-  
kennen war. Dies, sowie der Umstand,  
dass der Komet sich von der Sonne  
weg bewegt hat, scheint mit Sicherheit  
darauf hinzudeuten, dass derselbe zu  
den sonnennäheren Kometen gehört und  
dass die Durchgang durch das Perihel  
nicht lange vor der ersten Aufnahme  
stattgefunden hat.

Prof. Krantz hat sich auch mit  
Beobachtungen über diese Kometen be-  
schäftigt und findet unter gewissen Annahmen  
rechtensich zwei verschiedene Bahnen,  
bei denen sich wohl streng dabei er-  
scheidet sind, welches Elementsystem  
das wahrscheinlichere ist. Auf jeden  
Fall aber folgt aus diesen Beobachtungen,  
dass der in Rede stehende Komet sich  
der Gruppe der Kometen mit sehr kleinen  
Perihelienabständen welche, durch 1643 I  
und 1672 II charakterisiert sind, an-  
zuerkennen ist.

Der Komet Paganon 1872 Dez. 2  
Dieser wurde infolge einer Auffinde-  
rung von Klinkerhans, in der Nähe von  
Paganon nach dem holländischen Kometen  
zu suchen, von Paganon in Malaga  
entdeckt. Der Komet war noch am  
folgenden Tage, den 3. Dezember, zu  
beobachten, sodass die vorhandene  
Materiel zu einer vollständigen Bahn-  
bestimmung nicht hinreicht. Die Frage,  
ob der Komet hinsichtlich der dem  
holländischen Kometen zusammenhängt  
oder ob er etwa gänzlich davon un-  
abhängige Bahn beschreibt hat, ist nach  
heute noch nicht als völlig gelöst zu  
betrachten.

Die Kometen 1666, 1669, 1695  
und 1702a. Von 1666 bis 1702 sind  
vier Kometen sichtbar geworden, welche

weicht in ihrem Laufe um Himmelsbreite wie in ihrer ganzen Erscheinung unverkennbare Ähnlichkeit mit den nennenswerten Kometen 1843 I und 1882 II zeigen. Alle vier erschienen sich durch gewisse Schwärzungsveränderung bei einem verhältnismäßig unerschütterten Kern aus, auch ist ebenso wie beim Kometen 1843 I bei keinem die Scheitelgeschwindigkeit wegen nach einanderfolgender Helligkeit eine lange gewesen. Die Ähnlichkeit der Kometen 1868 und 1702a, welche zudem in derselben Jahreszeit in derselben Himmelsgegend standen, hervor schon D. Cassini im Jahre 1702, die Identität beider zu behaupten. Die Frage der Identität ist nun allerdings, nachdem es sich herausgestellt hat, dass für den Kometen 1843 I eine Umlaufzeit von 175 Jahren und weniger anzunehmen ist, bezüglich geworden, es bleibt aber die unersetzte wichtige Frage bestehen, ob nicht doch die vier Kometen eine Bahn beschreiben haben, die diese der Kometen 1843 I und 1882 II ähnlich ist, sodass dieselben also gewissermaßen als Vorläufer dieser Gruppe zu betrachten wären.

Prof. Kreutz hat aus Untersuchungen ersichtlich, welche die Lösung dieser Frage herbeiführen. Er findet, dass der Komet von 1868 in der Bahnphase des Kometen 1843 I untergefallen ist und dass auch die übrigen Elemente des letzteren bei genauer Ansicht der Einzelheit der Beobachtungen von 1868 wenigstens nicht widersprochen

Dagegen genügen nicht zur Darstellung der Beobachtungen die Elemente des Kometen 1882 II.

Bezüglich des Kometen 1869 ergibt sich, dass derselbe mit Sicherheit nicht in der Bahn des Kometen 1843 I und mit einiger Wahrscheinlichkeit auch nicht in der Bahn von 1882 II untergefallen ist.

Für den Kometen 1895 lässt sich, wegen des dürftigen Beobachtungsmaterials überhaupt, eine sichere Bestimmung der Bahn nicht durchführen. Dagegen findet Prof. Kreutz, dass die Beobachtungen des Kometen 1702a durch die Bahnen der hier betrachteten nennenswerten Kometen dargestellt werden können und dass insbesondere die Bahn des Kometen 1882 II diejenige ist, welche am besten den vorhandenen Beobachtungen genügt.

Schließlich hat Prof. Kreutz auch noch die Angaben über einige ältere Kometen geprüft, die wahrscheinlich in der Bahn der Kometen 1843 I und 1882 II einzuordnen könnten. Es sind dies die Kometen 371 v. Chr. (Aristoteles-Komet), 214 v. Chr., 76 v. Chr., 73 v. Chr., 338, 368, 663, 956, 1186, 1293, 1400 und 1848. Er kommt zu dem Ergebnisse, dass man bei keinem einzigen der hier besprochenen Kometen noch mit einiger Wahrscheinlichkeit behaupten kann, dass er in der Bahn der Kometen 1843 I und 1882 II untergefallen wäre.

## Die letzten fünfzig Jahre der Himmelsforschung.

Von A. E.

(Fortsetzung)

**U**ns Möglichkeit, die Epoche einer solchen Weltbevölkerung, welche nachher die Epoche der Entstehung der bloßen Phantasie sein soll, durch Rechnung zu bestimmen, bleibt bei der Verwirrung, welche die jetzt schon bekannte grosse Zahl der „Tilmanen“, die Säulen-Verwicklungen der Apiztzen und

die Bewegung der Kometen hervorbringen, nach unabhingigweise mehr als zweifelt.

Heute sind wir in dieser Beziehung um keinen Schritt weiter gekommen, ja die Cassini-Oberfläche Hypothese der Zerknirschung eines ebeneartigen grossen Phantasie ist sehr unverein-

scheinlich. Endlich hat die Auffindung des Phosphors in der Erde die Frage der Asteriten: bezüglich erweitert, denn in seinem unregelmäßigen Asteroid ist dieser Phosphor die Erde näher als Platin und Iridium, zeigt in seiner Stellung und geringen Grösse selbst planetoiden Charakter.

Die Nachforschung nach einer vorhandenen Platte in der Region zwischen der Sonne und Merkur, also das Suchen nach einem intramercurialen Planeten, erstreckt sich 50 Jahre nicht ununterbrochen, ja der Kaiserliche Acad. Linnéuscher Observator, am 26. März 1859 einen schwarzen runden Fleck vor der Sonnenscheibe gesehen zu haben, dem Leverrier hauptsächlich für einen zwischen Sonne und Merkur aus die ersten diskutierten Planeten hielt. Die Frage nach der Existenz dieses Planeten hat mancherlei Kontroversen verursacht und selbst die Astronomen wie Watson war von dem Vorhandensein eines solchen Planeten hat überzogen. Gegenwärtig ist man in dieser Hinsicht weit skeptischer geworden, besonders auch, nachdem die photographischen Aufnahmen gelegentlich keine Sonnenformern irgend die Spur eines noch unbekannt Planeten in der Nähe der Sonne gezeigt haben. Ist ein solcher vorhanden, so muss er sehr klein sein.

Was die physische Beschaffenheit der Hauptplaneten anbelangt, so haben die Beobachtungen während der letzten 50 Jahre nur bei einem derselben wesentlich neue Ergebnisse geliefert, nämlich beim Merkur und dem Mars.

Merkur wurde am die Mitte des vorigen Jahrhunderts (zuerst zum Behuf von Ortsbestimmungen) fast gar nicht beobachtet, seine geringe scheinbare Grösse und seine grosse Nähe zur Sonne liess die Astronomen sich, sich mit dem Agnoscere zu beschäftigen. Was man von seinen Beschaffenheit zu wissen glückte, gründete sich hauptsächlich auf die alten Wahrnehmungen von Schiller und Harding, Wahrnehmungen, die aber sonst von keinem

anderen Beobachter bestätigt worden waren.

Schiller und Harding hatten geglaubt, Flecke auf einem dunklen Strifen auf der Merkursscheibe wahrzunehmen, auch war merkur gezeigt, ein kometarisches, meteorologische Veränderungen in der Atmosphäre jenes Planeten zu denken, indem er gewisse plötzliche Aufhellungen und Verdunkelungen grosser Teile der Scheibe bemerkt haben will. Licht der Fläschung unterliegend waren auch die Beobachtungen einer abgerundeten Gestalt des südlichen Himmels der Scheibe des Merkur. Schiller nahm an, diese wie ein wahrgenommen Abkürzung wurde durch hohe Berge verursacht, wodurch die Sonnenscheibe aufgetrieben wurde. Er berechnete die Höhe dieser Berge auf 10000 Fuss und schloss aus dem gemessenen Winkelverhältnis der Abkürzung auf die Umdrehungzeit von 24<sup>h</sup> 5m 30s.

Diese Resultate erregten schon Bedenken bei Mädler, doch sollte man gewisse Wahrnehmungen zu Gunsten der Ansicht eines nahe liegenden Winkelverhältnis der drei inneren Planeten (Merkur, Venus, Erde) zu sprechen, weil auch bei der Venus alle Beobachtungen Cassini und neuer von de Voo auf eine solche Umdrehung hinwiesen. Das bestmögliche dieser Ansätze bezüglich des Merkur hat erst Schiaparelli nachgewiesen, nachdem er im 1854 erkannt hatte, dass in seinem Refraktor deutlich Flecke auf der Merkursscheibe wahrgenommen werden können. Als Ergebnis seiner Beobachtungen veröffentlichte Schiaparelli das völlig unentworfene Resultat, dass Merkur der Sonne eine die gleiche Seite zuzewandt und also die Dauer seiner Auf- und Untergang mit der Dauer seines Umlaufs um die Sonne völlig zusammenfällt. Ob Merkur eine Atmosphäre besitzt, ist ungewiss, Schiaparelli glaubt aus dem scheinbaren Umschattungsverhalten der Flecke des Merkur, sobald sie an den Rand der Scheibe rücken, abzulesen zu können, dass der Planeten eine Atmosphäre umgibt, ja,



dass im Erdes in dieser Kondensation entstehen, die sich als helle Flecke ähnlich Waben darstellen. Augustin schloss von Zöllner und G. Müller aus ihren photometrischen Beobachtungen, dass Merkur in seiner Oberflächeneigenschaften unserem Monde ähnlich sei, also keine merkliche Atmosphäre besitze. Das Spektroskop löst die Frage unentschieden, denn es zeigt im Spektrum des Merkur, welches mit demjenigen des hellen Himmelskörpers völlig übereinstimmt. Für die Orbitalverhältnisse des Merkur sind nach heute auch die alten Messungen besser als die jüngeren Jahren ausgehend; die Masse dieses Planeten ist dagegen merklich geringer gefunden worden, als früher früher anzunehmen, doch steht eine genaue Bestimmung derselben nach heute noch aus. Neesemb stimmt sie zu 1 : 6000000 der Sonnenmasse an.

Bevorzugt der Planeten Venus haben die Beobachtungen während der letzten 50 Jahre wenig Neues an Tage geliefert, sie sind vielmehr eigentlich negative Natur gewesen und haben zu einer schärferen Kritik der früheren Wahnvorstellungen geführt. Hielt man bei vor wenigen Jahren die Rotationsdauer der Venus durch die Vico und Palomba 1640—42 auf der Sternwarte zu Rom für sicher und die Umdrehungsdauer dieses Planeten als wenig von derjenigen unserer Erde verschieden, so hat die Kritik, welche Schiaparelli 1859 den Wahnvorstellungen und Rechnungen de Vico widerlegt, gezeigt, dass die Resultate des letzteren nicht zuverlässig sind. Auf Grund eigener Beobachtungen hält Schiaparelli für wahrscheinlich, dass die Umdrehungsdauer der Venus zwei Drittel der letzteren gleich der siderischen Rotationsdauer derselben ist, also 2147 Tage beträgt. Interessant sind Flecke auf der Venusoberfläche sehr selten und sehr weit voneinander als auf dem Merkur, sodass das Ergebnis über die Rotationsdauer nur als wahrscheinliches von Schiaparelli dargestellt wird. Es sind auch in der That Sonnenlauf gewor-

den, welche sich wieder zu Ovale einer oder mehr Malstrichen Umdrehungsdauer der Venus aussprechen, je des Ergebnisses einiger spektroskopischer Bestimmungen durch Belopolsky im Polarkreis spricht ebenfalls für diese Annahme, indem die Probleme der Vorkommen der Zeit nach nicht als entschieden betrachtet werden kann. Ebensovornig scheint wenn man zur Zeit über die Ursache des nicht selten vorkommenden roten Schattens in der Nachseite der sich nähernden Venus; dagegen ist die Frage des sogenannten Vorstehens ungelöst. Im Kosmos-Stubliete wird Humboldt, dass Mars gehen in den astronomischen Merkur einer unvollständigen Zeit und dieser Ausspruch hat sich bewahrheitet, dass P. Struve hat zeigte unvöllig, dass die früheren Beobachter kleine Flecken in der Nähe der Venus für einen Mars dargestellt gehalten hatten.

Die Wichtigkeit der Vorüberflüge der Venus vor der Sonnenscheibe zur Bestimmung der Sonnenparallaxe war schon 1651 von Hevelius erkannt und 1761 wurde besonders 1769 erprobt worden. Fast alle gebildeten Nationen Europas sandten Beobachter an die am vorteilhaftesten gelegenen Orte der Erde. Es war das erste kooperativ wirkende europäische Statute zum Zwecke der Lösung eines astronomischen Problems, ein Zusammenwirken, das sich in der letzten Hälfte des 19. Jahrhunderts in verbesserten Maße mehrfach wiederholte und heute Zeugnis ablegt für die allgemeine Bedeutung der astronomischen Forschung. Pingre und Harnley fanden damals als Resultat der von ihnen besetzten Beobachtungen eine Horizontalparallaxe der Sonne von 8,6", Flamsteed fand 8,4" und zwischen diesen beiden Werten schwanken die übrigen Resultate. Das spätere von Finlay beobachtete mittlere Resultat ist 8,57", entsprechend einer Entfernung der Sonne von der Erde von 20850000 parsg. Meilen und dieses Ergebnis gilt ein

1853 als das wahrscheinlich richtigste. Bekanntlich hat von Anfang an dieses Resultat für zu gross erachtet und Leverrier folgerte aus seinen Untersuchungen mit Evidenz eine grössere Sonnenparallaxe (also eine geringere Entfernung), was im Einklang stand, mit der die von Laplace mittels einer Mondlingsgleichung abgeleitete von 8.5" sehr nahe überbestimmte. In der That gab die Wiederholung der Einzelnen Arbeit durch Forwally, welche allerdings die neuesten Elemente zu Grunde gelegt wurden, eine Parallaxe von 8.66". Unter diesen Umständen erwartete die ganze astronomische Welt mit Spannung die nächsten beiden Versuchsdurchgänge 1874 und 1882, besonders den letzteren. Es war gekündete Hoffnung vorhan-

den, dass diesmal die Sonnenparallaxe, so weit es von den vervollkommen Beobachtungswerten abhängt, definitiv bis auf Hundertstel der Bogensekunde festgelegt werde, besonders wenn man von der vervollkommenen Photographie Gebrauch machte und die elektrischen Registrierapparate zur genauen Fixierung der Momente der Berührung der Planetenschatten mit dem Sonnenrande zu verwenden wüßte.

Dieser Erwartungen haben sich nicht ganz erfüllt, insofern die von den verschiedenen Expeditionen erhaltenen Resultate an den Beobachtungen weniger überbestimmende Resultate ergaben, als voraus angenommen werden durfte.

(Fortsetzung folgt)

## Die partielle Finsternis 1901 Oktober 27.

(Aus dem Institut astronomisches jährlich)

Elemente der Finsternis nach mittlerer Berliner Zeit

	h	m	s
Kontaktpunkt AR (Oct. 27)	4	33	40.7
AR . . . . .	5	5	30.30
Dekl. . . . .	+23° 30'		51.9
	— 3	48	34.1
maxim. Berührung AR	37	59.9	
„ „ „ „	2	58.3	
„ „ „ „ Dekl.	+4	33.1	
„ „ „ „	— 3	30.9	
Äquatorial-Horizontale			
Parallaxe	30	30.33	
„ „ „ „		5.36	
Horizont	16	42.31	
„ „ „ „	15	5.33	
			mittlere Berl. Z.
Anfang der Finsternis	Oct. 27.	34	18.7
Wende der Finsternis	„ „	4	5.8
Ende der Finsternis	„ „	4	50.1

Der Mond steht um diese Zeiten

im Zenith der Orte, deren geographische Lage beiläufig ist

	lat. Br.
170° 50' Ost. Länge Greenwich	17° 37'
125 50 „ „ „ „	15 35
114 48 „ „ „ „	13 43

Positionswinkel des Eintritts vom Nordpunkt gezählt = 137°, Positionswinkel des Austritts vom Nordpunkt gezählt = 164°. Grösse der Verfinsternis in Teilen des Mondschattenkreises = 0.772.

Die Finsternis wird demnach in der nördlichen Hälfte Nordamerikas, in der westlichen Hälfte des Grossen Ozeans, in Australien, Asien, im nördlichen Ozean, im nördlichen Afrika, in dem grossen östlichen Teile Europas und in den nördlichen Polargegenden sichtbar sein. In Berlin geht der Mond aus um 4h 32m auf

## Vermischte Nachrichten.

**Neue Planeten.** Auf dem astrophysikalischen Observatorium zu Heidelberg sind folgende neue kleine Planeten photographisch entdeckt worden:

Seite 198, Heft 8.

Planet	Entdeckt
1901	
1901	am 24. April v. Prof. Wolf
1901	„ 25. „ „ „ Prof. Wolf v. Göttingen
1901	„ 25. „ „ Prof. Wolf
1901	„ 3. Jun. „ „

Die Helligkeitskurven sind GK H Gr., GL 115 Gr., GM 118 Gr., GN 11. Gr.

Die Dotieremahlung der gelagerten Zelle der Sonnenfinsternis vom 22. Jan. 1898 photographirten Spektre durch J. Evershed hat derselben zu folgenden Ergebnissen geführt.<sup>1)</sup> Das Spektrum der ankommenden Schicht der Sonnenatmosphäre, die sogenannte Fluß-Spektrung, zeigt beim Vergleich der aus den Photographien bestimmten Wellenlängen mit dem Rowland'schen, das alle starken, dunklen Sonnenlinien in dieser Schicht als helle Linien vorhanden sind. Alle hellen Linien in der ankommenden Schicht, ausgenommen Wasserstoff und Helium, fallen mit dunklen Linien zusammen, welche zu einer größeren Intensität als 3 der Rowland'schen Skala besitzen. Die relative Intensitäten der Linien in beiden Spektren sind jedoch sehr verschieden, die viele starke Linien der ankommenden Schicht mit schwachen Sonnenlinien zusammenfallen und einige starke Sonnenlinien durch schwache Linien im Fluß-Spektrum verdrängt sind. Dies gilt für das Spektrum im ganzen. Betrachtet man in diesem die Linien eines einzelnen Elementes, so findet man, dass die relative Intensitäten in dem Fluß-Spektrum sehr übereinstimmen mit denen desselben Elementes im Sonnenspektrum, besonders bei Eisen und Titan. Der Mangel an Übereinstimmung der relativen Intensitäten der Linien verschiedener Elemente in dem Spektrum mit hellen und zu denen mit dunklen Linien führt wahrscheinlich her von der ungleichen Helligkeit, zu denen die verschiedenen Elemente in der Chromosphäre gelangen; die unten folgende Ursache von grosser Dichte geht starke Absorptionen, aber schwache Ausstrahlungen hervor wegen der ungenügend kleinen Wellenlänge der strahlenden Fläche.

Andererseits gehen die weiter verbreiteten Gase von geringer Dichte starke Emissionen aus in dem Fluß-Spektrum und schwache Absorptionen.

Die Spektralbogen, die man mit einer prismatischen Camera erhält, sind nicht vertikale Bilder der im einfallenden Schichten, sondern mehr oder weniger durch photographische Irradiation vergrößerter Bogenspitzen. Manochromatische Schichten von einer 2' hohen Schicht geben Bogen oder „Linsen“, welche zu schwach sind, um mit Instrumenten von gewöhnlichem Zertheilungsvermögen bestimmt werden zu können. Die Intensitäten dieser Bilder entsprechen nicht der eigentlichen Intensitäten der hellen Linien der verschiedenen Elemente, denn die sichtbare Intensität der Strahlung von einem Elemente hängt ab von der Größe der Diffusion durch Elemente über der Photosphäre. Aber in dem Spektrum der dunklen Linien hängen die Intensitäten von der Gesamtmenge eines jeden absorbierenden Gases oberhalb der Photosphäre ab ohne Rücksicht auf den Zustand der Diffusion der verschiedenen Elemente. Das Spektrum der Umkehrschicht scheint nach diesen Ergebnissen den oberen, weiter diffundierten Teil einer Gasschicht zu repräsentieren, welche durch die Absorption des Fraunhofer'schen Spektrums geht.

Im Spektrum der Umkehrschicht sind 15 Elemente scharf hervorgehoben, 5 zweifelhalt vorhanden. Die Atomgewichte dieser Elemente übersteigen in keinem Falle 90. Alle bekannten Metalle, die ein Atomgewicht zwischen 20 und 90 haben, scheinen in der unteren Chromosphäre vorhanden zu sein, aber unter denselben scheint keine Beziehung zwischen dem Atomgewichte und der Helligkeit zu denen die Gase in der Chromosphäre sichtbar zu existieren. Die einzigen gefundener Nichtmetalle sind H, He, C und vielleicht Si. Von den 225 in dem ultravioletten Abschnitt des Spektrums gemessenen Linien sind 29 nicht zu identifizieren.

<sup>1)</sup> *Proceed. Royal Soc. 1898* Vol. LXVIII, p. 8—7

Das Wasserstoffspektrum ist durch 28 Linien repräsentiert. Das kontinuierliche Spektrum, welches der Protuberanzemissionenultraviolettröhre, beginnend am Ende der Wasserstoffröhre, scheidet ausging vom von Sir William Pruggen in den Absorptionsspektren von Säuren des I Typus bemerkten Eigenabsorptions und führt möglicherweise vom Wasserstoff her.

Aus dem Charakter einiger Heliumlinien scheint sich zu ergeben, dass dieses Element wahrscheinlich in den untersten Schichten liegt, während Helium von Helium gebildet und in einem niedrigeren Niveau vorkommen scheint. Unglücklicherweise gibt das Wasserstoff sehr wesentliche Linien in der Beobachtung. Diese Linien sind scharf und schwach, selbst in den obersten Schichten. Das Fehlen der Wasserstoffabsorptionen, Unvollständigkeit der Heliumabsorptionen im sichtbaren Spektrum mag teilweise von der unvollständigen Menge dieser Elemente oberhalb der Photosphäre, mehr von der Gleichheit der Temperatur zwischen dem strahlenden Gas und dem Hintergrund der Photosphäre.

Die Helligkeitschwankungen des Planeten Merkur. Dr. Eugen v. Oppolzer beschäftigt die nächsten Beobachtungen über den Lichtwechsel des Erds einer genaueren Diskussion zu unterziehen, welche vornehmlich zu interessanten Ergebnisse über die Helligkeitschwankungen nicht durch Unterschiede im Reflexionsvermögen (Albedo) der aus jeweilig verschiedenen Seiten des Erds hervorgehen werden können, sondern durch die Veränderlichkeit der Ausdehnung der sich um die hiesige beobachteten Fläche erwidern, da die Größe der Helligkeitschwankung, die von I. Grünhagen anhand der ersten Prüfung ausreichte. Dr. v. Oppolzer bewertete: „Am nächsten liegt es, diese

auf die Rotation eines unregelmäßigen Körpers zurückzuführen, wie ich es zuerst<sup>1)</sup> und wie auch Herr Seeliger<sup>2)</sup> meinte; von solcher Körper gibt es Schwerkörper Ansehen, und es nicht zu erwarten, dass man die Lage der Rotationsachse ermittelt und auch einige Anhaltspunkte über die Form des Körpers erhalten wird. Die Lichtkurve kann aber auch, wenn Herr Andet<sup>3)</sup> zuerst aufmerksam gemacht hat, durch einen Doppelkörper hergeleitet werden, was aber nach Herrn Seeliger<sup>4)</sup> sehr unwahrscheinlich ist. Bei der Diskussion auf Grund einer solchen Hypothese darf jedoch nicht der Umstand außer Acht gelassen werden, dass zwei Körper, die sich jederzeit sehr nahe untereinander nähern, mit grosser Wahrscheinlichkeit sich berühren und Lichtkurven zeigen werden, die wesentlich zu anderen Elementen führen müssen, wie bei zwei selbstberührenden Körpern.“

Neue Veränderliche Sterne. Zwei neue Veränderliche sind von Frau Gräfin in Maribor auf Photographien von H. S. Bigly entdeckt worden. Es sind folgende:

73 1908 Lyrae in 16h 5m 12.6s,  $\delta + 33^{\circ} 14' 38.1''$  1908.0. Im Maximum erreicht der Stern 13 Gr oder etwas darüber, im Minimum sinkt er unter 12 Gr. Die Periode beträgt entweder 0.61 oder 0.27 eines Jahres.

73 1908 Scuti in 18h 46m 18.7s,  $\delta - 12^{\circ} 45.9''$  1858.0. Es ist der Stern — 12<sup>1</sup> 5202 der Bonner Durchmusterung und fast als 9.3 Gr angegeben. Grund der Beobachtungen von Bigly gehört er zu den Veränderlichen des Algoltypus. Seine Periode beträgt 0.25 und während 5<sup>h</sup> verändert sich die Helligkeit von 9.1 bis 9.5 Gr.

<sup>1)</sup> Eg v. Oppolzer, Anzeiger Wien, Abt. Februar 21. 1904.

<sup>2)</sup> Seeliger, Anzeiger, Nacht. Bd. 153, p. 24, 1903.

<sup>3)</sup> Andet, C. R. Tome CXXXII, p. 267, 1901. Anzeiger, Nacht. Bd. 153, p. 22, 1901.

<sup>4)</sup> Seeliger, l. c.

<sup>1)</sup> Anzeiger, Nacht. No. 1770

Es scheint, dass zwischen zwei Haupt-  
minim ein sekundäres Minimum auftritt.

24. 1891 = Perseu. Der Verlocken-  
hübel wurde von Paul Guthrie in  
Boon erhalten. \*) Die Schwankungen  
der Helligkeit betragen nur 0,6 Stern-  
größen und die Periode scheint unbedeu-  
tend zwei Monate zu sein. Der Stern  
ist intensiv orangefarben. Die Pots-  
damer Beobachtungen geben den Stern  
4,41 Größe, die Harvard-Messungen  
2,86, bei Hark ist er 4,4 Größe.

25. 1891 Perseu. Es ist der Stern  
δ, Gr. 26. Pk.  $\mu$  3<sup>a</sup> 54,2<sup>m</sup>  $\delta$  + 45<sup>o</sup>  
48<sup>m</sup> Nr. 18996. Der Verlockenhübel  
wurde von Prof. Dittmann erstanden  
und misst etwa  $\frac{1}{2}$  Größenklassen.  
Die Beobachtungen können durch eine  
etwas zweifelhafte Periode dargestellt  
werden. Ende Mai war der Stern mehr  
dem Maximum und etwas heller als  
5 Größe. Die Potsdamer Beobach-  
tungen geben ihm 5,56 Gr., die Harvard-  
Photometer liess ihn als 5,40 Gr. an.

Die Richtung der Sonnenbewe-  
gung durch den Weltraum. Eine  
neue Untersuchung über die Lage des  
Punktes (Apex) am Himmel, gegen  
welchen hin die Bewegung der Sonne  
gerichtet ist, hat Prof. J. C. Kapteyn in  
Groningen angestellt und über die  
Ergebnisse seiner vorläufigen Arbeiten \*)  
Veröffentlichung zu dieser Arbeit war  
der Ursach, dass Prof. Kapteyn bei  
seiner Untersuchung der Eigenbewe-  
gungen der im Apocentrischen  
Katalog vorhandenen Sterne wieder-  
holt auf Anomalien stieß, die sich so  
verhalten als wenn sie durch Neig-  
fehler in den angenommenen Ekli-  
ptikbewegungen der Sterne hervor-  
gerufen würden. Es hat sich daher  
die Ansicht, durch schwebende Mit-  
bestimmung dieser Fehler der Eigen-  
bewegungen jener Anomalien zum Ver-  
schwinden zu bringen. Seine Unter-  
suchungen hat Prof. Kapteyn auf 2640  
Bradley'sche Sterne und auf den Katalog

der Eigenbewegungen von Porter (Teil of  
the General Catalogue No. 12) begründet,  
aus dem 699 Sterne mit 0,30<sup>m</sup> Eigen-  
bewegung und darüber benutzet wurden.  
Als wichtigstes Resultat für die Position  
des Apex ergab die vergleichende von  
den angenommenen Bewegungsmethoden  
findet Prof. Kapteyn (Jhr 1875)  
 $\alpha = 271,8^{\circ} + 1,3^{\circ} \delta = + 286^{\circ} + 1,1^{\circ}$

Dieser Wert befindet sich in guter Übere-  
einstimmung mit demjenigen, welches  
Campbell aus den spezialphotographisch  
bestimmten Eigenbewegungen von Proxi-  
miden in der Geschichte abgeleitet  
hat  $\frac{1}{2}$  und der für die Position des  
Apex ergibt.  
 $\alpha = 271,8^{\circ} + 0,6^{\circ} \delta = + 286^{\circ} + 5,6^{\circ}$

Eine merkwürdige Metallmasse  
ist den Angaben gemäss am 15 Juni  
veriges Jahres in 47°Coseyria in der  
Provence Marce im Süden des der Luft  
gefallen. Ihr Gewicht beträgt 37,75 Gr  
und ein Bruchstück der Masse wurde  
nach Paris zur Untersuchung geschickt.  
Hirsch hat sich damit um 82  $\frac{1}{2}$   
Eisen,  $\frac{1}{2}$  Nickel und geringe Mengen  
von Schwefelzinn, Phosphorsäure,  
Kobalt und Uranil. An verschiedenen  
Stellen der Masse zeigen sich Überreste  
einer glühenden schwarzen Rinde, wie  
man sie bei Meteoriten gewöhnlich findet,  
auch die Furchen und Rillen auf der  
einen Seite der Körper sind ähnlich  
denjenigen der Vorderfläche mancher  
echten Meteoriten. Sonst kann man  
an der meteorischen Natur dieser Metall-  
masse nicht wohl zweifeln.

Versuche für Freunde der  
Himmelsbeobachtung. Aus dem  
Lehrbuche des - Stern- und mit mehrere  
grossen und kleinen, sehr gut erhaltenen  
Fernrohren zum Verkauf angeordnet  
werden. Freunde der Himmels-  
beobachtung, welche die Anschaffung  
eines solchen Instrumentes beabsichtigen  
und sich dazufür ab zu entschliessen,  
bin ich zu jeder gewünschten Auskunft  
gerne bereit. Dr. Klein

\*) Astron. Nachr. No. 3728.  
\*) Astron. Nachr. No. 3728.

\*) Astrophys. Journal XXI, p. 46—49,  
1891

## Astronomischer Kalender für den Monat Oktober 1901.

Tag	Sonne				Mond			
	Mittlere Berliner Zeit.				Mittlere Berliner Zeit.			
	Zeit M. U. — W. U.	Rektascension	Declination	Rektascension	Declination	Mond im Meridian		
1	06 00	16 27	127 59	— 0 0 34	3 24	1 26	17 27 39	12 28 1
2	06 01 19	16 24	128 00	— 0 00 27 4	3 29	1 24	17 29 42 6	12 27 5
3	06 02 37	16 20	128 03	— 0 00 20 8	3 35	1 22	17 32 45 12	12 27 4
4	06 04 00	16 15	128 07	— 0 00 13 2	3 41	1 20	17 35 48 18	12 27 3
5	06 05 27	16 10	128 12	— 0 00 6 6	3 48	1 18	17 38 51 24	12 27 2
6	06 07 00	16 05	128 18	— 0 00 0 0	3 55	1 16	17 41 54 30	12 27 1
7	06 08 37	16 00	128 25	— 0 00 0 0	4 02	1 14	17 44 57 36	12 27 0
8	06 10 20	15 55	128 33	— 0 00 0 0	4 10	1 12	17 47 59 42	12 26 59
9	06 12 07	15 50	128 42	— 0 00 0 0	4 18	1 10	17 50 59 48	12 26 58
10	06 14 00	15 45	128 52	— 0 00 0 0	4 27	1 08	17 53 59 54	12 26 57
11	06 16 00	15 40	129 03	— 0 00 0 0	4 36	1 06	17 56 59 59	12 26 56
12	06 18 07	15 35	129 15	— 0 00 0 0	4 46	1 04	17 59 59 64	12 26 55
13	06 20 20	15 30	129 28	— 0 00 0 0	4 56	1 02	18 02 59 68	12 26 54
14	06 22 39	15 25	129 42	— 0 00 0 0	5 07	1 00	18 05 59 72	12 26 53
15	06 25 04	15 20	129 58	— 0 00 0 0	5 18	0 98	18 08 59 75	12 26 52
16	06 27 35	15 15	130 15	— 0 00 0 0	5 30	0 96	18 11 59 78	12 26 51
17	06 30 12	15 10	130 33	— 0 00 0 0	5 42	0 94	18 14 59 81	12 26 50
18	06 32 55	15 05	130 52	— 0 00 0 0	5 55	0 92	18 17 59 84	12 26 49
19	06 35 44	15 00	131 12	— 0 00 0 0	6 08	0 90	18 20 59 87	12 26 48
20	06 38 39	14 55	131 33	— 0 00 0 0	6 22	0 88	18 23 59 90	12 26 47
21	06 41 40	14 50	131 55	— 0 00 0 0	6 36	0 86	18 26 59 93	12 26 46
22	06 44 47	14 45	132 18	— 0 00 0 0	6 51	0 84	18 29 59 96	12 26 45
23	06 47 59	14 40	132 42	— 0 00 0 0	7 06	0 82	18 32 59 99	12 26 44
24	06 51 17	14 35	133 08	— 0 00 0 0	7 21	0 80	18 35 59 102	12 26 43
25	06 54 40	14 30	133 35	— 0 00 0 0	7 37	0 78	18 38 59 105	12 26 42
26	06 58 08	14 25	134 04	— 0 00 0 0	7 53	0 76	18 41 59 108	12 26 41
27	07 01 41	14 20	134 35	— 0 00 0 0	8 10	0 74	18 44 59 111	12 26 40
28	07 05 19	14 15	135 08	— 0 00 0 0	8 27	0 72	18 47 59 114	12 26 39
29	07 09 12	14 10	135 43	— 0 00 0 0	8 45	0 70	18 50 59 117	12 26 38
30	07 13 10	14 05	136 20	— 0 00 0 0	9 03	0 68	18 53 59 120	12 26 37
31	07 17 23	14 00	137 00	— 0 00 0 0	9 22	0 66	18 56 59 123	12 26 36

### Planetenkonstellationen 1901.

Oktober 1	14h	Merkur in Konjunktion mit der Sonne.
„ 10	9	Venus in Konj. in Bockst., mit Mars. Venus 2° 12' südl.
„ 20	9	Merkur in größter östlicher elongation 10° 1'
„ 24	7	Mars in Konjunktion in Widdersteint. mit dem Monde.
„ 28	10	Mars in Konjunktion in Krebssteint. mit dem Monde.
„ 28	10	J. Saturnus in Konj. in Krebsst., mit dem Monde. Verbindung
„ 30	10	Venus in Konjunktion in Widdersteint. mit dem Monde.
„ 31	10	Venus in Konjunktion.
„ 31	10	Merkur in größter östlicher hellenheitsreicher Breite.
„ 31	12	Jupiter in Konjunktion in Widdersteint. mit dem Monde.
„ 31	9	Saturnus in Konjunktion in Krebssteint. mit dem Monde.
„ 31	9	Venus in Konj. in Krebsst., mit u. Jupiter. Venus 2° 21' südl.
„ 31	9	Venus in Konj. in Krebsst., mit Uranus. Venus 2° 21' südl.
„ 31	—	Mercuridewert.

**Planeten - Ephemeriden.**

Mittlere Berliner Mittag					Mittlere Berliner Mittag																																											
Jahr	Rektascension Declination				Österr. Meridian-Abw.	Jahr	Rektascension Declination				Österr. Meridian-Abw.																																					
	h	m	s	° ' "			h	m	s	° ' "																																						
<b>1898</b>					<b>1900</b>																																											
<b>Merkur.</b>					<b>Saturn.</b>																																											
Ok.	1	14	0	269° 50'	-19 51 49.9	1	14	0	12 59 51	-89 50 59.1	1	14	0	12 59 51	-89 50 59.1																																	
	15	14	15	270° 01'	-19 49 37.0	1	14	15	12 59 49	-89 49 54.0	1	14	15	12 59 49	-89 49 54.0																																	
	30	14	30	270 45	-19 39 29.4	1	14	30	12 59 46	-89 47 47.0	1	14	30	12 59 46	-89 47 47.0																																	
	45	14	45	271 30	-19 29 26.1	1	14	45	12 59 43	-89 45 40.0	1	14	45	12 59 43	-89 45 40.0																																	
	60	14	60	272 15	-19 19 27.9	1	14	60	12 59 40	-89 43 33.0	1	14	60	12 59 40	-89 43 33.0																																	
	75	14	75	273 00	-19 9 34.9	1	14	75	12 59 37	-89 41 26.0	1	14	75	12 59 37	-89 41 26.0																																	
	90	14	90	273 45	-19 0 48.9	1	14	90	12 59 34	-89 39 19.0	1	14	90	12 59 34	-89 39 19.0																																	
<b>Venus.</b>					<b>Uranus.</b>																																											
Ok.	1	25	14	14 55'	-19 54 44.4	1	25	14	14 55	-89 54 44.4	1	25	14	14 55	-89 54 44.4																																	
	15	25	15	14 52	-19 4 759.9	1	25	15	14 52	-89 52 37.0	1	25	15	14 52	-89 52 37.0																																	
	30	25	30	14 48 30	-18 50 4.1	1	25	30	14 48 30	-89 50 29.0	1	25	30	14 48 30	-89 50 29.0																																	
	45	25	45	14 44 30	-17 54 26.0	1	25	45	14 44 30	-89 48 21.0	1	25	45	14 44 30	-89 48 21.0																																	
	60	25	60	14 40 30	-16 56 0.0	1	25	60	14 40 30	-89 46 13.0	1	25	60	14 40 30	-89 46 13.0																																	
	75	25	75	14 36 30	-15 56 43.0	1	25	75	14 36 30	-89 44 5.0	1	25	75	14 36 30	-89 44 5.0																																	
<b>Mars.</b>					<b>Neptun.</b>																																											
Ok.	1	22	26	0 50'	-22 23 27.0	1	22	26	0 50	-89 23 27.0	1	22	26	0 50	-89 23 27.0																																	
	15	22	15	0 59 30	-22 24 49.4	1	22	15	0 59 30	-89 24 49.4	1	22	15	0 59 30	-89 24 49.4																																	
	30	22	30	1 09 30	-22 26 29.9	1	22	30	1 09 30	-89 26 29.9	1	22	30	1 09 30	-89 26 29.9																																	
	45	22	45	1 20 00	-22 28 14.9	1	22	45	1 20 00	-89 28 14.9	1	22	45	1 20 00	-89 28 14.9																																	
	60	22	60	1 30 30	-22 30 14.0	1	22	60	1 30 30	-89 30 14.0	1	22	60	1 30 30	-89 30 14.0																																	
	75	22	75	1 41 00	-22 32 37.0	1	22	75	1 41 00	-89 32 37.0	1	22	75	1 41 00	-89 32 37.0																																	
	90	22	90	1 51 30	-22 35 21.0	1	22	90	1 51 30	-89 35 21.0	1	22	90	1 51 30	-89 35 21.0																																	
<b>Jupiter.</b>					<b>Wanderplaneten 1900</b>																																											
Ok.	1	14	20	18 50'	-21 55 0.0	1	20	14	18 50	-89 55 0.0	1	20	14	18 50	-89 55 0.0																																	
	15	14	15	18 53	-21 52 49.0	1	20	15	18 53	-89 52 49.0	1	20	15	18 53	-89 52 49.0																																	
	30	14	30	18 56	-21 50 47.4	1	20	30	18 56	-89 50 47.4	1	20	30	18 56	-89 50 47.4																																	
					<table border="1"> <thead> <tr> <th colspan="2">h</th> <th colspan="2">m</th> </tr> </thead> <tbody> <tr> <td>Oktober</td> <td>4</td> <td>1</td> <td>48.8</td> <td>Leider Vorw.</td> </tr> <tr> <td></td> <td>17</td> <td>4</td> <td>47.1</td> <td>Neumond</td> </tr> <tr> <td></td> <td>28</td> <td>1</td> <td>13.7</td> <td>Erster Vorw.</td> </tr> <tr> <td></td> <td>29</td> <td>1</td> <td>11.9</td> <td>Vollmond</td> </tr> <tr> <td></td> <td>27</td> <td>12</td> <td>—</td> <td>Mond in Erdhoh.</td> </tr> <tr> <td></td> <td>14</td> <td>26</td> <td>—</td> <td>Mond in Erdhoh.</td> </tr> </tbody> </table>					h		m		Oktober	4	1	48.8	Leider Vorw.		17	4	47.1	Neumond		28	1	13.7	Erster Vorw.		29	1	11.9	Vollmond		27	12	—	Mond in Erdhoh.		14	26	—	Mond in Erdhoh.					
h		m																																														
Oktober	4	1	48.8	Leider Vorw.																																												
	17	4	47.1	Neumond																																												
	28	1	13.7	Erster Vorw.																																												
	29	1	11.9	Vollmond																																												
	27	12	—	Mond in Erdhoh.																																												
	14	26	—	Mond in Erdhoh.																																												

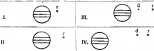
**Sternhöhenangabe durch den Mond für Berlin 1901**

Monatstag	Stern	Distanz	Mond:		Stern:	
			mittlere Zeit	höchste Zeit	mittlere Zeit	höchste Zeit
			h	m	h	m
Oktober 17	♄ Capellā	10	0	27	0	12
"  19	♃ Aquilā	10	22	19	22	12

**Lage und Größe des Saturnringes nach Bessel**

Oktober 26.	Große Achse der Ringfläche:	21 11"	Kleine Achse:	10 10"
	Erleuchtungsweite der Erde über der Ringebene:	29° 17'	abwärts	
Oktober 1.	Mittlere Scheitel der Erdspitze	89° 57'	1-40"	
	Schwabenbrunn " " "	89° 41'	1-40"	
	Plattensee bei Zeller	10'	1-21"	
	Parfassen " "		1-17"	

**Stellungen der Jupitermonde im Oktober 1902.**



Stellungen am 17. Okt. für den Anblick an astronomischer Fernrohre.

Tag	West		Ost
1		10	4
2	-2	10	2
3		10	2
4	2	10	2
5	4	10	2
6	6	10	2
7	8	10	2
8	10	10	2
9	12	10	2
10	14	10	2
11	16	10	2
12	18	10	2
13	20	10	2
14	22	10	2
15	24	10	2
16	26	10	2
17	28	10	2
18	30	10	2
19	32	10	2
20	34	10	2
21	36	10	2
22	38	10	2
23	40	10	2
24	42	10	2
25	44	10	2
26	46	10	2
27	48	10	2
28	50	10	2
29	52	10	2
30	54	10	2



**Erhebungen der Jupitermonde.** Die obigen Angaben über die Erhebungen der Jupitermonde beziehen sich auf mittlere Zeit von Greenwich. Die Tabellen sind der Reihenfolge ihres Abnehmens vom Jupiter nach II bis IV beschriftet. Die vier gelassenen Figuren zeigen die Stellung jedes Mondes zur Sonne und dem Jupiter für den Augenblick der Verhinderung (V) oder des Wiedereintrittens (E). Ist V nicht angegeben, so kann der Eintritt aus dem Schattens nicht beobachtet werden. Ferner befindet sich das nachfolgende Zeitangaben.

- Er II das Verschwinden des Trabanten im Schatten des Jupiter
- Er III den Eintritt des Trabanten aus dem Schatten des Jupiter
- Er IV das Verschwinden des Trabanten hinter der Jupiterschibe.
- Er V das Wiedereintrittens nachher der Jupiterschibe
- Tr I den Eintritt des Trabanten aus der Jupiterschibe
- Tr II den Austritt des Trabanten aus der Jupiterschibe.
- Sh I den Eintritt des Trabanten in den Schatten der Jupiterschibe.
- Sh II den Austritt des Trabanten aus dem Schatten der Jupiterschibe.

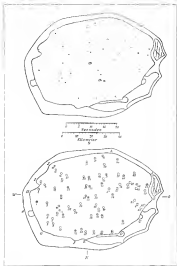
Es sind nur diejenigen Erhebungen der Jupitermonde angegeben, welche sich ereignen wenn Jupiter zu Greenwich über und die Sonne unter dem Horizont steht. Um die Momente dieser Erhebungen nach mitteleuropäischer Zeit zu finden, hat man nur um 1<sup>h</sup> zu den angegebenen Zeitpunkten zu addieren.

**Stärker I.** II Sh I, 2<sup>h</sup> 20<sup>m</sup> II Tr I E 2<sup>h</sup> 10<sup>m</sup> I Er, D 2<sup>h</sup> 00<sup>m</sup> II Sh E, 2<sup>h</sup> 20<sup>m</sup>. **Stärker 2.** I Tr I E, 2<sup>h</sup> 20<sup>m</sup> I Sh, E, 2<sup>h</sup> 20<sup>m</sup>. **Stärker 3.** III Er, 2<sup>h</sup> 20<sup>m</sup> 20<sup>m</sup> II Tr I, 2<sup>h</sup> 20<sup>m</sup> II Sh, L, 2<sup>h</sup> 20<sup>m</sup> III Er, E, 2<sup>h</sup> 20<sup>m</sup> 10<sup>m</sup> E Tr I E, 2<sup>h</sup> 20<sup>m</sup> I Er, D, 2<sup>h</sup> 20<sup>m</sup>. **Stärker 4.** I Tr, 3<sup>h</sup> 10<sup>m</sup> L Sh I 1<sup>h</sup> 20<sup>m</sup> I Tr E, 2<sup>h</sup> 20<sup>m</sup>. **Stärker 5.** II Er, 2<sup>h</sup> 20<sup>m</sup> 20<sup>m</sup> I Er, 2<sup>h</sup> 20<sup>m</sup> 20<sup>m</sup>. **Stärker 6.** IV Er, D, 2<sup>h</sup> 20<sup>m</sup> 20<sup>m</sup>. III Er, E, 2<sup>h</sup> 20<sup>m</sup> II Tr I, 2<sup>h</sup> 20<sup>m</sup>. **Stärker 7.** I Tr I, 2<sup>h</sup> 20<sup>m</sup>. **Stärker 8.** I Er, D, 2<sup>h</sup> 20<sup>m</sup> II Er, 2<sup>h</sup> 20<sup>m</sup> 20<sup>m</sup>. **Stärker 9.** I Sh, 2<sup>h</sup> 20<sup>m</sup>. **Stärker 10.** IV Tr, 2<sup>h</sup> 20<sup>m</sup>. **Stärker 11.** II Er, D, 2<sup>h</sup> 20<sup>m</sup>. **Stärker 12.** I Sh, L, 2<sup>h</sup> 20<sup>m</sup> I Tr, E, 2<sup>h</sup> 20<sup>m</sup> I Sh, E, 2<sup>h</sup> 20<sup>m</sup>. **Stärker 13.** I Er, E, 2<sup>h</sup> 20<sup>m</sup> 20<sup>m</sup> II Sh, E, 2<sup>h</sup> 20<sup>m</sup>. III Sh, E, 2<sup>h</sup> 20<sup>m</sup>.

**Stellungen der Saturnmonde. (Erklärung S 24)**  
**Zeiten der größten Elongation im October 1903.**

- Tethys.** October 6. 1<sup>h</sup> 1<sup>m</sup>, October 8. 2<sup>h</sup> 2<sup>m</sup>, October 8. 10<sup>h</sup> 1<sup>m</sup>, October 1. 12<sup>h</sup> 1<sup>m</sup>, October 2. 12<sup>h</sup> 1<sup>m</sup>, October 11. 12<sup>h</sup> 1<sup>m</sup>, October 12. 12<sup>h</sup> 1<sup>m</sup>, October 13. 1<sup>h</sup> 1<sup>m</sup>, October 14. 1<sup>h</sup> 1<sup>m</sup>, October 15. 2<sup>h</sup> 1<sup>m</sup>, October 16. 2<sup>h</sup> 1<sup>m</sup>, October 17. 2<sup>h</sup> 1<sup>m</sup>, October 18. 2<sup>h</sup> 1<sup>m</sup>, October 19. 2<sup>h</sup> 1<sup>m</sup>, October 20. 2<sup>h</sup> 1<sup>m</sup>, October 21. 2<sup>h</sup> 1<sup>m</sup>, October 22. 2<sup>h</sup> 1<sup>m</sup>, October 23. 2<sup>h</sup> 1<sup>m</sup>, October 24. 2<sup>h</sup> 1<sup>m</sup>, October 25. 2<sup>h</sup> 1<sup>m</sup>, October 26. 2<sup>h</sup> 1<sup>m</sup>, October 27. 2<sup>h</sup> 1<sup>m</sup>.
- Dione.** October 1. 1<sup>h</sup> 1<sup>m</sup>, October 6. 2<sup>h</sup> 1<sup>m</sup>, October 6. 12<sup>h</sup> 1<sup>m</sup>, October 8. 2<sup>h</sup> 1<sup>m</sup>, October 11. 1<sup>h</sup> 1<sup>m</sup>, October 14. 1<sup>h</sup> 1<sup>m</sup>, October 15. 1<sup>h</sup> 1<sup>m</sup>, October 16. 2<sup>h</sup> 1<sup>m</sup>, October 17. 2<sup>h</sup> 1<sup>m</sup>, October 18. 2<sup>h</sup> 1<sup>m</sup>, October 19. 2<sup>h</sup> 1<sup>m</sup>, October 20. 2<sup>h</sup> 1<sup>m</sup>, October 21. 2<sup>h</sup> 1<sup>m</sup>.
- Rea.** October 2. 12<sup>h</sup> 1<sup>m</sup>, October 3. 12<sup>h</sup> 1<sup>m</sup>, October 11. 11<sup>h</sup> 1<sup>m</sup>, October 12. 12<sup>h</sup> 1<sup>m</sup>, October 13. 11<sup>h</sup> 1<sup>m</sup>, October 14. 12<sup>h</sup> 1<sup>m</sup>, October 15. 12<sup>h</sup> 1<sup>m</sup>, October 16. 12<sup>h</sup> 1<sup>m</sup>.
- Tyee.** October 4. 1<sup>h</sup> 1<sup>m</sup> E, October 4. 1<sup>h</sup> 1<sup>m</sup> L, October 12. 2<sup>h</sup> 1<sup>m</sup> E, October 13. 2<sup>h</sup> 1<sup>m</sup> L, October 14. 2<sup>h</sup> 1<sup>m</sup> E, October 15. 2<sup>h</sup> 1<sup>m</sup> L, October 16. 2<sup>h</sup> 1<sup>m</sup> E, October 17. 2<sup>h</sup> 1<sup>m</sup> L, October 18. 2<sup>h</sup> 1<sup>m</sup> E, October 19. 2<sup>h</sup> 1<sup>m</sup> L, October 20. 2<sup>h</sup> 1<sup>m</sup> E, October 21. 2<sup>h</sup> 1<sup>m</sup> L, October 22. 2<sup>h</sup> 1<sup>m</sup> E, October 23. 2<sup>h</sup> 1<sup>m</sup> L, October 24. 2<sup>h</sup> 1<sup>m</sup> E, October 25. 2<sup>h</sup> 1<sup>m</sup> L, October 26. 2<sup>h</sup> 1<sup>m</sup> E, October 27. 2<sup>h</sup> 1<sup>m</sup> L, October 28. 2<sup>h</sup> 1<sup>m</sup> E, October 29. 2<sup>h</sup> 1<sup>m</sup> L, October 30. 2<sup>h</sup> 1<sup>m</sup> E, October 31. 2<sup>h</sup> 1<sup>m</sup> L.
- Epetas.** October 2. 12<sup>h</sup> 1<sup>m</sup> L, October 14. 2<sup>h</sup> 1<sup>m</sup> E.

Druckfehler: Dr. Hermann J. Kohn in Wien. — Druck von G. Neumann in Leipzig. 1903



Seite 190

Seite 191

Die Waikanae Plains  
nach Prof. William H. Fisher



# SIRIUS.

Zeitschrift für populäre Astronomie.

Centralorgan für alle Freunde und Förderer der Himmelskunde.

Herausgegeben

unter Mitwirkung hervorragender Fachgenossen und wissenschaftlicher Schriftsteller  
von Dr. Hermann J. Klein in Köln a. Rh.

September 1901.

„Wissen und Erörtern sind die Freude und die  
Berichtigung der Menschheit.“ — Kants.

Jedes Monat 1 Heft. — Jährlich 12 Mk.

Verlag von EDUARD HEINRICH MAYER in Leipzig.

**INHALT:** Die astronomische Bewegungslhre und Weltanschauung des Kardinals Nikolaus von Cusa. S. 140. — Die Leistungen des physiologischen Observatoriums in Heidelberg. S. 200. — Die wichtigste Punkte der Sonnenflecke und der Sonnenwinde. Von Dr. Klein. S. 206. — Warum II. Ptolemäus Beobachtungen der Mondoberfläche. Von Dr. Klein. Mit 1 Abb. (Jehle). S. 208. — Verschiede Neugierde. S. 210. — Astronomischer Kalender. S. 212. — Befragungen der Jahreswende im November 1901. S. 214. — Beobachtungen der Jahreswende. S. 216. — Befragungen der Jahreswende. S. 217.

## Die astronomische Bewegungslhre und Weltanschauung des Kardinals Nikolaus von Cusa.

Am 1. Juli waren 500 Jahre ver-  
flossen, seit dass der berühmte-  
sten Kirchenlehrer deutscher Nationalität,  
der Vater der Copernicus, an dem  
Sonntag der Mariä das Licht der Welt  
erblinnte. In seinem Geburtsort, in  
welchem auch heute eine Stiftung des  
berühmten Mannes blüht, an diesem Tag  
gebührend gefeiert worden, aber über  
die weltliche Bedeutung Nikolaus von  
Cusa in der Geschichte der Astronomie  
sind die Ansichten noch vielfach ge-  
teilt. Unter dessen Überschriften ist ein  
Vortrag, des Herr Prof. Deschamps  
am 6. Juli in der Rheinischen  
Gesellschaft für Natur- und Heilkunde  
zu Bonn über Cusa und dessen Welt-  
anschauung gehalten, von hohem Inter-  
esse, dass der Bonner Astronom gibt

in demselben ein auf gründlichen  
Quellstudien beruhendes apostolisches  
Bild Cusa, wodurch dessen Bedeu-  
tung als für unsere Zeitgenossen  
Wissenschaften-Vortrag folgendes:

„Nikolaus von Cusa (Cusano) war  
geboren 1401 in dem Flecken Cusa an  
der Mosel, zwei neben Wipperfurth  
unterhalb Trier gelegen, als Sohn eines  
nicht unbemittelten Schöffen und Wren-  
kars, Johann Chrypils (Krebs). Sein  
grösseres Geburtort hat sich nicht  
mehr angeben, da nach der Gedächtnis-  
stunde in Cusa nur das Geburtsjahr an-  
weist. Schon in früher Jugend entzog  
sich der Knabe der ruckeln Behandlung  
seiner Väter durch die Flucht in die  
Eifel, wo er im Hause des Grafen von  
Hanslerbach-Karl in Dornat trat. Er



genau abweisende Urteil von Herz, gerecht dem freien Geiste des Cassini, mit dem er sich über die Grundanschauungen seines Zeitlers absetzt, von dem polenländische Lehntatzen freimachte und so zu Copernicus weiterleitete.

Während Wolf nach 1827 in seiner Geschichte der Astronomie dem Cassini als einen Mytiker bezeichne, der nur unweit von der Bewegung der Erde spreche, als sie unerkennbar und nur durch die Versuch deutbar sei und der dabei auch in die tägliche Bewegung der Erde geteilt haben konnte, weil er in einer seiner Schriften sagt: Gott bestimme einem jeden seine Art, seinen Kern und seinen Ort, er setze die Erde in die Mitte und bestimme, dass sie schwebet und sich im Mittelpunkte der Welt bewegt, damit sie sich in der Mitte der Welt bleibe und weder nach oben, noch nach der Seite überwiege — dafür als Vorbild der neuen Lehre gar nicht in Betracht kommen könne —, greift er den andernorts in seiner zweiten Ausgabe seines Handbuchs der Astronomie an, dem Cassini einer von denen war, die dem Copernicus den Boden abnahmen, indem ganz nicht nur die Erde unter die Sterne drückte und damit die Scheidewand zerstörte, welche im alten Himmel und Erde voneinander trennte, sondern auch die Bewegung als etwas der Materie kategorisch beschlagene und sich überhaupt nicht schenke, mit andern Ansichten zu brechen, sobald ihm zwingende Gründe dafür vorlägen schienen — Die Schwerekraft, über den Kern der Weltanschauung des Cassini im Klare zu kommen, lag für die Geschichtskritiker der Welt-systeme in erster Linie darin, dass sie in den Schriften des Cassini so wenig mit der aristotelischen Voraussetzung seiner Naturphilosophie verbunden erschienen, dafür nur schwach der Kern, der von Ptolemäus zu Copernicus weiterbetet, herausgefunden war. So hatte nach Wolf nach der ersten

Ausgabe seiner Handbucht des Cassini in dessen Schrift: «De motu igneo» so verstanden, dass diese des Welt-system des Ptolemäus nochfalls mitgewirkt wurde, beide konnte nur durch die Humanen Qualitäten des Schopenhäus des Ptolemäus nur als des schrittweise vertilgten des Copernicus im Affekt, aber von der Weltanschauung des Cassini mit sein System gerade im wissenschaftlichen Punkte verbunden Aus den gedruckten Schriften des Kardinals, dass für uns wichtigste, De motu igneo, am 12 Februar 1600 in Cassi vollendet wurde, gibt es nicht hervor, wie er sich die Bewegung der Erde gedacht hat, aber was er von De Cassini in der Bibliothek des Hospitals von Cassi aufgefundenen und erst nach dem Jahre 1644 von des Kardinals eigener Hand beschriebenen Pergamentblatt<sup>1)</sup> gibt klar hervor, dass ihm die Lehre des Ptolemäus zwar nicht fremd, aber auch, dass er die Bewegung der Erde nicht als eine fortwährende, sondern als eine intermittierende sah. Auch Müller, der über das erwähnte Fragment bei Abfassung seiner Himmelkunde zur Beurteilung des Cassini bereits verfügte, will dass noch keine Fortschritt zur Erkenntnis des wahren Welt-system erkennen, befähigt hat er sich nicht der Höhe zu erheben, sondern zu andern überlassen, in diese Lehre des Cassini einzudringen. Für sein Können über Geschichte der Welt-systeme habe ich eine Voraussetzung, nach nach mit den Schriften des Cassini dem näher zu beschäftigen —

Nicolaus von Cassi habe sich — wie nach den Copernicus — die Grundlagen seiner Weltanschauung auf einer der italienischen Universitäten gelebt, die besonders durch die dort verdingten, von den Mediceis und Papst Nikolaus V. gesammelten Lehren des Albertus berührt waren und blühten, in Pavia. Hatten aber die großen

<sup>1)</sup> Abgedruckt in dessen Schrift: Obsequium Nobile und Nobilität von Cassi, Bona, 1621.

Vorgänger des Copernicus in der Pflege einer großwissenschaftlichen Haltung der Wissenschaft, Dante, Petrus, Borrocco, bezüglich der Weltordnung in ihrem berühmten Werke sich nicht von dem geschlecht-scholastischen Glauben zu trennen vermocht, so veränderte der Copernicus die erfolgreichste Richtung seiner späteren, auf die Weltbewegung gerichteten Studien einem Manne, der auch in der Geschichte der Entdeckung Amerikas eine entscheidende Rolle gespielt hat, dem Physiker Paul Toscanelli. Die geistige Richtung und die Leistungen dieses berühmten Florentiners, der nach zum Zweck der Verbesserung der Altonischen Tafeln 1482 einen Gezeiten auf dem Meer zu Florenz richtete, mit dem er hauptsächlich den Lauf der Sonne beobachtete, und der daher der erste Beobachtende Astronom in Europa war, lassen, ebenso wie an schon dem Copernicus die wesentlichen Säulen für seine Entdeckungsunternehmungen auf geographischem Gebiete geliefert haben, auch in seinen Schüler, Nikolaus von Cusa, die Basis für die Entstehung von dessen astronomischem System gelegt und ihn namentlich auch in einer besondern Schrift über die Altonischen Tafeln veranlaßt.

Der Ausgangspunkt seiner Naturphilosophie ist jedoch noch nicht auf die Beobachtungen gegründet, sondern auf die Betrachtung des mathematisch Unendlichen, das er aber mit dem Absoluten verwechselt und so in der Widerspruch gefängt, die die Eigenschaften und Verhältnisse der Figuren zeigen, wenn er sie ins Unendliche wachsen läßt, er beweist so, dass eine ins Unendliche vergrößerte Linie, ein Kreis oder ein Dreieck, dass eine ins Unendliche wachsende Kugel auch ein Kreis, ein Dreieck eine Kugel sein kann. Nun nimmt er die Weltall nach seinem Princip als unendlich an und die Bewegung als etwas dem Körper von Natur zukommendes. Es die Welt unendlich ist, so kann sie weder einen

keinen Mittelpunkt noch einen Umfang haben. Es kann daher auch die Erde nicht Mittelpunkt der Welt sein. *Terre igitur non centrum esse neque motu nisi circa non potest.* Da aber nach der Voraussetzung der Uniform der Welt nicht ist, aber nach den Anschauungen diesem mehr und die Erde dem Weltcentrum näher ist, so ist es nur notwendig, dass wir die Sonne nicht mehr da finden, wo sie nach dem Welt-system der Alton stehen sollten, daraus folgt wieder, dass sich die Erde bewegt. Dass sich Copernicus diese Bewegung der Erde aber nicht als eine fort-schreitende, sondern als eine Achsen-drehung gedacht hat, erdacht schon aus dem oben unteren Satze, dass die Erde schwer sei, sich um Mittelpunkt der Welt bewege, damit sie stets im Mittelpunkte der Welt bleibe und weder nach oben noch nach der Seite abweiche.

Die Erde ist ein Stern wie die andern Himmelskörper, sie bewegt sich, und wenn sie auch in Bewegung auf die andern Sterne dem Pole der Welt ruhet und einen kleinen Kreis zu beschreiben scheint, so bewegt sie sich doch, und sie beschreibt nicht den kleinen Kreis. Auch kann weder die Sonne, noch der Mond, noch die Erde, noch eine andre Sphäre (sowohl es uns so scheint) eine wirkliche Kreisbewegung haben, dass sie bewegen sich nicht um einen festen Mittelpunkt. Des weitern findet Copernicus dann *[De ductis (protestatio) lib. II Cap. XII]*, dass, wo wir uns nach auf der Erde oder im Weltall befinden mögen, wir immer den sichtbaren Mittelpunkt der Welt mit uns nehmen. Befänden wir uns also am Nordpol auf der Erde, so würde der Pol uns im Zenith erscheinen, befänden wir uns am Pole selbst, so würde die Mitte uns im Zenith zu liegen erscheinen, so wie wir den Himmels über uns haben, während wir, uns in jedem der besten Pole befindend, die Erde im Zenith sehen. Und wo wir uns auch befinden, da glauben wir im Mittelpunkt der

Welt zu sein. Die Welt, ihre Bewegung und Gestalt erscheint gleichsam wie Rad in Rad, Sphäre in Sphäre, ohne Mittelpunkte und Umdrehen.

In diesem, im Jahre 1440 abgeschlossenen Werke hat Copernicus bereits eine so klar und richtige Anschauung durch die Einführung des Begriffs der relativen Bewegung zur Erklärung des scheinbaren Laufs der Gestirne bewirkt, wie sie noch fast 1<sup>1/2</sup> Jahrhunderte nach ihm (1593) der große Tycho Brahe nicht zu verstehen vermochte, indem er mit Hermann Ursus die inzwischen entstandene Copernicanische System durch die Wiederführung der antiheliosentrischen Erde verunstaltete, auf dem für ihn unerschütterlichen Grundsatze stehend: »Die Erde ist ein zur Bewegung ungenutztes Ding.« Copernicus sagte sich schon ganz richtig, wie seltsam die Bewegung der Erde nicht wäre, wie vor überhaupt die Bewegung nur im Vergleich zu einem festen Punkte wahrnehmen und wie jemand auf einem Schiffe die Bewegung des Schiffes nicht wahrnimmt, wenn er nicht weiß, dass das Wasser fließt und er nicht die Ufer sieht. Daraus schloß er auch schon, wenn er sich auf der Erde, auf der Sonne oder auf einem andern Sterne befindet, so, als ob er in einem antiheliosentrischen Mittelpunkte sei und als ob alles Andere sich bewege, er wird dann je nach seinem Standpunkte immer andere Pole festsetzen.

Die weitere Darlegung in diesem Buche zeigt uns jedoch, dass sich Copernicus bei zu seinem 46. Lebensjahre noch nicht zu der klaren Erkenntnis seines Heliocentriens durchgerungen hatte, wie er es in einem spätern Lebensalter, aber wahrscheinlich nicht nach 1480, in der Handschrift in *De revolutionibus* getan hat, während die erste Veröffentlichung von Copernicus' Lehren im 1540 erfolgte. Inzwischen finden sich auch in unserer gedruckten Schrift des Copernicus seinen Entzifferer weit vorausweisend, erst von der modernen Natur-

forschung bestätigte und bewiesene Lehren über die Natur der Weltkörper.

Zunächst möchte ich hier einen Satz des Copernicus erwähnen, der zuerst die Kugelform der Erde behauptet und der vielleicht anders verstanden hat, zu behaupten, Copernicus habe zuerst die Bewegung der Erde um die Sonne gelehrt: »Unde non motus est circularis et perfectior alio ita et figuris sunt differentes, terra ipsius figuris est mobilis et sphaerica, et eius motus circularis, sed perfectior esse potest. (De motu ign. lib. II Kap. 12.) Weiterhin sage ich keine andere Stelle, die auf die Anschauung einer heliosentrischen Bewegung der Erde gedeutet werden könnte. Aber Copernicus will hier bloß behaupten, dass die vollkommenste körperliche Gestalt die Kugel und die vollkommenste Bewegung die kreisförmige ist; und der Vollkommenheit nachstehend ist das Schwere nach der Erde, das Leichteste nach oben gerichtet und die Bewegung des Ganzen richtet sich, soviel die Natur der Kreisbewegung. Daher könnte die Kugelform der Erde nur vollkommenste sein und ihre Bewegung ist eine kreisförmige, die aber auch vollkommenste sein könnte. Copernicus stellt hier ausdrücklich noch auf dem Boden der Anschauung von einer allgemeinen relativen Bewegung der Himmelskörper, ohne die Pole der Sonnenbewegung als die Weltpole erkennen zu lassen, hier so für die der immer wechselnde Pol aller Pole Gott.

Über die Grenzen der Himmelskörper sagt er: *Et quarevis terra minor sit quare sol, ut ex motu et obliquitate hoc notum nobis est, tamen non est ratio notum quanto regio solis sit maior aut minor regione terrae, sequente ratione procedit: nam notum nulla ratio videtur aliter notanda esse potest notum terra vel notanda aliter. quia ut notum fiat, ut experimentis obliquitas non deest. Et notum ratio, ut quidem dicunt, in parte alia stellae. Über*

\*) Der Text hat unvollständig.



die Beschaffenheit der Himmelskörper spricht er sich so aus: Die Erde hat, so gut wie die Sonne und die übrigen Gestirne, ihre Elemente, diese sind bei den verschiedenen Himmelskörpern nur durch die Mischung derselben und durch die Übersiegen des einen Elementes über die andere verschieden; jeder Himmelskörper hat auch sein eigenes Licht, seine eigene Wärme und seinen eigenen Einfluss (Einwirkung), die von denen der anderen Körper verschieden sind. Man darf hiernach sagen, dass die Voraussetzung des Copernicus über die Natur der Himmelskörper noch hauptsächlich deckt mit dem, was die Pythagoräische 100 Jahre später über diese Frage gelehrt hat, ja, die platonisierende Kirchenväterkirkel noch weiter dazu, da die Natur des Himmels unmöglich hier stehen könnte, jeder Stern, wie die Erde, seine Bewohner hat, die vielleicht noch der verschiedensten Beschaffenheit die Natur des Sterns anders geteilt sind. So steht er denn so viele besondere Willkür des Weltalls, als es Sterne gibt, deren Zahl unermesslich ist. Selbst weiteren Betrachtungen über die Entwicklung des Weltalls legt er bereits den klaren Gedanken von der Unzerstörlichkeit der Materie zu Grunde. Denn, selbst er die Auflösung aller Dinge bedenklich, kommt er zu dem Schluss, dass irgend etwas nicht ganz und gar untergehen kann — freilich nur wegen des Verhältnisses gegenseitigen Einflusses, in dem alle Dinge zu einander stehen. Aber hier sagt er, dass ein Untergang nur die Neuweise nach möglich ist, dass also Untergang nur Verwandlung von und für den Teil kein Raum bleiben kann. Der Tod ist nur die Auflösung des Körpers in die Teile, aus denen er zusammengesetzt ist, er kann also von allem, was Gott geschaffen hat, nicht untergehen.

Copernicus spricht sich auch über die Natur des Sternkörper aus und zwar in einer Weise, die eine frappante Ähnlichkeit mit der Monch-Wilken'schen

These hat, die sich bekanntlich auf die Gestalt und Umpolung der Sonnen-Becken stützt. Man könnte also versucht sein, dem Copernicus die Kenntnis der um 15. Jahrhundert nach Christus entdeckten Sonnenflecke, von denen er vielleicht einige gezeichnet haben wird haben könnte, zuzuschreiben.

Es scheint mir aber auch klar, dass er, ohne auf Beobachtungen hin, sondern wie in seiner Bewegungslehre, lediglich deduktiv zu dieser Ansicht über die Natur der Sonne gelangt ist, die noch um die Mitte des 17. Jahrhunderts die herrschende war.

Die Achsenneigung der Erde hat Copernicus in dem von Clavius aufgenommenen Fragment in Copernicus' handschriftlichen Beilage so viel Verwirrtes mit der von Schaperdell's Hypothese, dagegen Späteren Theorie des Eudoxus in der Erklärung der himmlischen Bewegungen, dass der Versuch des Copernicus, die Bewegungen im Weltall, in der die Erde teil nimmt, als eine Aufgabe der sphärischen Kosmologie zu behandeln, was als ein wesentlicher Fortschritt in der Erkenntnis des Weltbaus erscheinen muss.

Nach dem Naturgesetze des Copernicus konnte aber nicht nur die Erde, sondern es mussten auch die Fixsternhimmel und die Sonne in Bewegung sein. Er durfte also die tägliche Umdrehung des Fixsternhimmels nicht durch die Rotation der Erde um ihre Achse erklären, sondern er musste der Erde und dem Fixsternhimmel Bewegungen zuschreiben, deren Verhältnis zu dem Augenblicke entsprechendes Ergebnis hatte, d. h. die scheinbare tägliche Bewegung des Fixsternhimmels derselbe. Copernicus hat nun in dem Fragment von Copernicus zur Erklärung desselben, nach seinem metaphysischen Prinzip notwendiger, relatives Bewegung der Erde und des Fixsternhimmels dasjenige einfachste Verhältnis gewählt: Er gibt der Erde eine konstante Halbtägige Umdrehungs-Bewegung um sich, mit der Umdrehungsgeschwindigkeit des Fixstern-

hinwesh zusammenfallende, Action in der Richtung von Ost nach West und dem Fixsternhimmel gleichzeitig eine Umdrehungsbewegung in derselben Richtung, aber von doppelter Winkelgeschwindigkeit. Dann schickte also Cassini in der That die dem Augenschein entsprechende Umdrehungsdauer des Fixsternhimmels von 24 Stunden in der Drehungsrichtung von Osten nach Westen, gerade so, als wenn die Erde keine Rotation hätte.

Zu berücksichtigen ist hier die Aequation, welche dieser erste Theil der Cassinischen Lehre von der Erdbewegung durch Professor S. Günther (Die Lehre von der Erdrotation und Erdbewegung, Halle 1877), einem seltigen Vortragskollegen des Cassini, gekunden hat. Von Cassini's eigener Hand finden sich in jenen Bruchstücken die Sätze: *indagacionibus Considerans, quod terra tria non potest esse fixa, sed movetur, et aliam rotam. Quare super polos mundi revolvetur, et ut Pythagoras (preliminar. Problem), quoniam scilicet in die et nocte, sed scilicet sphæra (für Fixsternhimmel) -bis, et non pariter movetur quoniam bis in die et nocte.* Zunächst ist klar, dass Cassini hierbei die Erdrotation von Ost nach West geradezu angenommen haben muss, weil, wenn er die wahre Bewegungsrichtung supponiert hätte, für den Fixsternhimmel augenscheinlich keine eigene Achsendrehung resultierte. Hier müssen wir also den Satz aufstellen, dass das Verhältniß des Cassini in seinem mit Ptolemaus basirten Weltsystem, die Rotation der Erde klar und notwendig nachgewiesen zu haben, wider dadurch geschwächt wird, dass Cassini nicht die wahre, sondern die entgegengesetzte Drehungsrichtung fand.

Wörter Drehungsrichtung Cassini nur dem Fixsternhimmel, der schon Sphäre, geben musste, kann nach dem oben Grundsatze der Bewegungslehre nicht zweifelhaft sein. Müssen wir die Bewegungsrichtung des Fixsternhimmels positiv, wenn sie im Sinne Ost-West verläuft, so ist seine Winkel-

geschwindigkeit, wenn sie durch die obige Achsendrehung der Erde verursacht wird, =  $-\frac{360}{24}$ . Um also eine

dem Augenschein entsprechende Richtung und Geschwindigkeit der Umdrehungsbewegung des Fixsternhimmels zu erhalten, musste Cassini die eigene Rotationsbewegung desselben =  $+\frac{720}{24}$  setzen, damit erfüllt ist dass

das dem analischen Augenschein entsprechende Bewegungsgesetz des Fixsternhimmels

$$= -\frac{360 + 720}{24} = +\frac{360}{24}$$

Damit wieder ist das Ergebnis der Untersuchung von Prof. Günther, wünsch im Sinne des Cassini die Bewegung des Fixsternhimmels mit der doppelten Winkelgeschwindigkeit in der der Erdrotation entgegengesetzten Richtung vor sich geht und also eine Winkelgeschwindigkeit des Fixsternhimmels

=  $+\frac{1080}{24}$  resultiren würde, wider-

legt. Die oben citirten Sätze des Cassini lassen nach keinem Zweifel, dass unsere geistreiche Beweiskführung sich wohl mit seiner Bewegungslehre für die Erde und die achse Sphäre deckt.

Dieselbe Berücksichtigung erfordert nun die Günther'sche Darstellung nach bezüglich der Cassinischen Lehre von der Sonnenbewegung. Denn da Cassini nicht eine Eigenbewegung der Sonne vor der Sonne annahm, unsere wahrer in der Umdrehungsbewegung der Fixsternsphäre um die Erde stehendes Maas — wie oben langsame —, so muss die Umdrehungsbewegung der Sonne, ebenso wie die der achsigen Sphäre und die Rotationsbewegung der Erde, von Ost nach West gerichtet sein.

Während nun der Fixsternhimmel, wegen der kugelförmigen Existenz von halb so großer Winkelgeschwindigkeit zu gleichen Drehungen, in zwölf Stunden um die Weltachse von Ost

nach West orient, veränderten Cassini die Ovalehelligkeit der gleichgerichteten Sonnenbewegung um  $\frac{1}{204}$  wodurch er die Revolutionen des jährlichen Umlaufs der Sonne um den Fixsternhaufen in dem der täglichen Umdrehung entsprechenden Sinne darzustellen meinte. Er sagte sich ganz richtig, dass die Sonne im Laufe eines Jahres einmal weniger um den Erde zu rotiren scheint, als der Fixsternhaufen, von weiterem hellet, dass die Zahl ihrer jährlichen Revolutionen daher um eine geringer sei als die Zahl der Tage des Jahres, beruht aber nicht wie Glinther meint, auf einem Rechenangehler, sondern) darauf, dass Cassini den Unterschied zwischen mittlerer Sonnenzeit und Sidereal dabei nicht berücksichtigt und die Zeit der Kalenderrassen des Frühlingspunktes daher auch zu 365 statt zu 366 angenommen hat.

Nachdem Cassini durch die Erdbewegung und die nach der seiner Witzanschauung entsprechenden gegenwärtigen Bewegung auch des Fixsternhaufens den Wechsel von Tag und Nacht und den jährlichen Umlauf der Sonne erklärt hat, gibt er auch dem, den Wechsel der Jahreszeiten dadurch zu erklären, dass er der Sonne ihrer Umlaufbewegung um die Welt eine zweite jährliche Bewegung um eine im Äquator gelegene Achse zuschreibt, und freuet sich er die durch das Vorwachen der Äquatorhellen resultirenden stürmischen Änderungen der Fixsternörter dadurch erklären, dass er auch dem Fixsternhaufen eine zweite Bewegung zuschreibt um eine Achse, deren Pole im Äquator liegen.

Cassini meinte, da er durch die tägliche Verdünnung des Sonnenlaufes von  $\frac{1}{204}$  nach dem Fixstern weit einen vollen Umlauf der Sonne im Jahre dargestellt hatte, dass daher aber die ganze Jahr über im Äquator blieben

musste und daher noch ihre Wanderung zwischen dem nördlichen und südlichen Wendekreise zu erklären war, so suchte eine dritte periodische Bewegung anzuschreiben, er that dies, indem er annehmen, dass die um 1700 in der Äquatorhellen gelegene Achse einen jährlichen Kreis von 23° Radius beschreibe. Man hat dem Kardinal hierin Vorwürfe seiner mathematischen Anschauung zum Vorwurf gemacht und behauptet, nach dieser seiner Darstellung müsste die Sonne sich jährlich nur um einen und demselben Punkt im Himmel in einem Abstände von 23° drehen, aber keinen ganzen Umlauf um die Fixsternhaufen machen. Ich meine zu Ursicht, dass Umlauf der neuen Witzanschauung dass erst-Genannte war, das Himmel und Erde in steter Bewegung sind, kann man nicht entwerfen, dass er sich noch in dem alten Wahn befinde, wemoch die Gestirne an kristallinen Sphären angeheftet waren und daher auch die Drehachsen eine reale Drehung anzuweisen werden müssen. Vielleicht will und kann er hier nur so verstanden werden, dass die im Äquator ruhende Achse zusammen mit dem jährlichen Laufe der Sonne eine Umdrehung um die Hauptachse der Sonnenbewegung in der Richtung der West nach Ost beschreibe. Ist dann die in der Äquatorhellen ruhende Achse der Sonnenbewegung vom Zeichen des Krebs nach dem des Steinbockes gekehrt zur Zeit der Solstizien, so resultirt aus der jährlichen Umlaufbewegung um die beiden Achsen allerdings wieder die schwankende Bahn der Sonne an der Fixsternhaufen.

Hierbei ist es demnach dem Schatz von den Cassini noch geblieben, die himmlischen Bewegungen zu erklären, ohne die den Neigungen ihrer Bahnen entsprechenden Neigungswinkel ihrer Umlaufachsen anzuführen.

Nicht so glücklich ist Cassini in seinem System in Bezug auf die Darstellung jener stürmischen Änderungen der Fixsternörter gewesen, die eine Folge

den Fortschreit der Äquinoktien sind Garcke hier, wo die Bewegung der Achse der Ekliptik, der Neigung der Erdoberne gegen den Äquator sich am Fixsternhimmel widerspiegelt, konkrete die präzisere Annahmen seines Systems den Ercheinungen nicht mehr gerecht werden. Cassini liest endlich die Erde und die Himmelskugel von einer im Äquatorreichende Achsenneigungswegen vorführen, die so abgemessen sind, dass die Fixsternkugel aus einem kleinen Betrag weniger nach westlich als die Erde. Dieses Geschwindigkeitsunterschied nennt er so klein an, dass sich der Lage des Wollpols erst in 100 Jahren um 1 Grad unter den Sternen verschiebt. Aber auch die in der Nähe des Äquators stehenden Sternsystemen dann von derselben Betrag verschoben erscheinen. Das ist nun keineswegs der Fall, eben zufolge der Neigung der Ekliptik gegen den Äquator ist die Verschiebung der Sternörter eine ganz ungleichförmige und verschiedene

von der von Cassini abgeleitet, man darf ihm aber in diesem Punkte entgegenstellen, dass ihm der faktische Verlust der Ercheinung, die er erklären wollte, nicht hinsichtlich klar vorlag.

Wenn von dieser Betrachtung des Wollpols des Cassini vergleichen mit jenen eleganten Darstellungen der Physiker, wie wir sie jetzt, besonders durch Schiaparelli, kennen, können wir nicht sagen, dass er in der Darstellung der himmelschen Bewegungen einen Vorzug wählte, die so weniger, als er aus über die Bewegungen der anderen Planeten nicht selber anspricht. Wohl aber ist die neue Orientierung des Beobachters, der aus einem Male in den Abendstunden die Erde in das Sternsystem einwickelt und in sich drehend und bewandernswerten Scherben konstituiert, eine geringe Gewandtheit an der Wende des Mittelalters und der neueren Zeit, die ihn als würdevollen Vertreter des größeren Copernicus methode liest.

## Die Thätigkeit des Astrophysikalischen Observatoriums zu Heidelberg.

Der Prof. Wolf gibt über die Arbeiten in der seiner Leitung unterstellten astrophysikalischen Abteilung der Cosmischen Sternwarte zu Heidelberg im Jahre 1900 einen Bericht, den wir folgendes entnehmen:

Das Jahr 1900 war für die Einrichtung und Erweiterung des Observatoriums von besonderer Bedeutung, wurde doch in der Zeit vom 8. bis 11. August die Versammlung der Astronomischen Gesellschaft in Heidelberg abgehalten.

Der größte Teil des Jahres wurde damit verweilt, einzelne Teile für das große photographische Brucc-Teleskop fertig zu stellen und dieses in Thätigkeit zu setzen. So wurde die grobe Öhrskulptur zum abschließigen Feinbearbeitigen Konstruktion mit Bewegung in Dreiseit und Positivverhältnis ange-

fertigt, die groben Metallkonstruktion für die beiden Kameras umgebaut, die elektrische Anlage für Uhrwerk, Feinbewegung und Beleuchtung des Teleskops gemacht, das Uhrwerk vervollständigt u. s. w.

Für das Brucc-Teleskop wurde die optische Montierung fertig gestellt, darüber aber auch modernem Prinzipien den schweren Massen entsprechend vom Prof. Wolf modifiziert. Die hochentwickelte Meter lange Polarscheibe besitzt an zwei Stellen Gabeln, welche mit ihrer Basis auf einem schwarzen Quarzblock stehen, der die Mitte der Achse bildet. In ihnen haben genau Ecken tragen diese Regel die Stativplatten der Achse. Die Drehwinkelmechanik durchdringt den Kasten. Bei einer Lagerhöhe von in einer Seitenfläche des Würfels, während ein schwarzer

Querschnitt auf der gegenüberliegenden Würfelfläche selbst und das andere Lager fast horizontal. Das Wägel mit einseitig nahe am Würfel und fast gleichzeitig dem Rollen, nämlich der zwei Kanten über diesen Kanten der beiden Sechseckflügel und des Regent Rolle des schiefenflügel Leifformen. Die Rollen sind nahe dem Obelisk und dem Obelisk nach durch Querschnitt unter sich verknüpft. Die Polarsche liegt mit dem Nockentypus in einem schweren Sappet, der vier Bewegungen für die Jungerung gestattet und der die Spitze eines schweren Obeliskens bildet, das auf dem schiefenflügel Stützflügel ruht. Mit dem schiefenflügel Kantenflügel bildet sich die Polarsche in einem Kogelknoten, der durch ein Kugelflägel ersetzt wird.

Die Fenster und dazwischen einseitig sehen die lange Polarsche gelockt, nämlich ein besser Verknüpfung in ihnen vordringen und exponieren zu können als bei der Polarsche Anordnung, dass auch, wie das Pul jedoch mitnehmen zu können. Die beweglichen Teile liegen angedeutet hinter dem, während die Tischgewölbe der Uhr zweifelhafte Centreur beträgt. Die Formbewegungen in Dekoration und Selbstbewusstsein sind nach Umfänge gewöhnlicher Dispensation angeordnet und ausgeführt. Das ganze Folgen geschieht dadurch, dass man zwei Köpfe der Taster eines elektrischen Kontaktes drückt. Berührt man das rechte Kopf, so geht das Pulskreis selbst, berührt man das linke Kopf, links. Die ganze Regulierung des Tischwerkes geschieht durch eine Schraubenkontrolle (abwärts, Kopfteil), welche von einer Pendeluhr angeht wird.

Das Pendelwerk von Reiber auf Metallstahlpendel kann Ende Juli zur Aufstellung und in selber einzuweisen gelangen. Dasselbe dient als Normstahl und wird durch einen Kontakt mit einer Anzahl von einfachen Selbstabhängigkeiten in verschiedenen Elementen nach einem eignen Verfahren in Verbindung

dadurch ist es also erforderlich, dass in jedem Instrument der Schwingung der Normstahl zu mittelbar benutzt werden kann. Die Anlage wurde aber 1896 noch nicht völlig vollendet.

Im Jahre 1890 war das Wetter ungünstiger als 1889 und noch ungünstiger als 1896.

Die Gesamtzahl besserer Abende war ziemlich beschränkt und es wurde nur in 100 Nächten photographiert.

Es wurden 213 verschiedene photographische Himmelaufnahmen mit im ganzen 250 Stunden Belichtung gemacht. Dabei wurden 363 Platten exponiert.

Beobachtungszeit war der selbige Grad von Klarheit, den der nördliche Himmel am 6. bis 9. Oktober 1890 zeigte während gleichzeitig Nebel über der Ebene lagerte. Der Mond war hundertmal unter einem Stern im Binnem von dem Licht der Regenwolke und zeigte die nur bei grosser Klarheit auf tief schwarzem Himmel schliessend zwei farbigen Ringe von 2', und 3" Durchmesser (jail jeweils ausser, blau innen), welche vom Auge vermischt werden können, weil sie sofort verschwinden, wenn man einen ununterbrochenen Gegenstand von schwarzem Durchmesser der Monds vor die Mundschleife halt. Die Durchmesser und Farben wurden von allen Beobachtern gleich geschätzt.

Eine andere ebenso interessante optische Erscheinung konnte mehrmals im Jahre 1890 beobachtet werden, nämlich das Ausbleiben der schwarzen Vergrößerung der Mundschleife am Horizont. Diese Erscheinung lässt sich wohl nur auf einer Höhenlinie beobachten. Wenn nämlich Nebel über den Thälern lagert, sodass der Himmel und der Nebel am Horizont eine Grenzlinie in der Dämmerung ineinander fließen, dann scheidet sich das Himmelsgewölbe unter der Horizontalen gegen die Höhe hin ohne Unterbrechung und unmerklich fortzusetzen. Kommt dann der Mond vom Horizont, so erscheint in jedem Beobachter so klar wie im Zenith

Diese Kaiserin Inspanne Erscheinung scheint zu beweisen, dass die bekannte schwebende Vergrößerung der Mondscheibe an dem Horizont von der Lage des Augens und des Kopfes des Beobachters völlig unabhängig ist.

Es wurde im Jahre 1900 wiederum optische Vergrößerung der verschiedenen Entwürfe bei verschiedenen Temperaturen durchgeführt. Dabei wurde auch die Entwicklungslinie für gleiche Beobachtungen verfolgt. Trotz aller Bemühungen liess sich aber wieder, dass von allen Entwürfen — unter Abwägung aller Vor- und Nachteile — das Individuum den Sieg davontrug. Prof. Woll hat daher für die Sternwarte dieses Entwürfe weiter beibehalten.

Wie im früheren Jahren, so wurde auch 1900 der grösste Teil der Zeit auf die Aufzucht lufttrockneter Planeten verwendet. Bis zum September wurde der vorher nicht begyrtete sechsblättrige Vorgänger vom Öffnungsverhältnis 1 : 5, von da ab hauptsächlich die Braco-Tafelung, von gleichem Öffnungsverhältnis, benutzt. Nebenbei können sich andere Apparate meist zu Kontrollzwecken zur Verwendung eignen. Es wurde mit Erfolg ein sechsblättriger Objektiv von Pauly vom Öffnungsverhältnis 1 : 6<sup>1</sup>/<sub>2</sub> benutzt. Im ganzen wurden 26 verschiedene Objekten auf Planeten bei aufgenommen. Dazu und zur weiteren Verfolgung anderer Planeten wurden im ganzen 58 Aufnahmen mit 161 Platten und 141 Stunden Belichtung gemacht.

Es wurden in den 26 Objekten 13 neue und 35 alte Planeten aufgefunden.

Neu entdeckt wurden die folgenden

Planet	entdeckt am	Ort	Jahr
PK — 156	"	21	1900
PQ — 157	"	21	1900
PI — 158	"	4	1900
PJ — 159	"	15	1900
PK — 160	"	21	1900
PL — 161	"	28	1900
PM — 162	"	20. Okt.	1900
PN — 163	"	25	1900
PO — 164	"	25	1900
PQ — 165	"	22	1900

PK — 156	entdeckt am	21. Okt. 1900
PQ — 157	"	20. Okt. 1900
PI — 158	"	20. Okt. 1900

Der Verfassung der Nebelflecke auf den Platten 434, 1031 und 1441 durch Dr. Schumann wurde zu Ende geführt und die Resultate der Messungen von demselben grösstenteils erledigt. Die Resultate sollen wenigstens in einer zusammenfassenden Arbeit im Jahre 1901 publiziert werden.

An den Beobachtungen des Planeten Eros beteiligte sich das Observatorium nur in geringem Masse, weil Prof. Woll wegen des Eros nicht die viel notwendigerer Verfolgung der übrigen Planeten aufgeben wollte. Inzwischen konnten mit einem langherausgezogenen Sechsstöcker im Oktober und November 23 hauptächser Aufnahmen des Eros, darunter im vier Tage umfassende Serie vom Abend- und Morgenhochstande, angefertigt werden. Am Braco-Tafelkopf wurde dagegen stets die Gegenä, durch die der Planet gehen musste, im Voraus mit langer Belichtung aufgenommen, um Karten für die Beobachtungspersonellen darzustellen. Abzug gemacht und diese in eine gewisse Anzahl von Aufnahmen im Voraus verwandelt. Durch diese Arbeit wurde verhofft, dass Eros selbst, wie beabsichtigt, der Helligkeitschwankung wegen (wie früher bei Terminus, Sirona u. s.) länger aufzuhalten. Nur einmal am 3. September wurde er längere Zeit mit zwei Fernrohren gleichzeitig aufgenommen, die Platten aber für spätere Untersuchung zurückgestellt.

Für photographische Zwecke wurden 34 Platten exponiert, besonders auch von 5 Locom, der dort mit Jähren verfolge wird. Ein neuer Verfinderlicher (135) (=—12<sup>1</sup>/<sub>2</sub> 10<sup>1</sup>/<sub>2</sub>) wurde im April entdeckt. Auch einige Vergleichsaufnahmen der Helligkeit des Zuckerkohles, der Milchmaas und des Himmelsgrundes wurden gemacht.

Für Nebelflecke wurden im ganzen 12 Aufnahmen (26 Platten) mit 32 Stunden Belichtung gemacht, ins-

weite zur Wasserführung des Vordrängens kleiner Nebelflecke, insbesondere zur Darstellung bekannter ausgepöckter Nebel. Die Karte der Plejadensternschnur erschien im Druck. Dabei wurde auch verrathet, dass Darstellung der rötlichen Helligkeiten der einzelnen Partien dieses grossen Nebels zu gehen. Die Darstellung der ausgepöckten Nebel im Orion wurde weitergeführt, aber wegen Mangels an noch nötigen Kontrollplatten noch nicht weit gebracht. Nur fünf Milchstrassenaufnahmen mit vier Platten und 15 Stunden Belichtung konnten gemacht werden.

Mit dem Schmitzphotometer wurde die Anzahl Aufnahmen des Zodiakallichtes erhöht und daraus die Ausdehnung des Lichtkegels ermittelt. Dasselbe wird beträchtlich nach Norden von der Ekliptik ab, und die Aufnahmen lassen sich gut mit der Anschauung vergleichen, dass das Zodiaklicht in der Ebene der Sonnenäquator liegt. Die ersten Resultate sind im Druck erschienen.

Im Jahre 1900 gelangten nur fünf Kometenaufnahmen (ohne Platten mit zusammen 14 Stunden Belichtung). Davon entfielen drei Aufnahmen auf den Kometen Giacobini, von denen die erste verwaschen und ungenügend wurde, und zwei auf den Kometen Biwola. Die Positionen des Kometen Biwola 98 H vom vorigen Jahre wurden festgestellt.

Die Saturnbedeckung am 3. Sept. wurde beobachtet und am Bruch-Tel-

escope photographirt. Dabei wurde ein besonders hübsches Bildchen erhalten, wovon gerade die Hälfte der Saturnscheibe vom Monde bedeckt ist.

Am 12. October nachmittags wurde in einem grossen Teile Südwestdeutschlands (von Oberweil am Rhein bis in den schweizerischen Jura) ein grosses, blendend helles Meteor beobachtet, das bei hellem Sonnenschein den Himmel durchquerte und in der Jungferndorfer Gegend zerplatzte. Die vielen Beobachtungen dieses Phänomens sind gesammelt und haben der Veröffentlichung.

Am 19. October nachmittags wurde in einem Teile Südbayerns bei hellem Himmel eine heftige Detonation wahrgenommen (auch von Prof. Wolf, Deutschschwarzwaldbeobachtungen) ebenfalls gesammelt und es zeigte sich, dass ein grosser Meteorit, der vom mittleren Württemberg aus nach südlich-westlich gesehen wurde, in der Gegend von Zwingenberg am Neckar explodirte und in einzelnen unter Donner weiter zerfliehenden Bruchstücken auf die Gegend von Winstedt (am Rande der Schwarzb. Berg) fiel. Leider konnten die Bruchstücke nicht gefunden werden.

Noch von einer ganzen Reihe von grossen Feuerkugeln, alle zu dieser Zeit, erhielt das Observatorium Nachricht, sodass über die October 1900 in dieser Hinsicht besonders hervorgehoben war.

## Die elfjährige Periode der Sonnenflecke und der Cirruswolken.

Von Dr. Kista.

 In 29 Jahren habe ich<sup>1)</sup> als Ergebnis meiner Untersuchung der im Jahre 1869—1871 dreimal täglich angestellten Wolkenbeobachtungen mit-

geteilt, dass die Cirruswolken in den Jahren der Sonnenfleck-Maxima zahlreicher, um die Zeiten der Sonnenfleck-Minima seltener auftreten. Dieser periodische Gang mit der Sonnenfleckhäufigkeit zeigte sich, wie ich u. a. O. im Einzelnen nachweist, auch wenn man

<sup>1)</sup> Zeitschr. f. Observ. Ges. 1 Meteor. Jgbr. 1872, Nr. 12.

die Morgen-, Mittag- und Abend-Beobachtungen gesondert darstellte oder jede der beiden Jahreshälften getrennt gesagte. Der damaligen Reihe kann ich jetzt die Beobachtungen von weiteren 22 Jahren beifügen, sodass im ganzen die Sommerzeitperiode von Maximum 1840 bis mindestens 1900 von Cirrusbeobachtungen befreit ist.

Von dieser neuen Reihe gehören die Beobachtungen der Jahre 1872 bis 1891 dem durch seine Sommerfleck- und Nordhalbkugelbeobachtungen bekannten Lehrer W. Weber in Potsdam (in Weidener) an; die übrigen sind von mir in Köln angestellt worden. In dieser neuen Reihe werden übrigens nur die Tage, an denen Cirruswolken gesehen wurden, aufgeführt, die nicht nur im durchschnittlichen Temperaturverlauf, sondern so oft als thunlich nach der Bevölkerung gesehen wurde.

W. Weber gibt folgende zusammenfassende Aufzählung der Anzahl von Tagen, an denen er Cirruswolken beobachtet:

1872	73	74	75	76
55	31	30	25	26 Tage
1877	72	79	60	61
13	26	11	13	20 Tage

Weber hat übrigens nicht sämtliche Cirrusformen notirt, sondern nur diejenigen, welche am Nordhimmel in Gestalt der sogenannten „Polarkunden“ auftreten. Es ist nicht ohne Interesse, hervorzuheben, dass nach diese Formen selten in Bezug auf Häufigkeit des Auftretens den Paraheliospiras mit den Sommerfleck-Relativitäten zeigen.

Meine eigenen vollständigen Cirrus-Aufzeichnungen reichen bis Ende der 70er Jahre zurück, doch wurden sie nicht so regelmäßig fortgeführt, um vergleichbare Zahlen für die Häufigkeit des Auftretens dieser Wolkenformen zu liefern. Solche begann ich 1882, zur Zeit, als Weber seine Aufzeichnungen ziemlich einstellte. Dadurch ist es möglich, die Reihe ununterbrochen bis zur Gegenwart auszudehnen, doch sind natürlich die absoluten Zahlen in den drei

Teiltritten (Köln 1850—1871, Potsdam 1872—1881, Köln 1882—1900) nicht miteinander vergleichbar verlässlich, sondern nur die Wertpunkte der Häufigkeitskurven, welche durch sie gegeben werden.

In der nachstehenden Tabelle ist nach meinen Aufzeichnungen unter A die Anzahl der Tage angegeben, an welchen ich in den verschiedenen Jahren Cirruswolken selbst habe. Es ist klar, dass an den Tagen mit trübem Wetter Cirrus, auch wenn vorhanden, nicht notirt werden konnten, und da die Anzahl der Tage mit bedecktem Himmel in den einzelnen Jahren verschieden ist, so wird es wünschenswert, diese Einfluss auszugleichen. Mithin gewisser ist dies möglich, indem man die Zahl der Tage, an denen die durchschnittliche Bewölkung mehr als 8/8 des Himmels betrug, in Betracht zieht und die Jahresanzahl der Cirrusvorkommen im Verhältnis vergleicht.

Diese bereinigten Häufigkeitszahlen finden sich in der folgenden Tabelle unter B.

Jahr	A	B	Jahr	A	B
1872	55	23	1882	60	126
1873	31	14	1883	71	131
1874	30	14	1884	70	118
1875	25	13	1885	75	115
1876	26	12	1886	62	119
1877	72	29	1887	73	129
1878	60	115	1888	66	118
1879	60	70	1889	57	92
1880	51	66	1890	61	63
1881	61	118			

Für 1900 sind übrigens nur diejenigen Fälle hier angegeben, in welchen die Cirrus als grüner Streifen auftreten, da ich während dieses Jahres auch die obersten grünen Schichten von Cirrus notierte und von Morgen bis Abend jede höhere Strich beobachtete, um nach Cirrus auszusuchen. Dadurch ist das Jahr 1900 nicht eigentlich vergleichbar mit den übrigen.

Vergleicht man die Maxima und Minima aller drei Beobachtungsreihen von 1850—1900 mit den Zeiten der Maxima und Minima der Sommerfleck-



(nach Wolf und Walker), so ergibt sich Folgendes:

Höhepunkt der Cirrulation	Schwefeläther-Reduktion
1894 Maximum	1040 Maximum
1896 Maximum	1150 Maximum
1897 Maximum	1244 Maximum
1898 Maximum	1300 Maximum
1870 Maximum	1211 Maximum
1875 Maximum	1270 Maximum
1882 Maximum	1368 Maximum

Höhepunkt der Cirrulation
1895 Maximum
1897 Maximum
1900 Maximum

Schwefeläther-Reduktion
1900 Maximum
1899 Maximum
1901 Maximum

Die Übereinstimmung ist eine so deutliche, wie man sie nur erwarten kann und der parallele Gang in der Häufigkeit beider Phänomene nicht zu bezweifeln.

## William H. Pickering's Beobachtungen der Mondformationen.

Von Dr. KRAM.

Mit 1 Abbildung. (Schluss.)

Unverhüllt, in dieser grossen Welt, stremt zeigt sich auch Prof. Pickering's Verhinderungen der Flutung, die ihren Cyclus in 14<sup>h</sup> durchläuft, je so wenigst als 54 Stunden sehr merklich sind und die der Beobachter einer Vegetation wechset. Ich habe diese Flutungen nicht verfolgt, kann also von eigener Kenntnis nichts darüber beibringen, doch möchte ich davon erinnern, dass Kowalew wegen seiner grossen Nähe beim Mondende in starker ostwärtlicher Verkürzung erscheint und wegen dieser schiefen Ansicht sehr kleine Halbkreisweiche in seinem Innern leicht entdecken können.

Messure und Messur A. Die Aufmerksamkeit Prof. Pickering's wurde auf

Seine Beobachtungen begannen 1884 und wurden 1891 und 1896 fortgesetzt. Sie führten ihn zu dem Ergebnis, — dass kein Anzeichen vorhanden ist, welches eine seltene Änderung dieser Formaten bewiese, dass aber periodische Veränderungen, von einem unbekanntem Ursache veranlasst, dort vorkommen und das Bild der auffälligen Ausstrahlungen im Aussehen dieses Cypsel verändern.

Prof. Pickering gibt eine Abbildung des Aussehens von Messur und seinem ihm Ferrerole richtig daneben liegenden Kreis A, wie sich beide 1892 Mai 4 12<sup>h</sup> 50<sup>m</sup> unter 270 von Greenwich, in Arizopa im 13000000 Meilen bei 70000000 Vorführung scripta. Diese Abbildung ist hier in Fig. 1 reproduziert. Dasselbe zeigt auch Prof. Pickering unter demselben an andere in Cambridge am 11. Augusten Beobachter gemacht, wegen der besseren Luft in Arizopa. Der obige Mondbeobachter kann es aber nicht für sehr gelungen oder auch nur zufriedenstellend halten. Oberhaupt ist zu bemerken, dass Prof. Pickering von dem früher über Messur angestellten Beobachtungen keinerlei Kenntnis besitzt, er wusste weder, dass Criffmann angeführt ist, was er jetzt als neu berichtet, schon 70 Jahre früher gegeben hat und vielen andere dem, \*) noch sind ihm die zahlreichen



dieser Doppelkette gefolgt durch eine Note in Messur's Buch „Der Mond“

\*) Vgl. Wiedemann'sche Abhandlung

Beobachtungen aus dem Jahre 1847 bis 1852, die (s. Schwaid in seinem Bericht) schreiben an sich verlässliche, <sup>1)</sup> bekannt, und doch auch nicht die Beobachtungsreihe von mir <sup>2)</sup> aus dem Jahre 1877 bis 1883 und die näheren Nachrichten über Messer in den verschiedenen Jahrgängen des »Stern«. Das an diesem Orte publicirte Material hätte zweifellos Herrn Pickering in dem Stand gesetzt, seine Beobachtungen über Messer unter dem günstigen Himmel Arizopas weit vollständiger und jedenfalls zahlreicher zu gestalten.

Was früher Mäder über die völlige Überwindung der beiden Krone des Messer mit so grossem Nachdruck sagte, trifft in keiner Weise zu. Ich kann gar nicht begreifen, wie Mäder dazu kam, zu behaupten, sei der RingwillehämmerKrone Neben sich Krone in so ganz glückseligen Lagen erschienen, dass man an ein höchst sonderbares Spiel des Zufalles denken müsse. Bei meinen Beobachtungen hat mich mehrere meiner damit zu kämpfen, dass die beiden Messer wirklich gleichzeitig sichtbar, völlig scharfe Bilder derselben habe ich trotz ständiger Beobachtung kaum jemals erhalten können und finde nun aus den Beobachtungen von Prof. W. Pickering, dass es diesem vielfach ebenso ergangen ist. Sondersbar wäre es, wenn später lediglich auf Zufall bestünde; Pickering drückt an einer Art Nebel. Bei dieser Gelegenheit will ich an eine Beobachtung von mir erinnern, die auch zu einem ähnlichen Schluss brachte. Ich habe darüber in meiner Abhandlung zur Durchmusterung des Himmels folgenden Satz: »Am 1. Nov. 1876 fand ich zu meiner größten Überraschung, dass die westliche Ringgebirge des Messer halbmondartig erschien und zwar leuchte der Westrand. Es zeigte sich dort etwas Diffuses, nach

das Innere des Kessels war wie ein Halbsehnen. Das östliche Ringgebirge war scharf, vollständig und im Innern zur Hälfte mit schwarzen Schatten erfüllt. Auch am folgenden Tage war das westliche Ringgebirge halbmondartig, voll diffusen Lichtens. Es war völlig unempfindlich, den westlichen Halbmond zu sehen. Ich bin überzeugt, dass damals eine Art Nebel im Innern des Kessels lag und sich auch über die westliche Hälfte des Ringwillehämmer erstreckte. Eine andere Erklärung der Unsichtbarkeit desselben scheint mir nicht möglich.« Prof. W. Pickering ist meines Wissens der Erste, welcher jetzt eine richtige Erklärung anbietet. Er spricht sich nämlich neben A den halben Ring eines sekundären Kraters, der etwas kleiner im Durchmesser ist als A und bei der Bildung, dass dieser halbe Krater bis dahin noch nicht bemerkt worden sei. Das ist indessen die Irrthum, dass der unterliegende Halbkrater wurde schon 1870 Juli 2, und 1876 März 23 von Laport gesehen, dass 1882 März 23, von mir, <sup>3)</sup> Journal 1885 Febr. 18, von Seeby und am 18. April des nämlichen Jahres überschrieben mit. Auch Krater hat ihn gesehen und auf Tafel II seines Monatsheftes sowie auf Tafel VII im Stern (Jahrgang 1884) dargestellt. Hier zeigt sich deutlich eine Öffnung im Wall von A, die in der abhängenden Hälftenkrater hineinläuft. Auch auf Tafel XI der grossen Mondkarte von J. Schuaid ist der unterliegende Krater und die Wallöffnung angedeutet, doch nicht in genügender Weise. Pickering hat im Innern des Messer und des Kraters A kleine dunkle Fleckchen gesehen, die er als veränderlich bezeichnet, ich habe denselben niemals gesehen. Leider ist es Prof. Pickering entgangen, dass zwischen Messer und A nicht, wie in seiner Zeichnung, eine Verhüllung liegt, sondern dass sich dort ein Plumeau zeigt und A mit seinem Westwall höher liegt als der Wall des Messer, wodurch bei ge-

<sup>1)</sup> Meteorologie, Jahrg. 1880 u. II S. 109. Abhandlung zur Durchmusterung des Himmels 1880, S. 239 u. II.

<sup>2)</sup> Welterwartung 1883, S. 112 u. II.

<sup>3)</sup> S. u. O. Jahrgang 1884 u. II.

<sup>4)</sup> Stern 1883, S. 714.

mythen Stand der Sonne ein Ringförmig des letzteren vom Schalen des Welles von A bedeckt wird, sodass Messier diese Indifferenzform erachtet. Dies hat schon Cassini's von 1725 Später, i. sehr schön gesehen und ich habe seine Messer nachfolgend lassen.<sup>5)</sup> Er sagt erachtet: «Als der Lichtkreis (des überhandnehmenden Mondes) nur nach D<sup>2</sup>, Durchmesser (des Messer) von diesem entfernt war, ging ein Halbkreis (d) des äußeren Kreislinie (A) über die Wellen (Messier) und das Licht machte einen Schatten bis an die Lichtgrenze. In der Masse geht dieser Schatten her über Messier hinweg und letzterer zeigt sich als eine, längliche Umwälzung in diesem Schatten. Prof. Pickering geht zum Schluss aus Vergleichung seiner Beobachtungen unter dem Mikroskop. An dem 27. Jüngsten Beobachtet, sagte er mit Recht, ist die Veränderung in der relativen Größe der Krater sehr auffällig. Zwei Tage nach Sonnenanfang erschien A dreimal so groß als Messier, am nächsten Tage wurde er nur bis fünfmal so groß gesehen, am 9. Tage sind beide Krater gleich groß. Die Deutung dieses sonderbaren Phänomens scheint eine doppelte. Am 2 und 3. Tage nach Sonnenanfang worden die Linien des Mondes selbst im 13. Jüngsten Mikroskop neblich beobachtet, während A völlig schwarz bleibt. Beim Vergleich der Größe des Kraters an einem kleinen Teleskop wird natürlich nur berücksichtigt, was man deutlich sieht, also besonders die dunklen Teile des Messer mit den Rändern von A. Zweitens ist die Form des Innern bei beiden Kratern völlig unähnlich. Messier hat einen langen, schwarzen Boden und zwei abfallende Seiten, während der Boden von A hell ist und zwei Wände steil stehen, deshalb wirft A einen breiten helligen Schatten, Messier dagegen einen schwarzen, und je schmäler ein solcher Schatten ist, um

so weniger schwarz erscheint er. Da in den ersten Tagen nach Sonnenanfang die innerlichen beider Krater nur wenig heller als das beschriebene Mars sind, so stellen wir über ihre relative Größe hauptsächlich nach der mehr oder weniger grossen Augenfähigkeit, gemeinlich nach der Schärfe, und deshalb erachtet A als der grössere. Später wurden die innerlichen beider Krater heller als das Mars, während die Schalen verschwinden und man erachtet wie die Krater mehr in ihrem wahren Grösseverhältnis. Indessen findet man auch in einem grossen Teleskop, dass die relative Grösse dieser beiden Krater sich ändert, wenigstens im geringeren Masse als in einem kleinen Fernrohr. Prof. Pickering gibt ausführliche Tabellen über die von den betrachteten Formen und grossen Durchmesser beider Krater und stellt dieselben, gemeinlich nach der Reihe der seit dem Sonnenanfang verlassenen Tage, durchzuführen (die Grösse dieses ist A bei Sonnenanfang und) unterging am grössten, am Mittag und beide ungefähr gleich gross, während Messier umständlicher vorher und nachher der grösseren ist. Anfangs sind beide Krater elliptisch, später werden sie oval oder dreieckig und erhalten ihre elliptische Form erst etwa 2 Tage nach Mittag wieder. Der Krater A (nach Anfang) erscheint bei Sonnenanfang wieder dreieckig. Eine grosse Ähnlichkeit beider Krater in Größe, Gestalt und Richtung ihrer Lage mit nur bei hellem Sonnenstande, zwischen dem 5. und 8. Tage nach Sonnenanfang, etc. Vor Mittag ist A größer, nach Mittag größerlich als von Nachher, am Mittag sind beide von gleicher Farbe. Der dem Krater A nächstliegende Halbkreis ist vor Mittag größerlich schwarz, nach Mittag erscheint er grösser, bis zu 3 Tagen nach Sonnenanfang und von diesem lange vor Sonnenanfangtag ab ist er unerkennbar. Diese Unerkennbarkeit rührt meist daher, dass er vom beschriebenen Mars nicht mehr unterschieden werden kann; ge-

<sup>5)</sup> Wiederschrift für Astronomie 1861, S. 58.

gelegentlich konnte auch seine Trennung von A nicht mitgenommen werden und er erschien deshalb mit diesem zusammen als ein Objekt. Was die Helligkeit des Krater Innern von Messier anbelangt, so kommt dieselbe mit der jeder Sonne zu wald erst mit dem 13. Tage gegen ihre Abnahme. Das Innere von A wird noch heller als das des Messier, wenn auch langsamer. Die Umgebung ebenfalls und südlich von Messier erst vom 3. Tage nach Sonnenwandelung an. Auflebung und rasche Zunahme ihrer Intensität, aber kurz nach Mittag wenn dieselbe wieder ab und so am 14. Tage völlig verschwunden. Prof. Pickering schreibt dies der Reflektion derselben zu. Der Schatten im Innern des Messier verschwindet zwischen 7 und 7 1/2 Tage nach Sonnenwandelung, bleibt also bis um Mittag und so die Sonne, vom Monde aus gesehen, an einem Tage 12° fortbeschreibt, so muss der Abhang, welcher diesen Schatten wirft, fast vertikal sein. Der innere schräge Abhang ist weit weniger steil, der Schatten erscheint im Messier 12 1/2 Tage, in A dagegen 11 1/2 Tage nach Sonnenwandelung wieder. Der veränderliche Fleck auf dem inneren Kraterboden des Messier erscheint 2 1/2 Tage, im Krater A 2 1/2 Tage nach Sonnenwandelung; beide Flecke wurden indessen dunkler bis zum 4. Tage, brachen dann langsam ab und sind um Mittag beinahe erloschen; am 12. Tage nach Sonnenwandelung wurden sie wieder gesehen. Ihre Größe nimmt mit der Dunkelheit zu und der Fleck in A wurde zuletzt fast rund.

Wichtig, sagt Pickering, ist nun die Ursache aller der Veränderungen, die bei diesem Krater stattfinden? Seine Antwort lautet: »Was mich betrifft, so muss ich Ihnen lassen sagen, dass ich es nicht weis! Seit 7 Jahren habe ich die Krater studiert in der Hoffnung, die Mittel zu dem. Diese Lösung mag vielleicht sehr einfach sein, aber ich bin geneigt, zu glauben, dass sie erst richtig gegeben wird durch einen geschickten Beobachter, der unter günstigen Ver-

hältnissen plantet ist wie selbst, mit ein oder zwei Assistenten, auf der südlichen Hemisphäre angeschlossen werden. Günstige Zeichnungen und Messungen mögen dazu beitragen, was wirklich sich ereignet, während die vorliegenden Beobachtungen zeigen, was wahrbar vor sich geht.« Nachdem Prof. Pickering die Veränderliche geschrieben, gelang ihm 1866 November 26. 4 1/2 Tage nach Sonnenwandelung über Messier, im sehr guten Licht an 50-facher Vergrößerung, eine interessante Beobachtung. Aus denselben wurde wahrscheinlich, dass der Fleck auf südlich neben A, welcher nach Sonnenwandelung gesehen wird, nicht identisch ist mit der südlichen Bildung, die sich vor Sonnenwandelung zeigt. Wenn A elliptisch erscheint, ist der entsprechende Fleck in ihm zu unterscheiden oder mit dem Mantel verschwommen, wenn A dagegen dreieckig erscheint, so ist eine Halbierung mit ihm kombiniert und das Ganze zeigt sich als ein Krater. Damit wird die Schwereigkeiten freilich nicht gehoben. Die veränderliche Richtung der grossen Achse der beiden elliptischen Krater Messier und A ist nach Pickering zum Teil wegen des der Libration zurückzuführen. Dies ist nach seiner Meinung, allem ich frage ausserdem, dass beide Krater auf dem gewöhnlichen Rücken eines kleinen, flachen Rückens stehen, der nur auf die andere, der andere mit dem weiteren geneigten Flächen derselben überdeckt ist und die erwähnten Änderungen in Gestalt und Richtung erklärt. — Schliesslich hebt Prof. Pickering hervor: \*) dass die allgemeine Meinung, auf dem Monde existieren alle Oberflächenhöhen bei gleicher Beleuchtung eben in gleicher Klarheit und Schärfe, wahrlich irrig ist. Diese nämliche Ansicht habe ich auf Grund eigener Beobachtungen schon vor 23 Jahren ausgesprochen<sup>2)</sup> und begründet. Wenn aber Prof. Pickering ausspricht, »die

\*) p. 10, S. 254.  
 2) Berlin 1843, S. 24.

Wolkenatmosphäre ist wahrscheinlich auf von Wolken, wo wir den heißen Strahlen sehen, sagt sich auch ganz Trug nach Sonnenaufgang eine Wolke und es ist hauptsächlich durch zufällige Gegen-

wart in Verbindung mit der Abwesenheit der Schatten, welche im Vollmond das Detail mancher Mondringe so schwer erkennbar machte, so nützlich dieser Hinweis doch nicht beifließen.

### Vermischte Nachrichten.

Die Ergebnisse der Beobachtungen der totalen Sonnenfinsternisse vom 28. Mai 1901 müssen in Anbetracht der ungewöhnlich meteorologischen Verhältnisse im allgemeinen als erfolgreich bezeichnet werden, da unter 15 Ringe der Totalitätsringe bestanden Stationen an 13 beobachtbare Beobachtungsgerade sind. Die auf die angewandten hoch liegt Dauer der Totalität besonders besonders Untersuchungen waren fruchtbar ergiebig. So in unter Reihe die in grossen Masse die herzustellenden Photographien der Korona durch Prof. Barnard, die spektroskopische Bestimmung der Rotation der Korona durch Novell, Weberback und Bessere-Plamell und die Messung der Wärmestahlung der Korona durch Abbot und Julius. Erfolgreicher waren die Photographien der Gegend um die Sonne für die Aufzeichnung der Sterne und ihre Aufzeichnung eines einzigen astronomischen Planeten; gute Resultate erzielten Prof. Perrin in Indien und Dyson in Australien. Die polaren Untersuchungen waren zum Teil erfolgreich, Glänzende Resultate gelangen dem Prof. Julius und eine Reihe von Photographien wurden von Novell mit der Solarfarbigen Kamera erhalten. Vom Chromosphärenspektrum haben mehrere Beobachter mehr oder weniger erfolgreiche Photographien erhalten. Zu Fort de Kock erzielte Dr. Humphreys gute Spektren der inneren Chromosphäre, unter Verwendung eines konkaven Gitters, bei dem das Gitter bis zum vollen Öffnungsgebiet zwei Fuss lang war. Novell, unterstützt von Lord Bragg, erhielt mit einem oberen Gitterspektroskop eine Reihe

von Spektren mit starker Dispersion über einem kleinen Gebiet. Dr. Mitchell erhielt mit einem Osterspektroskop eine Reihe von Spektren der ungerichteten Scheibe (Plate) Gute Resulten von Photographieren mit prismatischem Kamera erzielte die belandische Expedition im Fort de Kock, die in Bessere-Plamell, Deutsch und Mauder auf Mauritius. Zahlreiche Photographien der Korona und ihrer Umgebung wurden mit vorzüglichen Arten von Kameras erhalten, aber meist unzureichend, da sie nicht eine in Summe aufgenommenen zur beachtlichen Ausdehnung der Strahlen zeigen wird, und man wird sich demnach mehr auf die Photographien verlassen müssen, die unter den günstigsten Bedingungen im Mauritius aufgenommen sind. In Sumatra und Sikkim von Bildern in grosser Masse mit 10-fachen Linsen erhalten wurden von Prof. Nyberg, Ferris und Dr. Humphreys. Prof. Todd hat in Singapur die Korona nicht einmal gesehen wegen der dichten Wolken. Eine Prüfung der Platten ergab mehrere tolle Ringe, die offenbar auf ungenügendem Photogramm zu beziehen sind, besonders im S.-O.-Quadranten. Die Dauer der Totalität scheint beträchtlich von der berechneten Epochenzeiten mit verschoben gewesen zu sein, und zwar ist die beobachtete Zeit in dem meisten Fällen kürzer. Die holländischen Astronomen zu Param erzielten die etwa 20 Sekunden und Dyson etwa neun Sekunden länger, als die Dauer der Berechnung nach sein sollte. Andere Beobachter, z. B. Prof. Barnard und die Fort de Kock-Person, schienen die Zeit der Totalität länger

gehenden zu haben. Eine bemerkenswerte Tatsache bei dieser Expedition war, dass die meteorologische Statistik die Beobachter bei der Wahl ihrer Stationen sehr stark beeinflusst hat. Die Planeten wurde unter fast vollkommenen Verhältnissen beobachtet in Peking Pansyang, welches für die nördlichsten und nördlichsten Gegenstand in Sibirien gehalten wird, während diejenigen, welche in dem alten Solok Fort kampierten, am westlichen begünstigt an der ganzen Kiste waren.

#### Bewegungsverhältnisse Planeten.

Folgende Astronomen haben die bewegtesten Massen erhalten:

(177) 1894 BC	Lampella
(199) 1898 BP	Porsiphanes
(207) 1898 CC	Arctus
(208) 1898 CD	Pena
(217) 1898 CD	Fabris
(217) 1898 CT	Surus
(241) 1898 CV	Alcoranus
(275) 1898 CW	Arctis
(282) 1898 EV	Regilla
(303) Bruckaria.	
1901 GJ	Kla.

**Entdecker des Encke'schen Kometen.** Derselbe ist am 6. August nahe dem nordwestlichen Ort von Wilkes in Northfield (N. A.) beobachtet worden. Er war ziemlich lichtlos, so, da er trotz des hellen Marschens gesehen werden konnte. Seine letzte Wiederkehr fand 1898 statt, wo er aber nur auf der südlichen Erdhälfte gesehen werden konnte. Die diesjährige hat die größte Ähnlichkeit mit der Erscheinung vom Jahre 1868, da der Komet jetzt zur gleichen Zeit wie damals, am 15. Sept., von Peking erreicht. Man darf daher hoffen, dass die diesjährige Erscheinung ungefähr so verlaufen wird, wie die damalige. Erfüllt sich diese Hoffnung, so wird der Komet gegen Ende August so hell werden, dass man ihn schon in sehr kleinen Fernrohren wird auffinden können. Leider wird die Dauer seiner Sichtbarkeit für die Nordhalbe der Erde auf den Monat August beschränkt sein, da er im Anfang des September in den

Strahlen der Sonne verschwinden und bei seinem Wiederauftreten so weit nördlich stehen wird, dass er nur auf der Südhalbkugel beobachtet werden kann.

Über die Sternschuppen vom 2. Januar 1900 schreibt (Die J. B. Monatschrift.)<sup>1)</sup> Professor Hensel beobachtete in der Nacht vom 2. Jan. 1900 in England einen ziemlich reichen Sternschuppenfall, dessen Strahlungspunkt sich im Sternbild des Maasquadranten, zwischen dem Kleinen Bären und der Krone, befand. Es wurden während  $5\frac{1}{2}$  Stunden von abends 11 Uhr bis morgens  $4\frac{1}{2}$  Uhr gegen 130 Meteore gesehen, von welchen  $\frac{1}{3}$  zu den Quadranten gehörten und welche meist aus Sternschuppen erster und zweiter Classe bestanden, aber sehr hell waren, einige erreichten auch die Helligkeit der Venus.

Da man während dieser Jahreszeit meist ungenügende Beobachtungsverhältnisse in unseren Gegenden herrschen, so sind Beobachtungen dieser Art schwer anzustellen, weshalb auch weniger genaue Angaben, besonders aus älterer Zeit, Wen haben Eine Durchsicht der letzten meteorologischen Jahrbücher der herevorte ergab, dass keiner an diesem Tage auch auf der nördlichen Halbkugel meist beobachtet wurde, aus Beobachtungen nicht möglich waren, Dagegen befalle, welche diesbezügliche Sternschuppen enthalten, sind in Folgendem zusammengestellt:

Seydewitz (Altkönig), Kapt. H. Dojva, in  $40^{\circ}$  nördl. Br.,  $10^{\circ}$  westl. Länge, sah bei teilweise bewölktem Himmel am 2. Januar 1900 früh in der Nacht von  $12$  bis  $4^{\frac{1}{2}}$  hellig Sternschuppen nach westlicher Richtung fallen.

Seydewitz (Capella), Kapt. H. Wilms, beobachtete zur gleichen Zeit auf  $30^{\circ}$  nördl. Br.,  $41^{\circ}$  westl. Länge, bei wechselnder Bewölkung, meist Südwestung 4. Sternschuppen.

Aus Abend des 2. Januar notierte Kapt. H. Schwesinger, Seydewitz (Flott-

<sup>1)</sup> Annalen der Hydrographie, 1900, S. 11.

bei-, viele Sturmschuppen auf 45° nördl. Br., 14° westl. Länge. In der Nacht von 8 bis 12<sup>h</sup> herrschte wechselnde Bewölkung mit zeitweiligen Regen und Hagel und stark böige Winde, in den Morgenstunden mit 3 Jauer, wo ebenfalls sehr unruhiges Wetter herrschte, und keine Messung erfolgte.

Kapt. F. W. Koppler, Segelschiff „Arvabakken“, verließ am 3. Januar bereits 8<sup>h</sup> österrädlige Zerstreuung unter 43° nördl. Br., 28° westl. Länge. Starke und heftige Sturmschuppen set in Nordwestrichtung aus dem „Äther“.

Endlich berichtet Kapl. F. Jäger vom Dampfer „Sarda“ am 3. Januar 1880, 10<sup>h</sup> abends: „Im Norden, etwa 10 an Durchmesser, vom Sternbild Cassiopeia nach NO, ungefähr 10° über dem Horizont platze es wie eine Rakete ohne Knall und Verloch.“ Es war ihrer Natur bei nur westlichen Wolken.

Die Beobachtungen von den beiden meist erwähnten Schiffen beschränken sich offenbar auf die von Herschel entdeckten Quadranten, die beiden letzten erwähnten Beobachtungen von sehr hellem Meteorens Aufblühn trübend, das auch am 3. Januar abends trotz ungünstiger Witterungsverhältnisse viele Sturmschuppen auf dem Segelschiff „Flotbek“ gesehen wurden. Mangel näherer Angaben kann nicht entbehrt werden, ob es sich um den nördlichen Schwarm handelt oder ob es davon unabhängig und

Zur Feststellung dieser ständigen Periode sind ältere Beobachtungen gezogen. Eine Durchsicht der sogenannten „Quadrantenbeob.“ der Deutschen Seewarte ergab für die ersten Tage des Januar außer einzelnen Beobachtungen, die sich wahrscheinlich meist auf helles Obklima beziehen, dass am 8. und 9. Jan. 1850 sowie 1869 viele und am 4. Jan. 1855 sehr viele Sturmschuppen notirt wurden. Mangel älterer Angaben lässt sich nicht entscheiden, ob die von 8—12<sup>h</sup> abends notierten Sturmschuppen des Quadranten angehören. Nimmt

man dagegen die Intensität an, so läßt man auf eine Periode von 24 Jahren oder einer aliquoten Teilte davon zu schließen.

**Durchschnittliche Flatterperioden.** Prof. Kaplym in Göttingen hat eine eingehende Untersuchung über mittlere Perioden von Flatteren angestellt<sup>1)</sup>, von welchen die Eigenbewegungen und scheinbaren Helligkeiten genau bestimmt sind. Es werden dabei Periodenbestimmungen von Kaplym, die Bestimmungen von Elen am Yale-Observatorium, die heliometrischen Periodenbestimmungen von Peirce in Leipzig, Prof. Kaplym eigene Resultate sowie einige andere benutzt. Als mittleres Ergebnis aus allen benutzten Material haben sich folgende Perioden für die entsprechenden mittleren Helligkeiten und Eigenbewegungen von Flatteren:

mittlere Helligkeit der Sterne	mittlere (mittlere) Eigenbewegung	mittlere Periode
4.75 Größe	4.23"	0.257
5.31 "	1.40 "	0.135
6.46 "	0.58 "	0.104

Diese Zahlen sind übrigens Rechnungsgrößen, denn eine bestimmte physikalische Bedeutung nicht beigemessen werden darf. Ihre Bedeutung liegt darin, dass sie zeigen, dass eine Beziehung zwischen Periode und Eigenbewegung der Flatteren nicht erkennbar ist.

**Verzeichn. für Freunde der Himmelsbeobachtung.** Aus dem Lesekreise des „Stern“ sind mir mehrere größere und kleinere, sehr gut erhaltene Fernrohre zum Verkauf angeboten worden. Freunde der Himmelsbeobachtung, welche die Anschaffung eines solchen Instrumentes beabsichtigen und sich darüber einmischen wollen, bin ich zu jeder gewünschten Auskunft gern bereit. Dr. Klein

<sup>1)</sup> Publications of the Astronomical Laboratory at Göttingen, No. 3.

## Astronomischer Kalender für den Monat November 1901.

		Sonne			Mond		
		Mittlere Berliner Mittern.			Mittlere Berliner Mittern.		
Tag	Zeit (M. Z. — W. Z.)	Rektascension		Declination	Rektascension		Declination
		h m s	° ' "	° ' "	h m s	° ' "	h m s
1	— 25 00 00	14 02 44 00	— 16 17 30 77	5 26 48	+ 42 17 30 75	5 00	
2	15 02 00	14 07 40 00	14 20 40 0	7 13 32 0 0	38 02 30 4	17 1 4	
3	15 02 00	14 12 36 00	14 25 40 0	9 00 40 0 0	25 02 30 0	27 45 4	
4	15 02 00	14 17 32 00	14 30 40 0	10 47 50 0 0	12 02 30 0	38 47 0	
5	15 02 00	14 22 28 00	14 35 40 0	12 35 00 0 0	0 02 30 0	50 10 0	
6	15 02 00	14 27 24 00	14 40 40 0	14 22 10 0 0	— 12 02 30 0	62 10 0	
7	15 02 00	14 32 20 00	14 45 40 0	16 09 20 0 0	— 24 02 30 0	74 10 0	
8	15 02 00	14 37 16 00	14 50 40 0	17 56 30 0 0	— 36 02 30 0	85 10 0	
9	15 02 00	14 42 12 00	14 55 40 0	19 43 40 0 0	— 48 02 30 0	95 10 0	
10	15 02 00	14 47 08 00	15 0 40 0	21 30 50 0 0	— 60 02 30 0	104 10 0	
11	15 02 00	14 52 04 00	15 5 40 0	23 18 00 0 0	— 72 02 30 0	112 10 0	
12	15 02 00	14 57 00 00	15 10 40 0	25 05 10 0 0	— 84 02 30 0	120 10 0	
13	15 02 00	15 01 56 00	15 15 40 0	26 52 20 0 0	— 96 02 30 0	127 10 0	
14	15 02 00	15 06 52 00	15 20 40 0	28 39 30 0 0	— 108 02 30 0	134 10 0	
15	15 02 00	15 11 48 00	15 25 40 0	30 26 40 0 0	— 120 02 30 0	140 10 0	
16	15 02 00	15 16 44 00	15 30 40 0	32 13 50 0 0	— 132 02 30 0	146 10 0	
17	15 02 00	15 21 40 00	15 35 40 0	34 01 00 0 0	— 144 02 30 0	151 10 0	
18	15 02 00	15 26 36 00	15 40 40 0	35 48 10 0 0	— 156 02 30 0	156 10 0	
19	15 02 00	15 31 32 00	15 45 40 0	37 35 20 0 0	— 168 02 30 0	161 10 0	
20	15 02 00	15 36 28 00	15 50 40 0	39 22 30 0 0	— 180 02 30 0	166 10 0	
21	15 02 00	15 41 24 00	15 55 40 0	41 09 40 0 0	— 192 02 30 0	170 10 0	
22	15 02 00	15 46 20 00	16 0 40 0	42 56 50 0 0	— 204 02 30 0	174 10 0	
23	15 02 00	15 51 16 00	16 5 40 0	44 44 00 0 0	— 216 02 30 0	178 10 0	
24	15 02 00	15 56 12 00	16 10 40 0	46 31 10 0 0	— 228 02 30 0	181 10 0	
25	15 02 00	16 01 08 00	16 15 40 0	48 18 20 0 0	— 240 02 30 0	184 10 0	
26	15 02 00	16 06 04 00	16 20 40 0	50 05 30 0 0	— 252 02 30 0	187 10 0	
27	15 02 00	16 11 00 00	16 25 40 0	51 52 40 0 0	— 264 02 30 0	189 10 0	
28	15 02 00	16 15 56 00	16 30 40 0	53 39 50 0 0	— 276 02 30 0	191 10 0	
29	15 02 00	16 20 52 00	16 35 40 0	55 27 00 0 0	— 288 02 30 0	193 10 0	
30	15 02 00	16 25 48 00	16 40 40 0	57 14 10 0 0	— 300 02 30 0	194 10 0	

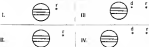
### Planetenmittelpunkte 1901.

November	Tag	Zeit	Planet	Orbit
	1	22 4	Mars	in Konj. in Skorpion, mit Uranus, Mars 6° 40' ost.
	7	7	Merkur	in mittlerer Konj. in Krebsen, mit der Sonne.
	8	8	Merkur	in aufsteigendem Knoten.
	9	9	Venus	in großer südlicher heliocentrischer Weite.
	10	10	Jupiter	in Konj. in Konj. in Krebsen mit dem Monde. Bedeckung.
	11	11	Merkur	in Konj. in Krebsen mit dem Monde.
	12	12	Jupiter	in Konj. in Krebsen mit dem Monde.
	13	13	Saturn	in Konj. in Krebsen mit dem Monde.
	14	14	Venus	in Konj. in Krebsen mit dem Monde.
	15	15	Jupiter	in Konj. in Krebsen mit dem Monde.
	16	16	Saturn	in Konj. in Krebsen mit dem Monde.
	17	17	Venus	in Konj. in Krebsen mit dem Monde.
	18	18	Jupiter	in Konj. in Krebsen mit dem Monde.
	19	19	Saturn	in Konj. in Krebsen mit dem Monde.
	20	20	Venus	in Konj. in Krebsen mit dem Monde.
	21	21	Jupiter	in Konj. in Krebsen mit dem Monde.
	22	22	Saturn	in Konj. in Krebsen mit dem Monde.
	23	23	Venus	in Konj. in Krebsen mit dem Monde.
	24	24	Jupiter	in Konj. in Krebsen mit dem Monde.
	25	25	Saturn	in Konj. in Krebsen mit dem Monde.
	26	26	Venus	in Konj. in Krebsen mit dem Monde.
	27	27	Jupiter	in Konj. in Krebsen mit dem Monde.
	28	28	Saturn	in Konj. in Krebsen mit dem Monde.
	29	29	Venus	in Konj. in Krebsen mit dem Monde.
	30	30	Jupiter	in Konj. in Krebsen mit dem Monde.





**Stellungen der Jupitermonde im November 1904.**



Stellungen am 1<sup>ten</sup> 24<sup>ten</sup> für das Abbild im astronomischen Freschke.

Tag	West	Ost
1		0 2 4 1 1
2	0 2 0 2	0 4 1 1 1
3	0 2 0 2	0 4 1 1 1
4	0 2 0 2	0 4 1 1 1
5	0 2 0 2	0 4 1 1 1
6	0 2 0 2	0 4 1 1 1
7	0 2 0 2	0 4 1 1 1
8	0 2 0 2	0 4 1 1 1
9	0 2 0 2	0 4 1 1 1
10	0 2 0 2	0 4 1 1 1
11	0 2 0 2	0 4 1 1 1
12	0 2 0 2	0 4 1 1 1
13	0 2 0 2	0 4 1 1 1
14	0 2 0 2	0 4 1 1 1
15	0 2 0 2	0 4 1 1 1
16	0 2 0 2	0 4 1 1 1
17	0 2 0 2	0 4 1 1 1
18	0 2 0 2	0 4 1 1 1
19	0 2 0 2	0 4 1 1 1
20	0 2 0 2	0 4 1 1 1
21	0 2 0 2	0 4 1 1 1
22	0 2 0 2	0 4 1 1 1
23	0 2 0 2	0 4 1 1 1
24	0 2 0 2	0 4 1 1 1
25	0 2 0 2	0 4 1 1 1
26	0 2 0 2	0 4 1 1 1
27	0 2 0 2	0 4 1 1 1
28	0 2 0 2	0 4 1 1 1
29	0 2 0 2	0 4 1 1 1
30	0 2 0 2	0 4 1 1 1

Erhebungen der Jupitermonde. Die ähnlichen Angaben über die Erhebungen der Jupitermonde beziehen sich auf mehrere Zeit von Greenwich. Die Tabellen sind der Beobachtung eines Astronomen von Japan nach III I bei IV benannt. Das vier gezeichnete Figuren zeigen die Stellung jedes Mondes mit Bezug auf den Jupiter für den Augenblick der Verhinderung (A) oder der Wiedererscheinung (B), in  $\tau$  nicht angegeben, in dem der Abstand aus dem Katalog nicht bestimmt werden. Ferner befindet bei den nachfolgenden Zeichnungen:

- To D des Verhinderung des Trabanten im Schatten des Jupiter.
- To E des Ausganges des Trabanten aus dem Schatten des Jupiter.
- Co D des Verschwinden des Trabanten hinter der Jupiterschibe.
- Co E des Wiedererscheinens desselben neben der Jupiterschibe.
- Tr I des Eintritt des Trabanten vor der Jupiterschibe.
- Tr E des Austritt des Trabanten aus der Jupiterschibe.
- Sh I des Eintritt des Trabantenoberflächens auf der Jupiterschibe.
- Sh E des Austritt des Trabantenoberflächens aus der Jupiterschibe.

Es sind nur diejenigen Erhebungen der Jupitermonde aufgeführt, welche sich ereignen wenn Jupiter im Greenwich über und die Sonne unter dem Horizont steht. Um die Manner dieser Erhebungen nach meteorologischer Zeit zu finden, hat man nur nötig  $1^{\text{h}}$  an den angegebenen Zeitpunkten zu addieren.

November 1. I To. I.  $2^{\text{h}} 24^{\text{m}}$  I Sh. I.  $7^{\text{h}} 41^{\text{m}}$ , November 2. II Sh. I.  $1^{\text{h}} 20^{\text{m}}$   
 II To. E.  $2^{\text{h}} 20^{\text{m}}$  III To. E.  $2^{\text{h}} 20^{\text{m}}$  I Co. E.  $2^{\text{h}} 20^{\text{m}}$  III Sh. I.  $7^{\text{h}} 20^{\text{m}}$   
 November 3. I Sh. E.  $1^{\text{h}} 20^{\text{m}}$ , November 4. I Co. D.  $1^{\text{h}} 20^{\text{m}}$  II Tr. I.  $2^{\text{h}} 20^{\text{m}}$   
 III Tr. I.  $7^{\text{h}} 20^{\text{m}}$ , November 5. I To. E.  $2^{\text{h}} 20^{\text{m}}$  I Sh. E.  $2^{\text{h}} 20^{\text{m}}$ , November 6.  
 II Co. E.  $2^{\text{h}} 20^{\text{m}}$  III To. E.  $2^{\text{h}} 20^{\text{m}}$ , November 7. II Co. E.  $2^{\text{h}} 20^{\text{m}}$  III Tr. I.  
 $2^{\text{h}} 20^{\text{m}}$  I Sh. I.  $2^{\text{h}} 20^{\text{m}}$ , November 8. I Co. E.  $2^{\text{h}} 20^{\text{m}}$  II Co. E.  $2^{\text{h}} 20^{\text{m}}$ , November 9. II Co. E.  
 $2^{\text{h}} 20^{\text{m}}$  III Co. D.  $2^{\text{h}} 20^{\text{m}}$ , November 10. I Sh. E.  $2^{\text{h}} 20^{\text{m}}$ , November 11. II Sh. E.  $2^{\text{h}} 20^{\text{m}}$  III Co. D.  $2^{\text{h}} 20^{\text{m}}$

### Stellungen der Saturnmonde. (Eckling 5 24.)

Zeit der solichen Beobachtung im November 1893

Dejaga. November 1.  $7^{\text{h}} 5^{\text{m}}$ , November 2.  $4^{\text{h}} 5^{\text{m}}$ , November 3.  $1^{\text{h}} 5^{\text{m}}$ , November 4.  $20^{\text{h}} 5^{\text{m}}$ , November 5.  $10^{\text{h}} 5^{\text{m}}$ , November 6.  $11^{\text{h}} 5^{\text{m}}$ , November 7.  $10^{\text{h}} 5^{\text{m}}$ , November 8.  $11^{\text{h}} 5^{\text{m}}$ .

Elona. November 1.  $10^{\text{h}} 5^{\text{m}}$ , November 2.  $17^{\text{h}} 5^{\text{m}}$ , November 3.  $11^{\text{h}} 5^{\text{m}}$ , November 4.  $4^{\text{h}} 5^{\text{m}}$ , November 5.  $11^{\text{h}} 5^{\text{m}}$ .

Esra. November 1.  $7^{\text{h}} 5^{\text{m}}$ , November 2.  $10^{\text{h}} 5^{\text{m}}$ , November 3.  $11^{\text{h}} 5^{\text{m}}$ , November 4.  $11^{\text{h}} 5^{\text{m}}$ .

Itana. November 1.  $7^{\text{h}} 5^{\text{m}}$ , November 2.  $10^{\text{h}} 5^{\text{m}}$ , November 3.  $11^{\text{h}} 5^{\text{m}}$ , November 4.  $11^{\text{h}} 5^{\text{m}}$ , November 5.  $11^{\text{h}} 5^{\text{m}}$ , November 6.  $11^{\text{h}} 5^{\text{m}}$ .

Lyrtan. November 10.  $10^{\text{h}} 5^{\text{m}}$ .



Bild 100.

Seite 106.

Die Mondlandschaft Kosmos (mit Apenninen und Umgebung).

Kath. v. d. Photographie des Pariser Observatoriums 1874, Syst. 19,  
16. 11. 80, Forter. Sch.

# SIRIUS.

Zeitschrift für populäre Astronomie.

Centralorgan für alle Freunde und Förderer der Himmelskunde.

Herausgegeben

unter Mitwirkung hervorragender Fachmänner und wissenschaftlicher Schriftsteller  
von Dr. Hermann J. Kirke in Bonn a. Rh.

Oktober 1901.

«Wasen und Rippen sind die Finde und die  
Beschreibung der Menschheit.» — Klopke

Jeden Monat 1 Heft. — jährlich 12 Mk.

Verlag von EDUARD HEINRICH MAYER in Leipzig.

**INHALT.** Die Entdeckung und Katalogisierung von kleineren Nebelflecken durch die Photographie. S. 203 — Die Nerva im Perseus. V. S. 208 — Die Sternspektren mit Infrarotlicht, mit besonderer Berücksichtigung. S. 205 — Über Helligkeitsmessungen und die Größe kleiner Pleiaden. S. 220 — Die Tätigkeit des Atmosphärenlichtes. Untersuchungen in Potsdam. S. 225 — Die letzte Nacht Jahn der Finsternisvorstellung. Von A. S. (Pferdewitz) S. 221 — Verschiede Nachrichten. S. 225 — Astronomischer Kalender. S. 235 — Nachrichten der Japlanwissenschaft in Deutschland 1901. S. 240 — Entdeckungen der japanischen. S. 240

## Die Entdeckung und Katalogisierung von kleineren Nebelflecken durch die Photographie.<sup>1)</sup>

Die Wichtigkeit der photographischen Forschung nach Nebelflecken wurde wiederholt im „Sirius“-Organ besprochen. Uebrigens hat nun Prof. Woll in Heidelberg, der Kgl. Bayer. Ges. d. Wiss. in München über seine Arbeiten und Entdeckungen auf diesem Gebiete eine wichtige Abhandlung vorgelegt, der wir nachfolgendermaßen entnehmen:

Bei der Anwendung der Doppelobjektive von großer Öffnungswahlweise auf die Himmelsphotographie zur Aufzeichnung schwacher ausgedehnter Nebelstrahlen am Himmel, sind der selben kleinen Flecken zu einer größeren

Anzahl Aufnahmen gelangt, wie Prof. Woll bemerkt, wie allgemein bekannt überhalb am Himmel die planetarischen und kleinen Nebelflecken zu finden waren. Besonders die vorzüglichen Vauquelin'schen Objektiv von 18 cm Öffnung und 81 cm Brennweite, die also die Öffnungswahlweise von 1:3 besitzt, gab manche Gegenden des Himmels als ganz besetzt mit solchen planetarischen Nebelflecken. Um gleich die Entz. als Beispiel herauszugreifen, so fanden sich auf einer Platte (vom 24. März 1892) von 98 Minuten Belichtung in einem Kreis, den Prof. Woll mit einem Radius von 1 Grad um  $\gamma$  Virgo als Mittelpunkt wählt, noch weniger als 136 Nebelflecke.

<sup>1)</sup> Sitzungsber. d. mathem.-phys. Klasse d. Kgl. Bayer. Akademie d. Wissenschaften 1901, Bd. 3, Heft 2.

Ähnliche Zahlen, wenn auch selbstverständlich nur selten so ungeheuer groß, ergaben sich ihm an anderen Stellen des Himmels und es war demgemäß, dass die Dublet-Classe aus dem Himmel mit einer ungeheuren und grossen Zahl planetarischer und kleiner Nebelstellen erfüllt erscheinen liess, die selber angenommen werden ist.

«Gleichzeitig,» sagt Prof. Wolf, «war aus dem ersten Versuch auch deutlich, dass diese schwachen Nebel, von denen ja die Frage im Grunde nur zweifelnde und vorübergehend erhellende Einblicke erhält, sich auf der Fläche mit grosser Sicherheit eingehen und messen lassen. Andererseits war die Wichtigkeit ihrer Gestalt hinsichtlich zu erkennen und zu beschreiben.»

Diese Erfahrungen leiteten ihn zu dem Entschlusse, den «kleinen Nebel-Becken» des Himmels eine ganz besondere Aufmerksamkeit zu widmen. Er begann sofort mit Aufnahmen von durchschnittlich zwei Stunden Belichtungszeit zuerst in jenen Gegenden des Himmels, wo bekannterweise die kleinsten Nebelstellen am reichsten und schönsten vertreten sein sollten. Im Laufe der nächsten Jahre wurden in der Gegend von Vega, Leo und Cassiopeia eine grössten Teil mehr als dreimal mit Platten bedeckt.

«Es handelt sich,» führt Prof. Wolf fort, «denn naturgemäss darum, die Positionen dieser ungenannten neuen Objekte zu bestimmen. Ich versuchte zuerst mit dem trefflichen Baumburg'schen Scheibenspektroskop, mit dem ich die Positionen der kleinsten Planeten zu vermessen pflegte, die Platten auszumessen und zwar, in derselben Weise wie dort, dadurch, dass ich immer die Distanzen der Nebel von verschiedenen Aufnahmestellen aus mass.

Dabei zeigte sich sehr bald, dass zwar die streuklaare Umgebung der sehr grossen war, dass aber die Mitte der Verzeichnung auch nur eines kleinsten Teiles einer Platte so im Grunde be-

wunden bezüglich der Rechenarbeit war, dass ich gezwungen war, die von abzuschneiden.

Nach allem, was ich erfahren sollte, musste sich für diesen Zweck, allerdings unter Ausbeutung der grössten Genauigkeit, der von Professor Kapany in Göttingen konstruierte periskopische Messapparat ganz besonders eignen. Es musste das richtige Instrument aus dieser Nebelstellen zu konstruieren.

(Dabei ergab sich auch nicht, als sich mir die Gelegenheit darbot,\*) mit bedeutendem Mende einen periskopischen Messapparat zu beschaffen, diesen Apparat Instrument bekannten Mechaniker zu bestellen, und er wurde nach seiner Vollendung auf dem Oberatorium auf dem neuen Kumpshof aufgestellt. Leider hat sich die mechanische Ausführung der Arbeit des Apparates — der im mehrere Jahre beschriebenen worden soll — als ziemlich mangelhaft erwiesen und die Messungen erschienen aus sehr viel geringen Genauigkeit als zu verwerten war . . .

In der Zwischenzeit wurde es mir ermöglicht,†) ein neues bedrucktes grösstes Fernrohr zu erhalten. Die Aufnahmen mit dem Sechszöllern von kleiner Brennweite gehen zwar alle Nebel ebenso gut und häufig als im jedes grössere Instrument gehen konnte, allein es war oft sehr schwierig zu entscheiden bei den kleinsten Nebelstellen, ob man es mit ganz schwachen Sternen oder mit kleinsten planetarischen Nebeln zu thun hatte. Mit dem neuen Teleskop, dessen Brennweite 40 cm Öffnung haltende Dubletts eine Brennweite von 2 m haben, und welche dieser letzten Brennweite die kleinsten Nebel viel scharfer als solche zu erkennen, und deshalb wird das Arbeiten leichter und leichter. Da zwei gleiche Linsen vorhanden sind, so können stets zwei Auf-

\*) Durch die Liebenswürdigkeit einiger hochgelehrter Freunde des W. Baumburg, durch Namen in anderer Stelle genannt werden.

†) Durch die Höflichkeit der verehrtesten Kgl. Wolf-Brüd.

nehmen gleichzeitig gemacht und die Dunkel wegen der nicht vorhandenen sehr stürmischen Plattenverhältnisse besorgt werden. Es sei mir erlaubt, hier darzulegen, dass die Lichtkraft trotz mehrfacher Wärmegewinn- und Belichtungen selbst bei ständiger Ausnutzung ganz entschieden nicht geringer geworden ist gegenüber dem Messeren Linsen, da Ölfingverhältnis zwar ist die gleiche wie bei jenen und die Absorption nur mit den grösseren Gläsern stark zunimmt, nicht jedoch weniger Licht praktisch nutzbar ist, so ist vielmehr eher etwas grösser geworden. Die Ursache liegt sehr anders und besteht darin, dass die bei den meisten selbstgen. Absorptionsexperimenten ganz übersehenen Helligkeit der Himmelsgegenstände, die eine wesentliche Rolle in der Praxis spielt, bei den grösseren Linsen viel günstiger für die Platte wird. Als Beispiel sei angeführt, dass die roten Axialster des J-Cyber-Nebel mit dem grossen Teleskop bei gleicher Belichtung köstlicher herauskommen, als mit dem kleinen.

Sei seiner Anfertigung im August 1904 die grossen Instrumente fast ausschließlich zur Verfolgung von kleinen Planeten benutzt werden. Ebenso wurden fast ausschliesslich Positionen solcher Himmelskörper auf den obersten Platten ausgenutzt. Doch wurde, wenn Zeit war, die Gelegenheit benützt, die von dem verwandten Astrolabium angezeichneten kleinen Nebel mit zu vermessen. Dies wird gegenwärtig weitergeführt. Es ist aber meine Absicht, die Katalogisierung der kleinen Nebelflecken zur Hauptaufgabe unserer Observatorium zu machen.

Die eine Vorstellung davon zu ermöglichen, wie zahlreich diese unbekannteren kleinen, planetarischen Nebelflecken sind und wie sich ihre Katalogisierung mit Hilfe des parabolischen Messapparates durchführen lässt, soll Prof. Wolf einige ausgewählte Gruppen mit-

Die erste liegt von einem Punkt am

Merid. in  $\alpha$  5<sup>h</sup> 22<sup>m</sup> 3 + 16° 30' (Nr. 1835 C) und wurde mit dem Mess-Teleskop am 12. Februar 1901 bei 11 12<sup>m</sup> Expeditionsdauer aufgenommen. Sie umfasst 80 kleine Nebelflecken, deren Positionen mit einer durchschnittlichen Genauigkeit bis auf 0 11' in Rektascension und  $\pm$  12' in Declination ausgemessen wurden sind. Eine zweite Gruppe in  $\alpha$  5<sup>h</sup> 17<sup>m</sup> 3 + 20° 38' enthält 39 Nebel, eine dritte in  $\alpha$  5<sup>h</sup> 11<sup>m</sup> 3 + 24° 42' 34' Nebel, eine vierte in  $\alpha$  5<sup>h</sup> 07<sup>m</sup> 3 + 22° 39' umfasst 13 Nebel.

Über einige interessante Eigenschaften derselben von den parabolischen Nebelflecken wird Prof. Wolf später berichten. Überhaupt sollen später auch die interessanteren Objekte mitgeteilt werden mit einem bei Kapell in Arbeit befindlichen Messapparat anderer Konstruktion untersucht werden. Für jetzt war der Zweck der Messung, zu zeigen, wie es möglich wäre, auf photographischem Wege und mit einfacher Messwerkzeuge die vielen unbekannteren Nebel zu katalogisieren und sie kurz zu beschreiben. In diese oder ganz ähnlicher Weise soll nach Absicht Prof. Wolf noch und noch eine Grundlage für einen photographischen Nebelkatalog und damit für eine für die Erkennung unseres Weltsystems so wichtige Statistik geschaffen werden.

Wie wenig diese Katalogisierung ist, sagt er, geht auch aus den angeführten Beispielen recht anschaulich hervor. Es war absichtlich in dem besprochenen vier Gruppen eine Stelle des Himmels gewählt worden, die bisher als unbekannt betrachtet werden war. Die von den vier angeführten Gruppen betrachtete Fläche am Himmel beträgt 47 Quadratgrad. Es wurden auf ihr 135 Nebelflecken zusammen, von welchen, wie oben angedeutet, nur drei als bekannt im Dreyer'schen Generalkatalog angegeben sind. In dem nur geringfügigen Linsen-Selbst befindet sich kein Nebel, der die betreffenden Gegenden

berührt<sup>2)</sup> In dieses vor Geopeten —  
 die liegt als zwischen Protopen und  
 Mikropen — nämlich:

$a = 10^3$	$10^3$	$b = 4$	$10^3$	$10^3$
1	10	1	10	1
1	10	1	10	1
1	10	1	10	1

steht sich daher das Verhältnis von  
 zusammen zu bekannten Nebel-  
 flecken wie 132 zu 3 Mit anderen  
 Worten es waren höher — vor An-  
 wendung der Photographie mit der  
 korrespondierenden Linse — nur 3%  
 der leicht zu photographierenden Nebel-  
 flecken katalogisiert.

Aus dem wenigen Schätzungen, die  
 ich an anderem als scheinlich bekannter  
 Orten anstellen konnte, scheint hervor-  
 zu gehen, dass dort die Zahl der Nebel-  
 flecke durch die Photographie nicht in wesent-  
 lich grösserer Masse zunimmt. Es wird  
 fast im Durchschnitt die Nebel nur  
 grösser und heller und daher mehr  
 bekannt.

Sollte sich diese Erklärung bei der  
 Weiterführung der Katalogisierung be-  
 stätigen, so würde daraus ein wich-  
 tiger Schluss auf die Konstitution  
 des Weltsystems zu ziehen sein.

## Die Nova im Perseus.

4.



Prof. Edw. C. Pickering gibt eine  
 kurze Zusammenfassung und  
 Charakterisierung der photographischen  
 Aufnahmen, welche bezüglich des Spek-  
 trums der Nova des Jahres 1861 im  
 Perseus, an der Harvard-Gewerke er-  
 halten worden<sup>3)</sup> Er bezeichnet die  
 Stern als Nova Persei No. 2, da im  
 Jahre 1867 in dem nämlichen Sternbild  
 von Max Fleeming mit Cambridge  
 Photographien die Stern mit dem  
 Spektrum mit heller Linse entdeckt  
 wurde, der später verschwand.

Die Nova Persei No. 2 ist schwach  
 geworden, so schwach geworden, dass  
 ihr Spektrum nicht länger mehr vorzüg-  
 lich mit starker Dispersion photographiert  
 werden konnte. Seit ihrem Verschwin-  
 den wurde an Cambridge eine Reihe  
 von photographischen Aufnahmen des  
 Spektrums am 11 zölligen Doppel-  
 Talstop erhalten. Anfangs wurden dabei  
 zwei Prismen benutzt, welche ein Spek-  
 trum lieferten, bei dem die Disper-  
 sionswinkel des Lichtes H $\gamma$  und H $\delta$  3-7 cm  
 betrug. Nach dem 18. März fand man

es, wegen der Lichtaberration des Sterns,  
 vorzuziehen, nur ein Prisma zu benutzen,  
 das ein Spektrum lieferte, in welchem  
 die gemessenen beiden Linien 1.00 cm  
 voneinander entfernt sind. Weiterhin  
 war eine zweite Reihe von Aufnahmen  
 des Spektrums am 10 zölligen Doppel-  
 Talstop erhalten worden, mit kleinen  
 Dispersionen, bei denen der Abstand der  
 oben gemessenen Linien nur 0.57 und  
 0.14 cm beträgt, wobei Sorge genommen  
 wurde, dass, solange die Nova hell war,  
 nicht überspannert wurde. Diese Photo-  
 graphien des Spektrums sind also durch-  
 aus vergleichbar mit solchen, welche  
 genommen wurden, als der Stern  
 schon recht lichtschwach geworden war.  
 Es ist zu erwarten, dass das Spektrum  
 dadurch noch vergleichbar starker  
 werden kann, wenn die Nova bei nur  
 10 Grösse herabgesunken ist, d. h. mehr  
 als 10000 mal lichtschwächer erscheint  
 als im Maximum ihrer Helligkeit. Ein  
 sorgfältiges Studium der erhaltenen  
 Photographien ist von Max Amdur,  
 Chemie angestellt worden und Prof.  
 Pickering gibt eine kurze Übersicht  
 der Ergebnisse desselben. Die Haupt-  
 charakteristiken heller Linien bestehen  
 auf den Photographien begleitet von  
 dunklen Linien auch der Seite der kurz

<sup>2)</sup> Linné No. 3, 4, 5, 6, 7, 8, 11 u.  
 Monthly Notices, Royal Astronomical Soc.,  
 3, 4, 42, in History and Word of Writings  
 Cambridge.

<sup>3)</sup> Harvard O., Circular No. 10.



Wellenlänge ist. Die Wellenlängen wurden bezogen auf die Mitte dieser hellen Linie, sei nach dem 23. März die dunklen Wasserstofflinien verschwand.

Eine Beschreibung des Spektrums der Nova nach den Photographien am 22 bis 24. Februar 1901 ist früher gegeben worden.<sup>1)</sup> Die Platten vom Februar 24 zeigen beträchtliche Veränderungen: dunkle schmale Linien erschienen auf den hellen Banden und letztere sahen an Intensität im Vergleich zu dem kontinuierlichen Spektrum aus; die dunklen Banden wurden schmaler und lösten sich in einzelne Fäden in zwei oder mehreren Streifen. Ein eigenartige helles dunkles Band zwischen H $\gamma$  und H $\epsilon$ , das sich von der Wellenlänge 3545 bis 3856 erstreckte und Februar 24 so intensiv war als H $\epsilon$ , wurde schnell ab und wurde nach Februar 26 nicht wieder gesehen. Ein anderes dunkles Band nahe bei H $\delta$  zwischen den Wellenlängen 4050 und 4069 am 24. Februar zeigte eigenartige Änderungen in Breite, Breite und Wellenlänge. Die dunklen Wasserstoffbanden wurden doppelt und blieben ab, an Stelle der verschollenen Stellen erschienen zwei schmale, dunkle Linien. Der dunkle Streifen K wurde doppelt und sah an Intensität ab. Am 17. März beobachtete H $\epsilon$ , H $\delta$ , H $\gamma$  und H $\beta$  jede aus einer schmalen, scharfen, schwarzen Linie und bei sorgfältiger Betrachtung der Photographien sah man darüber noch eine dünnere Linie. Doppelte gegen die wirkliche Linie bei H $\delta$  war deutlich doppelt und die kleine Begleitlinie wohl markiert. Das breite dunkle Band K war völlig verschwunden, an seiner Stelle zeigte sich eine schmale dunkle Linie, etwas intensiver als die umgekehrte Linie K. Am 19. März sahen wir besondere Veränderungen im Aussehen des Spektrums eingetreten zu sein. Keine dunkle Linie war sichtbar,

mit Ausnahme der kleinen Umkehrung auf dem hellen Strich; das kontinuierliche Spektrum war fast unmerklich, die Linie K fehlte. Die in diesem Tage gemachte Aufzeichnung geschah mit zwei Prismen und 120 Minuten Expositionszeit. Eine eigenartige Veränderung oder Verschiebung gegen Violet zeigte sich März 17 die helle Bande H $\epsilon$ . März 19 dehnte sie sich bis hellrotes H $\gamma$  aus. März 23 war das kontinuierliche Spektrum da und keine dunkle Linie zeigte sich an der Seite der letzteren Wellenlängen von H $\delta$ , H $\delta$  und H $\gamma$ . Drei andere dunkle Linien waren sichtbar und verschiedene helle Linien außer dem Wasserstofflinien. Die Position der Linie H $\epsilon$  war normal. März 27 wurde ein starkes kontinuierliches Spektrum gesehen, aber die dunklen Komponenten der Wasserstoffbanden fehlten und wurden seitdem nicht wieder gesehen. Am Orte der Wellenlänge 3556 zeigte sich eine schmale dunkle Linie, sowie eine schwächere bei 3666. Von 3806 bis 3821 erschien ein verschobenes dunkles Band und ein helles von 4451 bis 4464, beide scheinen von Heliumlinien zusammenzusetzen. Die Position von H $\delta$  war normal. März 30 war das Spektrum ähnlich dem vom 27. März, nur war die Linie 3666 intensiver und die Linie 3880 fehlte. Das kontinuierliche Spektrum, welches sehr intensiv erschien, wurde bis ins Violet photographiert, aber keine Linie war bestimmt zu sehen, außer einem verschobenen, dunklen Bande von 13775 bis 1794. Das helle Band 4908 bis 4942 war sehr schwach und das Band 4980 bis 5040 heller als das Magnesiumband b. April 1 war das Spektrum nahe so wie am 26. März. Nach einer Periode wolkigen Wetters wurde April 12 ein eigenartliches Aussehen des Spektrums photographiert. Die Linie H $\epsilon$  schien zu fehlen, nahe ihrem Platze zeigte sich ein helles Band so intensiv wie H $\gamma$ , dessen Platte auf die Wellenlänge 3575 fiel. Dieses Band sowie H $\delta$  und H $\delta$  waren gegen die

<sup>1)</sup> Harvard D. Circular No. 36, Seite 1904, S. 75.

reife Seite des Spektrums hin scharf abgegrenzt, dagegen verschwommen gegen Violet hin. Es ist von Interesse, zu bemerken, dass im Spektrum von  $\epsilon$  Velorum in der Wellenlänge 3875 ein dunkles, wohl markiertes Band erschien. April 12 erschien im Spektrum der Nova eine eigentümliche helle Linie nahe bei H $\gamma$ , gegen die Seite der grösseren Wellenlänge hin, in  $\lambda$  4384, scharf gegen das rote Ende des Spektrums abgegrenzt, während der Raum zwischen ihr und H $\gamma$  ähnlich einem scharfen hellen Bande erschien. April 13 wurde Profibus und Intensität von H $\gamma$  normal und das Spektrum zeigte nicht den eigentümlichen Typus vom vorhergehenden Tage. Dagegen erscheint letzterer wieder auf einer Photographie vom 26. April, auf der das Band 3875 das intensivste ist, Band 4950 bis 5040 ebenfalls an Intensität gewonnen hat, H $\delta$  und H $\beta$  aber schwächer geworden sind. H $\gamma$  war intensiver als H $\beta$ , das kontinuierliche Spektrum nicht wellenförmig, nach die Bande 4500 bis 4942 und das Magnesiumband  $\delta$  fehlen. April 27 war das Spektrum wieder normal, das kontinuierliche ebenfalls glatte und das Band 3875 fehlte; im allgemeinen erschien das Spektrum ähnlich wie am 26. April. Am 28. April und Mai 1 und 3 erschien wieder das eigentümliche Spektrum, ähnlich dem vom 26. April. Es ist von Interesse, die Änderungen im Aussehen des Spektrums mit der Helligkeit der Nova zu vergleichen und Prof. Pickering gibt darüber folgende Zusammenfassung:

1901	Spektrum	Helligkeit
März 17	normal	38 Glanz:
19	abwärtshend	50 "
20	normal	76 "
22	"	44 "
26	"	32 "
April 1	"	43 "
12	abwärtshend	46 "
13	normal	46 "
26	abwärtshend	52 "
27	normal	49 "
28	abwärtshend	54 "
Mai 1	"	53 "
3	"	53 "

Am 12. und 13. April war die Helligkeit der Nova die gleiche, während das Spektrum verschiedenen erschien, am 26. und 28. April dagegen, als der Stern ausgesprochene Maxima seiner Helligkeit zeigte, zeigte sich das eigentümliche Spektrum, während das normale am 27. April gefunden wurde, als der Stern eine halbe Größenklasse heller war.

Eine am 19. Juni aufgenommene Photographie der Nova zeigt oben Spektrum völlig ähnlich demjenigen des Cometen NGC 3618, doch ist die Nebellinie 5020 etwa fünfmal heller als die Linie H $\beta$  in dem Nebel und nur  $\frac{1}{10}$  so hell wie diese in dem Spektrum der Nova. Die Linien 3889, 3918 (H $\delta$ ), 4902 (H $\delta$ ), 4941 (H $\gamma$ ), 4950, 4952 (H $\gamma$ ), 4989 und 5000 sind beiden Spektren gemeinsam und zeigen mit Ausnahme von 5000 in beiden die gleiche relative Intensität. Vier helle Linien zwischen H $\gamma$  und H $\beta$  erschienen schwach in der Nova und fehlen im Spektrum des Nebelsterns, während eine Linie ( $\lambda$  4546) in letzterer stärker ist, aber nicht im Spektrum der Nova, vielleicht wegen ihrer Nähe bei der Linie H $\gamma$ .

Am 18. und in der Nacht des 29. zum 31. August hatten Flammarion und Anthonis auf der Sternwarte von Jorvik photographische Aufnahmen der Nova gemacht und gefunden, dass dasselbe mit einer kreisförmigen Nebelhülle von 6 Durchmesser umgeben erschien. Auf die Nachricht von dieser merkwürdigen Thatsache wurde die Nova auch an anderen Observatorien photographisch aufgenommen. Zunächst machte Prof. Wolf folgende <sup>\*)</sup>:

„Auf die photographische Nachricht, dass es Flammarion und Anthonis gelungen sei, durch photographische Aufnahmen zu zeigen, die Nova Paris sei von einer Nebelhülle umgeben, habe ich 1901 August 22, von 14 Uhr 12 Minuten bis 15 Uhr 20 Minuten — also mit 1 Stunde und 10 Minuten

<sup>\*)</sup> Astron. Nachr., No. 376.  
<sup>\*)</sup> L. u. O., No. 216.

Beleuchtung — mit den zwei Sechshundertfünftel des Brenn-Erdtrübs die Nova zugeht aufgenommen.

Das Rückseiten der Platten waren selbstverständlich gut geschwärzt und so die Glarefflexion (Ringbildung) selbst bei den hellsten Sternen der Platte völlig vermieden. Die Platten sind bei statischer Masse Himmel vorzüglich ausgefallen und ergaben ein sehr markantes Resultat.

Die Nova ist auf der Platte  $a_1$ , die mit dem Sechshundertfünftel aufgenommen ist, wohl genau wie jeder andere Stern, ohne erkennbare Spur von Nebelströme, abgebildet. Auf der Platte  $b_1$ , die mit dem Sechshundertfünftel  $b$  aufgenommen ist, sieht die Nova dagegen in einer matten, kristallfarbenen, recht homogenen und relativ schwach ausgeprägten Scheibe von etwa 3,8 mm Durchmesser, die sich etwas über 6 Bogensekunden. Oberhalb der Scheibe ist von ganz eigenartigen Aussehen. Es ist ein etwas feines Netzwerk nicht wahrnehmbar, fällt aber durch die schwache Umrandung auf. Noch merkwürdiger ist, dass kein zweiter Stern, so er heller oder schwächer, von den vielen Sternen der Platte ohne merkliches zeigt. Dieser »Nebel« muss also, wie Schmidt und Flammarion ganz richtig erkannt haben, der Nova eigenständig sein.

Aber auf der mindestens ebenso guten Platte  $a_2$  ist nicht nur die Nova zu sehen. Die völlig geschwärzte, kreisrunde, herwickelte Scheibe steht völlig klar auf dem Himmelsgrund. Ausserdem war auffallend, dass an der Umrandung des »Nebels« auf  $b_1$  ganz gut erkennbar die Spur von sechs Ecken eines gleichseitigen Sechsecks angedeutet ist. Ohne viel Worte zu verlieren — es war mir aus früheren Versuchen deshalb wahrscheinlich, dass der »Nebel« auf  $b_1$  von optischen Ursprungs, d. h. durch das Objektiv bewirkt sein musste.

Um das zu entscheiden, experimentierte ich in der folgenden, ebenfalls wunderbar klare Nacht — 1901 August 25 —

wieder mit beiden Objektiven auf die Nova und zwar von 10 Uhr 50 Minuten bis 10 Uhr 5 Minuten in 2, 3, 4, 5, 6 Minuten, also mit 4 Stunden 6 Minuten Beobachtungsdauer. Dabei bedeckte ich das Objektiv  $b$  zur Hälfte durch einen geradlinig begrenzten, ungeschichteten Schirm, sodass genau ein Halbkreis des Objektivs Licht empfing, während die andere Hälfte precisely des Durchmesser bedeckt blieb.

Der Erfolg entsprach der Erwartung. Auf der mit dem abgemessenen Objektiv  $b$  aufgenommenen Platte  $b_2$  ist die Fläche rechte Scheibe, um die Nova wieder sichtbar, aber sie ist jetzt ein genauer Halbkreis entsprechend der Blende. Der Durchmesser der Nebelscheibe ist wieder 3,8 mm. Da der Lichtstrahl, der die Platte  $b_1$  trifft, doppelt so gross war, als am ersten Abend ( $b_1$ ), so ist auch die jetzt halbkreisförmige, fast homogene, gut begrenzte »Nebelströme« auf kleinerer als auf der Platte  $b$ , vom ersten Abend. Hierdurch und durch die Halbkreisform ist bewiesen, dass diese Ausbreitung der Nova durch das Objektiv  $b$  zu stande kam. Gleichzeitung, da kein anderer Stern, die viel helleren nicht ausgenommen, diese Ausbreitung besitzt, ist gezeigt, dass die Nova eine Lichtart besonders intensiv ausstrahlt muss, die ein Lichtart eigenartlicher Natur, die die das Objektiv nicht harrigiert ist und für die die Zerstreuungswinkel einen Durchmesser von etwa 6 besitzt.

Das ist ungenau interessant und wir müssen Flammarion und Schmidt für diese Entdeckung sehr dankbar sein. Auf der Platte  $a_2$ , das Objektiv  $a$  vom zweiten Abend, die viermal soviel Licht empfangen hat, als die vom ersten Abend — sie enthält wohl mindestens Sterne der 10 Grössenklasse —, ist jetzt auch der homogene, matte Kreis um die Nova angedeutet und besitzt etwa 3,8 mm oder etwa 6 Durchmesser. Er ist aber immer noch viel schwächer als auf der Platte  $b_1$ .

Beobachtet man auf den beiden

Platen  $\alpha_1$  und  $\beta_1$  vom zweiten Abend des Ungewitters der Nova genaunt, befindet man, selbstverstandlich am besten auf  $\alpha_1$ , dass zum mindesten südlich und etwas östlich in der Höhe der Nova eine deutlich erkennbare aber lausert schwache und trotzdem strahlreiche Nebelsterne abgebildet ist. Da sie auf beiden Platten  $\alpha_1$  und  $\beta_1$ , und bei letzterer unter der bedeckten Seite, angeklaut ist, so muss sie wohl am Himmel vorhanden sein.

Diese Aussart heissen, getrockneten Nebelstern, welche nach oben nachweisbar sind, umschlossen am dicksten etwa 2' südlich von der Nova und scheinen sich allerdings bei  $\alpha$  nicht selbst herauszuheben.

§ Kosimov von der Sternwarte Pulkovo schrieb folgendes \*)

»Nachdem ich die Telegramme der Herren Flammaron und Antonov vom 21. August gelesen hatte, erhielt ich am demselben Abend eine photographische Aufnahme der Nova Perse mit Hilfe unserer Astrographen

1901 August 21	}	$\lambda = 2810 \text{ \AA}$ unmerklich hell	(B)
		4860 schwach	(G-1)
		4861 heller als die vorhergehende (Wasserstoff F)	(F)
		4703 hell, sehr breite Linie	(D)

Da in Klammern stehenden Zahlen bezeichnen die bezüglichen Helligkeiten der Dargestellten Spektrallinien, so ist schwach

Da die photographischen Objektivs genähert für die Linie  $H\gamma$  [4101  $\text{\AA}$ ] fokussiert worden, so ist ersichtlich, dass ein beträchtlicher Teil des Lichtes der Nova Perse auf die photographische Platte schon in zersetzter Form gelangt und bei dem mehrfach langen Exponieren mit einer Anzahl von den Stern hervorgerufen muss, welche der beobachteten vollkommen ähnlich ist.

Um die oben gegebene Erklärung zu prüfen, machte ich zwei Aufnahmen der Nova Perse, indem ich vor das Objektiv Diaphragmen in Form eines Dreiecks und eines Quadrats stellte,

bei ihrer Expositionzeit von ungefähr zwei Stunden. Auf dieser Photographie ist die Nebelstern in Gestalt eines schwach begrenzten Kreises sehr deutlich zu sehen. Da nach den Mittheilungen einiger Astronomen die Nova Perse sich allmählich in einen Nebel auflöst, so ergiebt sich die Frage: Können wir es mit einer wirklichen Erscheinung am Himmel zu thun oder nur mit einer optischen, welche von Umständen bei der Beobachtung selbst abhängt? Der Charakter des Sternspektrums in Verbindung mit dessen in letzter Zeit wohl beträchtlichen Veränderungen, sowie auch das Aussehen der Auricle selbst bewegen Herrn Belopolsky und mich, die Erklärung dieser Erscheinung nur in einer ungenügenden Fokussierung des photographischen Objektivs in Bezug auf die im Spektrum vorhergehenden Stellen zu suchen. Thatsächlich erscheint das Spektrum des Sterns jetzt beinahe ausschließlich als folgende Gruppen von Banden im grünen Theil des Spektrums:

was nach zu erwarten war, obwohl ich eine entsprechende Veränderung der Form der Auricle auf dem Negativ, was bei einer Heiligkeit der Erscheinung nicht möglich gewesen wäre. Eine dritte Aufnahme, welche annähernd mit dieser für den grünen Theil des Spektrums fokussierten Platte gemacht wurde, zeigt keine Spur der Auricle.

Schlusslich möchte ich noch dazu erinnern, dass eine ähnliche Erscheinung einer optischen Auricle, wenn auch in bedeutend geringerer Größe, im Jahr 1892 von E. Barnard bei der Nova Aurige beobachtet wurde. Herr Oberleutnant H. C. Vogel hat in seinem Aufsatze »Über den neuen Stern im Fuhrmann« 1893 eine vollkommen analoge Erklärung dieser Erscheinung gegeben, welche durch vorstehenden Fall völlig bestätigt wird.

\*) N. u. G., Nr. 1118.



übergeben. «Alles,» so fragt er, «was geht aus die Stern der Typus Ia in den Typus Ia über? Wenn ein Stern der Klasse Ia eine einzige kalte Wasserstofflinie enthält, warum dann alle seine Wasserstofflinien hell sind? Wenn ein Stern eine einzige dunkle Wasserstofflinie enthält, müssen alle seine Wasserstofflinien dunkel sein? Wenn ein Stern mit heißen Linien in einer solchen Übergangs- und dunklen Linien, andere dann alle Wasserstofflinien in dem gleichen Momente ihren Charakter? Im allgemeinen werden alle Wasserstofflinien sehr gleichartig nach derselben Richtung hin laufen, aber voraussetzt sie sich von heißen in dunkle Linien oder von heißen Linien zu kontinuierlichen Spektren und dann in dunkle Linien in demselben Augenblick? Das würde mir gewöhnlich vorzukommen. Der Charakter eines Spektrums ist das Resultat von Strömungs- und Absorptionsphänomenen. Stern der Klasse Ia schenkt unvoränderlich ausgehölet und kalte Atmosphären zu haben. Ab-

kühlung und Zusammenziehung entsprechen fortschreitende Anforderungen in ihrem Spektrum. Wenn wir es mit einem Stern zu tun haben, dessen Atmosphäre unvoränderlich ausgehölet und durch und durch sehr heiß ist, so können wir unsere Kenntnisse von der Wirkung abnehmender Temperatur in dem inneren Teile der Atmosphäre zu der Erwartung, dass gewisse Strahlungsphänomene abnehmen würden, während gewisse Absorptionsphänomene zunehmen. Die Zustände auf unserer Sonne sind nicht geeignet, die Phänomene in den obigen Spektren zu erklären. Wenn jedoch die Bedingungen auf unserer Sonne geeignet sind, um nur einen Bruchteil des Widerstands zu dem Verhalten der Wasserstofflinien in diesem Stadium zu denken, so ist die Schweregrad sehr gründlich, denn wir müssen bedenken, dass unsere Sonne ist ist, der Klasse Ia angehört, während der Stern der Klasse Ia wohl unvoränderlich ausgehölet Atmosphären zugeschrieben werden müssen.» (Lohse folgt.)

## Über Helligkeitsschwankungen und die Gestalt kleiner Planeten.

**P**laneten des Planeten (Mars) Terra, aus großen Potsdamer Refraktor durch J. Hartmann haben ergeben, \*) dass die von Prof. Wolf beschriebene Ungleichmäßigkeit der Helligkeit auf der photographischen Platte subjektiver Umordnungs sind, d. h. durch die Art und Weise der Aufnahme entstehen, nicht aber auf Helligkeitsschwankungen des Planeten zurückzuführen sind. Solche sind indessen im allgemeinen als möglich anzunehmen und Hartmann macht noch auf einen bestimmten, wenig beachteten Punkt aufmerksam. Er sagt:

«Nach Analogie der großen Körper

unserer Sonnensystems, die durch direkte Beobachtung im Fernrohr als punktförmig festgestellt erkannt wurden, hat man sich dann gewöhnt, sich auch alle anderen Himmelskörper, die um wegen ihrer geringen Durchmesser oder wegen ihrer großen Entfernung nur punktförmig erscheinen, als Kugeln oder Kugelformen vorzustellen. Diese Annahme ist jedoch nur unter gewissen Einschränkungen richtig. Auf Körpern von den Dimensionen der kleinen Planeten ist die Schwerkraft so gering, dass die Abweichungen ihrer Oberfläche von einer Kugelform sehr groß sein können. Man hat man für Trichter die Oppositionshelligkeit (1/2<sup>m</sup>) und die Albedo des Mars an, so ergibt sich

\*) Astron. Nachr., No 3726.

Die Durchmesser zu bilden. Wenn der Planet aus zwei anderer Gestirmer (spec. Grav. 27) besteht, so wird die Schwere an seiner Oberfläche nur das vierhundertste Teil von dem Werte an der Erdoberfläche betragen, und hierdurch wird offenbar die Existenz von grossen Metalleinschlüssen auf dem Planeten sehr begünstigt. Hierin kommt nun noch, dass, falls der Planet eine Aufwölbung besitzt, ein grosser Teil der Schwerkraft durch die Centrifugalkraft aufgehoben wird. Da nun bekannt ist, dass die scheinbare Terzidina, die auch für den Planeten Eros abgeleitet worden sind, kommen die Körper schon sehr nahe an jenen kritischen Punkt heran, in welchem die Centrifugalkraft die Schwerkraft überwiegt, sodass die Existenz einer Gleichgewichtslage mathematisch unmöglich wird. Nach einem von Poncelet<sup>1)</sup> aufgestellten Satze würde ein Planet von der Dichte unserer Erde nur dann lose auf seiner Oberfläche liegende Teile festhalten können, wenn seine Rotationszeit grösser als 1<sup>h</sup> 39<sup>m</sup> ist; ist er nur von der Dichte des Wassers, so muss die Umdrehungszeit mehr als 2<sup>h</sup> 42<sup>m</sup> betragen. Soll jedoch die Gleichgewichtslage der Oberfläche des Planeten ein Rotationsgleichgewicht werden, so muss seine Umdrehungszeit noch erheblich grösser sein.

Hat der Planet die Dichte 2,7, so ist die Form eines Rotationsellipsoids nur möglich, wenn seine Rotationszeit mehr als 1<sup>h</sup> 30<sup>m</sup> beträgt; bei der Dichte 1,8 muss sie grösser als 1<sup>h</sup> 45<sup>m</sup> sein. Man sieht, dass die von Prof. Wolf für Terzidina abgeleitete Rotationszeit von 1<sup>h</sup> 58<sup>m</sup> schon ganz an der Grenze des theoretisch Zulässigen liegen würde.

Der hier erwähnten Materie gelten, abgesehen genommen, nur, wenn die Masse des Planeten aus zwei homogenen Flüssigkeiten besteht, auf welche unsere Gravitation und Centrifugalkraft keine

andere Kräfte einwirken. Letztere Bedingung ist nun in der Natur niemals erfüllt, da unter jenen beiden Kräfte (genau abgesehen von der anderen) stets noch eine dritte anders thätig ist, die man als Mischkräfte bezeichnen kann. Hierbei gelte zunächst die Kohäsion, sodass die Neigung, bei bestimmten Temperaturen in andere Aggregatzustände überzugehen, Krystalle und chemische Verbindungen zu bilden, nämlich die Spaltungen, die durch Dampfströme, sowie durch thermische Ausdehnung verursacht werden. Alle diese Kräfte sind unabhängig von der Umdrehung des Planeten, und da sie selbst auf der Oberfläche der Erde Gebirge von mehreren Kilometern Höhe aufzuführen vermöchten, so werden sie bei dem kleinen Planeten dergleichen beizubringen für die Oberflächengestaltung sein, dass ihnen gegenüber die Schwerkraft, welche grössere Massen mehr an die Form von Kugeln drängt, so gut wie gar nicht in Betracht kommt. Auch wenn die Planetenoberfläche nur die Trümmer eines schmelzartigen grösseren Körpers sind, können diese Bruchstücke gewiss unregelmässige Formen betragen, da die geringe Schwerkraft nicht im stand ist, die Kohäsion der Masse zu überwinden und ihrer Oberfläche eine neue Gleichgewichtslage zu geben.

Nach dem Gesagten erscheint es nicht unerschwerlich, dass trotz der kleinen Planeten, und zwar verwickelt die Massen derselben, Halbfotografien zeigen können, die auf die höchsten unregelmässig gestalteter Körper mathematischen sind. Ob allerdings photographische Aufnahmen des geringsten Helligkeitsverlustes zur Untersuchung derartigen Halbfotografien dienen werden, das ist sehr zu bezweifeln, da, wie aus dem Vorstehenden ersichtlich ist, durch ungenügende Hälften des Fernrohrs beträchtliche Fehler an der Intensität der Planetenoberfläche entstehen können. Eine weitere Ansicht über den Verlauf der Lichtschwankungen wird daher wohl nur durch direkte photometrische Be-

<sup>1)</sup> Bull. Astron. II, p. 217 (1853).

abschlag zu erlangen war; dagegen können photographische Aufnahmen namentlich solche mit Objektiv von

großer Brennweite, sehr wohl zur genaueren Auffassung der betreffenden Objekte führen.

## Die Thätigkeit des Astrophysikalischen Observatoriums zu Potsdam.

**I**m Bericht des Geh. Rat Vogel über die Arbeiten an dem seiner Leitung anvertrauten Astrophysikalischen Observatorium zu Potsdam während des Jahres 1900 enthalten wir die folgenden:

Unserer Untersuchungen, welche an den Objektivs des grossen Refraktors vorgenommen wurden, ergaben, dass die Randpartien des photographischen Objektivs (von 33 cm Öffnung), sowie die centralen Teile derselben eine kleine Brennweite hatten als eine mittlere Zone. Da die Abweichungen ziemlich beträchtlich waren, hat der Verfertiger Dr. Schmidt nach den ihm gemachten näheren Angaben Korrekturen an dem Objektiv Ende Mai 1900 in Potsdam ausgeführt, wodurch dasselbe wesentlich verbessert wurde, in dem nunmehr eine gute Vereinigung aller Zonen, mit Ausnahme der von einer Randzone von 5 cm Breite ausgehenden, stattfindet. Um nach dem Kaufe zu verbessern, sollte das Objektiv nach München transportirt werden, doch ist vorläufig hiervon abgesehen worden, zunächst, um erst durch Gebrauch des Instrumentes zu erproben, ob weitere Korrekturen in grosser Vorteile bringen würden, dass es zweckmässiger erscheint, da mit dem Transport verbunden grosse Risiken zu übersehen, ferner, um die diesbezüglichen Beobachtungen nicht wieder auf längere Zeit unterbrochen zu lassen. Das optische 50 cm-Objektiv ergab sich bei der Untersuchung, mit Ausnahme einer schmalen Randzone, als ganz vorzüglich.

Da die mit dem photographischen Refraktor von 33 cm Objektivöffnung für den Zweck der photographischen Himmelsaufnahmen benutzten Aufsch-

mass beendet waren, hatte Prof. Vogel dem Spektrographen (IV) für denselben konstruirt, um nach dem vorerwähnten Instrument in den Dienst spektroskopischer Arbeiten zu stellen.

Im Sommer hatte sich Prof. Vogel mit der Konstruktion eines für den grossen Refraktor bestimmten Spektroapparats für dieselbe Beobachtungen befasst. Dieser Apparat ist mit einem Gitter versehen, gestaltet aber sich, an dessen Stelle ein starres oder ein zusammenschiebbares Prisma zu setzen zur direkten spektroskopischen Beobachtung schwächerer Sterne; letzter ist an dem Apparat eine Vorrichtung angebracht, die es ermöglicht, spektroskopische Beobachtungen mit demselben anzustellen.

Wissenschaftliche Arbeiten. A. Spektroanalyse. Nach Fertigstellung der für den grossen Refraktor bestimmten Spektrographen I und II hat Dr. Hartmann mit dem Aufsatze von Sternspektren mit Hilfe dieser Instrumente begonnen. Von Bedeutung ist hierbei, dass es ihm gelungen ist, Bogenlichte ausser dem elektrischen Feuer als Lichtquelle für die Erzeugung der Vergleichspektren zu benutzen, die hienach grosse Vorzüge besitzen.

Weitere Untersuchungen erweist es als notwendig, dem Spektrographen II während der Aufstiege eines Sonnenspektrums auf konstanter Temperatur zu arbeiten. Dr. Hartmann hat eine sehr sinnreiche elektrische Heizvorrichtung konstruirt, die von dem Mechaniker Tempel und Stroder angefertigt worden ist und ganz vorzüglich funktioniert. Die Temperatur des Spektrographen kann nunmehr lange Zeit hindurch innerhalb eines Zehntelgrades konstant



erkennen werden. Hierdurch wird nicht nur die Schärfe der Linien in den Sternspektren sehr erheblich vergrößert, sondern es werden auch die von angrenzender Verdrängung des Vergleichs- und des Sternspektrums abhängige systematische Fehler vermieden.

Im Laufe des Jahres 1900 hat Dr. Hartmann mit Spektrograph II 112 Spektren zur Prüfung des Apparats und 104 Spektren von Sternen aufgenommen, mit Spektrograph I wurden von ihm 45 Spektren schwächerer Sterne und 7 Spektren zur Prüfung des Apparats angefertigt.

Die zur Prüfung der Apparate angefertigten Platten hat Dr. Hartmann ebenfalls bearbeitet, von den mit Spektrograph II aufgenommenen Sternspektren bisher zunächst nur die von  $\alpha$  Ursa minoris. Er konnte die von Campbell entdeckte vorzeitige Periode in der Bewegung des Sterns mit Sicherheit bestätigen, was andere Beobachter auf dem Gebiete der Spektroskopie bisher nicht gelungen war.

In Gemeinschaft mit Dr. Ludendorff hat Dr. Eberhard an 34 Abenden die Untersuchungen über die brechbaren Teile der Spektren verschiedener Sterne mit dem Mikros, am 22 cm-Refraktor angebrachten Spektrographen D unternommen. Es wurden 86 Sternspektren mit Belichtungszeiten bis zu drei Stunden hergestellt.

Mit dem neuen Spektrographen IV, dessen Bau im Mechanischen Topfer von Dr. Eberhard mit abgewandt worden ist, hat sich letzterer sehr eingehend beschäftigt, und seine genaue Untersuchungen nach den von Dr. Hartmann für die Apparate I und II gegebenen Hinweisen ist es zu denken, dass die Arbeit an Spektrographen IV ein ganz ausgezeichnetes Resultat mit bringt. Auch dieser Apparat ist mit einer elektrischen Filamentzündung versehen worden, die Dr. Eberhard angegeben hat, bei demselben Jahre hat sich derselbe sehr gut bewährt.

Für die Voruntersuchungen sind

über 400 Platten aufgenommen worden, von Mitte August an haben Dr. Eberhard und Dr. Ludendorff an 60 Abenden 136 Sternspektrogramme angefertigt. Von diesem Aufsatze hat Prof. Vogel die größere Zahl genau untersucht und durch eine Reihe von Messungen an Ausstellungen des Spektrens von  $\alpha$  Persei nachgewiesen, dass dieser Stern keine periodischen Schwankungen in der Bewegung im Weltraum erfährt, wie von anderer Seite behauptet worden war.

Prof. Lohse hat die Untersuchungen über die Fraunhoferlinien von Metallen weitergeführt und sich besonders mit dem Spektrum des Urans beschäftigt. In der Spektralanalyse von  $\lambda$  3996 bis  $\lambda$  4300 sind an 700 Linien bestimmt worden, bei der letzten Zerstreuung des Apparats konnten durchschnittlich 11 Linien auf 1 mm.

B. Beobachtungen an großen Planeten Jupiter wurde von Prof. Lohse im Mai, Juni und Juli nur an sechs Tagen beobachtet, es gelangen mehrere interessante Beobachtungen des roten Flecks. Weitere Beobachtungen konnten bei dem hohen Stande des Planeten nicht ausgeführt werden. Saturn, der sich gleichfalls in geringer Höhe befand, ist von diesem Grunde nur einmal, am 10 Juli, eingestrichelt worden.

C. Photometrie. Infolge der kürzigen trophischen Witterung des vorfliegenden Jahres, zum Teil auch wegen der von Prof. Müller vorgenommenen Reise zur Aufklärung photometrischer Beobachtungen während der letzten Sonnenfinsternis und wegen einer länger andauernden Reparatur der Laternen der Oerlikappell, haben die von Prof. Müller und Prof. Kempf gemeinschaftlich weitergeführten Beobachtungen für den dritten Teil der photometrischen Durchmessung ( $+40^\circ$  bis  $+80^\circ$  Deklination) nicht so gute Fortschritte gemacht, als es erwünscht war. Es sind an 15 Abenden 143 Zonen mit rund 3000 Sternen gemessen worden. Die Zahl der für den dritten Teil beobachteten Zonen beträgt

bereits 40, und bei einigermassen günstigen Wetter werden die Messungen für diesen Teil noch im laufenden Jahre zu Ende geführt werden können.

Für den ersten und letzten Teil der ganzen Arbeit ( $- 50^{\circ}$  bis  $+ 90^{\circ}$  Declination) ist mit den Vorarbeiten begonnen worden.

Zur silbernen Untersuchung der Frage, ob infolge des Perihelionäferschusses ein merklicher Einfluss auf die Helligkeitsverteilung verschiedener geographischer Zone haben kann, haben Prof. Müller und Prof. Kempt auch im vorletzten Jahre einige Sternpaare von extremen Richtungen sowohl mit Photometer C1 (Objektivöffnung 87 mm), als auch mit Photometer D1 (Objektivöffnung 135 mm) untereinander verglichen. Diese Beobachtungen sind absichtlich (zweifellos noch nicht beendigt) worden, um jede Vergleichsabweichung fern zu halten. Die Messungen sollen in diesem Jahre zum Abschluss gebracht werden.

Das Verweidenlassen BD + 39 1981 haben beide Beobachter auch im Jahre 1904 nachher wieder verfolgt. Während eines Schusses des vorangegangenen Jahres den Anzeichen hatte, als würde der Stern verhältnismäßig schnellwieder aufsteigend weiter, so er in der gegenwärtigen Erscheinung wieder Erweichung beobachtet gebunden, merklichgewissen aber nicht in der Maximumhelligkeit 4.3, sondern bei der Größe 6.5. Es ist schwer, eine Erklärung für dieses scheinliche Verhalten des Sterns zu finden. Nach dem Schluss der jetzigen Erscheinung werden die im September 1906 erhaltenen Messungen zusammengestellt und veröffentlicht werden.

Während der Monate März und April wurde Prof. Müller durch die Vorarbeiten zu dem während der letzten Sonnenfinsternis vom 28. Mai geplanten Beobachtungen in Anspruch genommen. Es war beabsichtigt, die Planeten Merkur, Venus bei der Finsternis eines Planetenwinkels von  $7^{\circ}$  heraus, während der Transit photometrisch zu messen, um

die Abhängigkeit der Lichtstärke des Planeten von der Phase auch für die sonst den Messungen unzugängliche Stellung in der Nähe der Konjunktion zu bestimmen. Da ein Vergleichswert bei der Finsternis der Venus dazu sollte, so wurden in den Monaten März und April zahlreiche Beobachtungen dieser Planeten angestellt, sowohl im Tage bei hellem Sonnenstande, um die besten Beobachtungsbedingungen zu studieren und die geeigneten Messgläser auszusuchen, als auch am Abend, um die Helligkeit der Venus durch Vergleichung mit Fixsternen zu bestimmen und die Absorption der Messgläser zu prüfen. Diese Beobachtungen hat Prof. Müller auch in Portugal, wo er sich Anfang Mai begeben hat, in dem als Beobachtungsstation gewählten Naderleyr Vico bis zum Tage der Finsternis fortgesetzt. Leider war während der Totalität des Witters unglücklich, indem die Sonne in weitem Umfange von einem leichten Dunstschleier überdeckt war, während die Himmelsgegend bei Venus vollkommen rein blieb. Merkur war durch den Dunstschleier hindurch noch gut sichtbar; die perigrauen Messungen wurden angeführt, und es war nicht wenig stark konsterniert, dass selbst während einer so kurzen Dauer der Transit die erforderliche Zahl von Einschüngen mit Sicherheit gemacht werden konnten.

Nach der Rückkehr hat Prof. Müller im Juli die Helligkeitsmessungen an der Venus wieder fortgesetzt. Es ist den gelungen, mit Benutzung eines Sterns (Cygnus von Kaiser) Grössenverhältnisse gemessener Helligkeit schon am fünften Tage nach der letzten Konjunktion des Planeten am Mittag photometrisch zu messen und mit dem Planeten Jupiter zu vergleichen. In den folgenden Tagen immerwährend für Venus, wurden sieben Helligkeitswerte der Venus für Photometer C1 zwischen  $150^{\circ}$  und  $168^{\circ}$  erhalten. Später soll Venus in ähnlicher Weise in der Nähe der letzten Konjunktion am Tage bei

absolutes werden und es wird dann möglich sein, die Lichtkurve des Planeten bei für den ganzen Phasenverlauf zu bestimmen.

Seine früheren Beobachtungen des Algal bei Prof. Müller ebenfalls besprochen. Es liegen 15 vollständige Messungen aus den Jahren 1873—1887 vor, von denen einige außer mit dem Photometer auch noch der Strahlmethode erhalten worden sind, sowie eine größere Zahl von Messungen innerhalb der Maxima zur Bestimmung des konstanten Lichts des Sterns. Die Darstellung hat die Übereinstimmung der Messungen mit dem Photometer über die Strahlmessungen gezeigt und eine sehr sichere Bestimmung der Lichtkurve ermöglicht. Letztere stimmt absolut symmetrisch, ohne jede Spur von Entzerrungen, die Dauer der eigentlichen Lichtänderung ist größer, als bisher angenommen wurde und zwar beträgt sie etwa 13 Stunden.

Die Sonnenstatistik im Jahre 1889 sind nur 75 Sonnenflecken von Prof. Löhr aufgeführt worden. Das Minimum, in welchem wir uns gegenwärtig befinden, scheint ein ungewöhnlich lange andauerndes zu sein; an 13 Tagen wurde die Sonnenscheibe fleckenfrei gefunden, und es ist höchst an diesem Tage die photographische Aufnahmen.

Am Spektralanalytischen sind durch Prof. Kopp von 21. März bis zum 9. November 244 Aufnahmen gemacht worden.

E. Photographische Himmelskarte. Die Ausmessung der Platten ist bis Ende November eine wesentliche Unterbrechung fortgesetzt worden, und zwar wurden 17 Platten mit rund 5000 Sternen gemessen. Katalogiert sind mit der Ripner Durchmusterung

verglichen wurden 13 Platten mit etwa 5000 Sternen.

F. Vermischte Beobachtungen und Untersuchungen. Prof. Wising hat Untersuchungen zur Theorie der Wirkung der sphärischen Abweichungen der Wellenfläche auf die Lichtkurve eines Objektivs angestellt und die erlangten Resultate auf das Strahltrieb Objektiv von 33 cm Öffnung in Anwendung gebracht.

Durch das Bemerkung Kapteyn über die von Prof. Wising angestellten Untersuchungen über die Position von der Cygnus auf Grund photographischer Aufnahmen angeregt, hat Prof. Wising eine Entzerrung veröffentlicht, in der er den Einfluss der atmosphärischen Dispersion auf die photographischen Messungen von Sternpositionen diskutiert. Ferner hat derselbe, von der mechanischen Wissenschaft ausgehend, den Versuch einer Fortführung der Helmholtz'schen Theorie, betreffend die Entstehung der Sonnenrings, gemacht.

Dr. Hartman hat mit dem 50 cm-Objektiv des grossen Refraktors im Laufe des Jahres 16 verschiedene direkte photographische Aufnahmen hergestellt, u. a. Aufnahmen der Venus bei hellem Sonnenschein, die mit sehr scharfer Begrenzung der schmalen Scheibe zeigen, Neptun mit seinem Monde, eine Anzahl Mondaufnahmen, auf denen die Rillen schön sichtbar sind, Aufnahmen von Cometen im Perihelium mit vollständiger und vollständiger Belichtung und von Ringnebel in der Linsen mit zweifacher Belichtung. Unter den wenigen Tagen, welche für diese Aufnahmen verwendet werden konnten, bestand auch keiner mit so gutem Luftstrich, dass sich die Genauigkeit der Lesungsmöglichkeit des Objektivs hätte bestimmen lassen.

## Die letzten fünfzig Jahre der Himmelforschung.

Von A. S.

(Fortsetzung)

**D**ie Untersuchungen von S. Newcomb ist der wichtigste Wert der Sonnenphysik geworden den Beobach-

lungen während der beiden Vennschwänge des 19. Jahrhunderts 877, und die Zufügung einer zuverlässigen Beobach-

langen geographisch-ethnographischen des 19. Jahrhunderts sowie der Heliographenaufzeichnungen grosser kleiner Planeten haben Prof. Neumann an der Übersetzung geführt, dass dieser Wert von 179' auch jetzt noch der wahrscheinlich richtige ist. Dem entspricht eine mittlere Entfernung zwischen Sonne und Erde von 20 151 200 deutschen Meilen. Die grosse Mähe, welche der Planet Eros gelegentlich für die Erde erreicht, wird ein Mittel geben, die Sonnenentfernung mit weit grösserer Genauigkeit zu bestimmen.

Der Mond gehört zu den Weltkörpern, die bezüglich ihrer physischen Verhältnisse während der letzten 50 Jahre vielfach beobachtet worden sind. Dadurch ist die Summe unserer Kenntnisse im einzelnen erheblich angewachsen, im allgemeinen aber haben die Schlässe, zu denen in der ersten Hälfte des vorigen Jahrhunderts Müller bezüglich der Mondoberfläche gekommen war, nur Bestätigungen erhalten. Die vielen und grossen von Schröter beschriebenen Veränderungen auf der Mondoberfläche hatte Müller an Abende gestellt oder nur als optische gelien lassen, welche sich regelmässig je nach der Beobachtung wiederholten. Seitdem sind in der That nur drei wirkliche Änderungen auf der Mondoberfläche mit Sicherheit erkannt worden, die eine von J. Schmidt beim Kaiser Louis, dessen Namen durch eine erpübte Messung hat richtig festgestellt wurde, die zweite von Klaproth in der Nähe der Hygiea, wo eine rasche Vertheilung sich beobachtet hat, und die dritte von Krüger nicht schon durch Von vollständigen Mondkarten war um die drei Paus im Durchschnitt grosse Genauigkeit der Pläne von Müller und eine Menge von W. G. Löwenmann vorhanden. Müller's Karte enthält nur Gegenstände, die mit vorläufiger Astronomen gesehen werden können. Später hat Müller noch einige Spezialaufnahmen einzelner interessanter Landschaften angeführt, durchgeführt auf Hilfe von

schönem Heliostereon. Zunächst in Bonn und Müllers Arbeit richteten sich die Untersuchungen von J. Schmidt, und dieses Astronomen durfte mit damals mit Recht als dem grössten Kenner der Mondoberfläche betrachtet. Seit 1840, besonders aber seit 1842, hatte er während des Mond nicht und die Resultate seiner Wätschungen graphisch niedergelegt. Demals war er mit Vollendung der Lohmann'schen Selenographie und mit Herstellung einer grossen Mondkarte beschäftigt. Diese beiden selenographischen Arbeiten mögen in den nächsten Jahren. Die von Schmidt herausgegebene drei Paus im Durchschnitt haltende Lohmann'sche Karte enthält indessen nicht mehr Detail als die kleine Lohmann'sche Generalkarte, dagegen ist die «Charte der Gebirge des Mondes», die Schmidt 1873 veröffentlichte, ausserordentlich viel reichhaltiger und an Genauigkeit in Bezug auf Genauigkeit. Sie wird sich vollständig durch von grössere, bezüglich auf Oberflächeneigenschaften beruhende Karte des Mondes nicht im Wettbewerb sein, denn seit 1868 ist die Photographie auch auf diesem Gebiete ausserordentlich angewendet. Reber hat war der erste, dem es gelang, mit neuen Platten photographische Markenbilder zu gewinnen, die auch heute noch von Wert sind, dies folgten mit mehr oder weniger Glück andere, aber die Art der eigentlichen Mondphotographie beginnt erst mit dem Aufsteigen auf der Licht-Sternwarte und dem noch weit grossartigen Unternehmen der photographischen Beobachtung der Planet Sternwarte. Die Herstellung dieser Karte und ihre Ausführung in Photolithographie beruht auf dem gegenwärtigen Heliostereon. Nach den Untersuchungen von W. Franz haben die Krüger auf der Planet Karte noch erkannte Gegenstände der Mondoberfläche nach Durchschnitt von 2000 m, sodass aber die Krüger'schen nach von der Grösse ähnlich nur die Pflöckchen bilden würden. Hieraus ergibt sich, dass die

kleinste optisch wahrnehmbare Detail auf einem Photographiren nicht von Anaximach können und zwar hauptsächlich wegen des Kernes der Platten. Der letzte Wert dieser Photographiren aber liegt darin, dass sie klar über die sichere Grundlage des westlichen Anschauens der Mäandergesteine bei bestimmtem Betrachtungsgehalt, also der Zuhilfenahme des vorgedruckten An-

derungs auf dem Monde vertheilen nachzuweisen. Was gegenwärtig bezüglich des Details der Mäanderoberfläche zu thun ist, besteht darin, im Anschluss an die photographische Darstellung mit Hilfe ständiger Teleskope möglichst alle kleinen Objekte auszumachen. Diese ständige Arbeit hat J. N. Köpfer in Triest begonnen und bereits weit gefördert. (Prüfung 1871.)

### Vermischte Nachrichten.

Die Ebene der Erdoberde unter dem Festlande und des Meeres. Wie die Erde im Innern beschaffen ist bleibt der menschlichen Beobachtung entzogen, denn die Bohrlöcher und Gruben reichen nur in Tiefen, die im Vergleich zum Erdboden ganz unbedeutend sind und unbedeutend wird man auf diesem Wege niemals wirklich erhebliche Tiefen unter der Erdoberfläche erreichen können. Dagegen haben die neuesten Untersuchungen über die geographische Verteilung der Schwerkraft an der Erdoberfläche zu höchst interessanten Schlüssen über die Massenverteilung in gewissen oben, aber doch für uns unzugänglichen Tiefen der Erdoberde geführt und zu begründeten Vorstellungen, wie sich diese Finken der Erdoberde gebildet haben müssen. Wenn man nämlich die Intensität der Schwerkraft, wie sie sich auf Grund zahlreicher Beobachtungen durchschnittlich für einen bestimmten Punkt der Erdoberfläche nachausgemittelt ergibt, mit der an diesem Punkte durch Beobachtungen vergleicht, so lassen sich Unterschiede, die auf die Beschaffenheit der Massen bei unter der Erdoberfläche Schlüsse geben. Wird die Schwere an einem solchen Punkte größer gefunden, als sie normalerweise sein sollte, so muss man auf einen Massenüberschuss in der Tiefe schließen, so wie gelehrt, so damit dies auf einen Massenmangel unter der Oberfläche

(S. 186. 187. 18)

Solche Massendefekte brauchen nicht gerade vollständige Halbsterne auf im Einfluss zu sein, obgleich diese zweifellos auch vorhanden sein werden, man kann sich vielmehr die Massendefekte als Schichten von geringerer Dichte oder lockerer Struktur vorstellen und die Massenüberschüsse als durch Massen von grösserer Dichtigkeit entstanden. Es ist nun merkwürdig, dass Massendefekte hauptsächlich unter grossen Gebirgen angetroffen werden, so unter den Alpen, besonders unter den Thuner Alpen und unter dem Engadin. Nach Dr. Meunier tritt der Jura bei der Intensität der Schwerkraft gar nicht hervor, was ebenfalls wohl ein Theil der ungenügenden Mächtigkeit seiner Kalkablaggerungen nicht auf in die Erde hinreichend, sodass in verhältnissmäßig geringen Tiefe eine mehr normale Schwere des Gesteins zu erwarten ist. Bei den Alpen und dem Schwarzwald, wo entsprechend der Erdhöhe gewisser die Gebirgshöhe bei hinreichend, sind die weniger dichten Gesteine entsprechend höher im Erdinnern gekommen, als bei normaler Lagerung der Fall sein würde, und im Engadin würden die Faltungen der Gebirgshöhe noch sehr beachtlich. Unter dem Karst ist ebenfalls ein erheblicher Massenmangel anzunehmen und das gleiche gilt in noch stärkerer Masse für die Himalayagebirge. Im Gegensatz zu den Gebirgen zeigt die ganze

18

norddeutsche Tiefen eine erheblichen Meeressüberschuss unter dem Boden, und das meiste gilt vom Wiener Becken und der Umgebung des Norddecker See. Überhaupt findet im allgemeinen das Zusinken der Schwerekraft vom Lande gegen das Meer hin statt, und für die oceanischen Inseln stellt sich nach Aufnahme von erheblicher Meeresüberschuss heraus, sodass man unter dem Meeresboden eine gewisse Dichtigkeit der Erdkruste anschauen kann als unter dem Festlande. Nach der Ansicht von Faye ist dies dem Umstände zuzuschreiben, dass unter dem Meere die Abkühlung und Kontraktion der Erdkruste rascher vorwärts geht als unter dem Kontinente. Henschelmann fasst die bis jetzt erlangten Ergebnisse wie folgt zusammen: „Aus dem theoretischen Verhalten der Schwere lässt sich mit Sicherheit der Schluss ziehen, dass die Wirkung der Krümmungsmomente mehr oder weniger kompensiert wird durch die Verminderung der Dichtigkeit der Erdkruste unter ihnen. Die meisten Änderungen, welche in manchen Gebieten der Schwere in verhältnismäßig geringen Entfernungen entsteht, bewirken, dass die Dichtheitsänderungen sich in den oberen Schichten der Erdkruste befinden müssen, deren Tiefe etwa 200 km nicht viel überschritten wird, häufig werden sie auch viel weniger tief auszuweichen sein.“ Die Ungleichmäßigkeiten in der Struktur der Erdkruste, das Vorkommen von dichten und lockeren Massen, sowie von gewaltigen Halbkugeln ist harnach auf ihre äusseren Schichten beschränkt, von dem, was unter 200 km Tiefe bis zum Erdmittelpunkte sich befindet, wissen wir nur, dass es dichter sein muss als die überlagernden Massen, aber als fest, teilflussig oder flüssig? Diese, darüber lässt sich Sicheres gegenwärtig nicht sagen.

Die anomale Dispersion des Lichtes und die Bedeutung der Präreflexionen. Nach dem Vorgange von

Kundt und Boucard hat W. H. Julius Versuche über die anomale Dispersion des glühenden Natriumdampfes angestellt und eine neue, auf die anomale Dispersion der Metallkörper begründete Erklärung der im Spektrum der Sonnenchromosphäre sichtbaren hellen Linien gegeben. Später hat Dr. Ebert gezeigt, dass mit Hilfe glühenden Natriumdampfes durch anomale Dispersion Erscheinungen hervorgerufen werden können, welche den am Sonnenrande sichtbaren Protuberanzen sehr ähnlich sind. Harnach wendete diese auf ihre Bewegungen im wesentlichen nur optische Erscheinungen sein, denen eine reale Funktion fehlt. Die Bestätigung dieser Schlussfolgerung blüht aber, was auch Julius selbst hervorhebt, darauf ab, ob auch andere Stelle anomale Dispersion zeigen. Eine solche müsste in einer Linie für Wasserstoff, Calcium und Helium existieren werden. Prof. J. Widing hat eine Versuche angestellt, aus denen sich ergibt, dass die anomale Dispersion des glühenden Calciumdampfes im Vergleich zu der des Natriums unmerklich ist. Auch zeigt er, dass in anderer Beziehung die Dispersionstheorie mit den Beobachtungen nicht in Übereinstimmung ist und kommt Harnach zu dem Schlusse, dass keine Veranlassung vorliegt, die älteren Anschauungen über die Natur der Chromosphäre und der Protuberanzen zu Gunsten der neuen Hypothese zu verlassen.

Benennungen von kleinen Planeten. Folgende bisher unbekannte Asteroiden haben die nachstehenden Namen erhalten:

(756)	189 G	Esperia
(757)	189 K	Aspidaria
(758)	189 P	Giocosa
(759)	189 R	Harala
(760)	189 S	Palma
(761)	189 T	Isis
(762)	189 V	Coelina
(763)	189 A A	Amata
(764)	189 A C	Modesta
(765)	189 A D	Palma

(273)	1893	AJ	Melania
(274)	1893	AK	Baryptoda
(275)	1893	AL	Urosia
(276)	1893	AM	Geometria
(277)	1893	AN	Campoma
(278)	1893	AP	Holota
(279)	1894	AQ	Heterota
(280)	1894	AR	Pteroda
(281)	1894	AS	Myrta
(282)	1894	AT	Dolichia
(283)	1894	BA	Claudyda
(284)	1894	BB	Indocrita
(285)	1894	BC	Nema
(286)	1894	BM	Wema
(287)	1895	BF	Chloa
(288)	1895	BS	Cyana
(289)	1895	BT	Arctania
(290)	1895	BZ	Thia
(291)	1895	CE	Agropy
(292)	1895	DA	Dolichia
(293)	1895	DF	Orsila
(294)	1895	DC	Caroceta
(295)	1895	DD	Pythia
(296)	1895	DE	Ella
(297)	1895	DT	Pteroda
(298)	1895	EF	Phidographia
(299)	1895	EA	Asteroceta
(300)	1895	DU	Haplozoa
(301)	1895	ET	Palaedia
(302)	1895	FC	Melania

Beobachtungen der Perseiden. Im Anschluss an meine vorjährigen Berichte<sup>1)</sup> bringe ich an dieser Stelle meine diesjährigen Perseidenbeobachtungen. Derselben lauten in Kürze so und zwar bei weitem besseren lokalen Verhältnissen. Hierfür können sogar als gute bezeichnet werden<sup>2)</sup>, als im Vorjahr in Potsdam. Allerdings war die Witterung demselb. schlecht, das war zu zwei Tagen — am 9. und 10. August — beobachtet werden konnte. Die meistezeitige Zeit befiel im ganzen 12<sup>h</sup> 30<sup>m</sup>. Abweichend vom vorjährigen Jahre wurden in diesem die Fluten der Meteore nicht in eine Sternkarte eingetragen, teils aus Zeitmangel zu vermeiden, teils um kein Meteor zu übersehen. Die Meteo. wurden vielmehr nur gezählt und ihre Eigencharakteristika im Beobachtungsjournal vermerkt. Die

Ortzeit ist so gewählt worden, dass a Persei als Stern L. Ortzeit angegeben wurde. Der Zeit ist nach H. E. Z. korrigiert.

Am 9. August begann ich mit der Beobachtung um 10<sup>h</sup> 45<sup>m</sup> und hörte dieselbe bis 12<sup>h</sup> 0<sup>m</sup> durch. Eine Kometenpass. trat nur von 11<sup>h</sup> 45<sup>m</sup> bis 11<sup>h</sup> 50<sup>m</sup> auf. Die Luft war ein klein wenig bewegt. Der gegen Südwest der Beobachtung sich vor bemerkbar machende Mondschein wirkte solange gar nicht. Um 12<sup>h</sup> 51<sup>m</sup> hat die erste Meteor. Im ganzen wurden 35 Meteore eingetragen. Was die Größe betrifft, so war von 1 Größe, zehn 2 Gr., zwölf 3 Gr., neun 4 Gr., eine 5 Gr.; der Farbe nach waren 17 weiss, 11 gelb. Vier hinterliessen einen Schweif, der bezüglich 1<sup>+</sup> berechnete.

Das Maximum der Frequenz fällt auf 12<sup>h</sup> 30<sup>m</sup>, 2 Minuten auf 12<sup>h</sup> und 14<sup>h</sup>. Gegen 15<sup>h</sup> hat in den die Meteore immer quieszier auf. Sehr häufig war der Radius bei  $\gamma$  Persei, während der bei  $\beta$  Persei folgende nur zwei Meteore lieferte.

Am 10. August waren die Luftverhältnisse gut, der Mond unter dem Horizont. Während des ersten Teiles der Beobachtung wurde ich in meiner Arbeit von Herrn stud. phil. Lucas in freundlicher Weise unterstützt. Im Journal wurden 48 Meteore eingetragen. Die Beobachtung begann um 10<sup>h</sup> 30<sup>m</sup> und dauerte bis 14<sup>h</sup> 30<sup>m</sup>. Um dem Auge Ruhe zu gönnen, wurde die Beobachtung von 12<sup>h</sup> 5<sup>m</sup> bis 12<sup>h</sup> 7<sup>m</sup>, von 13<sup>h</sup> 0<sup>m</sup> bis 13<sup>h</sup> 10<sup>m</sup>, um 13<sup>h</sup> 53<sup>m</sup> bis 13<sup>h</sup> 54<sup>m</sup>, also im ganzen 4 Minuten ausgesetzt. Um 12<sup>h</sup> 21<sup>m</sup> ereignete das erste Meteor. Der Ortzeit nach waren fünf 1. Größe, zwölf 2. Gr., dreizehn 3. Gr., neun 4. Gr., eine 5. Gr. Vier Meteore hinterliessen einen Schweif, der 1<sup>+</sup> nachrechnete, eine von 2<sup>+</sup>, eine von 4<sup>+</sup> Dauer. Die Frequenzkurve weist ein Maximum wieder um 12<sup>h</sup> 30<sup>m</sup> auf, ein Maximum bei um 11<sup>h</sup> 0<sup>m</sup> etc. Am Schlusspunkt war wieder der Radius bei  $\gamma$  Persei, ihm folgt der bei  $\alpha$ , dann der

<sup>1)</sup> siehe diesjähr. Jahrb. 1895, No. 11.

bei = Perse, demal der bei + und schließlich der bei ß Perse Eigenheit. Ganzere Angaben über Zeit u. s. w. auf Wunsch zu übersetzen, ist Verfasser gerne willig. G. von Stempfl.

Der große Komet 1891 I. (Pierres Teil XIV.) Dieser Komet, der in unseren Gegenden nicht sichtbar wurde, erreichte nach der Berechnung von H. Thiele am 24. April seine Perihelien. In physischer Beziehung ist er von besonderem Interesse dadurch, dass er vom 2. Mai ab zwei Schwärze zeigte. Auf der Kap-Sternwarte wurde der Komet zuerst am 24. April beobachtet und Anfang Mai an mehreren Tagen photographirt. Auf Taf. XIV sind mehrere dieser Photographien reproduzirt. Fig. 1 zeigt die Ansehen des Kometen am 4. Mai mit 15 Minuten Exposition; Fig. 2 am 5. Mai mit 13 Minuten Exposition; Fig. 3 am 6. Mai mit 15 Minuten; Fig. 4 am 7. Mai mit 25 Minuten Exposition.

Am 12. Mai liess der vormalige erste Schwanz nach der Beobachtung von J. Lohr von Kap eine Länge von 25", er war der Helixstrichhöhe, während der andere kein Schwanz nur 1" lang war. Zwischen beiden Schwänzen zeigte sich noch zwei schwach Lichtstrahlen.

Ein neuer Katalog der veränderlichen Sterne. Das vollständigste bis jetzt vorhandene Verzeichniss der veränderlichen Sterne ist der 1886 von Chandler veröffentlichte (3.) Katalog, welcher etwa 480 Nummern umfasst. Bekanntheit hat sich indessen das Material so sehr vermehrt, dass die Herstellung eines neuen Katalogs immer mehr als dringendes Bedürfniss hervortritt. Unter diesem Umstande hat der Vorstand der Astronomischen Gesellschaft die Herausgabe eines neuen Katalogs der Veränderlichen beschlossen und die Ausführung dieser Arbeit einer Kommission, bestehend aus den Herren Dreyer, Hartwig, Müller und Oudemans, übertragen. Diese

Kommission wird auch die definitive Beschreibung der veränderlichen Veränderlichen, sobald die Lichtänderung sehr festgestellt ist, übernehmen. Endlich ist sie auch mit der Aufstellung einer Nomenclatur der in den letzten Jahren aufgefundenen und bisher noch unbekannt gebliebenen veränderlichen Sterne beschäftigt, die in Blick vertheilt werden soll.

Der Veränderliche  $\delta$  Carinae ist bezüglich seiner Periodendauer von Alex. W. Roberts genauer untersucht worden,<sup>1)</sup> wobei sich ergab, dass die Länge dieser Periode einer bestimmten unklaren Veränderlichkeit entspricht. Die frühere beobachtete Helligkeitsänderung des Sterns ist von Lacaille 1752 März 1, der denselben 7. Größe fand, und nach demselben die Veränderliche nicht weit von seiner Helligkeitsmaximale sein könnte. Genauere und zahlreichere Beobachtungen über denselben liegen aus 1867 vor und Roberts konnte durch Bearbeitung derselben zu folgendem Ergebnisse:

1. Die mittlere Periode der Lichtschwankung von  $\delta$  Carinae beträgt 389.1 Tage, sie variiert zwischen 392.4 und 313.8 Tagen.
2. Die mittlere Grösse dieser Dauer wurde 1856, die obere 1877 erreicht.
3. Gegenwärtig (1900) beträgt die Periodendauer 391.4 Tage.
4. Der Cycles dieser periodischen Schwankungen wird in 37 oder 38 Jahren durchlaufen.

Es wäre von Wichtigkeit, diesen Stern spectrographisch zu verfolgen, um die Bewegung desselben in der Galaxiehülle zu Eric und deren etwaige Änderungen festzustellen.

Neuer Veränderlicher im Optischen 76 1900. Thomas D. Anderson hat mit<sup>2)</sup> dem von Stern, James Orr (1855 O) ist

$$\alpha = 17^{\text{h}} 42^{\text{m}} 30^{\text{s}}$$

$$\delta = +11^{\circ} 15'$$

<sup>1)</sup> Monthly Notices LRI, 3, p. 552.  
<sup>2)</sup> Astron. Nachr., No. 302.



und der sich nicht in der Folge durchmischung löst, verständlich ist. Er fand im 1890 Nov 9 eine 92 Grösse, dagegen Mitte Juli 1901 schwächer als 10. Grösse.

Zahl der Sterne bei photographischen Aufnahmen von verschiedener Dauer der Exposition. W. Strasshoff vom Tschient-Observatorium hat kürzlich eine interessante Mitteilung veröffentlicht,<sup>1)</sup> im Sommer 1899 machte er am dortigen photographischen Refraktor von 13 cm Öffnung eine Aufnahme der Sternhaufen  $\delta$  und  $\gamma$  im Perseus von 30 Stunden Expositionsdauer, die längste Dauer, soweit bis jetzt bekannt. Die Platten wurden während dieser Nächte, vom 5. bis 17. August, exponirt, trotzdem sind die Scheitelchen der Sterne gewöhnlich rund und die schwächere Prägung der Platten zeigt nirgends die geringste Spur von Nebelhaftigkeit. Die Gesamtzahl der dargestellten Sterne ist nicht so bedeutend, als man bei diesem mitten in der Milchstrasse gelegenen Sternhaufen hätte erwarten konnte; sie beträgt auf einer Fläche des Himmels von vier Quadratgrad 47000 Sterne. Augenmerkenswerth sind die beiden Haufen  $\delta$  und  $\gamma$  im Perseus nicht sehr reich an Sternen, was auch durch die Störung der Vertheilung der Sterne der verschiedenen Grösseklassen in diesem Haufen bestätigt wird.<sup>2)</sup> Die photographischen Aufnahmen mit langer Expositionsdauer haben für die Studien über den Bau des Universums eine grossartige Tragweite. Aus diesem Grund geht W. Strasshoff einige Sternkatalogen pro Quadrant des nördlichen Himmels des Himmels, aber bei verschiedener

Expositionsdauer der Platten. Es sind folgende:

Expositionsdauer pro Quadrantgrad	Zahl der Sterne
Perseus	
01 <sup>h</sup>	100
02	150
50	500
100	1500
200	1700
Ringhaufen in der Löwe	
050	500
08	700
10	9000
200	10000
Sternhaufen $\delta$ und $\gamma$ im Perseus	
01 <sup>h</sup>	100
04	500
10	2000
10	1000
200	11000

Zur Ergänzung fügt Strasshoff noch einige Zählungen auf Clivitis bei, die am Kap mit einem gleichgrossen Instrument erhalten wurden und zwar in der Umgebung von  $\gamma$  Argus

Expositionsdauer	Zahl der Sterne pro Quadrantgrad
2 <sup>h</sup>	10000
12	50000
24	100000

Man darf übrigens nicht übersehen, dass alle diese verschiedenen Gegenstände nicht der Milchstrasse stark befallen

**Fremde für Freunde der Himmelsbeobachtung.** Aus dem Laboratorium des -Sirius- sind mehrere grossere und kleinere, sehr gut erhaltene Fernrohre zum Verkauf ausgestellt worden. Fremde der Himmelsbeobachtung, welche die Anschaffung eines solchen Instrumentes beabsichtigen und sich darüber noch mehr wenden, lasse ich an jeder gewünschten Auskunft gerne bereit. Dr. Klein

<sup>1)</sup> Astron. Nachr. No. 2718

<sup>2)</sup> Publ. de l'Observ. de Tschient, No 2, p. 28.



**Planeten-Ephemeriden.**

Mittlere Berliner Zeit				Mittlere Berliner Zeit											
Jahr	Rektascension			Declination			Oberer Meridian-Abzug	Jahr	Rektascension			Declination			Oberer Meridian-Abzug
	h	m	s	°	'	"			h	m	s	°	'	"	
<b>Merkur</b>								<b>Venus</b>							
1900	Dec 1	20 43 47 71	— 17 08 20 19	32 46	Dec 1	20 20 49 56	— 18 08 30 4	3 17							
	10	20 23 47 53	— 18 08 33 13	32 0		20 20 21 58 55	— 18 08 33 13	3 19							
	20	20 08 47 71	— 18 08 44 17	32 58		20 20 00 49 15	— 18 08 33 13	3 17							
	30	20 00 47 53	— 18 08 51 13	32 59		20 19 44 49 15	— 18 08 33 13	3 19							
	31	20 00 47 53	— 18 08 51 13	32 59		20 19 44 49 15	— 18 08 33 13	3 19							
<b>Mars</b>								<b>Jupiter</b>							
1900	Dec 1	20 20 47 53	— 18 08 30 4	3 17	Dec 1	19 18 07 44	— 19 12 39 13	3 3							
	10	20 21 58 55	— 18 08 33 13	3 19		19 18 08 54 00	— 19 12 39 13	3 3							
	20	20 23 47 53	— 18 08 44 17	3 17		19 18 08 54 00	— 19 12 39 13	3 3							
	30	20 25 37 53	— 18 08 51 13	3 19											
	31	20 25 37 53	— 18 08 51 13	3 19											

**Sonnenbedeckungen durch den Mond für Berlin 1901.**

Monatstag	Sonnen	Größe	Eintritt		Ausgang	
			h	m	h	m
December 11	α Aquarii	27	3	13 1	7	47 5
"  19	λ Plejaden	27	3	37 5	4	17 5
"  29	α Tauri	75	3	47 5	7	54 5

**Lage und Größe des Saturnringes (nach Bond)**

- Datum 17. — Grösse des Ringes: 14 10". — Masse des Ringes: 24 21"  
 Erhebungswinkel der Erde über der Ringebene: 14° 30' westl.
- Datum 4. — Mittlere Scheitel der Ellipse: 10° 10' 0 00"  
 Scheitelpunkt: " " " 10° 10' 0 00"  
 Halbmesser der Sonne: 17' 12 00"  
 Parallaxe: " " " 0 00"

**Stellungen der Jupitermonde im December 1901.**



**Stellungen am 21<sup>ten</sup> für das Anblick im astronomischen Fernrohr.**

Tag	West.	Ost.
1	2 3 4 5 6 7 8 9 10 11 12 13 14 15 16 17 18 19 20 21 22 23 24 25 26 27 28 29 30 31	1 2 3 4 5 6 7 8 9 10 11 12 13 14 15 16 17 18 19 20 21 22 23 24 25 26 27 28 29 30 31
2	2 3 4 5 6 7 8 9 10 11 12 13 14 15 16 17 18 19 20 21 22 23 24 25 26 27 28 29 30 31	1 2 3 4 5 6 7 8 9 10 11 12 13 14 15 16 17 18 19 20 21 22 23 24 25 26 27 28 29 30 31
3	2 3 4 5 6 7 8 9 10 11 12 13 14 15 16 17 18 19 20 21 22 23 24 25 26 27 28 29 30 31	1 2 3 4 5 6 7 8 9 10 11 12 13 14 15 16 17 18 19 20 21 22 23 24 25 26 27 28 29 30 31
4	2 3 4 5 6 7 8 9 10 11 12 13 14 15 16 17 18 19 20 21 22 23 24 25 26 27 28 29 30 31	1 2 3 4 5 6 7 8 9 10 11 12 13 14 15 16 17 18 19 20 21 22 23 24 25 26 27 28 29 30 31
5	2 3 4 5 6 7 8 9 10 11 12 13 14 15 16 17 18 19 20 21 22 23 24 25 26 27 28 29 30 31	1 2 3 4 5 6 7 8 9 10 11 12 13 14 15 16 17 18 19 20 21 22 23 24 25 26 27 28 29 30 31
6	2 3 4 5 6 7 8 9 10 11 12 13 14 15 16 17 18 19 20 21 22 23 24 25 26 27 28 29 30 31	1 2 3 4 5 6 7 8 9 10 11 12 13 14 15 16 17 18 19 20 21 22 23 24 25 26 27 28 29 30 31
7	2 3 4 5 6 7 8 9 10 11 12 13 14 15 16 17 18 19 20 21 22 23 24 25 26 27 28 29 30 31	1 2 3 4 5 6 7 8 9 10 11 12 13 14 15 16 17 18 19 20 21 22 23 24 25 26 27 28 29 30 31
8	2 3 4 5 6 7 8 9 10 11 12 13 14 15 16 17 18 19 20 21 22 23 24 25 26 27 28 29 30 31	1 2 3 4 5 6 7 8 9 10 11 12 13 14 15 16 17 18 19 20 21 22 23 24 25 26 27 28 29 30 31
9	2 3 4 5 6 7 8 9 10 11 12 13 14 15 16 17 18 19 20 21 22 23 24 25 26 27 28 29 30 31	1 2 3 4 5 6 7 8 9 10 11 12 13 14 15 16 17 18 19 20 21 22 23 24 25 26 27 28 29 30 31
10	2 3 4 5 6 7 8 9 10 11 12 13 14 15 16 17 18 19 20 21 22 23 24 25 26 27 28 29 30 31	1 2 3 4 5 6 7 8 9 10 11 12 13 14 15 16 17 18 19 20 21 22 23 24 25 26 27 28 29 30 31
11	2 3 4 5 6 7 8 9 10 11 12 13 14 15 16 17 18 19 20 21 22 23 24 25 26 27 28 29 30 31	1 2 3 4 5 6 7 8 9 10 11 12 13 14 15 16 17 18 19 20 21 22 23 24 25 26 27 28 29 30 31
12	2 3 4 5 6 7 8 9 10 11 12 13 14 15 16 17 18 19 20 21 22 23 24 25 26 27 28 29 30 31	1 2 3 4 5 6 7 8 9 10 11 12 13 14 15 16 17 18 19 20 21 22 23 24 25 26 27 28 29 30 31
13	2 3 4 5 6 7 8 9 10 11 12 13 14 15 16 17 18 19 20 21 22 23 24 25 26 27 28 29 30 31	1 2 3 4 5 6 7 8 9 10 11 12 13 14 15 16 17 18 19 20 21 22 23 24 25 26 27 28 29 30 31
14	2 3 4 5 6 7 8 9 10 11 12 13 14 15 16 17 18 19 20 21 22 23 24 25 26 27 28 29 30 31	1 2 3 4 5 6 7 8 9 10 11 12 13 14 15 16 17 18 19 20 21 22 23 24 25 26 27 28 29 30 31
15	2 3 4 5 6 7 8 9 10 11 12 13 14 15 16 17 18 19 20 21 22 23 24 25 26 27 28 29 30 31	1 2 3 4 5 6 7 8 9 10 11 12 13 14 15 16 17 18 19 20 21 22 23 24 25 26 27 28 29 30 31
16	2 3 4 5 6 7 8 9 10 11 12 13 14 15 16 17 18 19 20 21 22 23 24 25 26 27 28 29 30 31	1 2 3 4 5 6 7 8 9 10 11 12 13 14 15 16 17 18 19 20 21 22 23 24 25 26 27 28 29 30 31
17	2 3 4 5 6 7 8 9 10 11 12 13 14 15 16 17 18 19 20 21 22 23 24 25 26 27 28 29 30 31	1 2 3 4 5 6 7 8 9 10 11 12 13 14 15 16 17 18 19 20 21 22 23 24 25 26 27 28 29 30 31
18	2 3 4 5 6 7 8 9 10 11 12 13 14 15 16 17 18 19 20 21 22 23 24 25 26 27 28 29 30 31	1 2 3 4 5 6 7 8 9 10 11 12 13 14 15 16 17 18 19 20 21 22 23 24 25 26 27 28 29 30 31
19	2 3 4 5 6 7 8 9 10 11 12 13 14 15 16 17 18 19 20 21 22 23 24 25 26 27 28 29 30 31	1 2 3 4 5 6 7 8 9 10 11 12 13 14 15 16 17 18 19 20 21 22 23 24 25 26 27 28 29 30 31
20	2 3 4 5 6 7 8 9 10 11 12 13 14 15 16 17 18 19 20 21 22 23 24 25 26 27 28 29 30 31	1 2 3 4 5 6 7 8 9 10 11 12 13 14 15 16 17 18 19 20 21 22 23 24 25 26 27 28 29 30 31

**Erhebungszeiten der Jupitermonde.**

September 2. I. Co. D. 2<sup>h</sup> 10<sup>m</sup>    December 2. I. Sa. I. 2<sup>h</sup> 30<sup>m</sup>  
 I. Tr. E. 2<sup>h</sup> 30<sup>m</sup>, December 4. II. Sa. I. 2<sup>h</sup> 10<sup>m</sup>    December 6. III. Tr. E.  
 2<sup>h</sup> 30<sup>m</sup>.    December 12. I. Tr. I. 2<sup>h</sup> 30<sup>m</sup>.    December 11. I. Co. D. 2<sup>h</sup> 30<sup>m</sup>  
 December 13. II. Sa. II. 2<sup>h</sup> 30<sup>m</sup> 15.    December 18. III. Tr. I. 2<sup>h</sup> 30<sup>m</sup>  
 December 19. II. Co. D. 2<sup>h</sup> 30<sup>m</sup>    December 19. I. Tr. E. 2<sup>h</sup> 30<sup>m</sup> I. Sa.  
 II. 2<sup>h</sup> 30<sup>m</sup>.

Die Saturnmonde sind im Monat December 1901 nicht zu beobachten.



Fig. 1.  
Nal. 4  
(Mach-Chapuis)



Fig. 2.  
Nal. 5  
(Herschel)



Fig. 3.  
Nal. 6  
(Perrotin)



Fig. 4.  
Nal. 7  
(Perrotin)

Blatt 104.

Teil XIV.

Der grosse Komet 1901 L.  
Nach Photographien auf der Kap-Spitze.



# SIRIUS.

Zeitschrift für populäre Astronomie.

Centralorgan für alle Freunde und Förderer der Himmelskunde.

Herausgegeben

unter Mitwirkung hervorragender Fachgelehrter und renommierter Schriftsteller  
von Dr. Hermann J. Hirte in Köln i. Rh.

November 1901.

«Wissen und Erfindung sind die Freunde und die  
Berechtigung der Menschheit.» — Goethe.

Jeden Monat 1 Heft. — Jährlich 12 Mk.

Verlag von EDUARD HEINRICH MAYER in Leipzig.

**INHALT:** Eine wichtige Studie über Sonnenfleckens-Meteorologie. S. 211. — Die Eaten des Kometen 1911 I. S. 212. — Die Stromspitze und ihre Tullien. Imb. Ausfall. Winter-  
schiffen. (Schiffen) S. 213. — Ergebnisse neuer Untersuchungen mit dem Millimeter-  
spektrum der hellen Sonnenflecke. S. 214. — Der letzte Sturmsturm der Himmelskunde.  
Von A. S. (Fortssetzung) S. 215. — Vermischtes Nachrichten. S. 216. — Auswärtiger  
Kalendar. S. 217.

## Eine wichtige Studie über Sonnenfleckens-Meteorologie.<sup>1)</sup>

John Clayton ist in seiner Abhandlung „The Eclipse Cycle and the Diurnal Cycle“ (Proc. Amer. Acad. Arts and Sci. XXVI, Jan. 1901, S. 211 bis 215) an einem grossen Schritt weitergegangen als alle bisherigen Untersuchungen der Erscheinungen der Sonnenfleckens-Meteorologie! Bis jetzt hatten wir im allgemeinen wenig mehr als einige zerstreute Beobachtungen über Temperatur, Luftdruck, Windrichtung etc., welche während der Sonnenfleckenperiode gemacht und meistens kaum Zusammenfassung der Resultate in Tabellen wiedergegeben wurden. In seiner Studie über

die meteorologischen Daten, welche anlässlich der letzten Sonnenfleckenperiode vom 28. Mai 1900 gewonnen wurden, hat Clayton Resultate von grosser Wichtigkeit abgeleitet welche in zwei der grössten Probleme der Meteorologie Licht bringen.

Die meteorologischen Veränderungen während der Sonnenfleckenperiode werden von den meisten Meteorologen, wie die tägliche und cyclonische, betrefend und dem auf Karten der Vereinigten Staaten für den 28. Mai, 29. 13<sup>h</sup> und 9<sup>h</sup> Zeit des 75. Meridians, eingetragen. Diese Karten zeigen, dass die Winde hauptsächlich ihre Richtung verkehrten, während der Schwere sich von der einen Seite des Äquators zur anderen bewegte, dass beide Karten zeigen eine ausgesprochene anticyclonische Circulation

<sup>1)</sup> Aus der Meteorologischen Zeitschrift. Nach einer vorläufigen Abhandlung von Dr. Ward in Science, N. S. Vol. XXII, No. 572, 5. März 1901, S. 252.

und ein Ausströmen der Luft, welches sich vom Scheitel auf eine Distanz von ca. 2400—3200 km erstreckt. Die Temperaturerhöhung infolge der Sonnenbestrahlung erstreckt sich auf der Nr. Karte als eine ovale Fläche. Im zentralen Teile dieser Fläche beträgt die Temperaturerhöhung mehr als  $4.4^{\circ}\text{C}$ , und diese Fläche der gelbsten Karte liegt ungefähr 300 km hinter dem Kern des Scheitels. Eine dritte Karte wurde gezeichnet, in der die Stationen nach der Entfernung vom Weg des Scheitels geordnet sind und die nacheinander folgenden 15 Minuten-Beobachtungen für Intervalle von ca. 900 km eingetragen worden, wodurch eine synoptische Karte gewonnen wurde, welche die beobachteten Verhältnisse für jede Station oder Gruppe von Stationen für die verschiedenen Teile des Scheitels zeigt. Diese synoptische Karte zeigt deutlich eine anticyclonale Circulation des Windes um den Kern des Scheitels bis zu einer Entfernung von ca. 2400 km. Ausserdem sind Änderungen vorwiegend von einem realen Ring nach auswärts gerichteter Winde. Die Isobaren zeigen eine elliptische Fläche mit kalter Luft im Centrum (mittl. baromet.  $13^{\circ}\text{C}$ ) ca. 900 km hinter dem Scheitel. Es gab eine Zunahme der absoluten und relativen Feuchtigkeit während der Sonnenbestrahlung, die Vorzeichen derselben sind sehr ähnlich jenen der Temperatur. Die Luftdruckänderung zeigte bei dieser wie bei jedem Sonnensturm, dass in eine zentrale Fläche relativ hoher Luftdruck trat; mochte ein denselben Luft um Ring minimales Drucke und ausserhalb des letzteren, ausserhalb des Hochschaltens, ist wieder ein Ring maximalen Drucke.

Die niedrige Temperatur, die Circulation der Winde und die Form der Luftdruckkurve, alles was darauf hin, dass sich infolge der Sonnenbestrahlung eine Cyclone mit kaltem Centrum gebildet hatte, wie sie Ferrel beschreibt. Clayton sagt, dass die Sonnenbestrahlung einem Experiment der Natur zu ent-

sprechen ist, bei welchem alle Ursachen, welche bei der Entstehung einer Cyclone gewöhnlich zusammenwirken, ausgeschlossen mit Ausnahme einer direkten und oberflächlichen Wirkung der Temperatur. Die Beobachtungen zeigen, dass diese Temperaturerhöhung in entschieden kurzer Zeit eine Cyclone mit kaltem Centrum mit jeder Windcirculation und Luftdruckverteilung hervorbringen kann, welche zum Wesen einer solchen Cyclone gehören. Die Temperaturerhöhung wirkt als erste Ursache, um eine Cyclone hervorzubringen, die Anticyclone ist eine zweite Erwärmung, ein Teil der Cyclone. Die Sonnenbestrahlung-Cyclone musste, um mit dem Scheitel gleichen Schritt zu halten, sich fortwährend im Scheitel neu bilden und hinter denselben fortziehen wieder auflösen. Die Bewegung bei dieser Abweichung ist einer Wellenbewegung.

Auf Grund dieser Entdeckung, dass eine kurze Temperaturerhöhung während der Sonnenbestrahlung eine gut ausgebildete Cyclone hervorzubringen kann, welche den Scheitel mit einer Geschwindigkeit von ungefähr 2000 km p. h. begleitet, nennt Clayton, dass die Temperaturerhöhung infolge der Bestrahlung von Tag und Nacht ebenfalls eine Cyclone mit kaltem Centrum hervorzubringen muss oder wenigstens Tendenz dazu hat. Da der Temperaturerhöhung eine Cyclone mit warmem Centrum hervorbringt oder hervorzubringen strebt, so muss an jedem Tage der Morgen zur Bildung zweier Cyclonen vorhanden sein, eine nahe dem kaltesten Teil des Tages und eine zweite nahe dem wärmsten Teil mit hohem Luftdruck dazwischen, welcher die Cyclonen warmer, beziehungsweise kalter Luft umgibt. Diese Ursachen müssen nach Ansicht des Verfassers ganz oder teilweise die wohlbekannte doppelte tägliche Periode des Luftdruckes hervorzubringen, ein Problem, welches die Meteorologen lange Zeit in Verlegenheit brachte und für welches bei jetzt keine ganz befriedigende Erklärung gegeben worden ist. Der Über-



Höhenwinde in Cordoba (Argentinien) und auf dem Berg Hill haben im allgemeinen entgegengeordnete Richtungen, wenn man auf eine Windrotation bis um zwei Cyklenzentren, welche im Aquator Schmelzen, und auf ein Ausströmen der Luft vom hohen Luftdruck zwischen denselben.

Claytons Folgerungen, welche in weiterer Ausdehnung in einem bald erscheinenden „Bulletin of the Blue Hill Observatory“ publiziert werden sollen (mit anderen verbunden), sind von grossem Interesse und hoher Wichtig-

keit. Seine Erklärung der täglichen Variation des Barometers scheint viel Wahrscheinlichkeit für sich zu haben, sodass wir zu dem besten über diesen schwierigen Problem zu stellen ist. Die Meteorologen werden jetzt mit mehr Interesse häufigen Sonnenflecken ausgetauscht, nachdem Clayton gezeigt hat, welche Bedeutung dieselben für die Meteorologie haben. Hoffentlich wird Clayton Zeit und Gelegenheit finden, seine Untersuchungen auf verknüpfte Sonnenflecken auszuweiten.

## Die Bahn des Kometen 1897 I.

Ein definitive Bahnbestimmung dieses Kometen hat Dr. Johannes Müller unterzogen und bringt publiziert.<sup>1)</sup>

Dieser Komet wurde am 2. Nov. 1896 von dem Astronomen der Lick-Sternwarte, C. G. Perrine, entdeckt. Er erschien zuerst als kleine, runde, schwache Nebelmasse, ohne jede Spur eines Schweif, mit einem deutlich ausgeprägten Kern, der jedoch weniger ein sternartiges Centrum, als eine schwachere, allseitig in die Nebelhülle übergreifende Lichtverdichtung gewesen zu sein scheint. Zur Schwelbildung scheint es, so lange der Komet beobachtbar war, nicht gekommen zu sein, und wenn es am letzten sichtbar, so ist er sicher sehr schwach gewesen. Nur die Beobachter in Oxford gaben einmal einen äusserst schwachen fächerförmigen Schweif gesehen zu haben, der sich von der Koma aus nach Norden bis *graciosa*, während die Sonne südwestlich vom Kometen stand, und der viel schwächer war, als die Koma. Der Beobachter in der runden Nebelmasse hob sich gut ab, sodass ein allgemein sichere mikrostructurte Erscheinungen,

wenigstens vor dem Perihel, möglich waren. Ob aus den Bemerkungen der Oxford Beobachter, dass der Kern nicht am 4. November, wohl aber am 5. November sichtbar gewesen sei, der Schluss auf eine starke physische Veränderung gestattet ist, dürfte zweifelhaft sein. Der Durchmesser der runden Koma wurde zwischen 11<sup>h</sup> und 2 Bogenminuten, die Helligkeit des Koma durchschnittlich als 12. Größe geschätzt. Die Gesamthelligkeit des Kometen, dessen Beobachtungen in der ersten Hälfte des November und das December durch Marschall bemerkt wurden, scheint im Laufe der ersten, bis Dec. 11 reichenden Beobachtungsperiode etwas zugenommen zu haben. Der Kern, der nicht ganz in der Mitte, sondern im nördlich vorragenden Teile der Koma stand, hat sich im Laufe der Zeit wahrscheinlich etwas nach Süden gezogen. So bemerkt Herr v. Engelhardt in Dresden, dass am 24. November kein spherischer Kern, sondern mehrere kleine Punktechen, die dem Kometen ein granuliertes Aussehen gegeben hätten, den optischen Schwerpunkt des Kometen gebildet hätten, und in der zweiten mit Feb. 23 begrenzten Beobachtungsperiode bemerkt ein Beobachter in Rio de Janeiro, dass am 3. März kein ausgeprägter Kern

<sup>1)</sup> Annon. Abhandlungen der Expedition nach der Antarktis, No. 2, Mai 1894.

verhanden gewesen sei. Auch sind die Beobachtungen dieser Periode dann wenig, dass der Komet stets ein schwach zu beobachtendes Objekt gewesen sei, obwohl die Helligkeit nur wenig geringer gewesen zu sein scheint, als vor dem Perihel, eine Erscheinung, die nur durch das Fehlen eines gut definierten Kerns erklärt werden kann.

So kann es nicht Wunder nehmen, dass diese Beobachtungen auch dem Perihel, die wegen der grossen ähnlichen Dehnbarkeit des Kometen nur auf der Südhalbkugel beobachtet werden konnten, erheblich schlechter untereinander übereinstimmen, als die vor dem Perihel angestellten, und dementsprechend die Bahnberechnungen bei der vorliegenden Berechnung im allgemeinen mit geringem Gewicht beachtet werden mussten, als die Sternwarten der Nordhalbkugel, die den Kometen unter wesentlich günstigeren Bedingungen beobachten konnten. Am 5. Mai wurde der Komet zum letzten Male gesehen und zwar auf der Sternwarte in Rio de Janeiro.

Nach diesem eingehenden Besonderen kamen über das allgemeine Aussehen des Kometen geht Dr. Müller auf die Bahnberechnung desselben ein. Als Ausgangspunkt seiner Neuberechnung legt er die von C. J. Merfeld veröffentlichten Bahnelemente des Kometen zu Grunde und berechnet daraus für die Dauer der Sichtbarkeit eine Ephemeride, welche die scheinbare Helligkeit des Kometen. Diese letztere ist mit der theoretischen nicht übereinstimmend, aber auch eine empirische Helligkeitsformel lässt sich aus dem geringen Beobachtungsmaterial nicht ableiten. Im grossen und ganzen ist es, dass der Komet nach dem Perihel stets etwas schwächer war als vor demselben und sehr schwach gerade Mitte April, wo er der Theorie nach ein Maximum seiner Helligkeit erreichen sollte. Dr. Müller geht nun in einer Darlegung der schärfsten Positionen der Vergleichskurve über, geht dann die über den Komet vorliegen-

den Beobachtungen und bemerkt deren Gewicht, wozu er eine Zusammenstellung der Abweichungen der einzelnen Beobachtungen von der Ephemeride geht. Diese Abweichungen sind zum Teil sehr beträchtlich, weshalb Dr. Müller eine, grossen Theilsumme berechnet und dann die Störungen ermittelt, welche der Komet während seiner Sichtbarkeit von den Planeten ausser dem Sonnensystem erfährt. Von diesen Störungen sind diejenigen nur diejenigen ausser dem Planeten Jupiter und Saturn merklich. Unter Berücksichtigung derselben fand sich schliesslich folgende wahrscheinlichste Bahn des Kometen:

$$\begin{aligned} T &= 1917 \text{ Februar } 2,18177 + 0,0000001 \\ e &= 127^{\circ} 18' 20,60'' + 0,21'' \\ \Delta &= 46 26 30,64 + 0,23 \\ r &= 196 \pm 1,55 \pm 0,03 \\ q &= 1,000000 \\ r &= 1,000000 + 0,000001. \end{aligned} \quad \left. \vphantom{\begin{aligned} T \\ e \\ \Delta \\ r \\ q \\ r \end{aligned}} \right\} 1917,9$$

Der Komet bietet hiernach das seltenste Beispiel einer ausgesprochen hyperbolischen Bahn. Wenn auch hyperbolische Elemente schon häufig gefunden worden sind, so darf man in dem meisten Fällen doch das Wachsen der Excentricität über den Wert Eins, als Rechnungsergebnis annehmen. Die einzigen Kometen, deren Bahnen während ihrer Sichtbarkeitsperiode durch elliptische oder parabolische Elemente selber nicht darstellbar sind, sind die in der folgenden Tabelle zusammengestellten:

Komet	T (in J. Berlin)	r
1844 III	1844 Dec. 13,7179	1,000000
1846 II	1846 Mai 2,3364	1,000000
1851 I	1851 Jan. 20,2968	1,000186
1852 II	1852 Juni 1,5704	1,000418
1852 III	1852 Mai 17,3147	1,000375
1857 I	1857 Febr. 2,3403	1,000000
1860 VII	1860 Sept. 14,0907	1,000754
1861 I	1861 April 13,0465	1,000004

Bei allen diesen Kometen lassen parabolische Elemente ganz aussergewöhnliche Fehler in den Abweichungen zwischen Beobachtung und Rechnung übrig.

«Aus der Tabelle ersieht man,» sagt Dr. Müller, «dass die Excentricität der Kometen 1890 I von der Eins stärker abweicht, als die aller anderen, mit Ausnahme des Kometen 1890 I, dessen Excentricität noch um 0,00139 größer ist. Wenn diese stark hyperbolischen Elemente schon beim Einsteig des Kometen in das Sonnensystem Gültigkeit besitzen hätten, so würden wir nach den bekannten Untersuchungen von Gauss, Seidger und v. Neubl auf deren weitere Ursprung des Kometen schließen dürfen. Jedoch können die Untersuchungen, die bisher in anderen Kometen über ihre Bahnform vom Einsteig in das Sonnensystem bis zu ihrer Einbeziehung angestellt wurden sind, so

dein Konvergenz der Excentricität gegen Eins oder gar zu unseiner Übergrabe in elliptische Elemente. So geht bei dem Kometen 1890 I die Excentricität der auf des Schwerpunkt der Sonne und der Planeten bezogenen Bahn in der Zeit von der Entdeckung an bis 3<sup>1</sup>/<sub>2</sub> Jahre rückwärts von 1,00139 auf 1,00015 herab, von woher daher, dass dieser Komet nicht ursprünglich eine hyperbolische Bahn beschreiben hat. Da die Verhältnisse für alle hyperbolischen Kometen vielfach ähnlich liegen, so behalte ich mir vor, die Strömungen, die der Komet 1897 I vor seiner Einbeziehung erlitten hat, zu beschreiben, um die Bahn zu finden, mit der er in das Sonnensystem eingetreten ist.

## Die Sternspektren mit teils hellen, teils dunklen Wasserstofflinien.

(Gibbs.)

Andrew Campbell des Sterns mit teils hellen, teils dunklen Wasserstofflinien eine Stellung zwischen den Typen Ic und Ia gibt, ist durch aber noch konsequenter eine Erklärung des Umstandes gegeben, warum in Spektren dieser Sterne einzelne Linien dunkel und dasselbe Stoffes hell und die andere dunkel erscheinen.

Hier tritt nun jetzt Prof. Schuster an <sup>1</sup> und gibt folgende Erklärung dieser Erscheinung, die sehr wahrscheinlich die richtige ist. Er sagt:

«Die Angabe, dass in diesen Spektren gleichzeitig helle und dunkle Linien desselben Stoffes vorkommen sollten, widerspricht den einfachen Folgerungen aus dem Kirchhoff'schen Satze darüber, dass man sie einfach als auswählend bezeichnen muss. — Die Untersuchungen, von denen einzelne Linien dunkel werden können, während andere desselben Elements hell bleiben, treten hier nicht in Frage, da sie ja

ausser der hier zu erörternden Erscheinlichkeit bei anderen der hierher gehörigen Sterne als weitere Komplettionen aufzufinden schliessen. — Das ist nach der Grund, weshalb ich die meiste von Campbell gemacht Angabe über die helle H $\beta$ -Linie bei  $\gamma$  Argus als der Bestätigung sehr bedächtig hingestellt habe, besonders da die Beobachtungen von  $\gamma$  Argus nur in 6" Höhe über dem Horizont angestellt worden waren. Allerdings scheint heute die allgemeine Gültigkeit des Kirchhoff'schen Satzes manche Zweifel zu erwecken, aber denselben beschränken sich doch nur auf die Grenzen seiner Anwendbarkeit und auf den Begriff der Temperatur bei hochtemperierten Gasen, nicht aber auf eine etwaige Ungültigkeit bei ganz einfachen Absorptionsercheinungen einer merklichen Wellenlängenabstimmung, welche letztere dann auf starken Druck oder auf Fluoreszenzercheinungen hindeuten.

Ich behaupte daher auch jetzt noch nachdem das gleichzeitige Vorkommen von heller und dunkler Wasserstoff

<sup>1</sup> Astron. Nachr., No. 3113.

Stern in mehreren Stufen durch die Campbell'schen Beobachtungen völlig hergestellt ist, dass diese Erscheinung in einem anderen Spektrum nicht vorkommen kann, dass ihr Auftreten also mit Bestimmtheit auf die optische Superposition zweier Spektren hinweist. Die Campbell'schen Beobachtungen sind es selbst, welche die folgende sehr einfache Erklärung ermöglichen.

Ich habe zuerst darauf aufmerksam gemacht, dass die helle H $\gamma$ -Linie im Spektrum von  $\gamma$ -Casiopeje weit unmerklicher sei, dem kontinuierlichen Spektrum selbst, sondern auf beiden Seiten von schwachen Absorptionen umschlossen ist. Die Erklärung hierfür, dass nämlich im Spektrum dieses Sterns sehr breite Absorptionen vorhanden seien, in denen sich die helle Linie befindet, führt weiter zu der Auflassung, dass es sich bei  $\gamma$ -Casiopeje um die optische Superposition zweier Spektren handle, ein kontinuierliches Spektrum mit dunklen Wasserstofflinien, welches wie bei allen Sternen der Klasse Ia zu stehen kommt, und ein Spektrum von hellem Wasserstoffstern, bestehend von der aussere Hälfte der Photosphäre sich projizierenden atmosphärisch ruhigen, bestehenden Wasserstoffatmosphäre. Dadurch, dass es mir weiter gelang, bei den verschiedenen Sternen des Typus Ia eine ganze Reihe von intermediären Gliedern zwischen Ia und dem typischen Spektrum Ia anzudeuten, deren ruhige Sterne sich nur durch ihre relative Atmosphärenhöhe auszeichnen lassen, gewann die obige Deutung an Sicherheit. Alle diese Untersuchungen waren allem auf das Ausschließen der H $\gamma$ -Linie gegolten, und die Campbell'schen Untersuchungen zeigen nun auf das deutlichste, dass bei dem sogenannten -hellen H $\gamma$ -Stern genau dasselbe Verhältnis vorliegt. Bei  $\gamma$ -Tau $\alpha$  z. B. ist die helle H $\gamma$ -Linie höchstens mit einer dunklen umschlossen, entsprechend dem Spektrum von  $\gamma$ -Casiopeje (nämlich bei der H $\gamma$ -Linie). Es unter-

liegt nur keinem Zweifel, dass auch die schwächeren Sterne dieser Art ähnliche Erscheinungen in ihrem Spektrum zeigen würden, wenn sie mit noch schärferen Instrumenten beobachtet werden könnten. Hierdurch fällt diese Stern nur die Linie aus, die in unserer Reihe zwischen  $\gamma$ -Casiopeje und  $\beta$ -Circini liegt, und lässt sich folgendermaßen charakterisieren.

Das -helle H $\gamma$ -Stern- besitzt ein kontinuierliches Spektrum mit dem stärksten dunklen Wasserstofflinien, genau so wie alle Sterne der Klasse Ia. Dieses Spektrum ist optisch überlagert von dem Linienansammlungen des Wasserstoffs, bestehend von der umgebenden Wasserstoffatmosphäre, sowie sich dieselbe aussere Hälfte der Photosphäre projiziert. Ist die Temperatur des Hauptteils dieser Atmosphäre nicht hoch, so brauchen nicht die stärksten Wasserstofflinien hell vorhanden zu sein, bei der niedrigsten Gittertemperatur — es ist nur unter Gittertemperatur die sogenannte innere Temperatur der Gase zu verstehen — ist nur H $\gamma$  vorhanden, bei etwas höherer kommt H $\beta$  hinzu usw. Dass aber in dem inneren Teile der Atmosphäre, die die größte Fläche in der Projektion bietet, die Temperatur geringer ist, als in den inneren dichteren Teilen, durch welche das Licht der Photosphäre unter allen Umständen hindurchpassieren muss, ist selbstverständlich. Die dunklen Absorptionen müssen also alle vorhanden sein, von den hellen brauchen nur wenige im beobachteten Teile des Spektrums sichtbar zu sein, wobei natürlich ihre Intensität nach dem Vorden zu abnehmen. Der von Campbell unter c) angegebene Satz ist daher richtig, der unter d) angegebene aber nur schwach, da die Abschwächung der Absorptionen nach Red zu nur durch die Überlagerung der hellen Linien erfolgt.

Diese Deutung scheint mir aber durchaus natürliche zu sein, da sich in völliger Übereinstimmung mit dem Campbell'schen Satz befindet. Bei

genauer Erforschung des Spektrums dieser interessanten Sterne wird sich nach der Reihe von Untersuchungsarbeiten, Linienverdoppelungen u. s. w., wie sie bereits durch die Beobachtungen Campbell's reproduziert sind, ergeben; es erscheint durchaus nicht unwahrscheinlich, dass dieselben mit ähnlichen Änderungen der Wellenlänge verbunden sein werden, die dann ähnlich wie bei den neuen Sternen zu denen sein würden.

Es ist freilich auch die von Campbell angeregte Frage gelöst, in welcher Weise der Übergang eines Sterns von der Klasse Ia nach Ia sich in den Wasserstofflinien äußern wird. Der typische Fall eines Spektrums der Klasse Ia würde der sein, dass auch die ähnlichen Wasserstofflinien hell auf ihrem höchsten Absorptionstadium stehen. Bei fortschreitender Abkühlung der Atmosphäre und Abnahme ihrer Höhe verschwinden zuerst die hellen Wasserstofflinien des Ultraviolet (zwei  $\gamma$ -Linien), dann immer weiter fortschreitend bei  $H_{\alpha}$ , welche zuletzt hell übrig bleibt (zwei  $\beta$ -Linien). Ist auch diese Linie verschwunden, so ist die Klasse Ib erreicht. Auch bei den Sternen dieser Klasse sind zunächst noch die letzten Reste der hellen Linien als Aufhellungen der Absorptionen zu erkennen (G-Owen), bis schließlich nach dem Verschwinden und der roten Typen Ia

mit völlig schwarzem Absorptionen verfliegt.

Der Wellenlängentafel haben ich mich auch auf meine Untersuchungen über das Spektrum von  $\gamma$ -Camelopardis hinwiesen, die geeignet sind, meine Schlüsse zu bestätigen. Zunächst ergebe neuerer Aufnahmen des Spektrums dieses Sterns, auf denen die bekannte Dopplerei der  $H_{\gamma}$ -Linie deutlich zu erkennen ist, dass diese Dopplerei in dieser breiten Absorptionen steht. Besonders wichtig aber sind die Angaben von Lockyer,<sup>7)</sup> nach denen einer  $H_{\gamma}$  nach  $H_{\delta}$  und  $H_{\epsilon}$  in denselben breiten Absorptionstadium stehen. Die Identität der hellen Wasserstofflinien oberhalb von  $H_{\delta}$  bis  $H_{\epsilon}$  ist auch zwar so, dass die Intensität der hellen Linien gleich derjenigen des kontinuierlichen Spektrums ist, sodass wir also über das Verschwinden der breiten Absorptionen auf deren Aufnahmen schon nicht mehr zu erkennen wäre. Hiermit stimmen auch die Angaben von Lockyer<sup>8)</sup> überein, nach denen das Absorptionstadium, auf welches sich die hellen  $H_{\gamma}$ -Linie ergreift, nach so schnell ist, wieviel sie sich nach  $H_{\delta}$  hell zu erkennen lassen. Fowler und Shackleton haben bei späterer Beobachtung auch das Absorptionstadium der C-Linie wahrscheinlich gemacht.

## Ergänze neuerer Untersuchungen mit dem Mills-Spektrographen der Lick-Sternwarte.

**19** Prof. W. W. Campbell hat von neuen Ergebnissen, welche mit dem Mills-Spektrographen am 25. Jänner der Lick-Sternwarte erhalten, folgende mit<sup>9)</sup> Die meisten Photographien, aus denen die Resultate abgeleitet wurden, sind vom (ausgeh.)-Astronomen W. G. Wright, die Stargen von Dr. Pease

und Prof. Campbell aufgenommen worden.

1. Sterne mit veränderlicher Geschwindigkeit in der Geradenlinie.  $\pi$  Cephei (a 134 5m d + 24<sup>h</sup> 51'). Der Doppelmenschen der dieses Fixsterns wurde schon im August 1899

<sup>7)</sup> Lick-Observatory Bulletin No. 4.

<sup>8)</sup> Monthly Not., Bd. 10, p. 505.

<sup>9)</sup> Proc. Royal Soc., Bd. 27, p. 126.

vermeht, späten Messungen bestätigten dies. Die Messungen der spektroskopischen Ausstrahlung ergaben folgende Geschwindigkeiten in der Sekunde (— bedeutet Ausströmung an die Erde, + Entlohnung von derselben):

1890 August 5	— 21 km
"      23	— 20 "
"      29	— 21 "
1900 Ochr. 7	— 3 "
Dez. 28	— 22 "

α<sup>1</sup> 31 Cygni δ 20° 15' δ + 42° 25'. Die Veränderlichkeit der Eigenbewegung wurde im Juli 1900 erkannt. Folgende Messungen sind bis jetzt erhalten worden:

1890 Jun. 20	— 12 km
Juli 2	— 11 "
1900 Juli 20	— 3 "
August 19	— 3 "
Ochr. 7	+ 0 "
1901 Jun. 3	+ 2 "

Auf der Harvard-Sternkarte wurde gefunden, dass dieser Stern zusammengezogenes Spektrum besitzt.<sup>1)</sup>

ε Persei (α 17 48° δ + 2° 52'). Die veränderliche Geschwindigkeit dieses Sterns wurde im September 1900 entdeckt, sie bewegt gerades den bisherigen Aufnahmen zwischen + 25 und + 25 km.

γ Persei (α 25 43° δ + 52° 22'). Im Oktober 1900 als Stern von sonderlicher Geschwindigkeit erkannt. Es liegen bis jetzt 6 Messungen vor, die früheste 1900 Ochr. 26 ergab + 18 km, die jüngste 1900 Dechr. 17 dagegen — 4 km. Auch dieser Stern besitzt nach den Beobachtungen der Harvard-Sternkarte ein zusammengezogenes Spektrum.

ζ Ceti (α 2° 8' δ + 3° 23') Im Oktober 1900 als Stern mit veränderlicher Geschwindigkeit erkannt; letztere schwankt auf dem 5 halbjährigen Aufnahmen zwischen — 9 und + 4 km.

η Hydor (α 6° 12' δ + 6° 45'). Die veränderliche Geschwindigkeit dieses Sterns wurde im Dezember 1900 erkannt. Folgende Ergebnisse darüber liegen vor:

1890 Nov. 27	+ 45 km
Dechr. 26	+ 43 "
1900 Dechr. 3	+ 35 "
"      28	+ 40 "
1901 April 25	+ 32 "

2. Geschwindigkeit im System ε Equulei. Dieser Doppelstern wurde 1892 als solcher von Otto Struve erkannt und die Umlaufzeit zu 11,4 Jahren angenommen. In demselben im September 1900 Aitken, dass diese Bahn den Beobachtungen nicht mehr genügt und Hurry machte wahrscheinlich, dass die Umlaufzeit nur 5—7 Jahre beträgt.<sup>2)</sup> Ende Juni 1900 ergaben die Aufnahmen mit dem Mills-Spektrographen die Eigenbewegungen des Sterns — 14 und — 13 km. Neue Aufnahmen im Frühling 1901 lassen die Spalten beider Komponenten deutlich erkennen und führten auf eine relative Geschwindigkeit von etwa 35 km. Die nächsten Monate wurden aus die Entscheidung bringen können, ob die Umlaufperiode 5—7 Jahre beträgt oder länger ist.

3. Radial-Geschwindigkeiten im System des Polarsterns. Im August 1899 wurde mit dem Mills'schen Spektrographen erkannt, dass der Polarstern deutlich ist. Wenige Aufnahmen ergaben zum Nachweise, dass die hellere Komponente sich um den mit einem unsichtbaren Begleiter gemeinsamen Schwerpunkt zu 24 2/3 bewegt. Die Beobachtungen im 1899 lieferten die genaue Wert dieser Periode: 24 2/3 = 14,1 km. Die Geschwindigkeit des Centres der Masse dieses System verliert zwischen — 15,0 km (1895) und — 11,8 km (1897), woraus folgt, dass dieses *Microscopium* zusammen mit einem dritten Begleiter auch eine Bewegung um längeren Periode besitzt. Neure Messungen im Mitte 1901 haben dies bestätigt.

4. Die radialen Geschwindigkeiten von α Persei und ε Ursae majoris betragen resp. 5,8 und 14,7 km nach den Messungen der Spektrographen,

<sup>1)</sup> Anales H. C. II XXXIII, 60.

<sup>2)</sup> Publ. A. S. P. 51, p. 20.

welche mit dem Mittelbaren Spektrographen aufgenommen wurden. Für jenen Stern hatte Newall, für diese Helioskopie verschiedene Geschwindigkeiten gefunden; beide Angaben werden also nicht bestätigt.

5. Die vom 2. derliche Geschwindigkeit von  $\delta$  Orionis in der Geschwindigkeit ist vom DeLalande entdeckt worden. Sie wird durch folgende drei Aufnahmen von Wray bestätigt:

1900 August 19 |  $\mu$  3.4m  
 „ 21 | +51 „  
 Sept. 17 | — 49

6. Die Geschwindigkeit der Sterns Gamma brydige 1830 in der Geschwindigkeit. Dieser Stern besitzt die starke Eigenbewegung von  $145''$

pro Jahr und seine Parallaxe ist nach Newcomb wahrscheinlich  $0.14''$ , wenn folgen würde, dass seine wahre Geschwindigkeit senkrecht zur Gesichtslinie  $240$  km in der Sekunde betragen würde. Es ist sowohl von größer Wichtigkeit, die Geschwindigkeit des Sterns in der Gesichtslinie durch den Spektrographen zu bestimmen. Das ist auf der Lock-Barnwort beobachtet gelungen. Die beiden besten Spektroskopnahmen 1901 März 18 und April 1 ergaben — 93 und — 97 km Geschwindigkeit in der Sekunde, im Mittel — 95 km mit einer möglichen Unsicherheit von etwa  $\pm 5$  km. Der Stern ist G5 Or und sein Spektrum vom Typus des Sonnenpektrums.

## Die letzten fünfzig Jahre der Himmelforschung.

Von A. N.

(Fortsetzung)

**D**ie dem letzten Stern, wie 1850 Humboldt, über die Wahrscheinlichkeit der Unwahrscheinlichkeit einer atmosphärischen Umhüllung des Mondes haben gewisse Observations-Ergebnisse gezeigt, dass keine Strahlenbrechung am Mondrande statt hat und dass sich demnach die Schreiber'schen Ansichten über die Mondatmosphäre und Mondhimmelsstrahlung widerlegt finden. Die Vergleichung der beiden Werte des Mondhimmels, welche zum Zwecke der direkter Messung, andererseits aus der Dauer des Verweilens vor einem Fixstern während der Bedeckung abgeleitet kann, lehrt, dass die Licht eines Fixsterns in dem Augenblicke, in welchem letzterer den Mondrand berührt, nicht für ein Zeitlich von einer gewissen Bewegung abgelenkt wird. Ware eine Strahlenbrechung im Rande des Mondes vorhanden, so müsste die zweite Bestimmung des Halbmessers um die Doppelte denselben Fehler ergeben als die erste; hingegen aber bei mehrfachen Versuchen beide Bestimmungen so nahe übereinstimmen, dass man keine erheblichen Unterschiede je hat auftreten

können. Der Existenz von Sternen, welche sich besonders schnell um dunkle Ränder bewegen, ist, erfolgt plötzlich und ohne allmähliche Verminderung des Strahlens, ebenso der Anzahl oder der Wellenrichtungen. Bei den wenigen Ausnahmen, die angegeben werden, mag die Ursache in zufälligen Verdichtungen unserer Atmosphäre gelegen haben.

Fehl man dem Erdmunde mit geringerer Umhüllung, so würde dort bei Mangel aller diffusen Lichtes die Gestirne so einem fast schwarzen Himmel rasen, keine Luftwellen kann dort tragen des Schall, den Umfang und die Höhe. Es ist der Mond für unsere Phantasie, die so gern ungenannt in das nicht zu Ergänzende übersteuert, eine ideale Sphäre.

Diese Ausführungen beziehen sich gewissermaßen noch die Standpunkt der Wissenschaft, wobei die Wahrscheinlichkeit dafür spricht, dass in einer gewissen hohen Epochen der Mond allerdings eine Atmosphäre (mit Meer) besitzen habe, die lang verschwinden ist.

Das der Mond eine gewisse geringe

Wärme ausstrahlt, war zuerst von Helios 1888 erkannt worden, aber über die Quantität derselben herrschte Ungeklärtheit, auch war nicht erwiesen, ob diese Wärme der Mondoberfläche oder dem Mondraum entstammt. Erst die Untersuchungen, welche Lord Rosse um 1850 anstellte, haben erwiesen, dass die Mondtemperatur nur zurückgebliebene Sonnenwärme ist, da sie bei kalten Mondfinsternissen schnell abnimmt. Die wichtigsten Untersuchungen über die Mondtemperatur und die Temperatur der Mondoberfläche hat aber erst in jüngerer Zeit der Amerikaner Frank W. Very veröffentlicht. Sie lehren, dass bezüglich seiner Temperaturverhältnisse der Mond völlig von der Erde verschieden sei, kein solches lebendes Wesen könnte dort gedeihen. Während der kalten Mondnacht sinkt die Temperatur der Mondoberfläche bis zu 200° unter den Gefrierpunkt des Wassers und steigt um die Mitte des Mondtages bei zum Sachgewisse denselben, um schon vor Sonnenanfang wieder auf den Gefrierpunkt herabzusinken. Diese extremen Verhältnisse sind in der Hauptsache lediglich eine Folge des Fehlens einer Mondatmosphäre und zeigen deutlich, welche Bedeutung der Luftdruck bezüglich der Wärmehaltung eines Weltkörpers zukommt. Darin ist auch die alte und so viel bestrittene Frage, ob auf dem Monde höheres organisches Leben vorzuliegen ist, vollständig zu verneinen. Insektenweltreiches Hölzlein nur die oberflächlich pflanzlichen Organismen dürfen dort in gestreuter Lichtheit vorkommen und die grünevolle Kiste der kalten Mondnacht überdauern, tierisches Leben ist dort gänzlich vorhanden.

Die grünen Fortschritte während der letzten 50 Jahre haben unsere Kenntnisse über den Planeten Mars vermehrt. «Wom.» sagt Humboldt im Kosmos, «das Studium der Mondoberfläche ist viele geographische Vorlesungen der Oberfläche unserer Planeten wertvoll, so sind dagegen die Analogien, welche

Mars mit der Erde darbietet, ganz meteorologischer Art. Ausser den dunklen Flecken, von denen einige schwarzlich, andere, aber in sehr geringer Zahl, gelblich und von der grünen Konkretefarbe sogenannter Seen umgeben sind, enthalten auf der Marscheibe noch, sei es an den Polen, welche die Polarnische bedeckt, sei es nahe dabei an den Äquipolen, abwechselnd zwei weisse, schneehelende Flecken. Es sind dieselben schon 1785 von Philipp Mariti wahrgenommen, doch die Zusammenhang mit ähnlichen Veränderungen auf dem Planeten ist erst von Herschel, dem Vater, 1794 beschrieben worden. Die weissen Flecken werden wechselweise grösser oder kleiner, je nachdem ein Pol oder mehrere Winter oder warmer Sommer eilert. Arago hat in seinem Polarskop die Intensität des Lichtes dieser Schneeweisse des Mars gemessen und dieselbe zweimal grösser als die Lichtstärke der äusseren Scholle gefunden. In den physikalisch-meteorologischen Beiträgen von Müller und Beer sind vorerwähnte graphische Darstellungen der Nord und Südpolregion des Mars enthalten, und diese markenmäßig im ganzen Planetensystem ausgeführt. Erwähnung ist dann auch allen Veränderungen der Jahrezeiten und der kräftigen Wirkung des Polarnisens auf den wechselnden Schuss durch Marsberge angebracht worden. Sorgfältige arbeitsfähige Beobachtungen haben auch gelehrt, dass die dunklen Marsflecke auf dem Planeten selbst ihre Gestalt und relative Lage konstant beibehalten. Die periodische Erregung von Schneeflecken als meteorologischen, vom Temperaturwechsel abhängigen Neubeschlägen und dergl. cyclische Phänomene, welche die dunklen Flecke darstellen, sobald sie durch die Einwirkung des Planeten an den Rand der Sehweite gelangen, machen die Existenz einer Mondatmosphäre mehr als wahrscheinlich.»

Mit Recht schätzen diese Ergebnisse der unmittelbaren Beobachtung wenig



lich einen besondern Planeten von hohem Interesse, aber was mehr sind die seitdem überworfenen Zweifel? Eine genaue Ansehung unserer Kometenriehe über den Mars begann mit der Entdeckung desselben 1873, als Schiaparelli in Mailand den Planeten zum Gegenstand seiner Beobachtungen wählte. Jede spätere Opposition des Mars brachte neue Aufschlüsse, aber auch neue Schwierigkeiten der Deutung und schließlich kam, zum ersten Male auf wissenschaftlich-mathematischem Gebiete, die Frage nach der Existenz lebender, mit Verweil begabter Wesen amerselbst unserer Erde zur Diskussion. Die merkwürdige, geometrisch regelmäßige Anordnung der schwarzen, dunklen Linien auf der Marsoberfläche, denen Schiaparelli den Namen Kanäle gegeben hat, scheint in der That keine andere Deutung zuzulassen, als die eines künstlichen Ursprungs zu bestimmten Zwecken. Dagegen ist die sogenannte Verdoppelung der Kanäle bezüglich ihrer Weite noch durchaus problematisch, ja in der neuesten Zeit scheinen sich die Ansichten früherer Beobachter dahin zu verschieben, dass diese Verdoppelung nur eine optische Täuschung ist. Diese Meinung ist von verschiedenen Seiten ausgesprochen, aber am nachdrücklichsten von Gerull und F. Pickering vorgetragen worden. Letzterer wie darauf hin, dass der Abstand der beiden Linien, welche den verdoppelten Kanal versehen, in dem offenkundigen Verhältnisse zur Distanz des benutzten Fernrohrs steht. Das Instrument, mit welchem Schiaparelli 1872 die erste Verdoppelung entdeckte, war ein fuchsiges Refraktor, der hinsichtlich nach Parabolismus von  $10''$  bis  $1'$  Distanz ausweisen musste. Diese Distanz entspricht bei dem damaligen Abstände des Mars, einem Bogen auf der Oberfläche desselben von  $5''$  bis  $6''$ . Die Distanzen der nächsten Linien der Kanäle von 1892 sind nun genau so gross. Als Schiaparelli im 1898 mit dem neuen 16-Zoller der Mailänder Sternwarte beobachtete, dessen kreisförmige

Kraft doppelt so gross ist als die des älteren Instrumentes, erkannte die Distanzen der Parabolismus der Doppelkanäle wiederum in der Grösse der Sichtbarkeit, nämlich annähernd  $2''$  bis  $4''$ , selten  $5''$ . Am 24-Zoller der Lowell-Sternwarte sind die Abstände der beiden Linien wiederum geringer, sie betragen  $2''$  bis  $3''$  der Marktagel und stehen ebenfalls in der Grösse der Wahrscheinlichkeit für diesen Instrument. Auch schienen diese Distanzen nicht zu, wenn Mars sich während der Beobachtungen der Erde näherte und von kleinerem Durchmesser um die Hälfte wuchs. Wie diese Verdoppelungen optisch zu stande kommen, ist noch nicht ausgesprochen, manche denken an Spannung im Objektivglas des Fernrohrs durch den Druck der Strahlen der Fixation, doch sind dies allen nur Vermutungen. Durch diese optische Deutung wird natürlich die merkwürdige Anordnung der Einsenkungen, welche vorher erwähnt wurde, nicht in Frage gestellt und Abmessung der Wahrscheinlichkeitszahlen auf das Vorhandensein höherer Wesen auf dem Mars, wie aus Thiersches richtige Folgerungen zu sehen versteht, kann diesem Schlusse kaum entgegen-

Das Mars ebenfalls so, wie um die Mitte des vorigen Jahrhunderts eine ausgesprochene Ansicht. Noch in der ersten Auflage des Handbuchs der Himmelsmechanik (1871) heisst es: „Man bestreitet keinen Mars, wenigstens keinen solchen von irgendwelchem planetarischem Durchmesser.“ P. Arctus hat die Umgebung des Planeten mit dem grossen Apertur der Kopenhagener Sternwarte genau und unabhängig untersucht, was seiner Arbeit entspricht, dass kein Marsmond existiert, der einen Durchmesser von 2—3 Meilen besitzt. Auch würde ein solcher Mond, wegen der geringen Masse seines Hauptplaneten, bei einem sehr beträchtlichen Abstände von 62 Eigenradien zur Zeit der Opposition schon eine Umdeutung von 31.3 Tagen heissen.“

Dieses Schlussfolgerungen über Größe und Umlaufzeit eines Marsmondes und richtig, aber 1873 sagte der Königl. Beobachter zu Washington, dass Mars in grosser Nähe, als d'Arrest annahm, tatsächlich zwei Monde hat, von denen keiner eines Durchmesser von 2 oder 3 Meilen besitzt und die sich in der Umlaufzeit keine Zeit von nur 12 und 30,3 Stunden um ihren Hauptplaneten bewegen. Diese von Hall in Washington gemachte Entdeckung hat damals das grösste und auch berühmteste Aufsehen erregt und es war fastbald die allbekannteste, welche seit Entdeckung des Neptun im Planetensystem gemacht worden ist.

In dieser Beziehung hat nur noch eine planetarische Entdeckung gleichen Aufsehen erregt, nämlich diejenige eines kleinen Mondes des Jupiter durch Bernard am 9. September 1892. Dessen Trabant, den der Königl. Beobachter des Lick-Observatoriums sagte, ist unter dem schon vorhandenen Monde im Sonnensystem der schwächste und selbst im Königl. Observatorium zu Washington hat man nicht gesehen worden. Nur der 30-Zoller in Pulkowo hat ihn gezeigt.

Stärklich des Jupiter ist die Entdeckung eines kleinen Trabanten die wichtigste Wahrnehmung seit der Mitte des vorigen Jahrhunderts. Denn wenn auch das unermessliche Aufsteigen einer grossen roten Wolfe auf diesem Planeten die Zeit seiner Beobachtung vermindert hat, so sind doch wichtige neue Aufschlüsse über die physische Beschaffenheit des Jupiter nicht gewonnen worden. Wir wissen nicht, ob Jupiter ein bereits erhaltener Weltkörper ist wie Mars und die Erde, oder ob er noch fortwährend gebildet, in die schwächere Beobachter wie Prof. Hough, der den Jupiter seit Jahren mit einem grossen Instrumente untersuchte, hält für möglich, dass dieser Planet sich im Zustande der Wagnerei befinde. Die Schwärze der Scheibe seiner Monde, wenn sie auf die Scheibe des Jupiter

fallen, kann dagegen nicht gelöst gemacht werden, dass ihm grosse Dunkelheit durch Kommastrahlung von

Ungleich wichtiger sind die Ergebnisse, welche bezüglich des Saturns seit einem Systeme im letzten halben Jahrhundert erhalten worden. Zunächst war es die Umlaufzeitdauer dieses Planeten, die richtig bestimmt werden konnte. Bis dahin war W. Herschel der einzige gewesen, der genau den Saturns bestimmten Flecke auf der Saturnringe gesehen hatte und daraus die Rotationsdauer derselben zu  $10^h 39^m 56^s$  ableiten konnte. Dies war im Jahre 1790, aber von da ab bis zum Jahre 1876 blieb Saturn ohne sichtbaren Fleck während dieser Umlaufzeit dreimal um die Sonne. Die neue Rotationsbestimmung des Saturns durch Prof. Hall gründete sich nicht auf die Wahrnehmung dunkler Flecke, sondern auf das Aufsehen heller Punkte an der Oberfläche der Saturnringe, die vom 1. Dezember 1876 bis zum 2. Januar 1877 verfolgt worden konnten und eine Umlaufzeit von  $10^h 34^m 36^s$  ausgaben. Auch später haben verschiedene Beobachter heller Stellen auf dem Saturn nachweisen können, kann denselben aber mit genügender Bestimmtheit, wie durch die Umlaufzeit ableiten.

Das Ringssystem des Saturns erregte 1849 die Aufmerksamkeit der Astronomen durch die Wahrnehmung von O. P. Bessel im Königl. Observatorium zu Cambridge (N.-A.), dass zwischen der inneren Ringkante und der Saturnoberfläche ein matter (dunkler) schwächerer Ring existiere sei. Diese Wahrnehmung fand Bestätigung, je es ergibt sich, dass der sogenannte dunkle Ring schon 1838 von Galle gesehen worden war, der ihn jedoch für eine Fortsetzung des Saturns selbst Doppelt rings hielt. Die später von Encke behauptete Trennung des dunklen Ringes, den die Amerikaner jetzt «Cayring» nennen, haben sich nicht bestätigt, dagegen ist es Bernard 1869 und 1894 gelungen, sehr klar Beobachtungen über

die Transparenz dieses Ringes anzu-  
nehmen, aus denen sich ergibt, dass  
dieselbe in einem Inneren, dem Sa-  
turn nächsten Teilte am dichtest-  
sten anzunehmen, gegen den äußeren Ring  
hin immer dünner wird und plötzlich  
in diese übergeht.

Von den beiden äußeren Ringen, die  
durch die dunkle Cassinische Linie ge-  
trennt sind, wachte man seit W. Herschel's  
Beobachtungen annehmen, dass sie ge-  
genseitig Transparenz aufweisen, dass  
Linien, die nach kurzem Bestehen wieder  
verschwinden. Im Jahre 1817 entdeckte  
Fauke am Vatican Beobachter Lebrator,  
dass auf dem inneren Ringe noch eine  
keine Linie existiert, die konstant ist  
und welche man gegenseitig nach einem  
kurzen Aussehen als «Häufung» be-  
zeichnet. Aber auch sie ist nicht dau-  
ernd, selbst in den größten Refraktoren  
bleibt sie zu Zeiten unsichtbar. Über  
die physische Beschaffenheit der Ring-  
bildung war man lange im Unklaren.  
Dass bei denselben lokale Ausbügungen  
und kleine Neigungen der einzelnen  
Ringscheibe gegen einander vorkommen,  
hatten schon Besatz Untersuchungen  
der 1780 bis 1810 gemachten Beob-  
achtungen des Verwunders und  
Wiedererschens der Ringe anfang  
ergaben. Auch schon in nach Ponce's  
Umsatzungen, dass die Abweichungen  
des Ringes von der regelmäßigen Ge-  
stalt nicht konstant, sondern in der  
höchsten Masse des Ringes veränderlich  
sind. Derselbe Mathematiker kam zu  
dem Resultate, dass Laplace's Hüllig  
Ringgewässer Annahme, jene Unregelmäßig-  
keiten trügen durch ihre Konstant  
zur Stabilität des Ringensystems wesent-  
lich bei, durchaus unrichtig ist. Nach  
Laplace sollte letzteres auf dem Pla-  
neten sitzen, wenn es nicht von einem  
oder mehreren Strömungen des Wasser  
verflüchteten Materie bestände. Über-  
haupt nicht die Wirkung der Saturn-  
materie dahin, die Komidene der  
Mittelpunkte des äußeren Ringes und  
des Planeten innerhalb gewisser Grenzen  
zu erhalten, und so oben eine große

Anzahl von beständig überhaupt die  
dauernde Existenz dieses Ringes gar  
nicht möglich.

Diese Meinungen und die unerschöpf-  
liche Hypothese über Beschaffenheit und  
Bildung des Ringensystems sind durch  
die Untersuchungen von Kater richtig  
gestellt worden. Der letzter zu früh  
verstorbenen Division der Luft-Sternen-  
hat mit dieser Untersuchung, welche  
noch in die Zeit seiner Wirksamkeit  
an Alghery-Observatorium fällt, eine  
wissenschaftliche Arbeit sphärisch-  
geographischer Natur geliefert, welche in  
Berag auf Fresnel's (aus besprochen da-  
sicht und in den besondernwärtigen  
Lehrungen gehört, die das vergangene  
Jahrhundert auf experimentell-natur-  
wissenschaftlichen Gebiete aufzuweisen hat.

Die Anzahl der bekannten Saturn-  
monde betrug vor 50 Jahren 8, von  
denen der letzte im September 1848  
entdeckt worden war; seither sind auch  
bis jetzt nur 8 Trabanten des Saturn  
entdeckt, während man sich doch schon  
8 Monde auf Photographien an Annapolis  
von Prof. Peabody erkannt, aber sel-  
den nicht wiedergefunden worden zu,  
also zweifelhaft bleibt.

Bezüglich der beiden neuesten Pla-  
neten Uranus und Neptun haben die  
Beobachtungen seit 1846 nichts wesent-  
lich Neues ergeben, nur wissen wir  
heute bestimmt, dass Uranus von vier  
Monden, Neptun aber nur von einem  
Monde begleitet wird, was vor fünf  
Jahren noch ungewiss war.

Sehr vorzüglich haben sich während  
des letztverflossenen halben Jahrhunderts  
unser Kenntnisse der Massenwerte der  
einzelnen Planeten vervollkommenet;  
auch die Bahnenwerte und deren Ver-  
änderungen sind durch die unerschöpf-  
lichen Rechnungen von Prof. Newcomb  
genauer ermittelt worden und endlich  
haben sich auf der Erde selbst gewisse  
geringe Schwankungen der Perihelien  
genau, die schon längst vermuthet,  
denn sicherer Nachweis aber erst in  
den letzten Jahren gelungen ist, während  
über die Ursache und die genaue

Perioden derselben noch Dunkelheit herrscht. —

Stad mit dem Gebrauche der planetarischen Weltraum die Fortschritte der astronomischen Erkenntnis innerhalb der letzten 50 Jahre sehr erheblich gewesen, so würden doch dadurch die früheren Ansichten gar nicht umgeworfen, sondern nur erweitert. Ganz anders auf dem Gebiete der Meteor- und Kometa-Astronomie, hier wurden die früheren Meinungen völlig aufgegeben und neue, richtigere Ansichten von grosser Tragweite begründet.

Das Kometa- und Meteor-Astronomie befand sich um die Mitte des vorigen Jahrhunderts noch auf einem sehr unentwickelten Standpunkte. Zwar war ausser dem Halley'schen Komete mit noch als Hippolyte Delaunay noch eine Gruppe von sechs periodischen Kometen als sogenannte «vierte Kamille» entdeckt worden, aber zu einer allgemeinen Theorie der Kometen-Erscheinungen führte noch so gut als alles Auch über die physikalische Beschaffenheit dieser Weltkörper hatte man nur Vermutungen. Hierboldt basirte sich um 1850 derbühliglich Erkennung zusammen indem er sagt:

«Der Meteoriten-Festanz des so selten begrenzten Kopfes oder Kernes, wie der des Schwefels der Kometen, ist ein so mächtiger, als derselbe keine Störbewegung verursacht, und als durch Augen würdige Entdeckung in dem Kosmoslichte ein Anteil von polarisation, also von reflectirtem Sonnenlichte erweisen wird. Wenn die kleinste Stone durch die demstärksten Ausströmungen des Schwefels, je fast durch das Centrum des Kernes selbst, oder wenigstens in grösster Nähe des Centrums, in ungeschwächtem Glanze gesehen werden, so zeigt dasselbe die Analyse des Kosmoslichtes. » Augen Versuchen, dieses ich begreift, dass die Dunkelheit trotz ihrer Zartheit fremdes Licht zurückwerfen könnend, dass diese Weltkörper «aus vollkommenen Durchsichtigkeit haben,

da das Licht nicht umgebend durch sie durchgelte. In einer so kleinen Nebelgruppe erzeugen die stromende Sonnenlichte grosser Licht-Intensität, wie in dem Kometen von 1843 oder demsonstigen Leuchten eines Kernes um so mehr Verwirrung, als man eine ständige Zurückwerfung des Sonnenlichtes annimmt. Selbst aber in dem Kometen nicht deshalb auch ein eigener Licht-erzeugender Prozess möglich?»

Die einströmenden, veränderlichen Teilchen Millionen Flecken lagern, beschleunigen, gelocherten Schichten verhalten sich in dem Weltraum und bilden vielfach, entgegen selbst des widerstandlosende bewundernde Flutlinie, welches die Bahn des Erdenförmigen Kometen allmählich verengt, oder sie machen sich mit dem stromen Weltraum, der sich nicht zu Himmelskörpern gebildet oder in der Bildung des Kometen verwickelt hat, welcher um als Dunkelheit leuchtet. Wir sehen gleichsam vor unsern Augen unzählige Teile verschwinden und anderen kommen, wo sie sich wiederum umgeben. So wahrscheinlich nun auch die Verdrängung einer des Weltraum flutenden gasartigen Flüssigkeit in der Nähe des Centralkörpers unseres Systems ist, so kann bei den Kometen, deren Kern nach Völligkeit in dem Sonnenlichte verflösset, diese die verdrängte Flüssigkeit doch wohl nicht als auf eine blossen Durchdringung bedacht gelacht werden. Wenn bei den Ausströmungen der Kometen die Ursache der Licht-reflectierenden Dunkelheit gewöhnlich sehr unbedeutend sind, so ist es um so zufälliger und für den Meteoritenzustand des Gestirns um so interessanter, dass bei einzelnen Individuen (z. B. bei dem Halley'schen Kometen Ende Januar 1835 am Kap der guten Hoffnung) eine Schärfe der Linien um so bemerklichen verdorren Teile des Kernes beobachtet worden ist, welche kaum eine unserer Heutigen-Öfen um je darstellt. Der berühmte Beobachter am Kap war gleich dem angegebenen, von der selbst gegenseitigen Anziehung der Teilchen

ausgesprochenen Ableitung mit einem Absonder-  
Gefühl, das von ihm so stark empfunden ist.

Das größte Aufsehen hatte die Ende  
1845 zuerst geäußerte Meinung des Reichs-  
schon Komites. Über die Ursache der Teilung konnte man zu diesem  
zeitigen Resultate gelangen, vielleicht  
wurde die Frage behandelt, ob der Vor-  
gang nicht auch schon bei anderen  
Komites sich ereignet habe. Der Kaiser-  
liche Komitee fuhr fort, seine Unter-  
suchung zu verweigern, nach Ersten Be-  
schlusses um je einen Tag nach dem  
Umfalle, und die von Oben aufge-  
stellte Hypothese, dass solche infolge  
der Hemmung des Altes geschehe, fand  
den meisten, aber teilhaft von Besatz  
nicht geteilt. Der meisten  
Komiteescheine erweisen sich als para-  
bolische, aber für einzelne Komites  
haben sich hyperbolische Bahnen er-  
geben. Um 1878 konnte bereits die  
Übertragung (von Dr. Klein) ange-  
sprochen werden, dass einzelne Komites  
in sehr späteren Jahren sich bewegen.  
„Es ist“ sagte derselbe damals, „daran-  
zu nicht zweifeln, dass ein Komitee, das als  
ein parabolischer Bahn unbegrenzt betrach-  
tet wird, nach einer gewissen Jahreszahl  
tatsächlich durch Anziehung der Materie  
teilweise gewisse noch unentwickelte  
Planeten, nach durch gewisse physikalische  
Revolutionsen in ihm selbst, in eine  
ganz andere Bahn gewendet wird und  
aus dieser resultiert. Einige gegen-  
wärtig als parabolisch betrachtete Komites  
von kleiner, gleichzeitiger Umfassung  
sind trotzdem früher niemals gesehen  
worden, eine Tatsache, die sich an  
einzelnen Punkten erfüllt, dass sie  
eben früher noch nicht in ihrer gegen-  
wärtigen Bahn erschienen. Der  
meisten parabolischen Bahnen sind  
einander ebenfalls nicht ähnlich, man  
schliesst daraus auf eine Verschiedenheit  
der betreffenden Komites. Dieser Schluss  
aber ist vielleicht nicht richtig und die  
Anzahl der innerhalb unserer Sonnensystem  
vorhandenen Komites geringer,  
als man bisher angenommen gewesen

ist. Vielleicht sind einzelne der frühe-  
ren in dem Verfallenen unter an-  
scheinendem Namen aufgeführten  
Komites identisch, aber jedenfalls in  
einer durch ständige Erfindung, die wir  
schwerlich noch kann lösen, eine be-  
deutend modifizierte Bahn zurückge-  
kehrt. Die älteren Beobachtungen sind  
hier nicht genau genug, um die Mög-  
lichkeit zu zeigen. Wohl aber finden sich  
denartige Andeutungen in den neueren  
Beobachtungen, die sehr häufig mit nicht  
aller grossen Effizienz führen. Die Zu-  
kunft muss hierüber entscheiden, es  
wird dies auch zeigen, weshalb der  
Hilfsliche Komitee nicht so beständig  
getrieben ist innerhalb der letzten  
2000 Jahre, während andere wohl mehr  
wandlung erfahren sind.

Die Historiker haben die Jahreszahl  
haben diese Ansicht durch ihre Beobach-  
tung und, wie natürlich, wesentlich er-  
weitert und geklärt. Wir wissen heute,  
dass die Komites von kurzer Umfassung  
unserer Sonnensystem zu sein, vorzugsweise  
besteht durch die Planeten Jupiter und Saturn,  
dass diese Komites in späteren Jahren ent-  
wickelt sind, besonders durch die  
klassischen Arbeiten von Prof. Kuntz  
in Kiel, dass bei gewissen Komites  
Trennungen vorgekommen haben der  
Art, dass aus einem Stammkomitee  
mehrere in elliptische Bahnen laufende  
Tochterkomitees entstanden. Unsere  
Forschung wissen von den  
Komites hat die Spekulation gebracht  
und besonders die Untersuchungen  
Schaparelli über die Sternschuppen.  
Die Untersuchungen besonders zur Zeit  
des grossen Sternschuppenfalls im  
November 1893 hatten gezeigt, dass  
diese Materie aus gewissen Punkten  
des Himmelsgebirges, des sogenannten  
Rachonspunktes, entstehend und diese  
Tatsache verbunden mit der ähnlichen  
Änderung und der Helligkeit der Stern-  
schuppen, führte für Prof. Schaparelli  
die Möglichkeit einer neuen Bild-  
bildung einer Sternschuppen-  
schwärme. Dessen Bahnen ergeben

nach als langgestreckte Ellipse gleich dem Urdarm der Kometen und gleichzeitig fand sich auch für jede derselben ein Komet, der in die entgegengesetzte Richtung zwischen Sternschnuppen und Kometen liegt, dessen grossere Zugbindung Seite der weiteren Untersuchungen wurde. Es ergab sich, dass aus der Auflösung von Kometendünnschuppen-schwärmen resultieren und diese, wenn die Erde nur durchläuft oder ihnen sehr nahe kommt, jene grossen Meteorregnen verursachen, welche im November 1798, 1833, 1866 und 1872 das Staunen der Beobachter erregten. Aber auch in den düsteren Sternschnuppenschwärmen bringen die Entfernungen der einzelnen Meteorpartikeln voneinander noch immer mehr als 500 km und daher ist ihre fortgesetzte Auflösung durch die Anziehungen der Planeten gewiss. Zusammenfassend berichtet Prof. Weiss die Beobachtungen der Meteorstürme zu den Kometen, indem er sagt: Die Kometen sind bewegliche Körper, welche durch ihre Bewegung oder ständige Auflösung die Wirkung erzeugen, die Vorgang, der sich in unserem Planetensystem vollzieht. Das periodische Kometen und insbesondere der Auflösung durch die Wirkung der Sonne nicht angezogen und nur verbleibt sich bei jeder Rückkehr der Kometen zum Perihelium. Wenn ein Komet in der Zwischenzeit merklichen Schwingungen um die Planeten unterworfen gewesen, so müssen die planetarischen Teilchen in der neuen und nicht in der alten Bahn gewirkt werden. Der physikalischen Beobachtungen haben über die physikalische Natur der Kometen keine wesentlichen Aufschlüsse gegeben. Als wahrscheinlich kann man annehmen, dass die Kometen aus kleinen Partikeln bestehen, welche im Kern sehr dicht gedrängt sind und unter dem Einfluss der Sonnenhitze allmählich frachten, indem sie je nach der Sonnenhitze bis zu sehr hohen Temperaturen erhitzt werden.

Aus dem Ritze der Fiesterer

haben die letzten 50 Jahre eine lange Reihe der wichtigsten Entdeckungen geliefert und den Blick in die Planetennähe wesentlich geöffnet. Die Zahl und der Inhalt der Sternkarten und der Zustand der besten Sternkarten vor um 1850 dürftig und durchaus nicht auf systematische Berücksichtigungen beruhend. Neben Haedings Sternkarte nur die grossen Untersuchungen der Sternkarten der Berliner Akademie aus jener Zeit zu nennen, im Untersuchungen, das aber schon veraltet war, aber es vollständig wurde. Diese Karten sollten, nach Beobachtung, insbesondere von Kometen des Himmels auch die Mittel darlegen, etwa nach vorhandene Körper unseres Sonnensystems unter den Fixsternen erkennen zu lassen. Auf 24 Blätter bestehender Sternkarten zwischen 15° nördl. und süd. des Äquators wiedergegeben und alle Sterne zusammengefasst werden, die mit einem Fernrohr (oben Kometsucher von 24 Öffnung bei zehnmaliger Vergrösserung sichtbar und Doppelsternpaarvermessungsmessungen) hat deutlich eine so lange Zeit in Anspruch genommen, weil viele Mitarbeiter die Sache entweder liegen lassen oder nur sehr langsam betrieben. Die vollständige Fertigstellung dieser Sternkarten erfolgte erst im Jahre 1858, fünf Jahre früher als die grosse Angloamerikanische Planetenkarte erschien, die, innerhalb eines Zeitraumes von 7 Jahren, ganz allein auf der Sonnen Sternkarte angelehnt, die Berliner Karten viel hinter sich zurückliess.

Die Berliner Karten für den nördl. und die auf der Sternkarte zu Corchia nach dem gleichen Plan für den süd. Himmelsnordteil sind in der ersten Ausgabe enthalten die Grenzen dessen, was durch die Beobachtungen, monatliche Teiligkeit auf diesem Gebiete erreicht werden kann, die Ausdehnung derselben auf nur zwei weitere Grössenklassen würde vollständige Schweregrößen bedingen und dennoch eine Unvollständigkeit mit sich bringen, welche den Hauptzweck der Arbeit im Fecht

stellte. Zwei Jahre Chacoma mit 1842 begonnen, was grossen Aufsehen erregte, bis zur 11. Classe herabzusteigen, allein abgesehen davon, dass diese Arbeit nur einen schwachen Bruchtheil jenseits der Ekliptik umfassen sollte, geschweige denn nach Chacoma Todt zur Strecke, als die Fortführung desselben auf die Region von der Milchstrasse her herüber zu führen die Gelehrten Henry, die mit Fortführung der Ekliptik Chacoma beschäftigt waren, für die in die Milchstrasse fallende Erde derselben die Hilfe der Photographie in Anspruch genommen. Mit einem für die photographische Technik sehr unvollkommenen Objektiv von 150mm Öffnung gelang es ihnen, bei 10m Exposition Sterne 12. Classe in scharfen Bildern zu photographiren. Die Objektiv von 240 mm Öffnung liefert 1885 mit grossartigem Resultat und auf Beiseiten des Admiraletsch, damaligen Director der Pariser Sternwarte, trat ein astrographischer Kongress zu Paris zusammen, der 1887 das Decret zur Ausführung einer des ganzen Himmels umfassenden photographischen Sternkarte mit einer Sternstärke von 13<sup>ter</sup> Classe wird mittels photographischer Verfahren aufgenommen, die sämtlich demjenigen der Pariser Sternwarte entsprechen. Es findet eine Aufnahme mit Exposition von 5<sup>ter</sup> Dauer statt, welche die Sterne bis einschliesslich zur 11. Classe geht, und diese sollen durch ganze Messungen auf den Platten auf ein Standardstrahlensystem bezogen werden verbunden werden, sodass der Katalog der grossen Perseiden aller dieser Sterne entsteht. Eine zweite Aufnahme mit Exposition von einer Stunde liefert alle Sterne bis herab zur 11. Classeklasse und diese Platten werden die eigentliche Himmelkarte bilden, die größte und wichtigste astronomische Werk, welches die Gegenwart der Zukunft überliefern kann. Man schätzte, dass die Zahl der Sterne, welche auf diese Weise dargestellt wird, bis einschliesslich 11. Classe 3 Billionen, bis

zur 13. Classe dagegen vielleicht 30 Billionen beträgt. Das Aufsehen schienen stetig weiter, indessen wurden sich die Annehmungen sowohl nur auf recht erhebliche Kosten der Platten beziehen, als die Ableitung der Rechenoperationen und Verbesserungen eine ansehnliche Arbeit bedingt, sodass die Fortsetzung des Katalogs in der definitiven Gestalt erst nach vielen Jahren erwartet werden kann. Umfängliche von diesen Beobachtungen ist mit der Sternwarte in Cambridge (Massachusetts) unter Prof. Ed. Pickersogs Leitung und besonders mit der hochbegabten italienischen Gruppe in Paris seit 1881 eine überaus grosse Zahl von photographischen Sternkarten erhalten worden, die alle Teile des Himmels umfassen und eine hohe Bedeutung durch die Entdeckung neuer und veränderlicher Sterne, sowie der Positionen von neuen Planeten bekundet haben.

An der Hand der vervollkommenen Sternkarten und besonders der Sternstärken der besten Himmelskarte die Untersuchungen von Käte und später von Seeliger's wichtigeren Schlüssel über den Bau der Milchstrasse geführt, wiewohl es bis heute nicht möglich gewesen ist, die Ausdehnung dieses Systems zu ermitteln innerhalb zu ergründen.

Mit Hilfe des Spektroscops gelang es dagegen, die physische Korrelation der Fixsterne genauer zu erforschen und das ganze Meer dieser letzteren auf einige wenige Typen zurückzuführen, in denen sich der grossartige und sich mehr und mehr bemerkende Aufbau von Prof. Vogel in Potsdam, die Einzelbeobachtungen der Fixsterne überhaupt nicht auf verschiedenen Stufen darstellt. Die Anzahl der Sterne von denen man wusste, dass sie ihre Helligkeit in kürzeren oder längeren Perioden regelmäßig oder unregelmäßig ändern, war vor 30 Jahren nur gering. Im Kosmos wurden nach Apollonius Angaben, die damals die erste Autorität auf diesem Gebiete war, nur 24 Ver-

bedeutsame Möglichkeit. Über die Ursache der Veränderlichkeit des Sternes eben dieses noch bei Humboldt kann eine unge-  
 Vermutung und erst in der nächsten Zeit hat das Spektroskop bei mehreren Sternen die Lösung des Problems gegeben, indem er sie als Doppelsterne ansah, die periodisch einander für den Ausblick von der Erde aus verdecken. Hierbei gehören in erster Linie die sogenannten Veränderlichen des Algol-Typus, dann aber auch die Sterne des Lyn-Typus, während bezüglich anderer Veränderlicher sich zur Zeit kaum eine Vermutung aufstellen läßt.

Unerwartet rich vor die zweite Hälfte des 19. Jahrhunderts so sogenannten neuen Sterne in der ersten Hälfte jenes Jahrhunderts war nur die einzige Sterne dieser Klasse beobachtet worden, aber seit 1868 bis 1890 nicht weniger als 11, darunter mehrere von erheblicher Helligkeit. Die meisten sind freilich auch im Maximum ihres Lichtes schwach gebietet und nicht merklich vorüber gegangen, wenn nicht die photographische und spektrophotographische Untersuchung der Flamme, welche von der Harvard Sternwarte eingerichtet wurde, ihre Auffindung herbeigeführt hätte. Auch bezüglich der Ursachen der Aufleuchtens dieser Sterne haben sich, an der Hand der spektroskopischen Untersuchungen, bestimmte Ansichten ausbilden können, die wenigstens dann übernehmbar, daß der Vorgang in jedem Falle eine große Wellenstörung darstellt.

Was die Bestimmungen der Fixsterne, wie sie durch Messung der Parallaxen festgestellt wurden, anbelangt, so führte Humboldt im 3. Band des Kosmos neue Sterne auf, bei denen diese Messungen gelungen seien. Von den dort angegebenen Worten für diese Parallaxen Kosmos war disponiert von «*Comae* und «*Cygni* hinzu noch als der Wahrheit neue kommae angegeben werden, alle übrigen sind bestimmt Irrig. Aber auch die Angaben zu bezüglich der Fixsterneparallaxen nicht

viel weiter, doch gibt die Bestimmung photographischer Aufnahmen auch zu diesem Zwecke, einige Hoffnung für die Zukunft. Größer sind die Fortschritte auf dem Gebiete der Eigenbewegungen der Fixsterne insbesondere schon deshalb, weil mit der Zahl der Jahre, über welche sich die Beobachtungen ausdehnen, auch die Zahl und Genauigkeit der einzelnen Bestimmungen wachsen muss. Damit ist auch die Richtung der Sonnenbewegung durch den Wellenraum genauer bestimmbar geworden, und die spektroskopischen Ermittlungen der wahren Eigenbewegungen einer Anzahl von Fixsternen haben in diesem Werte für die Geschwindigkeit der Sonnenbewegung geführt, der zwischen 18 und 20 km pro Sekunde beträgt.

Was die eigentliche Konstitution unseres Fixsternsystems betrifft, so enthält die Frage, ob die Fixsterne, gruppenweise verteilt, nur aus untereinander bestehenden Partial-Systemen zusammengefasst sei, oder ob dies eigentliche Beziehung, ein Kosmos aller selbstständigen Fixsterne (Sonne) ein einziger, ständiger mit Masse angefüllter oder leerer, unangefüllter Schwerpunkt gedacht werden muss. «*Wir treten hier,*» sagte Humboldt vor 50 Jahren, «*in das Gebiet blosser Vermutungen solcher, denen man zwar eine wissenschaftliche Form geben kann, die aber keineswegs, bei der Unvollständigkeit des vorliegenden Materials von Beobachtungen und Analogien, in der Erde zu führen können, denn sich andere Teile der Astronomie schreien. Einer gründlichen mathematischen Behandlung solcher schwer lösbarer Probleme stellt besonders entgegen unsere Unkenntnis der Eigenbewegung einer gewissen Menge sehr kleiner Sterne (10<sup>4</sup> bis 10<sup>5</sup>), welche vornehmlich in dem so wichtigen Teile der Sternreihe, der wir angehören, in den Ringen der Milchstrasse, umgeben hellleuchtenden, riesenhaft erhellten. Die Betrachtung unserer Planetenbewegung, in welchen man von den kleinen Partial-Systemen der*



Monde der Jupiter, des Saturn und des Uranus zu beschreiben, dem allgemeinen Sonnensystems, zuführt, hat nicht zu dem Glauben geführt, dass man sich die Fixstern- und die umlage Waise, in viele einzelner Gruppen gestellt und durch viele Zusammenkünfte geschieden, wiederum (schwierig) Bestimmung solcher Gruppen gegenwärtig der überwiegender Anziehungskraft eines grossen Centralkörpers (einer ungen. Wärmeeinheit) unterworfen denken könne. Die hier herrschte, auf der Analogie unserer Sonnensystems gefällte Schlussfolgerung ist aber durch die bisher beobachteten Thatsachen widerlegt. In den verhaltenen Systemen können zwei oder mehrere selbstbestehende Systeme (Sonnensystem) einander, sondern um einen weit ausser ihnen liegenden Schwerpunkt, allerdings leicht in unserem Planetensystem, insofern etwas Ähnliches statt, nämlich Planeten ebenfalls nicht speziell um den Mittelpunkt des Sonnensystems selbst, sondern um den gemeinschaftlichen Schwerpunkt aller Planeten des Systems bewegen. Dieser gemeinsame Schwerpunkt aber ist, nach der relativen Stellung der grossen Planeten Jupiter und Saturn, bald in den körperlichen Umfang der Sonne, bald (nach ihrer Fall mit häufiger und unvollständigen Umlängen) Des Schwerpunkts, welcher in den Doppelsternen hier ist, ist demnach im Sonnensystem bald hier, bald auf Märsen stellt. Was man über die Möglichkeit der Annahme eines doppelten Centralkörpers im Schwerpunkt der Doppelstern- oder ursprünglich davor, aber schwach durch fremdes Licht erleuchteten, um ein bester Planeten untersuchen, gehört in den vorläufig erweiterten Reich der optischen Hypothesen.

Das gilt auch noch für die Copernicus. Zwar hatte Märsen versucht, zu bestimmten Resultate zu gelangen, indem er sich auf die Thatsache, dass sich Fixstern- Eigenbewegungen zeigen, stützt und folgende drei Möglichkeiten erklärte:

1. Die Sterngruppen werden durch einen Centralkörper hervorgerufen, dessen Massenübergewicht die zum Betrachter des Fixsternsystems erhebt.

2. Die Eigenbewegungen entstehen durch die gegenseitigen Wirkungen einander zufällig auftretender Sterne, ohne dass der ganze Fixsternsystem einen einheitlichen Organismus darstellt.

3. Die Fixsternwelt bildet ein einheitliches System ohne dazwischen liegenden Centralkörper, in welchem die Bewegungen sich nur auf den allgemeinen Schwerpunkt beziehen.

Die erste derselben ist aber sofort und entschieden zu verworfen, denn die Annahme eines die Fixsternwelt beherrschenden, im Masse überwiegenden Centralkörpers ist, durch die Fortschritte der Astronomie seit Herschel, für immer als unmöglich zu betrachten. Aber auch die bezeichnete zweite Möglichkeit kann nicht angenommen werden. Selbst blosser Voraussetzung widersprechen dem Wären die Eigenbewegungen im Fixsternsystem (den Resultat der zufälligen Gruppierung von einander Planeten, so könnte im allgemeinen das System keinen dazwischen liegenden Bestand haben, und die Wahrscheinlichkeit, dass es bei zur Copernicus existierte, wäre nur unvollständig geringe. Ausserdem hat Märsen mit geringer Mühe zeigen können, dass diese Annahme sich nach demselben nicht mit den Thatsachen der Beobachtung vereinigen lässt. Es verbleibt demnach nur die dritte Annahme eines Systems ohne dazwischen liegenden Centralkörper, mit einem Schwerpunkt, in welchem die Gesamtmasse bloss verteilt vereinigt ist. Märsen hat die Copernicus geprüft, welche sich aus dem zu seiner Zeit verfügbaren Beobachtungen für die Welt sowohl als die schwebere Lage jenes Schwerpunktes an Planetenbewegungen zeigen lassen.

Die Richtung der Sternbewegung und die Bestimmung, dass, unter Voraussetzung einer Krümmung der Sonne, das Centrum dieser Bewegung 80° von demjenigen Punkte entfernt liegen muss,

gegen welche die Bewegung gerichtet ist, gewissermaßen sich allein keine genügende Aufrechterhaltung, um die Lage der Gravitationskonstanten bestimmen zu können. Gewisse Bemerkungen über den Lauf und Umlauf der Milchstraue haben dagegen Müller und die Engländer um den Fühlungspunkt heraus, in der Richtung nach dem Stern-

bilde des Hies, geteilt und ihm schließ- lich verfallen, dem Schwerpunkt in der Milchstraue zu verfallen. So sind sogar Hinweise auf die Voraussetzung gesetzt, dass die Milchstraue ein System konzentrischer Sternbewegungen sei, deren Unvollständigkeit nachgewiesen ist, mehrdeutiger mag man die Hinweise denn gelten lassen. (Stern 1891)

### Vermischte Nachrichten.

Beobachtungen des Mars 1890 bis 1891 im Jarky. (Herrn Tafel XV.) Auf dem Privatobservatorium am 20. Juni haben die Herren C. Flammarion und J. Antonelli den Planeten Mars vom 12. October 1890 bis zum 19. Juli 1891 mit Aussicht beobachtet. Auf ihre damaligen Wahrnehmungen haben sie eine neue Markkarte in Meridianprojektion begründet, welche Tafel XV hier reproduziert ist. Von Interesse sind die Erläuterungen, welche der beiden Beobachter über den Einfluss verschiedener Luftströmungen auf die Gase der Bilder im Fernrohr machten. Bemerkenswert man das ideale beste Bild, welches der Planet in dem benannten Fernrohr dabei zu liefern mit 10, die schlechteste mit 0, so zeigte sich der Planet am besten (10) bei ruhiger anhaltender Luft, dann weniger gut (5) bei ruhiger Luft und demüthigen Himmel, schlechtere (1—2) bei Südwind bis süd-östlichen Winden und am schlechtesten bei südwestlichem Wetter aus Süd. Der Wind schädigt also der Schärfe und Deutlichkeit der teleskopischen Bilder an jedem Orte.

Der Planet Mars wandte seinen Nordpol der Erde zu und die Beobachter im Jarky haben die Abwärtens der nördlichen Schneekapseln, die bis zum Schluß Herr Beobachtungen ausserordentlich fortgesetzt, schließlich genau festgesetzt. Flammarion schätzte diese Eisreste Mitte October 1890-cum Beginn der Marsüber- flüge von 85—100, Mitte Januar von

45, Mitte Februar von 38, Mitte März von 28, Mitte April von 25 und Anfang Juli von 15. Schon 1890 haben beide Beobachter wahrgenommen, dass während der Schneekapseln teilweise eine vorübergehende Helligkeit an den Rändern der Schneekapseln sichtbar wird, wodurch die letzte über ihre wahre Begrenzung hinaus vergrößert erscheint. Dieses Phänomen wurde bei der damaligen Opposition etwa 14 Tage vor dem Sonnenwende der südlichen Marsatmosphäre während der Beobachtungen und darüber etwa drei Wochen fortwährend. Die Ränder der Schneekapseln, welche am 22. März recht schnell erschienen, sagten sich vom 24. März bis Anfang April verziehen und die Kapseln vergrößert, wenigstens weniger glänzend. Diese Vergrößerung kam durch Nebel, Nebel oder Wolken hervorgerufen worden. Von den Nebeln des Mars wurden 50 gesehen, darunter 40, die schon Schiaparelli sah, ein Komma, das Cassini entdeckt hat und drei neue Komma. Diese letzteren erfüllten die Namen Plutoneo, Penonno und Elyndico. Verdoppelungen wurden nur drei erkannt, von denen zwei Inpaare, nämlich die des Caffera, dessen beide Dage sich bis zum März Coma- rion überziehen und die des Cassini, die ohne Schweifgeißel zu sehen war.

Der Durchmesser des Planeten Merkur ist von Dr. J. J. See im Sommer 1890 und 1891 durch verschiedene Messungen am 28-colligen Refraktor

zu Washington bestimmt wurden<sup>1)</sup> Von den früheren Durchmesserbestimmungen dieses Planeten gilt bei jeder der von Seel (1832) ermittelte Wert von 6,60 als der sicherste. Mit diesem stimmen auch die übrigen, an Helikonster erhaltenen Werte des Merkur-Durchmessers gut überein und alle zusammen geben im Mittel 6,64. Dagegen wachen die an Postmikroskopien erhaltenen Werte erheblich herab zu, bis auf 6,00, im Mittel aus zwei Messungen 1891 und 1894, eines Durchmesser = 6,17, Campbell 1894 im grossen Lieb-Refraktor = 5,73. Das Ergebnis der Messungen von De See im 1893 ± 0,006, entsprechend einem wahren Durchmesser von 4,27 km ± 0,8 km. Die Abweichung von den Ergebnissen der Helikonstermessungen schreibt De See dem Umstande zu, dass das Helikonster infolge der Verwischung seiner besten Objektgläser unvollkommene Bilder gibt, die, in der Richtung des Durchschnites konstant, in der übrigen unvollkommen verfliegen erscheinen. Aus diesem Grunde sagt De See, sind die am Helikonster erhaltenen Durchmesser heller Planeten, wie Jupiter und Saturn, alle kleiner als die mit dem Postmikroskop bestimmten, während der Durchmesser des Merkur, welcher Planet als schwarze Scheibe vor der Sonne gemessen wurde, bei Helikonstermessungen darüber ungelahrt grösser erscheinen muss.

**Neue aufgefundenen Nebel und Sterne mittelgrossräumlichen Spectres.**  
 Prof. Edw. C. Pickering gab ein weiteres Verzeichniss von Objekten mit besonderen Spectren, welche von Mrs Fleming bei Untersuchung der Draper-Hemeraul-Photographien entdeckt wurden.<sup>2)</sup> Die Untersuchungen davon sind folgende, daru Reihenommen (a) und (b) hinter (c) für 1890 geben.

<sup>1)</sup> Astron. Media. No. 272.  
<sup>2)</sup> Harv. Coll. Obs. Circular, No. 60.

- | a         | β         |  |
|-----------|-----------|--|
| 24 56,8 m | — 72° 43' | Ein Stern des V. Typus angehört, in der kleinen Magellanschen Wolke stehend und die einzige Objectidener Klasse, welches Beispiel hier gefunden wurde. |
| 13 6,2 m  | — 73° 44' | Cometel in der kleinen Magellanschen Wolke.  |
| 49 48,9 m | — 64° 23' | Cometel in der grossen Magellanschen Wolke.  |
| 49 52,3 m | — 64° 50' | Schwacher Cometel (c), mit einer hellen Linie im Spectrum, nahe bei der Linie H <sub>β</sub> .   |

In Folge von Sperrung, besaß Prof. Pickering, nicht ein zweites Mittel zu entscheiden, ob das Object ein Cometel, ein Stern des V. Typus mit heller Wasserstofflinie H<sub>β</sub> oder ein Stern V. Typus ist, insbesondere, ob die Wellenlänge dieser Linie grösser, gleich oder kleiner als die der Linie H<sub>β</sub> ist. Dies geschieht, indem eine Stern-Platte dieser Art auf einer Sternspectrum-Platte derselben so gesetzt wird, dass die Bilder der umgebenden Sterne auf der einen mit der Wasserstofflinie H<sub>β</sub> in den Bildern der letzteren zusammenfallen. Wegen der Schwäche dieses Objectes und der geringen Dispersion ist es schwierig, die genaue Position der hellen Linie zu bestimmen.

- | a         | β         |   |
|-----------|-----------|---|
| 51 20,7 m | — 66° 27' | Dieses Object wurde im October No. 19 als Cometel angezeigt. Eine genauere Untersuchung nach der vorstehend beschriebenen Methode ergab die gegenwärtige Stellung des V. Typus. |

$\alpha$   $\beta$   
 10<sup>h</sup> 30.0<sup>m</sup> — 47° 53'. 5. Größe. Ein  
 bemerkenswertes Band  
 im Spektrum von  
 etwas kleiner  
 Wellenlänge als H $\beta$   
 scheint mit dem  
 charakteristischen  
 hellen Bande des  
 Sternspektrums des  
 V Typus zusammen-  
 zufallen.

Thatsächlich ist das Spektrum dieses  
 Sterns ähnlich demjenigen eines Sterns  
 des V. Typus umgekehrt auf einem kon-  
 stantischen Spektrum.

$\alpha$   $\beta$   
 15<sup>h</sup> 45.3<sup>m</sup> — 61° 52'. 6. Größe. Kon-  
 stantisches Spek-  
 trum, die Linien H $\beta$ ,  
 H $\gamma$ , H $\delta$  hell.

Das helle Linie H $\beta$  im Spektrum  
 von  $\gamma$  Cassiopei und  $\alpha$  Aquarii wurde  
 von Miss A. J. Cannon als veränderlich  
 erkannt.

Über die Bestang der photo-  
 graphischen Ansätze um die Nova  
 im Perseus schreibt E. v. Gotsche: }  
 «Das photographische Bild, welches ich  
 mit einem 10 $\frac{1}{2}$  zölligen Reflektor und  
 gleich großen Objektivsystem erhalten  
 habe, zeigt noch die hellen Linien H $\beta$ ,  
 H $\gamma$ , die sehr helle Linie I = 386, noch  
 eine schwächere I = 382 und einige  
 schwächere helle Linien.

Die helle Linie ist I = 386.7,  
 welche ich im Jahre 1852 mit dem  
 Objektivsystem in allen photographischen  
 Nebeln gefunden habe und welche ich  
 als charakteristischste Nebellinie be-  
 zeichnete. Sie ist im dem Spektrum  
 der Nova seit 8. April vorhanden, aber  
 mit der Zeit immer kleiner geworden,  
 sodass sie jetzt die hellste Linie im  
 ganzen Spektrum ist. Die zweitbeste  
 Linie ist H $\gamma$  I = 397.9, welche jetzt  
 heller ist als H $\beta$ .

Denn zwei Linien I = 365.7 und  
 367.0, für welche das Objektiv ganz un-

schädlichromatische Abweichung haben  
 wird, müssen die Ansätze erzeugen.

Im Frühjahre waren diese Linien  
 nicht so hell, das charakteristische Spek-  
 trum war damals viel intensiver, daher  
 war dies viel kürzere Expositionszeit  
 ausreichend, kräftige Bilder der Nova  
 zu erhalten, weil die schwächeren ultra-  
 violetten Linien waren unerschöpfend,  
 bei kürzere Exposition die Ansätze zu  
 bilden.

Es wäre sehr interessant, die  
 oberen hellen planetarischen Nebel  
 U.C. 4964, welcher auch die sehr helle  
 Linie I 366.7 im seinem Spektrum hat,  
 mit demselben Objektiv zu photo-  
 graphieren; er wird eine ähnliche, wenn  
 auch schwächere Ansätze zeigen.

Ein wie starkes ultraviolettes Licht  
 die Nebel ausstrahlen, beweist eine  
 Aufnahme des bekannten Doppelsterns  
 M.C. 4533, welches ich mit  
 dem Objektivsystem 90 Minuten lang  
 exponierte. Ich erhielt das charakteris-  
 tische ultraviolette Bild des Nebels  
 von der Wellenlänge I = 372.7 ganz  
 so, als ob kein Präzise in dem Strahlungs-  
 system eingeschaltet gewesen wäre.

Die Reflektoren geben viel schärfer  
 und schärfer photographische Bilder  
 von Nebelherden als die Refraktoren,  
 weil sie alle Strahlen in einer Ebene  
 zu einem Bilde vereinigen. Bei einem  
 Refraktor läuft nur jede Strahlen zu-  
 sammen, für welche die Objektiv  
 sphärisch ist, die anderen verlaufen  
 der Seite, und dadurch, dass sie zer-  
 streut werden, umso mehr ist die  
 Leuchtdichte.

**Ferrule für Freunde der  
 Eisenbahnbelegung.** Aus dem  
 Locomotive der „Brau“ und ein mehrere  
 größere und kleinere, sehr gut erhaltene  
 Ferrule zum Verkauf angeboten  
 werden. Freunde der Eisen-  
 bahnbau, welche die Anschaffung  
 eines solchen Instrumentes beabsichtigen  
 und sich darüber zu eren werden,  
 bis ich zu jeder gewünschten Anzahl  
 gern bereit. Dr. Klein.

9 Astron. Nachr., No 3738.





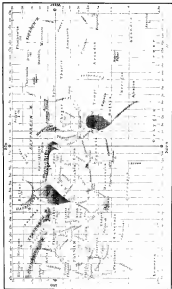


Abb. 108.

Karte des Planeten Mars nach den Beobachtungen 1908—1909 auf dem Observatorium zu Jassy









Blatt 190

Blatt 191

Die Bewirkung der ozeanischen Erholle  
am 22. Marz 1901.

# SIRIUS.

Zeitschrift für populäre Astronomie.

Centralorgan für alle Freunde und Förderer der Himmelskunde.

Herausgegeben

unter Mitwirkung hervorragender Fachmänner und astronomischer Schriftsteller

von Dr. Hermann A. Klotz in Köln u. B.

December 1911.

„Wissen und Erkennen sind die Freude und die Berechtigung der Menschheit.“ Komosa

Jeden Monat 1 Heft. — Jährlich 12 Mk.

Verlag von EDUARD HEINRICH MAYER in Leipzig.

INHALT: Der Erdschein auf dem Monde. S. 285 (Himm. Tafl. XVI) — Die Himmelskarte von F. W. B. S. 287 (Himm. Tafl. XVII und I. Abtheilung im Text) — Die Annäherung photographischer Aufnahmen von Uranoptiken. S. 292 — Mittheilungen über neue vertheilte Sterne S. 294 — Der Paraboloid der Oberflächenglieder des Jupiter. S. 299 — Der Durchmesser der Saturnringe. S. 305 — Das letzte fünfzig Jahre der Himmelsforschung von A. S. DeLisle. S. 311 — Neueste Nachrichten. S. 341 — Astronomisches Lexikon S. 346, Beilagen der Jahrganghefte im Februar 1911. S. 356, Erdbebenlagen der Jahrganghefte S. 360.

## Der Erdschein auf dem Monde.

(Himm. Tafl. XVI.)

Der philosophische Schöner, in welchem man einige Tage vor oder nach dem Neumond den von der Sonne nicht erleuchteten Teil der Mond-scheibe erblickt, wird bekanntlich verursacht durch das Licht, welches von der Erde auf den Mond zurückstrahlt. Die Intensität dieses rötlich-braunen Scheinens ist zu verschiedenen Zeiten sehr ungleich. Schon Lambert und Schröter waren hieselbst sehr aufmerksam geworden und erklärten die Thatsache dadurch, dass zu gewissen Zeiten der Mond von unserer Seite von dem grossen Theil landwärtigen der Erde Licht reflektirt erhält, zu andern aber von dem ozeanischen Theil derselben, welche weniger Helligkeit aussendete. Auch der Zustand der Erdatmosphäre spielt dabei

ausserlich eine Rolle. In jüngster Zeit hat H. H. Kowall sehr eingehend mit diesem Problem beschäftigt, \*) veranlasst durch eine Beobachtung von G. C. Lamden in Toronto. Derselbe bemerkte, dass am 22. März 1901 zu einer Zeit, welche 11 Uhr des Neumonds nach Greenwich Zeit entspricht, das sehr-grosse Licht des Mondes so intensiv erschien, dass selbst mit blossen Augen durch die dunklen Flecke der Mond-scheibe leicht erkannt werden konnten. Lamden glaubte, dass diese aussergewöhnliche Helligkeit des Erdscheines im Monde dadurch verursacht worden sei, dass damals eine sehr-grosse Fläche

\*) Monthly Weather Review 1901 Mai, p. 226

der Erde bestrahlt vor und dadurch dem Monde mehr Licht als gewöhnlich zufließt. Der angegebenen Zeit stand die Sonne im Scheitelpunkt eines Ortes der Erde, welcher  $180^{\circ}$  Länge und  $0^{\circ}$  Breit. In. hat der Mond im Scheitel eines Ortes  $132^{\circ}$  in Länge westlich von jenen und von  $15^{\circ}$  T. nördl. Br. Kumbell hat von einer Karte in orthographischer Projektion eine Karte, welche auch die Erde für den Beobachter als flache Scheibe zeigt, und zwar die westliche Hälfte, für den Horizont eines Ortes, dessen Zenith in der Mittagslinie den Ort der Sonne und den Monden zu jener Zeit lag, nämlich in  $16^{\circ}$  nördl. Br. und  $180^{\circ}$  westl. L. Es würde vielleicht richtiger gewesen sein, die Projektion mit dem Monde im Scheitelpunkte zu machen, doch würde sich der Endresultat nicht wesentlich verschleiden gestalten. Der Abbildung ist Tafel XVI wiedergegeben. Der Ort, der die Sonne im Scheitelpunkt hat, ist durch S bezeichnet, derjenige mit dem Monde im Zenith durch M. Man erkennt, dass die Sonne die Hälfte der Erdoberfläche erleuchtet, welche von  $90^{\circ}$  westl. L. an durch den Stillen Ocean bis zu  $90^{\circ}$  östl. L. sich erstreckt, während der Mond nur Licht empfangt von den gegenüberliegenden Teilen der Erde bis zu  $132^{\circ}$  östl. L. Ferner erleuchtet die Sonne größtenteils die ganze Erdoberfläche von Pol zu Pol, der Mond aber empfangt kein Licht von der nördlichen Region innerhalb  $75^{\circ}$  nördl. Br., sowie der nördliche Teil der Erdoberfläche, welcher dem überhaupt Licht zufließt, über angrenztes ist zwischen dem Nordpol und  $75^{\circ}$  nördl. Br., sowie dem Meridian von  $90^{\circ}$  westl. und  $132^{\circ}$  östl. L. Die Karte Tafel XVI zeigt, dass dieser Raum den ganzen Stillen Ocean umfließt, sowie die südlichen Teile von Australien, Japan und Sibirien und auch den größten Teil von Nordamerika. Diese Fläche der Erde, welche ihr Licht durch den Mond zufließt, ist nicht wesentlich erschaffen von demjenigen, die sich dem Monde 2 oder 3 Tage

nach dem Maximum gegen Polär abwärts spätere Zeit von Toronto zugeführt ist.

Kumbell zeigt nun, dass die Quantität des Erdlichts für einen Beobachter auf dem Monde durch eine Formel ausgedrückt wird, welche direkt von der abstrahierenden Kraft der gegenüberstehenden Punkte der Erdoberfläche und umgekehrt von der vertikalen Potenz der Erleuchtung Erde—Mond abhängt. Bezeichnet man die Karte, Tafel XVI, so kann man die darauf enthaltenen Teile des Festlandes zu 15% und die ozeanischen Teile zu 85% des Ganzen veranschlagen. Man hat Tabellen von der Nord der normalen Verteilung der Wolken auf diesen Teile der Erdoberfläche aufgestellt und diese Verteilung für den Monat März in in der Karte durch die gestrichelten Kurven angedeutet, wobei die beobachtenden Zahlen die Bewölkung (ausdrück der unangewiesenen Flächen ausdrücken. Es ergibt sich daraus, dass im ganzen etwa 94 der Festländische mit Wolken bedeckt sind, und man kann annehmen, dass zwei Drittel der übrigen Fläche von Schnee bedeckt ist. Über dem Ocean beträgt die Bewölkung durchschnittlich etwa 66. Die Lichtabstrahlende Kraft (Arbeit) dieser Fläche ist nicht so leicht anzunehmen zu bestimmen, Kumbell kommt zu dem Ergebnisse, dass sie für die obersichliche Hemisphäre auf etwa 6-64 zu veranschlagen sei. Die Tagelichter der Dampfverhältnisse können jedoch angewendete Zustände der Witterung am 22 März nicht erkennen. Aus dem hat Kumbell die mittlere Bewölkung am 22. März Mittelwacht Ozeanischer Teil, für einige Punkte abgelesen. Sie sind in der Karte durch kleine Kreise mit eingeschriebenen Zahlen angedeutet, und die beigefügten Ziffern innerhalb jedes der kleinen Kreise bezeichnen die Zahl der Beobachtungen, aus denen der Mittelwert genommen wurde. Über dem westlichen Teile der Vorberge Staaten war eine große Fläche mit bewölktem Himmel und dort fast während des ganzen Tages Schnee. Zieht man

dieses in Betracht, so wird die oben angegebene mittlere Reflexionsfähigkeit der ganzen Erdoberfläche höchstens um 0.21, also nicht wesentlich, geändert. Ähnlich verhält es sich mit dem Erdleuchte, welcher eine Änderung des Mondes von der Erde auf diejenige der nachfarbenen Lichtes ausbleibt. Er findet, dass dieses 27% heller sein muss, wenn der Mond in seiner Erdhöhe steht, als bei mittlerer Entfernung desselben und in dieser 25% heller als in größter Entfernung von der Erde. Die größten aus der totalerleuchteten Unterseite in der Helligkeit des nachfarbenen Lichtes können also bis auf 52% der ganzen Helligkeit desselben steigen. Das ist aber offenbar ein weit größerer Betrag als derjenige, welcher aus der mehr

oder minder grossen Bewölkung der Erdatmosphäre resultieren könnte. Aus dem astronomischen Kalender (Strauss 1904, S. 21) ergibt sich, dass am 21. März der Mond in der Erdhöhe war und infolge dieses Umstandes müsste das sekundäre Licht der Mondschätze ausserdem um ein Viertel heller als im Durchschnitt erscheinen. Wenn daher auch erwölkt der Zustand der Bewölkung über den dem Monde zugewandten Teil der Erdoberfläche einen Einfluss auf die Helligkeit des nachfarbenen Mondlichtes ausbleibt, so ist derselbe doch sehr gering und die Hauptursache, weshalb dieses Licht heller oder dunkler hell erscheint, ist in der veränderlichen Entfernung des Mondes von der Erde zu suchen.

### Die Nova im Perseus. VI.

(Stern Teil XVII und 1. Abteilung im Text)

 Aufgibt dieser Stern liegt nur auch als grosserer Bericht der Lieb-Sternwarte vor, welcher die dort erhaltenen Resultate enthält.<sup>1)</sup> Was zunächst die Position der Nova am Himmelsgewölbe anbetrifft, so wurden an acht Nächten vom 24. Februar bis 3. März am Meridiankreis Beobachtungen angestellt, welche folgende Position (für 1901.0) ergaben:

Rektascension  $3^h 24^m 26.656s$

Declination  $+43^{\circ} 23' 54.03''$

Im Februar und März wurden am 24-stelligen Mikroskop sämtliche Sterne, die innerhalb eines Kreises von 3' Halbmesser um die Nova sichtbar waren, mit dieser durch Messungen verbunden und dadurch eine Karte der Umgebung der Nova erhalten. Im Juli wurden mehrere dieser Messungen wiederholt und noch einige neue Sterne nachgetragen, welche sämtlich das anstehende Komplex enthält.

Die Helligkeitskurve der umgebenden Sterne rings um die Nova sind folgende:

a) 18.5 Grössen	f) 12.8 Grössen
b) 14.5 "	g) 12.2 "
c) 13.5 "	h) 12.2 "
d) 12.8 "	i) 12.2 "
e) 12.1 "	k) 12.5 "
f) 12.0 "	l) 12.2 "
g) 11.8 "	m) 12.2 "
h) 11.8 "	n) 11.8 "

Helligkeitsmessungen der Nova wurden auf der Lieb-Sternwarte seit dem 24. Februar so oft angestellt, als die Witterung erlaubte. Es ergab sich, dass das Licht der neuen Sterns von Anfang an merkliche Intensitätsschwankungen zeigte, doch konnten sich zum Perseidenschein derselben nicht bemerken. Die letzte Helligkeitsmessung, welche R. G. Allen von der Lieb-Sternwarte anstellt, gibt für Juli 27 die Helligkeit der Nova = 6.75 Grössen. Beobachtungen von Joel Sedgwick auf demselben Observatorium, welche vom 24. Juli bis zum 13. Sept. reichen, zeigen, dass der Stern während

<sup>1)</sup> Lieb-Observatory University of California, Bulletin No. 9.

dieser Zeit nicht weiter abgenommen hat und dem 8,6 Grades blieb.

Von größter Wichtigkeit sind die spektroskopischen Beobachtungen der Neve und diese wurden auf Mt. Harbin mit verschiedenen, den jeweiligen Zwecken am besten angepassten, zu Teil eigens für die Beobachtung der Neve hergerichteten Apparaten ausgeführt. Als Vergleichssubstanzen wurden Übergänge des Eisens, Magnesiums, Natriums, Wasserstoffs und Heliums benutzt und die

Ergebnisse, sodass der Kontrast zwischen den hellen und den dunklen Banden sehr gering war. Die H $\beta$ -Quante waren leicht sichtbar, dagegen die H $\gamma$ - und H $\delta$ -Banden schweriger, eine Folge der zu starken Dispersion des Apparats. Der allgemeine Charakter des Spektrums wäre von einem Ein-Prisma-Spektroskop viel besser wiedergegeben worden.

Februar 25 wurde das Spektrum mit einem kleinen Spektrographen aufgenommen und zahlreiche helle und



Die Umgebung der Neve Perse nach den Beobachtungen am 19-tägigen Schieber der Mt. Harbin.

Wellenlängenbestimmungen auf die Hartmann-Cornu'sche Formel basiert. Am 24. Februar wurde das Spektrum von H $\delta$  bis H $\beta$  mit dem Pleiades-Spektrographen aufgenommen. Die Wasserstoffbanden H $\delta$ , H $\gamma$  und H $\beta$  waren hell und ausserordentlich breit, sowie an der gegen Violet gelegenen Seite von sehr breiten Absorptionen begleitet. Sogar zwischen den Spektrallinien durch das kontinuierliche. Die Absorption in den dunklen Banden war nur eine

deutliche Linie nicht wahrzunehmen. Die Banden schienen ebenfalls zu sein mit demjenigen, welche das Spektrum der Neve zeigte im Februar 1892 ergab, aber in letzterem waren sie viel schmäler und die Kontinua traten mehr hervor. H $\alpha$  erschien sehr hell und an der beschriebenen Seite von dem korrespondierenden dunklen Bande begleitet. Eine sehr helle Bande in Orange, wahrscheinlich Natriumlichtes entsprechend, wurde von zwei dunklen Linien durch-

schrieben, die mit  $D_1$  und  $D_2$  identifiziert werden konnten. Von der Höhenlinie war nichts wahrzunehmen. Ausser den 5 wellenförmigen hellen Nova-Banden zwischen den Wellenlängen 1 4869 und 1 5218 konnte bei Beobachtung mit dem Auge keine weiteren Details wahrgenommen werden infolge der Helligkeit des kontinentalen Spektrums, welches die schwächeren Stellen maskierte. Das am 25. Februar erhaltene Spektrogramm erstreckte sich von  $\lambda$  3828 bis  $\lambda$  5090. Eine derselben, 7fach vergrössert, ist auf Tafel XVII, Fig. 1, wiedergegeben. Sehr auffallend sind hier die hellen und dunklen H- und K-Banden, deren helle Komponenten von den beiden dunklen H- und K-Linien durchkreuzt werden. Die Bande bei H ist wahrscheinlich das Resultat der Überlagerung der Wasserstoffbande H $\alpha$  und der Calciumbande H $\beta$ . Die gegen Violet liegenden Bänder der hellen Banden sind ebenfalls schärfer begrenzt, mit Ausnahme der K-Bande, wo aus Ungeklärtheit der Fall ist. Die nächsten Photographien des Spektrums wurden mit demselben Apparat am 15. März erhalten, während in der Zwischenzeit das Spektrum sich beträchtlich geändert hatte. Nach derselben Zeit nach dieser Änderung ist am 18. März erhaltenes Photographien. Das Spektrogramm vom 15. März ergab, dass die K-Bande verschwunden war, während nur das Glühen nach der H-Bande bestanden, doch war dies nicht bestatet, wegen der Überlagerung derselben durch die H $\alpha$ -Bande. Die hellen H- und K-Linien waren geblieben. Die Banden mit den Wellenlängen 1 4629 und 1 4875, welche auf dem Spektrogramm vom 5. April erschienen, fehlen auf demjenigen vom 1. April und die Banden vom 1. April bei 1 4583 und 1 4632 bis 4669 sind nicht enthalten auf dem Spektrogramm vom 5. April.

Bezüglich der Bewegung der Nova in der Geschwindigkeit wurden Messungen der Lage der beiden dunklen Calcium-

Linien März Fig. 2 ausgeführt. Sie ergaben eine Geschwindigkeit von 3.7 km in der Sekunde, mit der sich der Stern von der Erde entfernt. Fig. 6 zeigt eine Reproduktion dieser H- und K-Region vom 25. Februar. Fig. 4 und 5 zeigen auch Aufnahmen vom 25. Februar und 1. März die Region des Spektrums um die D-Linien. Aus den Messungen der Verschiebung der H- und K-, sowie der  $D_1$ - und  $D_2$ -Linien an verschiedenen Spektrogrammen, ergibt sich im Mittel eine Geschwindigkeit der Nova von 4-5.4 km in der Sekunde und diese bleib, wie alle spätere Beobachtungen ergaben, durchaus unverändert. Die ersten Beobachtungen, nachdem die Nova im Sommer wieder sichtbar geworden, wurden am 9. Juli erhalten. Wie Prof. Pickering angibt, erstreckte das Spektrum sich auf der Lück-Seite weiter genau wie das Spektrum eines Nebelplaneten. Die im dem Nebelplaneten Spektrum gezeichneten schwachen Linien waren durch breite, helle Banden vertrieben. Die Figuren 7 und 8 zeigen ebenfalls das Nebelplaneten des Spektrums der Nova, Fig. 7 zeigt das Spektrum der Nova am 15. Juli 1901, Fig. 8 das Spektrum des Nebelplaneten NGC No. 7032, im Sirius ( $\alpha$  24 im  $\delta + 41^\circ 50'$ ). Dieser Nebelplaneten wie die Stern 8.5 Grössen von 4" Durchmesser und hat nach Barnard 2 helle Kerne. Im Auftrage von Prof. Campbell hat Joel Stebbins während des Monats September verschiedene Spektrogramme der Nova Persei mit dem Grubb's-Bolometer aufgenommen, wobei der Stern früher von Koeler gezeichnete Spektrogramm benutzt wurde, nachdem es Prisms und Linsen im Quers dazu angebracht wurden. Auf dem erhaltenen Platten sieht man die 5 Banden zwischen den Wellenlängen 1 3870 und 1 5019, welche Campbell und Wright nach beschrieben haben, ausserdem noch 2 helle Banden im Ultraviolet, deren gegenwärtige Wellenlängen sind 1 3463 und 1390. Diejenige bei 1 3463 ist sehr hell und wird auf der Platte nur durch von der

Rande i 3070 übertraffen, sie Hill aber  
Position nach zusammen mit einer Linie,  
welche Palauz im vergangenen Sommer  
in den Spektren bekannter Nebelstelle  
entdeckte. Dies spricht sehr zu Gunsten  
der Annahme, dass das Spektrum der  
Nova dasjenige eines Nebels ist, ebenso  
ist wahrscheinlich, dass die Linie bei  
i 3070 einer sehr nicht aufgelösten  
Linie in den Nebelspektren entspricht.

Die schätzbare Nebelstelle um die Nova,  
welche Pflammaron Antoniad und  
Prof. Wolf in Heidelberg auf ihren  
Photographien von diesem Stern erfaßten,  
wird nach Schluß wahrscheinlich durch  
die Stellen der Wolfenlange i 3460  
herbeigeführt und nur eine optische  
Täuschung über den wirklichen Nebel  
sehe man S. 284.

## Die Ausmessung photographischer Aufnahmen von Sternspektren.

**D**urch die photographische Auf-  
nahme der Spektren der Fixsterne  
in unsere Kenntnis der chemischen Zu-  
sammensetzung und der physikalischen  
Zustände dieser Sterne erheblich er-  
weitert und fortwährend begründet worden.  
Denn in der Photographie erscheinen die  
dunkeln oder hellen Spektrallinien,  
deren Lage und Deutlichkeit charakte-  
ristisch für die Konstitution der Himmels-  
körper ist, vollständig und genauer  
wiedergegeben, als dies unmittelbar durch  
Zerlegung oder Ausmessung der Spektren  
geschiehen könnte. Die Ausmessung  
kann nicht nur jetzt in aller Feinheit und  
Bequemlichkeit auf der photographischen  
Platte erfolgen und ebenso die Ver-  
gleichung mit dem Spektren bekannter  
Sterne, um daraus Schlüsse über die  
Zusammensetzung des vonden Fixsternen  
ausstrahlenden Lichtes zu gewinnen oder  
auch die Geschwindigkeit der Bewegung  
dieser Sterne zu bestimmen. Denn auch  
dem sogenannten Dopplerverschieben  
wird die Spektrallinie nach der roten  
Seite verschoben, wenn die Lichtquelle  
(das hier der Stern) sich vom Beob-  
achter entfernt, nach der violetten, wenn  
sie sich dem Beobachter nähert. Viel-  
fach sind solche Verschiebungen der  
Spektrallinien bereits nachgewiesen  
worden und ihre genaue Ermittlung  
ist eine der wichtigsten Aufgaben der  
heutigen Sternspektroskopie.

Über die Anzahl der bei spektro-  
skopischer Bewegungbestimmung von

Sternen zu beobachtenden Spektrallinien  
und die Fortsetzung ihrer Reihenfolgen  
hat jüngst Dr. J. Hartmann eine wichtige  
Abhandlung veröffentlicht,<sup>1)</sup> der wir  
folgendes entnehmen:

Die mit den neuesten Sternspektro-  
graphen hundertmaligen Aufnahmen be-  
weisen uns zu hohem Grade der Schärfe,  
dass es möglich ist, auch zur Ausmessung  
der Platten und zur Bestimmung der Mes-  
sungen möglichst exakte Methoden in  
Anwendung zu bringen. Bei den älteren  
deutscheren Messungen, die zum Zwecke  
der Bestimmung der Liniensensitivitäten  
angestellt wurden, sind fast aus-  
nahmslos die Messungen, von Vogel  
aufgestellten Methoden der Komparativ-  
messung benutzt worden. Bei dieser  
Methode wird entweder direkt die  
Verschiebung einer Linie des Stern-  
spektrums gegen die entsprechende  
Linie des Vergleichspektrums gemessen  
(Vogel's zweite Methode) oder es wird  
auf die auszumessende Platte die mit dem-  
selben Spektrographen aufgenommenen  
Sonnenspektren gelegt und abgemessen  
die Lage dieser Linien im Sternspektrum  
gegen die entsprechenden Linien des  
Sonnenspektrums, indem man die Lage  
der benutzlichen Vergleichslinie gegen  
die betreffende Linie im Sonnenspektrum  
gemessen, woraus dann wieder die Ver-  
schiebung des Sternspektrums gegen die

<sup>1)</sup> Astron. Nachr. No. 2383-4.



kürzliche Linie hervorgeht (Vogel und Wolfke).

Manche der Ordner haben in letzter Zeit indessen einige Beobachter vorgezogen, die Methode der Konstantenbestimmung zu verlassen und eine Ausmessung befähigter Linien des Sternspektrums vorzunehmen, so Belopolsky, Campbell, Newell, Hale und Ellerman. Die Bestimmung derartigen Messungen gründet sich auf die Ableitung einer Dispersionformel für das betreffende Spektrum, die in einer Formel, die eine Beziehung zwischen der Wellenlänge  $\lambda$  einer Linie und der Ablesung  $x$  der Mikrometerschraube, mit der das Spektrum gemessen wurde, darstellt. Die Konstanten der Formel bestimmt man aus dem Liniens des Vergleichspektrums und kann diese für jede im Sternspektrum gemessene Linie aus der Schraubenablesung  $x$  des ihr entsprechende  $\lambda$  berechnen. Vergleicht man dies so berechnete  $\lambda$  mit der anderweitig bekannten Wellenlänge der betreffenden Linie, so ergibt sich aus der Differenz die durch die Bewegung des Sterns hervorgerufene Änderung der Wellenlänge und hiermit auf bekannte Weise die gesuchte Geschwindigkeit des Sterns.

Dieses Verfahren hat den grossen Vorzug, dass der Beobachter die am besten definierten Linien im Stern- und Vergleichspektrum auswählen kann und dass er ferner während der Messung keinerlei Kenntnis von der von jeder einzelnen Linie resultierenden Geschwindigkeit hat und daher die Messungen ohne jedes Vorurteil ausführen kann.

Dr. Harlowe geht nun eine Darstellung der Verfahren, wie er es, nach eingehender Prüfung der von anderen Beobachtern angewandten Methoden, bei der Redaktion der mit dem neuen Peabody Spektrographen aufgenommenen Sternspektren ausgeführt hat.

Zunächst berichtet er sich über die Ansicht der zu messenden Linien und die Forderung ihrer Wellenlänge.

„Die Wellenlänge,“ sagt er, „die man der Rechnung zu Grunde legt

will, müssen für die Spektra der künstlichen Leuchtquelle und für die des Sterns denselben einfallenden System angenommen werden, und als solches nimmt jedd als die des Rowland'schen in Hinsicht. Hierbei ergibt sich jedoch schon eine Schwierigkeit daraus, dass selbst bei den Normallinien Rowland ganz erhebliche Unterschiede für die Wellenlänge aus und denselben Linien vorkommen. (F nachdem dieselbe im Sonnenspektrum oder im Bogenspektrum des betreffenden Metalls gemessen wurde.) Insofern dies bei meinen Messungen besprochen. Stücken des Spektrums steigt dieser Unterschied für Linien des Sterns bis auf 4021 ÅE, für andere Metalle sogar bis auf 6276 ÅE. Es unterliegt keinem Zweifel, dass der grösste Teil dieser Unterschiede seinen Grund in dem besprochenen Verhältnisse hat, unter welchen die Absorptionen im Spektrum der Sonne entstehen. In manchen Fällen folgen sehr nahe, selbst in Rowland's Annehmen, nicht genau die Begleiter des Ort der betreffenden Linien im Sonnenspektrum vorkommen haben, in anderen Fällen wird aber auch eine wirkliche Änderung der Wellenlänge jener Strahlen vorliegt. Nach den Beobachtungen von Huggins und Hodge, Eder und Valenta sowie von Wilsing ist es nicht mehr zulässig, die Wellenlänge der Linien eines leuchtenden Gases als absolut konstante Zahlen zu betrachten, sondern dieselben sind in diesem Sinne, der für die meisten Spektrographen durchaus merklich ist, von dem Druck des Gases und wahrscheinlich auch noch von dem wahren physikalischen Umstände abhängig, unter denen das Leuchten des Gases stattfindet. Es ist bereits von anderer Seite darauf hingewiesen worden, dass diese Verbindungen der Wellenlänge auch bei den spektroskopischen Geschwindigkeitsmessungen beachtet werden müssen, jedoch scheint man ihren Einfluss vielfach noch zu unterschätzen. Ich will daher hier nur bemerken, dass Wilsing, indem er den einklassischen Funden bei

Atmosphärendruck zwischen benachbarten Kathodenstrahlen überbringen kann, eine Verschiebung der F-Linie um 1,1 ÅE gegen ihre Lage im Spektrum einer Gasdrucksöhle näher beobachtet hat. Würde man diesen Betrag als Dopplerverschiebung Linienverschiebung auffassen, so käme man auf eine Geschwindigkeit von 33 km in der Sekunde. Beachtet man nun noch die Tatsache, dass in dem Spektrum der neuen Sonne Linienverschiebungen konstater worden sind, die sogar auf Geschwindigkeiten von mehreren Hundert Kilometern führen würden, so beachtet man, dass ein gründliches experimentelles Studium aller jener realen Änderungen der Wellenlängen notwendig ist, um den spektroskopischen Bewegungsbestimmungen eine sichere Grundlage zu schaffen. Zwar wird man bei demjenigen Sterne vom H Spindeltypus, dessen Spektrum mit dem der Sonne fast identisch ist, behaupten mit Gewissheit annehmen dürfen, dass nach die Druck- und Temperaturverhältnisse in ihrer Atmosphäre, wenigstens in der Sekunde, welche die Umkehr der Sonnenrotation so ähnlich sind, dass die Wellenlängen des Sonnenspektrums eine weitere auch für jene Sternspektren nahezu gültig sein werden. Allein diese Annahme wird um so unsicherer, je weiter sich das Spektrum eines Sterns von dem der Sonne entfernt.

Könnte es hierdurch den Anschein haben, als wäre die Zuverlässigkeit der spektroskopischen Bewegungsbestimmungen durch jene realen Veränderungen der Wellenlängen in hohem Grade gefährdet, so ist dieses Wirklichkeits doch durchaus nicht der Fall. Es hat sich nämlich schon gezeigt, dass die auf Druckänderungen beruhenden Linienverschiebungen einem anderen Gesetze folgen, als die Dopplerverschiebung die letzteren für identische Linsen eines Sternspektrums der Wellenlänge genau proportional sind, werden bei Änderung des Drucks nicht nur die Linien der verschiedenen Elemente,

sondern selbst die einzelnen Komponenten in dem Spektrum eines Elements in gleichem verändernde Beträge verschoben, nur für die Linsen, welche denselben Stern angibt, ist die Verschiebung wieder proportional der Wellenlänge. Es wird daher, wenn man der Betrag der durch Druckänderung hervorgerufenen Linienverschiebung für die in dem Sterne hauptsächlich vorkommenden Elemente genau bekannt ist, im Laufen man, beide Erscheinungen voneinander zu trennen und aus dem in einem Sternspektrum beobachteten Verschiebungen nicht nur die Geschwindigkeit des Sterns, sondern auch den Druck in bestimmten Schichten seiner Atmosphäre zu berechnen.

Beyn jedoch diese Vorgänge gleich erschirt sind, wird es im höchsten Maße, im Sonnenspektrum mit einer größeren Anzahl Linsen zu messen, die möglichst vielen verschiedenen Elementen angehören, und deren Wellenlängen dem hundertfachen Sonnenspektrum zu entnehmen. Zu diesem Zwecke legt man bevor die optische Auswertung des Sonnenspektrums beginnt, auf dasselbe ein mit denselben Spektrographen aufgenommenes Sonnenspektrum und zwar so, dass die Linsen des Sonnenspektrums nahe in die Verlängerung der betreffenden Linsen des Sonnenspektrums fallen, zur Orientierung kann hierbei die in allen Sonnenspektren vorkommende H<sub>γ</sub>-Linie dienen. Unter dem Mikroskop sieht man nun aus dem Sonnenspektrum die am besten definierten Linsen aus und notiert mit Hilfe des nebenliegenden Sonnenspektrums deren Wellenlängen. Es wird hierbei häufig vorkommen, dass bei dem auf hochvergrößerndes und daher geschädigten Platten aufgenommenen Sonnenspektrum sehr gut definierte sind für die Messung brauchbare Linsen durch die Zusammenfassung zweier oder mehrerer Linsen des Sonnenspektrums entstanden sind, in diesem Falle nimmt man aus den Linsen des Sonnenspektrums das Mittel und geht bei der Mittelbildung, umkehrte Will-

hier eintrifft zu lassen, jeder einzelnen Wellenlänge als Gewicht die von Rowland als Konstante der betreffenden Linie angenommene Zahl. Ob hierzu nun immer genau die richtige Wellenlänge der Linie des Sternspektrums gebunden ist, läßt sich zunächst nicht sagen, jedenfalls ist aber das Verfahren frei von jeder Willkür, und man darf annehmen, dass die zu beobachteten Wellenlängen ebenso oft zu genau, wie zu klein, nicht aber ungeduldet richtig sein werden. Der so aus einer grossen Anzahl von Linien berechnete Wert für die Geschwindigkeit des Sterns wird daher von den zufälligen Fehlern der Wellenlängen ziemlich frei bleiben und der Wahrheit schon recht nahe kommen.

Für die Wellenlängen der Linien des Vergleichspektrums lagen bis vor kurzem die Vorhältnisse nicht günstiger als für das Sternspektrum. Da der grosse Gemischtstern, die hier erörtert ist, konnte nur der Normalstern aus Rowlands Bogenpektrum für Vergleichszwecke geschaffen werden; allein diese Linien sind so wenig zahlreich, dass sie für die Interpolation im promittierten Spektrum erst wünschlich, wenn man die Linien anderer von Rowland anderer Metalle zu Hilfe nimmt, die man neben jedes Sternspektrum lagern müsste, dies würde jedoch auf grosse Schwierigkeiten bei der Beobachtung führen. Dr. Hartmann hat sich daher entschlossen, einzeln, nach der Wellenlänge der Vergleichslinien selbst mit zu bestimmen, was übergen mit Hilfe der Messungen, die an den Sternspektral nun gemacht wurden, ohne weitere Mühe erfolgt. Der Ausgangspunkt für die Wellenlängen der Vergleichslinien wurden hierbei ebenfalls Rowlands Bogenpektrum genommen, wodurch der strengere Ansehens an das für die Wellenlängen des Sternspektrums angewandte System abgeleitet ist. Erst zu letzter Zeit, als schon ein grosser Teil seiner Forschungen beendet war, hat Kayser eine sehr wertvolle Tabelle von Normal-Wellenlängen

des Sternspektrums geliefert; für alle späteren Messungen werden diese Wellenlängen von Kayser die wertvolle Grundlage bilden.

Bei den jetzigen Sternspektrogrammen enthält die ausströmende Platte neben dem Spektrum des Sterns auf beiden Seiten symmetrisch das Linsen- und Vergleichspektrum, dessen Richtung sehr nahe senkrecht auf der Längsrichtung des Spektrotrums stehen soll. Bei Hartmanns Aufnahmen hat das Sternspektrum eine Breite von 0,2 mm, jeder der beidenseitigen Teile des Vergleichspektrums ist 0,3 bis 0,4 mm breit und reichen den drei Spektren sind zwei freie Zwischenräume von  $\mu$  0,1 mm Breite gelassen.

Zur Ausmessung der Platten dient ein Mikroskop mit folgenden Hilfsrichtungen. Ausser der zur eigentlichen Messung dienenden Schraube, welche den Objektisch in der Richtung der Längsausrichtung des Spektrotrums (z-Richtung) verschiebt, ist noch eine dazu senkrechte Bewegung (entweder des Tisches oder des Mikroskops) vorhanden, deren Betrag durch eine, wenn auch größere Schraube (y-Schraube) gemessen werden kann. Der Objektisch ist in seiner Ebene senkrecht um eine halbe Umdrehung drehbar. Der Fokus des Objektivs besteht aus zwei zu einander senkrechten feinen Fäden und einem beweglichen Faden, der sich in beliebiger Entfernung parallel zu einem der festen Fäden verschieben lässt, indem man ein Doppelhelixpaar von beliebiger Drehung heranziehen kann. Endlich ist noch der Objektisch des Mikroskops um 90° drehbar, sodass man das Doppelhelixpaar sowohl der z-Schraube, als auch der y-Schraube parallel richten kann.

Über die Technik des eigentlichen Messungsverfahrens und die dabei zu beachtenden Vorsichtsmaßregeln, um gegen systematische Fehler in der Ausmessung möglichst geschützt zu sein, ist auf die Abhandlung selbst zu verweisen, in welcher Dr. Hartmann auch die einschlägigsten Korrekturen u. s. w.

eingehend behandelt. Hier soll nur noch über die bei den Messungen erteilte Genauigkeit einiges hervorgehoben werden. Dr Hartmann kommt zu dem Ergebnis, dass sich bei sorgfältiger Messung einer guten Platte der Endwert mit einem wahrscheinlichen Fehler von etwa  $\pm 0,1$  der bestimmten Unit. «Um diese Zahl mit der Genauigkeit anderer astronomischer Messungen im Vergleich zu setzen,» sagt er, «wird ich mir beifällig erlauben, dass Herrsch z. B. eine Bestimmung der Sonnenparallaxe auf spektroskopischem Wege Aussicht auf guten Erfolg haben würde. Infolge der Erdbewegung ändert sich im Laufe eines Jahres die scheinbare Geschwindigkeit von Sternen in der Ekliptik um rund 60 km. Gelingt es dabei, spektroskopisch den Betrag dieser Änderung auf 0,1 km, d. h. auf  $\frac{1}{600}$  statt eines Wertes, genau zu bestimmen, so würde dadurch — abgesehen von einer kleinen Unsicherheit in unserer Kenntnis der Lichtgeschwindigkeit — die Sonnenparallaxe auf etwa 0,015'' genau bestimmt sein.»

«Soll aber,» fährt er fort, «diese große Genauigkeit der Aufnahmen, die sich hier aus der äusseren Überwindung der Messungen auf einer Platte ergeben hat, einen rechten Wert haben, so müssen auch die systematisch wirkenden Fehlerquellen, die das Spektrogramm gegen die Vergleichsspektren verschoben könnten, mit der denkbar größten Sorgfalt beseitigt werden. Von sorgfältigen Fehleruntersuchungen kann man überhaupt nicht absehen, nämlich die Bewegung des Spektrographen während

der Aufnahme, sodass eine Temperaturänderung während dieser Zeit und endlich die Abblüdlungsfehler, die entstehen können, wenn der Weg für das Licht des Sterns und der künstlichen Lichtquelle nicht genau durch denselben Teil der Prisma- und Objektivlinsen-  
Was die Bewegung anbelangt, so dürfte dieselbe durch die mechanisch vorzügliche, von Osherson Vogel konstruierte Konstruktion der Apparats auf das denkbar kleinste Mass reduziert sein. Der Einfluss von Temperaturänderungen der Prisma- und die Lage der Linsen ist so gross, dass es unbedingt notwendig ist, das Spektrogramm während der ganzen Aufnahme auf möglichst gleichzeitiger Temperatur zu erhalten. Hartmann hat daher für das Spektrogramm eine elektrische Heizvorrichtung konstruiert, welche ganz selbstthätig die Temperatur des Apparats beinahe lang-Zeit konstant bei 1° C. konstant erhält. Um Abblüdlungsfehler der optischen Apparats im Prinzip unmöglich zu machen, wird in den Gang der Strahlen vor der künstlichen Lichtquelle eine Metallscheibe eingeschaltet, welche bewirkt, dass selbst bei nicht ganz richtiger Stellung dieser Lichtquelle doch immer die ganze Fläche des Stimmautomatens gleichmässig beleuchtet wird, ebenso, wie es beim Sterne der Fall ist. Dass man durch die erwähnten Vorsichtsmassregeln die systematischen Fehler in der That beseitigt haben geworden sind, geht aus der guten Übereinstimmung der zu verschiedenen Zeiten gemachten Aufnahmen desselben Sterns hervor.

### Mitteilungen über neue veränderliche Sterne.

**V**on Dr. E. Hartwig in Bamberg über die Sammlung des Materials der Beobachtung der veränderlichen Sterne zu einer Hauptaufgabe des dortigen Observatoriums gemacht, gibt in dem Astron. Nachr. No. 3744 Mitteilungen:

Über Beobachtungen, Helligkeiten und Periode einer Anzahl der in neuester Zeit entdeckten Veränderlichen. Aus diesen Mitteilungen ist das Nächste heute bekannt.

9. 1860 Cybele.

Der Ort dieses Sterns ist von Dr. Hartwig am 1. Sept. entdeckt worden.  
(1860)  $\alpha = 5^{\text{h}} 31^{\text{m}} 38.8^{\text{s}}$   
 $\delta = + 70^{\circ} 45' 24.4''$

Eine Periode Messen von Frau Cerasi auf der photographischen Platte von S. Major entdeckt. Stern von 306 Tagen genügt völlig den vorhandenen Beobachtungen.

10. 1860 Hercules.

( $\alpha$  18<sup>h</sup> 30<sup>m</sup> 55<sup>s</sup>  $\delta$  + 23<sup>°</sup> 53.8'; 1855.)  
Die Periode wird etwa 340 Tage betragen.

11. 1860 Lyra.

( $\alpha$  18<sup>h</sup> 32<sup>m</sup> 51<sup>s</sup>  $\delta$  + 49<sup>°</sup> 45.9'; 1855.)  
Die von Dr. Hartwig vermutete Periode von 80 Tagen findet durch Beobachtungen im Juli und August 1861 Unterstützung.

12. 1860 Lyra.

( $\alpha$  18<sup>h</sup> 54<sup>m</sup> 22<sup>s</sup>  $\delta$  + 34<sup>°</sup> 45.9'; 1855.)  
Von Stanley Williams entdeckt. Die Periodendauer ist noch ungewiss.

17. 1860 Aquila.

( $\alpha$  18<sup>h</sup> 33<sup>m</sup> 48<sup>s</sup>  $\delta$  + 6<sup>°</sup> 26.4'; 1855.)  
Von Anderson entdeckt. Noch ist es zweifelhaft, ob die Periode 120 Tage oder das Doppelte hiervon beträgt.

13. 1860 Cygnus.

( $\alpha$  19<sup>h</sup> 42<sup>m</sup> 2<sup>s</sup>  $\delta$  + 48<sup>°</sup> 43.8'; 1855.)  
Von Hagen S. J. entdeckt. Der Lichtwechsel trat erst am 2. Dec. ein und dauerte mit mäßiger Amplitude und Abfall um das Maximum herum. Die Periodendauer ist nicht 250 Tage, das Maximum 1860 December 9 war 8.5 Örline. Von 1861 Juli 17 5.5 Örline.

7. 1860 Cygnus.

( $\alpha$  20<sup>h</sup> 28<sup>m</sup> 18<sup>s</sup>  $\delta$  + 40<sup>°</sup> 6.1'; 1855.)  
Von Stanley Williams entdeckt. Die Periode ist wahrscheinlich 75 000 Tage. Der Stern ist merklich rot.

16. 1860 Cygnus.

( $\alpha$  20<sup>h</sup> 28<sup>m</sup> 34<sup>s</sup>  $\delta$  + 45<sup>°</sup> 43.7'; 1855.)  
Ebenfalls rot; der Lichtwechsel scheint eine halbe Größenklasse nicht zu überschreiten.

20. 1860 Cygnus.

( $\alpha$  20<sup>h</sup> 59<sup>m</sup> 56<sup>s</sup>  $\delta$  + 35<sup>°</sup> 48.8'; 1855.)  
Von Stanley Williams entdeckt. Die Periode scheint 8 $\frac{1}{2}$  Monate zu betragen.

18. 1860 Equulus.

( $\alpha$  21<sup>h</sup> 48<sup>m</sup> 15<sup>s</sup>  $\delta$  + 57<sup>°</sup> 13.8'; 1855.)  
Von Anderson entdeckt und ursprünglich dem Sternbild der Pegasus zugehört. Es ist der erste bekannte Stern in dem kleinen Sternbild Equulus und daher als  $\delta$  Equulus zu bezeichnen. Die Periode wird wahrscheinlich 320 Tage betragen.

14. 1860 Pegasus.

( $\alpha$  22<sup>h</sup> 4<sup>m</sup> 38<sup>s</sup>  $\delta$  + 13<sup>°</sup> 38'; 1855.)  
Von Anderson entdeckt. Die Periode scheint 6 $\frac{1}{2}$  Monate zu betragen.

22. 1860 Cygnus.

( $\alpha$  20<sup>h</sup> 54<sup>m</sup> 48<sup>s</sup>  $\delta$  + 42<sup>°</sup> 28'; 1855.)  
Von Stanley Williams entdeckt. Die von ihm angenommene Periode von 133 Tagen scheint nicht richtig.

23. 1860 Andromeda.

( $\alpha$  1<sup>h</sup> 31<sup>m</sup> 8<sup>s</sup>  $\delta$  + 30<sup>°</sup> 36.3'; 1855.)  
Von Anderson entdeckt. Die Periode dürfte von einem halben Jahre schließlich nicht viel abweichen.

64. 1860 Perseus.

( $\alpha$  3<sup>h</sup> 17<sup>m</sup> 52<sup>s</sup>  $\delta$  + 47<sup>°</sup> 38.0'; 1855.)  
Von Stanley Williams als wahrscheinlich angenommen. Es bleibt noch zweifelhaft, ob die Periode 6 oder 12 Monate beträgt. Der Stern ist merklich rot.

69. 1861 Andromeda.

( $\alpha$  3<sup>h</sup> 43.5<sup>m</sup>  $\delta$  + 33<sup>°</sup> 35'; 1855.)  
Von Anderson als wahrscheinlich erkannt. Derselbe nimmt eine Periodendauer von 300 Tagen an. Nach dem Minimum war der Stern 1860 Juli 25 11.7 Ör.

76. 1861 Ursae majoris.

( $\alpha$  2<sup>h</sup> 57.0<sup>m</sup>  $\delta$  + 51<sup>°</sup> 42'; 1855.)  
Ebenfalls von Anderson entdeckt. Periode vielleicht 4 Monate.

22. 1861 Lyra.

( $\alpha$  18<sup>h</sup> 3<sup>m</sup> 37<sup>s</sup>  $\delta$  + 39<sup>°</sup> 18.7'; 1855.)  
Von Frau Cerasi auf den Platten von Major entdeckt. Die Periode beträgt 298 Tage.

13. 1861 Scuti.

( $\alpha$  18<sup>h</sup> 46<sup>m</sup> 28<sup>s</sup>  $\delta$  — 13<sup>°</sup> 58.8'; 1855.)  
Von Frau Cerasi photographisch entdeckt und als dem Algoltypus angehörig bezeichnet. Der Lichtwechsel überschreitet jedenfalls eine halbe Größenklasse.

## Die Periodizität der Oberflächegebilde des Jupiter.

**D**ie langjährigsten Beobachtungen der Jupiter-Oberfläche auf der Pulkowitzer Sternwarte in Kio-Katal (Lanz) erweisen in den Veränderungen, die sich besonders bei den äquatorialen Banden gestalten, zu gewissen Zeiten Übereinstimmungen, die auf eine Periode von 10 Jahren deuten. Im Winter nach dieser folgende Mitteilungen:

Die Beobachtungen auf der Sternwarte Kio-Katal aus den seit 1901 durchgeführten mit dem guten 7-zölligen Refraktor bei ziemlich günstigen Luftverhältnissen veranlaßt bei jeder Beobachtung wurde eine Zeichnung der Oberfläche Jupiters angefertigt, um die Verteilung und Schärferung der Bänder, deutlicher wie jede Beschreibung, wiedergeben zu können.

Zunächst war die äquatoriale Region der Jupiter-Oberfläche von zwei breiten und sehr dunkel gefärbten äquatorialen Banden bedeckt, die einem hellen, spitzlich weißen Ton gleichem Zwischenraum lassen, der die äquatoriale Äquator-Region umschließt. Dann entstand in den breiten Bändern eine Zersetzung, die sich von Jahr zu Jahr fortsetzte und mit dem gleichzeitigen Verschwinden des nördlichen äquatorialen Bandes einigte. Auf der Jupiter-Oberfläche blieb demnach in dieser Zeit bloß das südliche äquatoriale Band, das auch ziemlich stark Zersetzungen aufweist. In dieser Zeit fand überhaupt wenig Neigung zur Neubildung der Bänder auf der Jupiter-Oberfläche statt; es war die Zeit einer allgemeinen Bandbildung. Nach diesen Worten Bänder wie das nördliche Äquatorialband, zum Äquator nähererliegend und schließlich in die Breite gezogen. Es erstreckt sich von der Südseite über den Äquator bis auf dessen Nordseite und bedeckt eine Fläche längs des Äquators, die  $10^{\circ}$  bis  $15^{\circ}$  in die Breite ausreicht. Es ist die Zeit, wo auf der Jupiter-Oberfläche ein einziges Band

die äquatoriale Region bedeckt an der Stelle der früheren hellen, spitzlich-weißen glänzenden Region. Es dauert aber nicht lange, bis sich auf den beiden Seiten der dunklen äquatorialen Region hundertjährige Veränderungen bilden. Es entsteht in der südlichen und nördlichen Gegend der Region eine immer dunkler werdende Begrenzung, die sich allmählich zu den zwei äquatorialen Bändern ausdehnt und erweitert, die allmählich umgebildeten Bänder werden dann wieder voneinander getrennt, die dazwischen liegende Region hellt sich wieder auf und bildet wiederholt den hellen, spitzlich-weißen glänzenden Zwischenraum. Das ist die Zeit der maximalen Bandbildung.

Aus den Beobachtungen und Zeichnungen, die seit 1856 von verschiedenen Astronomen an verschiedenen Sternwarten erhoben wurden, ergibt sich eine Periode, die im Mittelwerte 11,76 Jahre umfasst, mit einem wahrscheinlichsten Fehler von  $\pm 0,13$  Jahren.

In dieser Periode finden wir eine maximale und eine minimale Bandbildung. Das Maximum und Minimum hat in die folgenden Jahre:

Maximum 1858, 1874, 1890, 1891, 1907, 1913, 1930, Minimum 1816, 1873, 1889, 1906.

Das nächste Maximum ist im Jahre 1950 zu erwarten, das nächste Minimum 1908.

Die Beobachtungen zeigen auch, dass ein Maximum auf das Maximum in 6,3 Jahren, ein Minimum auf das Minimum aber in 4,8 Jahren folgt.

Die Periode der Entstehung ist dieselbe, die der Planet braucht, um seine Bahn um die Sonne einmal zu beschreiben. Es liegt also nahe, die Bandbildung auf der Jupiter-Oberfläche als Wirkung der Sonne zu betrachten.

Diesem geht Dr. Wenzel voraus, in welchem Punkte seiner Bahn sich der Planet befindet in jedem ge-

gebenen Falle des Maximums und Minimums.

Die Rechnung ergab, dass die Fliesstrennung der Bandbildung in dieser Zeit vorhanen ist, wo der Planet in seiner Bahn eine heliocentrische Länge im Mittelwerte von  $139^{\circ} 59'$  besitzt und seinen Perihel im Mittel um  $18^{\circ} 92'$  vorsteht.

Das Maximum der Bandbildung ereignet sich dagegen in der Zeit, wo der Planet eine heliocentrische Länge im Mittel von  $130^{\circ} 58.1'$  hat und seinen Aphel im Mittel um  $81^{\circ} 27.5'$  vorsteht.

Dieses Ergebnis ist um so wichtiger, als die Neigung der Äquator Ebene des Jupiter genau die Bahn des Planeten bloß  $3^{\circ} 28'$  ausmacht, die Wärmestruhm des Jupiter also keinen grossen Schwankungen unterliegt.

Der Umstand, dass der sogenannte »rote Fleck« auf der nördlichen Halb-

kugel der Jupiter-Oberfläche genau um die Zeiten der maximalen Bandbildung im schärfsten wird und wieder verschwindet um die Zeit der minimalen Bandbildung, deutet auf die Wirkung einer Attraktionskraft. Die periodische Bandbildung auf der Oberfläche Jupiters wäre also eine Erzeugung der Attraktionskräfte der Sonne.

Der Planet steht in seinem Aphel 200.64 Millionen km und in seinem Perihel 734.81 Millionen km entfernt von der Sonne. Bei den 74.63 Jhr im umlaufenden Schwankungen in der Entfernung ist es leicht denkbar, dass die mit dem Quadrat der Entfernung umgekehrt verbundenen Attraktionskräfte der Sonne auf der kugelförmigen, gasartige Masse der Planeten eine wechselnde Wirkung ausüben, die der Ercheinung der Flut und Ebbe unserer Erde gleichkommt.

## Die Excentricität der Saturnringe.

Im Jahre 1684 sprach der Astronom Galle<sup>1)</sup> in Anlehn an die Meinung von, dass innerhalb der Kugel des Saturns nicht genau in der Mitte des Ringes ein solches Wärmestrahlen wie der hellste Quadrant ist, so nicht auch Galle der Mittelpunkt einer Scheibe dem hellsten Rande des Ringes über. Nach seiner Ansicht wäre diese excentrische Stellung lediglich eine Wirkung der Flut, welche in der Quadrant der Scheibe des Saturns liegt. Die Ausfüllungen Galle's blieben völlig unbeachtet, bis Schwabe in Donau am 23. December 1805 wahrnehmung glaubte, dass »der dunkle Raum zwischen dem Saturnringe und der Saturnscheibe (im Osten (also rechts) von letzterer breiter als die im Westen (links) stehende in Galtungen beständige diese Wahrnehmung und teilte sie P. W. Struve mit, der dies am Doppelte Polstrahl 1828 Messungen darüber stellte und den

Unterschied um  $6.215''$  bestimmte. Schwabe Messungen 1830 zeigten diese Ähnliches, doch mit geringerer Sicherheit. In den Jahren 1841 bis 1843 beobachteten gleichzeitig Schwabe in Genua und de Vico zu Rom und kamen zu dem Ergebnisse, dass die Excentricität des Saturnringes veränderlich ist, doch kommen um eine Periode dieser Veränderung nicht erreicht. Abgesehen von Struve's und Reich's Messungen und die Angaben der Beobachter über die excentrische Lage des Ringes bis 1846 indessen nur Schätzungen der schwachen Breite des dunklen Zwischenraumes zwischen dem Rande des Saturn und dem inneren Rande des hellen Doppelringes. Galle's Wahrnehmungen wurden jedenfalls im allern sehr unvollkommenen Forme gemacht und dagegen von Schwabe in einem Frontenholer von nur  $2\frac{1}{2}$  Fuss Durchmesser. Ob aber die Stellungsdifferenz von höchstens  $\frac{1}{2}''$  in einem alten, mittelalterlichen Formale, wie Galle nur bestimmt konnte,

<sup>1)</sup> Journal des Savants 1684, p. 158.

<sup>2)</sup> Astron. Nachr., No. 60.

überhaupt vollkommen ist, dürfte doch zweifelhaft sein, selbst im einem Fraunhofer'schen Refractor von ca. 13" Öffnung ist es kaum möglich, über einen so kleinen Unterschied mit Sicherheit nach Schätzung zu urtheilen. Dazu kommt, dass dem inneren Rande des letzten Ringes der sogenannte Oxyring anhängt, der zwar von Schwabe 1828 nicht erkannt wurde, dessen Vorhandensein aber jedenfalls der Uebel über die Ringe des dunklen Zwischennetzes zwischen letztem Ring und Saturn nicht entbehren. Sonach scheint die concentrische Stellung des Saturn in seinem Ringe nur als Vermutung Schwabes, die durch W. Struve 1835 durch seinen Nachweis erhellt (G. Struve: Handl. 1851 am 15. Zoller zu Palermo) aus seinen Messungen keine concentrische Stellung des Saturn und hierdurch fand die weitere Voraussetzung Boden, dass die Excentricität des Ringesystems vollständig sein möchte. Während der glänzigen Stellung Saturns im den Jahren 1854 bis 1856 hat Suchs in Bezug die Frage nach der elliptischen Gestalt des Ringes und der Bewegung seiner Aperturlinien durch Beobachtungen zu entscheiden gesucht.<sup>1)</sup> Er fand die Excentricität desselben zu 0.084 und als Periode der näherbaren Änderung 11425<sup>2)</sup> im Jahre 1856 hat, entsprechend einer Aufforderung von Prof. Seeliger, Dr. W. Völger am H. S. rothen Refractor zu München Beobachtungen über die Excentricität des Saturnrings begonnen und theilte die Ergebnisse, zu denen er bei jener gelangte, kürzlich mit.<sup>3)</sup> Während jener Opposition (1865) war er bemüht, an drei verschiedenen Abenden die Messungen möglichst lange Zeit anzustellen, um die schon über vermehrte Interperiodische Änderungen zu erwähnte Beobachtung damals von Mai 9 bis Juni 20 an 24 Abenden beobachtet wurde und dabei an 9 Abenden die Messungen

über mehr als 2 Stunden ausgedehnt werden konnten, so war das Resultat doch ein negatives Resultat, als sich solche kurze Perioden (von 9.34 und 9.24) nicht mit Sicherheit feststellen lassen.

Gelegentlich der Redaction dieser Beobachtungen von 1856 hatte Dr. Völger die älteren Beobachtungen zusammengekauft, es war dabei seine Absicht, die übrigen kurzen Perioden durch andere Messungen sicher zu stellen. Alle Versuche nach dieser Richtung waren erfolglos. Diese Zusammenstellung aller vorhandenen Messungen ergab aber in ganz anderer Richtung ein eigenartliches Verhalten. Die Uebereinstimmung über die Interperiodenmessungen zur Bestimmung der Excentricität der Saturnringe zeigt nämlich deutlich periodische Veränderungen, deren Periode Völger damals auf circa 9.5 Jahre schätzte. Dem erwarteten Resultat bewegte ihn, den Beobachtungsmodus für die nächsten Jahre etwas abzuändern und er war demzufolge mehr darauf bedacht, möglichst viele Beobachtungspunkte zu bekommen, als an ein und demselben Abend die Messungen auf mehrere Stunden auszudehnen.

Die Untersuchung der ältesten Beobachtungen von 1850 bis 1861 ergab als Periodenlänge für die Änderung der Excentricität 9.26 Jahre, doch werden mit diesem Werth die Beobachtungen von 1855 und 1861 nicht gut übereinstimmen, sodass Dr. Völger die Vermutung einer weiteren Änderung der Excentricität ausspricht, deren Periode sich aber aus den vorhandenen Beobachtungen nicht ableiten lässt. Bleibt man bei den Rechnungen von Dr. Völger stehen, so folgt aus denselben für eine rückläufige Bewegung der Aperturlinie ein Umdrehungszeit 115 Jahre, und unter Annahme von 46.1" für den inneren Durchmesser des Ringes folgt hierfür als Excentricität für diese inneren Stelle am Saturnring  $e = 0.0816$ . Dr. Völger macht u. a.

<sup>1)</sup> Astron. Nachr., Bd. 9, S. 14.

<sup>2)</sup> Monthly Notices, Vol. 15, p. 28.

<sup>3)</sup> Astron. Nachr., No. 2731.



nachfolgende Beobachtungen. Seit dem Jahre 1885 haben C. Flammarion und E. Antonow die Aufmerksamkeit auf die Excentricität der Saturnringe gelenkt. Sie haben, wie dies schon früher öfters geschehen, durch direkte Vergleichung der beiden Ringhälften und insbesondere der Dicke des inneren Randes des Crispings vom Saturnrand links und rechts die Excentricität abgemessen. Davon Messungen dieses Abstandes sind leider aus dem letzten Jahre nicht vorhanden. Beobachtungswert ist demgegenwärtig (1901.3) Verhalten der Abstände des inneren Ringrandes vom Saturnrand und des inneren äußeren Ringrandes vom Saturnrand, deren Excentricitäten nach entgegengesetzten Seiten stehen. Das hat zur Folge, dass der äußere Ring rechts deutlich breiter erscheint als links. Die von zahlreichen Beobachtern gemessenen Wertschwankungen über vollständige verstreuten. Aussehen der Cassini- und

Encke-Teilung links und rechts von Jahren sind gewiss auch durch die Verschiebung in den Excentricitäten und Umkehrpunkten der Perihelien für verschieden weit vom Saturnrand entferntem Stellen des Ringes zu erklären, und es können nach dieser Richtung auch Zeichnungen oder genaue Beschreibungen des mit dem Ringes bezuglich von grossen Werte sein. Denn dieselben sind umstände, die Messungen gewissermaßen zu ergänzen. Auch auf dem Ringes selbst gelegene Punkte, welche der direkten Messung nur schwer oder gar nicht zugänglich sind können dadurch in die Bemessung mitbezogen werden. Vor allem wird es aber notwendig sein, noch für eine längere Reihe von Jahren genaue Messungen anzustellen, und der Zweck dieser Note ist auch vollständig erreicht, wenn die Beobachter dies anregen würde, dem Gegenstände einige Aufmerksamkeit zu schenken.

## Die letzten fünfzig Jahre der Himmelforschung.

Von A. S.

(Jahres.)

**F**ür Erwart, den Sie John Herschel gegen die Annahme der Fixsterngruppe als Bewegungsmittelpunkt unseres Fixsternbaus erhoben. Dieser misst sich auf der Milchstrasse progressiv, ist aus dem Grunde unvollständig, weil die Milchstrasse in gar keiner dynamischen Beziehung zu unserem Fixsternsystem als solchem nicht, denn aber auch, wie Müller bemerkt, deshalb, weil jene Propagation doch nur von einem Punkte in der Ebene der Milchstrasse selbst gehen, stehende kein Milne unsere Sonne über eine solche Stellung aus, so misst der mittlere Zug der Milchstrasse einen gewissen Kreis entsprechend. Die Milchstrasse geht über an den beiden Polen des Himmels nicht in gleichem Abstand vorüber, so schneidet wieder den Äquator nach die Ekliptik in zwei entgegengesetzten Punkten.

Indessen mag die den Kontinuitäten Müllers die rangigste Nebenbedingung und sie beruht auf ungenügenden Beobachtungen. Dazu hat Kowalew gezeigt, dass das von Müller gefundene Verhalten der Eigenbewegungen nicht für alle in der Nähe der Milchstrasse gelegenen Punkte in ähnlicher Weise zutreffen muss, und die Zone, welche die Punkte der Eigenbewegungen erfüllt, sehr nahe mit dem Gürtel der Milchstrasse zusammenfällt, während die stärksten Bewegungen näher den Polen derselben vorzukommen.

Über den physikalischen Zusammenhang der Fixsternbewegungen, insbesondere wissen wir zur Zeit nichts Näheres und wo die Centrum für diese gemeinsame Bewegung zu suchen ist, bleibt unbekannt.

Auf dem Gebiet der Doppelstern-Attractionen standen in der Mitte des

18. Jahrhunderts die Arbeiten Fr. W. Struve, von Koenigsberg und Göttingen, teil der Messungen sowie Anzahl der entdeckten Doppelsterne anbelangt, unerschöpflich.

Dieser große Beobachter hatte als im Jahre 1824 der Vollzüge Franzosen'scher Refraktoren in seine Hände gelangte, sich die Aufgaben gestellt: 1. Katalogisierung aller Doppelsterne innerhalb gewisser Distanzen und Größen bis zu 15<sup>te</sup> Magn. Deklination, 2. Positionbestimmung aller Sterne dieses Katalogs am Meridianinstrumente, zur Ableitung möglichst scharfer, reiflicher Daten, welche die Erkennung der Eigenbewegung ermöglichen, 3. Mikromessungen, welche mit größter Schärfe für eine spätere Epoche die relativen Positionen der einzelnen Doppelsterne geben, 4. Bestimmung von Farbe und Umlauf der Doppelsterne mit möglichster Schärfe. Im ganzen sind, in Ausführung dieses Plans, von Struve vor grosser Wichtigkeit erschienen, von denen die letzte die gemeinsamen Orbitalbewegungen der Componenten der Binärsysteme anfaßt.

Die Anzahl ähnlicher Doppelsterne, von denen Struve Mikromessungen machte, beläuft sich nach Abzug von 492, bei welchen der Begleiter unter 9. Gr. ist, oder die doppelt gezählt wurden, nicht wieder aufgefunden werden konnten, oder in weitem Abstande als 20" sich befinden, auf 2641. Struve hat sie in acht Klassen unterschieden, je nach der schenkbaren Distanz der beiden Componenten.

Bei den meisten Klassen wurden von Struve die Doppelsterne nachweislich -kurden- und -rings- unterschieden, je nachdem der Begleiter kleiner als 8 Gr ist oder demselbe nicht.

Von mehreren dieser Doppelsterne konnten damals auch schon die Bahnen, welche jedes Paar derselben um den gemeinsamen Schwerpunkt beschreibt, berechnet werden, und Humboldt hat im 3. Bande des Kosmos diese Bahnen für sechs Doppelsterne an. In den nächsten 20 Jahren vergrösserte sich die

Anzahl der beobachteten Doppelsterne bis auf 20, aber manche der selben waren doch noch sehr unsicher. Die merkwürdigste Entdeckung blieben während die von Bessel entdeckten Eigenbewegungen des Sirius und Procyon, von denen dieser größte Astronom des 18. Jahrhunderts schloß, dass beide Sterne in Wirklichkeit Doppelsterne seien, bestehend aus je einem schwächeren und einem stärkeren Begleiter. Die Richtigkeit dieser Schlussfolgerung hat die zweite Hälfte des abgelaufenen Jahrhunderts glänzend erwiesen, denn Sirius ist der Begleiter seiner Anwendung sehr sicher festgestellt. Berücksichtigt man jedoch die Beobachtung sehr vieler Folgesterne hinsichtlich dieser beiden Sterne hat man einen Ueberraschenden Begleiter entdeckt, ohne dass man die Existenz desselben mit dem Beobachten Trauriken, bei jeder nachgewiesen ist. Anomalien in den Änderungen des Positionswinkels bei dem innern Begleiter des dreifachen Sterns (Gamma) haben jedoch O. Struve auf die Vermutung einer physikalischen Ursache derselben geführt. Das von ihm gegebene Formel zur Darstellung der Distanzen und Positionswinkel deutet an, dass die Ungleichheiten sich erklären lassen unter der Annahme, der inneren Begleiter beschreibe, während er sich in seiner Hauptbahn bewegt, gleichzeitig in 20 Jahren einen Kreis von 0.3" Radius um eine dunkle Masse. Gemäss Untersuchungen über die Bewegungsverhältnisse im System (Gamma) hat H. Bessel angelehnt und gezeigt, dass die Bewegung des innern Begleiters (D) um den Centralstern (A) trotz der abweichenden Entdeckung des Begleiters (C) mit dem Kopernican'schen Gesetze genau erfolgt. Man konnte für C sehr beständige Wagswerte nachweisen, ohne die Überdetermination zweifache Rechnung und Beobachtung zu gefährden und man muss sehr sorgfältig bedacht werden, um die Beobachtungen mit beiden zu vergleichen.

Auch bei den Doppelsternen  $\delta$  Scorpi und  $\delta$  Cygni tragen die Beobach-

lungen, das höchstwahrscheinlich ein unsichtbarer Begleiter vorhanden ist, der die Bewegung der sichtbaren Komponente bestimmt. Diese «dunklen Begleiter» lösen zunächst zu der grossen, mit Hilfe des Spektroskops gewonnenen Entdeckung der spektroskopischen Doppelsterne, die so nahe beisammen stehen, dass kein Fernrohr sie trennt und das Verhältnisseln der Begleiter nur durch die periodische Lagenänderungen der dunklen Spektrellinien erkennbar ist. In manchem dieser Fälle ist es sogar möglich geworden, die Größe, Masse und wahre Entfernungen der Komponenten zu berechnen, was früher unvorstellbar schwebende Resultate Zusammenfassend sagt Dr. Klein in seinem Werke:

Wenden wir uns zum Schluss den Sternhaufen und Nebelbeden zu, so hat die letzte Hälfte des abgelaufenen Jahrhunderts bei diesen hauptsächlich durch Anwendung der Photographie und des Spektroskops wunderbare Fortschritte aufzuweisen. Fr. Wilhelm Herschel war auf Grund seiner letzten Untersuchungen zu der Überzeugung gelangt, dass wir wirkliche selbstleuchtende Nebelhaufen im Weltraum gäbe, in dem die Sternhaufen-Vorstellung der Menschen überflüssig. Die Konstruktion mächtiger Spektroskopie, besonders des Kesselspektroskops von Lord Ross, liess in diesem Jahre der Herschel'schen Nebel in höchstbedeutende Sternhaufen aufgelöst, sodass von 1850 die Meinungen über das Vorhandensein wirklicher komponenten Nebel sich getrennten. «Wenn man,» sagt Humboldt'sche's Kosmos, «brennt, was der Beobachtung und was induktiven Schlussformen angeht, so leben wir in der ersten Betrachtung, dass durch weitestgehende Verwirklichung der teleskopischen Schärfe allerdings die Zahl der Nebel beträchtlich vermindert, aber keineswegs durch diese Verfeinerung erschöpft werden könne. Unter Anwendung von Fernrohren nachsicher Stärke wird jeder nach-

folgende aufhören, was das vorhergehende aufgelöst gelöst hat, zugleich aber auch, wenigstens teilweise, wegen seiner zunehmenden transparenzdringenden Kraft die aufgelösten Nebel durch neue, vorher unentdeckte, entstehen. Auflösung des Alten und Entdeckung des Neuen, welches weder eine Zunahme von optischer Stärke erleidet, während demnach in endloser Reihe aufeinander folgen. Sollte dies nicht so sein, so muss man sich nach weissen Stellen entweder des geläuteten Weltraums begreifen, oder die Weltmole, zu dem man nur gelangt, demnach man einander selbst denken, dass keine der noch zu erforschenden Prozesse zu dem gegenüberliegenden Überüberblick und dem unsere letzten Jenseits Nebel sich in Sternhaufen auflösen, welche sich wie Sterne der Milchstrasse und schwarzen, gradlinigen Grund präparieren. Ist aber wird ein solcher Zustand des Weltbaues und zugleich der Verwirklichung optischer Weltmacht wahrscheinlich, bei dem ungenutzte Primordien kein unentgeltlicher Nebel-Hack mehr aufzuheben wäre?»

Die Erläuterung der Spektralanalyse hat in unerwarteter Weise die Frage nach der Existenz wirklicher, selbstleuchtender Nebelhaufen erregt und zwar beipfand im Sinne W. Herschel's. Huggins zuerst hat bei dem planetarischen Nebel im Drachen ein Spektrum erkannt, welches die helle Linie des elektrisch leuchtenden Wasserstoffes zeigt, und ähnliche Spalten zeigen sehr viel andere Nebel, die also damit einen solchen Charakter annehmen, während allerdings manche auch die Fraunhofer-spektren besitzen und sich damit als sehr weit entfernte Sternhaufen dokumentieren. Dazu hat die Photographie in den Händen von Roberts, Wolf und Koster gelehrt, dass die wahre Gestalt vieler Nebel die Spiralförmigkeit darstellt und zuletzt, dass hinsichtlich der Anzahl und Ausdehnung der kosmischen Nebelbeden die Fernsichtvermögen der Menschen übersteigt. So ist dem grossen

Fischer W. Hirschel am Schluß des 19. Jahrhunderts eine Bestätigung zu Teil geworden, die nun die Mitte desselben in sehr weitem Maße stand. Unsere Betrachtungen aber dürfen wir passend schließen mit den Worten A. v. Humboldt's, die auch heute noch Geltung haben: (jedes der voneinander folgenden Menschergeschlechter hat sich den Größten und Erhabensten zu erheben gesucht, was es auf der Stufe, zu welcher die Kunst sich erhoben, als

die Frucht seiner Intelligenz entgegen konnte. Ohne in bestimmten Zahlen auszusprechen, wie weit die des Weltzum durchdringende teleologische Kraft bereits reicht, ohne diesen Zahlen viel Glauben zu schenken, ruhet man doch schon die Konstanz von der Geschwindigkeit des Lichts, das des Aufglühens des fernsten Gestirns, der lichtbreitenden Process auf einer Oberfläche das stunde-unverändliche Zeugnis von der Existenz der Materie ist.)

### Vermischte Nachrichten.

**Sonnentemperatur, Regenfall und Hungerjahre in Indien.** Norman und W. J. Lockyer haben untersucht in den Abhandlungen der königl. Gesellschaft der Wissenschaften zu London eine umfangreiche Untersuchung veröffentlicht über den Zusammenhang zwischen dem Ungleichmaßigkeiten des Regenfalls in Indien mit gewissen periodischen Vorgängen auf der Sonne. Das in diesem Jahre beobachtete Ausbleiben oder die Verminderung der Regenfälle in Indien hat dort ununterbrochen Hungerjahre im Gefolge, und es ist klar, dass, wenn die Zusammenhang dieser unnormalen Regenfalligkeit mit periodischen, vorausbestimmten Vorgängen auf der Sonne nachgewiesen werden kann, dieses von größter Wichtigkeit sein würde, um völlig Massregeln zu treffen, um die Folgen des zu erwartenden Misserathens in etwa zu wehren. Schon früher hat man an einen Zusammenhang mit der dritthalbigen Periode der Sonnenflecke gedacht, allein der genaue Vergleich mit dem Zeiten des Misserathens hat keine zureichende Oberbestätigung nach dieser Richtung hin erkennen lassen. Indessen ist es doch wahrscheinlich, dass Vorgänge auf der Sonne in dieser Beziehung eine Rolle spielen und die beiden Lockyer haben weitere Untersuchungen darüber angestellt. Sie kamen zu dem Ergebnis,

dass die Temperatur der äussern Schichten des Sonnenballs zu gewissen Zeiten höher und zu andern niedriger ist als im Durchschnitt. Ihre Beobachtungen des Aussichers gewisser dunkler Linien im Spectrum der Sonnenflecke führten sie zunächst darauf, zwei Klassen dieser Linien zu unterscheiden, die sie als „bekannte“ und „unbekannte“ Linien bezeichneten. Sie kamen dann weiter zu dem Ergebnis, dass die ersten am zahlreichsten sichtbar sind, wenn die Sonnentemperatur niedriger ist als zu andern Zeiten. Sind die „unbekannten“ Linien am zahlreichsten, so ist die Sonnentemperatur am höchsten, dagegen ist sie auf einem mittleren Stand, wenn beide Klassen von Linien etwa gleich sichtbar sind. Stellt man die Häufigkeit dieser Linien in den verschiedenen Jahren durch Kurven dar und ebenso die Häufigkeit der Sonnenflecke, so ergibt sich, dass diese Kurven völlig voneinander verschoben sind. Ihre Auf- und Abgänge sind scharf ausgeprägt und ebenso die Kreuzungen. Letztere fallen (seit 1878) auf die Jahre 1851, 1886 bis 1893 und 1902 und waren für diese auf einem mittleren Stand der Sonnentemperatur hin, doch bald die für 1887 erwartete Kreuzung bis jetzt nicht stattgefunden. Die genannten Astrophysiker haben nun weiter untersucht, wie sich die Regenfälle in den ungr-

normalen Temperaturschwankungen der Sonne verbunden. Sie haben zu diesen Untersuchungen Indien gewählt, weil man erwarten darf, dass die entsprechenden Vorgänge in tropischen Gegenden am einfachsten und klarsten sich darstellen, dann aber auch, weil die Regelmäßigkeit des Regensfalls in Indien gerade zu jener Zeit sehr gut beobachtet, als die Beobachtungen der gesamten Lagen im Spektrum der Sonnenflecke eine grosse Abweichung vom normalen Verhalten zeigten. Die Untersuchung der Regenfälle 1877 bis 1888 beim SW-Monats ergab, dass es den Jahren mit Überschuss der Sonnenintensität über die mittlere, in vielen Teilen Indiens auch die Regenfälle über normal waren, in den Jahren mit vermindelter Sonnenintensität dagegen unter normal. Solches trat in der Regel im ersten Jahre nach dem mittleren Zustande hervor, d. h. 1877 bis 1878 und 1882 bis 1883, Dehli, welche, wie Lockyer behauptet, auch, allerdings verspätet, den Maximum- und Minimum-Perioden der Sonnenflecke nahe lagen. Die Untersuchung der Etwafschu Regenshöhe von ganz Indien 1875 bis 1886, welche den SW- und SWNO-Monatsverlust, zeigte während eines zweiten Sonnenfleckenzyklus, dass der mittlere Sonnenintensität eine Abweichung des Niederschlags folgt. Ferner ergab die Untersuchung der Niederschläge in Hwasakra, dass die Regen- und Schneemenge in den Jahren der Minimumbestandteile der unbekanntem Spektrallinien grösser ist. Der Regenfall auf der Insel Mauritius umfassen von Maximum in den Jahren 1877 und 1882, Minima 1880 und 1886, welche die Maxima der Niederschläge dort angefallen nach der Zunahme der beobachteten Lagen des Sonnenflecken-Spektrums erkläre. Die Verknüpfung um ein Jahr, nach welchem die Wirkung der Schwankung von Maximum nach in Ceylon und Indien eintritt, entspricht der Erwartung, dass der Regen beim Sonnenfleck-Minimum von Süden

herströmt. Die Thatsache, dass die Abweichungen des Jahres 1882 in Mauritius und Indien gleichzeitige waren, ist nach Lockyer ein strenger Beweis für den Ursprung des indischen Regensfalls zur Zeit des Sonnenfleck-Maximum in den Aequatorialregionen. Für Indien ergab sich zwei Maxima des Regensfalls, das eine nahe um die Zeit der stärksten Sonnenflecke, das andere nahe zusammenstehend mit dem Jahre der schwächsten Flecke, beide lagen die Hauptperiode in den Zeiten zwischen den beiden regnerischen Epochen. Sie zeigen nach Lockyer einen ephemerischen Cycles, nämlich: 1837 bis 1838 Hauptperiod in Ober-Indien, 1848 solche in den Nordwestprovinzen, 1858 bis 1859 ebenda, 1868 Hauptperiod in Madras und den Nordwestprovinzen, 1890 bis 1892 Hauptperiod in Madras, Bombay, Bengalen, 1898 bis 1899 allgemeine Hauptperiod. Geht man von dem Jahre 1865 bis 1866 aus, so trifft man 1871 bis 1874 Hauptperiod in den Nordwestprovinzen und bis 1877 solche in Bombay und Ober-Indien, 1885 bis 1886 in Madras und Orissa, 1888 in Madras. Vergleicht man diese Jahreszeiten in ihrer Anbahnperiode, so läßt man wirklich angeteilt auf einen ephemerischen Cycles, und die beiden Lockyer behaupten, es sei klar, dass die Wahrscheinlichkeit einer Hungersnot in Indien für alle angeführten Epochen hätte vorausgesehen werden können, wenn man im Jahre 1836 so vollig gewesen hätte als man heute war. Wir können dieser Schlussfolgerung nicht bezweifeln, dass die Regelmäßigkeit des Cycles bei Interesse auf die oder zwei Jahre verläuft, und von den obigen Angaben folgt dass durchschnittlich ungefähr Regen alle fünf bis sechs Jahre ein Hauptjahr in Indien zu erwarten ist. Man könnte also bei den Schwankungen des Cycles von den Vorberichtigungen mit Märschen nicht fern sein, d. h. mit andern Worten die betrachtete Periode hat offenbar wissenschaftliches, aber sicher keinen praktischen Wert.

Die Lockyer haben sie auch nicht benutzt, um die nächsten Hauptperihelien zu berechnen, was doch am schlagendsten gewesen wäre. Führt man die Rechnung aus, so würde sie auf 1902 und 1908 bis 1909 hinausweisen, wobei unbedingt klären muss, ob die Hauptperihel von 1899 schon auf das Konto von 1902 zu setzen ist oder nicht.

**Feuertagel.** Aus Schreiberles <sup>1</sup> R. schreibt man am oder unter dem 3. Oktober: Wir bitten Sie, folgende Beobachtung einer Feuertagel zu veröffentlichen in der Annahme, dass diese nach von anderer Seite gemeldet wird. Wir sehen heute bei völlig wolkenlosem Himmel zwischen 2<sup>h</sup> 22<sup>m</sup> und 24<sup>m</sup> (gemeine Zeitzone leider nicht möglich) ungefähr 5° unter α Aquarii eine Feuertagel aufsteigen. Anfangs von rötlicher Farbe in der Helligkeit eines Sternes 3. Gr., bewegte sie sich in der Richtung auf Jupiter zu, wobei die Farbe allmählich in blendendes Weiss überging und die Helligkeit bis zu der des Vollmondes zunahm, sodass die ganze Gegend hell erleuchtet wurde. Der schließliche Durchbruch wurde auf ungefähr 10° geschätzt. Die Feuertagel wirkte plötzlich ohne Detonation und ohne Schwanzbildung. Die Dauer der Erscheinung war fünf Sekunden. In Kohlrart wurde das Meteor von süd-westlichem Himmel gesehen und es verschwand am Horizont. In der Nähe des Otes Muskatdornel, auf der Chaussee nach Schönbriun, sah ein anderer Beobachter das Meteor, welches sehr schnell ganz senkrecht herabfiel und im plötzl. Stillen. Er meint, er sei nur 100 Schritte von demselben entfernt gewesen und soll sehr lauten: „Am andern Morgen luden meine Kinder auf dem Dorfwald in Schönbriun Stiele des Meteorsteinen.“

Der neu entdeckte Vennedebühle der Algoklasse 78.1801 Cygni nicht nach Stanley Williams in α 20<sup>h</sup> 13<sup>m</sup> 40<sup>s</sup> δ + 42° 44.4' (1855). <sup>2</sup> S. 288 ebenfalls

Helligkeit ist 15. Gr., im Minimum wird er bis zur 13. Gr. Die Periode beträgt 13 10<sup>m</sup> 40<sup>s</sup> während 3<sup>h</sup> 23<sup>m</sup> 15<sup>s</sup> beträgt seine Helligkeit unverändert, dann sinkt sie in 1<sup>h</sup> 30<sup>m</sup> bis zur 12. Gr., auf welcher die Stern etwa 50<sup>m</sup> lang verbleibt, um in weiter 40 10<sup>m</sup> seine normale Leuchtkraft wieder zu gewinnen. Die ganze Dauer der Lichtänderung umfasst 5<sup>h</sup> 30<sup>m</sup>.

Die Bahn des Doppelsternes, Cassiopejae ist von W. DeLorck einer Zusammenfassung der Beobachtungen bis zum Jahr 1900 aus berechnet worden <sup>3</sup> Die Bahnweite, welche er als die wahrscheinlichste betrachtet, sind folgende: Lichtlaufzeit (P) = 332.81 Jahre. Zeit des Periastron (T) = 199.09. Halbe große Achse der scheinbaren Bahn (a) = 0.43. Excentricität (e) = 0.4091. Knoten (Ω) = 78° 48'. Entfernung des Knotens vom Periastron (q) = 131<sup>m</sup> 36<sup>m</sup>.

Neigung der Bahnebene gegen die Himmelsfläche (i) = 32° 17'.

Nimmt man die von G. Struve gefundene Parallax von 9 Cassiopeja als richtig an, so ergibt sich aus den obigen Bahnelementen, dass die Summe der Massen beider Komponenten 2.17mal so gross ist als die Masse unserer Sonne.

**Nebel um die Nova im Perseus.** Auf der Verles-Sternkarte hat G. M. Hähner von dem dortigen grossen Spiegelteleskop in der Nacht des 20. Sept. 1891 die Nova im Perseus und ihre Umgebung photographisch aufgenommen. Das Spiegelteleskop hat 22 Zoll Öffnung und 53 Zoll Brennweite, sodass es ausserordentlich lichtstark ist. Die Nacht des 20. Sept. war gut, wenigstens die Luft nicht gerade aussergewöhnlich durchsichtig gewesen. Das benutzte Casserische Filz war wohl zweimal so lichtempfindlich als die gewöhnliche Sorte dieser photographischen Platten. Unter diesen günstigen Verhältnissen wurde auch über fast sämtliche

<sup>1</sup> Astron. Nachr. No. 3348

<sup>2</sup> Astron. Nachr. No. 3343.

Exposition ein überaus schönes Negativ erhalten. Die Photographie, welche am besten erhalten worden, ist frei von der falschen Nebelhilfe oder Pinnakeln, die bei Anwendung von Nylontönen erhalten wurde; demgemäß zeigt sich in der nächsten Umgebung der Nova keine oder gar keine Spur des falschen Lichtbogens. Der Durchmesser der Nova beträgt  $26''$ , aber in größerer Entfernung erscheint dieselbe auf dem Negativ von einem sehr komplexen Nebel umhüllt. Es liegt noch bezüglich des letzteren nicht entschieden, ob er spiralartig ist oder aus mehreren konzentrischen Ringen besteht, jedenfalls sind solche vorhanden. Während die der von Aufmann und Flammarion photographierte Nebelhülle der Nova Pinnakel aus optischer Täuschung war, ist jetzt mit Sicherheit erwiesen, dass der neue Stern in größerer Entfernung von einem kugelförmigen Nebelgehäuse umgeben wird. Die ersten Spuren dieser Nebelhülle hat Paul Wolf in Heßelberg photographisch erhalten \*) und dessen Entdeckung wird also jetzt durch Michy bestätigt und erweitert. Für die Deutung des bei Aufmanns der Nova stattgefundenen kosmischen Vorganges ist dieser Nachweis des Nebels von großer Wichtigkeit.

Eines Telegramms aus Cambridge (N. A.) zufolge haben photographische Aufnahmen der Nova im Perseus durch Pierre au Cresty-Bellefleur der Licht-Sternwarte ergeben, dass vier Hauptkondensationen des falschen Nebels, welcher die Nova umgibt, eine ständige Eigenbewegung von 1 Bogensekunde in 2 Wochen zeigen. Dieses Ergebnis ist das merkwürdigste, welches bis jetzt an der Nova gefunden wurde und außerdem ergibt es die bei weitem größte Eigenbewegung, die jemals in Fixsternen umgeben wahrgenommen wurde, je neuer jeder Vorstellung stand. Es ist ein ganzaußergewöhnliches Resultat.

Die Nova Persei ist während des Juli und der ersten Hälfte des August

von Herrn Adolf Müller S. J. in Rom auf Helligkeit und Farbe beobachtet worden. Der Stern blieb bis August 2 fast unverändert  $4.8$ . Das seine Farbe war Anfang Juli rötlich, später violett und seit 26. Juli fast weiß.

Der Doppelstern  $\theta$  Equulei gehört zu den schwachsten Objekten dieser Sternklasse. Auf der Licht-Sternwarte hat R. G. Aitken im letzten Frühjahr einige Messungen oder vielmehr Schätzungen der Distanz der beiden Komponenten gemacht und gibt folgende Werte:

1861.57 Distanz  $0.13''$   
1862.360        "  $0.118''$

Eine neue Sternwarte zu Unterrichts-zwecken ist von der Lucina-Sternwarte in Pennsylvania errichtet worden. Schon seit längerer Zeit macht sich in Amerika das Bestreben geltend, besondere Sternwarten nur zum Unterricht und zur Übung für Studierende einzurichten, die eigentlichen wissenschaftlichen Observatorien aber über Hinzuzicht auf Unvollständigkeit dortin zu verfügen, wo Ruhe und Mäßigkeit der Luft die besten Erfolge versprochen. Ein derartiges System hat schon eine gewisse Vorzüge und kann uns nicht leicht zur Nachahmung empfohlen werden. Besonders beliebt hat es sich in Kalifornien, dessen Universität in Berkeley eine Studenten-Sternwarte besitzt, auf der die für die Licht-Sternwarte auf dem Mount Hamilton bestimmten jungen Astronomen ihre praktische Ausbildung erhalten.

Fernrohr für Freunde der Himmelsbeobachtung. Aus dem Leserkreise des „Stern“ sind mir mehrere größere und kleinere, sehr gut erhaltene Fernrohre zum Verkauf angeboten worden. Fernrohre der Firma die Beobachtung, welche die Anschaffung eines solchen Instrumentes beschleunigen und sich innerhalb 20 Tage werden, bis ich zu jeder gewünschten Auskunft gern bereit. Dr. Klein.

\*) Stern 1890, S. 226.

\*) Astron. Nachr. Nr. 7192.





**Planeten-Ephemeriden.**

Mittlere Berliner Mittag							Mittlere Berliner Mittag								
Jahr 1900	Rektascension			Declination			Oscul. Mittlere Berliner Mittag	Jahr 1900	Rektascension			Declination			Oscul. Mittlere Berliner Mittag
	h	m	s	°	'	"			h	m	s	°	'	"	
<b>Merkur</b>							<b>Saturn</b>								
Feb. 4	19	48	10 00	—	0 48	28 4	1 34	Feb. 7	19	28	18 08	—	23 28	24 9	28 31
4	19	56	10 09		7 54	28 0	1 35	17	30	28	10 00		23 10	21 9	28 34
17	20	00	10 15		5 4	28 0	1 35	27	40	40	4 00	—	23 11	19 0	28 36
29	22	10	10 26		7 39	28 0	1 35	<b>Uranus</b>							
29	21	10	10 26		7 39	28 0	1 35	Feb. 7	17	17	20 00	—	0 1 10	28 31	
29	21	10	10 26		7 39	28 0	1 35	17	17	18	20 07		0 0 50 4	28 33	
29	21	10	10 26		7 39	28 0	1 35	27	17	50	20 10	—	0 0 10	28 35	
29	21	10	10 26		7 39	28 0	1 35	<b>Neptun</b>							
29	21	10	10 26		7 39	28 0	1 35	Feb. 7	5	58	24 11	—	0 20 31	28 31	
29	21	10	10 26		7 39	28 0	1 35	17	5	58	24 09		0 20 30 5	28 31	
29	21	10	10 26		7 39	28 0	1 35	27	5	58	24 06	—	0 20 30 27 0	28 31	
<b>Venus</b>							<b>Mars</b>								
Feb. 4	23	0	0 10	—	0 44	28 4	1 3	Feb. 4	21	58	7 07	—	0 20	28 7	
4	23	16	0 22		0 40	28 0	1 3	4	21	5	12 07		0 20	28 0	
16	23	48	1 1 00		0 32	28 7	1 3	16	21	58	12 00		0 20	28 0	
28	24	10	20 10		0 23	28 0	1 3	28	21	58	12 00		0 20	28 0	
28	24	10	20 10		0 23	28 0	1 3	28	21	58	12 00		0 20	28 0	
28	24	10	20 10		0 23	28 0	1 3	28	21	58	12 00		0 20	28 0	
28	24	10	20 10		0 23	28 0	1 3	28	21	58	12 00		0 20	28 0	
<b>Jupiter</b>							<b>Wendepunkte 1900</b>								
Feb. 7	5	58	24 11	—	0 20 31	28 31	1 3	h m s							
17	5	58	24 09		0 20 30 5	28 31	1 3	Feb. 7	5	58	24 11	—	0 20 31	28 31	
27	5	58	24 06		0 20 30 27 0	28 31	1 3	17	5	58	24 09		0 20 30 5	28 31	
<b>Erde</b>							<b>Wendepunkte 1900</b>								
Feb. 7	5	58	24 11	—	0 20 31	28 31	1 3	h m s							
17	5	58	24 09		0 20 30 5	28 31	1 3	Feb. 7	5	58	24 11	—	0 20 31	28 31	
27	5	58	24 06		0 20 30 27 0	28 31	1 3	17	5	58	24 09		0 20 30 5	28 31	

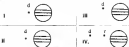
**Sterbedeckungen durch den Mond für Berlin 1900.**

Monatstag	Name	Ortzeit	Ereignis		Anfang	
			mittlere Zeit	maximale Zeit	mittlere Zeit	maximale Zeit
			h	m	h	m
Februar 27	α Perseus	24	4	39 0	4	14 0
" 28	α Taurus	24	7	37 1	7	25 1
" 28	α Cassio	24	10	35 0	10	28 7

**Lage und Größe des Saturnringes (nach Besse)**

- Febr. 2. Grösse Achse der Ringfläche: 28 20" ; Mittlere Achse: 22 12"  
 Erleuchtungswinkel der Erde über der Ringebene: 12° 47' süd.
- Febr. 1. Mittlere Scheitel der Clapette: 28° 37' 133"  
 Scheitelhöhe: " " 28° 22' 212"  
 Halbmesser der Sonne: 18' 25 40"  
 Parallel: " " 212"

### Stellungen der Jupitermonde im Februar 1902.



Stellungen am 12. Februar bis zum Aufsteig im astronomischen Fernrohr.

Tag	West.				Östl.
12					
13	12.30		12.30	12.30	12.30
14			12.30	12.30	12.30
15			12.30	12.30	12.30
16			12.30	12.30	12.30
17			12.30	12.30	12.30
18			12.30	12.30	12.30
19			12.30	12.30	12.30
20			12.30	12.30	12.30
21			12.30	12.30	12.30
22			12.30	12.30	12.30
23			12.30	12.30	12.30
24			12.30	12.30	12.30
25			12.30	12.30	12.30
26			12.30	12.30	12.30
27			12.30	12.30	12.30
28			12.30	12.30	12.30
29			12.30	12.30	12.30
30			12.30	12.30	12.30

Die Monde des Jupiter sind bis 12. Februar unsichtbar wegen grosser Nähe des Jupiter bei der Sonne.

#### Erscheinungen der Jupitermonde

Februar 26, 27, 28, 29, 30, 1. März 1902

Schemen sind im Februar 1902 nicht zu beobachten

Tail segment  
25. February 1952.

*Salix repens*  
18. May 1952.



Fig. 1

Fig. 2

Tail segment,  
8. April 1952.



Fig. 3

D<sub>1</sub>



D<sub>2</sub> Bayles  
Tail segment,  
26. February 1952



Fig. 4

D<sub>3</sub>



D<sub>4</sub> Bayles  
Tail segment,  
3. May 1952.

Fig. 5

D<sub>5</sub> M



M. S. Bayles  
Tail segment,  
25. February 1952.

Fig. 6

Tail segment,  
19. July 1952.



Fig. 7

M. S. C. 1952  
Tail segment  
1952



Fig. 8



